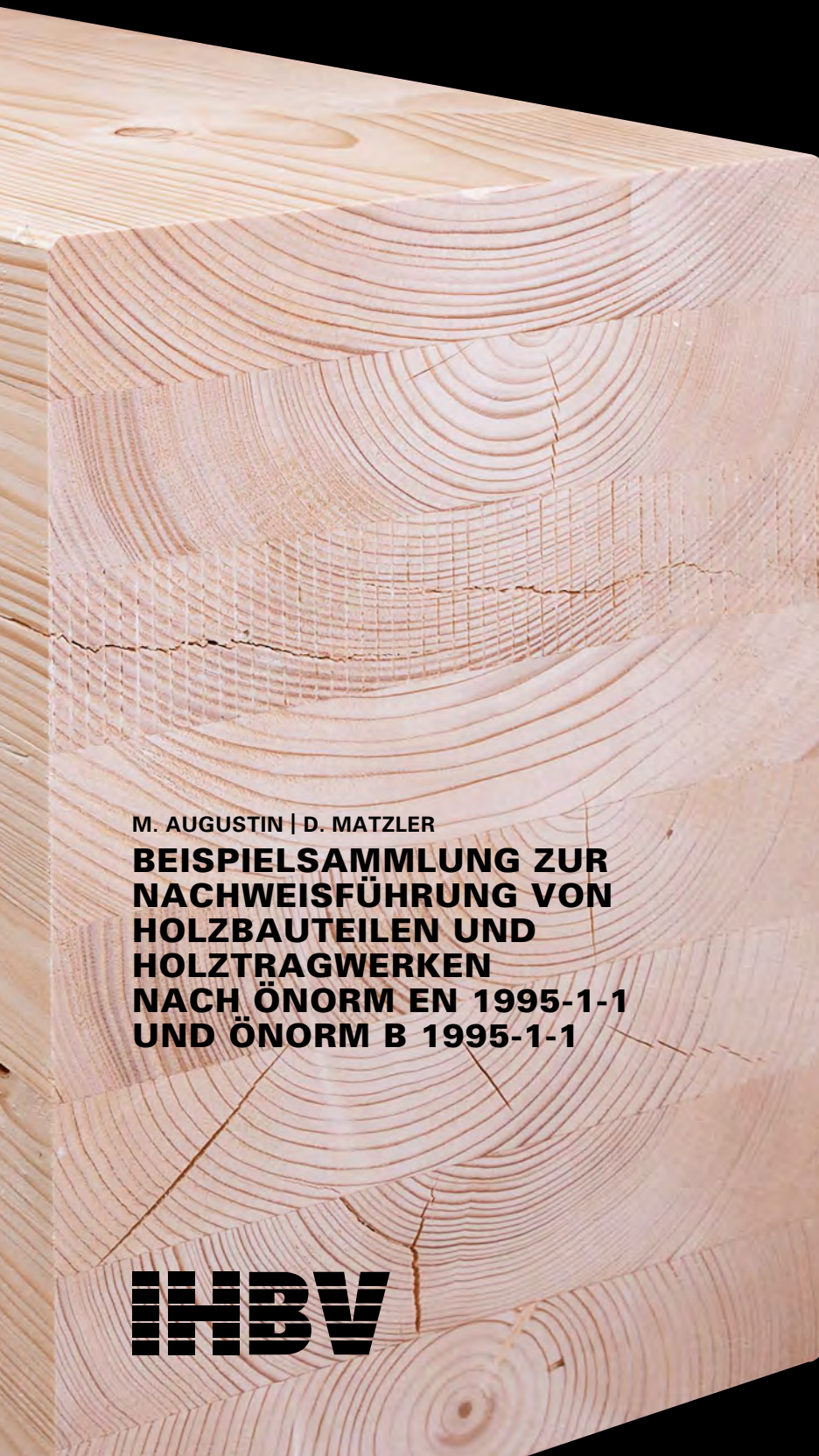


**HOLZBAU\_KOMPAKT**

---



M. AUGUSTIN | D. MATZLER

**BEISPIELSAMMLUNG ZUR  
NACHWEISFÜHRUNG VON  
HOLZBAUTEILEN UND  
HOLZTRAGWERKEN  
NACH ÖNORM EN 1995-1-1  
UND ÖNORM B 1995-1-1**

**IHBV**

1. AUFLAGE 2022

**IMPRESSUM:**

Medieninhaber und Herausgeber:

Österreichischer Ingenieurholzbauverband (IHBV)

Sitz: Schwarzenbergplatz 4, A-1030 Wien

Tel: +43 (1) 712 26 01

E-mail: office@ihbv.at

Website: [www.ihbv.at](http://www.ihbv.at)

Vorsitzender: DI (FH) Holzbaumeister Johannes Lederbauer

Geschäftsführer: Mag. Dieter Lechner

Für den Inhalt verantwortlich:

DI Manfred Augustin, holz.bau forschungs gmbh / Graz

DI Dominik Matzler, holz.bau forschungs gmbh / Graz

Alle Rechte vorbehalten.

Nachdruck – auch auszugsweise – nur mit Quellenangabe und vorheriger Rücksprache.

Gestaltung: Ölz GrafikDesign, Dornbirn

Druck: Hugo Mayer – Buch & Offsetdruckerei Verlag, Dornbirn

## **WICHTIGE HINWEISE / HAFTUNGSAUSSCHLUSS**

Der Inhalt dieser Beispielsammlung wurde mit größtmöglicher Sorgfalt nach dem zum Zeitpunkt seiner Erstellung geltenden Stand der Technik und unter Berücksichtigung baupraktischer Erfahrungen verfasst; inhaltliche Fehler sowie Druckfehler können dennoch nicht ausgeschlossen werden. Diese Beispielsammlung wird der Leserschaft kostenlos zur Verfügung gestellt und richtet sich an ProfessionistInnen (facheinschlägig ausgebildete Personen). Die in dieser Beispielsammlung enthaltenen Ausführungen (inkl. Abbildungen) sind unverbindlich, dienen ausschließlich Informationszwecken und erheben keinen Anspruch auf Vollständigkeit, Richtigkeit oder Aktualität. Dies gilt insbesondere im Hinblick auf neueste Entwicklungen in der Baubranche. Alle in dieser Beispielsammlung enthaltenen Angaben erfolgen daher ohne Gewähr und unter Ausschluss jeglicher Haftung. Die Benutzung dieser Beispielsammlung und die Umsetzung der darin enthaltenen Informationen erfolgt ausdrücklich auf eigenes Risiko.

In dieser Beispielsammlung werden komplexe Sachverhalte dargestellt, die einer regelmäßigen Veränderung unterliegen. Alle Angaben stellen daher lediglich unverbindliche Empfehlungen dar, um bei der Realisierung eines Projektes zu unterstützen. Die Beispielsammlung versucht Empfehlungen kurz und verständlich darzustellen. Folglich können nicht alle erdenklichen Ausnahmen und Sonderregelungen wiedergegeben werden. Da die Ausführungen allgemein und abstrakt gehalten sind, ist von der Leserschaft auch stets zu überprüfen, ob und inwiefern diese auf das konkrete und individuelle Bauprojekt anwendbar sind. Die Beispielsammlung kann daher eine individuelle Beratung durch eine Fachperson nicht ersetzen, zumal eine solche stets die Kenntnis aller Faktoren (insbesondere die Umstände des konkreten Einzelfalls) voraussetzt.

Die vorliegenden Informationen können ohne vorherige Ankündigung jederzeit geändert oder aktualisiert werden. Diese Beispielsammlung wird daher ggf. durch jüngere Fassungen ersetzt. Soweit nicht explizit anders vereinbart, werden die Inhalte dieser Beispielsammlung nicht Vertragsbestandteil individueller Bauprojekte.

Für Verbesserungsvorschläge sind wir jederzeit dankbar.

## **VORWORT DES HERAUSGEBERS**

---

Bereits im Jahr 2017 hat der Österreichische Ingenieurholzbauverband ein Tabellenwerk mit dem Ziel herausgebracht, dem Wunsche nach Vereinfachung der Bemessung durch eine tabellarische Zusammenschau der wesentlichen Parameter und Beiwerte Folge zu leisten.

Ausgangspunkt dafür war, dass es mehrere Initiativen gab, die Regelungsdichte zu reduzieren und bestehende Regeln und Normen zu vereinfachen, speziell im Lichte der großen Bedeutung der Regeln und Normen für den Baubereich und deren gleichzeitiger explosionsartiger Zunahme.

Gerade für die Anwender war und ist dies sehr herausfordernd, weil insbesondere den Ingenieuren, Holzbaumeistern und Auszubildenden der Einstieg in die konstruktive Umsetzung des Holzbaus deutlich erschwert wird. Nachdem sich dieses Tabellenwerk sehr großer Nachfrage erfreut und bereits im Jahr 2020 neu aufgelegt werden musste, haben wir uns entschieden, zusätzlich eine Sammlung von Rechenbeispielen zu ÖNORM EN 1995-1-1:2019 und ÖNORM B 1995-1-1:2019 aufzulegen, dessen Inhalte mit dem Tabellenwerk verknüpft ist.

Wir sind sehr froh, für die Umsetzung die Experten der holz.bau forscherungs gmbh gefunden zu haben.

Mit der vorliegenden Beispielsammlung soll dem Anwender eine vertiefte Informations-Grundlage geboten werden.

**DI (FH) Johannes Lederbauer**  
**Vorsitzender**  
**Österreichischer Ingenieurholzbauverband (IHBV)**

## **VORWORT DER VERFASSER**

---

Wohl noch nie war es dank der „neuen“ Medien möglich in so kurzer Zeit und mit so wenig Aufwand zu so viel Information bezüglich eines interessierenden Gebietes zu gelangen. Dieser Umstand drückt sich nicht zuletzt in einem steigenden Umfang der jeweils in Betracht zu ziehenden Dokumente und der enthaltenen Detaillierungen der Sachverhalte aus. Im Bereich der Bautechnik wird der Stand der Technik und des Wissens in Normen abgebildet. Falls man übereinstimmen kann die gestiegene „Komplexität“ eines technischen Bereichs über die Anzahl der Seiten der zugehörigen Norm darstellen zu können, soll dies nachfolgend geschehen: Der Umfang der nationalen Norm für die Berechnung und Ausführung von Tragwerken aus Holz, die ÖNORM B 4100, Teil 2, Ausgabe 1. August 1981 „Holzbau - Holztragwerke“ betrug, im übrigen inklusive Regelung zur Sortierung des Holzes, 35 Seiten; jener der ÖNORM B 4100-2, Ausgabe 1. Dezember 1997 (ohne Regelungen zu Sortierung) erreichte 50 Seiten. Mit der Übernahme der Eurocodes in Österreich wurde die Normung beträchtlich umfangreicher: so wies/weist das europäische „Basisdokument“ EN 1995-1-1:2004 inklusive der Ergänzungen AC (2006), A1 (2008) und A2 (2014) eine Anzahl von rund 140 Seiten auf. Im Zusammenhang mit dem nationalen Anhang ÖNORM B 1995-1-1:2009 (56 Seiten) ergab dies im Jahr 2009 rund 200 Seiten „Holzbaunormung“. Festzustellen ist, dass es sich dabei um das zentrale Normungsdokument handelt, d. h. Einwirkungs- und Produktnormen sowie weitere sind darin nicht enthalten. Aktuell umfasst die Holzbaunorm in Österreich in der konsolidierten Fassung ÖNORM EN 1995-1-1:2004 + AC:2006 + A1:2008 + A2:2014 sowie dem nationalen Anhang ÖNORM B 1995-1-1:2019 einen Umfang von 246 Seiten. Wie der Draft (N 1488 vom 27. Okt. 2021) des aktuell in Überarbeitung befindlichen Eurocodes EN 1995-1-1 mit seinen 454 Seiten (inklusive den Anhängen A bis X (ohne H); davon 83 Seiten normativ und 69 Seiten informativ; aber ist im Zweifelsfall nicht informativ = normativ!?) zeigt, wird sich die beschriebene Tendenz auch in Zukunft nicht abflachen, im Gegenteil es scheint „immer noch mehr desselben“ zu werden. In diesem Zusammenhang lassen sich gleich mehrere fundamentale Fragen stellen, wie: „Werden Holzkonstruktionen durch derart umfangreiche Normenwerke tatsächlich zuverlässiger und sicherer (Anmerkung: das ist ja wohl der Sinn einer statisch-konstruktiven Norm!)?“, „Welche (Seiten-) Umfänge sind einer einzelnen (Fach-) Person ohne unterstützende „High-tech“-Geräte ohne Verlust an Qualität zumutbar, und noch wichtiger, von diesen beherrschbar?“ und „Wie können solcherart ausgedehnte Inhalte an die interessierte Jugend bzw. „Neueinsteiger“ inhaltlich und didaktisch vermittelt werden? Wurde bedacht, dass z. B. Ziviltechniker auch andere Baustoffe in ähnlicher Tiefe beherrschen müssen, und wie und in welcher Form wurden die „Anforderungen“ an nicht akademisch ausgebildete Berufsgruppen, für die die Normeninhalte bekanntlich ja auch Geltung haben, berücksichtigt?“. Viele weitere kritische Fragen ließen sich stellen.

Um den Bezug zu der vorliegenden Publikation herzustellen: Eine bei der Neuerlernung von umfangreichen Inhalten wirksame Lernmethode besteht darin, sich vorerst einen Überblick zu verschaffen, um sich danach, je nach Erfordernis, sukzessive die tieferliegenden Hintergründe der Materie anzueignen. Im Zusammenhang mit mathematisch-physikalischen Inhalten ist dies wohl am sinnvollsten über die Bearbeitung und das Nachvollziehen geeigneter, gut gewählter Beispiele umsetzbar. Diesem Gedanken liegt jedenfalls die vorliegende Beispielsammlung zugrunde, wobei ein modularer Ansatz in der Form gewählt wurde, dass ausgehend von Grundfällen immer komplexere und umfangreichere Beispiele im Detail und ohne weitestgehendes Auslassen von Zwischenschritten dargestellt wurden. Bei der Auswahl der Beispiele wurde Bedacht darauf genommen, welche Bereiche im Bauen mit Holz aktuell sind, wohingegen mittlerweile weniger oft eingesetzte Konstruktionen weniger intensiv behandelt oder überhaupt vernachlässigt wurden. Zur Vermeidung von Ablenkungen sind die Beispiele nur spärlich, und nur dort kommentiert, wo es unumgänglich erschien.

Die verwendeten Bezeichnungen nehmen weitestgehend Bezug auf jene in ÖNORM EN 1995-1-1 [1] und ÖNORM B 1995-1-1 [2] bzw. sonstige vorliegende Normen und Regelwerke. In Beispielen bei denen keine Gefahr von Fehlinterpretationen entstehen kann, wurde in den Gleichungen z. T. auf eine präzise Indizierung zugunsten einer besseren Lesbarkeit verzichtet. Der Zusammenhang mit dem, ebenfalls vom IHBV herausgegebenen „Tabellenwerk zur Nachweisführung von Holzbauteilen nach ÖNORM EN 1991-1-1 und ÖNORM B 1995-1-1“ [13] wurde durch die, am rechten Rand in abweichender Farbmarkierung angeführten Verweise hergestellt.

Die Verfasser bedanken sich bei Univ.-Prof. DI Dr. Gerhard SCHICKHOFER und DI Alen MALAGIĆ für die Durchsicht des Manuskripts und das Beisteuern wertvoller Hinweise zur Beseitigung inhaltlicher und orthographischer Fehler. Ebenso soll Herrn Peter WILLATSCHEK von der Agentur Ölz GrafikDesign GmbH, Dornbirn für die gute Zusammenarbeit im Zusammenhang mit Satz und Druck dieser Publikation herzlich gedankt werden.

Graz  
September 2022

**DI Manfred Augustin**  
**holz.bau forschungs gmbh / Graz**

**DI Dominik Matzler**  
**holz.bau forschungs gmbh / Graz**

# INHALTSVERZEICHNIS

## Kapitel

### I GRUNDFÄLLE – NACHWEISE IM GRENZZUSTAND DER TRAGFÄHIGKEIT

I.1	Querschnittsnachweise	I.3 - I.11
I.2	Nachweise bei kombinierter Beanspruchung	I.12 - I.15
I.3	Bauteilnachweise (Stabilitätsnachweise)	I.16 - I.24

### II GRUNDFÄLLE – NACHWEISE IM BRANDFALL

II.1	Nachweisführung für Bauteile aus Voll- und Brettschichtholz	II.3 - II.6
II.2	Nachweisführung für Bauteile aus Brettsperrholz	II.7 - II.10

### III GRUNDFÄLLE – NACHWEISE IM GRENZZUSTAND DER GEBRAUCHSTAUGLICHKEIT

III.1	Durchbiegung	III.3 - III.17
III.2	personeninduzierte Schwingungen von Wohnungsdecken	III.18 - III.22

### IV VERBINDUNGEN

IV.1	zimmermannsmässige Verbindungen	IV.3 - IV.4
IV.2	ingenieurmässige Verbindungen	IV.5 - IV.25

### V NACHWEISFÜHRUNG SPEZIELLER DETAILS

V.1	Ausklinkungen	V.3 - V.5
V.2	Querkraftanschluss an einen Biegestab	V.6 - V.9
V.3	unverstärkter Rechteckdurchbruch	V.9 - V.12

### VI SANIERUNGS-/VERSTÄRKUNGSMASSNAHMEN

VI.1	Verstärkung eines Auflagers	VI.3 - VI.4
VI.2	Verstärkung einer Ausklinkung	VI.5 - VI.7
VI.3	Verstärkung eines Queranschlusses	VI.7 - VI.8
VI.4	Verstärkung eines runden Durchbruches	VI.9 - VI.16

### VII TRÄGER MIT ANGESCHNITTENEN UND GEKRÜMMTEN RÄNDERN

VII.1	Pultdachträger	VII.4 - VII.6
VII.2	Satteldachträger mit geradem Untergurt	VII.7 - VII.13
VII.3	gekrümpter Träger mit lose aufgesatteltem Firstkeil	VII.14 - VII.22

### VIII HOLZBAUTEILE UND -KOMPONENTEN

VIII.1	nachgiebig verdübelter Balken aus Vollholz	VIII.3 - VIII.10
VIII.2	Holz-Beton-Verbund Deckenkonstruktion	VIII.11 - VIII.28

### IX HOLZBAUSYSTEME

IX.1	Aussteifungsberechnung	IX.3 - IX.25
IX.2	Halle	IX.26 - IX.57

### Literaturverzeichnis

L.3 - L.4

### Anhang

A.3 - A.14



### KAPITEL I

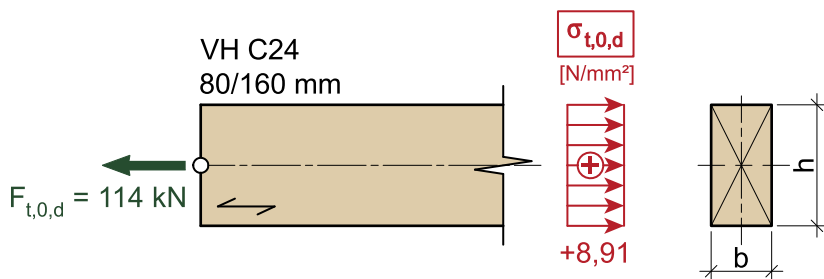
#### **GRUNDFÄLLE – NACHWEISE IM GRENZZUSTAND DER TRAGFÄHIGKEIT**

---

I.1	Querschnittsnachweise	I.3 - I.11
I.2	Nachweise bei kombinierter Beanspruchung	I.12 - I.15
I.3	Bauteilnachweise (Stabilitätsnachweise)	I.16 - I.24

## I.1 QUERSCHNITTSNACHWEISE

### I.1.1 ZUG IN FASERRICHTUNG



**gegeben:**

Schnittlast:  $F_{t,0,d} = 114 \text{ kN}$   
 Abmessungen:  $b/h = 80/160 \text{ mm}$   
 Material: VH C24  
 Nutzungsklasse: NKL 2  
 KLED: „kurz“

**Baustoffkenngrößen**

charakteristischer Wert der Zugfestigkeit:  $f_{t,0,k} = 14,5 \text{ N/mm}^2$   
 Modifikationsbeiwert:  $k_{mod} = 0,90$   
 Teilsicherheitsbeiwert:  $\gamma_M = 1,30$

Tab. III.7

Tab. III.5

Tab. III.3

Bemessungswert der Zugfestigkeit

$$f_{t,0,d} = k_{mod} \cdot \frac{f_{t,0,k}}{\gamma_M} = 0,90 \cdot \frac{14,5}{1,30} = 10,0 \text{ N/mm}^2$$

Tab. III.9

**Querschnittswert**

$$A = b \cdot h = 80,0 \cdot 160 = 1,28 \cdot 10^4 \text{ mm}^2$$

Tab. A.3

**Nachweisführung**

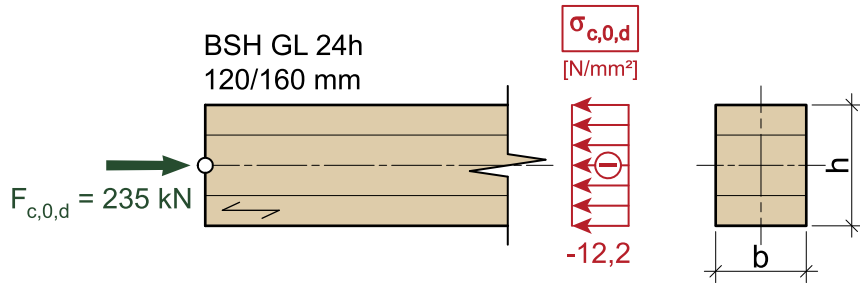
Normalspannung

$$\sigma_{t,0,d} = \frac{F_{t,0,d}}{A} = \frac{114 \cdot 10^3}{1,28 \cdot 10^4} = 8,91 \text{ N/mm}^2$$

Nachweis

$$\frac{\sigma_{t,0,d}}{f_{t,0,d}} = \frac{8,91}{10,0} = 0,89 < 1$$

## I.1.2. DRUCK IN FASERRICHTUNG (ohne Stabilitätsgefahr)

**gegeben:**

Schnittlast:  $F_{t,0,d} = 235 \text{ kN}$   
 Abmessungen:  $b/h = 120/160 \text{ mm}$   
 Material: BSH GL 24h  
 Nutzungsklasse: NKL 1  
 KLED: „mittel“

**Baustoffkenngrößen**

charakteristischer Wert der Druckfestigkeit:  $f_{c,0,g,k} = 24,0 \text{ N/mm}^2$   
 Modifikationsbeiwert:  $k_{\text{mod}} = 0,80$   
 Teilsicherheitsbeiwert:  $\gamma_M = 1,25$

Tab. III.14  
 Tab. III.5  
 Tab. III.3

Bemessungswert der Druckfestigkeit

$$f_{c,0,g,d} = k_{\text{mod}} \cdot \frac{f_{c,0,g,k}}{\gamma_M} = 0,80 \cdot \frac{24,0}{1,25} = 15,4 \text{ N/mm}^2$$

Tab. III.15

**Querschnittswert**

$$A = b \cdot h = 120 \cdot 160 = 1,92 \cdot 10^4 \text{ mm}^2$$

Tab. A.3

**Nachweisführung**

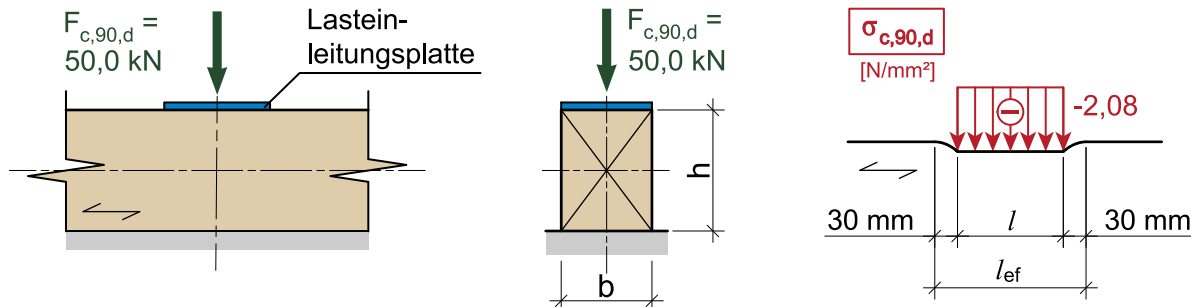
Normalspannung

$$\sigma_{c,0,d} = \frac{F_{c,0,d}}{A} = \frac{235 \cdot 10^3}{1,92 \cdot 10^4} = 12,2 \text{ N/mm}^2$$

Nachweis

$$\frac{\sigma_{c,0,d}}{f_{c,0,g,d}} = \frac{12,2}{15,4} = 0,79 < 1$$

**I.1.3. DRUCK RECHTWINKLIG ZUR FASERRICHTUNG DES HOLZES**



**gegeben:**

Schnittlast:  $F_{t,90,d} = 50,0 \text{ kN}$   
 Aufstandslänge:  $l = 140 \text{ mm}$   
 Abmessungen:  $b/h = 120/160 \text{ mm}$   
 Material: VH C24  
 Nutzungsklasse: NKL 2  
 KLED: „kurz/sehr kurz“

**Baustoffkenngrößen**

charakteristischer Wert der Querdruckfestigkeit:  $f_{c,90,k} = 2,50 \text{ N/mm}^2$   
 Modifikationsbeiwert:  $k_{mod} = 1,00$   
 Teilsicherheitsbeiwert:  $\gamma_M = 1,30$

Tab. III.7

Tab. III.5

Tab. III.3

Bemessungswert der Querdruckfestigkeit

$$f_{c,90,d} = k_{mod} \cdot \frac{f_{c,90,k}}{\gamma_M} = 1,00 \cdot \frac{2,50}{1,30} = 1,92 \text{ N/mm}^2$$

Tab. III.9

**Querschnittswert**

zweiseitiger Einhängeeffekt

$$A_{ef} = b \cdot l_{ef} = b \cdot (l + 2 \cdot 30 \text{ mm}) = 120 \cdot (140 + 2 \cdot 30) = 2,40 \cdot 10^4 \text{ mm}^2$$

**Nachweisführung**

Querdruckspannung

$$\sigma_{c,90,d} = \frac{F_{c,90,d}}{A_{ef}} = \frac{50,0 \cdot 10^3}{2,40 \cdot 10^4} = 2,08 \text{ N/mm}^2$$

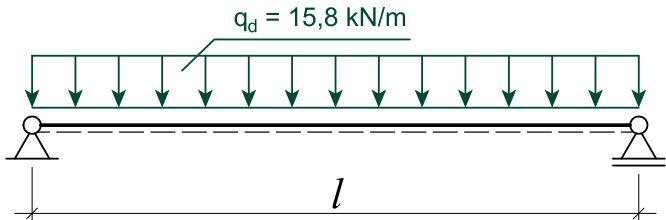
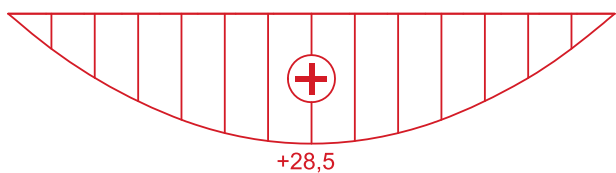
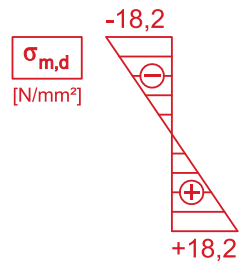
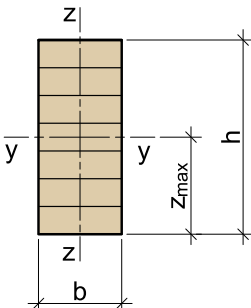
Nachweis

$k_{c,90}$ -Beiwert für VH aus Nadelholz bei kontinuierlicher Unterstützung mit  $l_1 \geq 2 \cdot h$  (mit  $l_1$  als Abstand allfällig weiterer Krafteinleitungen; siehe [1], Bild 6.2):

$$\rightarrow k_{c,90} = 1,25$$

$$\frac{\sigma_{c,90,d}}{k_{c,90} \cdot f_{c,90,d}} = \frac{2,08}{1,25 \cdot 1,92} = 0,87 < 1$$

## I.1.4. BIEGUNG

 $[M_d] \text{ [kNm]}$ BSH GL 24h  
120/280 mm**gegeben:**Streckenlast:  $q_d = 15,8 \text{ kN/m}$ Spannweite:  $l = 3,80 \text{ m}$ Abmessungen:  $b/h = 120/280 \text{ mm}$ 

Material: BSH GL 24h

Nutzungsklasse: NKL 1

KLED: „kurz“

**Schnittgrößen**

Moment in Feldmitte

$$M_d = \frac{q_d \cdot l^2}{8} = \frac{15,8 \cdot 3,80^2}{8} = 28,5 \text{ kNm}$$

**Baustoffkenngrößen**charakteristischer Wert der Biegefestigkeit:  $f_{m,g,k} = 24,0 \text{ N/mm}^2$ 

Tab. III.18

Modifikationsbeiwert:  $k_{\text{mod}} = 0,90$ 

Tab. III.5

Teilsicherheitsbeiwert:  $\gamma_M = 1,25$ 

Tab. III.3

Bemessungswert der Biegefestigkeit

$$f_{m,g,d} = k_{\text{mod}} \cdot f_{m,g,k} = 0,90 \cdot \frac{24,0}{1,25} = 17,3 \text{ N/mm}^2$$

Tab. III.19

**Querschnittswert**

$$W = \frac{b \cdot h^2}{6} = \frac{120 \cdot 280^2}{6} = 1,57 \cdot 10^6 \text{ mm}^3$$

Tab. A.3

**Nachweisführung**

Biegespannung

$$\sigma_{m,d} = \frac{M_d}{W} = \frac{28,5 \cdot 10^6}{1,57 \cdot 10^6} = 18,2 \text{ N/mm}^2$$

Nachweis

$$\frac{\sigma_{m,d}}{f_{m,g,d}} = \frac{18,2}{17,3} = 1,05 > 1$$

Nachweis nicht erfüllt!

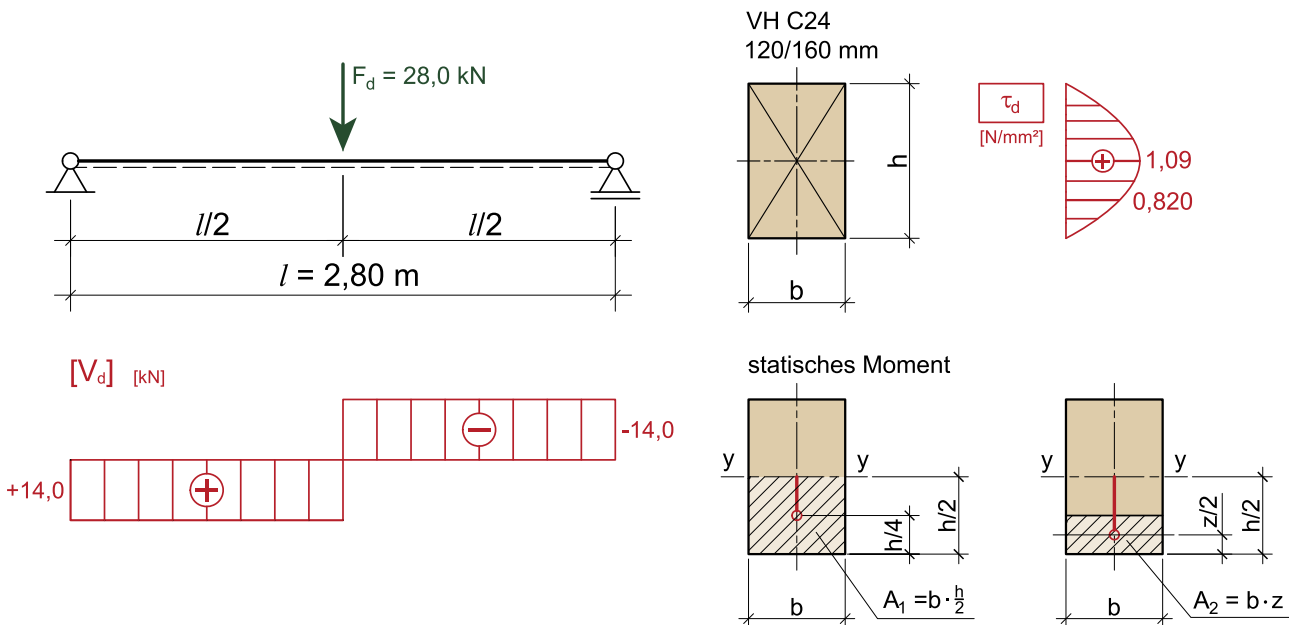
Nachweisführung mit Berücksichtigung des Höheneffektes

$$k_h = \min \left\{ \left( \frac{600}{h} \right)^{0,1}, \frac{1,1}{1,1} \right\} = \min \left\{ \left( \frac{600}{280} \right)^{0,1}, 1,08 \right\} = 1,08$$

Nachweis

$$\frac{\sigma_{m,d}}{k_h \cdot f_{m,g,d}} = \frac{18,2}{1,08 \cdot 17,3} = 0,97 < 1$$

### I.1.5. SCHUB



**gegeben:**

- Einzellast:  $F_d = 28,0 \text{ kN}$   
 Spannweite:  $l = 2,80 \text{ m}$   
 Abmessungen:  $b/h = 120/160 \text{ mm}$   
 Material: VH C24  
 Nutzungsklasse: NKL 2  
 KLED: „lang“

### Schnittgrößen

Querkraft am Auflager

$$V_d = \frac{F_d}{2} = \frac{28,0}{2} = 14,0 \text{ kN}$$

### Baustoffkenngrößen

- charakteristischer Wert der Schubfestigkeit:  $f_{v,k} = 2,30 \text{ N/mm}^2$   
 Modifikationsbeiwert:  $k_{mod} = 0,70$   
 Teilsicherheitsbeiwert:  $\gamma_M = 1,30$

Tab. III.7

Tab. III.5

Tab. III.3

Bemessungswert der Schubfestigkeit

$$f_{v,d} = k_{mod} \cdot \frac{f_{v,k}}{\gamma_M} = 0,70 \cdot \frac{2,30}{1,30} = 1,24 \text{ N/mm}^2$$

Tab. III.9

**Querkraft am Auflager**

$$A = b \cdot h = 120 \cdot 160 = 1,92 \cdot 10^4 \text{ mm}^2$$

Tab.A.3

**Nachweisführung**

Berechnung der Schubspannung mit der „Dübelformel“

$$\tau_d = \frac{V_d \cdot S}{I \cdot b} \quad \text{mit} \quad S = b \cdot \frac{h}{2} \cdot \left( \frac{h}{2} - \frac{h}{4} \right) = 120 \cdot \frac{160}{2} \cdot \left( \frac{160}{2} - \frac{160}{4} \right) = 3,84 \cdot 10^5 \text{ mm}^3 \quad \text{und} \quad I = \frac{b \cdot h^3}{12} = \frac{120 \cdot 160^3}{12} = 4,10 \cdot 10^7 \text{ mm}^4$$

$$\tau_d = \frac{V_d \cdot S}{I \cdot b} = \frac{14,0 \cdot 10^3 \cdot 3,84 \cdot 10^5}{4,10 \cdot 10^7 \cdot 120} = 1,09 \text{ N/mm}^2$$

bzw. für einen Rechteckquerschnitt

$$\tau_d = 1,5 \cdot \frac{V_d}{A} = 1,5 \cdot \frac{14,0 \cdot 10^3}{1,92 \cdot 10^4} = 1,09 \text{ kN/mm}^2$$

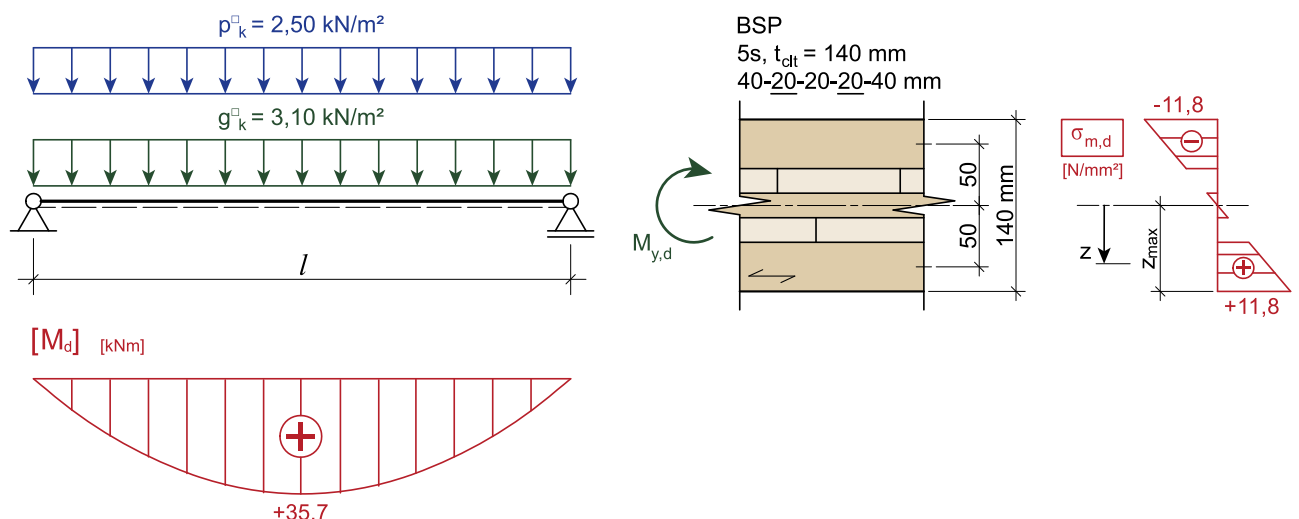
Nachweis

$$\frac{\tau_d}{f_{v,d}} = \frac{1,09}{1,24} = 0,88 < 1$$

**Ergänzung**Schubspannung in der Höhe  $z = 40,0 \text{ mm}$  von der Unterkante

$$S_2 = b \cdot z_2 \cdot \left( \frac{h}{2} - \frac{z_2}{2} \right) = 120 \cdot 40,0 \cdot \left( \frac{160}{2} - \frac{40}{2} \right) = 2,88 \cdot 10^5 \text{ mm}^3$$

$$\tau_{2,d} = \frac{V_d \cdot S}{I \cdot b} = \frac{14,0 \cdot 10^3 \cdot 2,88 \cdot 10^5}{4,10 \cdot 10^7 \cdot 120} = 0,820 \text{ N/mm}^2$$

**I.1.6. BIEGUNG BRETTSPERRHOLZ****gegeben:**

- Einwirkung: charakt. Wert der ständigen Einwirkung (inkl. Eigengewicht BSP)  
charakt. Wert der veränderlichen Einwirkung
- Spannweite:  $l = 6,00 \text{ m}$
- Aufbau: 5-schichtig (40-20-20-20-40 mm),  $t_{clt} = 140 \text{ mm}$
- Material: BSP aus Grundmaterial C24 nach EN 338
- Nutzungsklasse: NKL 1
- KLED: „mittel“
- $g_k^square = 3,10 \text{ kN/m}^2$   
 $p_k^square = 2,50 \text{ kN/m}^2$

Anmerkungen:

- a. Es wird davon ausgegangen, dass das BSP-Element so breit ist, dass mind. 8 Brettlamellen parallel wirken. Damit ergibt sich ein Faktor zur Berücksichtigung des Systemeffektes von  $k_{sys} = 1,20$  ([1], Abschnitt 6.6).
- b. Die Querlagen tragen aufgrund des großen Verhältnisses  $E_{0,mean} / E_{90,mean} \approx 30$  nur geringfügig zur Biegesteifigkeit bei. Außerdem besteht die Möglichkeit, dass in den Querlagen Schwindrisse auftreten. Daher wird der E-Modul der Querlage mit  $E_{90,mean} = 0 \text{ N/mm}^2$  berücksichtigt.

**Einwirkungskombination** für einen Plattenstreifen mit der Breite  $b = 1,00 \text{ m}$

$$q_d = (\gamma_G \cdot g_k + \gamma_Q \cdot p_k) \cdot b = (1,35 \cdot 3,10 + 1,50 \cdot 2,50) \cdot 1,00 = 7,94 \text{ kN/m}$$

**Schnittgrößen** für einen Plattenstreifen mit der Breite  $b = 1,00 \text{ m}$

Moment in Feldmitte

$$M_d = \frac{q_d \cdot l^2}{8} = \frac{7,94 \cdot 6,00^2}{8} = 35,7 \text{ kNm}$$

**Baustoffkenngrößen** nach ÖNORM B 1995-1-1, Anhang K

charakteristischer Wert der Biegefestigkeit:  $f_{m,lay,k} = k_{sys} \cdot f_{m,k} = 28,8 \text{ N/mm}^2$

Tab. III.22

E-Modul in Faserrichtung:  $E_{0,lay,mean} = 11.500 \text{ N/mm}^2$

Tab. III.22

Modifikationsbeiwert:  $k_{mod} = 0,80$

Tab. III.5

Teilsicherheitsbeiwert:  $\gamma_M = 1,25$

Tab. III.3

Bemessungswert

$$f_{m,lay,d} = k_{mod} \cdot \frac{f_{m,lay,k}}{\gamma_M} = 0,80 \cdot \frac{28,8}{1,25} = 18,4 \text{ N/mm}^2$$

### **Variante A: Berechnung der Rand-Normalspannung über die Biegesteifigkeit $K_{clt}$**

Berechnung der Biegesteifigkeit  $K_{clt}$  des 5-schichtigen Querschnitts für einen Plattenstreifen mit der Breite  $b = 1,00 \text{ m}$

$$\begin{aligned} K_{clt} &= \sum_i (E_i \cdot I_i) + \sum_i (E_i \cdot A_i \cdot e_{z,i}^2) = \\ &= \left( 11.500 \cdot 2 \cdot 1.000 \cdot \frac{40,0^3}{12} + 11.500 \cdot 1.000 \cdot \frac{20,0^3}{12} \right) + (11.500 \cdot 2 \cdot 1.000 \cdot 40,0 \cdot 50,0^2) = 2,43 \cdot 10^{12} \text{ Nmm}^2 \end{aligned}$$

Normalspannung

$$\sigma_{m,lay,d} = \frac{M_d}{K_{CLT}} \cdot E_i \cdot z_i = \frac{35,7 \cdot 10^6}{2,43 \cdot 10^{12}} \cdot 11.500 \cdot 70,0 = 11,8 \text{ N/mm}^2$$

### **Variante B: Berechnung der Rand-Normalspannung mit Hilfe der Querschnittstabellen für Brettsperrholz**

$$W_{clt,y} = 3,02 \cdot 10^6 \text{ mm}^3 \quad (\text{gültig für BSP mit gleichem E-Modul in allen Längslagen})$$

Tab. A.6

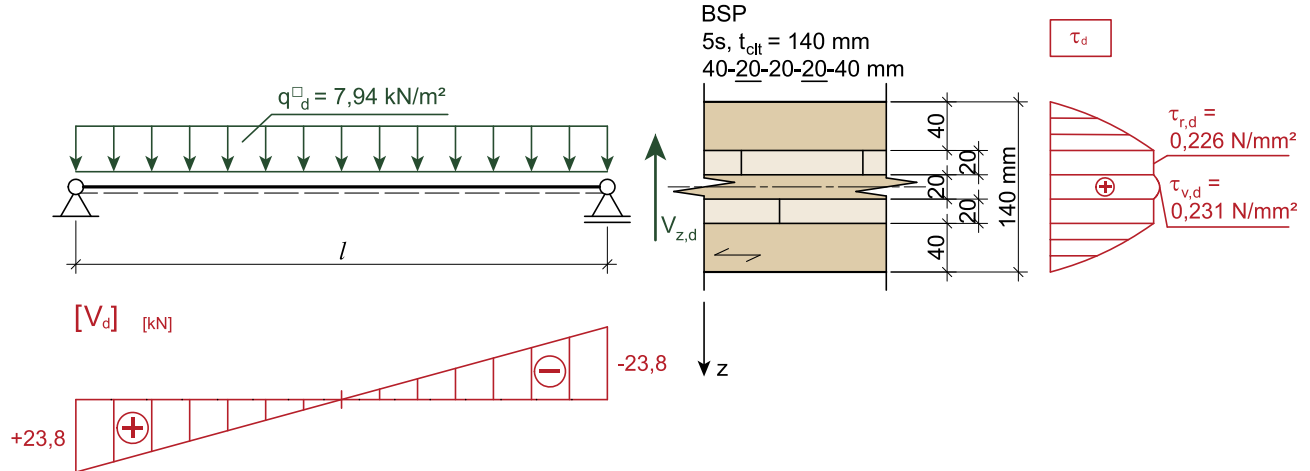
Normalspannung

$$\sigma_{m,lay,d} = \frac{M_d}{W_{clt,y}} = \frac{35,7 \cdot 10^6}{3,02 \cdot 10^6} = 11,8 \text{ N/mm}^2$$

### **Nachweisführung**

$$\frac{\sigma_{m,lay,d}}{f_{m,lay,d}} = \frac{11,8}{18,4} = 0,64 < 1$$

## I.1.7. SCHUB BRETTSPERRHOLZ

**gegeben:**Einwirkung:  $q^{\square}_d = 7,94 \text{ kN/m}^2$ Spannweite:  $l = 6,00 \text{ m}$ Aufbau: 5-schichtig (40-20-20-20-40 mm),  $t_{clt} = 140 \text{ mm}$ 

Material: BSP aus Grundmaterial C24 nach EN 338

Nutzungsklasse: NKL 1

KLED: „mittel“

**Schnittgrößen**Querkraft am Auflager für einen Plattenstreifen mit der Breite  $b = 1,00 \text{ m}$ 

$$V_d = \frac{q^{\square}_d \cdot l}{2} \cdot b = \frac{7,94 \cdot 6,00}{2} \cdot 1,00 = 23,8 \text{ kN}$$

**Baustoffkenngrößen** nach ÖNORM B 1995-1-1, Anhang Kcharakteristischer Wert der Schubfestigkeit:  $f_{v,lay,k} = 3,50 \text{ N/mm}^2$ 

Tab. III.22

charakteristischer Wert der Rollschubfestigkeit:  $f_{r,lay,k} = 1,00 \text{ N/mm}^2$ 

Tab. III.22

E-Modul in Faserrichtung:  $E_{0,lay,mean} = 11.500 \text{ N/mm}^2$ 

Tab. III.22

Modifikationsbeiwert:  $k_{mod} = 0,80$ 

Tab. III.5

Teilsicherheitsbeiwert:  $\gamma_M = 1,25$ 

Tab. III.3

Bemessungswerte

$$f_{v,lay,d} = k_{mod} \cdot \frac{f_{v,lay,k}}{\gamma_M} = 0,80 \cdot \frac{3,50}{1,25} = 2,24 \text{ N/mm}^2$$

Tab. III.22

$$f_{r,lay,d} = k_{mod} \cdot \frac{f_{r,lay,k}}{\gamma_M} = 0,80 \cdot \frac{1,00}{1,25} = 0,640 \text{ N/mm}^2$$

Tab. III.22

**Variante A: Nachweis der Schubspannungen mit den Gleichungen der technischen Mechanik („Dübelformel“)**

Nachweis

$$\tau_d = \frac{V_d}{K_{clt} \cdot b} \cdot \sum (E_i \cdot S_i)$$

- Biegesteifigkeit  $K_{clt}$  für einen Plattenstreifen mit der Breite  $b = 1,00 \text{ m}$

$$K_{clt} = \sum(E_i \cdot I_i) + \sum(E_i \cdot A_i \cdot e_{z,i}^2) = \\ = \left( 11.500 \cdot 2 \cdot 1.000 \cdot \frac{40,0^3}{12} + 11.500 \cdot 1.000 \cdot \frac{20,0^3}{12} \right) + (11.500 \cdot 2 \cdot 1.000 \cdot 40,0 \cdot 50,0^2) = 2,43 \cdot 10^{12} \text{ Nmm}^2$$

### Ermittlung der Schubspannung

- statisches Moment

$$\sum(E_i \cdot S_i) = 11.500 \cdot 1.000 \cdot 40,0 \cdot 50,0 + 0 \cdot 1.000 \cdot 20,0 \cdot 20,0 + 11.500 \cdot 1.000 \cdot 10,0 \cdot 5,00 = 2,36 \cdot 10^{10} \text{ Nmm}$$

- Schubspannung (im Schwerpunkt)

$$\tau_{v,lay,d} = \frac{V_d}{K_{clt} \cdot b} \cdot \sum(E_i \cdot S_i) = \frac{23,8 \cdot 10^3}{2,43 \cdot 10^{12} \cdot 1.000} \cdot 2,36 \cdot 10^{10} = 0,231 \text{ N/mm}^2$$

### Ermittlung der Rollschubspannung

- statisches Moment

$$\sum(E_i \cdot S_i) = 11.500 \cdot 1.000 \cdot 40,0 \cdot 50,0 = 2,30 \cdot 10^{10} \text{ Nmm}$$

- Rollschubspannung (in der ersten Querlage)

$$\tau_{r,lay,d} = \frac{V_d}{K_{clt} \cdot b} \cdot \sum(E_i \cdot S_i) = \frac{23,8 \cdot 10^3}{2,43 \cdot 10^{12} \cdot 1.000} \cdot 2,30 \cdot 10^{10} = 0,225 \text{ N/mm}^2$$

### Variante B: Berechnung der Schubspannungen mit Hilfe von Querschnittstabellen für Brettsperrholz

#### Schubspannung

mit den Querschnittswerten  $S_1 = 205 \cdot 10^4 \text{ mm}^3$  und  $I_y = 2,11 \cdot 10^8 \text{ mm}^4$

Tab. A.6

$$\tau_{v,lay,d} = \frac{V_d \cdot S_2}{I_y \cdot b} = \frac{23,8 \cdot 10^3 \cdot 205 \cdot 10^4}{2,11 \cdot 10^8 \cdot 1.000} = 0,231 \text{ N/mm}^2$$

#### Rollschubspannung

mit den Querschnittswerten  $S_1 = 200 \cdot 10^4 \text{ mm}^3$  und  $I_y = 2,11 \cdot 10^8 \text{ mm}^4$

Tab. A.6

$$\tau_{r,lay,d} = \frac{V_d \cdot S_1}{I_y \cdot b} = \frac{23,8 \cdot 10^3 \cdot 200 \cdot 10^4}{2,11 \cdot 10^8 \cdot 1.000} = 0,226 \text{ N/mm}^2$$

#### Nachweisführung

Schubspannung

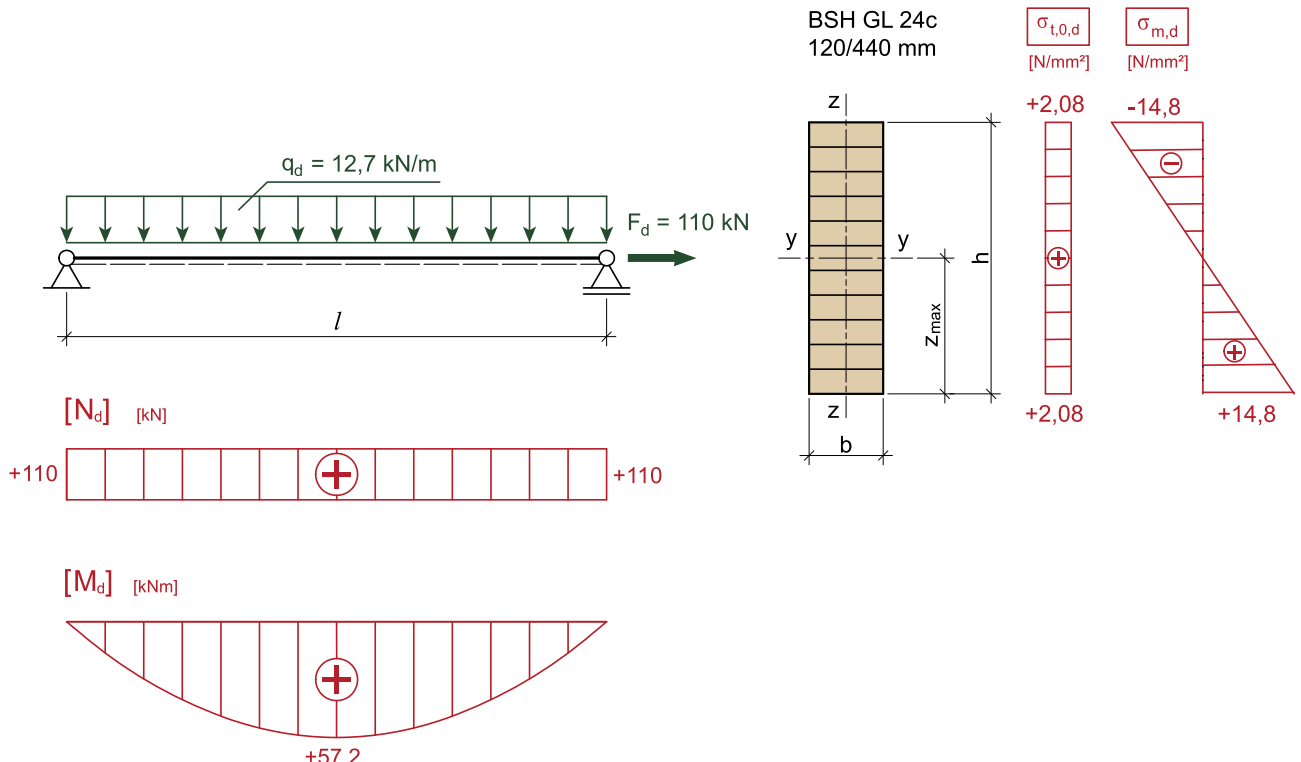
$$\frac{\tau_{v,lay,d}}{f_{v,lay,d}} = \frac{0,231}{2,24} = 0,10 < 1$$

Rollschubspannung

$$\frac{\tau_{r,lay,d}}{f_{r,lay,d}} = \frac{0,226}{0,640} = 0,35 < 1$$

## I.2 NACHWEISE BEI KOMBINIERTER BEANSPRUCHUNG

### I.2.1. BIEGUNG MIT LÄNGSKRAFT (ZUG)



**gegeben:**

Einwirkungen:  $q_d = 12,7 \text{ kN/m}$ ;  $F_d = 110 \text{ kN}$   
 Spannweite:  $l = 6,00 \text{ m}$   
 Abmessungen:  $b/h 120/440 \text{ mm}$   
 Material: BSH GL 24c  
 Nutzungsklasse: NKL 2  
 KLED: „kurz/sehr kurz“

#### Schnittgrößen

Zugkraft

$$F_d = 110 \text{ kN}$$

Moment in Feldmitte

$$M_d = \frac{q_d \cdot l^2}{8} = \frac{12,7 \cdot 6,00^2}{8} = 57,2 \text{ kNm}$$

#### Baustoffkenngrößen

charakteristischer Wert der Zugfestigkeit:	$f_{t,0,g,k} = 17,0 \text{ N/mm}^2$	Tab. III.19
charakteristischer Wert der Biegefestigkeit:	$f_{m,g,k} = 24,0 \text{ N/mm}^2$	Tab. III.19
Modifikationsbeiwert:	$k_{mod} = 1,00$	Tab. III.5
Teilsicherheitsbeiwert:	$\gamma_M = 1,25$	Tab. III.3

Bemessungswerte

$$f_{t,0,g,d} = k_{mod} \cdot \frac{f_{t,0,g,k}}{\gamma_M} = 1,00 \cdot \frac{17,0}{1,25} = 13,6 \text{ N/mm}^2$$

Tab. III.19

$$f_{m,g,d} = k_{mod} \cdot \frac{f_{m,g,k}}{\gamma_M} = 1,00 \cdot \frac{24,0}{1,25} = 19,2 \text{ N/mm}^2$$

Tab. III.10

#### Querschnittswerte

$$A = b \cdot h = 120 \cdot 440 = 5,28 \cdot 10^4 \text{ mm}^2$$

Tab. A.3

$$W = \frac{b \cdot h^2}{6} = \frac{120 \cdot 440^2}{6} = 3,87 \cdot 10^6 \text{ mm}^3$$

Tab. A.3

#### Nachweisführung

Zugspannung

$$\sigma_{t,0,d} = \frac{F_d}{A} = \frac{110 \cdot 10^3}{5,28 \cdot 10^4} = 2,08 \text{ N/mm}^2$$

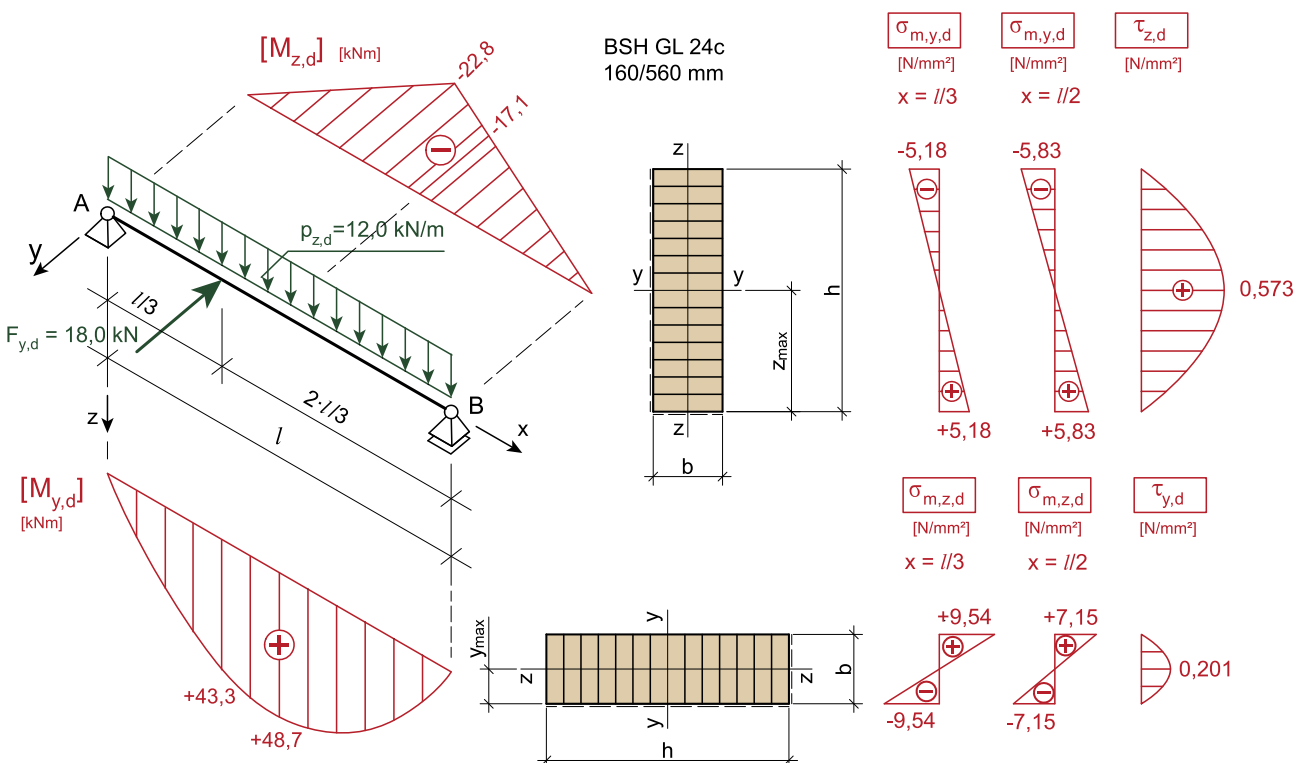
Biegespannung

$$\sigma_{m,d} = \frac{M_d}{W} = \frac{57,2 \cdot 10^6}{3,87 \cdot 10^6} = 14,8 \text{ N/mm}^2$$

Nachweis

$$\frac{\sigma_{t,0,d}}{f_{t,0,g,d}} + \frac{\sigma_{m,d}}{f_{m,g,d}} = \frac{2,08}{13,6} + \frac{14,8}{19,2} = 0,15 + 0,77 = 0,92 < 1$$

#### I.2.2. BIEGUNG UM DIE Y- UND DIE Z-ACHSE („DOPPELTE“ BIEGUNG)



**gegeben:**

Einwirkungen:  $q_{z,d} = 12,0 \text{ kN/m}$ ;  $F_{y,d} = 18,0 \text{ kN}$

Spannweite:  $l = 5,70 \text{ m}$

Abmessungen:  $b/h = 160/560 \text{ mm}$

Material: BSH GL 24c

Nutzungsklasse: NKL 1

KLED: „mittel“

**Schnittgrößen**

- in z-Richtung bzw. um die starke Achse y-y

$$A_{z,d} = B_{z,d} = \max V_{z,d} = \frac{q_{z,d} \cdot l}{2} = \frac{12,0 \cdot 5,70}{2} = 34,2 \text{ kN}$$

$$M_{y,d}(x = l/3) = A_{z,d} \cdot x - \frac{p_{z,d} \cdot x^2}{2} = 34,2 \cdot 1,90 - \frac{12,0 \cdot 1,90^2}{2} = 43,3 \text{ kNm}$$

$$M_{y,d}(x = l/2) = \frac{p_{z,d} \cdot l^2}{8} = \frac{12,0 \cdot 5,70^2}{8} = 48,7 \text{ kN}$$

- in y-Richtung bzw. um die schwache Achse z-z

$$A_{y,d} = \max V_{y,d} = \frac{1}{l} \cdot \left[ -F_{y,d} \cdot \left( l - \frac{l}{3} \right) \right] = \frac{1}{5,70} \cdot \left[ -18,0 \cdot \left( 5,70 - \frac{5,70}{3} \right) \right] = -12,0 \text{ kN}$$

$$B_{y,d} = \frac{1}{l} \left( -F_{y,d} \cdot \frac{l}{3} \right) = \frac{1}{5,70} \cdot \left( -18,0 \cdot \frac{5,70}{3} \right) = -6,00 \text{ kN}$$

$$M_{z,d}(x = l/3) = A_{y,d} \cdot \frac{l}{3} = -12,0 \cdot \frac{5,70}{3} = -22,8 \text{ kNm}$$

$$M_{z,d}(x = l/2) = B_{y,d} \cdot \frac{l}{2} = -6,00 \cdot \frac{5,70}{2} = -17,1 \text{ kNm}$$

**Baustoffkenngrößen**

charakteristischer Wert der Biegefestigkeit:  $f_{m,g,k} = 24,0 \text{ N/mm}^2$

Tab. III.19

charakteristischer Wert der Schubfestigkeit:  $f_{v,k} = 2,50 \text{ N/mm}^2$

Tab. III.19

Modifikationsbeiwert:  $k_{mod} = 0,80$

Tab. III.5

Teilsicherheitsbeiwert:  $\gamma_M = 1,25$

Tab. III.3

Bemessungswerte

$$f_{m,g,d} = k_{mod} \cdot \frac{f_{m,g,k}}{\gamma_M} = 0,80 \cdot \frac{24,0}{1,25} = 15,4 \text{ N/mm}^2$$

Tab. III.19

$$f_{v,g,d} = k_{mod} \cdot \frac{f_{v,g,k}}{\gamma_M} = 0,80 \cdot \frac{2,50}{1,25} = 1,60 \text{ N/mm}^2$$

Tab. III.19

**Querschnittswerte**

$$A = b \cdot h = 160 \cdot 560 = 8,96 \cdot 10^4 \text{ mm}^2$$

Tab. A.3

$$W_y = \frac{b \cdot h^2}{6} = \frac{160 \cdot 560^2}{6} = 8,36 \cdot 10^6 \text{ mm}^3$$

Tab. A.3

$$W_z = \frac{b^2 \cdot h}{6} = \frac{160^2 \cdot 560}{6} = 2,39 \cdot 10^6 \text{ mm}^3$$

Tab. A.3

### Nachweisführung

Biegespannungen

- an der Stelle  $x = l/3$

$$\sigma_{m,y,d}(x=l/3) = \frac{M_{y,d}(x=l/3)}{W_y} = \frac{43,3 \cdot 10^6}{8,36 \cdot 10^6} = 5,18 \text{ N/mm}^2$$

$$\sigma_{m,z,d}(x=l/3) = \frac{|M_{z,d}(x=l/3)|}{W_z} = \frac{|-22,8 \cdot 10^6|}{2,39 \cdot 10^6} = 9,54 \text{ N/mm}^2$$

- an der Stelle  $x = l/2$

$$\sigma_{m,y,d}(x=l/2) = \frac{M_{y,d}(x=l/2)}{W_y} = \frac{48,7 \cdot 10^6}{8,36 \cdot 10^6} = 5,83 \text{ N/mm}^2$$

$$\sigma_{m,z,d}(x=l/2) = \frac{|M_{z,d}(x=l/2)|}{W_z} = \frac{|-17,1 \cdot 10^6|}{2,39 \cdot 10^6} = 7,15 \text{ N/mm}^2$$

Schubspannungen

- beim Auflager A

$$\tau_{z,d} = 1,5 \cdot \frac{V_{z,d}}{A} = 1,5 \cdot \frac{34,2 \cdot 10^3}{8,96 \cdot 10^4} = 0,573 \text{ N/mm}^2$$

$$\tau_{y,d} = 1,5 \cdot \frac{|V_{y,d}|}{A} = 1,5 \cdot \frac{|-12,0 \cdot 10^3|}{8,96 \cdot 10^4} = 0,201 \text{ N/mm}^2$$

### Nachweisführung

Biegenachweis

- an der Stelle  $x = l/3$

$$\frac{\sigma_{m,y,d}}{f_{m,g,d}} + k_m \cdot \frac{\sigma_{m,z,d}}{f_{m,g,d}} = \frac{5,18}{15,4} + 0,7 \cdot \frac{9,54}{15,4} = 0,336 + 0,7 \cdot 0,619 = 0,77 < 1$$

$$k_m \cdot \frac{\sigma_{m,y,d}}{f_{m,g,d}} + \frac{\sigma_{m,z,d}}{f_{m,g,d}} = 0,7 \cdot \frac{5,18}{15,4} + \frac{9,54}{15,4} = 0,7 \cdot 0,336 + 0,619 = 0,85 < 1$$

- an der Stelle  $x = l/2$

$$\frac{\sigma_{m,y,d}}{f_{m,g,d}} + k_m \cdot \frac{\sigma_{m,z,d}}{f_{m,g,d}} = \frac{5,83}{15,4} + 0,7 \cdot \frac{7,15}{15,4} = 0,379 + 0,7 \cdot 0,464 = 0,70 < 1$$

$$k_m \cdot \frac{\sigma_{m,y,d}}{f_{m,g,d}} + \frac{\sigma_{m,z,d}}{f_{m,g,d}} = 0,7 \cdot \frac{5,83}{15,4} + \frac{7,15}{15,4} = 0,7 \cdot 0,379 + 0,464 = 0,73 < 1$$

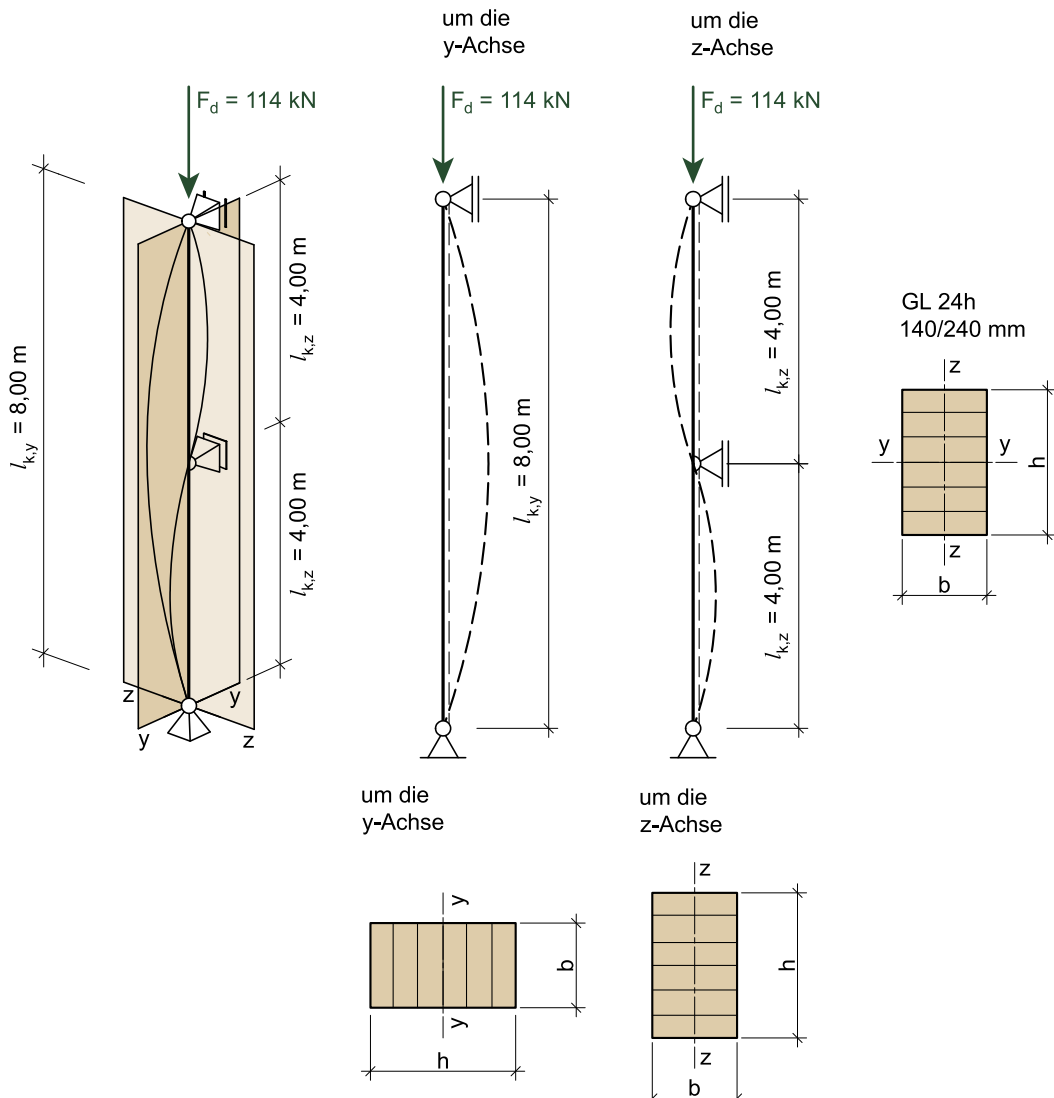
Schubnachweis

- beim Auflager A

$$\left( \frac{\tau_{z,d}}{f_{v,g,d}} \right)^2 + \left( \frac{\tau_{y,d}}{f_{v,g,d}} \right)^2 = \left( \frac{0,573}{1,60} \right)^2 + \left( \frac{0,201}{1,60} \right)^2 = 0,128 + 0,0158 = 0,14 < 1$$

## I.3 BAUTEILNACHWEISE (STABILITÄTSNACHWEISE)

### I.3.1. KNICKEN EINES DRUCKSTABES NACH DEM ERSATZSTABVERFAHREN



**gegeben:**

- Einwirkung:  $N_d = F_d = 114 \text{ kN}$   
 Knicklängen:  $l_{k,y} = 8,00 \text{ m}; l_{k,z} = 4,00 \text{ m}$   
 Abmessungen:  $b/h = 140/240 \text{ mm}$   
 Material: BSH GL 24h  
 Nutzungsklasse: NKL 1  
 KLED: „mittel“

#### Baustoffkenngrößen

charakteristischer Wert der Druckfestigkeit:	$f_{c,0,g,k} = 24,0 \text{ N/mm}^2$	Tab. III.14
E-Modul in Faserrichtung:	$E_{0,g,mean} = 11.500 \text{ N/mm}^2$	Tab. III.14
Modifikationsbeiwert:	$k_{mod} = 0,80$	Tab. III.5
Teilsicherheitsbeiwert:	$\gamma_M = 1,25$	Tab. III.3

Bemessungswerte

$$f_{c,0,g,d} = k_{mod} \cdot \frac{f_{c,0,g,k}}{\gamma_M} = 0,80 \cdot \frac{24,0}{1,25} = 15,4 \text{ N/mm}^2$$

Tab. III.15

$$E_{0,g,05} = \frac{5}{6} \cdot E_{0,g,mean} = \frac{5}{6} \cdot 11.500 = 9.583 \text{ N/mm}^2 \approx 9.600 \text{ N/mm}^2$$

Tab. III.15

**Querschnittswert**

$$A = b \cdot h = 140 \cdot 240 = 3,36 \cdot 10^4 \text{ mm}^2$$

Tab. A.3

**Berechnung Schlankheitsgrade**

$$\lambda_y = \frac{l_{k,y}}{i_y} = \frac{l_{k,y}}{0,289 \cdot h} = \frac{8.000}{0,289 \cdot 240} = 115 \quad \rightarrow \text{maßgebend}$$

$$\lambda_z = \frac{l_{k,z}}{i_z} = \frac{l_{k,z}}{0,289 \cdot b} = \frac{4.000}{0,289 \cdot 140} = 98,9$$

### **Variante A: Knicknachweis mit den Gleichungen aus EN 1995-1-1:2019 [1]**

Für den Knicknachweis ist die größere Schlankheit maßgebend. Folglich ist der Nachweis im vorliegenden Fall um die Achse y-y zu führen.

mit dem Imperfektionsbeiwert für BSH:  $\beta_c = 0,1$

$$\lambda_{rel,y} = \frac{\lambda_y}{\pi} \cdot \sqrt{\frac{f_{c,0,g,k}}{E_{0,g,05}}} = \frac{115}{\pi} \cdot \sqrt{\frac{24,0}{9.600}} = 1,83$$

$$k_y = 0,5 \cdot \left[ 1 + \beta_c \cdot (\lambda_{rel,y} - 0,3) + \lambda_{rel,y}^2 \right] = 0,5 \cdot \left[ 1 + 0,1 \cdot (1,83 - 0,3) + 1,83^2 \right] = 2,25$$

$$k_{c,y} = \frac{1}{k_y + \sqrt{k_y^2 - \lambda_{rel,y}^2}} = \frac{1}{2,25 + \sqrt{2,25^2 - 1,83^2}} = 0,281$$

### **Variante B: Knicknachweis unter Verwendung des Tabellenwerkes**

mit der geometrischen Schlankheit:  $\lambda_y = 115 \rightarrow k_c = 0,281$

Tab. IV.47

### **Nachweisführung**

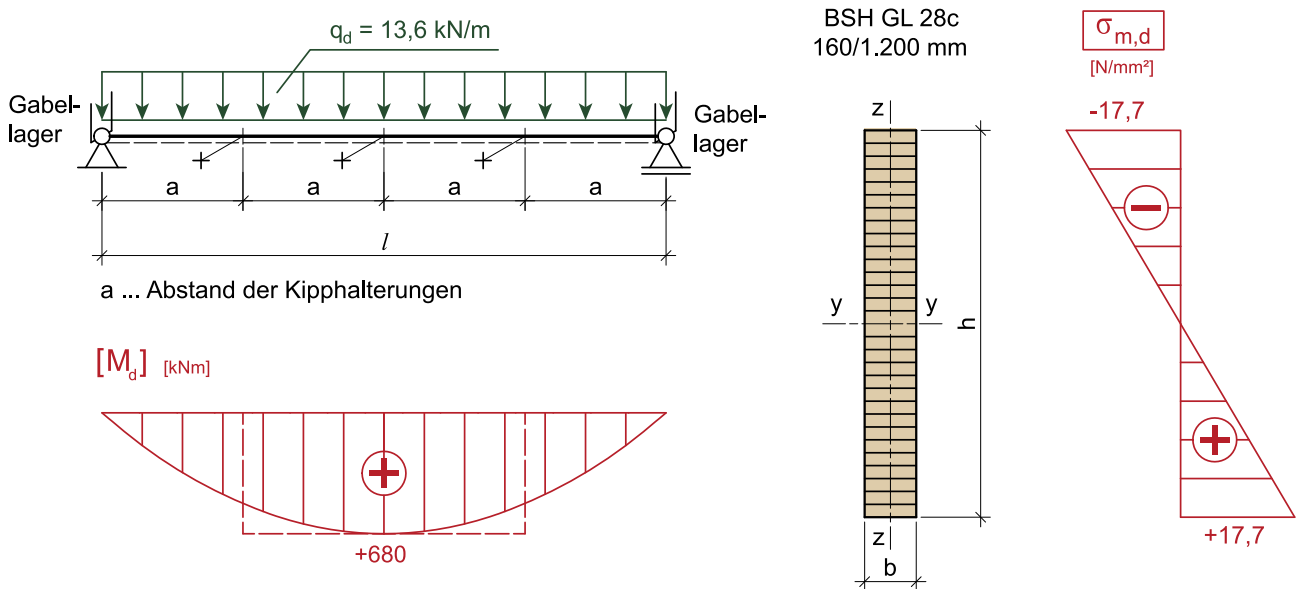
Normalspannung

$$\sigma_{c,0,d} = \frac{N_d}{A} = \frac{114 \cdot 10^3}{3,36 \cdot 10^4} = 3,39 \text{ N/mm}^2$$

Nachweis

$$\frac{\sigma_{c,0,d}}{k_{c,y} \cdot f_{c,0,g,d}} = \frac{3,39}{0,281 \cdot 15,4} = 0,78 < 1$$

I.3.2. BIEGEDRILLKNICKEN VON BIEGESTÄBEN („KIPPEN“)



**gegeben:**

Streckenlast:  $q_d = 13,6 \text{ kN/m}$   
Spannweite:  $l = 20,0 \text{ m}$   
Abstand Kipphalterungen:  $a = 5,00 \text{ m}$   
Abmessungen:  $b/h = 160/1.200 \text{ mm}$   
Material: BSH GL 28c  
Nutzungsklasse: NKL 2  
KLED: „kurz“

**Schnittgrößen**

$$M_d = \frac{q_d \cdot l^2}{8} = \frac{13,6 \cdot 20,0^2}{8} = 680 \text{ kNm}$$

**Baustoffkenngrößen**

charakteristischer Wert der Biegefestigkeit:	$f_{m,g,k} = 28,0 \text{ N/mm}^2$	Tab. III.18
E-Modul in Faserrichtung:	$E_{0,g,mean} = 12.500 \text{ N/mm}^2$	Tab. III.18
Modifikationsbeiwert:	$k_{mod} = 0,90$	Tab. III.5
Teilsicherheitsbeiwert:	$\gamma_M = 1,25$	Tab. III.3

Bemessungswerte

$$f_{m,g,d} = k_{mod} \cdot \frac{f_{m,g,k}}{\gamma_M} = 0,90 \cdot \frac{28,0}{1,25} = 20,2 \text{ N/mm}^2 \quad \text{Tab. III.20}$$

$$E_{0,g,05} = \frac{5}{6} \cdot E_{0,g,mean} = \frac{5}{6} \cdot 12.500 = 10.417 \text{ N/mm}^2 \approx 10.400 \text{ N/mm}^2 \quad \text{Tab. III.20}$$

**Querschnittswert**

$$W = \frac{b \cdot h^2}{6} = \frac{160 \cdot 1.200^2}{6} = 3,84 \cdot 10^7 \text{ mm}^3 \quad \text{Tab. A.3}$$

**Variante A: Knippnachweis mit den Gleichungen aus ÖNORM EN 1995-1-1:2019 [1]**

kritische Kippspannung

$$\sigma_{m,crit} = \frac{0,78 \cdot b^2}{l_{ef} \cdot h} \cdot E_{0,9,05} = \frac{0,78 \cdot 160^2}{\approx 0,9 \cdot 5.000 \cdot 1.200} \cdot 10.400 = 38,5 \text{ N/mm}^2$$

Anmerkung:

Es wird das kritische Feld in Feldmitte betrachtet. Weiters wird angenommen, dass dort ein näherungsweise konstantes Moment auftritt. Die Abweichung der quadratischen Spannungslinie von einem konstanten Momentenwert wird näherungsweise mit dem Faktor 0,9 berücksichtigt (siehe ÖNORM EN 1995-1-1:2019, Tab. 6.1).

relative Kippschlankheit

$$\lambda_{rel,m} = \sqrt{\frac{f_{m,g,k}}{\sigma_{m,crit}}} = \sqrt{\frac{28,0}{38,5}} = 0,853$$

Kippbeiwert (für  $0,75 < \lambda_{rel,m} < 1,4$ )

$$k_{crit} = 1,56 - 0,75 \cdot \lambda_{rel,m} = 1,56 - 0,75 \cdot 0,853 = 0,920$$

Normalspannung

$$\sigma_{m,d} = \frac{M_d}{W} = \frac{680 \cdot 10^6}{3,84 \cdot 10^7} = 17,7 \text{ N/mm}^2$$

Nachweis

$$\frac{\sigma_{m,d}}{k_{crit} \cdot f_{m,g,d}} = \frac{17,7}{0,920 \cdot 20,2} = 0,95 < 1$$

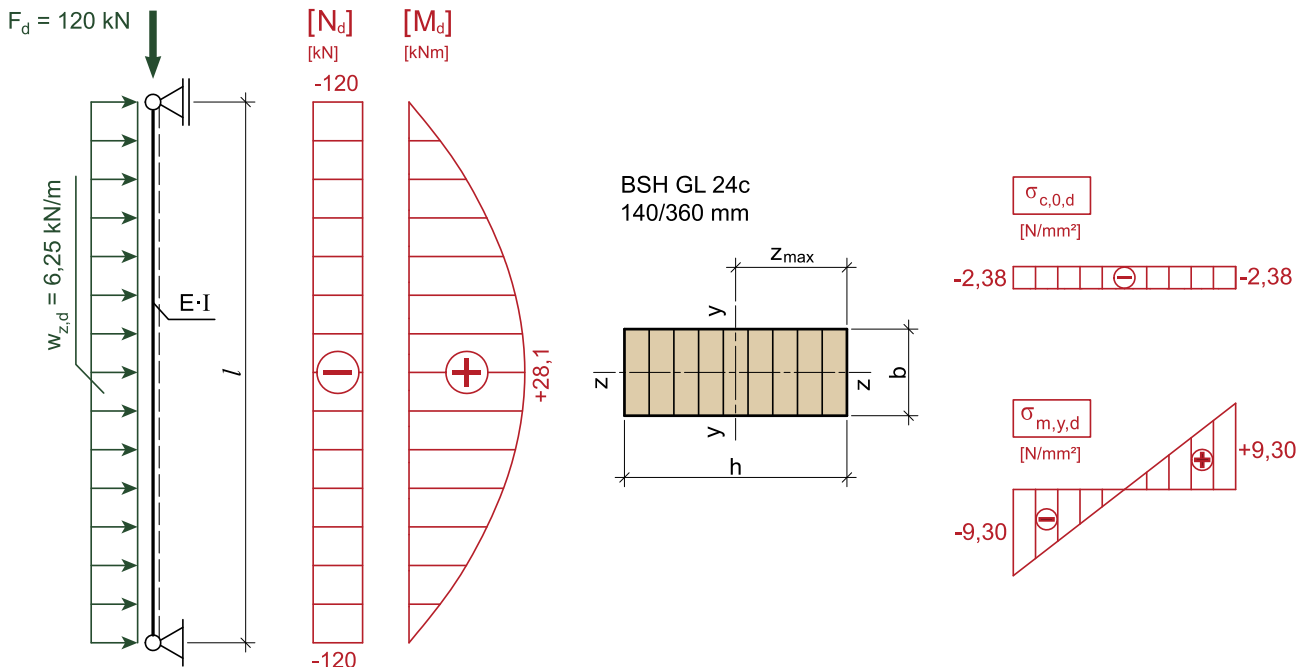
**Variante B: Knippnachweis unter Verwendung des Tabellenwerkes**

$$\frac{a \cdot h}{b^2} = \frac{\approx 0,9 \cdot 5.000 \cdot 1.200}{160^2} = 211 \quad \rightarrow \quad k_{crit} = 0,946 \text{ (interpoliert)}$$

Nachweis

$$\frac{\sigma_{m,d}}{k_{crit} \cdot f_{m,g,d}} = \frac{17,7}{0,920 \cdot 20,2} = 0,95 < 1$$

I.3.3. KNICKEN MIT BIEGUNG UM DIE STARKE ACHSE



**gegeben:**

Einwirkungen:  $w_{z,d} = 6,25 \text{ kN/m}; N_d = F_d = 120 \text{ kN}$

Spannweite:  $l_{k,y} = l_{k,z} = 6,00 \text{ m}$

Abmessungen:  $b/h = 140/360 \text{ mm}$

Material: BSH GL 24c

Nutzungsklasse: NKL 2

KLED: „kurz/sehr kurz“

**Schnittgrößen**

$$N_d = 120 \text{ kN}$$

$$M_{y,d} = \frac{w_{z,d} \cdot l^2}{8} = \frac{6,25 \cdot 6,00^2}{8} = 28,1 \text{ kNm}$$

**Baustoffkenngrößen**

charakteristischer Wert der Druckfestigkeit:  $f_{c,0,g,k} = 21,5 \text{ N/mm}^2$

Tab. III.18

charakteristischer Wert der Biegefesteitigkeit:  $f_{m,g,k} = 24,0 \text{ N/mm}^2$

Tab. III.18

Modifikationsbeiwert:  $k_{mod} = 1,00$

Tab. III.5

Teilsicherheitsbeiwert:  $\gamma_M = 1,25$

Tab. III.3

Bemessungswerte

$$f_{c,0,g,d} = k_{mod} \cdot \frac{f_{c,0,g,k}}{\gamma_m} = 1,00 \cdot \frac{21,5}{1,25} = 17,2 \text{ N/mm}^2$$

$$f_{m,g,d} = k_{mod} \cdot \frac{f_{m,g,k}}{\gamma_m} = 1,00 \cdot \frac{24,0}{1,25} = 19,2 \text{ N/mm}^2$$

**Querschnittswerte**

$$A = b \cdot h = 140 \cdot 360 = 5,04 \cdot 10^4 \text{ mm}^2$$

Tab. A.3

$$W_y = \frac{b \cdot h^2}{12} = \frac{140 \cdot 360^2}{12} = 3,02 \cdot 10^6 \text{ mm}^3$$

Tab. A.3

**Schlankheiten, Knick- und Kippbeiwerte**

- um die z-Achse

$$\lambda_z = \frac{l_{k,z}}{i_z} = \frac{l_{k,z}}{0,289 \cdot b} = \frac{6,00 \cdot 10^3}{0,289 \cdot 140} = 148 \quad \rightarrow \quad k_{c,z} = 0,183 \quad \text{Tab. IV.47}$$

Kippbeiwert

$$\frac{a \cdot b}{h^2} = \frac{6,000 \cdot 140}{360^2} = 6,48 < \left( \frac{a \cdot b}{h^2} \right)_{\text{grenz}} = 193 \quad \rightarrow \quad k_{\text{crit}} = 1,00 \quad \text{Tab. IV.52}$$

**Nachweisführung**

Normalspannung

$$\sigma_{c,0,d} = \frac{N_d}{A} = \frac{120 \cdot 10^3}{5,04 \cdot 10^4} = 2,38 \text{ N/mm}^2$$

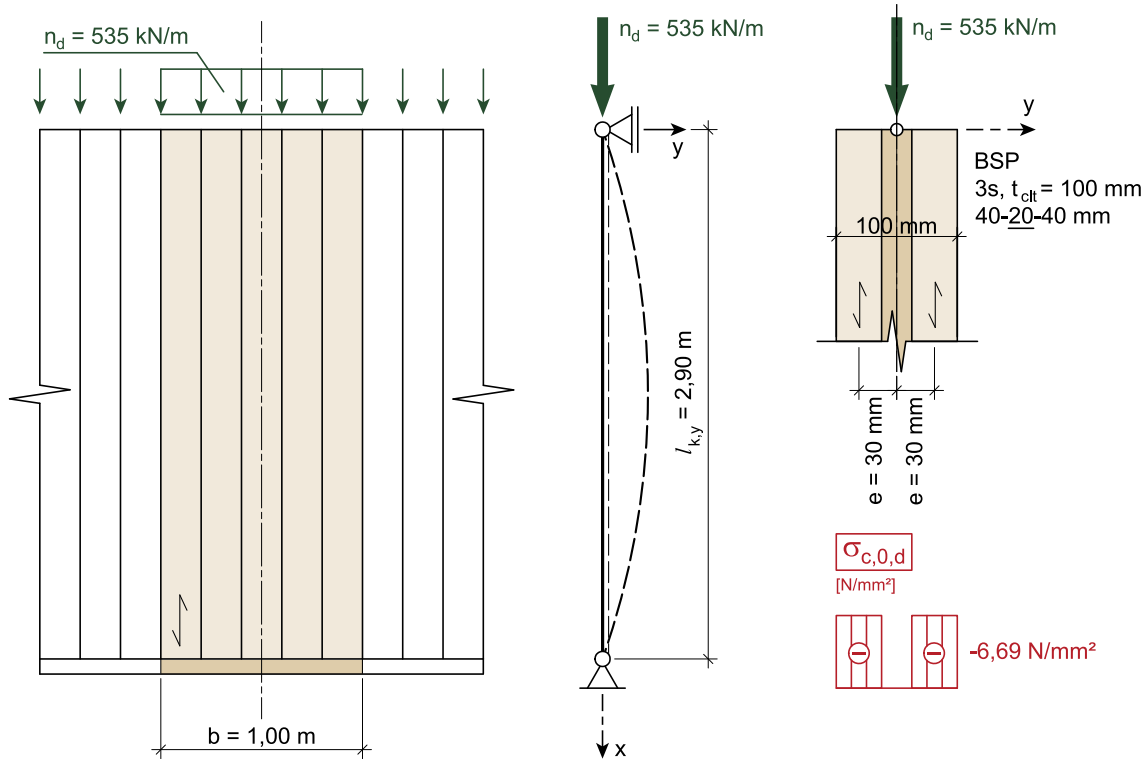
Biegespannung

$$\sigma_{m,d} = \frac{M_d}{W_y} = \frac{28,1 \cdot 10^6}{3,02 \cdot 10^6} = 9,30 \text{ N/mm}^2$$

Nachweis

$$\frac{\sigma_{c,0,d}}{k_{c,z} \cdot f_{c,0,g,d}} + \left( \frac{\sigma_{m,d}}{k_{\text{crit}} \cdot f_{m,g,d}} \right)^2 = \frac{2,38}{0,183 \cdot 17,2} + \left( \frac{9,30}{1,00 \cdot 19,2} \right)^2 = 0,756 + 0,235 = 0,99 \approx 1$$

**I.3.4. KNICKEN BRETTSPERRHOLZ**



**gegeben:**

Einzellast:  $n_d = 535 \text{ kN/m}$   
 Knicklänge:  $l_k = 2,90 \text{ m}$   
 Aufbau: 3-schichtig (40-20-40 mm),  $t_{clt} = 100 \text{ mm}$   
 Grundmaterial: BSP aus Grundmaterial C24 nach EN 338  
 Nutzungsklasse: NKL 1  
 KLED: „kurz“

**Baustoffkenngrößen** nach ÖNORM B 1995-1-1, Anhang K

Druckfestigkeit (in Faserrichtung)	$f_{c,0,lay,k} = k_{sys} \cdot f_{c,0,k} = 25,2 \text{ N/mm}^2$	Tab. III.22
E-Modul in Faserrichtung	$E_{0,lay,mean} = 11.500 \text{ N/mm}^2$	Tab. III.22
Schubmodul in Faserrichtung	$G_{0,lay,mean} = 690 \text{ N/mm}^2$	Tab. III.22
Rollschubmodul	$G_{r,lay,mean} = 65 \text{ N/mm}^2$	Tab. III.22
Modifikationsbeiwert:	$k_{mod} = 0,90$	Tab. III.5
Teilsicherheitsbeiwert:	$\gamma_M = 1,25$	Tab. III.3

Bemessungswert

$$f_{c,0,lay,d} = k_{mod} \cdot \frac{f_{c,0,lay,k}}{\gamma_M} = 0,90 \cdot \frac{25,2}{1,25} = 18,1 \text{ N/mm}^2$$

5 %-Quantilwerte der Steifigkeiten

$$E_{0,lay,05} = \frac{5}{6} \cdot E_{0,lay,mean} = \frac{5}{6} \cdot 11.500 = 9.583 \text{ N/mm}^2 \approx 9.600 \text{ N/mm}^2$$

$$G_{0,lay,05} = \frac{5}{6} \cdot G_{0,lay,mean} = \frac{5}{6} \cdot 690 = 575 \text{ N/mm}^2$$

$$G_{r,lay,05} = \frac{5}{6} \cdot G_{r,lay,mean} = \frac{5}{6} \cdot 65 = 54,2 \text{ N/mm}^2$$

### Querschnittswerte

Anmerkung:

Die Querlagen tragen aufgrund des großen Verhältnisses  $E_{0,\text{mean}} / E_{90,\text{mean}} \approx 30$  nur geringfügig zur Biegesteifigkeit bei. Außerdem besteht die Möglichkeit, dass in den Querlagen Schwindrisse auftreten. Daher wird der E-Modul der Querlage mit  $E_{90,\text{mean}} = 0 \text{ N/mm}^2$  angesetzt.

wirksame Querschnittsfläche

$$A_{\text{ef}} = \sum_i b \cdot t_i = 2 \cdot 1.000 \cdot 40,0 = 8,00 \cdot 10^4 \text{ mm}^2$$

Biegesteifigkeit

$$K_{\text{clt},05} = \sum_i (E_i \cdot I_i) + \sum_i (E_i \cdot A_i \cdot e_{z,i}^2) = 9.600 \cdot 1.000 \cdot \left( 2 \cdot \frac{40,0^3}{12} + 2 \cdot 40,0 \cdot 30,0^2 \right) = 7,94 \cdot 10^{11} \text{ Nmm}^2$$

Schubsteifigkeit

$$\kappa \approx \kappa_{10} + \frac{\kappa_{14,4} - \kappa_{10}}{4,4} \cdot \left( \frac{G_{0,\text{lay},05}}{G_{r,\text{lay},05}} - 10 \right) \approx 0,206 + \frac{0,149 - 0,206}{4,4} \cdot \left( \frac{575}{54,2} - 10 \right) \approx 0,198$$

$$S_{\text{clt},05} = \kappa \cdot \sum_i (G_i \cdot A_i) = 0,198 \cdot 1.000 \cdot (2 \cdot 575 \cdot 40,0 + 54,2 \cdot 20,0) = 9,32 \cdot 10^6 \text{ N}$$

Anmerkung:

Für den Knicknachweis einer BSP-Wand wird gelegentlich gefordert die Schubnachgiebigkeit des BSP-Aufbaues mitzuberücksichtigen, obwohl dies in ÖNORM B 1995-1-1 nicht gefordert wird. Zu Vergleichszwecken wird daher nachfolgend auch die Variante C mit Berücksichtigung der Schubnachgiebigkeit angeführt.

### Variante A: Knicknachweis mit den Gleichungen aus ÖNORM EN 1995-1-1 und ÖNORM B 1995-1-1; ohne Berücksichtigung der Schubnachgiebigkeit

$$i_{\text{clt},y} = \sqrt{\frac{K_{\text{clt},05}}{\sum_i (E_{i,05} \cdot A_i)}} = \sqrt{\frac{7,94 \cdot 10^{11}}{2 \cdot 9.600 \cdot 1.000 \cdot 40,0}} = 32,2 \text{ mm}$$

$$\lambda_{\text{clt},y} = \frac{l_k}{i_{\text{clt},y}} = \frac{2.900}{32,2} = 90,1$$

$$\lambda_{\text{rel,clt},y} = \frac{\lambda_{\text{clt},y}}{\pi} \cdot \sqrt{\frac{f_{c,0,\text{lay},k}}{E_{0,\text{lay},05}}} = \frac{90,1}{\pi} \cdot \sqrt{\frac{25,2}{9.600}} = 1,47$$

mit dem Imperfektionsbeiwert  $\beta_c = 0,2$  nach ÖNORM B 1995-1-1, Abschnitt K.6.3

$$k_{\text{clt},y} = 0,5 \cdot [1 + \beta_c \cdot (\lambda_{\text{rel,clt},y} - 0,3) + \lambda_{\text{rel,clt},y}^2] = 0,5 \cdot [1 + 0,2 \cdot (1,47 - 0,3) + 1,47^2] = 1,70$$

$$k_{c,\text{clt},y} = \frac{1}{k_{\text{clt},y} + \sqrt{k_{\text{clt},y}^2 - \lambda_{\text{rel,clt},y}^2}} = \frac{1}{1,70 + \sqrt{1,70^2 - 1,47^2}} = 0,392$$

### Nachweisführung

Normalspannung

$$\sigma_{c,0,\text{lay},d} = \frac{n_d}{A_{\text{ef}}} = \frac{535 \cdot 10^3}{8,00 \cdot 10^4} = 6,69 \text{ N/mm}^2$$

Nachweis

$$\frac{\sigma_{c,0,\text{lay},d}}{k_{c,\text{clt},y} \cdot f_{c,0,\text{lay},d}} = \frac{6,69}{0,392 \cdot 18,1} = 0,94 < 1$$

**Variante B: Knicknachweis mit dem Tabellenwerk;  
ohne Berücksichtigung der Schubnachgiebigkeit**

$$i_{clt,y} = \sqrt{\frac{K_{clt,05}}{\sum(E_{i,05} \cdot A_i)}} = \sqrt{\frac{7,94 \cdot 10^{11}}{2 \cdot 9,600 \cdot 1.000 \cdot 40,0}} = 32,2 \text{ mm}$$

$$\lambda_{clt,y} = \frac{l_k}{i_{clt,y}} = \frac{2.900}{32,2} = 90,1 \quad \rightarrow \quad k_c = 0,393$$

Tab. IV.47

**Nachweisführung**

$$\frac{\sigma_{c,0,lay,d}}{k_{c,clt,y} \cdot f_{c,0,lay,d}} = \frac{6,69}{0,393 \cdot 18,1} = 0,94 < 1$$

**Variante C: Knicknachweis mit Berücksichtigung der Schubnachgiebigkeit**

$$n_{cr} = \frac{K_{CLT,05} \cdot \pi^2}{l_k^2 \cdot \left( 1 + \frac{K_{clt,05} \cdot \pi^2}{S_{CLT,05} \cdot l_k^2} \right)} = \frac{7,94 \cdot 10^{11} \cdot \pi^2}{2.900^2 \cdot \left( 1 + \frac{7,94 \cdot 10^{11} \cdot \pi^2}{9,32 \cdot 10^6 \cdot 2.900^2} \right)} = 8,47 \cdot 10^5 \text{ N}$$

$$\lambda_{rel} = \sqrt{\frac{A_{ef} \cdot f_{c,0,lay,k}}{n_{cr}}} = \sqrt{\frac{8,00 \cdot 10^4 \cdot 25,2}{8,47 \cdot 10^5}} = 1,54$$

- mit dem Imperfektionsbeiwert  $\beta_c=0,2$

$$k = 0,5 \cdot (1 + 0,2 \cdot (1,54 - 0,3) + 1,54^2) = 1,81$$

$$k_c = \frac{1}{k + \sqrt{k^2 - \lambda_{rel}^2}} = \frac{1}{1,81 + \sqrt{1,81^2 - 1,54^2}} = 0,362$$

**Nachweis**

$$\frac{\sigma_{c,0,lay,d}}{k_{c,y} \cdot f_{c,0,lay,d}} = \frac{6,69}{0,362 \cdot 18,1} = 1,02 \approx 1$$

- mit dem Imperfektionsbeiwert  $\beta_c=0,1$

$$k = 0,5 \cdot (1 + 0,1 \cdot (1,54 - 0,3) + 1,54^2) = 1,75$$

$$k_c = \frac{1}{k + \sqrt{k^2 - \lambda_{rel}^2}} = \frac{1}{1,75 + \sqrt{1,75^2 - 1,54^2}} = 0,387$$

**Nachweis**

$$\frac{\sigma_{c,0,lay,d}}{k_{c,y} \cdot f_{c,0,lay,d}} = \frac{6,69}{0,387 \cdot 18,1} = 0,96 < 1$$



## **KAPITEL II**

### **KAPITEL II**

#### **GRUNDFÄLLE – NACHWEISE IM BRANDFALL**

---

II.1 Nachweisführung für Bauteile aus Voll- und Brettschichtholz

II.3 - II.6

II.2 Nachweisführung für Bauteile aus Brettsperrholz

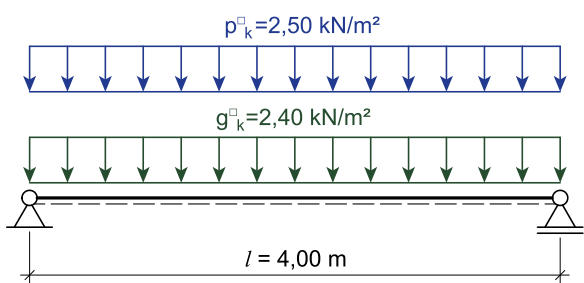
II.7 - II.10

## II.1 NACHWEISFÜHRUNG FÜR BAUTEILE AUS VOLL- UND BRETTSCHEICHTHOLZ

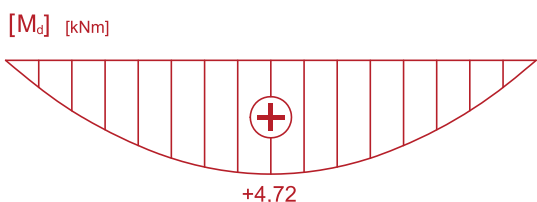
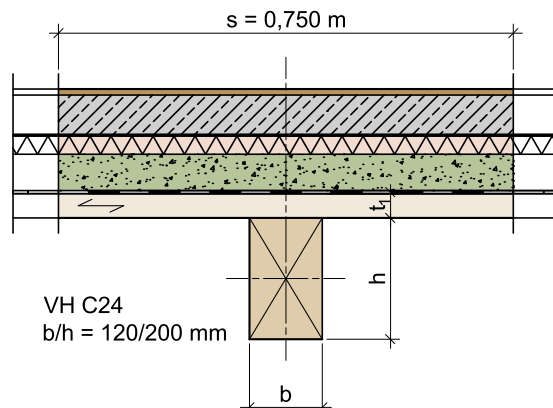
### II.1.1 DECKE AUS VOLLHOLZ MIT EINER FEUERWIDERSTANDSDAUER R 30

Berechnungsgrundlage: ÖNORM EN 1995-1-1:2011 [3] und ÖNORM B 1995-1-1:2011 [4]

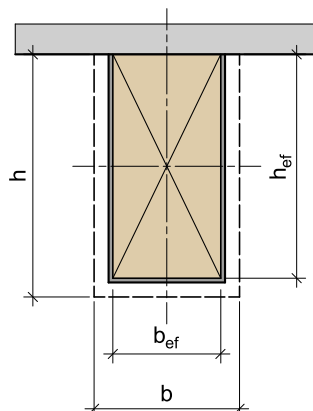
statisches System und Einwirkungen



Querschnitt



ideeller Querschnitt  
im Brandfall



#### gegeben:

Abbrand

R 30 – dreiseitiger Abbrand

Einwirkung (im Kaltzust.):

charakt. Wert der ständigen Einwirkung:  $g_k = 2,40 \text{ kN/m}^2$

charakt. Wert der veränderlichen Einwirkung:  $p_k = 2,50 \text{ kN/m}^2$

Kombinationsbeiwert:  $\psi_2 = 0,30$

Spannweite:

$l = 4,00 \text{ m}$

Abmessungen:

$b/h = 120/200 \text{ mm}$ , Achsabstand  $s = 0,75 \text{ m}$

Material:

VH C24

#### Einwirkungskombination im Brandfall

$$q_{1,0 \text{ m}; d, fi} = \left( \sum_{j \geq 1} g_{k,j} + \sum_{i \geq 1} p_{k,i} \right) \cdot b = (2,40 + 0,30 \cdot 2,50) \cdot 1,00 = 3,15 \text{ kN/m}$$

Einwirkung pro Rippe

$$q_{d,fi} = q_{1,0m;d,fi} \cdot s = 3,15 \cdot 0,75 = 2,36 \text{ kN/m}$$

zum Vergleich: mit der vereinfachten Ermittlung der Einwirkung nach ÖNORM EN 1995-1-2

$$\begin{aligned} q^d_d &= \sum_{j \geq 1} \gamma_{k,j} \cdot g^d_{k,j} + \gamma_{0,1} \cdot p^d_{k,1} + \sum_{i>1} \gamma_{0,i} \cdot \psi_{0,i} \cdot p^d_{k,i} = 1,35 \cdot 2,40 + 1,50 \cdot 2,50 = 6,99 \text{ kN/m}^2 \\ q^d_{d,fi} &= \eta_{fi} \cdot q^d_d = 0,60 \cdot 6,99 = 4,19 \text{ kN/m}^2 \end{aligned}$$

### maßgebende Schnittgröße

$$M_{d,fi} = \frac{q_{d,fi} \cdot l^2}{8} = \frac{2,36 \cdot 4,00^2}{8} = 4,72 \text{ kNm}$$

### Baustoffeigenschaften im Brandfall

charakteristischer Wert der Biegefesteitigkeit:  $f_{m,k} = 24,0 \text{ N/mm}^2$

Tab. III.5

Modifikationsbeiwert (Brand):  $k_{mod,f} = 1,00$

Tab. III.5

Teilsicherheitsbeiwert (Brand):  $\gamma_{M,fi} = 1,00$

Tab. III.3

ideelle Abbrandrate:  $\beta_n = 0,80 \text{ mm/min}$

Bemessungswert

$$f_{m,d,fi} = k_{fi} \cdot k_{mod,fi} \cdot \frac{f_{m,k}}{\gamma_{M,fi}} = 1,25 \cdot 1,00 \cdot \frac{24,0}{1,00} = 30,0 \text{ N/mm}^2$$

### Berechnung der Abbrandtiefen

$$d_{char} = \beta_0 \cdot t = 0,80 \cdot 30,0 = 24,0 \text{ mm}$$

$$d_0 = 7 \text{ mm} \quad \text{und} \quad k_0 = 1,0 \text{ für } t > 20 \text{ min}$$

$$d_{ef} = d_{char,n} + k_0 \cdot d_0 = 24,0 + 1,0 \cdot 7,00 = 31,0 \text{ mm}$$

### Berechnung der effektiven Querschnittsabmessungen und -werte

$$b_{ef} = b - 2 \cdot d_{ef} = 120 - 2 \cdot 31,0 = 58,0 \text{ mm}$$

$$h_{ef} = h - d_{ef} = 240 - 31,0 = 209 \text{ mm}$$

$$W_{ef} = \frac{b_{ef} \cdot h_{ef}^2}{6} = \frac{58,0 \cdot 209^2}{6} = 4,22 \cdot 10^5 \text{ mm}^3$$

### Nachweisführung

Biegespannung

$$\sigma_{m,fi} = \frac{M_{d,fi}}{W_{ef}} = \frac{4,72 \cdot 10^6}{4,22 \cdot 10^5} = 11,2 \text{ N/mm}^2$$

Nachweis

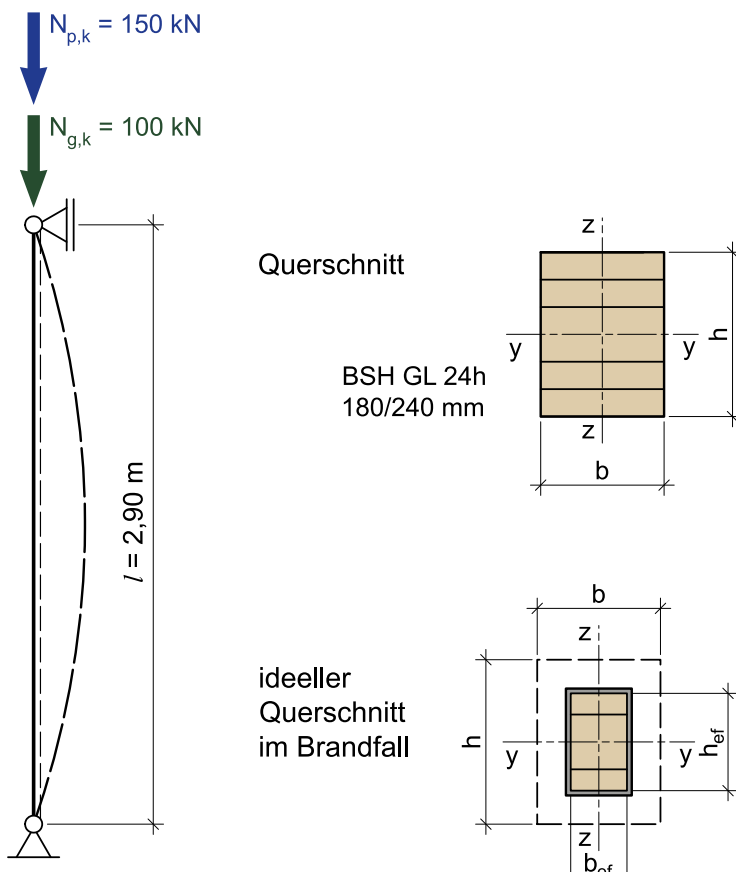
$$\frac{\sigma_{m,fi}}{f_{m,d,fi}} = \frac{11,2}{30,0} = 0,37 < 1$$

Anmerkung:

Der Schubnachweis muss gemäß ÖNORM EN 1995-1-2:2011 im Brandfall nicht geführt werden.

## II.1.2. STÜTZE AUS BRETTSCHEICHTHOLZ MIT EINER FEUERWIDERSTANDSDAUER R 60

Berechnungsgrundlage: ÖNORM EN 1995-1-1:2011 [3] und ÖNORM B 1995-1-1:2011 [4]



**gegeben:**

- Abbrand: R 60 – vierseitiger Abbrand  
 Einwirkungen:  $N_{g,k} = 100 \text{ kN}$ ;  $N_{p,k} = 150 \text{ kN}$ ,  $\psi_2 = 0,30$  (im Kaltzustand)  
 Knicklänge:  $l_k = 2,90 \text{ m}$   
 Abmessungen:  $b/h = 180/240 \text{ mm}$ ,  
 Material: BSH GL 24h

**Einwirkungskombination im Brandfall**

$$N_{d,fi} = \sum_{j \geq 1} G_{k,j} + \sum_{i \geq 1} \psi_{2,i} \cdot Q_{k,i} = 100 + 0,30 \cdot 150 = 145 \text{ kN}$$

zum Vergleich: mit der vereinfachten Ermittlung der Einwirkung nach ÖNORM EN 1995-1-2

$$N_d = \sum_{j \geq 1} \gamma_{G,j} \cdot G_{k,j} + \gamma_{Q,1} \cdot Q_{k,1} + \sum_{i \geq 1} \gamma_{Q,i} \cdot \psi_0 \cdot Q_{k,i} = 1,35 \cdot 100 + 1,50 \cdot 150 = 360 \text{ kN}$$

$$N_{d,fi} = \eta_{fi} \cdot N_d = 0,60 \cdot 360 = 216 \text{ kN}$$

**Baustoffeigenschaften im Brandfall**

- |   |  |             |
|---|--|-------------|
| charakteristischer Wert der Druckfestigkeit in FR | $f_{0,g,k} = 24,0 \text{ N/mm}^2$ (im Kaltzustand)   | Tab. III.15 |
| 5%-Quantilwert des E-Moduls in Faserrichtung:     | $E_{0,g,05} = 9.600 \text{ N/mm}^2$ (im Kaltzustand) | Tab. III.15 |
| Modifikationsbeiwert (Brand):                     | $k_{mod,fi} = 1,00$                                  | Tab. III.5  |
| Teilsicherheitsbeiwert (Brand):                   | $\gamma_{M,fi} = 1,00$                               | Tab. III.3  |
| ideelle Abbrandrate:                              | $\beta_n = 0,70 \text{ mm/min}$                      |             |

Bemessungswerte

$$f_{c,0,g,fi} = k_{fi} \cdot k_{mod,fi} \cdot \frac{f_{c,0,g,k}}{\gamma_{M,fi}} = 1,15 \cdot 1,00 \cdot \frac{24,0}{1,00} = 27,6 \text{ N/mm}^2$$

$$E_{0,g,fi} = E_{0,g,20} = k_{fi} \cdot E_{0,g,05} = 1,15 \cdot 9,600 = 11.040 \text{ N/mm}^2$$

### Berechnung der Abbrandtiefe

$$d_{char,n} = \beta_n \cdot t = 0,70 \cdot 60,0 = 42,0 \text{ mm}$$

$$d_0 = 7 \text{ mm} \quad \text{und} \quad k_0 = 1,0 \text{ für } t > 20 \text{ min}$$

### Berechnung der effektiven Querschnittsabmessungen und -werte

$$d_{ef} = d_{char,n} + k_0 \cdot d_0 = 42,0 + 1,0 \cdot 7,00 = 49,0 \text{ mm}$$

$$b_{ef} = b - 2 \cdot d_{ef} = 200 - 2 \cdot 49,0 = 102 \text{ mm}$$

$$h_{ef} = h - 2 \cdot d_{ef} = 240 - 2 \cdot 49,0 = 142 \text{ mm}$$

$$A_{ef} = b_{ef} \cdot h_{ef} = 102 \cdot 142 = 1,45 \cdot 10^4 \text{ mm}^2$$

### Knickbeiwert

$$\lambda_{y,fi} = \frac{l_k}{i_y} = \frac{l_k}{0,289 \cdot h_{ef}} = \frac{2.900}{0,289 \cdot 142} = 70,7$$

$$\lambda_{z,fi} = \frac{l_k}{i_z} = \frac{l_k}{0,289 \cdot b_{ef}} = \frac{2.900}{0,289 \cdot 102} = 98,4 \quad \rightarrow \text{ maßgebend!}$$

$$\lambda_{rel,z,fi} = \frac{\lambda_{z,fi}}{\pi} \cdot \sqrt{\frac{f_{c,0,g,fi}}{E_{0,g,fi}}} = \frac{98,4}{\pi} \cdot \sqrt{\frac{27,6}{11.040}} = 1,57$$

$$k_{z,fi} = 0,5 \cdot \left[ 1 + \beta_c \cdot (\lambda_{rel,z,fi} - 0,3) + \lambda_{rel,z,fi}^2 \right] = 0,5 \cdot \left[ 1 + 0,1 \cdot (1,57 - 0,3) + 1,57^2 \right] = 1,80$$

$$k_{c,z,fi} = \frac{1}{k_{z,fi} + \sqrt{k_{z,fi}^2 - \lambda_{rel,z,fi}^2}} = \frac{1}{1,80 + \sqrt{1,80^2 - 1,57^2}} = 0,373$$

### Nachweisführung

Druckspannung

$$\sigma_{c,0,d,fi} = \frac{N_{d,fi}}{A_{ef}} = \frac{145 \cdot 10^3}{1,45 \cdot 10^4} = 10,0 \text{ N/mm}^2$$

Nachweis

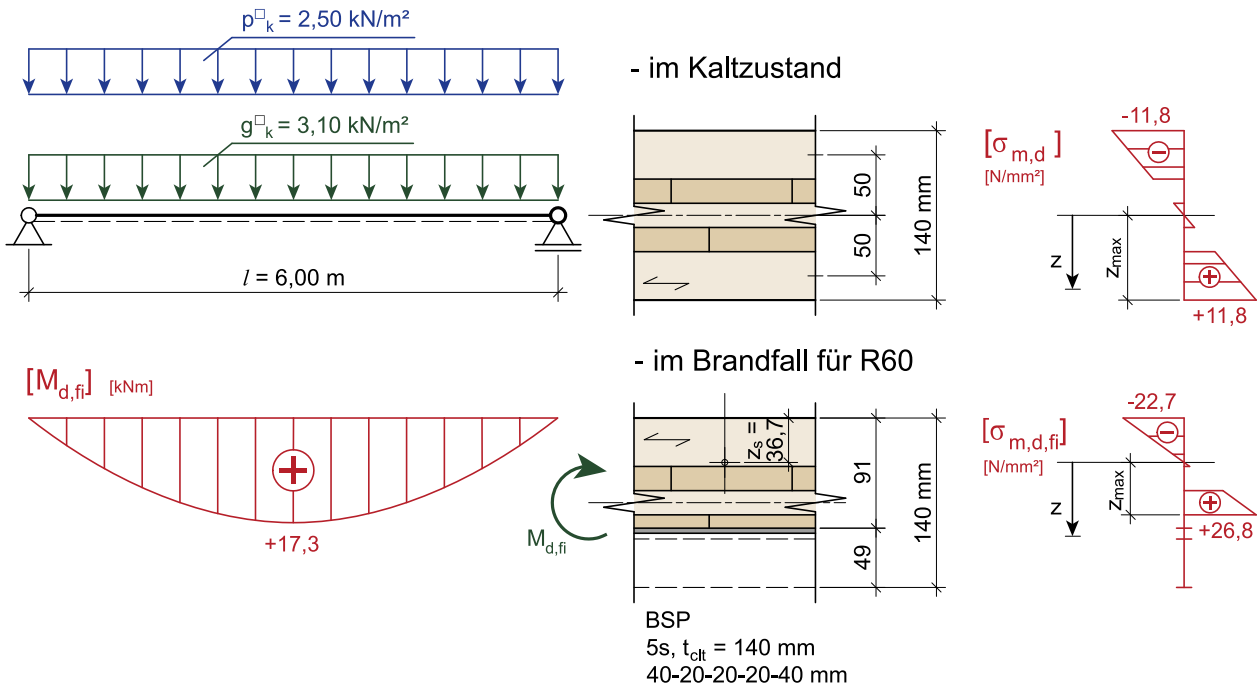
$$\frac{\sigma_{c,0,d,fi}}{k_{c,z} \cdot f_{c,0,g,fi}} = \frac{10,0}{0,373 \cdot 27,6} = 0,97 < 1$$

## II.2 NACHWEISE FÜR BAUTEILE AUS BRETTSPERRHOLZ

### II.2.1. DECKE AUS BRETTSPERRHOLZ MIT EINER FEUERWIDERSTANDSDAUER R 60

Anmerkung:

Aktuell sind weder in der ÖNORM EN 1995-1-2:2011 [3], noch in der ÖNORM B 1995-1-2:2011 [4] Regelungen für die Bemessungen von Brettsperrholz im Brandfall verankert. Das nachfolgende Beispiel wurde in Anlehnung an die Regelungen dieser Normen sowie auf Basis der Inhalte bauaufsichtlicher Zulassungen erstellt.



**gegeben:**

- Abbrand: R 60 – Abbrand von unten
- Einwirkungen (im Kaltzu.): charakt. Wert der ständigen Einwirkung (inkl. Eigengewicht BSP)  $g_k = 3.10 \text{ kN/m}^2$   
charakt. Wert der veränderlichen Einwirkung  $p_k = 2.50 \text{ kN/m}^2$
- Spannweite:  $l = 6.00 \text{ m}$
- Aufbau: 5-schichtig (40-20-20-20-40 mm),  $t_{clt} = 140 \text{ mm}$
- Material: BSP aus Grundmaterial C24 nach EN 338

**Berechnung der Einwirkung im Brandfall aus jener bei Normaltemperatur mit Hilfe des Abminderungsfaktors  $\eta_{fi}$  aus ÖNORM EN 1995-1-2**

mit der außergewöhnlicher Einwirkungskombination

$$q_{d,fi} = (\gamma_G \cdot g_k + \gamma_Q \cdot \psi_2 \cdot p_k) \cdot b = (1.00 \cdot 3.10 + 1.00 \cdot 0.30 \cdot 2.50) \cdot 1.00 = 3.85 \text{ kN/m}$$

zum Vergleich: mit vereinfachter Ermittlung der Einwirkung nach EN 1995-1-2

$$q_d = (\gamma_G \cdot g_k + \gamma_Q \cdot \psi_2 \cdot p_k) \cdot b = (1,35 \cdot 3,10 + 1,50 \cdot 2,50) \cdot 1,00 = 7,94 \text{ kN/m}$$

$$q_{d,fi} = \eta_{fi} \cdot q_d = 0,6 \cdot 7,94 = 4,76 \text{ kN/m}^2$$

**maßgebende Schnittgröße** für einen Plattenstreifen mit der Breite  $b = 1,00 \text{ m}$

$$M_{d,fi} = \frac{q_{d,fi} \cdot l^2}{8} = \frac{3,85 \cdot 6,00^2}{8} = 17,3 \text{ kNm}$$

### Baustoffeigenschaften im Brandfall

charakteristischer Wert der Biegefesteitigkeit:	$f_{m,lay,k} = k_{sys} \cdot f_{m,k} = 28,8 \text{ N/mm}^2$	Tab. III.22
E-Modul in Faserrichtung:	$E_{0,lay,mean} = 11.500 \text{ N/mm}^2$	Tab. III.22
Modifikationsbeiwert (Brand):	$k_{mod,fi} = 1,00$	Tab. III.5
Teilsicherheitsbeiwert (Brand):	$\gamma_{M,fi} = 1,00$	Tab. III.3
eindimensionale Abbrandrate:	$\beta_0 = 0,65 \text{ mm/min}$	

Bemessungswerte

$$f_{m,lay,d,fi} = k_{fi} \cdot k_{mod,fi} \cdot \frac{f_{m,lay,k}}{\gamma_{M,fi}} = 1,15 \cdot 1,00 \cdot \frac{28,8}{1,00} = 33,1 \text{ N/mm}^2$$

$$E_{0,lay,fi} = k_{fi} \cdot E_{0,lay,mean} = 1,15 \cdot 11.500 = 13.225 \text{ N/mm}^2$$

Berechnung der Abbrandtiefen

$$d_{char} = \beta_0 \cdot t = 0,65 \cdot 60,0 = 39,0 \text{ mm}$$

$$d_0 = 7 \text{ mm} \quad \text{und} \quad k_0 = 1,0 \text{ für } t > 20 \text{ min}$$

$$d_{ef} = d_{char,n} + k_0 \cdot d_0 = 39,0 + 1,0 \cdot 7,00 = 46,0 \text{ mm}$$

### Berechnung der effektiven Querschnittsabmessungen und -werte

$$h_{res} = d - d_{ef} = 140 - 46,0 = 94,0 \text{ mm}$$

Berechnung der Biegesteifigkeit  $K_{clt,fi}$  des wirksamen Querschnitts im Brandfall

→ Die Abbrandgrenze befindet sich in der unteren Querlage; Querschnittswerte ohne diese Querlage

$$e_{z,s} = \frac{\sum E_{i,fi} \cdot A_i \cdot e_{z,i}}{\sum E_{i,fi} \cdot A_i} = \frac{13.225 \cdot 1.000 \cdot (40,0 \cdot 20,0 + 20,0 \cdot 70,0)}{13.225 \cdot 1.000 \cdot (40,0 + 20,0)} = 36,7 \text{ mm} \quad (\text{von der Oberkante})$$

$$K_{clt,fi} = \sum (E_{i,fi} \cdot I_{i,fi}) + \sum (E_{i,fi} \cdot A_{i,fi} \cdot e_{i,fi}^2) =$$

$$= 13.225 \cdot 1.000 \cdot \left[ \left( \frac{40,0^3}{12} + \frac{20,0^3}{12} \right) + (40,0 \cdot (20,0 - 36,7)^2 + 20,0 \cdot (70,0 - 36,7)^2) \right] = 5,20 \cdot 10^{11} \text{ Nmm}^2$$

### Nachweisführung

Biegespannung

$$\sigma_{m,lay,d,fi} = \frac{M_{d,fi}}{K_{clt,fi}} \cdot E_{0,fi} \cdot z_i = \frac{17,3 \cdot 10^6}{5,20 \cdot 10^{11}} \cdot 13.225 \cdot (80,0 - 36,7) = 19,1 \text{ N/mm}^2$$

Nachweis

$$\frac{\sigma_{m,lay,d,fi}}{f_{m,lay,d,fi}} = \frac{19,1}{33,1} = 0,58 < 1$$

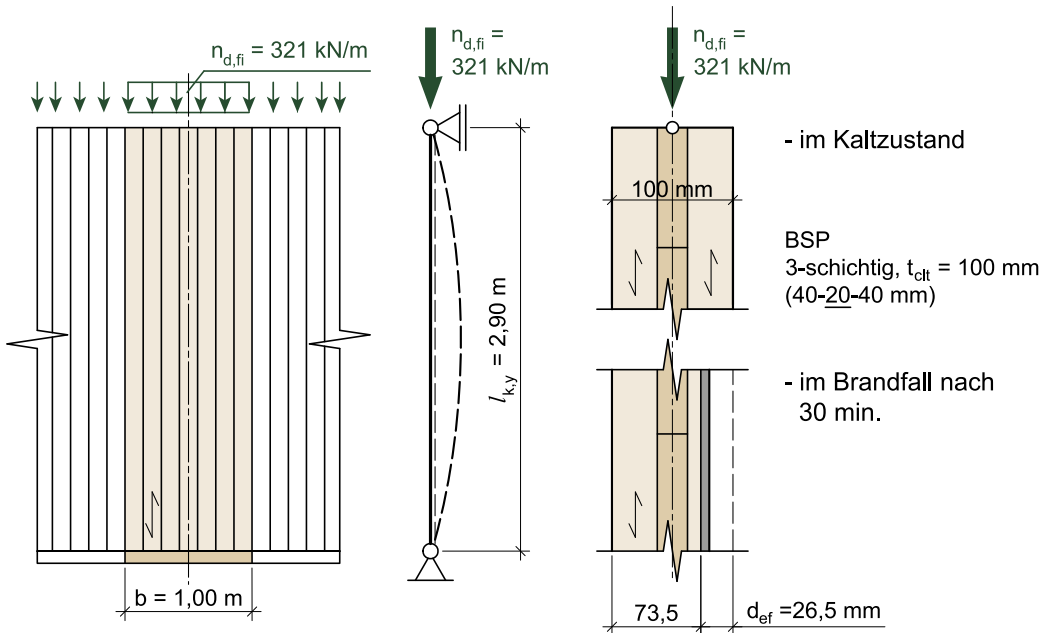
Anmerkung:

Der Schubnachweis muss gemäß ÖNORM EN 1995-1-2:2011 im Brandfall nicht geführt werden.

## II.2.2. WAND AUS BRETTSCHEICHTHOLZ MIT EINER FEUERWIDERSTANDSDAUER R 30

Anmerkung:

Aktuell sind weder in der ÖNORM EN 1995-1-2:2011 [3], noch in der ÖNORM B 1995-1-2:2011 [4] Regelungen für die Bemessungen von Brettsperrenholz im Brandfall verankert. Das nachfolgende Beispiel wurde in Anlehnung an die Regelungen dieser Normen sowie auf Basis der Inhalte bauaufsichtlicher Zulassungen erstellt.



**gegeben:**

- Abbrand: R 30 - einseitiger Abbrand  
 Einwirkung:  $n_d = 535 \text{ kN/m}$  (im Kaltzustand)  
 Knicklänge:  $l_k = 2,90 \text{ m}$   
 Abmessungen:  $b/h = 180/240 \text{ mm}$ ,  
 Material: BSP CL 24

### Einwirkung im Brandfall

$$n_{d,fi} = \eta_{fi} \cdot n_d = 0,60 \cdot 535 = 321 \text{ kN/m}$$

### Baustoffeigenschaften im Brandfall

charakteristischer Wert der Druckfestigkeit:	$f_{c,0,lay,k} = k_{sys} \cdot f_{c,0,k} = 25,2 \text{ N/mm}^2$	Tab. III.22
E-Modul in Faserrichtung:	$E_{0,lay,mean} = 11.500 \text{ N/mm}^2$	Tab. III.22
Modifikationsbeiwert (Brand):	$k_{mod,fi} = 1,00$	Tab. III.5
Teilsicherheitsbeiwert (Brand):	$\gamma_{M,fi} = 1,00$	Tab. III.3
eindimensionale Abbrandrate:	$\beta_0 = 0,65 \text{ mm/min}$	

### Bemessungswerte

$$f_{c,0,lay,d,fi} = k_{fi} \cdot k_{mod,fi} \cdot \frac{f_{c,0,lay,k}}{\gamma_{M,fi}} = 1,15 \cdot 1,00 \cdot \frac{25,2}{1,00} = 29,0 \text{ N/mm}^2$$

$$E_{0,lay,fi} = k_{fi} \cdot E_{0,lay,mean} = 1,15 \cdot 11.500 = 13.225 \text{ N/mm}^2$$

$$E_{0,05,lay,fi} = k_{fi} \cdot \frac{5}{6} \cdot E_{0,lay,mean} = 1,15 \cdot \frac{5}{6} \cdot 11.500 = 11.021 \text{ N/mm}^2$$

### Berechnung der Abbrandtiefen

$$d_{char,0} = \beta_0 \cdot t = 0,65 \cdot 30,0 = 19,5 \text{ mm}$$

$$d_0 = 7 \text{ mm} \quad \text{und} \quad k_0 = 1,0 \text{ für } t > 20 \text{ min}$$

### Berechnung der effektiven Querschnittsabmessungen und -werte

$$d_{ef} = d_{char,n} + k_0 \cdot d_0 = 19,5 + 1,0 \cdot 7,00 = 26,5 \text{ mm}$$

$$(E \cdot A)_{ef,fi} = E_{0,mean,fi} \cdot b \cdot h_{ef} = 13.225 \cdot 1.000 \cdot \left( 40,0 + \underbrace{\left( 40,0 - 26,5 \right)}_{13,5} \right) = 7,08 \cdot 10^8 \text{ mm}^2$$

$$e_{z,s} = \frac{\sum E_{i,fi} \cdot A_i \cdot e_{z,i}}{\sum E_{i,fi} \cdot A_i} = \frac{13.225 \cdot 1.000 \cdot \left( 40,0 \cdot 20,0 + 13,5 \cdot \left( 40,0 + 20,0 + \frac{13,5}{2} \right) \right)}{13.225 \cdot 1.000 \cdot (40,0 + 13,5)} = 31,8 \text{ mm}$$

$$K_{clt,fi} = \sum (E_{0,mean,fi} \cdot I_{i,fi}) + \sum (E_{0,mean,fi} \cdot A_{i,fi} \cdot e_{z,i,fi}^2) =$$

$$= 13.225 \cdot 1.000 \cdot \left[ \left( \frac{40,0^3}{12} + \frac{13,5^3}{12} \right) + \left( 40,0 \cdot (20,0 - 31,8)^2 + 13,5 \cdot \left( 40,0 + 20,0 + \frac{13,5}{2} - 31,8 \right)^2 \right) \right] = 3,65 \cdot 10^{11} \text{ Nmm}^2$$

$$i_{clt,fi} = \sqrt{\frac{K_{clt,fi}}{(E \cdot A)_{ef}}} = \sqrt{\frac{3,65 \cdot 10^{11}}{7,08 \cdot 10^8}} = 22,7 \text{ mm}$$

### Knickbeiwert

$$\lambda_{clt,fi} = \frac{l_k}{i_{clt,fi}} = \frac{2.900}{22,7} = 128$$

$$\lambda_{rel,clt,fi} = \frac{\lambda_{clt,fi}}{\pi} \cdot \sqrt{\frac{k_i \cdot f_{c,0,lay,k,fi}}{E_{0,0,5,lay,fi}}} = \frac{128}{\pi} \cdot \sqrt{\frac{1,15 \cdot 25,2}{11.021}} = 2,09$$

$$k_{clt,fi} = 0,5 \cdot [1 + \beta_c \cdot (\lambda_{rel,clt,fi} - 0,3) + \lambda_{rel,clt,fi}^2] = 0,5 \cdot [1 + 0,2 \cdot (2,09 - 0,3) + 2,09^2] = 2,86$$

$$k_{c,clt,fi} = \frac{1}{k_{clt,fi} + \sqrt{k_{clt,fi}^2 - \lambda_{rel,clt,fi}^2}} = \frac{1}{2,86 + \sqrt{2,86^2 - 2,09^2}} = 0,208$$

### Nachweisführung

Druckspannung

$$\sigma_{c,0,lay,0d,fi} = \frac{n_{d,fi}}{(E \cdot A)_{ef,fi}} \cdot E_{0,lay,mean,fi} = \frac{321 \cdot 10^3}{7,08 \cdot 10^8} \cdot 13.225 = 6,00 \text{ N/mm}^2$$

Nachweisführung

$$\frac{\sigma_{c,0,lay,d,fi}}{k_{c,clt,fi} \cdot f_{c,0,lay,d,fi}} = \frac{6,00}{0,208 \cdot 29,0} = 0,99 < 1$$



## **KAPITEL III**

### **KAPITEL III**

#### **GRUNDFÄLLE – NACHWEISE IM GRENZZUSTAND DER GEBRAUCHSTAUGLICHKEIT**

---

III.1 Durchbiegung

III.3 - III.17

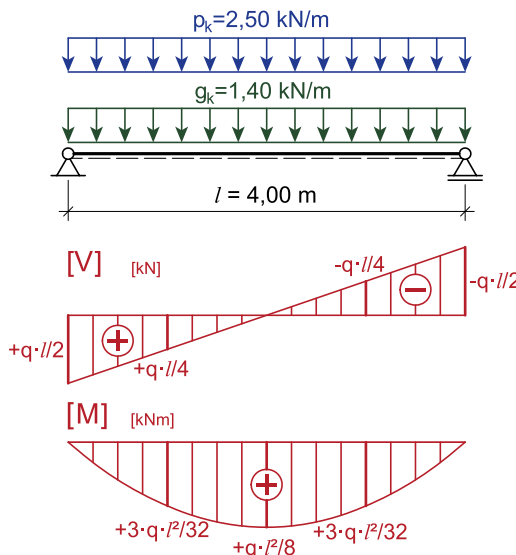
III.2 personeninduzierte Schwingungen von Wohnungsdecken

III.18 - III.22

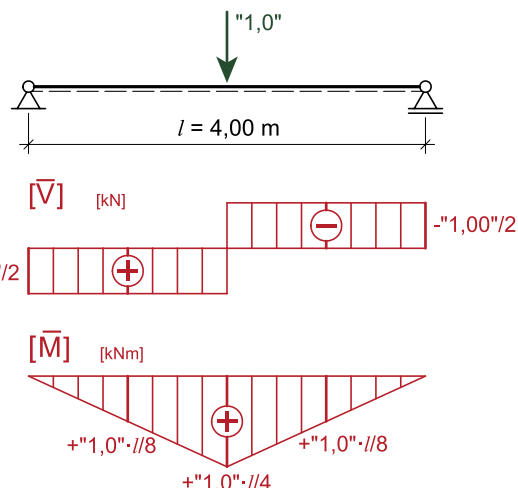
## III.1 DURCHBIEGUNG

### III.1.1 DURCHBIEGUNG – EINFELDTRÄGER AUS VOLLHOLZ

statisches System und Einwirkungen



virtuelle Einwirkung



#### gegeben:

Tramdecke mit Balken aus Vollholz

Einwirkungen:	charakteristischer Wert der ständigen Einwirkung	$g_k = 1,40 \text{ kN/m}$
	charakteristischer Wert der veränderlichen Einwirkung	$q_k = 2,50 \text{ kN/m}$
Querschnitt:	$b/h = 120/200 \text{ mm}$	
Spannweite:	$l = 4,00 \text{ m}$	
Achsabstand Balken:	$s = 0,75 \text{ m}$	
Material:	VH C24	
Nutzungsklasse:	NKL 1	

#### Querschnittswerte

$$A = b \cdot h = 120 \cdot 200 = 2,40 \cdot 10^4 \text{ mm}^2$$

$$I = \frac{b \cdot h^3}{12} = \frac{120 \cdot 200^3}{12} = 8,00 \cdot 10^7 \text{ mm}^4$$

Schubkorrekturfaktor:  $\kappa = 1,20$  (für einen Rechteckquerschnitt)

#### Baustoffkenngrößen

E-Modul:	$E_{0,\text{mean}} = 11.000 \text{ N/mm}^2$	Tab. III.9
Schubmodul:	$G_{0,\text{mean}} = 690 \text{ N/mm}^2$	Tab. III.9
Verformungsbeiwert:	$k_{\text{def}} = 0,60$	Tab. III.6
Teilsicherheitsbeiwert (SLS):	$\gamma_M = 1,00$	Tab. III.3

**Variante A: Berechnung der Durchbiegung mit Hilfe von Tabellenwerken****elastische Durchbiegung zufolge der Einheitslast  $q = „1,0“ \text{ kN}$** 

$$w_{1,0} = \frac{5}{384} \cdot \frac{q \cdot l^4}{E \cdot I} = \frac{5}{384} \cdot \frac{1,00 \cdot 4.000^4}{11.000 \cdot 8,00 \cdot 10^7} = 3,79 \text{ mm} \approx 4 \text{ mm}$$

Anmerkung:

Die Durchbiegungsgleichungen in den Tabellenwerken berücksichtigen im Allgemeinen nur den „Momentenanteil“ der Durchbiegung!

**Variante B: Berechnung der Durchbiegung mit Hilfe von Integrationstabellen**

Arbeitssatz

$$\bar{\delta} \cdot \delta = \int \left[ \frac{N \cdot \bar{N}}{E \cdot A} + \frac{M \cdot \bar{M}}{E \cdot I} + \frac{\kappa \cdot V \cdot \bar{V}}{G \cdot A} \right] dx$$

- Schnittgrößen auf Grund der Einwirkung

$$M = \frac{q \cdot l^2}{8} = \frac{q \cdot 4,00^2}{8} = 2,00 \left[ \text{m}^2 \right] \cdot q \left[ \text{kN/m} \right]$$

- Schnittgrößen auf Grund der virtuellen „1“-Last

$$\bar{M} = \frac{F \cdot l}{4} = \frac{"1" \cdot 4,00}{4} = 1,00 \text{ kNm}$$

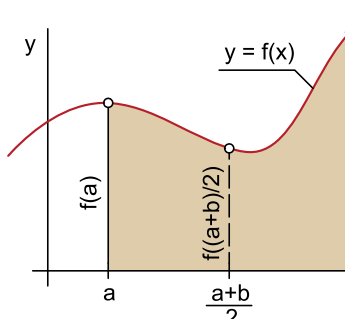
- Auswertung mit Integraltafeln

$$\begin{aligned} w_{1,0} &= \bar{\delta} \cdot \delta = \int \frac{M \cdot \bar{M}}{E \cdot I} dx + \int \frac{\kappa \cdot V \cdot \bar{V}}{G \cdot A} dx = \\ &= 2 \cdot \frac{0,5 \cdot l}{E \cdot I} \cdot \left( \frac{5}{12} \cdot \frac{q \cdot l^2}{8} \cdot \frac{"1" \cdot l}{4} \right) + 2 \cdot \frac{\kappa \cdot 0,5 \cdot l}{G \cdot A} \cdot \left( \frac{1}{2} \cdot \frac{q \cdot l}{2} \cdot \frac{"1"}{2} \right) = \frac{5}{384} \cdot \frac{q \cdot l^4}{E \cdot I} + \frac{1}{8} \cdot \frac{\kappa \cdot q \cdot l^2}{G \cdot A} \end{aligned}$$

mit  $q = 1,0 \text{ kN/m}$  und  $\kappa = 1,20$  (für einen Rechteckquerschnitt)

$$w_{1,0} = \frac{5}{384} \cdot \frac{1,00 \cdot 4.000^4}{11.000 \cdot 8,00 \cdot 10^7} + \frac{1}{8} \cdot \frac{1,20 \cdot 1,00 \cdot 4.000^2}{690 \cdot 2,40 \cdot 10^4} = 3,79 + 0,145 = 3,94 \text{ mm} \approx 4 \text{ mm}$$

- alternativ: Auswertung mittels numerischer Integration (Simpson'sche Formel)

**Exkurs: numerische Integration mit der Simpson'schen Formel**

$$\int_a^b f(x) \cdot dx \approx \frac{b-a}{6} \cdot \left[ f(a) + 4 \cdot f\left(\frac{a+b}{2}\right) + f(b) \right]$$

Die numerische Integration mit der Simpson-Regel ist bis Kurven 3. Ordnung exakt! Über Knicke und Sprünge darf nicht integriert werden. In einem solchen Fall ist die Unterteilung des Integrationsintervall erforderlich.

$$w_{1,0} = \frac{1}{E \cdot I} \int M \cdot \bar{M} dx + \int \frac{\kappa \cdot V \cdot \bar{V}}{G \cdot A} dx = \\ = \frac{1}{6} \cdot 2 \cdot \frac{0,5 \cdot l}{E \cdot I} \left( 0 \cdot 0 + 4 \cdot \frac{3 \cdot q \cdot l^2}{32} \cdot \frac{l}{8} + \frac{q \cdot l^2}{8} \cdot \frac{l}{4} \right) + \frac{1}{6} \cdot 2 \cdot \frac{\kappa \cdot 0,5 \cdot l}{G \cdot A} \cdot \left( \frac{q \cdot l}{2} \cdot \frac{l}{2} + 4 \cdot \frac{q \cdot l}{4} \cdot \frac{l}{2} + 0 \cdot \frac{l}{2} \right) = \frac{5}{384} \cdot \frac{q \cdot l^4}{E \cdot I} + \frac{1}{8} \cdot \frac{\kappa \cdot q \cdot l^2}{G \cdot A}$$

mit  $q = 1,0 \text{ kN/m}$  und  $\kappa = 1,20$  (für einen Rechteckquerschnitt)

$$w_{1,0} = \frac{5}{384} \cdot \frac{1,00 \cdot 4.000^4}{11.000 \cdot 8,00 \cdot 10^7} + \frac{1}{8} \cdot \frac{1,20 \cdot 1,00 \cdot 4.000^2}{690 \cdot 2,40 \cdot 10^4} = 3,79 + 0,145 = 3,94 \text{ mm} \approx 4 \text{ mm}$$

### Nachweisführung

#### Nachweis der Anfangsdurchbiegung für die charakteristischen Einwirkungskombination

elastische Anfangsdurchbiegung zufolge der ständigen Einwirkung

$$\sum_{j \geq 1} w_{inst,G,j} = g_k \cdot s \cdot w_{1,0} = 1,40 \cdot 0,75 \cdot 3,94 = 4,14 \text{ mm}$$

elastische Anfangsdurchbiegung zufolge der veränderlichen Einwirkung

$$w_{inst,Q,1} = q_k \cdot s \cdot w_{1,0} = 2,50 \cdot 0,75 \cdot 3,94 = 7,39 \text{ mm}$$

Nachweis der Verformung unter der charakteristischen Einwirkungskombination

$$w_{inst} = \sum_{j \geq 1} w_{inst,G,j} + w_{inst,Q,1} + \sum_{i > 1} \psi_{0,i} \cdot w_{inst,Q,i} = 4,14 + 7,39 = 11,5 \text{ mm}$$

Grenzwert der Anfangsdurchbiegung

$$w_{inst,grenz} = \frac{l}{300} = \frac{4.000}{300} = 13,3 \text{ mm}$$

Nachweis

$$\frac{w_{inst}}{w_{inst,grenz}} = \frac{11,5}{13,3} = 0,86 < 1$$

#### Nachweis der Enddurchbiegung für die quasi-ständige Einwirkungskombination

$$w_{net,fin} = \left[ \sum_{j \geq 1} w_{inst,G,j} + \sum_{i \geq 1} \psi_{2,i} \cdot w_{inst,Q,i} \right] \cdot (1 + k_{def}) - w_c = [4,14 + 0,30 \cdot 7,39] \cdot (1 + 0,60) - 0 = 10,2 \text{ mm}$$

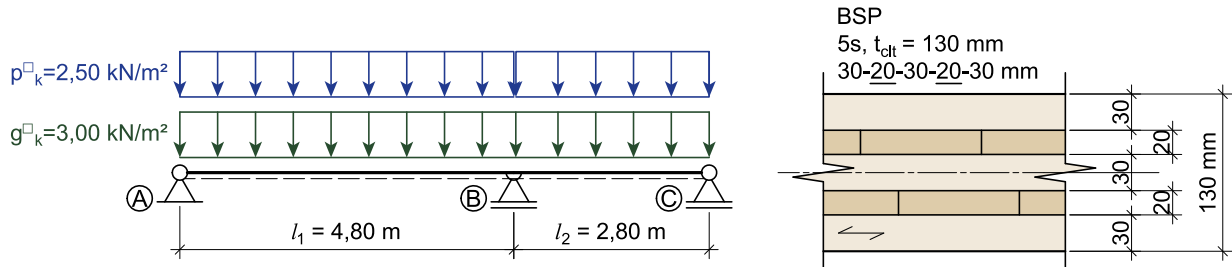
Grenzwert der Enddurchbiegung

$$w_{net,fin,grenz} = \frac{l}{250} = \frac{4.000}{250} = 16,0 \text{ mm}$$

Nachweis

$$\frac{w_{net,fin}}{w_{net,fin,grenz}} = \frac{10,2}{16,0} = 0,64 < 1$$

## III.1.2. DURCHBIEGUNG – ZWEIFELDTRÄGER AUS BRETTSPERRHOLZ

**gegeben:**

- Einwirkungen: charakteristischer Wert der ständigen Einwirkung  $g_k^{\square} = 3,00 \text{ kN/m}^2$   
charakteristischer Wert der veränderlichen Einwirkung (Kat. A.)  $p_k^{\square} = 2,50 \text{ kN/m}^2$
- Spannweite:  $l_1 = 4,80 \text{ m}$ ,  $l_2 = 2,80 \text{ m}$
- Querschnitt: BSP 5-schichtig (30-20-30-20-30 mm),  $t_{clt} = 130 \text{ mm}$
- Material: BSP aus Grundmaterial C 24 nach EN 338
- Nutzungsklasse: NKL 1

**Einwirkungen**

Die weitere Berechnung erfolgt für einen Plattenstreifen mit der Breite  $b = 1,00 \text{ m}$ .

$$g_k = g_k^{\square} \cdot b = 3,00 \cdot 1,00 = 3,00 \text{ kN/m}$$

$$p_k = p_k^{\square} \cdot b = 2,50 \cdot 1,00 = 2,50 \text{ kN/m}$$

**Baustoffkenngrößen nach ÖNORM B 1995-1-1, Anhang K [2]**

charakteristische Steifigkeitswerte:

- E-Modul  $E_{0,lay,mean} = 11.500 \text{ N/mm}^2$  Tab. III.22
- Schubmodul:  $G_{0,lay,mean} = 690 \text{ N/mm}^2$  Tab. III.22
- Rollschubmodul:  $G_{r,lay,mean} = 65 \text{ N/mm}^2$  Tab. III.22
- Verformungsbeiwert:  $k_{def} = 0,80$
- Teilsicherheitsbeiwert (SLS):  $\gamma_M = 1,00$  Tab. III.3

**Steifigkeitswerte für einen Plattenstreifen mit der Breite  $b = 1,00 \text{ m}$** 

- Biegesteifigkeit  $K_{clt}$

$$K_{clt} = \sum (E_i \cdot I_i) + \sum (E_i \cdot A_i \cdot e_i^2) = 11.500 \cdot 1.000 \cdot \left[ 3 \cdot \frac{30^3}{12} + 2 \cdot 30 \cdot 50,0^2 \right] = 1,80 \cdot 10^{12} \text{ Nmm}^2$$

$$\rightarrow \text{für } t=0: K_{clt,t=0} = K_{clt} = 1,80 \cdot 10^{12} \text{ Nmm}^2$$

$$\rightarrow \text{für } t=\infty: K_{clt,t=\infty} = \frac{K_{clt}}{1+k_{def}} = \frac{1,80 \cdot 10^{12}}{1+0,8} = 1,00 \cdot 10^{12} \text{ Nmm}^2$$

- Schubsteifigkeit  $S_{clt}$

Schubkorrekturfaktor

$$\kappa = \kappa_{10} + \frac{\kappa_{14,4} - \kappa_{10}}{4,4} \cdot \left( \frac{G_0}{G_r} - 10 \right) = 0,243 + \frac{0,177 - 0,243}{4,4} \cdot \left( \frac{690}{65} - 10 \right) = 0,233$$

Schubsteifigkeit

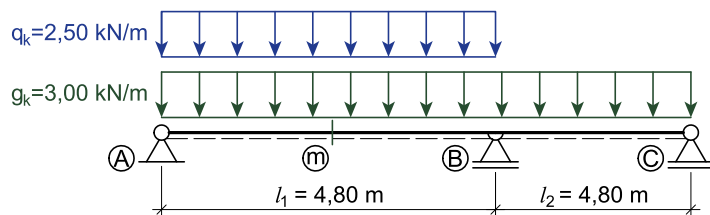
$$S_{\text{clt}} = \kappa \cdot \sum G \cdot A = 0,233 \cdot 1.000 \cdot [690 \cdot 3 \cdot 30,0 + 65 \cdot 2 \cdot 20,0] = 1,51 \cdot 10^7 \text{ N}$$

$$\rightarrow \text{für } t=0: S_{\text{clt},t=0} = S_{\text{clt}} = 1,51 \cdot 10^7 \text{ N}$$

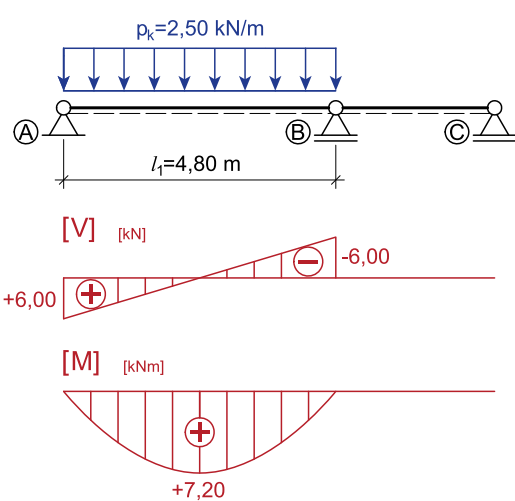
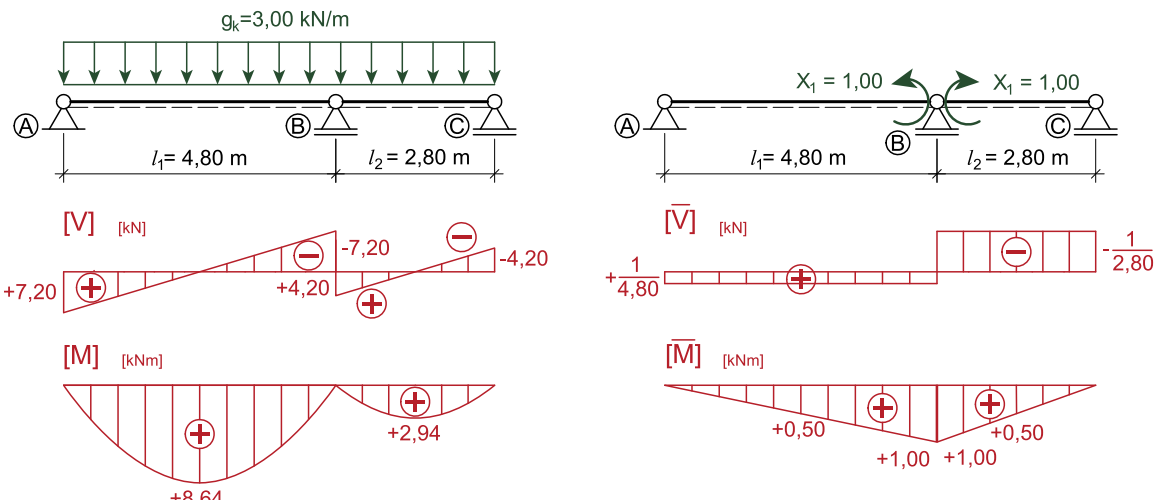
$$\rightarrow \text{für } t=\infty: S_{\text{clt},t=\infty} = \frac{S_{\text{clt}}}{1+k_{\text{def}}} = \frac{1,51 \cdot 10^7}{1+0,80} = 8,38 \cdot 10^6 \text{ N}$$

#### feldweise Lastaufstellung

größte Durchbiegung mit ständiger Einwirkung in den Feldern 1 und 2 sowie der veränderlichen Einwirkung (Nutzlast) im größeren Feld (Feld 1; näherungsweise in Feldmitte)



#### Ermittlung der Verformung (Durchbiegung) für die seltenen (charakteristischen) Einwirkungskombination ( $t = 0$ )



seltene (charakteristische) Einwirkungskombination

$$W_{inst} = \sum W_{inst,G} + W_{inst,Q,1} + \sum_{i>1} \psi_{0,i} \cdot W_{inst,Q,i}$$

- Feld 1 und 2:  $g_k = 3,00 \text{ kN/m}$

$$\delta_{IB} = \frac{1}{K_{clt,t=0}} \cdot \left\{ \frac{4,80}{6} \cdot [0 + 4 \cdot 8,64 \cdot 0,5 + 0] + \frac{2,80}{6} \cdot [0 + 4 \cdot 2,94 \cdot 0,5 + 0] \right\} + \frac{1}{S_{clt,t=0}} \cdot \{0\} = \frac{16,6}{K_{clt,t=0}}$$

$$\begin{aligned} \delta_{11} &= \frac{1}{K_{clt,t=0}} \cdot \left\{ \frac{4,80}{6} \cdot [0 + 4 \cdot 0,50^2 + 1,00^2] + \frac{2,80}{6} \cdot [1,00^2 + 4 \cdot 0,50^2 + 0] \right\} \\ &+ \frac{1}{S_{clt,t=0}} \cdot \left\{ \frac{4,80}{6} \cdot \left[ \left( \frac{1}{4,80} \right)^2 + 4 \cdot \left( \frac{1}{4,80} \right)^2 + \left( \frac{1}{4,80} \right)^2 \right] + \frac{2,80}{6} \cdot \left[ \left( -\frac{1}{2,80} \right)^2 + 4 \cdot \left( -\frac{1}{2,80} \right)^2 + \left( -\frac{1}{2,80} \right)^2 \right] \right\} = \frac{2,53}{K_{clt,t=0}} + \frac{0,565}{S_{clt,t=0}} \end{aligned}$$

statisch Unbekannte

$$M_{B,1;t=0} = -\frac{\delta_{IB}}{\delta_{11}} = -\frac{\left( \frac{16,6}{K_{clt,t=0}} \right)}{\left( \frac{2,53}{K_{clt,t=0}} + \frac{0,565}{S_{clt,t=0}} \right)} = -\frac{\left( \frac{16,6}{1,80 \cdot 10^3} \right)}{\left( \frac{2,53}{1,80 \cdot 10^3} + \frac{0,565}{1,51 \cdot 10^4} \right)} = -6,39 \text{ kNm}$$

- Feld 1:  $p_k = 2,50 \text{ kN/m}$

$$\delta_{IB} = \frac{1}{K_{clt,t=0}} \cdot \left\{ \frac{4,80}{6} \cdot [0 + 4 \cdot 7,20 \cdot 0,5 + 0] + 0 \right\} + \frac{1}{S_{clt,t=0}} \cdot \{0\} = \frac{11,5}{K_{clt,t=0}}$$

$$\delta_{11} = \frac{2,53}{K_{clt,t=0}} + \frac{0,565}{S_{clt,t=0}}$$

statisch Unbekannte

$$M_{B,2;t=0} = -\frac{\delta_{IB}}{\delta_{11}} = -\frac{\left( \frac{11,5}{K_{clt,t=0}} \right)}{\left( \frac{2,53}{K_{clt,t=0}} + \frac{0,565}{S_{clt,t=0}} \right)} = -\frac{\left( \frac{11,5}{1,80 \cdot 10^3} \right)}{\left( \frac{2,53}{1,80 \cdot 10^3} + \frac{0,565}{1,51 \cdot 10^4} \right)} = -4,43 \text{ kNm}$$

Schnittkraftverläufe

resultierendes Stützmoment und weitere Schnittgrößen

$$M_{B,t=0} = M_{B,1;t=0} + M_{B,2;t=0} = (-6,39) + (-4,43) = -10,8 \text{ kNm}$$

$$M_{l_1/2,t=0} = \frac{M_{B,1}}{2} + \frac{(g_k + p_k) \cdot l_1^2}{8} = \frac{(-10,8)}{2} + \frac{(3,00 + 2,50) \cdot 4,80^2}{8} = 10,4 \text{ kNm}$$

$$A_{v,t=0} = V_{A,t=0} = \frac{1}{l_1} \cdot \left[ M_{B,t=0} + (g_k + p_k) \cdot \frac{l_1^2}{2} \right] = \frac{1}{4,80} \cdot \left[ (-10,8) + (3,00 + 2,50) \cdot \frac{4,80^2}{2} \right] = 11,0 \text{ kN}$$

$$V_{l_1/2,t=0} = A_{v,t=0} - (g_k + p_k) \cdot \frac{l_1}{2} = 11,0 - (3,00 + 2,50) \cdot \frac{4,80}{2} = -2,20 \text{ kN}$$

$$C_{v,t=0} = -V_{c,t=0} = \frac{1}{l_2} \cdot \left[ M_{B,t=0} + g_k \cdot \frac{l_2^2}{2} \right] = \frac{1}{2,80} \cdot \left[ -10,8 + 3,00 \cdot \frac{2,80^2}{2} \right] = 0,343 \text{ kN}$$

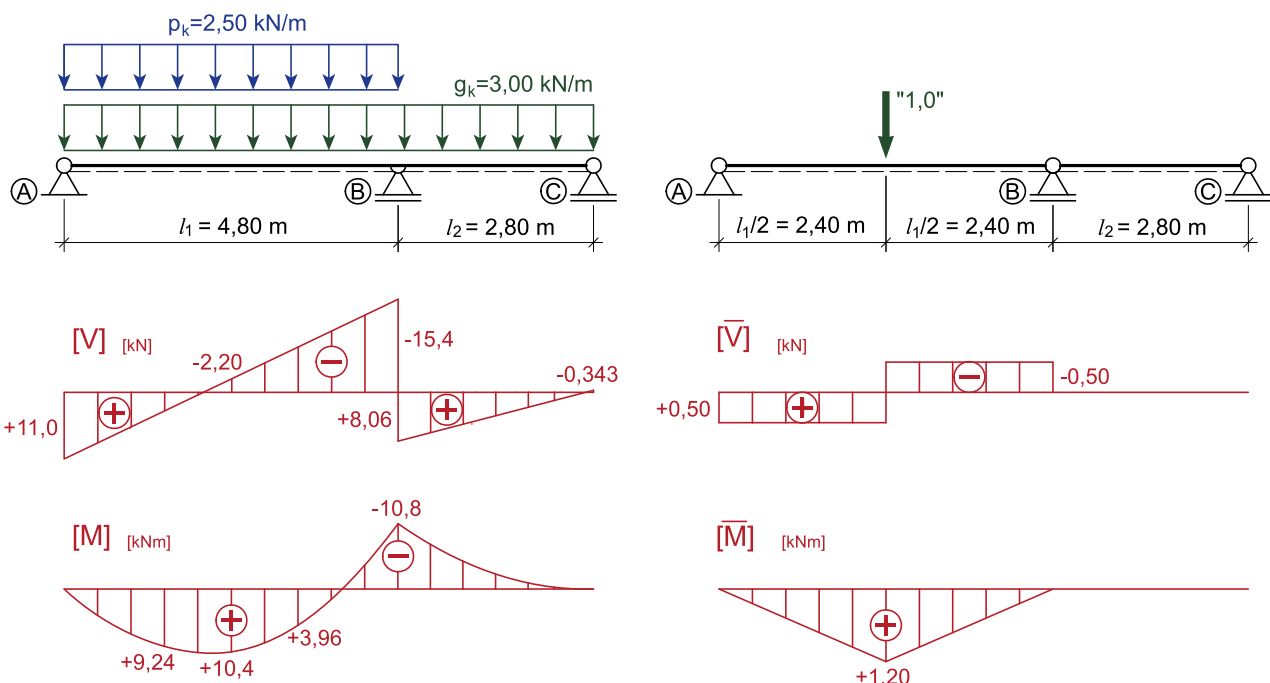
- Schnittgrößen auf Grund der virtuellen „1“-Last am statisch bestimmten Grundsyste

$$M_{l_1/2} = \frac{F \cdot l_1}{4} = \frac{"1" \cdot 4,80}{4} = 1,20 \text{ kNm}$$

$$V_A = -V_B = \frac{F}{2} = \frac{"1"}{2} = 0,50 \text{ kN}$$

Schnittkraftverläufe zur Ermittlung der Durchbiegung im Feld 1 (Feldmitte)

(Anwendung des Reduktionssatzes der Baustatik)



Arbeitssatz

$$\bar{1} \cdot \delta = \int \left( \frac{M \cdot \bar{M}}{K_{clt,t=0}} + \frac{V \cdot \bar{V}}{S_{clt,t=0}} \right) dx$$

- Auswertung mit Integraltafeln

$$\begin{aligned} w_{m,t=0} &= \bar{1} \cdot \delta = \int \frac{M \cdot \bar{M}}{K_{clt,t=0}} dx + \int \frac{V \cdot \bar{V}}{S_{clt,t=0}} dx = \\ &= \frac{1}{1,80 \cdot 10^3} \cdot \left[ \frac{1}{6} \cdot 4,80 \cdot 1,20 \cdot \left[ 0 + 2 \cdot 10,4 + (-10,8) \cdot \frac{1}{2} - \frac{1}{2} \cdot \frac{1}{2} \cdot (0 - 2 \cdot 10,4 + (-10,8)) \right] \right] + \\ &\quad + \frac{1}{1,51 \cdot 10^4} \cdot \left[ \frac{1}{2} \cdot \frac{4,80}{2} \cdot 0,50 \cdot (11,0 + (-2,20)) + \frac{1}{2} \cdot \frac{4,80}{2} \cdot (-0,50) \cdot ((-2,20) + (-15,4)) \right] \\ &= 1,24 \cdot 10^{-2} + 1,05 \cdot 10^{-3} = 1,35 \cdot 10^{-2} \text{ m} = 13,5 \text{ mm} \left( = 91,9\% + 7,78\% \right) \end{aligned}$$

- alternativ: Auswertung mit numerischer Integration (Simpson'sche Formel)

$$\begin{aligned}
 w_{m;t=0} &= \bar{1} \cdot \delta = \int \frac{M \cdot \bar{M}}{K_{clt,t=0}} dx + \int \frac{V \cdot \bar{V}}{S_{clt,t=0}} dx \\
 &= \frac{1}{1,80 \cdot 10^3} \cdot \left[ \frac{2,40}{6} \cdot (0 + 4 \cdot 9,24 \cdot 0,60 + 10,4 \cdot 1,20) + \frac{2,40}{6} \cdot (10,4 \cdot 1,20 + 4 \cdot 3,96 \cdot 0,60 + (-10,8) \cdot 0) \right] + \\
 &\quad \frac{1}{1,51 \cdot 10^4} \cdot \left[ \frac{2,40}{6} \cdot ((11,0 + 4 \cdot 4,40 + (-2,20)) \cdot 0,50) + \frac{2,40}{6} \cdot ((-2,20) + 4 \cdot (-8,80) + (-15,4)) \cdot (-0,50) \right] \\
 &= 1,26 \cdot 10^{-2} + 1,05 \cdot 10^{-3} = 1,37 \cdot 10^{-2} \text{ m} = 13,7 \text{ mm} (= 92,0\% + 7,66\%)
 \end{aligned}$$

### Ermittlung der Verformung (Durchbiegung) für die quasi-ständige Einwirkungskombination ( $t = \infty$ )

quasi-ständige Einwirkungskombination

$$w_{net,fin} = \left( \sum_{j \geq 1} w_{inst,G,j} + \sum_{i \geq 1} \psi_{2,i} \cdot w_{inst,Q,i} \right) \cdot (1 + k_{def}) - w_c = \bar{w}_{fin} \cdot \left( \sum_{j \geq 1} g_{k,j} + \sum_{i \geq 1} \psi_{2,i} \cdot q_{k,i} \right) \cdot (1 + k_{def}) - w_c$$

- Feld 1 und 2:  $g_{k,q-st} = 3,00 \text{ kN/m}$

$$M_{B,1;t=\infty} = -\frac{\delta_{1B}}{\delta_{11}} = -\frac{\left( \frac{16,6}{K_{clt,t=\infty}} \right)}{\left( \frac{2,53}{K_{clt,t=\infty}} + \frac{0,565}{S_{clt,t=\infty}} \right)} = -\frac{\left( \frac{16,6}{1,00 \cdot 10^3} \right)}{\left( \frac{2,53}{1,00 \cdot 10^3} + \frac{0,565}{8,38 \cdot 10^3} \right)} = -6,39 \text{ kNm}$$

- Feld 1:  $p_{k,q-st} = \psi_2 \cdot p_k = 0,30 \cdot 2,50 = 0,75 \text{ kN/m}$

$$M_{B,2;t=\infty} = -\frac{\delta_{1B}}{\delta_{11}} = -\frac{\left( \frac{\psi_2 \cdot 11,5}{K_{clt,t=\infty}} \right)}{\left( \frac{2,53}{K_{clt,t=\infty}} + \frac{0,565}{S_{clt,t=\infty}} \right)} = -\frac{\left( \frac{0,30 \cdot 11,5}{1,00 \cdot 10^3} \right)}{\left( \frac{2,53}{1,00 \cdot 10^3} + \frac{0,565}{8,38 \cdot 10^3} \right)} = -1,33 \text{ kNm}$$

resultierendes Stützmoment und weitere Schnittgrößen

$$M_{B,t=\infty} = M_{B,1;t=0} + M_{B,2;t=0} = (-6,39) + (-1,33) = -7,72 \text{ kNm}$$

$$M_{l_1/2;t=\infty} = \frac{M_{B,1;t=\infty}}{2} + \frac{(g_k + \psi_2 \cdot p_k) \cdot l_1^2}{8} = \frac{(-7,72)}{2} + \frac{(3,00 + 0,30 \cdot 2,50) \cdot 4,80^2}{8} = 6,94 \text{ kNm}$$

$$A_{v,t=\infty} = V_{A;t=\infty} = \frac{1}{l_2} \cdot \left[ M_{B;t=\infty} + (g_k + \psi_2 \cdot p_k) \cdot \frac{l_1^2}{2} \right] = \frac{1}{4,80} \cdot \left[ (-7,72) + (3,00 + 0,3 \cdot 2,50) \cdot \frac{4,80^2}{2} \right] = 7,39 \text{ kN}$$

$$V_{l_1/2;t=\infty} = A_{v,t=\infty} - (g_k + \psi_2 \cdot p_k) \cdot \frac{l_1}{2} = 7,39 - (3,00 + 0,3 \cdot 2,50) \cdot \frac{4,80}{2} = -1,61 \text{ kN}$$

$$V_{B,l;t=\infty} = A_{v,t=\infty} - (g_k + \psi_2 \cdot p_k) \cdot l_1 = 7,39 - (3,00 + 0,3 \cdot 2,50) \cdot 4,80 = -10,6 \text{ kN}$$

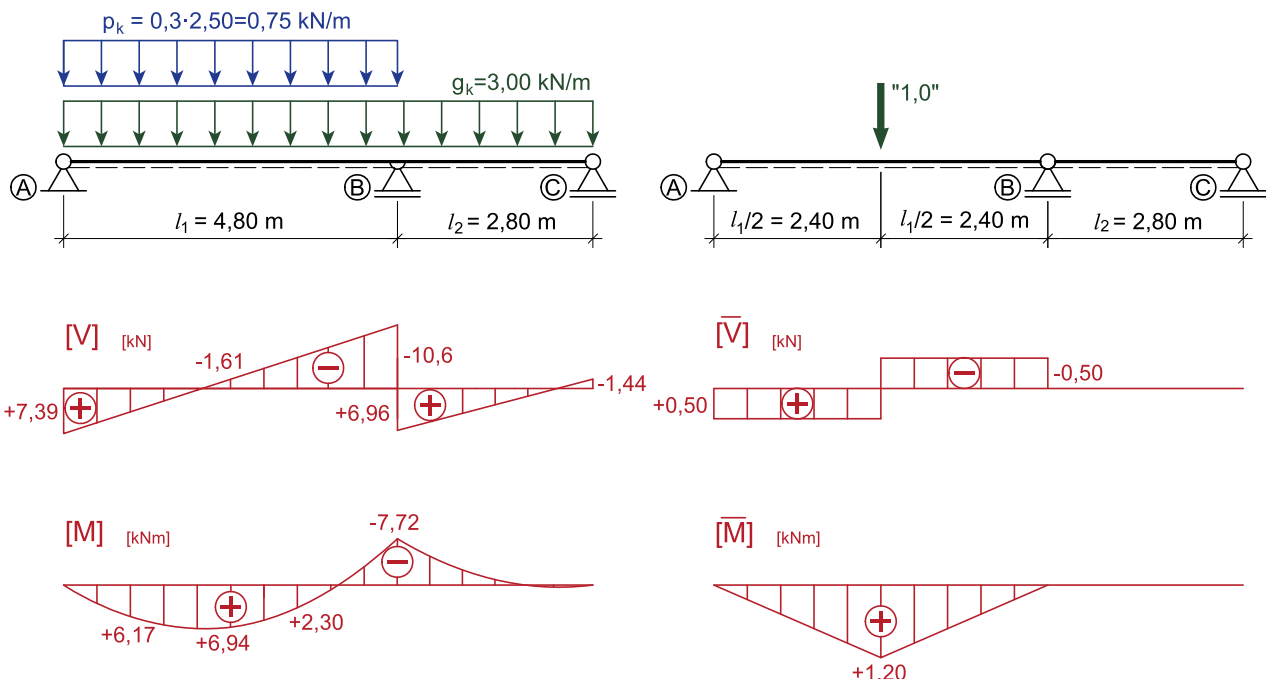
$$C_{v,t=\infty} = -V_{C;t=\infty} = \frac{1}{l_2} \cdot \left[ M_{B;t=\infty} + g_k \cdot \frac{l_2^2}{2} \right] = \frac{1}{2,80} \cdot \left[ -7,72 + 3,00 \cdot \frac{2,80^2}{2} \right] = 1,44 \text{ kN}$$

Schnittgrößen auf Grund der virtuellen „1“-Last

$$M_{l_1/2} = \frac{F \cdot l_1}{4} = \frac{"1" \cdot 4,80}{4} = 1,20 \text{ kNm}$$

$$V_A = -V_B = \frac{F}{2} = \frac{"1"}{2} = 0,50 \text{ kN}$$

Schnittkraftverläufe zur Ermittlung der Durchbiegung im Feld 1 (Feldmitte)  
(Anwendung des Reduktionssatzes der Baustatik)



- Auswertung mit Integraltafeln

$$\begin{aligned} w_{m,t=\infty} &= \bar{1} \cdot \delta = \int \frac{M \cdot \bar{M}}{K_{clt,t=\infty}} dx + \int \frac{V \cdot \bar{V}}{S_{clt,t=\infty}} dx = \\ &= \frac{1}{1,00 \cdot 10^3} \left[ \frac{1}{6} \cdot 4,80 \cdot 1,20 \cdot \left[ 0 + 2 \cdot 6,94 + (-7,72) \cdot \frac{1}{2} - \frac{1}{2} \cdot \frac{1}{2} \cdot (0 - 2 \cdot 6,94 + (-7,72)) \right] \right] + \\ &\quad + \frac{1}{8,38 \cdot 10^3} \left[ \frac{1}{2} \cdot \frac{4,80}{2} \cdot 0,50 \cdot (7,39 + (-1,61)) + \frac{1}{2} \cdot \frac{4,80}{2} \cdot (-0,50) \cdot ((-1,61) + (-10,6)) \right] \\ &= 1,48 \cdot 10^{-2} + 1,29 \cdot 10^{-3} = 1,61 \cdot 10^{-2} \text{ m} = 16,1 \text{ mm} (= 91,9\% + 8,01\%) \end{aligned}$$

- alternativ: Auswertung mit numerischer Integration (Simpson'sche Formel)

$$\begin{aligned} w_{m,t=\infty} &= \bar{1} \cdot \delta = \int \frac{M \cdot \bar{M}}{K_{clt,t=0}} dx + \int \frac{V \cdot \bar{V}}{S_{clt,t=0}} dx \\ &= \frac{1}{1,00 \cdot 10^3} \left[ \frac{2,40}{6} \cdot (0 + 4 \cdot 6,17 \cdot 0,60 + 6,94 \cdot 1,20) + \frac{2,40}{6} \cdot (6,94 \cdot 1,20 + 4 \cdot 2,30 \cdot 0,60 + (-7,72) \cdot 0) \right] + \\ &\quad + \frac{1}{8,38 \cdot 10^3} \left[ \frac{2,40}{6} \cdot ((7,39 + 4 \cdot 2,89 + (-1,61)) \cdot 0,50) + \frac{2,40}{6} \cdot ((-1,61) + 4 \cdot (-6,11) + (-10,6)) \cdot (-0,50) \right] \\ &= 1,48 \cdot 10^{-2} + 1,29 \cdot 10^{-3} = 1,61 \cdot 10^{-2} \text{ m} = 16,1 \text{ mm} (= 91,9\% + 8,01\%) \end{aligned}$$

**Nachweisführung**

Nachweis der Durchbiegung für die seltene (charakteristische) Einwirkungskombination

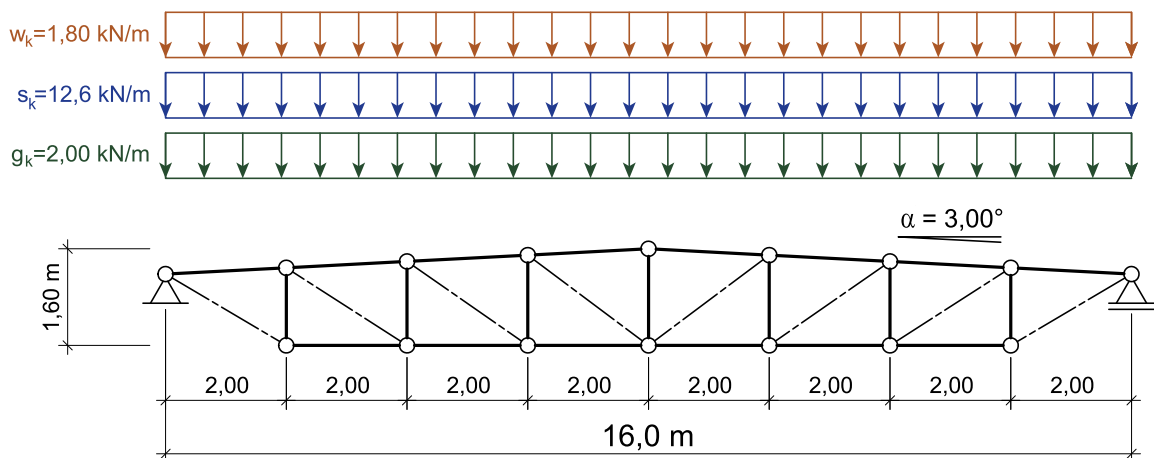
$$w_{\text{inst,grenz}} = \frac{l}{300} = \frac{4.800}{300} = 16,0 \text{ mm}$$

$$\frac{w_{\text{inst}}}{w_{\text{inst,grenz}}} = \frac{13,7}{16,0} = 0,86 < 1$$

Nachweis der Verformung für die quasi-ständige Einwirkungskombination

$$w_{\text{net,fin,grenz}} = \frac{l}{250} = \frac{4.800}{250} = 19,2 \text{ mm}$$

$$\frac{w_{\text{fin}} - w_c}{w_{\text{net,fin,grenz}}} = \frac{16,1 - 0}{19,2} = 0,84 < 1$$

**III.1.3. DURCHBIEGUNG FACHWERK****gegeben:**

Einwirkungen:	charakteristischer Wert der ständigen Einwirkung charakteristische Werte der veränderlichen Einwirkungen - Schnee (über 1.000 m Seehöhe) - Wind	$g_k = 2,00 \text{ kN/m}$ $s_k = 12,6 \text{ kN/m}$ $w_k = 1,80 \text{ kN/m}$
Querschnitte:	Ober- und Untergurt Vertikale Stahlstangen	$b/h = 200/220 \text{ mm}$ $b/h = 120/120 \text{ mm}$ $\emptyset 40 \text{ mm}$
Spannweite:	$l = 16,0 \text{ m}$	
Material:	Holzbauteile BSH GL 24h Stahlbauteile S235	
Verbindungen:	Holz-Stahlblech-Verbindung mit Stabdübel $\emptyset 12 \text{ mm}$ , zweiseitig	
Nutzungsklasse:	NKL 2	
Verformungsbeiwert:	$k_{\text{def}} = 0,80$	

**Berechnung der Stabkräfte**

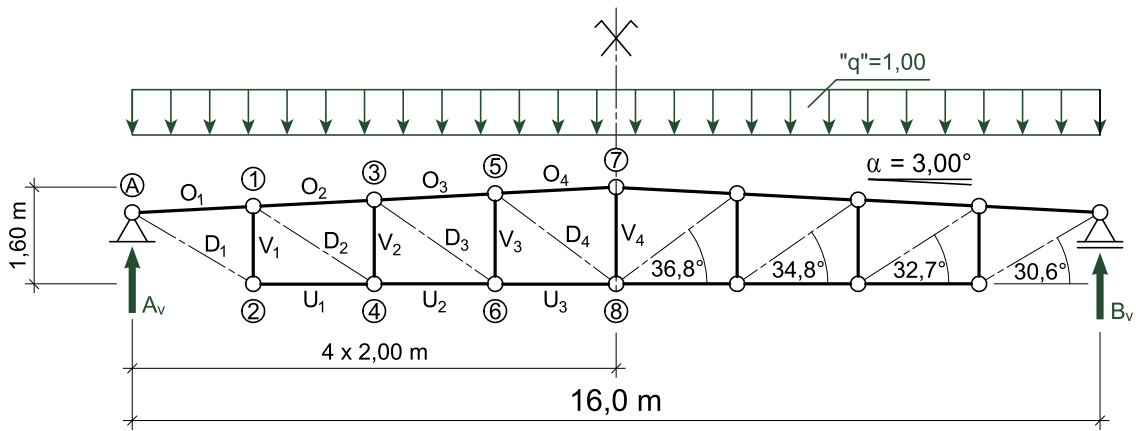
Anmerkung:

Es wird die Durchbiegung für die dargestellte Einwirkungssituation ermittelt. Auf die Darstellung weiterer Einwirkungskombinationen (z. B. „Schnee-halb“) wird aus Anschaulichkeitsgründen verzichtet.

• **Stabkräfte im Fachwerk auf Grund einer Einheitslast  $q = 1,00 \text{ kN/m}$**

Anmerkung:

Das Fachwerk wird als ideales Fachwerk mit gelenkigen Knotenpunkten modelliert. Nachfolgend werden exemplarisch die Stabkräfte einiger ausgewählter Stäbe ermittelt. Die weiteren Stabkräfte können den folgenden Tabellen entnommen werden.



Auflagerkraft

$$A_{v;1,0} = B_{v;1,0} = \frac{q \cdot l}{2} = \frac{1,0 \cdot 16,0}{2} = 8,00 \text{ kN}$$

Obergurtkraft  $O_4$

$$M_{m;1,0} = \frac{q \cdot l^2}{8} = \frac{1,00 \cdot 16,0^2}{8} = 32,0 \text{ kNm}$$

$$O_{4;1,0} = -\frac{M_{m;1,0}}{h_4 \cdot \cos \alpha} = -\frac{32,0}{1,60 \cdot \cos(3,00)} = -20,0 \text{ kN}$$

Untergurtkraft  $U_3$

$$M_{5;1,0} = A_{v;1,0} \cdot 3 \cdot l_1 - \frac{q \cdot (3 \cdot l_1)^2}{2} = 8,00 \cdot 3 \cdot 2,00 - \frac{1,00 \cdot (3 \cdot 2,00)^2}{2} = 30,0 \text{ kNm}$$

$$U_{3;1,0} = \frac{M_{5;1,0}}{h_4 - 3 \cdot l_1 \cdot \tan \alpha} = \frac{30,0}{1,60 - 3 \cdot 2,00 \cdot \tan(3,00)} = 20,1 \text{ kN}$$

Diagonale  $D_1$

$$M_{1;1,0} = A_{v;1,0} \cdot l_1 - \frac{q \cdot l_1^2}{2} = 8,00 \cdot 2,00 - \frac{1,00 \cdot 2,00^2}{2} = 14,0 \text{ kNm}$$

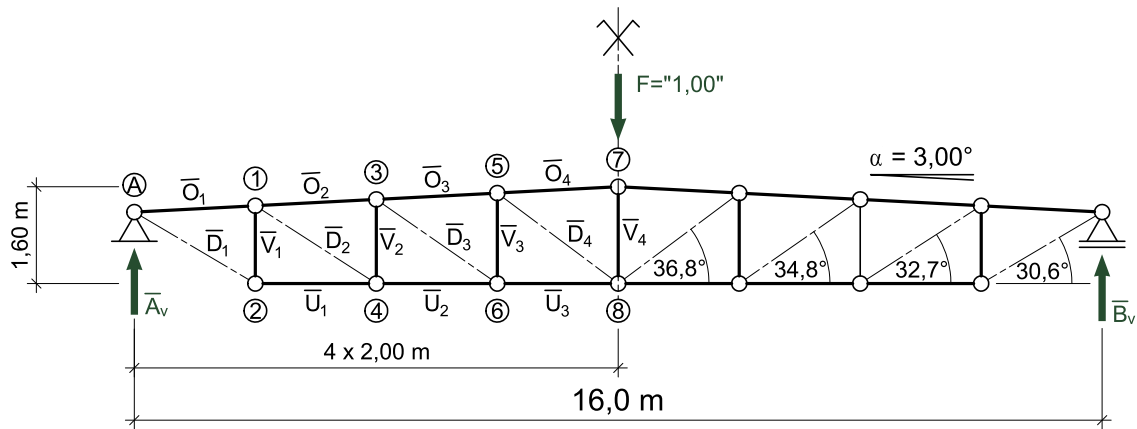
$$U_{1;1,0} = \frac{M_{1;1,0}}{h_4 - 3 \cdot l_1 \cdot \tan \alpha} = \frac{14,0}{1,60 - 3 \cdot 2,00 \cdot \tan(3,00)} = 10,9 \text{ kN}$$

$$D_{1;1,0} = \frac{U_{1;1,0}}{\cos \alpha_1} = \frac{10,9}{\cos(30,6)} = 12,7 \text{ kN}$$

Vertikale  $V_1$

$$V_{1;1,0} = -D_{1;1,0} \cdot \sin \alpha_1 = -12,7 \cdot \sin(30,6) = -6,47 \text{ kN}$$

- virtuelle „1“-Kraft an der Stelle der zu berechnenden Durchbiegung (in Feldmitte)



Auflagerkraft

$$\bar{A}_{v;1,0} = \bar{B}_{v;1,0} = \frac{\bar{F}}{2} = \frac{1,00}{2} = 0,50 \text{ kN}$$

Obergurtkraft O<sub>4</sub>

$$\bar{M}_{m;1,0} = A \cdot 4 \cdot l_1 = 0,50 \cdot 4 \cdot 2,00 = 4,00 \text{ kNm}$$

$$\bar{O}_{4;1,0} = -\frac{\bar{M}_{m;1,0}}{h_4 \cdot \cos(\alpha)} = -\frac{4,00}{1,60 \cdot \cos(3,00)} = -2,50 \text{ kN}$$

Untergurtkraft U<sub>3</sub>

$$\bar{M}_{5;1,0} = \bar{A}_{v;1,0} \cdot 3 \cdot l_1 = 0,50 \cdot 3 \cdot 2,00 = 3,00 \text{ kNm}$$

$$\bar{U}_{3;1,0} = \frac{\bar{M}_{5;1,0}}{h_4 - 3 \cdot l_1 \cdot \tan(\alpha)} = \frac{3,00}{1,60 - 3 \cdot 2,00 \cdot \tan(3,00)} = 2,01 \text{ kN}$$

Diagonale D<sub>1</sub>

$$\bar{M}_{l;1,0} = \bar{A}_{v;1,0} \cdot l_1 = 0,50 \cdot 2,00 = 1,00 \text{ kNm}$$

$$\bar{U}_{1;1,0} = \frac{\bar{M}_{l;1,0}}{h_4 - 3 \cdot l_1 \cdot \tan(\alpha)} = \frac{1,00}{1,60 - 3 \cdot 2,00 \cdot \tan(3,00)} = 0,778 \text{ kN}$$

$$\bar{D}_{1;1,0} = \frac{\bar{U}_{1;1,0}}{\cos(\alpha_1)} = \frac{0,778}{\cos(30,6)} = 0,904 \text{ kN}$$

Vertikale V<sub>1</sub>

$$\bar{V}_{1;1,0} = -\bar{D}_{1;1,0} \cdot \sin(\alpha_1) = -0,904 \cdot \sin(30,6) = -0,460 \text{ kN}$$

**Einflüsse der Lasteinwirkungsdauer und der Feuchte auf die Verformungen**

Wird die Verteilung der Schnittgrößen nicht durch die Steifigkeitsverteilung im Tragwerk beeinflusst sollten die E-Moduln zum Zeitpunkt  $t = \infty$  in der Berechnung wie folgt berücksichtigt werden:

Zeitpunkt	Lastfallkombination	Holz	Stahl	Verbindungsmittel
$t = 0$	charakteristische LK	$E_{\text{mean}}$	$E_s$	$K_{\text{ser}}$
$t = \infty$	quasi-ständige LK	$E_{\text{mean,fin}} = \frac{E_{\text{mean}}}{(1+k_{\text{def}})}$		$K_{\text{ser,fin}} = \frac{K_{\text{ser}}}{(1+k_{\text{def}})}$

aus EN 1995-1-1, Abschnitt 2.3.2.2 (3):

Wenn eine Verbindung aus Holzbauteilen mit dem gleichen zeitabhängigen Verhalten besteht, sollte der Wert für den Verformungsbeiwert  $k_{\text{def}}$  verdoppelt werden.

	$t = 0$	$t = \infty$
Holz	$E_{\text{mean}} = 11.500 \text{ N/mm}^2$	$E_{\text{mean,fin}} = \frac{11.500}{(1+0,80)} = 6.389 \text{ N/mm}^2$
Stahl		$E_{\text{mean}} = 210.000 \text{ N/mm}^2$
Verbindungsmittel <sup>1</sup> (Verschiebungsmodul je Scherfuge)	$K_{\text{ser}} = 2 \cdot \rho_m^{15} \cdot \frac{d}{23} = 2 \cdot 420^{15} \cdot \frac{12,0}{23} = 8.982 \text{ N/mm}$	$K_{\text{ser,fin}} = \frac{8.982}{(1+2 \cdot 0,80)} = 3.454 \text{ N/mm}^2$

<sup>1</sup> Bei Stahlblech-Holz- oder Beton-Holz-Verbindungen sollte der Verschiebungsmodul  $K_{\text{ser}}$  mit dem Faktor 2,0 multipliziert werden.

Kontaktschlupf in den vertikalen Stäben

$$u_{\text{Schlupf}} = -1,5 \text{ mm}$$

Anmerkung:

Die elastischen Verformungen in den Anschlüssen rechtwinklig zur Faser verursacht durch den Kontaktstoß der Vertikalen (Beanspruchung auf Querdruck) werden in diesem Beispiel vernachlässigt.

**Nachweis der Begrenzung der elastischen Anfangsdurchbiegung ( $t = 0$ )**

charakteristische Einwirkungskombination nach ÖNORM EN 1990:2013, Abschnitt 6.5.3 (2) a)

$$w_{\text{inst}} = \sum w_{\text{inst,G}} + w_{\text{inst,Q,1}} + \sum_{i>1} \psi_{0,i} \cdot w_{\text{inst,Q,i}} = \bar{w}_{\text{inst}} \cdot \left( \sum g_k + q_{k,1} + \sum_{i>1} \psi_{0,i} \cdot q_i \right) = \bar{w}_{\text{inst}} \cdot q_{\text{inst}}$$

$$\bar{w}_{\text{inst}} = \underbrace{\frac{N_i \cdot \bar{N}_i}{E_{\text{mean},i} \cdot A_i} \cdot l_i}_{\text{elastische Verformung}} + \underbrace{2 \cdot \frac{N_i \cdot \bar{N}_i}{n \cdot K_{\text{ser},i}}}_{\text{VM-Verformung}} + \underbrace{2 \cdot \bar{N}_i \cdot u_{\text{Schlupf},i}}_{\text{Schlupf}}$$

$$q_{\text{inst}} = \sum g_k + s_{k,1} + \sum_{i>1} \psi_{0,i} \cdot w_i = 2,00 + 12,6 + 0,6 \cdot 1,80 = 15,7 \text{ kN/m}$$

Anmerkung:

Der Faktor 2 in den Gleichungen für  $w_{\text{inst}}$  ergibt sich aus der Tatsache, dass die Verformungsanteile aus den Verbindungsmittern bzw. des Kontaktschlupfes jeweils am Anfang und Ende des betrachteten Stabes auftreten.

Stab	Stablänge	Querschnitt	Elastizitätsmodul	Stabkräfte		Verformungen						
						elastisch	Stabdübel (2 Anschlüsse)		Schlupf (2 Anschlüsse)			
	$l_i$	$A_i$	$E_{mean,fin}$	$N_i$	$\bar{N}_i$	$\frac{N_i \cdot \bar{N}_i}{E_{mean} \cdot A_i} \cdot l_i \cdot 10^3$	Anzahl VM mal Scherfugen	$2 \cdot \frac{N_i \cdot \bar{N}_i}{n_i \cdot K_{ser,fin,i}} \cdot 10^3$	$2 \cdot \bar{N}_i \cdot u_{Schlupf}$			
	[m]	[mm <sup>2</sup> ]	[N/mm <sup>2</sup> ]			[kN]	[mm]	[-]	[mm]	[mm]		
O <sub>1</sub>	≈ 2,00	44.000	11.500	- 10,9 · q	- 0,778	0,0335 · q	-	-	-	-		
O <sub>2</sub>	≈ 2,00			- 17,3 · q	- 1,44	0,0985 · q	-	-	-	-		
O <sub>3</sub>	≈ 2,00			- 20,1 · q	- 2,01	0,160 · q	-	-	-	-		
O <sub>4</sub>	≈ 2,00			- 20,0 · q	- 2,50	0,198 · q	-	-	-	-		
U <sub>1</sub>	2,00			10,9 · q	0,778	0,0335 · q	-	-	-	-		
U <sub>2</sub>	2,00			17,3 · q	1,44	0,0985 · q	-	-	-	-		
U <sub>3</sub>	2,00			20,1 · q	2,01	0,160 · q	-	-	-	-		
V <sub>1</sub>	1,29	14.400	210.000	- 6,47 · q	- 0,460	0,0232 · q	-	-	-	1,38		
V <sub>2</sub>	1,39			- 4,11 · q	- 0,421	0,0145 · q	-	-	-	1,26		
V <sub>3</sub>	1,50			- 1,95 · q	- 0,396	0,0700 · q	-	-	-	1,19		
V <sub>4</sub>	1,60			+0,0934/2 · q	- 0,738/2	≈ 0	-	-	-	2,21/2		
D <sub>1</sub>	2,32	1.260	210.000	12,7 · q	0,904	0,101 · q	120	0,0213 · q	-	-		
D <sub>2</sub>	2,38			7,61 · q	0,786	0,0538 · q	80	0,0166 · q	-	-		
D <sub>3</sub>	2,44			3,41 · q	0,693	0,0218 · q	36	0,0146 · q	-	-		
D <sub>4</sub> *	2,50			- 0,0780 · q	0,611	≈ 0	16	≈ 0	-	-		
<b>Summe Einzelspalten (Trägerhälfte)</b>						<b>1,07 · q</b>		<b>0,525 · q</b>	<b>4,94</b>			
<b>Summe Einzelspalten (Gesamtträger)</b>						<b>2,14 · q</b>		<b>0,105 · q</b>	<b>9,88</b>			

\* Die Diagonale D4 ist konstruktiv so ausgebildet, dass sie geringfügige Druckkräfte aufnehmen kann.

Anmerkung:  
Es wurde die Symmetrie des statischen Systems und der Einwirkung berücksichtigt. Der Stab 4 (in der Symmetriechse liegend) wurde einmal berücksichtigt.

Durchbiegung in Feldmitte

$$w_{inst} = 2,14 \cdot q_{inst} + 0,105 \cdot q_{inst} + 9,88 = 2,14 \cdot 15,7 + 0,105 \cdot 15,7 + 9,88 = 33,6 + 1,65 + 9,88 = 45,1 \text{ mm} (= 74,5\% + 3,66\% + 21,9\%)$$

Grenzwert der Anfangsdurchbiegung

$$w_{inst,grenz} = \frac{l}{300} = \frac{16.000}{300} = 53,3 \text{ mm}$$

Nachweis

$$\frac{w_{inst}}{w_{inst,grenz}} = \frac{45,1}{53,3} = 0,85 < 1$$

**GRUNDFÄLLE – NACHWEISE IM  
GRENZZUSTAND DER GEBRAUCHSTAUGLICHKEIT**

**Durchbiegung**

Nachweis der Begrenzung der gesamten Enddurchbiegung ( $t = \infty$ )  
für die quasi-ständige Einwirkungskombination nach ÖNORM EN 1990:2013, Abschnitt 6.5.3 (2) c)

<b>Stab</b>	<b>Stablänge</b>	<b>Quer-schnitt</b>	<b>Elastizi-tätsmodul</b>	<b>Stabkräfte</b>		<b>Verformungen</b>			
						elastisch	Stabdübel (2 Anschlüsse)	Schlupf (2 An-schlüsse)	
	$l_i$	$A_i$	$E_{mean,fin}$	$N_i$	$\bar{N}_i$	$\frac{N_i \cdot \bar{N}_i}{E_{mean,fin,i} \cdot A_i} \cdot l_i \cdot 10^6$	Anzahl VM mal Scherfugen	$2 \cdot \frac{N_i \cdot \bar{N}_i}{n_i \cdot K_{ser,fin,i}} \cdot 10^3$	$2 \cdot \bar{N}_i \cdot u_{Schlupf}$
	[m]	[mm <sup>2</sup> ]	[N/mm <sup>2</sup> ]			[kN]	[mm]	[-]	[mm]
O <sub>1</sub>	≈ 2,00			- 10,9 · q	- 0,778	0,0603 · q	-	-	-
O <sub>2</sub>	≈ 2,00			- 17,3 · q	- 1,44	0,177 · q	-	-	-
O <sub>3</sub>	≈ 2,00			- 20,1 · q	- 2,01	0,287 · q	-	-	-
O <sub>4</sub>	≈ 2,00			- 20,0 · q	- 2,50	0,356 · q	-	-	-
U <sub>1</sub>	2,00			10,9 · q	0,778	0,0603 · q	-	-	-
U <sub>2</sub>	2,00			17,3 · q	1,44	0,177 · q	-	-	-
U <sub>3</sub>	2,00			20,1 · q	2,01	0,287 · q	-	-	-
V <sub>1</sub>	1,29			- 6,47 · q	- 0,460	0,0417 · q	-	-	1,38
V <sub>2</sub>	1,39	14.400		- 4,11 · q	- 0,421	0,0261 · q	-	-	1,26
V <sub>3</sub>	1,50			- 1,95 · q	- 0,396	0,0126 · q	-	-	1,19
V <sub>4</sub>	1,60	7.200		+0,0934/2 · q	- 0,738/2	≈ 0	-	-	2,21/2
D <sub>1</sub>	2,32			12,7 · q	0,904	0,101 · q	120	0,0554 · q	-
D <sub>2</sub>	2,38			7,61 · q	0,786	0,0538 · q	80	0,0433 · q	-
D <sub>3</sub>	2,44			3,41 · q	0,693	0,0218 · q	36	0,0380 · q	-
D <sub>4</sub> *	2,50			- 0,0780 · q	0,611	≈ 0	16	≈ 0	-
<b>Summe Einzelpalten (Trägerhälfte)</b>						<b>1,66 · q</b>		<b>0,137 · q</b>	<b>4,94</b>
<b>Summe Einzelpalten (Gesamtträger)</b>						<b>3,32 · q</b>		<b>0,274 · q</b>	<b>9,88</b>

\* Die Diagonale D4 ist konstruktiv so ausgebildet, dass sie geringfügige Druckkräfte aufnehmen kann.

Einwirkungskombination zur Ermittlung der Enddurchbiegung

$$w_{net,fin} = \left( \sum_{j \geq 1} w_{inst,G,j} + \sum_{i \geq 1} \psi_{2,i} \cdot w_{inst,Q,i} \right) \cdot (1 + k_{def}) - w_c$$

$$\bar{w}_{fin} = \underbrace{\frac{N_i \cdot \bar{N}_i}{E_{mean,fin,i} \cdot A_i} \cdot l_i}_{\text{elastische Verformung}} + \underbrace{2 \cdot \frac{N_i \cdot \bar{N}_i}{n_i \cdot K_{ser,fin,i}}}_{\text{VM-Verformung}} + \underbrace{2 \cdot \bar{N}_i \cdot u_{Schlupf,i}}_{\text{Schlupf}}$$

$$q_{fin} = \sum_{j \geq 1} g_{k,j} + \sum_{i \geq 1} \psi_{2,i} \cdot w_i = 2,00 + 0,20 \cdot 12,6 + 0 \cdot 1,80 = 4,52 \text{ kN/m}$$

Durchbiegung in Feldmitte

$$w_{fin} = 3,32 \cdot q_{fin} + 0,274 \cdot q_{fin} + 9,88 = 3,32 \cdot 4,52 + 0,274 \cdot 4,52 + 9,88 = 15,0 + 1,24 + 9,88 = 26,1 \text{ mm} (= 57,5\% + 4,75\% + 38,0\%)$$

Grenzwert der Enddurchbiegung

$$w_{net,fin,grenz} = \frac{l}{250} = \frac{16.000}{250} = 64,0 \text{ mm}$$

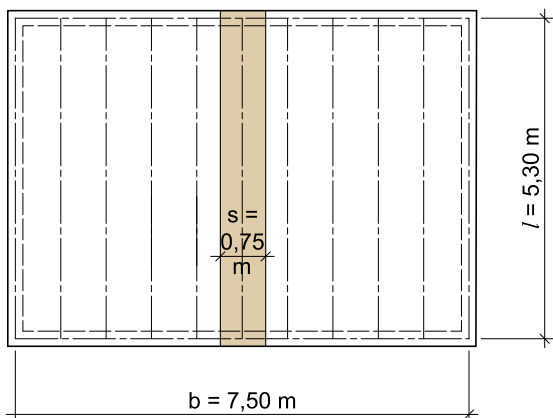
Nachweis

$$\frac{w_{fin} - w_c}{w_{net,fin,grenz}} = \frac{26,1}{64,0} = 0,41 < 1$$

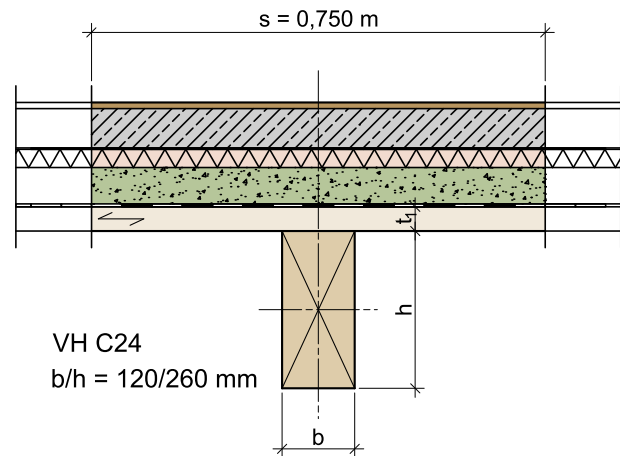
## **III.2 PERSONENINDUZIERTE SCHWINGUNGEN VON WOHNUNGSDECKEN**

### **III.2.1. HOLZBALKENDECKE**

Grundriss



Querschnitt



**gegeben:**

Holzbalkendecke mit Nassestrich und der Anforderung an Deckenklasse II gemäß ÖNORM B1995-1-1:2019 [2]

Deckenabmessungen:  $l = 5,30 \text{ m} / b = 7,50 \text{ m}$

Querschnitt: Holzbalken  $b/h = 120/260 \text{ mm}$ ; Schalung,  $t_1 = 40 \text{ mm}$

Betonestrich,  $t = 65 \text{ mm}$

Achsabstand:  $s = 750 \text{ mm}$

Material: Holzbalken VH C24, Schalung VH C24

Betonestrich, bewehrt ( $E_{cm} = 25.000 \text{ N/mm}^2$ )

Masse:  $m_{constr} = 240 \text{ kg}$

### **Biegesteifigkeiten der Deckenkonstruktion für einen Deckenstreifen mit der Breite $b = 1,00 \text{ m}$**

- in Deckenspannrichtung

$$(E \cdot I)_{ef,l} = \frac{(E \cdot I)_{beam}}{s} + (E \cdot I)_{screed} = \frac{\left( 11.000 \cdot \frac{120 \cdot 260^3}{12} \right)}{0,750} + 25.000 \cdot \frac{1.000 \cdot 65,0^3}{12} = 3,15 \cdot 10^{12} \text{ Nmm}^2/\text{m} = 3,15 \cdot 10^6 \text{ Nm}^2/\text{m}$$

- rechtwinklig zur Deckenspannrichtung

$$(E \cdot I)_{\text{ef,b}} = (E \cdot I)_{\text{tim}} + (E \cdot I)_{\text{screed}} = \left( 11.000 \cdot \frac{1.000 \cdot 40,0^3}{12} \right) + \left( 25.000 \cdot \frac{1.000 \cdot 65,0^3}{12} \right) = 6,31 \cdot 10^{11} \text{ Nmm}^2 / \text{m} = 6,31 \cdot 10^5 \text{ Nm}^2 / \text{m}$$

Überprüfung, ob eine Querverteilungswirkung gegeben ist

$$\frac{(E \cdot I)_{\text{ef,b}}}{(E \cdot I)_{\text{ef,l}}} = \frac{6,31 \cdot 10^5}{3,15 \cdot 10^6} = 0,200 > 0,05 \rightarrow \text{Querverteilung gegeben}$$

### Berechnung der 1. Eigenfrequenz mit Berücksichtigung der Querverteilungswirkung

Masse pro m<sup>2</sup> Deckenfläche

$$m = 240 + 500 \cdot 1,00 \cdot 0,04 + \frac{500 \cdot 0,12 \cdot 0,26}{0,750} = 281 \text{ kg/m}^2$$

Berechnung der 1. Eigenfrequenz

$$\begin{aligned} f_1 &= k_{e,1} \cdot k_{e,2} \cdot \frac{\pi}{2 \cdot l^2} \cdot \sqrt{\frac{(E \cdot I)_{\text{ef,l}}}{m}} \cdot \sqrt{1 + \left(\frac{l}{b}\right)^4 \cdot \frac{(E \cdot I)_{\text{ef,b}}}{(E \cdot I)_{\text{ef,l}}}} = \\ &= 1,00 \cdot 1,00 \cdot \frac{\pi}{2 \cdot 5,30^2} \cdot \sqrt{\frac{3,15 \cdot 10^6}{281}} \cdot \sqrt{1 + \left(\frac{5,30}{7,50}\right)^4 \cdot \frac{6,31 \cdot 10^5}{3,15 \cdot 10^6}} = 5,92 \cdot 1,02 = 6,04 \text{ Hz} > \begin{cases} f_{\min} = 4,50 \text{ Hz} \\ f_{1,\text{gr;DKII}} = 6,00 \text{ Hz} \end{cases} \end{aligned}$$

mit

$k_{e,1}$  ... Beiwert zur Berücksichtigung unterschiedlicher Lagerungsbedingungen

gelenkig - gelenkig  $k_{e,1} = 1,00$

$k_{e,2}$  ... Beiwert zur Ermittlung der Eigenfrequenz von Zweifeldträgern

$l_2/l = 1$   $k_{e,2} = 1,00$

→ zur Erfüllung der Schwingungsanforderungen der Deckenklasse II ist das Steifigkeitskriterium zu überprüfen!

### Steifigkeitskriterium

mitwirkende Breite  $b_F$

$$b_F = \min \left\{ \frac{l}{1,1}, \sqrt[4]{\frac{(E \cdot I)_{\text{ef,b}}}{(E \cdot I)_{\text{ef,l}}}} \right\} = \min \left\{ \frac{5,30}{1,1}, \sqrt[4]{\frac{6,31 \cdot 10^5}{3,15 \cdot 10^6}} = 3,22 \text{ m} \right\} = 3,22 \text{ m}$$

Durchbiegung infolge einer vertikal wirkenden statischen Einzellast  $F = 1 \text{ kN}$

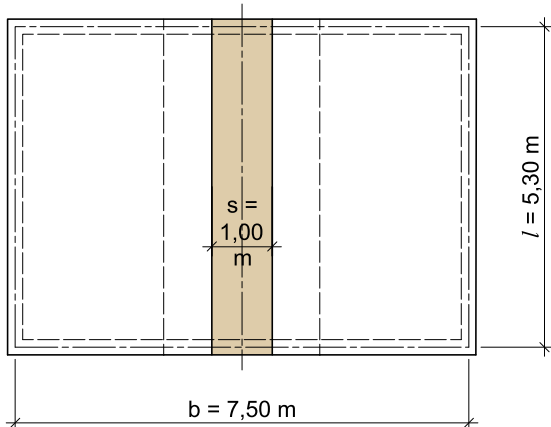
$$w_{\text{stat}} = \frac{F \cdot l^3}{48 \cdot (E \cdot I)_{\text{ef,l}} \cdot b_F} = \frac{1,00 \cdot 5,30^3}{48 \cdot 3,15 \cdot 10^6 \cdot 3,22} = 3,06 \cdot 10^{-4} \text{ m} = 0,306 \text{ mm} < w_{\text{gr;DKII}} = 0,50 \text{ mm}$$

### Zusammenfassung

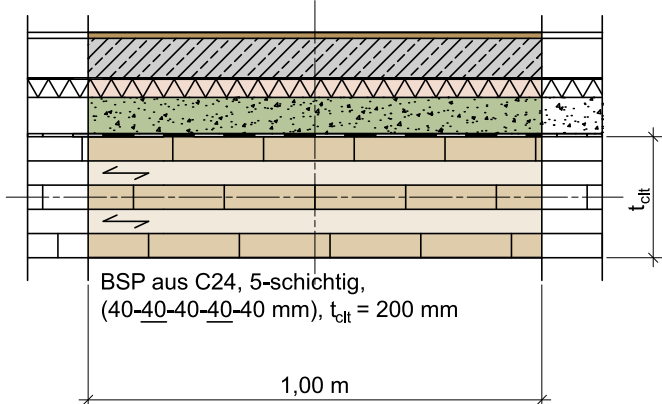
Mit der 1. Eigenfrequenz  $f_1 = 6,04 \text{ Hz} > f_{1,\text{gr;DKII}} = 6,00 \text{ Hz}$  und der Durchbiegung  $w_{\text{stat}} = 0,306 \text{ mm} < w_{\text{gr;DKII}} = 0,50 \text{ mm}$  auf Grund einer Einzellast  $F = 1 \text{ kN}$  in Feldmitte ist nachgewiesen, dass die Holzbalkendecke den Anforderungen an die Deckenklasse II gemäß ÖNORM B 1995-1-1 entspricht.

### III.2.2. BRETTSPERRHOLZDECKE

Grundriss



Querschnitt



**gegeben:**

Massivholzdecke aus BSP mit Nassestrich und der Anforderung an Deckenklasse I

gemäß ÖNORM B1995-1-1:2019 [2]

Deckenabmessungen:  $l = 5,30 \text{ m}$  /  $b = 7,50 \text{ m}$

Querschnitt: BSP, 5-schichtig (40-40-40-40-40 mm),  $t_{clt} = 200 \text{ mm}$

Betonestrich,  $t = 65 \text{ mm}$

Material: BSP aus Grundmaterial C24 nach EN 338

Estrich, bewehrt ( $E_{cm} = 25.000 \text{ N/mm}^2$ )

Masse:  $m_{constr} = 255 \text{ kg}$

#### Biegesteifigkeiten der Komponenten für eine Plattenstreifen mit der Breite $b = 1,00 \text{ m}$

$$K_{clt,l} = (E \cdot I)_l = \sum(E_i \cdot I_i) + \sum(E_i \cdot A_i \cdot e_i^2) = \\ = 11.500 \cdot 1.000 \cdot \left( 3 \cdot \frac{40,0^3}{12} + 2 \cdot 40,0 \cdot 80,0^2 \right) = 6,07 \cdot 10^{12} \text{ Nmm}^2 / \text{m} = 6,07 \cdot 10^6 \text{ Nm}^2 / \text{m}$$

$$K_{clt,b} = (E \cdot I)_b = \sum(E_i \cdot I_i) + \sum(E_i \cdot A_i \cdot e_i^2) = \\ = 11.500 \cdot 1.000 \cdot \left( 2 \cdot \frac{40,0^3}{12} + 2 \cdot 40,0 \cdot 40,0^2 \right) = 1,59 \cdot 10^{12} \text{ Nmm}^2 / \text{m} = 1,59 \cdot 10^6 \text{ Nm}^2 / \text{m}$$

$$(E \cdot I)_{screed} = 25.000 \cdot 1.000 \cdot \frac{65,0^3}{12} = 5,72 \cdot 10^{11} \text{ Nmm}^2 / \text{m} = 5,72 \cdot 10^5 \text{ Nm}^2 / \text{m}$$

Schubsteifigkeit der BSP-Platte

- Schubkorrekturfaktor

$$\kappa = \kappa_{10} + \frac{\kappa_{14,4} - \kappa_{10}}{4,4} \cdot \left( \frac{G_0}{G_r} - 10 \right) = 0,243 + \frac{0,177 - 0,243}{4,4} \cdot \left( \frac{690}{65} - 10 \right) = 0,234$$

- Schubsteifigkeit für einen Plattenstreifen mit der Breite  $b = 1,00 \text{ m}$

$$S_{clt} = \kappa \cdot \sum(G_i \cdot A_i) = 0,234 \cdot 1.000 \cdot (3 \cdot 690 \cdot 40,0 + 2 \cdot 65,0 \cdot 40,0) = 2,06 \cdot 10^7 \text{ N/m}$$

**Berechnung der effektiven Biegesteifigkeit (inkl. Eigenbiegesteifigkeit des Estrichs)**

- in Deckenspannrichtung

$$(E \cdot I)_{ef,l} = K_{clt,l} + (E \cdot I)_{screed} = 6,07 \cdot 10^6 + 5,72 \cdot 10^5 = 6,64 \cdot 10^6 \text{ Nm}^2 / \text{m}$$

- rechtwinkelig zur Deckenspannrichtung

$$(E \cdot I)_{ef,b} = K_{clt,b} + (E \cdot I)_{screed} = 1,59 \cdot 10^6 + 5,72 \cdot 10^5 = 2,16 \cdot 10^6 \text{ Nm}^2 / \text{m}$$

- Überprüfung ob eine Querverteilung gegeben ist

$$\frac{(E \cdot I)_{ef,b}}{(E \cdot I)_{ef,l}} = \frac{2,16 \cdot 10^6}{6,64 \cdot 10^6} = 0,325 > 0,05 \rightarrow \text{Querverteilung gegeben}$$

**Eigenfrequenz**

Massen

$$m = 255 + 500 \cdot 1,00 \cdot 0,200 = 355 \text{ kg/m}^2$$

Berechnung der 1. Eigenfrequenz

$$f_1 = \frac{\pi}{2 \cdot l^2} \cdot \sqrt{\frac{(E \cdot I)_{ef,l}}{m}} \cdot \sqrt{1 + \left(\frac{l}{b}\right)^4 \cdot \frac{(E \cdot I)_{ef,b}}{(E \cdot I)_{ef,l}}} = \frac{\pi}{2 \cdot 5,30^2} \cdot \sqrt{\frac{6,64 \cdot 10^6}{355}} \cdot \sqrt{1 + \left(\frac{5,30}{7,50}\right)^4 \cdot \frac{2,16 \cdot 10^6}{6,64 \cdot 10^6}} = 7,65 \cdot 1,04 = 7,95 \text{ Hz}$$

$$f_{\min} = 4,50 \text{ Hz} < f_1 = 7,95 \text{ Hz} < f_{gr;DKI} = 8,00 \text{ Hz}$$

→ zur Erfüllung der Anforderungen an die Deckenklasse I ist zusätzlich zum Steifigkeitskriterium auch die Einhaltung des Grenzwertes der Schwingbeschleunigung nachzuweisen

**Steifigkeitskriterium**

mitwirkende Breite

$$b_F = \min \left\{ \frac{l}{1,1} \cdot \sqrt[4]{\frac{(E \cdot I)_{ef,b}}{(E \cdot I)_{ef,l}}} = \min \left\{ \frac{5,30}{1,1} \cdot \sqrt[4]{\frac{2,16 \cdot 10^6}{6,64 \cdot 10^6}} = 3,64 \text{ m} \right. \right. \right. \\ \left. \left. \left. , \frac{7,50 \text{ m}}{} \right\} = 3,64 \text{ m} \right\}$$

Nachweis der Durchbiegung infolge einer vertikal wirkenden statischen Einzellast  
(inkl. Anteil der Schubverformung)

$$w_{stat} = \frac{F \cdot l^3}{48 \cdot (E \cdot I)_{ef,l} \cdot b_F} + \frac{F \cdot l}{4 \cdot (G \cdot A)_{ef} \cdot b_F} = \frac{1,00 \cdot 5,30^3}{48 \cdot 6,64 \cdot 10^6 \cdot 3,64} + \frac{1,00 \cdot 5,30}{4 \cdot 2,06 \cdot 10^4 \cdot 3,64} = \\ = 1,28 \cdot 10^{-4} + 1,80 \cdot 10^{-5} = 1,46 \cdot 10^{-4} \text{ m} = 0,146 \text{ mm} (= 87,7\% + 12,3\%) < w_{gr;DKI} = 0,25 \text{ mm}$$

Anmerkung:

Im Allgemeinen darf der Anteil der Schubverformung vernachlässigt werden!

**Schwingbeschleunigung**

Fourierkoeffizient

$$\alpha = e^{-0.4 \cdot t_1} = e^{-0.4 \cdot 7.95} = 0,0416$$

modale Masse

$$M^* = m \cdot \frac{l}{2} \cdot b_F = 355 \cdot \frac{5,30}{2} \cdot 3,64 = 3.424 \text{ kg}$$

Nachweis der Schwingbeschleunigung

$$a_{rms} = \frac{0,4 \cdot \alpha \cdot F_0}{2 \cdot \xi \cdot M^*} = \frac{0,4 \cdot 0,0416 \cdot 700}{2 \cdot 0,04 \cdot 3.424} = 0,0425 \text{ m/s}^2 < a_{gr;DKI} = 0,05 \text{ m/s}^2$$

**Zusammenfassung**

Die betrachtete Massivholzdecke aus BSP erfüllt die Anforderungen an die Deckenklasse I gemäß ÖNORM B 1995-1-1.



**KAPITEL IV**  
**VERBINDUNGEN**

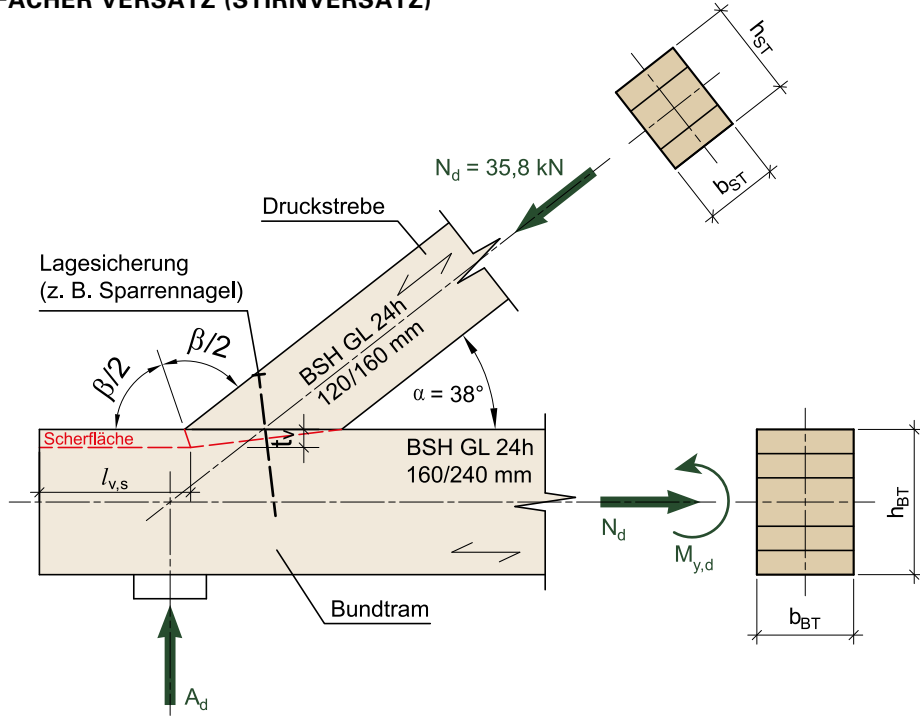
---

IV.1 zimmermannsmässige Verbindungen  
IV.2 ingenieurmässige Verbindungen

IV.3 - IV.4  
IV.5 - IV.25

## IV.1 ZIMMERMANNSMÄSSIGE VERBINDUNGEN

### IV.1.1 EINFACHER VERSATZ (STIRNVERSATZ)



#### gegeben:

Strebenkraft:  $N_d = 35,8 \text{ kN}$

Abmessungen: Strebe  $b_{ST}/h_{ST} = 120/160 \text{ mm}$   
Bundram  $b_{BT}/h_{BT} = 160/240 \text{ mm}$

Druckstrebenneigung:  $\alpha = 38,0^\circ$

Vorholzlänge:  $l_{v,s} = 250 \text{ mm}$

Material: BSH GL 24h

Nutzungsklasse: NKL 2

KLED: „mittel“

#### Baustoffkenngrößen

charakt. Wert der Druckfestigkeit (in FR):  $f_{c,0,k} = 24,0 \text{ N/mm}^2$  Tab. III.15

charakt. Wert der Druckfestigkeit (normal zur FR):  $f_{c,90,k} = 2,50 \text{ N/mm}^2$  Tab. III.15

charakt. Wert der Schubfestigkeit:  $f_{v,k} = 2,50 \text{ N/mm}^2$  Tab. III.15

Modifikationsbeiwert:  $k_{mod} = 0,80$  Tab. III.5

Teilsicherheitsbeiwert:  $\gamma_M = 1,25$  Tab. III.3

#### Kerengeometrie

$$t_v = \frac{h}{4} = \frac{200}{4} = 50 \text{ mm} \quad \text{für } \alpha \leq 50^\circ \text{ sowie } \beta = 180^\circ - \alpha$$

gewählt:  $t_v = 30 \text{ mm}$

**Nachweis des Stirnversatzes**

charakteristischer Wert der Druckfestigkeit unter einem Winkel  $\alpha/2$

$$f_{c,\alpha,g,k} = \frac{f_{c,0,g,k}}{\frac{f_{c,0,g,k}}{k_{c,90} \cdot f_{c,90,g,k}} \cdot \sin^2\left(\frac{\alpha}{2}\right) + \cos^2\left(\frac{\alpha}{2}\right)} = \frac{24,0}{\frac{24,0}{1,75 \cdot 2,50} \cdot \sin^2\left(\frac{38,0}{2}\right) + \cos^2\left(\frac{38,0}{2}\right)} = 16,3 \text{ N/mm}^2$$

Bemessungswert der Druckfestigkeit unter einem Winkel  $\alpha$

$$f_{c,\alpha,g,d} = k_{mod} \cdot \frac{f_{c,\alpha,g,k}}{\gamma_M} = 0,80 \cdot \frac{16,3}{1,25} = 10,4 \text{ N/mm}^2$$

$$A_\alpha = b_{Strebe} \cdot \frac{t_v}{\cos\left(\frac{\alpha}{2}\right)} = 120 \cdot \frac{30,0}{\cos\left(\frac{38,0}{2}\right)} = 3.807 \text{ mm}^2$$

Spannung

$$\sigma_{c,\alpha,d} = \frac{N_d \cdot \cos\left(\frac{\alpha}{2}\right)}{A_\alpha} = \frac{35,8 \cdot 10^3 \cdot \cos\left(\frac{38,0}{2}\right)}{3.807} = 8,89 \text{ N/mm}^2$$

Nachweis

$$\frac{\sigma_{c,\alpha,d}}{f_{c,\alpha,g,d}} = \frac{8,89}{10,4} = 0,85 < 1$$

**Nachweis Abscheren des Vorholzes**

Bemessungswert der Schubspannung

Vorholzlänge

$$l_{v,s,calc} \leq 8 \cdot t_v = 8 \cdot 30,0 = 240 \text{ mm}$$

$$l_{v,s} = 250 \text{ mm} > \min l_{v,s} = 200 \text{ mm}$$

Schubspannung im Vorholz

$$\tau_d = \frac{N_d \cdot \cos \alpha}{l_{v,s,calc} \cdot b_{ef,BT}} = \frac{35,8 \cdot 10^3 \cdot \cos(38,0)}{240 \cdot 160} = 0,735 \text{ N/mm}^2$$

Anmerkung:

Traditionell wurde in der österreichischen Holzbaunormung zwischen einer Schubbeanspruchung auf Abscheren und einer Schubbeanspruchung bei einer Querkraft unterschieden. Bei einer Abscherbeanspruchung waren dabei, auf Grund der auftretenden Spannungsspitzen, rund 25% geringere Festigkeiten in der Nachweisführung zu berücksichtigen. In ÖNORM B 1995-1-1:2019 ist eine Reduktion der Schubspannung nicht vorgesehen, weshalb im vorliegenden Fall keine Abminderung berücksichtigt wurde. Es liegt im Ermessen des Nachweiführenden dennoch von der angesprochenen Abminderung Gebrauch zu machen.

Nachweis

$$\frac{\tau_d}{f_{v,g,d}} = \frac{0,735}{1,60} = 0,46 < 1$$

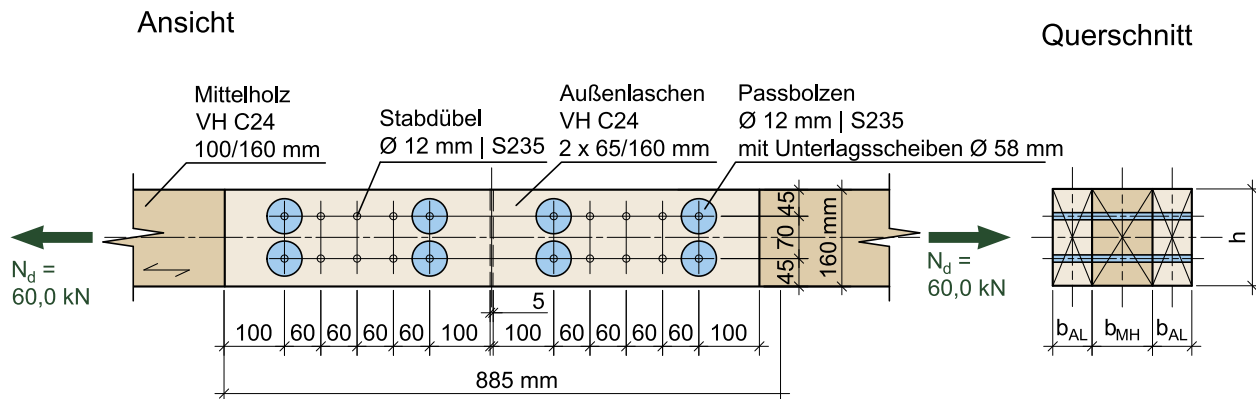
weitere zu führende Nachweise (hier nicht ausgearbeitet):

- Auflagerpressung (Querdruck)
- Nachweisführung für die Strebe auf Druck und Biegung (letztere verursacht durch die Exzentrizität der Krafteinleitung im Versatz)
- Bemessung des Bundtrames unter Berücksichtigung des entstehenden Versatzmomentes

## IV.2 INGENIEURMÄSSIGE VERBINDUNGEN

### IV.2.1. VORWIEGEND AUF ABSCHEREN BEANSPRUCHTE VERBINDUNGSMITTEL

#### IV.2.1.1. Stabdübelverbindung – Zuglaschenstoß



#### gegeben:

Schnittlast:  $N_d = 60,0 \text{ kN}$

Abmessungen: Mittelholz  $b_{MH}/h_{MH} = 100/160 \text{ mm}$   
außenliegende Laschen  $b_{AL}/h_{AL} = 2 \times 65/160 \text{ mm}$

Verbindungsmittel: Stabdübel  $d = 12 \text{ mm}$

Material: Holzbauteile: VH C24  
Stabdübel: S235

Nutzungsklasse: NKL 2

KLED: „mittel“

#### Baustoffkenngrößen

charakteristischer Wert der Zugfestigkeit:  $f_{t,0,k} = 14,5 \text{ N/mm}^2$

Tab. III.9

charakteristischer Wert der Rohdichte  $\rho_k = 350 \text{ kg/m}^3$

Tab. III.9

Modifikationsbeiwert:  $k_{mod} = 0,80$

Tab. III.5

Teilsicherheitsbeiwert:  $\gamma_M = 1,30$

Tab. III.3

Teilsicherheitsbeiwert Verbindung:  $\gamma_{M,Verb} = 1,30$

Tab. III.3

Bemessungswert der Zugfestigkeit

$$f_{t,0,d} = k_{mod} \cdot \frac{f_{t,0,k}}{\gamma_M} = 0,80 \cdot \frac{14,5}{1,30} = 8,92 \text{ N/mm}^2$$

Tab. III.9

## Überprüfung der Randabstände

Tab. V.6

Stabdübel d = 12 mm				
$\alpha = 0^\circ$			erforderlich	vorhanden
$a_1$	[mm]	$\geq (3+2 \cdot  \cos \alpha ) \cdot d$	60 mm	60 mm
$a_2$	[mm]	$\geq 3 \cdot d$	36 mm	70 mm
$a_{3,t}$	[mm]	$\max \{ \geq 7 \cdot d; 80 \text{ mm} \}$	84 mm	100 mm
$a_{4,c}$	[mm]	$\geq 3 \cdot d$	36 mm	45 mm

charakteristischer Wert der Lochleibungsfestigkeit des Holzes

$$f_{h,1,k} = f_{h,2,k} = 0,082 \cdot (1 - 0,01 \cdot d) \cdot \rho_k = 0,082 \cdot (1 - 0,01 \cdot 12,0) \cdot 350 = 25,3 \text{ N/mm}^2$$

Tab. V.8

Verhältnis der Lochleibungsfestigkeiten

$$\beta = \frac{f_{h,2,k}}{f_{h,1,k}} = \frac{25,3}{25,3} = 1,00$$

charakteristischer Wert des Fließmoment

$$M_{y,Rk} = 0,3 \cdot f_{u,k} \cdot d^{2,6} = 0,3 \cdot 360 \cdot 12,0^{2,6} = 6,91 \cdot 10^4 \text{ Nmm}$$

Tab. V.14

Tragfähigkeit je Verbindungsmittel und Scherfuge für eine zweischichtige Holz-Holz-Verbindung

$$\begin{aligned}
F_{v,Rk} &= \min \left( \begin{array}{l} F_{v,Rk,g} = f_{h,1,k} \cdot t_1 \cdot d \\ F_{v,Rk,h} = 0,5 \cdot f_{h,2,k} \cdot t_2 \cdot d \\ F_{v,Rk,j} = 1,05 \cdot \frac{f_{h,1,k} \cdot t_1 \cdot d}{2 + \beta} \cdot \left[ \sqrt{2 \cdot \beta \cdot (1 + \beta) + \frac{4 \cdot \beta \cdot (2 + \beta) \cdot M_{y,Rk}}{f_{h,1,k} \cdot t_1^2 \cdot d}} - \beta \right] + \frac{F_{ax,k}}{4} \\ F_{v,Rk,k} = 1,15 \cdot \sqrt{\frac{2 \cdot \beta}{1 + \beta}} \cdot \sqrt{2 \cdot M_{y,Rk} \cdot f_{h,1,k} \cdot d} + \frac{F_{ax,k}}{4} \end{array} \right) \\
&= \min \left( \begin{array}{l} 25,3 \cdot 65,0 \cdot 12,0 \\ 0,5 \cdot 25,3 \cdot 100 \cdot 12,0 \\ 1,05 \cdot \frac{25,3 \cdot 65,0 \cdot 12,0}{2 + 1,00} \cdot \left[ \sqrt{2 \cdot 1,00 \cdot (1 + 1,00) + \frac{4 \cdot 1,00 \cdot (2 + 1,00) \cdot 6,91 \cdot 10^4}{25,3 \cdot 65,0^2 \cdot 12,0}} - 1,00 \right] + 0 \\ 1,15 \cdot \sqrt{\frac{2 \cdot 1,00}{1 + 1,00}} \cdot \sqrt{2 \cdot 6,91 \cdot 10^4 \cdot 25,3 \cdot 12,0} + 0 \end{array} \right) \\
&= \min \left( \begin{array}{l} 19,734 \text{ N} \\ 15,180 \text{ N} \\ 7,981 \text{ N} \\ 7,449 \text{ N} \end{array} \right) = 7,45 \text{ kN}
\end{aligned}$$

Anmerkung zur Ausführung des Laschenstoßes:

Zur Gewährleistung einer Klemmwirkung der Verbindung sollte diese an den Ecken mit Passbolzen ausgeführt werden. Auf die Berücksichtigung des Seileffektes der Passbolzen wurde in diesem Beispiel aus Anschaulichkeitsgründen verzichtet.

### Bemessungswert der Tragfähigkeit je Verbindungsmittel und Scherfuge

$$F_{v,Rd} = k_{mod} \cdot \frac{F_{v,Rk}}{\gamma_{M,Verb}} = 0,80 \cdot \frac{7,45}{1,30} = 4,58 \text{ kN}$$

### wirksame Verbindungsmittelanzahl

$$n_{ef} = n^{0,9} \cdot \sqrt[4]{\frac{a_1}{13 \cdot d} \cdot \frac{90-\alpha}{90} + n \cdot \frac{\alpha}{90}} = 5^{0,9} \cdot \sqrt[4]{\frac{60}{13 \cdot 12,0} \cdot \frac{90-0}{90} + 5 \cdot \frac{0}{90}} = 3,35$$
Tab. V.34

### Bemessungswert der Verbindung

$$R_{v,Rd} = s \cdot m \cdot n_{ef} \cdot F_{v,Rd} = 2 \cdot 2 \cdot 3,35 \cdot 4,58 = 61,4 \text{ kN}$$

mit

s ... Schnittigkeit

m ... Anzahl der Verbindungsmittelreihen

$n_{ef}$  ... wirksame Verbindungsmittelanzahl

### Nachweis

$$\frac{N_d}{R_{v,Rd}} = \frac{60,0}{61,4} = 0,98 < 1$$

### Netto-Querschnittsnachweise

- außenliegende Laschen

Anmerkung:

Die Außenlaschen des Zugstoßes werden auf Grund der exzentrischen Lasteinleitung der Verbindungsmittelkräfte durch eine Normalkraft und ein Moment beansprucht. Wird kein genauerer Nachweis erbracht, sollte der Nettoquerschnittsnachweis der Außenlaschen auf Zug näherungsweise mit der anteiligen Kraft multipliziert mit dem Faktor 1,5 erbracht werden.

- Außenlasche

$$A_{n,Lasche} = b \cdot (h - m \cdot d) = 65,0 \cdot (160 - 2 \cdot 12,0) = 8,84 \cdot 10^3 \text{ mm}^2$$

$$\sigma_{t,0,d,Lasche} = 1,5 \cdot \frac{N_d}{2 \cdot A_{n,Lasche}} = 1,5 \cdot \frac{60,0 \cdot 10^3}{2 \cdot 8,84 \cdot 10^3} = 5,09 \text{ N/mm}^2$$

$$\frac{\sigma_{t,0,d,Lasche}}{f_{t,0,d}} = \frac{5,09}{8,92} = 0,57 < 1$$

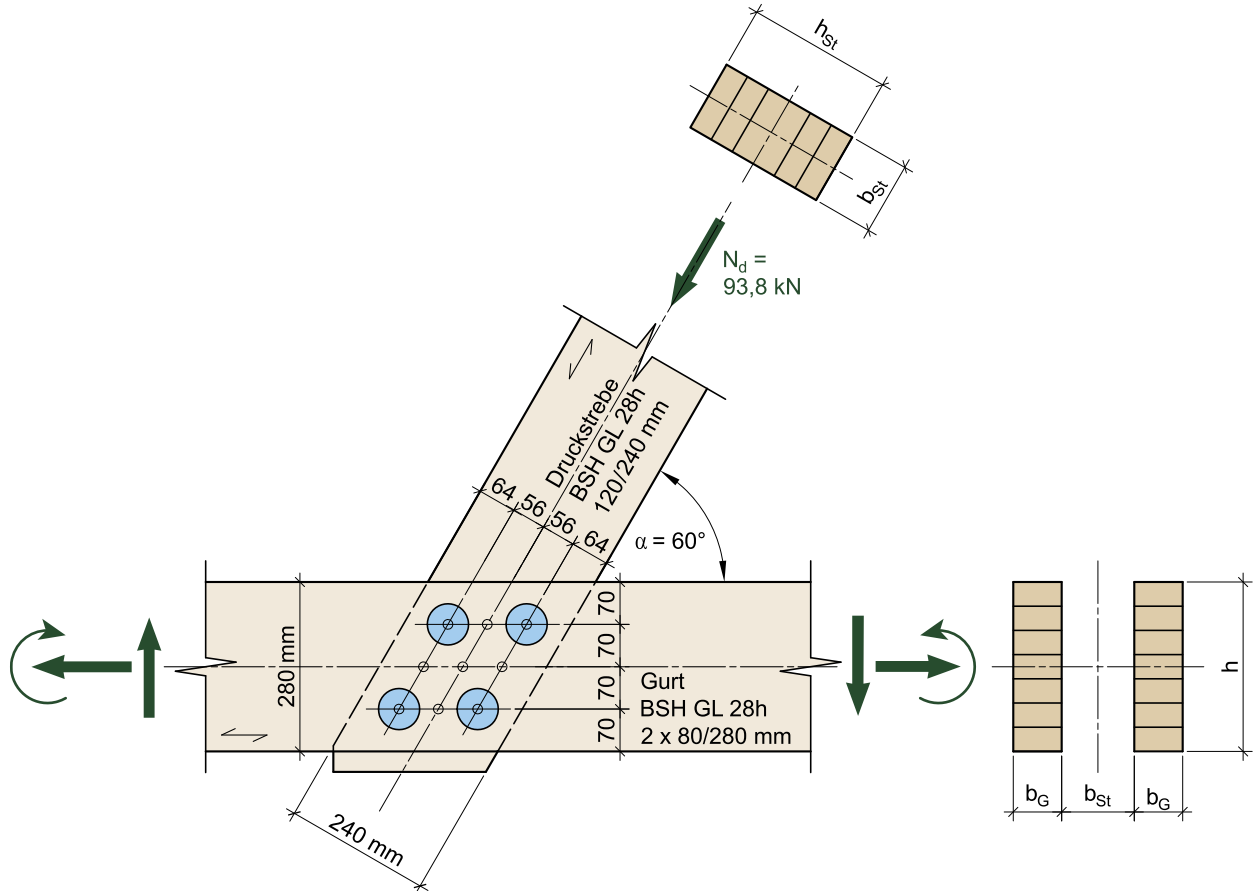
- Mittelholz

$$A_{n,MH} = b \cdot (h - m \cdot d) = 100 \cdot (160 - 2 \cdot 12,0) = 1,36 \cdot 10^4 \text{ mm}^2$$

$$\sigma_{t,0,d,MH} = \frac{N_d}{A_{n,MH}} = \frac{60,0 \cdot 10^3}{1,36 \cdot 10^4} = 4,41 \text{ N/mm}^2$$

$$\frac{\sigma_{t,0,d,MH}}{f_{t,0,d}} = \frac{4,41}{8,92} = 0,49 < 1$$

## IV.2.1.2. Stabdübelverbindung – Anschluß eines schrägen Druckstabs

**gegeben:**

Schnittgrößen:	$N_{g,k} = 25,0 \text{ kN}$ ; $N_{w,k} = 40,0 \text{ kN}$
Abmessungen:	zweiteiliger Gurt $b_G/h_G = 2 \times 80/280 \text{ mm}$
	einteiliger Druckstab $b_{St}/h_{St} = 120/200 \text{ mm}$
Verbindungsmittel:	Stabdübel $d = 16 \text{ mm}$
Material:	Holzbauteile BSH GL 28h
	Stabdübel: S235
Nutzungsklasse:	NKL 2
KLED:	„kurz“

**Baustoffkenngrößen**

charakteristischer Wert der Rohdichte	$\rho_k = 425 \text{ kg/m}^3$	Tab. III.16
Modifikationsbeiwert:	$k_{mod} = 0,90$	Tab. III.5
Teilsicherheitsbeiwert:	$\gamma_M = 1,25$	Tab. III.3
Teilsicherheitsbeiwert Verbindung:	$\gamma_{M,Verb} = 1,30$	Tab. III.3

**maßgebende Einwirkungskombination**

$$N_d = \gamma_G \cdot N_{g,k} + \gamma_Q \cdot N_{w,k} = 1,35 \cdot 25,0 + 1,50 \cdot 40,0 = 93,8 \text{ kN}$$

## Überprüfung der Randabstände

Tab. V.6

Stabdübel d = 16 mm						
			Gurt ( $\alpha = 60^\circ$ )		Druckstrebe ( $\alpha = 0^\circ$ )	
			erforderlich	vorhanden	erforderlich	vorhanden
a <sub>1</sub>	[mm]	$\geq (3+2 \cdot  \cos \alpha ) \cdot d$	64 mm	65 mm	80 mm	81 mm
a <sub>2</sub>	[mm]	$\geq 3 \cdot d$	48 mm	70 mm	48 mm	56 mm
a <sub>3,c</sub>	[mm]	90° ≤ α ≤ 150°: a <sub>3t</sub> ·  sin α  150° ≤ α ≤ 210°: max{3,5 · d; 40 mm} 210° ≤ α ≤ 270°: a <sub>3t</sub> ·  sin α	–	–	56 mm	120 mm
a <sub>4,t</sub>	[mm]	max{(2 + 2 · sin α) · d, 3 · d}	60 mm	70 mm	–	–
a <sub>4,c</sub>	[mm]	$\geq 3 \cdot d$	48 mm	70 mm	48 mm	64 mm

## Lochleibungsfestigkeiten

$$f_{h,2,\alpha,k} = f_{h,0,k} = 0,082 \cdot (1 - 0,01 \cdot d) \cdot \rho_k = 0,082 \cdot (1 - 0,01 \cdot 16,0) \cdot 425 = 29,3 \text{ N/mm}^2$$

Tab. V.8

$$f_{h,1,\alpha,k} = \frac{f_{h,1,k}}{(1,35 + 0,015 \cdot d) \cdot \sin^2 \alpha + \cos^2 \alpha} = \frac{29,3}{(1,35 + 0,015 \cdot 16,0) \cdot \sin^2 60,0 + \cos^2 60,0} = 20,3 \text{ N/mm}^2$$

Tab. V.10

$$\beta = \frac{f_{h,2,k}}{f_{h,1,\alpha,k}} = \frac{29,3}{20,3} = 1,44$$

## Fließmoment

$$M_{y,Rk} = 0,3 \cdot f_{u,k} \cdot d^{2,6} = 0,3 \cdot 360 \cdot 16,0^{2,6} = 1,46 \cdot 10^5 \text{ Nmm}$$

Tab. V.14

Tragfähigkeit je Verbindungsmittel und Scherfuge für eine zweischnittige Holz-Holz-Verbindung

$$\begin{aligned}
F_{v,Rk} &= \min \left\{ \begin{array}{l} F_{v,Rk;g} = f_{h,1,k} \cdot t_1 \cdot d \\ F_{v,Rk;h} = 0,5 \cdot f_{h,2,k} \cdot t_2 \cdot d \\ F_{v,Rk;j} = 1,05 \cdot \frac{f_{h,1,k} \cdot t_1 \cdot d}{2 + \beta} \cdot \left[ \sqrt{2 \cdot \beta \cdot (1 + \beta) + \frac{4 \cdot \beta \cdot (2 + \beta) \cdot M_{y,Rk}}{f_{h,1,k} \cdot t_1^2 \cdot d}} - \beta \right] + \frac{F_{ax,Rk}}{4} \\ F_{v,Rk;k} = 1,15 \cdot \sqrt{\frac{2 \cdot \beta}{1 + \beta}} \cdot \sqrt{2 \cdot M_{y,Rk} \cdot f_{h,1,k} \cdot d} + \frac{F_{ax,Rk}}{4} \end{array} \right. \\
&= \min \left\{ \begin{array}{l} 20,3 \cdot 80,0 \cdot 16,0 \\ 0,5 \cdot 29,3 \cdot 120 \cdot 16,0 \\ 1,05 \cdot \frac{20,3 \cdot 80,0 \cdot 16,0}{2 + 1,44} \cdot \left[ \sqrt{2 \cdot 1,44 \cdot (1 + 1,44) + \frac{4 \cdot 1,44 \cdot (2 + 1,44) \cdot 1,46 \cdot 10^5}{20,3 \cdot 80,0^2 \cdot 16,0}} - 1,44 \right] + \frac{F_{ax,Rk}}{4} \\ 1,15 \cdot \sqrt{\frac{2 \cdot 1,44}{1 + 1,44}} \cdot \sqrt{2 \cdot 1,46 \cdot 10^5 \cdot 20,3 \cdot 16,0} + \frac{F_{ax,Rk}}{4} \end{array} \right. \\
&= \min \left\{ \begin{array}{l} 25,984 \text{ N} \\ 28,128 \text{ N} \\ 11,592 \text{ N} \\ 12,167 \text{ N} \end{array} \right. = 11,6 \text{ kN} + \frac{F_{ax,Rk}}{4}
\end{aligned}$$

### Seileffekt für die Passbolzen

Unterlagsscheibe für M16:  $d_a = 68 \text{ mm}$  |  $d_i = 18,0 \text{ mm}$  |  $t = 6 \text{ mm}$

$$\frac{F_{ax,Rk}}{4} = \min \left\{ \begin{array}{l} \frac{F_{v,Rk}}{4} \\ \min \left\{ \frac{1}{4} \cdot k_{c,90} \cdot f_{c,90,k} \cdot A_{ef,US} \right. \\ \left. \frac{1}{4} \cdot \frac{\gamma_{M,Verb}}{\gamma_{M,St,2}} \cdot f_{y,k} \cdot A_{ef} \right\} \end{array} \right\} = \min \left\{ \begin{array}{l} \frac{11.592}{4} = 2.898 \text{ N} \\ \min \left\{ \frac{1}{4} \cdot 3.00 \cdot 2.50 \cdot \frac{(68,0^2 - 18,0^2) \cdot \pi}{4} = 6.332 \text{ N} = 2.90 \text{ kN} \right. \\ \left. \frac{1}{4} \cdot \frac{1,30}{1,25} \cdot 235 \cdot 157 = 14.989 \text{ N} \right\} \end{array} \right\}$$

### gewichtete Tragfähigkeit je Verbindungsmittel

Anmerkung:

Für Stabdübel darf kein Anteil (0%) aus dem Seileffekt in Rechnung gestellt werden.

$$\bar{F}_{v,Rd} = \frac{n_{StDü}}{n} \cdot F_{v,Rk} + \frac{n_{PassB}}{n} \cdot \left( F_{v,rk} + \frac{F_{ax,Rk}}{4} \right) = \frac{5}{9} \cdot 11,6 + \frac{4}{9} \cdot (11,6 + 2,90) = 12,9 \text{ kN}$$

### Bemessungswert der Tragfähigkeit

$$F_{v,Rd} = k_{mod} \cdot \frac{F_{v,Rk}}{\gamma_{M,Verb}} = 0,90 \cdot \frac{12,9}{1,30} = 8,93 \text{ kN}$$

### wirksame Verbindungsmittelanzahl

- für den Gurt ( $\alpha = 60^\circ$ )

$$n_{ef} = n^{0,9} \cdot \sqrt[4]{\frac{a_1}{13 \cdot d}} \cdot \frac{90-\alpha}{90} + n \cdot \frac{\alpha}{90} = 3^{0,9} \cdot \sqrt[4]{\frac{70,0}{13 \cdot 16,0}} \cdot \frac{90-60,0}{90} + 3 \cdot \frac{60,0}{90} = 2,68$$

Tab. V.34

- für die Druckstrebe ( $\alpha = 0^\circ$ )

$$n_{ef} = n^{0,9} \cdot \sqrt[4]{\frac{a_1}{13 \cdot d}} \cdot \frac{90-\alpha}{90} + n \cdot \frac{\alpha}{90} = 3^{0,9} \cdot \sqrt[4]{\frac{81,0}{13 \cdot 16,0}} \cdot \frac{90-0}{90} + 3 \cdot \frac{0}{90} = 2,12$$

Tab. V.34

### Bemessungswert der Tragfähigkeit der Verbindung

- für den Gurt

$$R_{v,Rd} = s \cdot m \cdot n_{ef} \cdot F_{v,Rd} = 2 \cdot 3 \cdot 2,68 \cdot 8,93 = 144 \text{ kN}$$

- für die Druckstrebe

$$R_{v,Rd} = s \cdot m \cdot n_{ef} \cdot F_{v,Rd} = 2 \cdot 3 \cdot 2,12 \cdot 8,93 = 114 \text{ kN}$$

### Nachweis

$$\frac{N_d}{R_{v,Rd}} = \frac{93,8}{114} = 0,82 < 1$$

### Netto-Querschnittsnachweis

- für die Druckstrebe

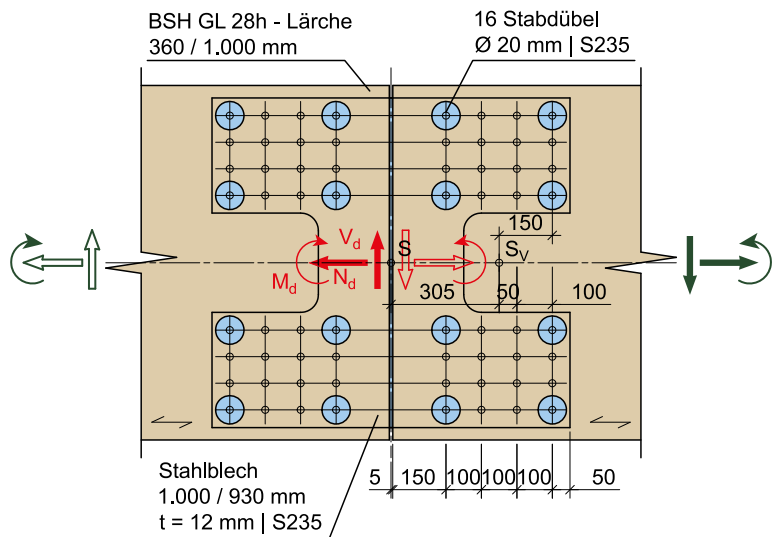
Es ist kein Netto-Querschnittsnachweis erforderlich, weil die Querschnittsschwächung der Stabdübel-/Passbolzenbohrung vollflächig ausgefüllt ist.

- für den Gurt

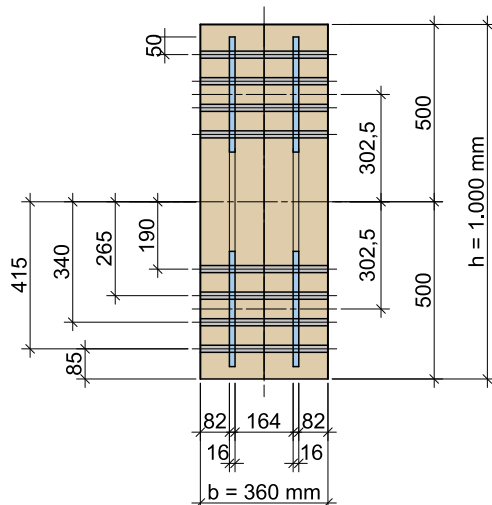
Die Querschnittsschwächung ist auf der Biegezugseite zu berücksichtigen. Für den Netto-Querschnittsnachweis sind die Schnittgrößen im Gurt an der Stelle der Verbindung heranzuziehen.

## IV.2.1.3. Stabdübelverbindung – mehrschnittige Holz-Stahlblech Verbindung

Ansicht



Querschnitt

**gegeben:**Schnittgrößen:  $N_d = +90,5 \text{ kN}$  $V_d = +173 \text{ kN}$  $M_d = +375 \text{ kN}$ Querschnitt: Biegeträger  $b/h = 360/1.000 \text{ mm}$ Stahlblechdicke  $t = 12 \text{ mm}$ Verbindungsmitel: Stabdübel  $d = 20,0 \text{ mm} | 360 \text{ mm}$ 

Material: Holzbauteile: BSH GL 28h – Lärche, blockverklebt

Stahlbauteile: S235

Stabdübel: S235

Nutzungsklasse: NKL 2

KLED: „mittel“

**Baustoffkenngrößen**charakteristischer Wert der Biegefestigkeit:  $f_{m,g,k} = 28,0 \text{ N/mm}^2$ 

Tab. III.16

charakteristischer Wert der Zugfestigkeit:  $f_{t,0,g,k} = 22,3 \text{ N/mm}^2$ 

Tab. III.16

charakteristischer Wert der Schubfestigkeit:  $f_{v,g,k} = 2,50 \text{ N/mm}^2$ 

Tab. III.16

charakteristischer Wert der Rohdichte  $\rho_k = 425 \text{ kg/m}^3$ 

Tab. III.16

Modifikationsbeiwert:  $k_{\text{mod}} = 0,80$ 

Tab. III.5

Teilsicherheitsbeiwert:  $\gamma_M = 1,25$ 

Tab. III.3

Teilsicherheitsbeiwert Verbindung:  $\gamma_{M,\text{Verb}} = 1,30$ 

Tab. III.3

**Bemessungswerte**

$$f_{m,g,d} = k_{\text{mod}} \cdot \frac{f_{m,g,k}}{\gamma_M} = 0,80 \cdot \frac{28,0}{1,25} = 17,9 \text{ N/mm}^2$$

Tab. III.16

$$f_{t,0,g,d} = k_{\text{mod}} \cdot \frac{f_{t,0,g,k}}{\gamma_M} = 0,80 \cdot \frac{22,3}{1,25} = 14,3 \text{ N/mm}^2$$

Tab. III.16

$$f_{v,g,d} = k_{\text{mod}} \cdot \frac{f_{v,g,k}}{\gamma_M} = 0,80 \cdot \frac{2,50}{1,25} = 1,60 \text{ N/mm}^2$$

Tab. III.16

## Überprüfung der Randabstände im Holzbauteil

Tab. V.6

Stabdübel d = 20 mm (mit $\alpha$ ungünstigst)				
			erforderlich	vorhanden
a <sub>1</sub>	[mm]	$\geq (3+2 \cdot  \cos \alpha ) \cdot d$	100 mm	100 mm
a <sub>2</sub>	[mm]	$\geq 3 \cdot d$	60 mm	75 mm
a <sub>3,t</sub>	[mm]	max { $\geq 7 \cdot d$ ; 80 mm}	140 mm	150 mm
a <sub>4,t</sub>	[mm]	90° ≤ $\alpha$ ≤ 150°: a <sub>3t</sub> ·  sin α  150° ≤ $\alpha$ ≤ 210°: max {3,5 · d; 40 mm} 210° ≤ $\alpha$ ≤ 270°: a <sub>3t</sub> ·  sin α	70 mm	85 mm
a <sub>4,c</sub>	[mm]	$\geq 3 \cdot d$	60 mm	85 mm

## Überprüfung der Rand und Lochabstände des Stahlblechs (gemäß EN 1993-1-8)

Stabdübel d = 20 mm (mit d <sub>0</sub> = 22 mm)				
			erforderlich	vorhanden
e <sub>1</sub>	[mm]	$\geq 1,2 \cdot d_0$	26,4 mm	45 mm
e <sub>2</sub>	[mm]	$\geq 1,2 \cdot d_0$	26,4 mm	50 mm
p <sub>1</sub> (= a <sub>1</sub> )	[mm]	$\geq 2,2 \cdot d_0$	48,4 mm	100 mm
p <sub>2</sub> (= a <sub>2</sub> )	[mm]	$\geq 2,4 \cdot d_0$	52,8 mm	75 mm

## Berechnung der maximalen Stabdübelkraft

Schwerpunkt S<sub>V</sub> der Stabdübelverbindung je Trägerhälfte

$$e_x = \frac{\sum x_i}{n} = \frac{8 \cdot 155 + 8 \cdot 255 + 8 \cdot 355 + 8 \cdot 455}{2 \cdot 16} = 305 \text{ mm}$$

$$e_z = \frac{\sum z_i}{n} = 0 \text{ mm}$$

Versatzmoment

$$M_{e,d} = M_d + V_d \cdot e_x = 375 + 173 \cdot 0,305 = 428 \text{ kNm}$$

polares Trägheitsmoment

$$I_p = \sum r^2 = \sum (x_i^2 + z_i^2) = \sum x_i^2 + \sum z_i^2$$

$$= 8 \cdot (155 - 305)^2 + 8 \cdot (255 - 305)^2 + 8 \cdot (355 - 305)^2 + 8 \cdot (455 - 305)^2 +$$

$$+ 2 \cdot 4 \cdot 190^2 + 2 \cdot 4 \cdot 265^2 + 2 \cdot 4 \cdot 340^2 + 2 \cdot 4 \cdot 415^2 = 3,55 \cdot 10^6 \text{ mm}^2$$

Kraft in x- bzw. z-Richtung

$$F_{x,d} = \frac{N_d}{n} + \frac{M_{e,d}}{I_p} \cdot z_{\max} = \frac{90,5 \cdot 10^3}{2 \cdot 16} + \frac{428 \cdot 10^6}{3,55 \cdot 10^6} \cdot 415 = 2.828 + 50.034 = 52.862 \text{ N} = 52,9 \text{ kN}$$

$$F_{z,d} = \frac{V_d}{n} + \frac{M_{e,d}}{I_p} \cdot x_{\max} = \frac{173 \cdot 10^3}{2 \cdot 16} + \frac{428 \cdot 10^6}{3,55 \cdot 10^6} \cdot (455 - 305) = 5.406 + 18.085 = 23.491 \text{ N} = 23,5 \text{ kN}$$

resultierende maximale Stabdübelkraft

$$F_{\max,d} = \sqrt{F_{x,d}^2 + F_{z,d}^2} = \sqrt{52,9^2 + 23,5^2} = 57,9 \text{ kN}$$

Kraft – Faser – Winkel

$$\alpha = \arctan\left(\frac{F_{z,d}}{F_{x,d}}\right) = \arctan\left(\frac{23,5}{52,9}\right) = 24,0^\circ$$

### Lochleibungsfestigkeit unter dem Winkel $\alpha$

$$f_{h,0,k} = 0,082 \cdot (1 - 0,01 \cdot d) \cdot \rho_k = 0,082 \cdot (1 - 0,01 \cdot 20,0) \cdot 425 = 27,9 \text{ N/mm}^2$$

Tab. V.8

$$f_{h,\alpha,k} = \frac{f_{h,0,k}}{(1,35 + 0,015 \cdot d) \cdot \sin^2 \alpha + \cos^2 \alpha} = \frac{27,9}{(1,35 + 0,015 \cdot 20,0) \cdot \sin^2 24,0 + \cos^2 24,0} = 25,2 \text{ N/mm}^2$$

Tab. V.10

### charakteristisches Fließmoment des StabdüBELS

$$M_{y,Rk} = 0,3 \cdot f_{uk} \cdot d^{2,6} = 0,3 \cdot 360 \cdot 20,0^{2,6} = 2,61 \cdot 10^5 \text{ Nmm}$$

Tab. V.14

### charakteristische Tragfähigkeit pro Verbindungsmittel und Scherfuge

der vierschnittigen Stahl-Holz-Verbindung

Anmerkung:

Die Tragfähigkeit einer mehrschnittigen Verbindung ergibt sich als Summe der Tragfähigkeit von zweischnittigen (Teil-) Verbindungen unter Variation der beteiligten Scherfugen und unter Beachtung der jeweils möglichen Versagensmodi. Versagensmodi, welche nicht kompatible Verformungen hervorrufen, sind nicht zu berücksichtigen.

- (a) für die Scherfuge I als Seitenteil einer zweischnittigen (Teil-) Verbindung mit innenliegendem Stahlblech

$$F_{1,Rk} = \min \begin{cases} F_{v,Rk,f} = f_{h,1,k} \cdot t_1 \cdot d \\ F_{v,Rk,g} = f_{h,1,k} \cdot t_1 \cdot d \cdot \left[ \sqrt{2 + \frac{4 \cdot M_{y,Rk}}{f_{h,1,k} \cdot d \cdot t_1^2}} - 1 \right] \\ F_{v,Rk,h} = 2,3 \cdot \sqrt{M_{y,Rk} \cdot f_{h,1,k} \cdot d} \end{cases}$$

$$= \min \begin{cases} 25,2 \cdot 82,0 \cdot 20,0 \\ 25,2 \cdot 82,0 \cdot 20,0 \cdot \left[ \sqrt{2 + \frac{4 \cdot 2,61 \cdot 10^5}{25,2 \cdot 20,0 \cdot 82,0^2}} - 1 \right] \\ 2,3 \cdot \sqrt{2,61 \cdot 10^5 \cdot 25,2 \cdot 20,0} \end{cases} = \min \begin{cases} 41.328 \text{ N} \\ 21.443 \text{ N} = 21.443 \text{ N} = 21,4 \text{ kN} \\ 26.379 \text{ N} \end{cases}$$

- (b) für die Scherfuge II als Seitenteil einer zweischnittigen (Teil-) Verbindung mit innenliegendem Stahlblech

Anmerkung:

Der Versagensmodus „g“ führt zu einer inkompatiblen Verformungsfigur des StabdüBELS in der Verbindung und bleibt unberücksichtigt.

$$F_{2,A,Rk} = \min \begin{cases} F_{v,Rk,f} = f_{h,k} \cdot t_1 \cdot d \\ F_{v,Rk,h} = 2,3 \cdot \sqrt{M_{y,Rk} \cdot f_{h,1,k} \cdot d} \end{cases}$$

$$= \min \begin{cases} 25,2 \cdot 82,0 \cdot 20,0 \\ 2,3 \cdot \sqrt{2,61 \cdot 10^5 \cdot 25,2 \cdot 20,0} \end{cases} = \min \begin{cases} 41.328 \text{ N} \\ 26.379 \text{ N} = 26,379 \text{ N} = 26,4 \text{ kN} \end{cases}$$

- (c) für die Scherfuge II als Mittelteil einer zweiseitigen (Teil-) Verbindung mit außenliegenden Stahlblechen

$$\begin{aligned} F_{2,B,Rk} &= \min \left\{ \begin{array}{l} F_{v,Rk;l} = 0,5 \cdot f_{h,2,k} \cdot t_2 \cdot d \\ F_{v,Rk;m} = 2,3 \cdot \sqrt{M_{y,Rk} \cdot f_{h,2,k} \cdot d} \end{array} \right. \\ &= \min \left\{ \begin{array}{l} 0,5 \cdot 25,2 \cdot 164 \cdot 20,0 \\ 2,3 \cdot \sqrt{2,61 \cdot 10^5 \cdot 25,2 \cdot 20,0} \end{array} \right. = \min \left\{ \begin{array}{l} 41.328 \text{ N} \\ 26.379 \text{ N} \end{array} \right. = 26,4 \text{ kN} \end{aligned}$$

charakteristische Tragfähigkeit eines DüBELS pro Stahlblech als Summe der Tragfähigkeit der (Teil-) Verbindungen

$$F_{Rk} = F_{1,Rk} + \min \left\{ \begin{array}{l} F_{2,A,Rk} \\ F_{2,B,Rk} \end{array} \right\} = 21,4 + \min \left\{ \begin{array}{l} 26,4 \\ 26,4 \end{array} \right\} = 47,8 \text{ kN}$$

### Tragfähigkeit des maximal beanspruchten StabdüBELS

$$F_{R,d} = s \cdot \frac{k_{mod}}{\gamma_{M,Verb}} \cdot F_{R,k} = 2 \cdot \frac{0,80}{1,30} \cdot 47,8 = 58,8 \text{ kN}$$

### Nachweis der Tragfähigkeit der Verbindung

$$\frac{F_{d,max}}{F_{R,d}} = \frac{57,9}{58,8} = 0,98 < 1$$

Anmerkung zur Ausführung des biegesteifen Stoßes:

Zur Gewährleistung einer Klemmwirkung der Verbindung sollte diese an den Ecken mit Passbolzen ausgeführt werden. Auf die Berücksichtigung des Seileffektes der Passbolzen wurde in diesem Beispiel aus Anschaulichkeitsgründen verzichtet.

### Nachweis Nettoquerschnitt Holz

Anmerkung:

Näherungsweise wird davon ausgegangen, dass die oberen Hälften des Stoßes überdrückt ist. Damit werden für den Nettoquerschnittsnachweis lediglich die auf der Zugseite liegenden Querschnittsschwächungen berücksichtigt.

Querschnittswerte

$$b_n = b - n_{Bleche} \cdot (t_{Bleche} + 2 \cdot 1,50 \text{ mm}) = 360 - 2 \cdot (12,0 + 2 \cdot 1,50) = 330 \text{ mm}$$

$$A_n = b_n \cdot (h - 4 \cdot d) = 330 \cdot (1.000 - 4 \cdot 20,0) = 3,04 \cdot 10^5 \text{ mm}^2$$

$$z_{s,n} = \frac{h - d - \frac{h}{2} \cdot (z_{t,5} + z_{t,6} + z_{t,7} + z_{t,8})}{h - 4 \cdot d} = \frac{1.000 - \frac{1.000}{2} - 20,0 \cdot (690 + 765 + 840 + 915)}{1.000 - 4 \cdot 20,0} = 474 \text{ mm}$$

$$\begin{aligned} I_n &= \sum I_{eig} + \sum (A_i \cdot e_i^2) = \frac{330 \cdot 1.000^3}{12} + 330 \cdot 1.000 \cdot (500 - 474)^2 - 4 \cdot \frac{330 \cdot 20,0^3}{12} - 4 \cdot 330 \cdot 20 \cdot (216^2 + 291^2 + 366^2 + 441^2) = \\ &= 1,56 \cdot 10^{10} \text{ mm}^4 \end{aligned}$$

$$W_{n,u} = \frac{I_n}{z_{max}} = \frac{1,56 \cdot 10^{10}}{1.000 - 474} = 2,97 \cdot 10^7 \text{ mm}^3$$

$$S_n = \sum (A_i \cdot (e_i - e_{z,i})) = 330 \cdot 474 \cdot \frac{474}{2} = 3,71 \cdot 10^7 \text{ mm}^3$$

### Nachweisführung Nettoquerschnitt Holz

Zugspannung

$$\sigma_{t,0,d} = \frac{N_d}{A_n} = \frac{90,5 \cdot 10^3}{3,04 \cdot 10^5} = 0,298 \text{ N/mm}^2$$

Biegespannung

$$M_{e,n,d} = M_d + V_d \cdot x_{max} + N_d \cdot \left( \frac{h}{2} - z_{s,n} \right) = 375 + 173 \cdot 0,455 + 90,5 \cdot \left( \frac{1,00}{2} - 0,474 \right) = 456 \text{ kN}$$

$$\sigma_{m,d} = \frac{M_{e,d}}{W_n} = \frac{456 \cdot 10^6}{2,97 \cdot 10^7} = 15,4 \text{ N/mm}^2$$

Nachweis

$$\frac{\sigma_{t,0,d}}{f_{t,0,g,d}} + \frac{\sigma_{m,d}}{f_{m,g,d}} = \frac{0,298}{14,3} + \frac{15,4}{17,9} = 0,0208 + 0,860 = 0,88 < 1$$

• Schubspannung

$$\tau_d = \frac{V_d \cdot S_n}{I_n \cdot b_n} = \frac{173 \cdot 10^3 \cdot 3,71 \cdot 10^7}{1,56 \cdot 10^{10} \cdot 330} = 1,25 \text{ N/mm}^2$$

Nachweis

$$\frac{\tau_d}{f_{v,g,d}} = \frac{1,25}{1,60} = 0,78 < 1$$

### Nachweise im Stabdübel und Stahlblech

Anmerkung:

Für Details zur Nachweisführung der Stabdübel bzw. des Stahlbleches wird auf EN 1993-1-1 und EN 1993-1-8, Abschnitt 3.4, 3.5 und 3.6 verwiesen.

Beiwerte Lochleibung

$$k_1 = \min \left\{ \begin{array}{l} 2,8 \cdot \frac{e_2}{d_0} - 1,7 \\ 1,4 \cdot \frac{p_2}{d_0} - 1,7 \\ 2,5 \end{array} \right\} = \min \left\{ \begin{array}{l} 2,8 \cdot \frac{50,0}{22,0} - 1,7 = 4,66 \\ 1,4 \cdot \frac{75,0}{22,0} - 1,7 = 3,07 \\ 2,5 \end{array} \right\} = 2,50$$

$$\alpha_b = \min \left\{ \begin{array}{l} \frac{e_1}{3 \cdot d_0} \\ \frac{p_1}{3 \cdot d_0} - \frac{1}{4} \\ 1,0 \end{array} \right\} = \min \left\{ \begin{array}{l} \frac{50,0}{3 \cdot 22,0} = 0,758 \\ \frac{100}{3 \cdot 22,0} - \frac{1}{4} = 1,27 \\ 1,0 \end{array} \right\} = 0,758$$

Lochleibung

$$F_{b,Rd} = \frac{k_1 \cdot \alpha_b \cdot f_u \cdot d \cdot t}{\gamma_{M2}} = \frac{2,50 \cdot 0,768 \cdot 360 \cdot 20,0 \cdot 12,0}{1,25} = 132.710 \text{ N} = 133 \text{ kN} < F_{max,d} = 57,9 \text{ kN}$$

Abscheren je Scherfuge

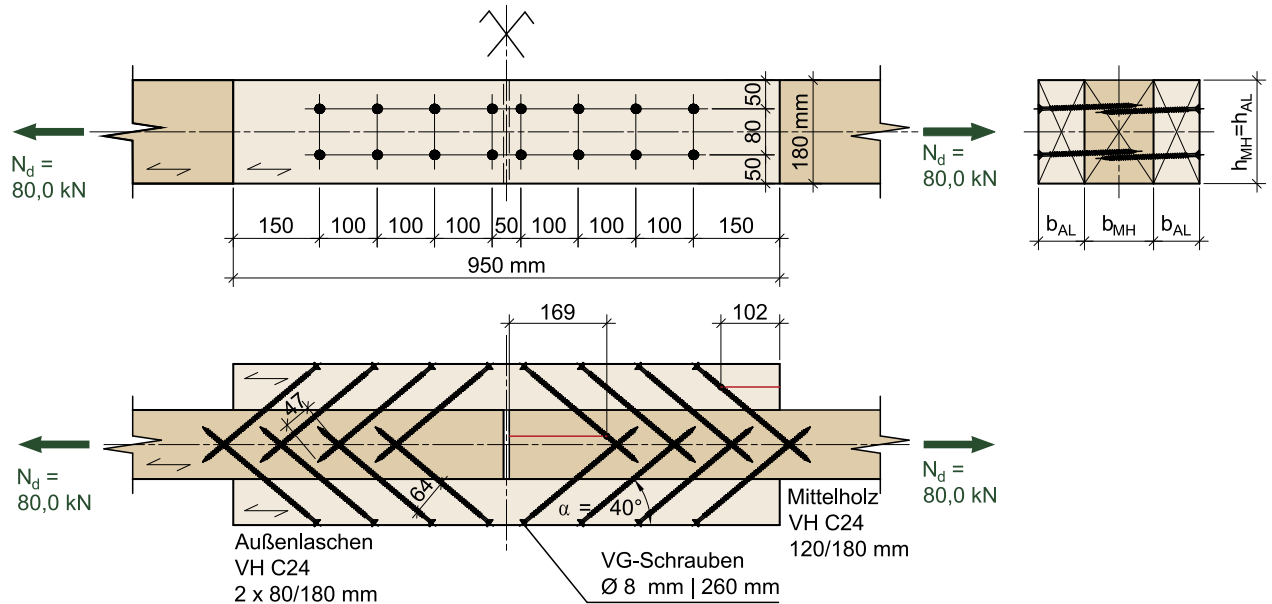
$$F_{v,Rd} = \frac{\alpha_v \cdot f_{ub} \cdot A}{\gamma_{M2}} = \frac{0,6 \cdot 360}{1,25} \cdot \frac{20,0^2 \cdot \pi}{4} = 54.287 \text{ N} = 54,3 \text{ kN} < \max F_{Rd} = 0,80 \cdot \frac{26,4}{1,30} = 16,2 \text{ kN}$$

Nettoquerschnitt

$$F_{t,Rd} = \frac{k_2 \cdot f_{ub} \cdot A_s}{\gamma_{M2}} = \frac{0,9 \cdot 360 \cdot 12,0 \cdot 50,0}{1,25} = 155.520 \text{ N} = 156 \text{ kN} < F_{max,d} = 57,9 \text{ kN}$$

## IV.2.2. VORWIEGEND AUF HERAUSZIEHEN BEANSPRUCHTE VERBINDUNGSMITTEL

### IV.2.2.1. Holzschaubenverbindung – Zuglaschenstoß



**gegeben:**

Schnittlast:  $N_d = 80,0 \text{ kN}$   
 Abmessungen: außenliegende Lasche:  $b_{AL}/h_{AL} = 2 \times 80/180 \text{ mm}$   
                   Mittelholz:  $b_{MH}/h_{MH} = 120/180 \text{ mm}$   
 Material: alle Holzbauteile: VH C24  
 Verbindungsmittel: Schraube VG Ø 8,0 | 260 mm  
 (d\_h = 17 mm,  $f_{head,k} = 13,0 \text{ N/mm}^2$ ,  $f_{tens,k} = 20,0 \text{ kN}$ , aus bauaufsichtlicher Zulassung)  
 Nutzungsklasse: NKL 1  
 KLED: „mittel“

**Baustoffkenngrößen**

charakteristischer Wert der Zugfestigkeit:	$f_{t,0,k} = 14,5 \text{ N/mm}^2$	Tab. III.9
charakteristischer Wert der Rohdichte	$\rho_k = 350 \text{ kg/m}^3$	Tab. III.9
Modifikationsbeiwert:	$k_{mod} = 0,80$	Tab. III.5
Teilsicherheitsbeiwert:	$\gamma_M = 1,30$	Tab. III.3
Teilsicherheitsbeiwert Verbindung:	$\gamma_{M,Verb} = 1,30$	Tab. III.3

Bemessungswert der Zugfestigkeit

$$f_{t,0,d} = k_{mod} \cdot \frac{f_{t,0,k}}{\gamma_M} = 0,80 \cdot \frac{14,5}{1,30} = 8,92 \text{ N/mm}^2$$

Tab. III.9

## Überprüfung der Randabstände

Tab. V.38

<b>Vollgewindeschraube d = 8   260 mm</b>				
<b><math>\alpha = 40,0^\circ</math></b>			<b>erforderlich</b>	<b>vorhanden</b>
$a_1$	[mm]	$\geq 7 \cdot d$	56 mm	64 mm
$a_2$	[mm]	$\geq 5 \cdot d$	40 mm	80 mm
$a_{1,CG}$	[mm]	$\geq 10 \cdot d$	80 mm	102 mm
$a_{2,CG}$	[mm]	$\geq 4 \cdot d$	32 mm	50 mm

## Ermittlung der Tragfähigkeit einer Schraube

wirksame Länge

$$l_{ef,1} = \frac{b_{AL}}{\sin(\alpha)} = \frac{80,0}{\sin(40)} = 124 \text{ mm}$$

$$l_{ef,2} = l - l_{ef,1} = 260 - 124 = 136 \text{ mm}$$

Ausziehparameter

$$f_{ax,1,k} = 0,52 \cdot d^{-0,5} \cdot l_{ef,1}^{-0,1} \cdot p_k^{0,8} = 0,52 \cdot 8,00^{-0,5} \cdot 124^{-0,1} \cdot 350^{0,8} = 12,3 \text{ N/mm}^2$$

$$f_{ax,2,k} = 0,52 \cdot d^{-0,5} \cdot l_{ef,1}^{-0,1} \cdot p_k^{0,8} = 0,52 \cdot 8,00^{-0,5} \cdot 136^{-0,1} \cdot 350^{0,8} = 12,2 \text{ N/mm}^2$$

Tragfähigkeit je Verbindungsmittel und Scherfuge

$$k_d = \min \left\{ \frac{d}{8} = \min \left\{ \frac{8,00}{8} = 1,00 \right. \right. \right. \\ \left. \left. \left. \frac{1}{1} = 1,00 \right. \right. \right. \right.$$

• aus den Außenlassen

$$F_{ax,\alpha,1,Rd} = \min \left\{ \max \left\{ F_{ax,\alpha,1,Rd}, F_{head,Rd} \right\}, F_{tens,d} \right\} = \min \left\{ \max \left\{ \frac{f_{ax,1,k} \cdot d \cdot l_{ef,1} \cdot k_d}{1,2 \cdot \cos^2 \alpha + \sin^2 \alpha} \cdot \frac{k_{mod}}{\gamma_{M,Verb}}, f_{head} \cdot d_h^2 \cdot \left( \frac{p_k}{p_a} \right)^{0,8} \cdot \frac{k_{mod}}{\gamma_{M,Verb}} \right\}, \frac{f_{tens,k}}{\gamma_{St,M2}} \right\} = \min \left\{ \max \left\{ \frac{12,3 \cdot 8,00 \cdot 124 \cdot 1,00}{1,2 \cdot \cos^2(40,0) + \sin^2(40,0)} \cdot \frac{0,80}{1,30} = 6,720 \text{ N}, 13,0 \cdot 17,0^2 \cdot \left( \frac{350}{350} \right)^{0,8} \cdot \frac{0,80}{1,30} = 2,312 \text{ N} \right\}, \frac{20,000}{1,25} = 16,000 \text{ N} \right\} = 6,72 \text{ kN}$$

• aus dem Mittelholz

$$F_{ax,\alpha,2,Rd} = \min \left\{ F_{ax,\alpha,2,Rd}, F_{tens,d} \right\} = \min \left\{ \frac{f_{ax,2,k} \cdot d \cdot l_{ef,2} \cdot k_d}{1,2 \cdot \cos^2 \alpha + \sin^2 \alpha} \cdot \frac{k_{mod}}{\gamma_{M,Verb}}, \frac{f_{tens,k}}{\gamma_{St,M2}} \right\} = \min \left\{ \frac{12,2 \cdot 8,00 \cdot 136 \cdot 1,00}{1,2 \cdot \cos^2(40,0) + \sin^2(40,0)} \cdot \frac{0,80}{1,30} = 7,310 \text{ N}, \frac{20,000}{1,25} = 16,000 \text{ N} \right\} = 7,31 \text{ kN}$$

## Tragfähigkeit einer Schraube in Richtung der Verbindungsmittel-Achse

$$F_{ax,\alpha,d} = \min \left\{ F_{ax,\alpha,1,Rd}, F_{ax,\alpha,2,Rd} \right\} = \min \left\{ 6,72 \text{ kN}, 7,31 \text{ kN} \right\} = 6,72 \text{ kN}$$

**Tragfähigkeit in Richtung der einwirkenden Kraft unter Berücksichtigung der Reibungskomponente**(Anpressen der Holzoberflächen bei Beanspruchung) zwischen den Holzbauteilen ( $\mu_0=0,25$ )

$$R_{ax,d} = F_{ax,\alpha,d} \cdot (\cos \alpha + \mu_0 \cdot \sin \alpha) = 6,72 \cdot (\cos(40,0) + 0,25 \cdot \sin(40,0)) = 6,23 \text{ kN}$$

effektive Verbindungsmittezahl

$$n_{ef} = n^{0,9} = 8^{0,9} = 6,50$$

Tab. V.42

Gesamttragfähigkeit einer Verbindung bzw. je Verbindungshälfte

$$R_{ges,d} = 2 \cdot n_{ef} \cdot R_{ax,d} = 2 \cdot 6,50 \cdot 6,23 = 81,0 \text{ kN}$$

Nachweis der Verbindung

$$\frac{N_d}{R_{ges,d}} = \frac{80,0}{81,0} = 0,99 < 1$$

**Netto-Querschnittsnachweise**

- außenliegende Laschen

$$A_{n,Lasche} = b \cdot (h - m \cdot d) = 80,0 \cdot (180 - 2 \cdot 0,65 \cdot 8,00) = 1,36 \cdot 10^4 \text{ mm}^2$$

$$\sigma_{t,0,d,Lasche} = 1,5 \cdot \frac{N_d}{2 \cdot A_{n,Lasche}} = 1,5 \cdot \frac{80,0 \cdot 10^3}{2 \cdot 1,36 \cdot 10^4} = 4,41 \text{ N/mm}^2$$

$$\frac{\sigma_{t,0,d,Lasche}}{f_{t,0,d}} = \frac{4,41}{8,92} = 0,49 < 1$$

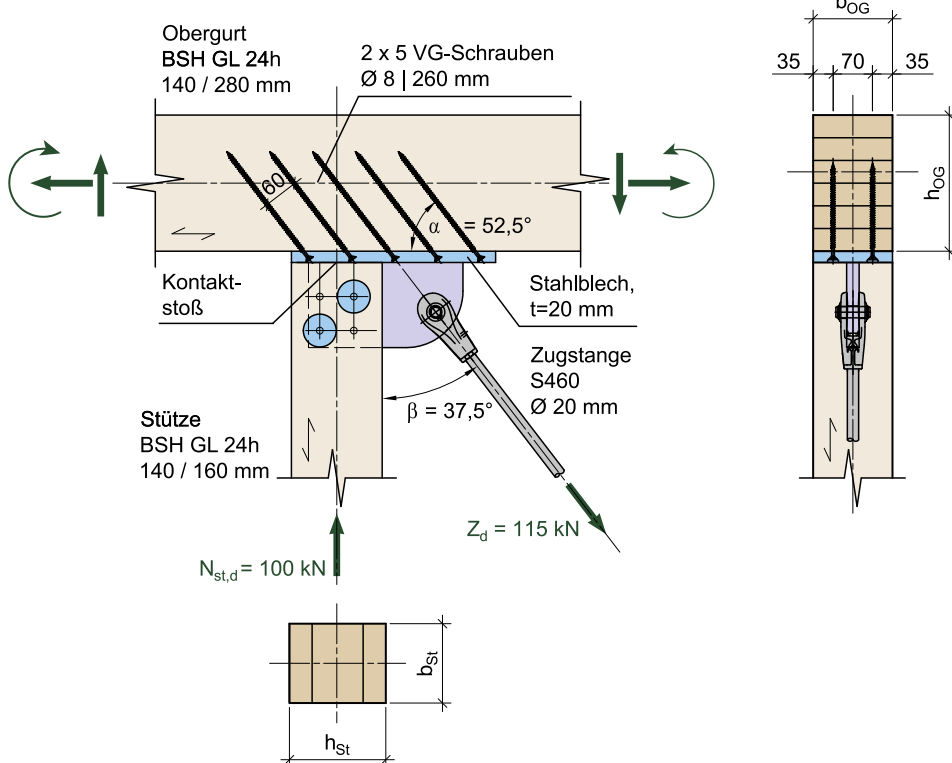
- Mittelholz

$$A_{n,MH} = b \cdot (h - m \cdot d) = 120 \cdot (180 - 2 \cdot 0,65 \cdot 8,00) = 2,04 \cdot 10^4 \text{ mm}^2$$

$$\sigma_{t,0,d,MH} = \frac{N_d}{A_{n,MH}} = \frac{80,0 \cdot 10^3}{2,04 \cdot 10^4} = 3,92 \text{ N/mm}^2$$

$$\frac{\sigma_{t,0,d,MH}}{f_{t,0,d}} = \frac{3,92}{8,92} = 0,44 < 1$$

## IV.2.2.2. Holzschaubenverbindung – Holz-Stahlblech Verbindung

**gegeben:**

- Schnittgrößen:  $N_{st,d} = -100 \text{ kN}$ ,  $Z_d = 115 \text{ kN}$   
 Abmessungen: Obergurt  $b/h = 140/280 \text{ mm}$   
                   Stütze  $b/h = 140/160 \text{ mm}$   
 Material: BSH GL 24h  
 Verbindungsmittel: Schraube VG 2 x 5 Ø 8,00 | 260 mm ( $f_{uk} = 950 \text{ N/mm}^2$ ),  $\alpha = 52,5^\circ$   
 Nutzungsklasse: NKL 2  
 KLED: „kurz“

**Baustoffkenngrößen**

- charakteristischer Wert der Rohdichte  $\rho_k = 385 \text{ kg/m}^3$  Tab. III.15  
 Modifikationsbeiwert:  $k_{mod} = 0,90$  Tab. III.5  
 Teilsicherheitsbeiwert Verbindung:  $\gamma_{M,Verb} = 1,30$  Tab. III.3

**Überprüfung der Randabstände**

Vollgewindeschraube d = 8   260 mm				
$\alpha = 52,5^\circ$			erforderlich	vorhanden
a <sub>1</sub>	[mm]	$\geq 7 \cdot d$	56 mm	60 mm
a <sub>2</sub>	[mm]	$\geq 5 \cdot d$	40 mm	70 mm
a <sub>2,CG</sub>	[mm]	$\geq 4 \cdot d$	32 mm	35 mm

Überprüfen, ob eine „angepresste“ bzw. „abhebende“ Lasche vorliegt

$$\Sigma V = 0:$$

$$\Delta V = -N_{st,d} + Z_d \cdot \sin \alpha = -100 + 115 \cdot \cos(90,0 - 52,5) = -8,76 \text{ kN}$$

Anmerkung:

Die Differenz der Kräfte in der Stütze und dem vertikalen Anteil der Kraft im Zugstab ist negativ, d.h. das Stahlblech wird an die Holzoberfläche gedrückt und es handelt sich um eine „angepresste“ Lasche. Aus Gleichgewichtsgründen entspricht diese Kraft der Differenz der Querkraft im Obergurt. Die resultierende Anpresskraft ist jedoch so gering, dass der Reibungsanteil näherungsweise vernachlässigbar ist.

### Berechnung der Einwirkung

horizontale Kraftkomponente im Zugstab

$$F_{v,d} = Z_d \cdot \sin\beta = 115 \cdot \sin(37,5) = 70,0 \text{ kN}$$

### Berechnung der axialen Tragfähigkeit der Schraubengruppe

Berechnung des Ausziehwiderstandes einer Schraube für den Einschraubwinkel  $\alpha = 90,0 - 37,5 = 52,5^\circ$

$$l_{ef} = l - \frac{t}{\sin\alpha} = 260 - \frac{20,0}{\sin(52,5)} = 235 \text{ mm}$$

$$f_{ax,k} = 0,52 \cdot d^{-0,5} \cdot l_{ef}^{-0,1} \cdot p_k^{0,8} = 0,52 \cdot 8,00^{-0,5} \cdot 235^{-0,1} \cdot 385^{0,8} = 12,5 \text{ N/mm}^2$$

$$k_a = \min \begin{cases} \frac{d}{8} & \frac{8,00}{8} = 1,00 \\ 1 & 1 \end{cases} = 1,00$$

$$\begin{aligned} F_{ax,d} &= \min \left\{ \frac{f_{ax,k} \cdot d \cdot l_{ef} \cdot k_d}{1,2 \cdot \cos^2 \alpha + \sin^2 \alpha} \cdot \frac{k_{mod}}{\gamma_{M,Verb}}, \right. \\ &\quad \left. A_s \cdot \frac{0,9 \cdot f_{uk}}{\gamma_{M2}} \right\} \\ &= \min \left\{ \frac{12,5 \cdot 8,00 \cdot 235 \cdot 1,00}{1,2 \cdot \cos^2(52,5) + \sin^2(52,5)} \cdot \frac{0,90}{1,30}, \frac{(0,65 \cdot 8,00)^2 \cdot \pi \cdot 0,9 \cdot 950}{4} \cdot \frac{1,30}{1,25} \right\} = \min \left\{ 15,147 \text{ N}, 14,526 \text{ N} \right\} = 14,5 \text{ kN} \end{aligned}$$

Anmerkung:

Bei Holz-Stahlblech-Schraubenverbindungen muss der Versagensmodus „Kopfdurchziehen“ nicht berücksichtigt werden.

### Tragfähigkeit in Richtung der Horizontalkraft

$$R_{ax,d} = F_{ax,o,d} \cdot (\cos\alpha + \mu_0 \cdot \sin\alpha) = 14,5 \cdot (\cos(52,5) + 0 \cdot \sin(52,5)) = 8,83 \text{ kN}$$

### effektive Schraubenanzahl

$$n_{ef} = n^{0,9} = 10^{0,9} = 7,94$$

Tab. V.42

### Berechnung des Ausziehwiderstandes der Schraubengruppe in Richtung des Obergurtes

$$R_{x,Rd} = n_{ef} \cdot R_{a,d} = 7,94 \cdot 8,83 = 70,1 \text{ kN}$$

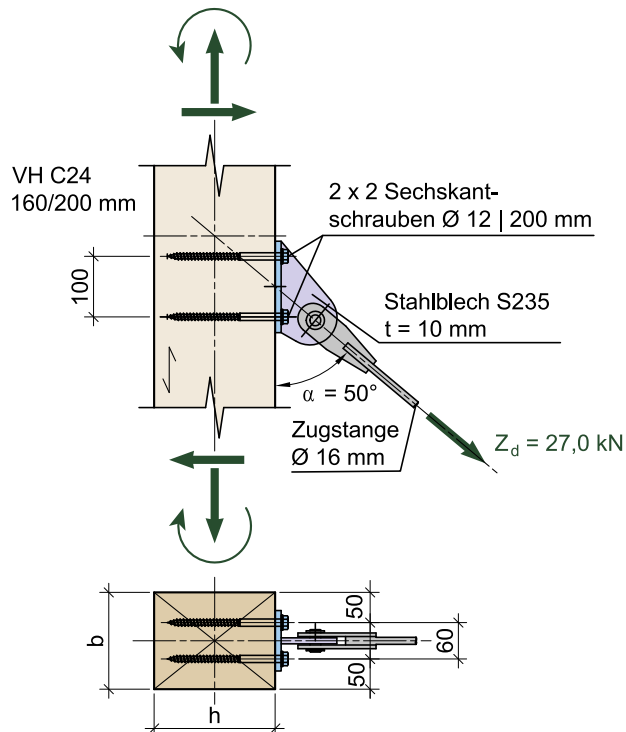
### Nachweis

$$\frac{F_{v,d}}{R_{x,d}} = \frac{70,0}{70,1} = 1,00 = 1$$

Anmerkung zur statisch-konstruktiven Gestaltung des Stützen-Kontaktstoßes:

Es hat sich in der Vergangenheit (siehe ÖNORM B 4100, 2. Teil) bewährt Kontaktstoße auf eine Kraft von 25% der einwirkenden Druckkraft auf Zug zu sichern, d. h. die Stütze ist auf eine Kraft von  $0,25 \cdot 100 = 25,0 \text{ kN}$  auf Zug anzuschließen. Auf einen expliziten Nachweis des Kontaktstoßes wird an dieser Stelle verzichtet.

## IV.2.2.3. Holzschaubenverbindung – Holz-Stahlblech Verbindung mit kombinierter Beanspruchung

**gegeben:**

Schnittgröße:  $Z_d = 27,0 \text{ kN}$ ,  $\alpha = 50,0^\circ$   
 Abmessungen:  $b/h = 160/200 \text{ mm}$   
 Material: VH C24  
                   Stahlblech S235,  $t = 10 \text{ mm}$   
 Verbindungsmitel: Holzbauschraube 4 x DIN 571,  $d = 12 | 200 \text{ mm}$   
 Nutzungsklasse: NKL 2  
 KLED: „kurz“

**Baustoffkenngrößen**

charakteristischer Wert der Rohdichte	$\rho_k = 350 \text{ kg/m}^3$	Tab. III.16
Modifikationsbeiwert:	$k_{\text{mod}} = 0,90$	Tab. III.5
Teilsicherheitsbeiwert Verbindung:	$\gamma_{M,\text{Verb}} = 1,30$	Tab. III.3

**Überprüfung der Randabstände**

Holzbauschraube nach DIN 571 ( $d = 12   200 \text{ mm}$ )							
$\alpha = 50,0^\circ$		Schaube nach EN 1995-1-1, Tab. 8.6		Bolzen nach EN 1995-1-1, Tab. 8.4		erforderlich	vorhanden
$a_1$	[mm]	$\geq 7 \cdot d$	84 mm	$\geq (4 +  \cos \alpha ) \cdot d$	60 mm	84 mm	100 mm
$a_2$	[mm]	$\geq 5 \cdot d$	60 mm	$\geq 4 \cdot d$	48 mm	60 mm	60 mm
$a_{2,CG}$ bzw. $a_{4,c}$	[mm]	$\geq 4 \cdot d$	48 mm	$\geq 3 \cdot d$	36 mm	48 mm	50 mm

Umrechnung der einwirkenden Kraft  $Z_d$  in die axiale und laterale Richtung des Verbindungs mittels

$$F_{ax,Ed} = Z_d \cdot \sin \alpha = 27,0 \cdot \sin(50,0) = 20,7 \text{ kN}$$

$$F_{v,Ed} = Z_d \cdot \cos \alpha = 27,0 \cdot \cos(50,0) = 17,4 \text{ kN}$$

### Schraubenabmessungen gemäß DIN 571

Kerndurchmesser

$$d_s \geq 12,0 \text{ mm} \quad d_2 = 0,75 \cdot d_s = 0,75 \cdot 12,0 = 9,00 \text{ mm}$$

Gewindelänge

$$l_{ef} \geq 0,6 \cdot l \geq 0,6 \cdot 200 \geq 120 \text{ mm}$$

### Berechnung der Tragfähigkeiten auf Herausziehen und Abscheren

#### • Berechnung des Ausziehwiderstandes $F_{ax,Rd}$ ( $\alpha = 90^\circ$ )

$$f_{ax,k} = 0,52 \cdot d^{-0,5} \cdot l_{ef}^{-0,1} \cdot \rho_k^{0,8} = 0,52 \cdot 12,0^{-0,5} \cdot 120^{-0,1} \cdot 350^{0,8} = 10,1 \text{ N/mm}^2$$

$$k_d = \min \begin{cases} \frac{d}{8} & \min \begin{cases} \frac{12,0}{8} = 1,5 \\ 1 \end{cases} \\ 1 \end{cases} = 1$$

$$\begin{aligned} F_{ax,d} &= \min \begin{cases} \frac{f_{ax,k} \cdot d \cdot l_{ef} \cdot k_d \cdot k_{mod}}{1,2 \cdot \cos^2 \alpha + \sin^2 \alpha} \cdot \gamma_{M,verb} \\ A_s \cdot \frac{0,9 \cdot f_{u,k}}{\gamma_{St,M2}} \end{cases} \\ &= \min \begin{cases} \frac{10,1 \cdot 12,0 \cdot 120 \cdot 1}{1,2 \cdot \cos^2 90 + \sin^2 90} \cdot \frac{0,90}{1,30} = 10,069 \text{ N} \\ \frac{(0,75 \cdot 12,0)^2 \cdot \pi}{4} \cdot \frac{0,9 \cdot 600}{1,25} = 10,1 \text{ kN} \\ \frac{(0,75 \cdot 12,0)^2 \cdot \pi}{4} \cdot \frac{0,9 \cdot 600}{1,25} = 27,483 \text{ N} \end{cases} \end{aligned}$$

wirksame Anzahl der Schrauben

$$n_{ef} = n^{0,9} = 4^{0,9} = 3,48$$

Tab. V.42

Ausziehwiderstand der Schraubengruppe

$$F_{ax,Rd} = n_{ef} \cdot F_{ax,d} = 3,48 \cdot 10,1 = 35,1 \text{ kN}$$

#### • Berechnung der Tragfähigkeit auf Abscheren $F_{v,Rd}$ ( $\alpha = 0^\circ$ )

Lochleibungsfestigkeit

$$f_{h,0,k} = 0,082 \cdot (1 - 0,01 \cdot d) \cdot \rho_k = 0,082 \cdot (1 - 0,01 \cdot 12,0) \cdot 350 = 25,3 \text{ N/mm}^2$$

Tab. V.8

Fließmoment

$$M_{y,Rk} = 0,3 \cdot f_{u,k} \cdot d^{2,6} = 0,3 \cdot 600 \cdot (1,10 \cdot 9,00)^{2,6} = 6,98 \cdot 10^4 \text{ Nmm}$$

Annahme: Das Fließgelenk liegt im Gewindegereich (= konservative Annahme)

Einordnung des Stahlbleches

$$\frac{t_{Blech}}{d} = \frac{10,0}{12,0} = 0,833 \rightarrow \text{zwischen dünnem und dickem Blech} \rightarrow \text{Interpolation der Tragfähigkeit}$$

charakteristischer Wert der Tragfähigkeit je Verbindungsmitte und Scherfuge auf Abscheren

(a) für ein dünnes Blech

$$F_{v,Rk} = \min \left\{ \frac{0,4 \cdot f_{h,k} \cdot t_1 \cdot d}{1,15 \cdot \sqrt{2 \cdot M_{y,Rk} \cdot f_{h,k} \cdot d}} = \min \left\{ \frac{0,4 \cdot 25,3 \cdot 180 \cdot 12,0}{1,15 \cdot \sqrt{2 \cdot 6,98 \cdot 10^4 \cdot 25,3 \cdot 12,0}} = \min \left\{ \frac{21.859 \text{ N}}{7.487 \text{ N}} = 7,49 \text{ kN} \right. \right\} \right\}$$

(b) für ein dickes Blech

$$F_{v,Rk} = \min \left\{ \begin{array}{l} f_{h,k} \cdot t_1 \cdot d \\ f_{h,k} \cdot t_1 \cdot d \cdot \left[ \sqrt{2 + \frac{4 \cdot M_{y,Rk}}{f_{h,k} \cdot d \cdot t_1^2}} - 1 \right] \\ 2,3 \cdot \sqrt{M_{y,Rk} \cdot f_{h,k} \cdot d} \end{array} \right\} = \min \left\{ \begin{array}{l} 25,3 \cdot 180 \cdot 12,0 \\ 25,3 \cdot 180 \cdot 12,0 \cdot \left[ \sqrt{2 + \frac{4 \cdot 6,98 \cdot 10^4}{25,3 \cdot 12,0 \cdot 180^2}} - 1 \right] \\ 2,3 \cdot \sqrt{6,98 \cdot 10^4 \cdot 25,3 \cdot 12,0} \end{array} \right\} = \min \left\{ \begin{array}{l} 54,648 \text{ N} \\ 23,182 \text{ N} = 10,6 \text{ kN} \\ 10,588 \text{ N} \end{array} \right\}$$

Interpolation

$$\left. \begin{array}{l} \text{dünnes Blech: } \frac{t_{\text{Blech}}}{d} = 0,5 \quad \min F_{v,Rk} = 7,49 \text{ kN} \\ \text{dickes Blech: } \frac{t_{\text{Blech}}}{d} = 1,0 \quad \min F_{v,Rk} = 10,6 \text{ kN} \end{array} \right\} \rightarrow \frac{t_{\text{Blech}}}{d} = 0,833 : \min F_{v,Rk} = 9,56 \text{ kN}$$

wirksame Schraubenanzahl

$$n_{\text{ef}} = n^{0,9} \cdot \sqrt[4]{\frac{a_1}{13 \cdot d}} \cdot \frac{90 - \alpha}{90} + n \cdot \frac{\alpha}{90} = 2^{0,9} \cdot \sqrt[4]{\frac{100}{13 \cdot 12,0}} \cdot \frac{90 - 0}{90} + 2 \cdot \frac{0}{90} = 1,67$$

Tragfähigkeit der Verbindung auf Abscheren ( $\alpha = 0^\circ$ )

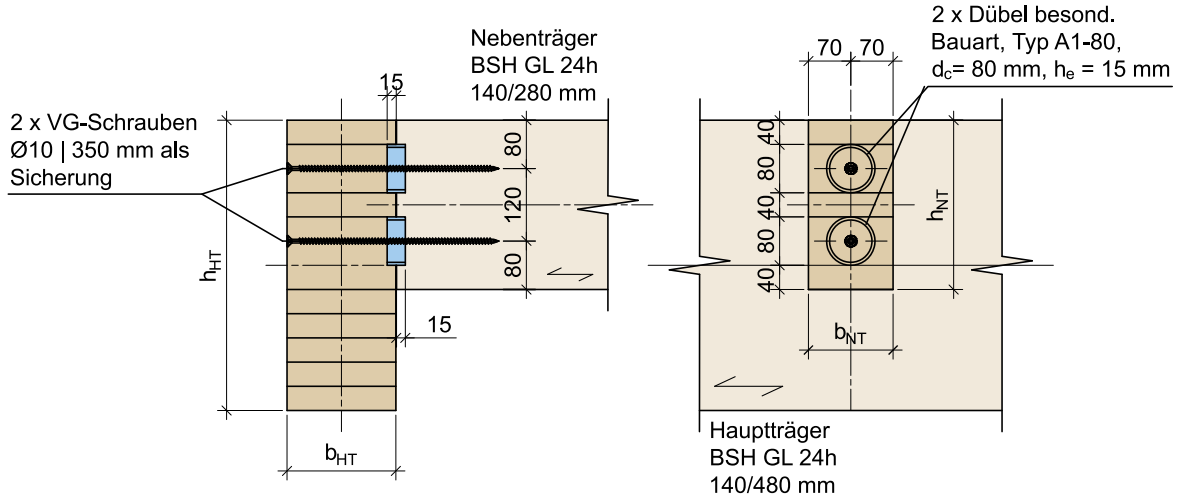
$$F_{v,Rd} = m \cdot n_{\text{ef}} \cdot k_{\text{mod}} \cdot \frac{F_{v,Rk}}{\gamma_{M,\text{Verb}}} = 2 \cdot 1,67 \cdot 0,90 \cdot \frac{9,56}{1,30} = 22,1 \text{ kN}$$

### Nachweis der kombinierten Beanspruchung

$$\left( \frac{F_{ax,Ed}}{F_{ax,Rd}} \right)^2 + \left( \frac{F_{v,Ed}}{F_{v,Rd}} \right)^2 = \left( \frac{20,7}{35,1} \right)^2 + \left( \frac{17,4}{22,1} \right)^2 = 0,348 + 0,620 = 0,97 < 1$$

### IV.2.3. FLÄCHENFÖRMIG WIRKENDE VERBINDUNGSMITTEL

#### IV.2.3.1. Hirnholzanschluss mit Ringdübel Typ A1



**gegeben:**

Schnittlast:  $V_d = 13,0 \text{ kN}$   
 Abmessungen: Hauptträger  $b_{HT}/h_{HT} = 180/480 \text{ mm}$   
 Nebenträger  $b_{NT}/h_{NT} = 140/280 \text{ mm}$   
 Material: BSH GL 24h  
 Verbindungsmittel: 2 x Ringdübel Typ A1-80;  $d_c = 80 \text{ mm}$ ,  $h_e = 15 \text{ mm}$   
 Nutzungsklasse: NKL 2  
 KLED: „mittel“

**Baustoffkenngrößen**

charakteristischer Wert der Rohdichte	$\rho_k = 385 \text{ kg/m}^3$	Tab. III.15
Modifikationsbeiwert:	$k_{mod} = 0,80$	Tab. III.5
Teilsicherheitsbeiwert Verbindung:	$\gamma_{M,Verb} = 1,30$	Tab. III.3

**Überprüfung der Anforderungen an die Holzabmessungen und Dübelabstände bei Hirnholzanschlüssen mit Dübeln besonderer Bauart**

<b>Dübel besonderer Bauart Typ A1 <math>d_c = 80 \text{ mm}</math></b>			<b>erforderlich</b>	<b>vorhanden</b>
Mindestbreite des anzuschließenden Trägers	$b$	[mm]	130	140
Randabstand	$a_{4,c}$ und $a_{4,t}$	[mm]	65	80
Abstand der Dübel untereinander	$a_2$	[mm]	95	120

**Berechnung der charakteristischen Anschlusstragfähigkeit**

charakteristischer Wert der Tragfähigkeit je Verbindungseinheit in einem Hirnholzanschluss

$$F_{v,0,Rk} = \min \left\{ \frac{35 \cdot d_c^{1.5}}{31.5 \cdot d_c \cdot h_e} \right\} = \min \left\{ \frac{35 \cdot 80,0^{1.5}}{31.5 \cdot 80,0 \cdot 15,0} \right\} = \min \left\{ \frac{25.044 \text{ N}}{37.800 \text{ N}} \right\} = 25.044 \text{ N} = 25,0 \text{ kN}$$

Beiwert zur Berücksichtigung der hintereinanderliegenden Dübel

$$k_H = 0,65 \quad (\text{da zwei Dübel hintereinander})$$

charakteristischer Wert der Tragfähigkeit einer Verbindungsmitteleinheit

$$F_{v,H,Rk} = \frac{k_H}{(1,3 + 0,001 \cdot d_c)} \cdot F_{v,0,Rk} = \frac{0,65}{(1,3 + 0,001 \cdot 80,0)} \cdot 25,0 = 11,8 \text{ kN}$$

Bemessungswert der Anschlusstragfähigkeit

$$F_{v,H,Rd} = n \cdot k_{mod} \frac{F_{v,H,Rk}}{\gamma_M} = 2 \cdot 0,80 \cdot \frac{11,8}{1,30} = 14,5 \text{ kN}$$

Nachweis

$$\frac{V_d}{F_{90,Rd}} = \frac{13,0}{68,5} = 0,19 < 1$$





**KAPITEL V**

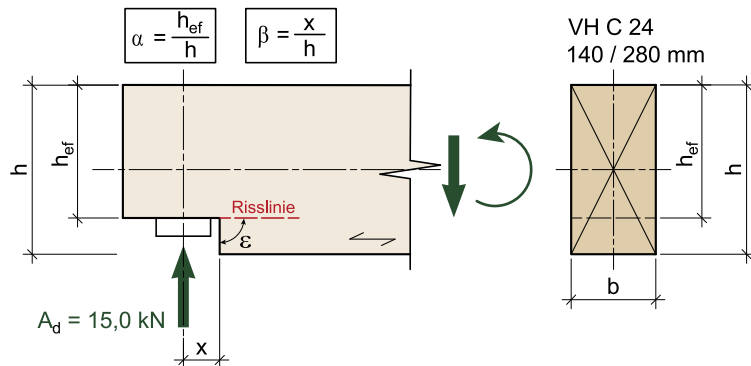
**NACHWEISFÜHRUNG  
SPEZIELLER DETAILS**

---

V.1 Ausklinkungen	V.3 - V.5
V.2 Querkraftanschluss an einen Biegestab	V.6 - V.9
V.3 unverstärkter Rechteckdurchbruch	V.9 - V.12

## V.1 AUSKLINKUNGEN

### V.1.1. RECHTECKIGE AUSKLINKUNG



**gegeben:**

Schnittgröße:  $V_d = 15,0 \text{ kN}$

Abmessungen:  $b/h = 140/280 \text{ mm}$ ,  $h_{\text{eff}} = 220 \text{ mm}$ ,  $x = 60 \text{ mm}$ ,  $i = 0$  ( $\varepsilon = 90^\circ$ )

Material: VH C24

Nutzungsklasse: NKL 2

KLED: „mittel“

#### Baustoffkenngrößen

charakteristischer Wert der Schubfestigkeit:  $f_{v,k} = 2,30 \text{ N/mm}^2$

Tab. III.9

Modifikationsbeiwert:  $k_{\text{mod}} = 0,80$

Tab. III.5

Teilsicherheitsbeiwert:  $\gamma_M = 1,30$

Tab. III.3

Beiwert  $k_n$ :  $k_n = 5$

Bemessungswert der Schubfestigkeit

$$f_{v,d} = k_{\text{mod}} \cdot \frac{f_{v,k}}{\gamma_M} = 0,80 \cdot \frac{2,30}{1,30} = 1,42 \text{ N/mm}^2$$

Tab. III.9

Ausklinkungsparameter

$$\alpha = \frac{h_{\text{eff}}}{h} = \frac{220}{280} = 0,786 > 0,5 \quad \text{und} \quad \beta = \frac{x}{h} = \frac{60}{280} = 0,214 < 0,4$$

Beiwert  $k_v$

$$k_v = \min \left\{ \frac{1}{\sqrt{h} \cdot \left( \sqrt{\alpha \cdot (1-\alpha)} + 0,8 \cdot \frac{x}{h} \cdot \sqrt{\frac{1}{\alpha} - \alpha^2} \right)}, \frac{5 \cdot \left( 1 + \frac{1,1 \cdot i^{1,5}}{\sqrt{h}} \right)}{\sqrt{280} \cdot \left( \sqrt{0,786 \cdot (1-0,786)} + 0,8 \cdot \frac{60,0}{280} \cdot \sqrt{\frac{1}{0,786} - 0,786^2} \right)} \right\} = \min \left\{ 1,00, 0,544 \right\} = 0,544$$

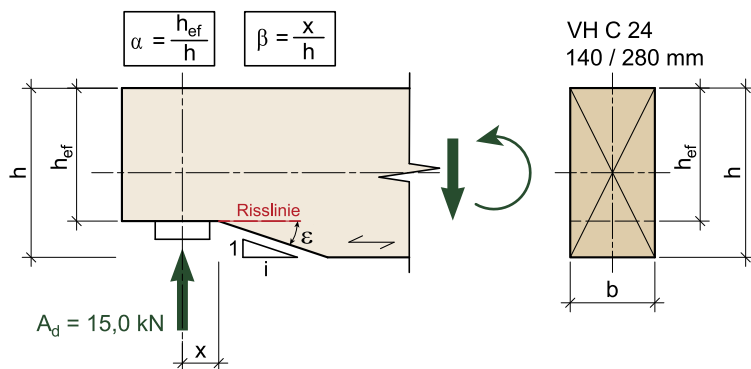
Schubspannung

$$\tau_d = 1,5 \cdot \frac{V_d}{b \cdot h_{ef}} = 1,5 \cdot \frac{15,0 \cdot 10^3}{140 \cdot 220} = 0,731 \text{ N/mm}^2$$

Nachweis

$$\frac{\tau_d}{k_v \cdot f_{v,d}} = \frac{0,731}{0,544 \cdot 1,42} = 0,95 < 1$$

## V.1.2. GENEIGTE AUSKLINKUNG



**gegeben:**

Schnittgröße:  $V_d = 15 \text{ kN}$

Abmessungen:  $b / h = 140 / 280 \text{ mm}$ ,  $h_{ef} = 220 \text{ mm}$ ,  $x = 60 \text{ mm}$ ,  $i = 3,0$  ( $\epsilon = 18,4^\circ$ )

Material: VH C24

Nutzungsklasse: NKL 2

KLED: „mittel“

### Baustoffkenngrößen

charakteristischer Wert der Schubfestigkeit:  $f_{v,k} = 2,30 \text{ N/mm}^2$

Tab. III.9

Modifikationsbeiwert:  $k_{mod} = 0,80$

Tab. III.5

Teilsicherheitsbeiwert:  $\gamma_M = 1,30$

Tab. III.3

Beiwert  $k_n$ :  $k_n = 5$

Bemessungswert der Schubfestigkeit

$$f_{v,d} = k_{mod} \cdot \frac{f_{v,k}}{\gamma_M} = 0,80 \cdot \frac{2,30}{1,30} = 1,42 \text{ N/mm}^2$$

Tab. III.9

Ausklinkungsparameter

$$\alpha = \frac{h_{ef}}{h} = \frac{220}{280} = 0,786 > 0,5 \quad \text{und} \quad \frac{x}{h} = \frac{60}{280} = 0,214 < 0,4$$

Beiwert  $k_v$

$$k_v = \min \left\{ \frac{1}{\sqrt{h} \cdot \left( \sqrt{\alpha \cdot (1-\alpha)} + 0,8 \cdot \frac{x}{h} \cdot \sqrt{\frac{1}{\alpha} - \alpha^2} \right)}, \frac{1}{\sqrt{280} \cdot \left( \sqrt{0,786 \cdot (1-0,786)} + 0,8 \cdot \frac{60,0}{280} \cdot \sqrt{\frac{1}{0,786} - 0,786^2} \right)} \right\}$$

$$= \min \left\{ \frac{1}{\sqrt{280} \cdot \left( \sqrt{0,786 \cdot (1-0,786)} + 0,8 \cdot \frac{60,0}{280} \cdot \sqrt{\frac{1}{0,786} - 0,786^2} \right)} \right\} = \min \left\{ \frac{1,00}{0,730} = 0,730 \right\}$$

Schubspannung

$$\tau_d = 1,5 \cdot \frac{V_d}{b \cdot h_{ef}} = 1,5 \cdot \frac{15,0 \cdot 10^3}{140 \cdot 220} = 0,731 \text{ N/mm}^2$$

Nachweis

$$\frac{\tau_d}{k_v \cdot f_{v,d}} = \frac{0,731}{0,730 \cdot 1,42} = 0,71 < 1$$

### Vergleich der Tragfähigkeiten

	Träger ohne Ausklinkung	rechteckige Ausklinkung	geneigte Ausklinkung
i	–	0	3,00
$k_v$	–	0,544	0,730
$\max F_{v,Rd}$	37,1 kN (100%)	15,9 kN (42,9%)	21,3 kN (57,4%)

Anmerkung:

Wie die Ergebnisse zeigen verliert das Auflager bei einer moderaten Ausklinkungstiefe von rund 20% der Querschnittshöhe rund 50% seiner Tragfähigkeit. Ausklinkungen sollten daher nach Möglichkeit vermieden werden oder zumindest durch geeignete Verstärkungsmaßnahmen (z. B. Vollgewindeschrauben) gesichert werden.



**Kontrolle der Verbindungsmittelabstände**

Stabdübel und Passbolzen d = 16 mm					
Abstände und Anforderungen		Hauptträger $\alpha = 90^\circ$		Hänger $\alpha = 0^\circ$	
		erforderlich	vorhanden	erforderlich	vorhanden
$a_1$	$\geq (3+2 \cdot  \cos \alpha ) \cdot d$	48 mm	100 mm	80 mm	80 mm
$a_2$	$\geq 3 \cdot d$	48 mm	80 mm	48 mm	100 mm
$a_{3,t}$	$\geq \max \{7 \cdot d; 80 \text{ mm}\}$	-	-	112 mm	120 mm
$a_{4,t}$	$\geq \max (2 + 2 \cdot \sin \alpha) d ; 3 \cdot d$	64 mm	90 mm	-	-
$a_{4,c}$	$\geq 3 \cdot d$	48 mm	390 mm	48 mm	50 mm

**Ermittlung der Tragfähigkeit des Queranschlusses**

Kontrolle des Abstandes der obersten Verbindungsmitteleihe zur Unterkante HT

$$\frac{a}{h} = \frac{250}{640} = 0,391 < 0,7 \rightarrow \text{es ist ein Nachweis der Querzugtragfähigkeit des Queranschlusses zu führen!}$$

$$k_s = \max \left\{ \frac{0,7 + 1,4 \cdot \frac{a_r}{h}}{1} = 0,7 + 1,4 \cdot \frac{100}{640} = 0,919 = 1,00 \right\}$$

$$k_r = \frac{n}{\sum_{i=1}^n \left( \frac{h_i}{h} \right)^2} = \frac{3}{\left( \frac{390}{390} \right)^2 + \left( \frac{390}{470} \right)^2 + \left( \frac{390}{550} \right)^2} = 1,37$$

$$t_{ef} = \min \left\{ \frac{b}{2 \cdot t}, \frac{200 \text{ mm}}{12 \cdot d} \right\} = \min \left\{ \frac{200 \text{ mm}}{12 \cdot 16,0 = 192 \text{ mm}} \right\} = 192 \text{ mm} \quad \text{für einen beidseitigen Queranschluss mit Stabdübeln/Passbolzen}$$

Bemessungswert der Tragfähigkeit des Queranschlusses

$$F_{90,Rd} = k_s \cdot k_r \cdot \left[ 6,5 + 18 \cdot \left( \frac{a}{h} \right)^2 \right] \cdot (t_{ef} \cdot h)^{0,8} \cdot f_{t,90,d} = 1,00 \cdot 1,37 \cdot \left[ 6,5 + 18 \cdot \left( \frac{250}{640} \right)^2 \right] \cdot (192 \cdot 640)^{0,8} \cdot 0,32 = 47,801 \text{ N} = 47,8 \text{ kN}$$

Nachweis

$$\frac{F_{90,Ed}}{F_{90,Rd}} = \frac{45,0}{47,8} = 0,94 < 1$$

Anmerkung:

Queranschlüsse mit  $a_r > h$  und  $F_{90,Ed} > 0,5 \cdot F_{90,Rd}$  sind zu verstärken! (siehe Kapitel VI „Verstärkungsmaßnahmen“)

**Tragfähigkeit der Verbindung**

charakteristische Lochleibungsfestigkeit des Holzes

- Hänger

$$f_{h,0,k,1;Ha} = 0,082 \cdot (1 - 0,01 \cdot d) \cdot \rho_k = 0,082 \cdot (1 - 0,01 \cdot 16,0) \cdot 385 = 26,5 \text{ N/mm}^2$$

• Hauptträger

$$f_{h,0,k,2;HT} = 0,082 \cdot (1 - 0,01 \cdot d) \cdot \rho_k = 0,082 \cdot (1 - 0,01 \cdot 16,0) \cdot 390 = 26,9 \text{ N/mm}^2$$

$$f_{h,2,\alpha,k} = \frac{f_{h,0,2,k}}{(1,35 + 0,015 \cdot d) \cdot \sin^2 \alpha + \cos^2 \alpha} = \frac{26,9}{(1,35 + 0,015 \cdot 16,0) \cdot \sin^2(90,0) + \cos^2(90,0)} = 16,9 \text{ N/mm}^2$$

$$\beta = \frac{f_{h,2,k}}{f_{h,1,k}} = \frac{16,9}{26,5} = 0,638$$

charakteristische Fließmoment des StabdüBELs/Passbolzen

$$M_{y,Rk} = 0,3 \cdot f_{u,k} \cdot d^{2,6} = 0,3 \cdot 360 \cdot 16,0^{2,6} = 1,46 \cdot 10^5 \text{ Nmm}$$

Tragfähigkeit pro VM und Scherfuge

$$F_{v,Rk} = \min \begin{cases} F_{v,Rk,g} = f_{h,1,k} \cdot t_1 \cdot d \\ F_{v,Rk,h} = 0,5 \cdot f_{h,2,k} \cdot t_2 \cdot d \\ F_{v,Rk;j} = 1,05 \cdot \frac{f_{h,1,k} \cdot t_1 \cdot d}{2 + \beta} \cdot \left[ \sqrt{2 \cdot \beta \cdot (1 + \beta) + \frac{4 \cdot \beta \cdot (2 + \beta) \cdot M_{y,Rk}}{f_{h,1,k} \cdot t_1^2 \cdot d}} - \beta \right] \\ F_{v,Rk;k} = 1,15 \cdot \sqrt{\frac{2 \cdot \beta}{1 + \beta}} \cdot \sqrt{2 \cdot M_{y,Rk} \cdot f_{h,1,k} \cdot d} \\ 26,5 \cdot 80,0 \cdot 16,0 \\ 0,5 \cdot 16,9 \cdot 200 \cdot 16,0 \end{cases}$$

$$= \min \begin{cases} 1,05 \cdot \frac{26,5 \cdot 80,0 \cdot 16,0}{2 + 0,638} \cdot \left[ \sqrt{2 \cdot 0,638 \cdot (1 + 0,638) + \frac{4 \cdot 0,638 \cdot (2 + 0,638) \cdot 1,46 \cdot 10^5}{26,5 \cdot 80,0^2 \cdot 16,0}} - 0,621 \right] \\ 1,15 \cdot \sqrt{\frac{2 \cdot 0,638}{1 + 0,638}} \cdot \sqrt{2 \cdot 1,46 \cdot 10^5 \cdot 26,5 \cdot 16,0} \end{cases} = \min \begin{cases} 33,920 \text{ N} \\ 27,040 \text{ N} \\ 12,529 \text{ N} \\ 11,294 \text{ N} \end{cases} = 11,3 \text{ kN}$$

Anmerkung:

Auf die Berücksichtigung des Seileffektes für die Passbolzen wurde verzichtet!

Bemessungswert der Tragfähigkeit je Verbindungsmittel und Scherfuge

$$F_{v,Rd} = k_{mod} \cdot \frac{F_{v,Rk}}{\gamma_{verb}} = 0,80 \cdot \frac{11,3}{1,30} = 6,95 \text{ kN}$$

wirksame Verbindungsmittelanzahl

• Hauptträger

$$n_{ef;HT} = n^{0,9} \cdot \sqrt[4]{\frac{a_1}{13 \cdot d}} \cdot \frac{90 - \alpha}{90} + n \cdot \frac{\alpha}{90} = 2^{0,9} \cdot \sqrt[4]{\frac{100}{13 \cdot 16,0}} \cdot \frac{90 - 90}{90} + 2 \cdot \frac{90}{90} = 2,00$$

• Hänger

$$n_{ef;Hä} = n^{0,9} \cdot \sqrt[4]{\frac{a_1}{13 \cdot d}} \cdot \frac{90 - \alpha}{90} + n \cdot \frac{\alpha}{90} = 3^{0,9} \cdot \sqrt[4]{\frac{80,0}{13 \cdot 16,0}} \cdot \frac{90 - 0}{90} + 3 \cdot \frac{0}{90} = 2,12$$

Bemessungswert der Verbindung

• Hauptträger

$$R_{v,Rd;HT} = s \cdot m \cdot n_{ef;HT} \cdot F_{v,Rd} = 2 \cdot 3 \cdot 2,00 \cdot 6,95 = 83,4 \text{ kN}$$

• Hänger

$$R_{v,Rd;Hä} = s \cdot m \cdot n_{ef;Hä} \cdot F_{v,Rd} = 2 \cdot 2 \cdot 2,12 \cdot 6,95 = 58,9 \text{ kN}$$

$$R_{v,Rd} = \min \left\{ R_{v,Rd;HT}, R_{v,Rd;Ha} \right\} = \min \left\{ 83,4, 58,9 \right\} = 58,9 \text{ kN}$$

Nachweis der Verbindung

$$\frac{Z_d}{R_{v,Rd}} = \frac{45,0}{58,9} = 0,76 < 1$$

#### Nettoquerschnittsnachweis der Hänger

$$A_n = h_{Ha} \cdot (b_{Ha} - n \cdot d) = 80,0 \cdot (200 - 2 \cdot 16,0) = 1,34 \cdot 10^4 \text{ N/mm}^2$$

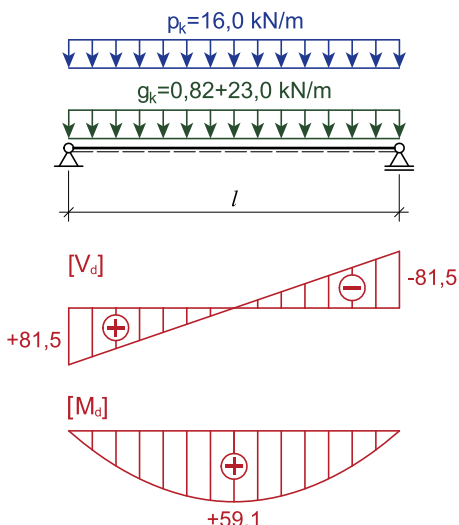
$$\sigma_{t,0,n;Ha} = \frac{Z_d}{2 \cdot A_n} = \frac{45,0 \cdot 10^3}{2 \cdot 1,34 \cdot 10^4} = 1,68 \text{ N/mm}^2$$

Nachweis

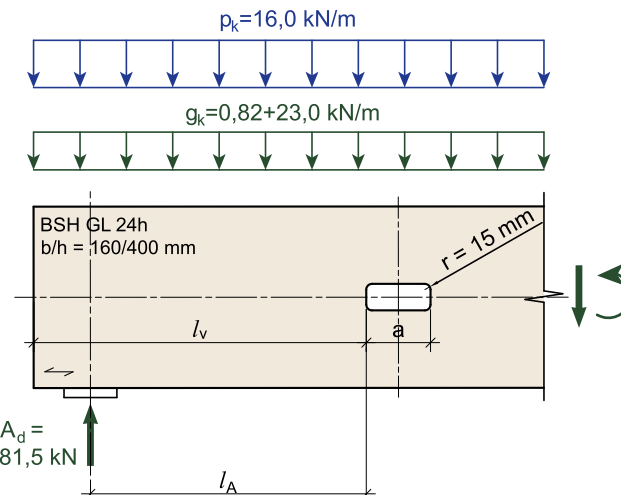
$$\frac{\sigma_{t,0,n;Ha}}{f_{t,0,g,d}} = \frac{1,68}{12,3} = 0,14 < 1$$

## V.3 UNVERSTÄRKTER RECHTECKDURCHBRUCH

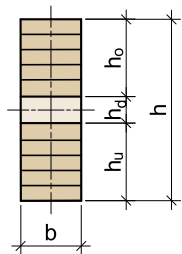
statisches System  
und Einwirkungen



Detail



Querschnitt



#### gegeben:

rechteckiger Durchbruch  $a/h_d = 170 / 70 \text{ mm}$ , mittig im Querschnitt,  $l_v = 830 \text{ mm}$ ,  $l_A = 730 \text{ mm}$

Einwirkungen: charakteristischer Wert der ständigen Einwirkungen  $g_k = 24,0 \text{ kN/m}$   
charakteristischer Wert der veränderlichen Einwirkungen  $p_k = 16,0 \text{ kN/m}$

Abmessungen:  $b/h = 160/480 \text{ mm}$

Material: BSH GL 24h

Nutzungsklasse: NKL 1

KLED: „mittel“

### Bemessungswert der Einwirkungen

$$q_d = \gamma_G \cdot g_k + \gamma_Q \cdot p_k = 1,35 \cdot 24,0 + 1,50 \cdot 16,0 = 56,4 \text{ kN/m}$$

### Bemessungsschnittgrößen

Träger (global)

$$V_d = \frac{q_d \cdot l}{2} = \frac{56,4 \cdot 2,90}{2} = 81,8 \text{ kN}$$

$$M_d = \frac{q_d \cdot l^2}{8} = \frac{56,4 \cdot 2,90^2}{8} = 59,3 \text{ kNm}$$

im Bereich des Durchbruches (lokal)

- Querkraft

$$V_{li,d} = V_d - q_d \cdot l_A = 81,8 - 56,4 \cdot 0,730 = 40,6 \text{ kN}$$

$$V_{m,d} = V_d - q_d \cdot (l_A + 0,5 \cdot a) = 81,8 - 56,4 \cdot (0,730 + 0,5 \cdot 0,170) = 35,8 \text{ kN}$$

$$V_{re,d} = V_d - q_d \cdot (l_A + a) = 81,8 - 56,4 \cdot (0,730 + 0,170) = 31,0 \text{ kN}$$

- Moment

$$M_{li,d} = V_d \cdot l_A - q_d \cdot \frac{l_A^2}{2} = 81,8 \cdot 0,730 - 56,4 \cdot \frac{0,730^2}{2} = 44,7 \text{ kNm}$$

$$M_{m,d} = V_d \cdot (l_A + 0,5 \cdot a) - q_d \cdot \frac{(l_A + 0,5 \cdot a)^2}{2} = 81,8 \cdot (0,730 + 0,5 \cdot 0,170) - 56,4 \cdot \frac{(0,730 + 0,5 \cdot 0,170)^2}{2} = 47,9 \text{ kNm}$$

$$M_{re,d} = V_d \cdot (l_A + a) - q_d \cdot \frac{(l_A + a)^2}{2} = 81,8 \cdot (0,730 + 0,170) - 56,4 \cdot \frac{(0,730 + 0,170)^2}{2} = 50,8 \text{ kNm}$$

### Kontrolle der geometrischen Grenzwerte

$l_A \geq 0,5 \cdot h$	$730 \text{ mm} > 0,5 \cdot 480 = 240 \text{ mm}$
$l_v \geq h$	$830 \text{ mm} > 480 \text{ mm}$
$l_z \geq 1,5 \cdot h \geq 300 \text{ mm}$	nicht vorhanden
$h_d \leq 0,15 \cdot h$	$70,0 \text{ mm} < 0,15 \cdot 480 = 72,0 \text{ mm}$
$a \leq 2,5 \cdot h_d$	$170 \text{ mm} < 2,5 \cdot 70,0 = 175 \text{ mm}$
$h_{ro} \geq 0,35 \cdot h$	$205 \text{ mm} > 0,35 \cdot 480 = 168 \text{ mm}$
$h_{ru} \geq 0,35 \cdot h$	$205 \text{ mm} > 0,35 \cdot 480 = 168 \text{ mm}$
$d \geq 0,1 \cdot h$	$\sqrt{170^2 + 70,0^2} = 184 \text{ mm} > 0,1 \cdot 480 = 48,0 \text{ mm}$
$r \geq 15 \text{ mm}$	$15,0 \text{ mm} = 15,0 \text{ mm}$

### Baustoffkenngrößen

Modifikationsbeiwert:  $k_{mod} = 0,80$

Tab. III.5

Teilsicherheitsbeiwert:  $\gamma_M = 1,25$

Tab. III.3

Bemessungswerte

$$f_{m,g,d} = k_{mod} \cdot \frac{f_{m,g,k}}{\gamma_M} = 0,80 \cdot \frac{24,0}{1,25} = 15,4 \text{ N/mm}^2$$

$$f_{v,g,d} = k_{mod} \cdot \frac{f_{v,g,k}}{\gamma_M} = 0,80 \cdot \frac{2,50}{1,25} = 1,60 \text{ N/mm}^2$$

$$f_{t,90,g,d} = k_{mod} \cdot \frac{f_{t,90,g,k}}{\gamma_M} = 0,80 \cdot \frac{0,50}{1,25} = 0,320 \text{ N/mm}^2$$

**Querschnittswerte**

Bruttoquerschnittswerte

$$A = b \cdot h = 160 \cdot 480 = 7,68 \cdot 10^4 \text{ mm}^2$$

$$W = \frac{b \cdot h^2}{6} = \frac{160 \cdot 480^2}{6} = 6,14 \cdot 10^6 \text{ mm}^3$$

Nettoquerschnittswerte

$$A_o = b \cdot h_{ro} = 160 \cdot 205 = 3,28 \cdot 10^4 \text{ mm}^2$$

$$A_u = b \cdot h_{ru} = 160 \cdot 205 = 3,28 \cdot 10^4 \text{ mm}^2$$

$$W_n = \frac{b \cdot (h^2 - h_d^2)}{6} = \frac{160 \cdot (480^2 - 70,0^2)}{6} = 6,01 \cdot 10^6 \text{ mm}^3$$

$$W_o = \frac{b \cdot h_{ro}^2}{6} = \frac{160 \cdot 205^2}{6} = 1,12 \cdot 10^6 \text{ mm}^3$$

$$W_u = \frac{b \cdot h_{ru}^2}{6} = \frac{160 \cdot 205^2}{6} = 1,12 \cdot 10^6 \text{ mm}^3$$

**Nachweis des Trägers**

- Biegenachweis

$$\sigma_{m,d} = \frac{M_d}{W} = \frac{59,3 \cdot 10^6}{6,14 \cdot 10^6} = 9,66 \text{ N/mm}^2$$

$$\frac{\sigma_{m,d}}{f_{m,g,d}} = \frac{9,66}{15,4} = 0,63 < 1$$

- Schubnachweis

$$\tau_d = 1,5 \cdot \frac{V_d}{A} = 1,5 \cdot \frac{81,8 \cdot 10^3}{7,68 \cdot 10^4} = 1,60 \text{ N/mm}^2$$

$$\frac{\tau_d}{f_{v,g,d}} = \frac{1,60}{1,60} = 1,00 = 1$$

**Nachweis im Durchbruchbereich**

- Nachweis der Querzugspannung

$$h_r = \min \begin{cases} h_{ro} \\ h_{ru} \end{cases} = \min \begin{cases} 205 \\ 205 \end{cases} = 205 \text{ mm}$$

Querzugkraft am **linken Rand** des Durchbruches

$$F_{li,t,V,d} = \frac{V_{li,d} \cdot h_d}{4 \cdot h} \cdot \left[ 3 - \left( \frac{h_d}{h} \right)^2 \right] = \frac{40,6 \cdot 70,0}{4 \cdot 480} \cdot \left[ 3 - \left( \frac{70,0}{480} \right)^2 \right] = 4,41 \text{ kN}$$

$$F_{li,t,M,d} = 0,008 \cdot \frac{M_{li,d}}{h_r} = 0,008 \cdot \frac{44,7 \cdot 10^3}{205} = 1,74 \text{ kN}$$

$$F_{li,t,90,d} = F_{li,t,V,d} + F_{li,t,M,d} = 4,41 + 1,74 = 6,15 \text{ kN}$$

→ maßgebend!

Querzugkraft am **rechten Rand** des Durchbruches

$$F_{re,t,V,d} = \frac{V_{re,d} \cdot h_d}{4 \cdot h} \cdot \left[ 3 - \left( \frac{h_d}{h} \right)^2 \right] = \frac{31,0 \cdot 70,0}{4 \cdot 480} \cdot \left[ 3 - \left( \frac{70,0}{480} \right)^2 \right] = 3,37 \text{ kN}$$

$$F_{re,t,M,d} = 0,008 \cdot \frac{M_{re,d}}{h_r} = 0,008 \cdot \frac{50,8 \cdot 10^3}{205} = 1,98 \text{ kN}$$

$$F_{re,t,90,d} = F_{re,t,V,d} + F_{re,t,M,d} = 3,37 + 1,98 = 5,35 \text{ kN}$$

$$k_{t,90} = \min \left\{ \left( \frac{1}{\frac{450}{h}} \right)^{0.5} \right\} = \min \left\{ \left( \frac{1}{\frac{450}{480}} \right)^{0.5} = 0,968 \right\}$$

$$l_{t,90} = 0,5 \cdot (h_d + h) = 0,5 \cdot (70,0 + 480) = 275 \text{ mm}$$

$$\sigma_{t,90,d} = \frac{F_{t,90,d}}{0,5 \cdot l_{t,90} \cdot b_{ef} \cdot k_{t,90}} = \frac{6,15 \cdot 10^3}{0,5 \cdot 275 \cdot 160 \cdot 0,968} = 0,289 \text{ N/mm}^2$$

$$\frac{\sigma_{t,90,d}}{f_{t,90,g,d}} = \frac{0,289}{0,320} = 0,90 < 1$$

- Nachweis Schubspannung

$$k_\tau = 1,85 \cdot \left( 1 + \frac{a}{h} \right) \cdot \left( \frac{h_d}{h} \right)^{0,2} = 1,85 \cdot \left( 1 + \frac{170}{480} \right) \cdot \left( \frac{70,0}{480} \right)^{0,2} = 1,70$$

$$\tau_d = k_\tau \cdot \frac{1,5 \cdot V_d}{b_{ef} \cdot (h - h_d)} = 1,70 \cdot \frac{1,5 \cdot 40,6 \cdot 10^3}{160 \cdot (480 - 70,0)} = 1,58 \text{ N/mm}^2$$

$$\frac{\tau_d}{f_{v,d}} = \frac{1,58}{1,60} = 0,99 < 1$$

- Nachweis Biegespannung

oben

$$M_{o,d} = \frac{A_o}{A_u + A_o} \cdot V_{m,d} \cdot \frac{a}{2} = \frac{3,28 \cdot 10^4}{3,28 \cdot 10^4 + 3,28 \cdot 10^4} \cdot 35,8 \cdot \frac{0,170}{2} = 1,52 \text{ kN}$$

$$\sigma_{m,o,d} = \frac{M_{m,d}}{W_n} + \frac{M_{o,d}}{W_o} = \frac{47,9 \cdot 10^6}{6,01 \cdot 10^6} + \frac{1,52 \cdot 10^6}{1,12 \cdot 10^6} = 9,33 \text{ N/mm}^2$$

$$\frac{\sigma_{m,o,d}}{f_{m,g,d}} = \frac{9,33}{15,4} = 0,61 < 1$$

unten

$$M_{u,d} = \frac{A_u}{A_u + A_o} \cdot V_{m,d} \cdot \frac{a}{2} = \frac{3,28 \cdot 10^4}{3,28 \cdot 10^4 + 3,28 \cdot 10^4} \cdot 35,8 \cdot \frac{0,170}{2} = 1,52 \text{ kN}$$

$$\sigma_{m,u,d} = \frac{M_{m,d}}{W_n} + \frac{M_{u,d}}{W_u} = \frac{47,9 \cdot 10^6}{6,01 \cdot 10^6} + \frac{1,52 \cdot 10^6}{1,12 \cdot 10^6} = 9,33 \text{ N/mm}^2$$

$$\frac{\sigma_{m,u,d}}{f_{m,g,d}} = \frac{9,33}{15,4} = 0,61 < 1$$



## **KAPITEL VI**

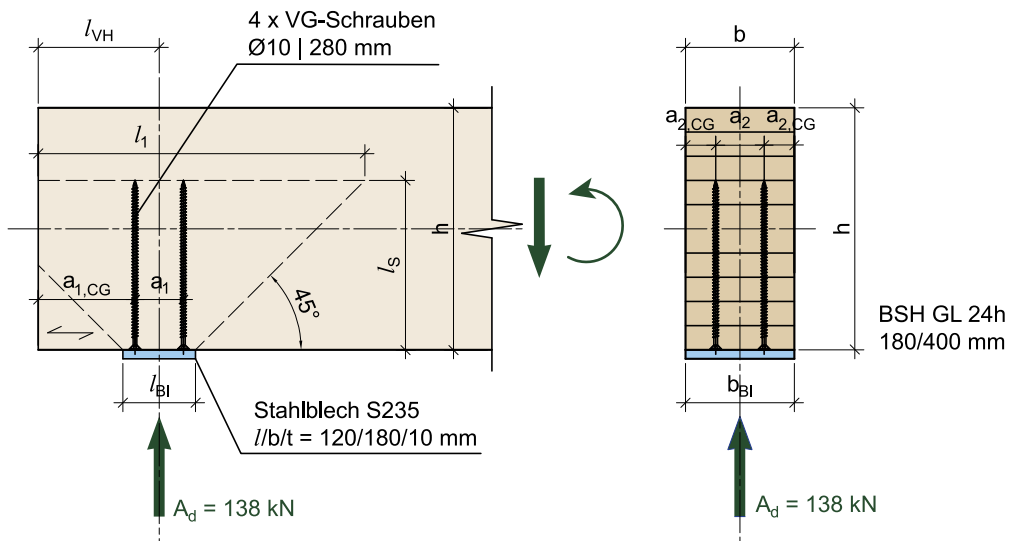
### **KAPITEL VI**

#### **SANIERUNGS-/ VERSTÄRKUNGSMASSNAHMEN**

---

VI.1 Verstärkung eines Auflagers	VI.3 - VI.4
VI.2 Verstärkung einer Ausklinkung	VI.5 - VI.7
VI.3 Verstärkung eines Queranschlusses	VI.7 - VI.8
VI.4 Verstärkung eines runden Durchbruches	VI.9 - VI.16

## VI.1 VERSTÄRKUNG EINES AUFLAGERS



**gegeben:**

Einwirkung:  $A_d = 138 \text{ kN}$

Abmessungen:  $b/h = 180/400 \text{ mm}$ ,  $l_{VH} = 200 \text{ mm}$ ,  $l_{B1}/b_{B1} = 120/180 \text{ mm}$

Material: BSH GL 24h

Verstärkung: 4 x Vollgewindeschrauben Ø10 | 280 mm

Nutzungsklasse: NKL 2

KLED: „mittel“

**Baustoffkenngrößen**

charakteristischer Wert der Querdruckfestigkeit:  $f_{c,90,g,k} = 2,50 \text{ N/mm}^2$  Tab. III.15

charakteristischer Wert der Rohdichte  $\rho_k = 385 \text{ kg/m}^3$  Tab. III.15

Modifikationsbeiwert:  $k_{mod} = 0,80$  Tab. III. 5

Teilsicherheitsbeiwert Holz:  $\gamma_M = 1,25$  Tab. III. 3

Teilsicherheitsbeiwert Verbindung:  $\gamma_{M, Verb} = 1,30$  Tab. III. 3

Bemessungswert

$$f_{c,90,g,d} = k_{mod} \cdot \frac{f_{c,90,g,k}}{\gamma_M} = 0,80 \cdot \frac{2,50}{1,25} = 1,60 \text{ N/mm}^2$$

**Querdrucknachweis ohne Verstärkung**

$$A_0 = A_{ef} = l_{ef} \cdot b = (120 + 2 \cdot 30,0) \cdot 180 = 3,24 \cdot 10^4 \text{ mm}^2$$

$$\sigma_{c,90,d} = \frac{A_d}{A_{ef}} = \frac{138 \cdot 10^3}{3,24 \cdot 10^4} = 4,26 \text{ N/mm}^2$$

Nachweis

$$\frac{\sigma_{c,90,d}}{k_{c,90} \cdot f_{c,90,g,d}} = \frac{4,26}{1,75 \cdot 1,60} = 1,52 > 1,0 \rightarrow \text{Auflagerverstärkung erforderlich!}$$

### Querdrucknachweis mit Verstärkung

Überprüfung der Mindestabstände nach ÖNORM EN 1995-1-1, Tab. 8.6 [1]

Vollgewindeschraube Ø10   280 mm				
			erforderlich	vorhanden
a <sub>1</sub>	≥ 7·d	[mm]	70	80
a <sub>2</sub>	≥ 5·d	[mm]	50	100
a <sub>1,CG</sub>	≥ 10·d	[mm]	100	160
a <sub>2,CG</sub>	≥ 4·d	[mm]	40	40

### Ermittlung der Tragfähigkeit und Nachweis der Verstärkungsmaßnahme

Knicken der Schraube im Holz (elastisch gebetteter (Stahl-) Knickstab)

$$N_{pl,k} = \frac{(0,7 \cdot d)^2 \cdot \pi}{4} \cdot f_{y,k} = \frac{(0,7 \cdot 10,0)^2 \cdot \pi}{4} \cdot 950 = 36,560 \text{ N} = 36,6 \text{ kN}$$

$$I_s = \frac{(0,7 \cdot d)^4 \cdot \pi}{64} = \frac{(0,7 \cdot 10,0)^4 \cdot \pi}{64} = 118 \text{ mm}^4$$

Bettungsziffer einer Schraube im Holz

$$c_h = (0,19 + 0,012 \cdot d) \cdot \rho_k \cdot \left( \frac{90 + \alpha}{180} \right) = (0,19 + 0,012 \cdot 10,0) \cdot 385 \cdot \left( \frac{90 + 90}{180} \right) = 119 \text{ N/mm}^2$$

$$N_{ki,G,k} = \sqrt{c_h \cdot E_s \cdot I_s} = \sqrt{119 \cdot 210.000 \cdot 118} = 54.303 \text{ N} = 54,3 \text{ kN}$$

$$\bar{\lambda}_k = \sqrt{\frac{N_{pl,k}}{N_{ki,G,k}}} = \sqrt{\frac{36,6}{54,3}} = 0,821$$

$$k = 0,5 \cdot [1 + 0,49 \cdot (\bar{\lambda}_k - 0,2) + \bar{\lambda}_k^2] = 0,5 \cdot [1 + 0,49 \cdot (0,821 - 0,2) + 0,821^2] = 0,989 \quad \text{für } \bar{\lambda}_k = 0,821 > 0,2$$

$$\kappa_c = \frac{1}{k + \sqrt{k^2 - \bar{\lambda}_k^2}} = \frac{1}{0,989 + \sqrt{0,989^2 - 0,821^2}} = 0,649$$

### Nachweisführung der Querdruckverstärkung

$$f_{ax,k} = 0,52 \cdot d^{-0,5} \cdot l_{ef}^{-0,1} \cdot \rho_k^{0,8} = 0,52 \cdot 10,0^{-0,5} \cdot 280^{-0,1} \cdot 385^{0,8} = 11,0 \text{ N/mm}^2$$

$$R_{S,d} = \min \left\{ \begin{array}{l} R_{ax,k} = f_{ax,k} \cdot d \cdot l \\ R_{c,k} = \kappa_c \cdot N_{pl,k} \end{array} \right\} \cdot \frac{k_{mod}}{\gamma_{M,Verb}} = \min \left\{ \begin{array}{l} 11,0 \cdot 10,0 \cdot 280 = 30.800 \text{ N} = 30,8 \text{ kN} \\ 0,649 \cdot 36,6 = 23,7 \text{ kN} \end{array} \right\} \cdot \frac{0,80}{1,30} = 14,6 \text{ kN}$$

$$l_1 = \left[ l_s + l_{BL} + \min \left\{ l_s, \frac{l_{BL}}{2} \right\} \right] = \left[ 280 + 120 + \min \left\{ 280, \frac{120}{2} \right\} \right] = 540 \text{ mm}$$

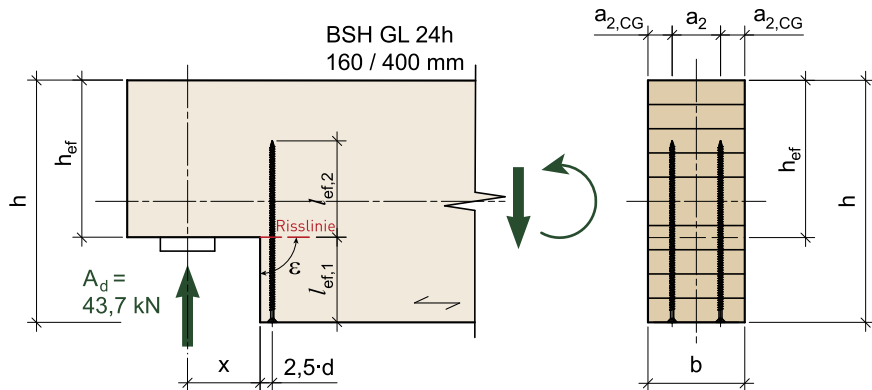
$$A_1 = l_1 \cdot b = 540 \cdot 180 = 9,72 \cdot 10^4 \text{ mm}^2$$

$$R_{90,d} = \min \left\{ \begin{array}{l} k_{c,90} \cdot A_0 \cdot f_{c,90,g,d} + n \cdot R_{S,d} \\ A_1 \cdot f_{c,90,g,d} \end{array} \right\} = \min \left\{ \begin{array}{l} 1,75 \cdot 3,24 \cdot 10^4 \cdot 1,60 + 4 \cdot 14.600 = 149.120 \text{ N} = 149 \text{ kN} \\ 9,72 \cdot 10^4 \cdot 1,60 = 155.520 \text{ N} = 156 \text{ kN} \end{array} \right\} = 149 \text{ kN}$$

Nachweis

$$\frac{A_d}{R_{90,d}} = \frac{138}{149} = 0,93 < 1$$

## VI.2 VERSTÄRKUNG EINER AUSKLINKUNG



**gegeben:**

Einwirkung:  $A_d = V_d = 43,7 \text{ kN}$

Abmessungen:  $b/h = 160/400 \text{ mm}$ ,  $h_{ef} = 260 \text{ mm}$ ,  $i = 0$ ,  $x = 120 \text{ mm}$

Material: BSH GL 24h

Verstärkung: Vollgewindeschraube Ø8 | 300 mm,  $F_{tens,k} = 20,0 \text{ kN}$

Nutzungsklasse: NKL 2

KLED: „mittel“

Beiwert  $k_n$ :  $k_n = 6,5$

### Baustoffkenngrößen

charakteristischer Wert der Schubfestigkeit:  $f_{v,g,k} = 2,50 \text{ N/mm}^2$  Tab. III.15

charakteristischer Wert der Querdruckfestigkeit:  $f_{c,90,g,k} = 2,50 \text{ N/mm}^2$  Tab. III.15

Modifikationsbeiwert:  $k_{mod} = 0,80$  Tab. III.5

Teilsicherheitsbeiwert Holz:  $\gamma_M = 1,25$  Tab. III.3

Teilsicherheitsbeiwert (Verbindung):  $\gamma_{M, Verb} = 1,30$  Tab. III.3

Bemessungswert

$$f_{v,g,d} = k_{mod} \cdot \frac{f_{v,g,k}}{\gamma_M} = 0,80 \cdot \frac{2,50}{1,25} = 1,60 \text{ N/mm}^2$$

Ausklinkungsparameter

$$\alpha = \frac{h_{ef}}{h} = \frac{260}{400} = 0,65 > 0,5 \quad \text{und} \quad \beta = \frac{x}{h} = \frac{120}{400} = 0,300 < 0,4$$

Überprüfung, ob die Ausklinkung auch unverstärkt ausgeführt werden kann

Beiwert  $k_v$

$$k_v = \min \left\{ \frac{1}{\sqrt{h} \cdot \left( \sqrt{\alpha \cdot (1-\alpha)} + 0,8 \cdot \frac{x}{h} \cdot \sqrt{\frac{1}{\alpha} - \alpha^2} \right)}, \frac{1}{\sqrt{400} \cdot \left( \sqrt{0,650 \cdot (1-0,650)} + 0,8 \cdot \frac{120}{400} \cdot \sqrt{\frac{1}{0,650} - 0,650^2} \right)} \right\} = \min \left\{ \frac{1,00}{0,445} = 0,445 \right\}$$

Schubspannung

$$\tau_d = 1,5 \cdot \frac{V_d}{b \cdot h_{ef}} = 1,5 \cdot \frac{43,7 \cdot 10^3}{160 \cdot 260} = 1,58 \text{ N/mm}^2$$

Nachweis

$$\frac{\tau_d}{k_v \cdot f_{v,g,d}} = \frac{1,58}{0,445 \cdot 1,60} = 2,22 > 1 \rightarrow \text{Verstärkungsmaßnahme erforderlich!}$$

**gewählte Verstärkungsmaßnahme:** Vollgewindeschraube 2 x Ø8 | 300 mm, von unten eingedreht

Bemessungswert der von der Verstärkungsmaßnahme aufzunehmenden Kraft

$$F_{t,90,d} = 1,3 \cdot V_d \cdot (1 - 3 \cdot \alpha^2 + 2 \cdot \alpha^3) = 1,3 \cdot 43,7 \cdot (1 - 3 \cdot 0,650^2 + 2 \cdot 0,650^3) = 16,0 \text{ kN}$$

### Überprüfung der Randabstände

<b>Vollgewindeschraube Ø8   300 mm</b>			
		<b>erforderlich</b>	<b>vorhanden</b>
$a_2$	$\geq 5 \cdot d$	40 mm	80 mm
$a_{2,CG}$	$\geq 5 \cdot d$	32 mm	40 mm

Anmerkung:  
Der Abstand der Schraubenachse vom Hirnholzende ( $a_{3,c}$ ) sollte für Ausklinkungsverstärkungen mit  $2,5 \cdot d$  gewählt werden.

### Ermittlung der Tragfähigkeit und Nachweis der Verstärkungsmaßnahme

wirksame Länge

$$l_{ef,1} = 140 \text{ mm}$$

$$l_{ef,2} = l - l_{ef,1} = 300 - 140 = 160 \text{ mm}$$

Ausziehparameter

$$f_{ax,k} = 0,52 \cdot d^{-0,5} \cdot l_{ef,1}^{-0,1} \cdot p_k^{0,8} = 0,52 \cdot 8,00^{-0,5} \cdot 140^{-0,1} \cdot 385^{0,8} = 13,1 \text{ N/mm}^2$$

charakteristischer Wert der Tragfähigkeit je Verbindungsmitte

$$k_a = \min \left\{ \frac{d}{8} = \min \left\{ \frac{8,00}{8} = 1,00 \right\}, 1 \right\} = 1,00$$

$$F_{ax,Rd} = \min \left\{ F_{ax,Rd}, F_{tens,d} \right\} = \min \left\{ \frac{f_{ax,k} \cdot d \cdot l_{ef,1} \cdot k_d}{1,2 \cdot \cos^2 \alpha + \sin^2 \alpha} \cdot \frac{k_{mod}}{\gamma_{M,Verb}}, \frac{f_{tens,k}}{\gamma_{M2}} \right\} = \min \left\{ \frac{13,1 \cdot 8,00 \cdot 140 \cdot 1,00}{1,2 \cdot \cos^2 90,0 + \sin^2 90,0} \cdot \frac{0,80}{1,30}, \frac{20.000}{1,25} \right\} = 9,029 \text{ N} = 9,03 \text{ kN}$$

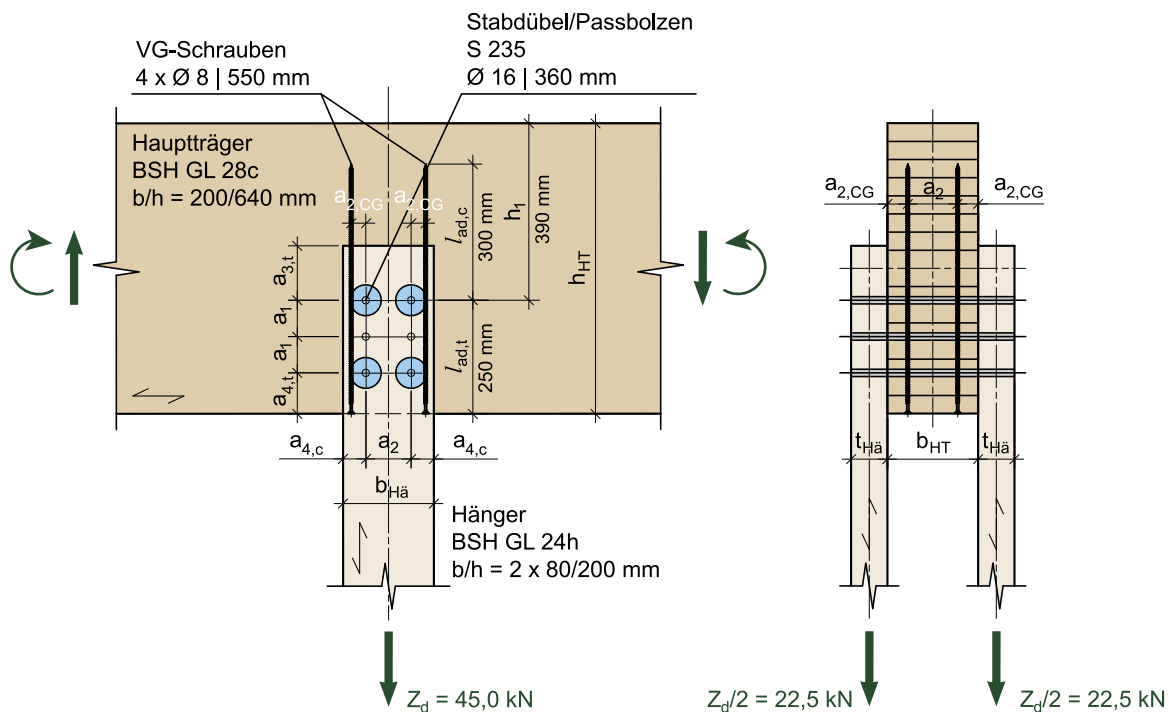
Gesamttragfähigkeit einer Verbindung

$$R_{ax,d} = n \cdot F_{ax,Rd} = 2 \cdot 9,03 = 18,1 \text{ kN}$$

Nachweis der Verstärkungsmaßnahme

$$\frac{F_{t90,d}}{R_{ax,d}} = \frac{16,0}{18,1} = 0,88 < 1$$

## VI.3 VERSTÄRKUNG EINES QUERANSCHLUSSES



**gegeben:**

Schnittgröße:	$Z_d = 45,0 \text{ kN}$
Abmessungen:	Hauptträger $b_{HT}/h_{HT} = 200/640 \text{ mm}$ Hänger $b_{Hä}/h_{Hä} = 2 \times 80/200 \text{ mm}$
Verbindungsmittel:	Stabdübel/Passbolzen $\Ø 16 \text{ mm}   360 \text{ mm}$
Verstärkung:	Vollgewindeschraube $\Ø 8   500 \text{ mm}$
Material:	Hauptträger (HT) BSH GL 28c Hänger (Hä) BSH GL 24h Stabdübel/Passbolzen Stahl S235
Nutzungsklasse:	NKL 2
KLED	„mittel“

**Baustoffkenngrößen**

charakteristischer Wert der Rohdichte:	HT $\rho_k = 390 \text{ kg/m}^3$	Tab. III.20
	Hä $\rho_k = 385 \text{ kg/m}^3$	Tab. III.15
Modifikationsbeiwert:	$k_{\text{mod}} = 0,80$	Tab. III.5
Teilsicherheitsbeiwert (BSH):	$\gamma_M = 1,25$	Tab. III.3
Teilsicherheitsbeiwert Verbindung	$\gamma_{M,\text{Verb}} = 1,30$	Tab. III.3

**Parameter**

$$\alpha = \frac{a}{h} = \frac{250}{640} = 0,391$$

Bemessungswert der von der Verstärkungsmaßnahme aufzunehmenden Kraft

$$F_{t,90,d} = (1 - 3 \cdot \alpha^2 + 2 \cdot \alpha^3) \cdot F_{90,Ed} = (1 - 3 \cdot 0,391^2 + 2 \cdot 0,391^3) \cdot 45,0 = 29,7 \text{ kN}$$

**gewählte Verstärkungsmaßnahme:** Vollgewindeschraube 4 x Ø8 | 550 mm, von unten eingedreht

**Überprüfung der Randabstände**

<b>Vollgewindeschraube Ø8   300 mm</b>			
		<b>erforderlich</b>	<b>vorhanden</b>
$a_1$	$\geq 7 \cdot d$	56 mm	170 mm
$a_2$	$\geq 5 \cdot d$	40 mm	110 mm
$a_{2,CG}$	$\geq 4 \cdot d$	32 mm	45 mm

**Ermittlung der Tragfähigkeit**

wirksame Länge

$$l_{ad,t} = 250 \text{ mm} \rightarrow \text{maßgebend!}$$

$$l_{ad,c} = l - l_{ad,t} = 550 - 250 = 300 \text{ mm}$$

Ausziehparameter

$$f_{ax,k} = 0,52 \cdot d^{-0,5} \cdot l_{ef,l}^{-0,1} \cdot \rho_k^{0,8} = 0,52 \cdot 8,00^{-0,5} \cdot 250^{-0,1} \cdot 390^{0,8} = 12,5 \text{ N/mm}^2$$

Tragfähigkeit je Verbindungsmitte

$$F_{ax,Rd} = \min \left\{ F_{ax,Rd}, F_{tens,d} \right\} = \min \left\{ \frac{\frac{f_{ax,k} \cdot d \cdot l_{ef,l} \cdot k_d}{1,2 \cdot \cos^2 \alpha + \sin^2 \alpha} \cdot k_{\text{mod}}}{\frac{f_{tens,k}}{\gamma_{M2}}} \cdot \gamma_{M,\text{Verb}} \right\} = \min \left\{ \frac{\frac{12,5 \cdot 8,00 \cdot 250 \cdot 1,00}{1,2 \cdot \cos^2 90,0 + \sin^2 90,0} \cdot 0,80}{\frac{20,000}{1,25}} \cdot 1,30 = 15,385 \text{ N}}{15,4 \text{ kN}} \right\} = 15,4 \text{ kN}$$

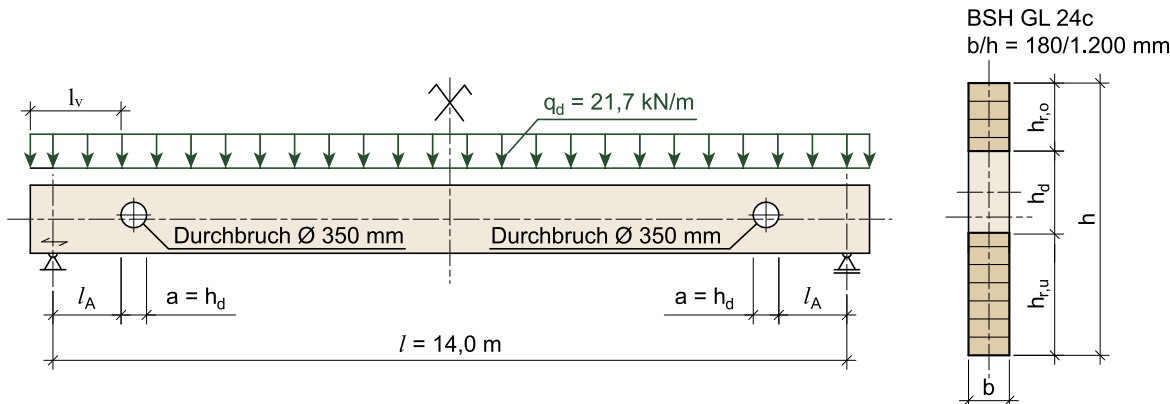
Gesamttragfähigkeit einer Verbindung (=Trägerseite)

$$R_{ax,d} = n \cdot F_{ax,Rd} = 4 \cdot 15,4 = 61,6 \text{ kN}$$

Nachweis der Verstärkungsmaßnahme

$$\frac{F_{t,90,d}}{R_{ax,d}} = \frac{29,7}{61,6} = 0,48 < 1$$

## VI.4 VERSTÄRKUNG EINES RUNDEN DURCHBRUCHS



**gegeben:**

- Einwirkung:  $q_d = 21,7 \text{ kN/m}$   
 Spannweite:  $l = 14,0 \text{ m}$   
 Abmessungen:  $b/h = 180/1.200 \text{ mm}$   
 Durchbruch:  $\varnothing 350 \text{ mm}, h_{r,o} = 300 \text{ mm}, h_{r,u} = 550 \text{ mm}, l_A = 1.200 \text{ mm}, l_v = 1.600 \text{ mm}$   
 Material: BSH GL 24c  
 Nutzungsklasse: NKL 2  
 KLED: „kurz“

Es werden zwei Varianten betrachtet:

- Variante A: Verstärkung mit innenliegenden Schraubstangen  $\varnothing 16 \text{ mm}$   
 Variante B: Verstärkung mit beidseitig aufgeklebten Holzwerkstoffplatten

### Baustoffkenngroßen

charakteristischer Wert der Biegefestigkeit:	$f_{m,g,k} = 24,0 \text{ N/mm}^2$	Tab. III.19
charakteristischer Wert der Schubfestigkeit:	$f_{v,g,k} = 2,50 \text{ N/mm}^2$	Tab. III.19
charakteristischer Wert der Querzugfestigkeit:	$f_{t,90,k} = 0,50 \text{ N/mm}^2$	Tab. III.19
charakteristischer Wert der Rohdichte:	$\rho_k = 365 \text{ kg/m}^3$	Tab. III.19
Modifikationsbeiwert:	$k_{mod} = 0,90$	Tab. III.5
Teilsicherheitsbeiwert (BSH):	$\gamma_M = 1,25$	Tab. III.3

Bemessungswerte

$$f_{m,g,d} = k_{mod} \cdot \frac{f_{m,g,k}}{\gamma_M} = 0,90 \cdot \frac{24,0}{1,25} = 17,3 \text{ N/mm}^2$$

$$f_{v,g,d} = k_{mod} \cdot \frac{f_{v,g,k}}{\gamma_M} = 0,90 \cdot \frac{2,50}{1,25} = 1,80 \text{ N/mm}^2$$

$$f_{t,90,g,d} = k_{mod} \cdot \frac{f_{t,90,g,k}}{\gamma_M} = 0,90 \cdot \frac{0,50}{1,25} = 0,360 \text{ N/mm}^2$$

### Nachweise am Bruttoquerschnitt

Auflagerkraft

$$A_d = \frac{q_d \cdot (l + 2 \cdot (l_v - l_A))}{2} = \frac{21,7 \cdot (14,0 + 2 \cdot (1,60 - 1,20))}{2} = 161 \text{ kN}$$

### Schnittgrößen

$$V_d = A_d - q_d \cdot (l_v - l_A) = 161 - 21,7 \cdot (1,60 - 1,20) = 152 \text{ kN}$$

$$M_d = -\frac{q_d \cdot (l_v - l_A)^2}{2} + \frac{q_d \cdot l^2}{8} = -\frac{21,7 \cdot (1,60 - 1,20)^2}{2} + \frac{21,7 \cdot 14,0^2}{8} = -1,74 + 532 = 530 \text{ kNm}$$

### Querschnittswerte

$$A = b \cdot h = 180 \cdot 1.200 = 2,16 \cdot 10^5 \text{ mm}^2$$

$$W = \frac{b \cdot h^2}{6} = \frac{180 \cdot 1.200^2}{6} = 4,32 \cdot 10^7 \text{ mm}^3$$

### Nachweisführung

Biegespannungen

$$\sigma_{m,d} = \frac{M_d}{W} = \frac{530 \cdot 10^6}{4,32 \cdot 10^7} = 12,3 \text{ N/mm}^2$$

Nachweis

$$\frac{\sigma_{m,d}}{f_{m,g,d}} = \frac{12,3}{17,3} = 0,71 < 1$$

Schubspannungen

$$\tau_d = 1,5 \cdot \frac{V_d}{W} = 1,5 \cdot \frac{152 \cdot 10^3}{2,16 \cdot 10^5} = 1,06 \text{ N/mm}^2$$

Nachweis

$$\frac{\tau_d}{f_{v,g,d}} = \frac{1,06}{1,80} = 0,59 < 1$$

### Überprüfen der geometrischen Grenzwerte für den verstärkten, rechteckigen Durchbruch

$\geq 0,5 \cdot h$	$= 0,5 \cdot 1.200 = 600 \text{ mm}$	$< l_A = 1.200 \text{ mm}$
$\geq h$	$= 1.200 \text{ mm}$	$< l_v = 1.600 \text{ mm}$
$\leq 0,30 \cdot h$	$= 0,30 \cdot 1.200 = 360 \text{ mm}$	$> h_d = 350 \text{ mm}$
$\geq 0,25 \cdot h$	$= 0,25 \cdot 1.200 = 300 \text{ mm}$	$= h_{ro} = 300 \text{ mm}$
$\geq 0,25 \cdot h$	$= 0,25 \cdot 1.200 = 300 \text{ mm}$	$< h_{ru} = 550 \text{ mm}$

### Nachweis der Durchbrüche

Querschnittswerte

$$A_o = b \cdot h_{ro} = 180 \cdot 300 = 5,40 \cdot 10^4 \text{ mm}^2$$

$$A_u = b \cdot h_{ru} = 180 \cdot 550 = 9,90 \cdot 10^4 \text{ mm}^2$$

$$W_o = \frac{b \cdot h_{ro}^2}{6} = \frac{180 \cdot 300^2}{6} = 2,70 \cdot 10^6 \text{ mm}^3$$

$$W_u = \frac{b \cdot h_{ru}^2}{6} = \frac{180 \cdot 550^2}{6} = 9,08 \cdot 10^6 \text{ mm}^3$$

$$\bar{z}_s = \frac{\sum (\bar{z}_i \cdot A_i)}{\sum A_i} = \frac{A_o \cdot \frac{h_{ro}}{2} + A_u \cdot \left( h_{ro} + h_d + \frac{h_{ru}}{2} \right)}{A_o + A_u} = \frac{5,40 \cdot 10^4 \cdot \frac{300}{2} + 9,90 \cdot 10^4 \cdot \left( 300 + 350 + \frac{550}{2} \right)}{5,40 \cdot 10^4 + 9,90 \cdot 10^4} = 651 \text{ mm}$$

$$I_{y,n} = \sum I_{y,i} + \sum A_i \cdot \bar{z}_{s,i}^2 = \frac{b \cdot (h_{ro}^3 + h_{ru}^3)}{12} + A_{ro} \cdot \left( \bar{z}_s - \frac{h_{ro}}{2} \right)^2 + A_{ru} \cdot \left( h - \bar{z}_s - \frac{h_{ru}}{2} \right)^2 = \\ = \frac{180 \cdot (300^3 + 550^3)}{12} + 5,40 \cdot 10^4 \cdot \left( 651 - \frac{300}{2} \right)^2 + 9,90 \cdot 10^4 \cdot \left( 1.200 - 651 - \frac{550}{2} \right)^2 = 2,90 \cdot 10^9 + 2,10 \cdot 10^{10} = 2,39 \cdot 10^{10} \text{ mm}^4$$

$$W_{n,o} = \frac{I_n}{a_o} = \frac{2,39 \cdot 10^{10}}{651} = 3,67 \cdot 10^7 \text{ mm}^3$$

$$W_{n,u} = \frac{I_n}{a_u} = \frac{2,39 \cdot 10^{10}}{1.200 - 651} = 4,35 \cdot 10^7 \text{ mm}^3$$

### Parameter Durchbruch

$$h_r = \min \begin{cases} h_{ro} + 0,15 \cdot h_d \\ h_{ru} + 0,15 \cdot h_d \end{cases} = \min \begin{cases} 300 + 0,15 \cdot 350 = 353 \text{ mm} \\ 550 + 0,15 \cdot 350 = 603 \text{ mm} \end{cases} = 353 \text{ mm}$$

$$l_{t,90} = 0,35 \cdot h_d + 0,5 \cdot h = 0,35 \cdot 350 + 0,5 \cdot 1.200 = 723 \text{ mm}$$

$$k_{t,90} = \min \left\{ \left( \frac{450}{h} \right)^{0,5} \right\} = \min \left\{ \left( \frac{450}{1.200} \right)^{0,5} = 0,612 \right\}$$

$$k_t = 1,85 \cdot \left( 1 + \frac{a}{h} \right) \cdot \left( \frac{h_d}{h} \right)^{0,2} = 1,85 \cdot \left( 1 + \frac{350}{1.200} \right) \cdot \left( \frac{350}{1.200} \right)^{0,2} = 1,87$$

### Nachweisführung an der Stelle l<sub>A</sub>

maßgebende Schnittgrößen

$$V_{A,d} = V_d - q_d \cdot l_A = 152 - 21,7 \cdot 1,20 = 126 \text{ kN}$$

$$M_{A,d} = A_d \cdot l_A - q_d \cdot \frac{l_v^2}{2} = 161 \cdot 1,20 - 21,7 \cdot \frac{1,60^2}{2} = 165 \text{ kNm}$$

Bemessungswert der Querzugkraft

$$F_{t,V,d;A} = \frac{V_{A,d} \cdot 0,7 \cdot h_d}{4 \cdot h} \cdot \left[ 3 - \left( \frac{0,7 \cdot h_d}{h} \right)^2 \right] = \frac{126 \cdot 0,7 \cdot 350}{4 \cdot 1.200} \cdot \left[ 3 - \left( \frac{0,7 \cdot 350}{1.200} \right)^2 \right] = 19,0 \text{ kN}$$

$$F_{t,M,d;A} = 0,008 \cdot \frac{M_{A,d}}{h_r} = 0,008 \cdot \frac{165}{353 \cdot 10^{-3}} = 3,74 \text{ kN}$$

$$F_{t,90,d;A} = F_{t,V,d;A} + F_{t,M,d;A} = 19,0 + 3,74 = 22,7 \text{ kN}$$

$$\sigma_{t,90,d;A} = \frac{F_{t,90,d;A}}{0,5 \cdot l_{t,90} \cdot b_{ef} \cdot k_{t,90}} = \frac{22,7 \cdot 10^3}{0,5 \cdot 723 \cdot 180 \cdot 0,612} = 0,570 \text{ N/mm}^2$$

Nachweis

$$\frac{\sigma_{t,90,d;A}}{f_{t,90,g;d}} = \frac{0,570}{0,360} = 1,58 > 1 \rightarrow \text{Querzugverstärkung erforderlich!}$$

Schubspannungen im kritischen Schnitt

$$\tau_{d;A} = k_t \cdot \frac{1,5 \cdot V_{A,d}}{b_{ef} \cdot (h - h_d)} = 1,87 \cdot \frac{1,5 \cdot 126 \cdot 10^3}{180 \cdot (1.200 - 350)} = 2,31 \text{ N/mm}^2$$

Nachweis

$$\frac{\tau_{d;A}}{f_{v,g,d}} = \frac{2,31}{1,80} = 1,28 > 1 \rightarrow \text{Schubverstärkung erforderlich!}$$

Biegerandspannungen

$$M_{o,d;A} = \frac{A_o}{A_u + A_o} \cdot V_{A,d} \cdot \frac{a}{2} = \frac{5,40 \cdot 10^4}{9,90 \cdot 10^4 + 5,40 \cdot 10^4} \cdot 126 \cdot \frac{350 \cdot 10^{-3}}{2} = 7,78 \text{ kNm}$$

$$M_{u,d;A} = \frac{A_u}{A_u + A_o} \cdot V_{A,d} \cdot \frac{a}{2} = \frac{9,90 \cdot 10^4}{9,90 \cdot 10^4 + 5,40 \cdot 10^4} \cdot 126 \cdot \frac{350 \cdot 10^{-3}}{2} = 14,3 \text{ kNm}$$

$$\sigma_{m,o,d;A} = \frac{M_{A,d}}{W_{n,o}} + \frac{M_{o,d;A}}{W_o} = \frac{165 \cdot 10^6}{3,67 \cdot 10^7} + \frac{7,78 \cdot 10^6}{2,70 \cdot 10^6} = 4,50 + 2,88 = 7,38 \text{ N/mm}^2$$

$$\sigma_{m,u,A} = \frac{M_{A,d}}{W_{n,u}} + \frac{M_{u,d;A}}{W_u} = \frac{165 \cdot 10^6}{4,35 \cdot 10^7} + \frac{14,3 \cdot 10^6}{9,08 \cdot 10^6} = 3,79 + 1,57 = 5,36 \text{ N/mm}^2$$

Nachweis

$$\frac{\sigma_{m,o,d;A}}{f_{m,g,d}} = \frac{7,38}{17,3} = 0,43 < 1$$

### Nachweisführung an der Stelle $l_A + a$

maßgebende Schnittgrößen

$$V_{A+a;d} = V_d - q_d \cdot (l_v + a) = 152 - 21,7 \cdot (1,20 + 0,35) = 118 \text{ kN}$$

$$M_{A+a;d} = A_d \cdot (l_A + a) - q_d \cdot \frac{(l_v + a)^2}{2} = 161 \cdot (1,20 + 0,35) - 21,7 \cdot \frac{(1,60 + 0,35)^2}{2} = 208 \text{ kNm}$$

Bemessungswert der Querzugkraft

$$F_{t,V,d;A+a} = \frac{V_{A+a;d} \cdot 0,7 \cdot h_d}{4 \cdot h} \cdot \left[ 3 - \left( \frac{0,7 \cdot h_d}{h} \right)^2 \right] = \frac{118 \cdot 0,7 \cdot 350}{4 \cdot 1.200} \cdot \left[ 3 - \left( \frac{0,7 \cdot 350}{1.200} \right)^2 \right] = 17,8 \text{ kN}$$

$$F_{t,M,d;A+a} = 0,008 \cdot \frac{M_{A+a;d}}{h_r} = 0,008 \cdot \frac{208}{353 \cdot 10^{-3}} = 4,71 \text{ kN}$$

$$F_{t,90,d;A+a} = F_{t,V,d;A+a} + F_{t,M,d;A+a} = 17,8 + 4,71 = 22,5 \text{ kN}$$

$$\sigma_{t,90,d;A+a} = \frac{F_{t,90,d;A+a}}{0,5 \cdot l_{t,90} \cdot b_{ef} \cdot k_{t,90}} = \frac{22,5 \cdot 10^3}{0,5 \cdot 723 \cdot 180 \cdot 0,612} = 0,565 \text{ N/mm}^2$$

Nachweis

$$\frac{\sigma_{t,90,d;A+a}}{f_{t,90,g,d}} = \frac{0,565}{0,360} = 1,57 > 1 \rightarrow \text{Querzugverstärkung erforderlich!}$$

Schubspannungen im kritischen Schnitt

$$\tau_{A+a;d} = k_t \cdot \frac{1,5 \cdot V_{A+a;d}}{b_{ef} \cdot (h - h_d)} = 1,87 \cdot \frac{1,5 \cdot 118 \cdot 10^3}{180 \cdot (1.200 - 350)} = 2,16 \text{ N/mm}^2$$

$$\frac{\tau_{d;A+a}}{f_{v,g,d}} = \frac{2,16}{1,80} = 1,20 > 1 \rightarrow \text{Schubverstärkung erforderlich!}$$

Biegerandspannungen

$$M_{o,d;A+a} = \frac{A_o}{A_u + A_o} \cdot V_{A+a;d} \cdot \frac{a}{2} = \frac{5,40 \cdot 10^4}{9,90 \cdot 10^4 + 5,40 \cdot 10^4} \cdot 118 \cdot \frac{350 \cdot 10^{-3}}{2} = 7,29 \text{ kNm}$$

$$M_{u,d;A+a} = \frac{A_u}{A_u + A_o} \cdot V_{A+a;d} \cdot \frac{a}{2} = \frac{9,90 \cdot 10^4}{9,90 \cdot 10^4 + 5,40 \cdot 10^4} \cdot 118 \cdot \frac{350 \cdot 10^{-3}}{2} = 13,4 \text{ kNm}$$

$$\sigma_{m,o,d;A+a} = \frac{M_{A+a;d}}{W_{n,o}} + \frac{M_{o,d;A+a}}{W_o} = \frac{208 \cdot 10^6}{3,67 \cdot 10^7} + \frac{7,29 \cdot 10^6}{2,70 \cdot 10^6} = 5,67 + 2,70 = 8,37 \text{ N/mm}^2$$

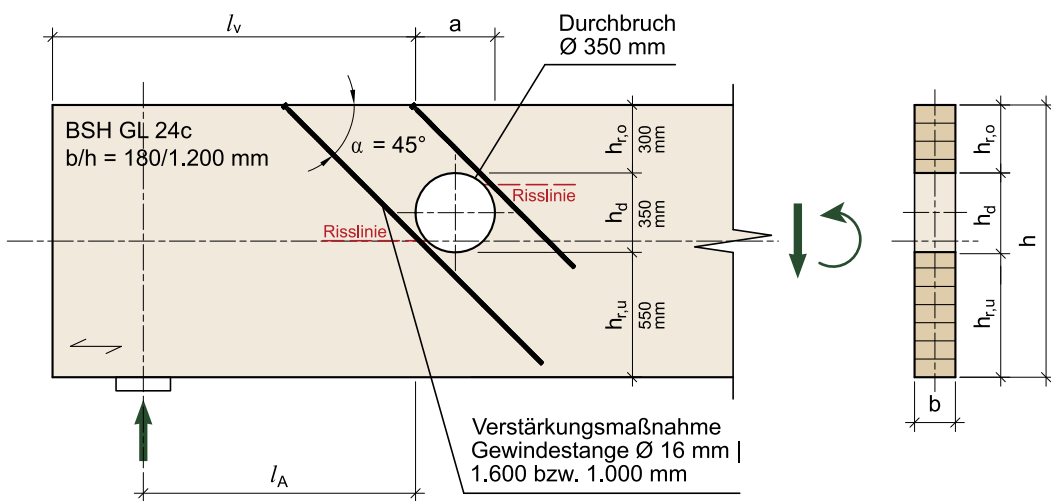
$$\sigma_{m,u,d;A+a} = \frac{M_{A+a;d}}{W_{n,u}} + \frac{M_{u,d;A+a}}{W_u} = \frac{208 \cdot 10^6}{4,35 \cdot 10^7} + \frac{13,4 \cdot 10^6}{9,08 \cdot 10^6} = 4,78 + 1,48 = 6,26 \text{ N/mm}^2$$

Nachweis

$$\frac{\sigma_{m,o,d;A+a}}{f_{m,g,d}} = \frac{8,37}{17,3} = 0,48 < 1$$

### Variante A: Verstärkung mit innenliegenden Schraubstangen

maßgebend ist die Stelle  $l_A$



gewählt:

Schraubstange Ø16 mm ( $f_{ax,k} = 10,0 \text{ N/mm}^2$ ,  $f_{tens,k} = 63,0 \text{ kN}$  aus bautechnischer Zulassung)

Überprüfung der Randabstände Verbindungsmittel

$$\begin{aligned} d &= 10 \text{ mm} & \leq 20 \text{ mm} \\ a_{1,CG} &= 100 \text{ mm} & \geq 10 \cdot d = 10 \cdot 10,0 = 100 \text{ mm} \\ a_{2,CG} &= 90 \text{ mm} & \geq 4 \cdot d = 4 \cdot 10,0 = 40,0 \text{ mm} \end{aligned}$$

### Nachweis der Schraubstange

wirksame Eindrehlänge  $\min l_{ef} = l_{ef} = 456 \text{ mm}$

Abschätzung der durch die Verstärkung aufzunehmenden Schubkraft

Annahme:

Die Schubspannungsspitze am Rand des Durchbruchs wird innerhalb einer Länge von 50 mm auf den Bemessungswert der Schubspannung abgebaut.

$$F_{\tau,d} = \tau_{d,A} \cdot b \cdot l_{\tau} = 2,31 \cdot 180 \cdot \approx 50,0 = 20.790 \text{ N} = 20,8 \text{ kN}$$

$$F_{ges,d} = \sqrt{F_{\tau,d}^2 + F_{t,90,d}^2} = \sqrt{20,8^2 + 22,7^2} = 30,8 \text{ kN}$$

Bemessungswert der Ausziehfestigkeit in Richtung der Schraubstangenachse

$$R_{ax,d} = \min \left\{ \frac{f_{ax,k} \cdot d \cdot l_{ef} \cdot \frac{k_{mod}}{\gamma_{M,Verb}}}{\frac{f_{tens,k}}{\gamma_{M,2}}} \right\} = \min \left\{ \frac{10,0 \cdot 16,0 \cdot 456 \cdot 0,90}{\frac{63,0 \cdot 10^3}{1,25}} \right\} = \min \left\{ 50,511N \atop 50,400N \right\} = 50,4 \text{ kN}$$

## Nachweis

$$\frac{F_{ges,d}}{R_{ax,d}} = \frac{30,8}{50,4} = 0,61 < 1$$

#### **Variante B: Verstärkung mit beidseitig aufgeklebten Holzwerkstoffplatten (BFU-Bu)**

verwendete Holzwerkstoffplatte für die außenliegende Verstärkungsmaßnahme:

Baufurnierplatte aus Buche,  $t = 25,0 \text{ N/mm}^2$

## Baustoffkenngrößen

charakteristischer Wert der Zugtragfähigkeit:

$$f_{t,k} = 9,00 \text{ N/mm}^2$$

charakteristischer Wert der Rollschubtragfähigkeit

$$f_{r,g,k} = 1,20 \text{ N/mm}^2$$

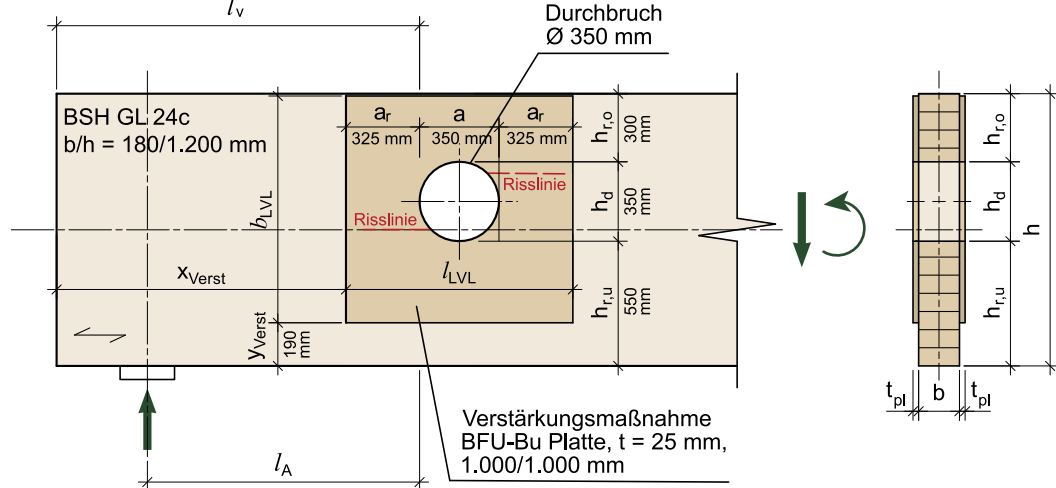
Mittelwert des E-Moduls in Richtung der Decklage:

$$E_{\text{mean,2}} = 4,000 \text{ N/mm}^2$$

#### Modifikationsbeiwert:

$\gamma = 1.20$

### **Tensiothermometer.**



## Überprüfung der geometrischen Randbedingungen

$$\begin{aligned} a_r &= 325 \text{ mm} & \geq 0,25 \cdot a & = 0,25 \cdot 350 & = 87,5 \text{ mm} \\ & & \leq 0,30 \cdot (h_d + h) & = 0,30 \cdot (350 + 1.200) & = 465 \text{ mm} \\ b &= 200 \text{ mm} & & & \leq 240 \text{ mm} \\ h_1 &= 290 \text{ mm} & \geq 0,25 \cdot a & = 0,25 \cdot 350 & = 87,5 \text{ mm} \end{aligned}$$

Nachweis der Klebefuge

$$\begin{aligned} h_{ad} &= h_1 + 0,15 \cdot h_d = 290 + 0,15 \cdot 350 = 343 \text{ mm} \\ f_{k,2,k} &= 0,75 \text{ N/mm}^2 \\ f_{k,d} &= \min \left\{ \frac{f_{k,2,k}}{f_{r,g,k}}, \frac{k_{mod}}{\gamma_M, \text{Verb}} \right\} = \min \left\{ \frac{0,750}{1,20}, \frac{0,90}{1,30} \right\} = 0,519 \text{ N/mm}^2 \\ \tau_{ef,d} &= \frac{F_{t,90,d}}{2 \cdot a_r \cdot h_{ad}} = \frac{22,7 \cdot 10^3}{2 \cdot 325 \cdot 343} = 0,102 \text{ N/mm}^2 \end{aligned}$$

Nachweis

$$\frac{\tau_{ef,d}}{f_{t,d}} = \frac{0,102}{0,519} = 0,20 < 1$$

Nachweis der Zugspannung in der aufgeklebten Verstärkung

$$\begin{aligned} f_{t,d} &= k_{mod} \cdot \frac{f_{t,k}}{\gamma_M} = 0,90 \cdot \frac{9,00}{1,20} = 6,75 \text{ N/mm}^2 \\ \sigma_{t,d} &= \frac{F_{t,90,d;A}}{2 \cdot a_r \cdot t_r} = \frac{22,7 \cdot 10^3}{2 \cdot 325 \cdot 25,0} = 1,40 \text{ N/mm}^2 \end{aligned}$$

Nachweis

$$k_k \cdot \frac{\sigma_{t,d}}{f_{t,d}} = 2,0 \cdot \frac{1,40}{6,75} = 0,41 < 1$$

mit

$k_k$  ... Beiwert zur Berücksichtigung der ungleichmässigen Spannungsverteilung in den Verstärkungsplatten;

lt. ÖNORM B 1995-1-1:2019, Abschnitt F.3.2 [2]; ohne genaueren Nachweis  $k_k = 2,0$ .

### Dimensionierung der Schraubpressverklebung

gemäß ÖNORM B 1995-1-1:2019, Abschnitt L.11.5 Schraubpressverklebung

Steifigkeit BFU-Platte,  $t = 25 \text{ mm}$

→ mit Tabelle NA.L.9 und plattenförmige Schraubpressverklebung

empfohlener nomineller Schraubendurchmesser  $d \geq 6 \text{ mm}$ , minimaler nomineller Kopfdurchmesser  $d_h \geq 10,8 \text{ mm}$ , maximaler Schraubenabstand  $a_{1,max}/a_{2,max} = 140/140 \text{ mm}$ , Gewindelänge im Basisteil  $l_g \geq 8 \cdot d$ , rechnerischer Mindestpressdruck  $p_{cal,min} = 0,10 \text{ N/mm}^2$

→ mit rechnerischer Dimensionierung

$$I_{x,b=1} = I_{y,b=1} = \frac{1,00 \cdot 25,0^3}{12} = 1.302 \text{ mm}^4 / \text{mm}$$

$$a_{1,max} = 3,35 \cdot \sqrt[4]{E_{mean,1} \cdot I_{1,b=1}} = 3,35 \cdot \sqrt[4]{6.000 \cdot 1.302} = 177 \text{ mm}$$

$$a_{2,max} = 3,35 \cdot \sqrt[4]{E_{mean,2} \cdot I_{2,b=1}} = 3,35 \cdot \sqrt[4]{4.000 \cdot 1.302} = 160 \text{ mm}$$

gewählte Schraube:

Teilgewindeschraube  $d = 6,00 \text{ mm}$  |  $l = 100 \text{ mm}$  |  $l_g = 60,0 \text{ mm}$  |  $d_h = 12,0 \text{ mm}$  |  $f_{ax,k} = 11,5 \text{ N/mm}^2$  |  $f_{tens,k} = 10,0 \text{ kN}$  (Kenngrößen aus einer bauaufsichtlichen Zulassung)

Kopfparameter für eine Schraube bei einer Schraubpressverklebung mit BFU-Bu

$$f_{h,SPV,BFU-Bu} = 25,0 \text{ N/mm}^2$$

Bemessungswert einer Schraube für die Schraubpressverklebung

$$R_{ax,d} = \begin{cases} f_{ax,k} \cdot d \cdot l_{ef} \cdot \frac{k_{mod}}{\gamma_M} \\ f_{h,SPV,k,BFU-Bu} \cdot d_h^2 \cdot \frac{k_{mod}}{\gamma_M} = \min \left( \begin{array}{l} 11,5 \cdot 6,00 \cdot 60,0 \cdot \frac{1,00}{1,30} = 3,185 \text{ N} \\ 25,0 \cdot 12,0^2 \cdot \frac{1,00}{1,30} = 2,769 \text{ N} = 2,77 \text{ kN} \\ \frac{10,0 \cdot 10^3}{1,25} = 8,000 \text{ N} \end{array} \right) \\ \frac{F_{tens,k}}{\gamma_{M,2}} \end{cases}$$

(theoretischer) gleichmässig verteilter Pressdruck

$$p_{cal} = \frac{F_{ax,d}}{a_1 \cdot a_2} = \frac{2,769}{177 \cdot 160} = 0,0978 \text{ N/mm}^2 < p_{cal,min} = 0,10 \text{ N/mm}^2$$

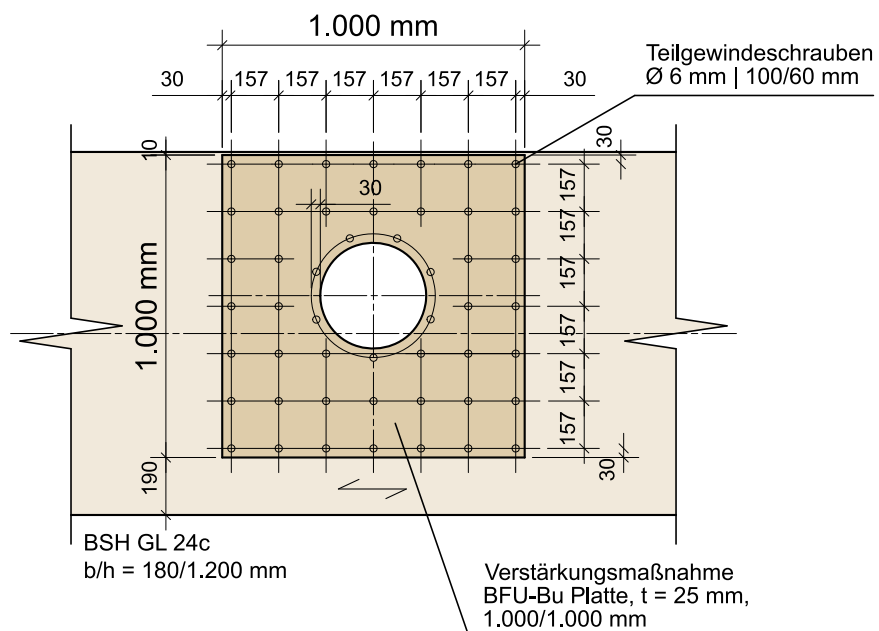
gewählt: Schraubenraster  $a_1 / a_2 = 157/157 \text{ mm}$

$$p_{cal} = \frac{F_{ax,d}}{a_1 \cdot a_2} = \frac{2,769}{157 \cdot 157} = 0,112 \text{ N/mm}^2 > p_{cal,min} = 0,10 \text{ N/mm}^2$$

Anmerkung:

Für die Verklebung ist ein geeigneter, für die Schraubpressverklebung zugelassener Klebstoff zu verwenden. Die Vorgaben des Klebstoffherstellers sind einzuhalten. Insbesondere betrifft dies die Klebstoffauftragsmenge, -zeiten und die Verarbeitungshinweise.

Skizze zur Schraubpressverklebung





**KAPITEL VII**

**TRÄGER MIT ANGESCHNITTENEN UND  
GEKRÜMMTEN RÄNDERN**

---

VII.1 Pultdachträger	VII.4 - VII.6
VII.2 Satteldachträger mit geradem Untergurt	VII.7 - VII.13
VII.3 gekrümmter Träger mit lose aufgesatteltem Firstkeil	VII.14 - VII.22

**Anmerkungen zu Trägern mit angeschnittenen und gekrümmten Rändern**

**Anmerkung zur Wahl der BSH-Festigkeitsklasse bei Trägern mit angeschnittenen und gekrümmten Rändern**

Mit Trägern mit angeschnittenen und gekrümmten Rändern können Spannweiten von 50 m und mehr realisiert werden. Auf Grund des großvolumigen Materialeinsatzes ist es zielführend besonders ressourcenschonend und damit wirtschaftlich zu entwerfen und umzusetzen. Im Allgemeinen ist es bei diesen Trägertypen unwirtschaftlich BSH-Querschnitte mit homogenem Querschnittsaufbau zu verwenden. Das erste Beispiel dieser Beispielsammlung (Pultdachträger) soll in die Thematik einführen und wird aus Übersichts- und Darstellungsgründen dennoch mit einem homogenen Querschnittsaufbau berechnet.

Bei der Ausführung dieser Trägertypen in der Praxis sollte jedenfalls ein kombiniert aufgebauter BSH-Querschnitt ins Auge gefasst werden.

**Anmerkung zum Querschnittsaufbau bei Trägern mit angeschnittenen und gekrümmten Rändern**

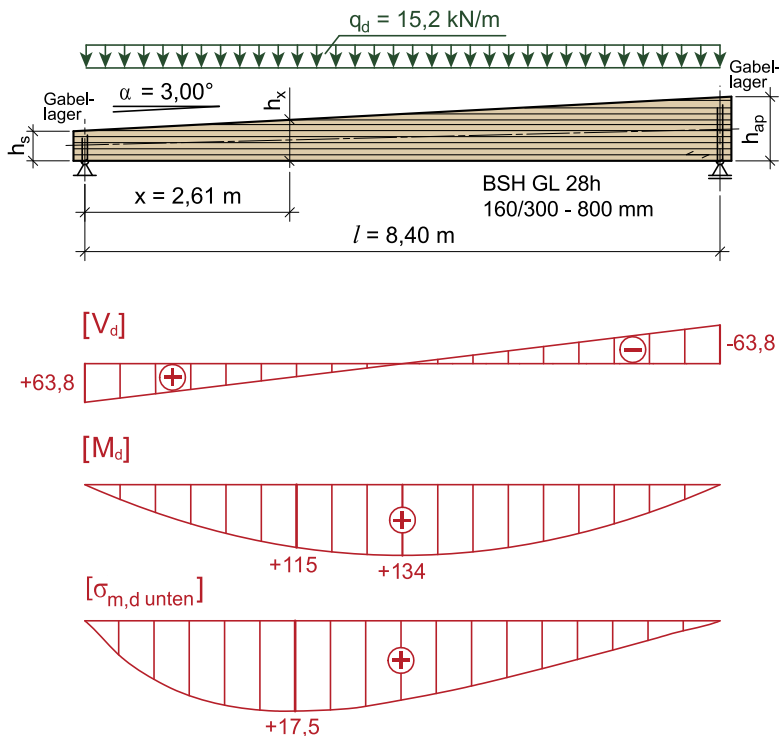
Bei einem kombiniert aufgebauten BSH-Träger ist gemäß ÖNORM EN 14080, Abschnitt 5.1.4.3 und Tab. 2 zu gewährleisten, dass die Randbereiche (z. B. für GL 24c in den äußeren Dritteln) der Querschnittsaufbauten aus Lamellen mit der höheren Festigkeitsklasse (z. B. für GL 24c in den Außenlagen Lamellen der Festigkeitsklasse T14 sowie in den Innenlagen mit Lamellen T9) bestehen. Für BSH-Träger mit angeschnittenen Rändern kann diese Regelung so interpretiert werden, dass dieser Aufbau im Bereich der Stelle mit der maximalen Biegebeanspruchung zu gewährleisten ist. Die in Rechnung gestellten Querschnittsaufbauten sind in einem Lamellenplan festzulegen und bei der Herstellung durch den produzierenden Betrieb entsprechend zu berücksichtigen. In einem solchen Fall darf mit den angegebenen Baustoffeigenschaften für kombiniertes BSH (siehe ÖNORM EN 14080 ,Tab. 4) gerechnet werden. Andernfalls sind detaillierte Nachweise unter Berücksichtigung des Querschnittsaufbaus auf Basis der elastischen Verbundtheorie zu führen (siehe ÖNORM EN 14080, Abschnitt 5.1.5.3).

**Anmerkung zur Durchbiegungsberechnung bei Trägern mit angeschnittenen und gekrümmten Rändern**

Für die Durchbiegungsberechnung von Trägern mit angeschnittenen und/oder gekrümmten Rändern können Näherungslösungen für die unterschiedlichen Trägerformen aus der Fachliteratur bzw. Tabellenwerken entnommen werden. Bei erhöhten Anforderungen an die Genauigkeit der Durchbiegungsermittlung und/oder anderen geometrischen Formen als in der Literatur angegeben, bietet sich eine Berechnung als orthotrope Scheibe mittels numerischen Methoden (FEM) an.

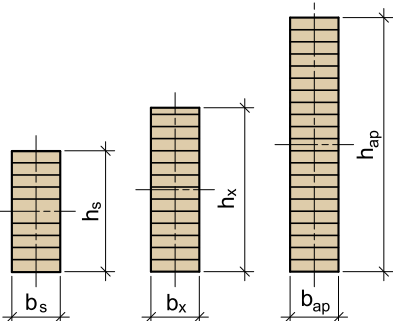
## VII.1 PULTDACHTRÄGER

## Ansicht



## Querschnitte

- am Auflager A - im Schnitt x - am Auflager B



**gegeben:**

Einwirkung:  $q_d = 15,2 \text{ kN/m}$

Spannweite:  $l_a = 8,40 \text{ m}$

Abmessungen:  $b / h_s - h_{ap} = 160 / 360 - 800 \text{ mm}$ , Dachneigung  $\alpha = 3,00^\circ$ ; Abstand der Kipphalterungen (Gabellager)  $a = 8,40 \text{ m}$

Material: BSH GI 28h

Nutzungsklasse: NKI 1

KLED: kurz"

Sonstiges: keine Anforderung an die Gebrauchstauglichkeit (Durchbiegung)

## Bemessungswerte der Baustoffeigenschaften

charakteristischer Wert der Biegefestigkeit:  $f_{\text{B},k} = 280 \text{ N/mm}^2$

Tab III 16

charakteristischer Wert der Querdruckfestigkeit:  $f_{\perp \text{m},k} = 250 \text{ N/mm}^2$

Tab. III 16

charakteristischer Wert der Querdruckfestigkeit:  $f_{c,90,g,k} = 2,88 \text{ N/mm}^2$   
 charakteristischer Wert der Schubfestigkeit:  $f_g = 2,50 \text{ N/mm}^2$

Tab. III.16

$$E\text{-Modul (5\%-Quantilwert)}: E_{v,g,k} = 10\,400 \text{ N/mm}^2$$

Tab. III.16

Modifikationsbeiwert:  $k = 0.90$

Tab. III. 15

Teilsicherheitsbeiwert:  $\gamma_{\text{mod}} = 1,25$

Tab. III.3

Bemessungswerte

$$f_{m,g,d} = k_{mod} \cdot \frac{f_{m,g,k}}{\gamma_M} = 0,90 \cdot \frac{28,0}{1,25} = 20,2 \text{ N/mm}^2$$

$$f_{c,90,g,d} = k_{mod} \cdot \frac{f_{c,90,g,k}}{\gamma_M} = 0,90 \cdot \frac{2,50}{1,25} = 1,80 \text{ N/mm}^2$$

$$f_{v,g,d} = k_{mod} \cdot \frac{f_{v,g,k}}{\gamma_M} = 0,90 \cdot \frac{2,50}{1,25} = 1,80 \text{ N/mm}^2$$

maximale Querkraft

$$V_d = A_d = B_d = \frac{q_d \cdot l}{2} = \frac{15,2 \cdot 8,40}{2} = 63,8 \text{ kN}$$

Stelle der maximalen Biegebeanspruchung

$$x = \frac{h_s}{h_s + h_{ap}} \cdot l = \frac{360}{360 + 800} \cdot 8,40 = 2,61 \text{ m}$$

$$h_x = h_s + (h_{ap} - h_s) \cdot \frac{x}{l} = 360 + (800 - 360) \cdot \frac{2,61}{8,40} = 497 \text{ mm}$$

$$M_d = V_d \cdot x - q_d \cdot \frac{x^2}{2} = \frac{q_d}{2} \cdot (l \cdot x - x^2) = \frac{15,2}{2} \cdot (8,40 \cdot 2,61 - 2,61^2) = 115 \text{ kNm}$$

### Nachweisführung

Biegespannung in der Zugzone

$$W_x = \frac{b \cdot h_x^2}{6} = \frac{160 \cdot 497^2}{6} = 6,59 \cdot 10^6 \text{ mm}^3$$

$$\sigma_{m,0,d} = \frac{M_d}{W_x} = \frac{115 \cdot 10^6}{6,59 \cdot 10^6} = 17,5 \text{ N/mm}^2$$

Nachweis Biegerandspannung in der Zugzone (Rand nicht angeschnitten)

$$\frac{\sigma_{m,0,d}}{f_{m,g,d}} = \frac{17,5}{20,2} = 0,87 < 1$$

Nachweis der Biegespannung in der Druckzone (Rand angeschnitten)

$$\sigma_{m,a,d} = \sigma_{m,0,d} = 17,5 \text{ N/mm}^2$$

Anmerkung:

Faseranschnittwinkel  $\alpha \leq 5^\circ$  dürfen gemäß ÖNORM B 1995-1-1, Abschnitt 6.4.2 [2] bei der Ermittlung der Biegerandspannung unberücksichtigt bleiben.

Beiwert zur Berücksichtigung des angeschnittenen Randes auf der Druckseite

$$k_{m,\alpha} = \frac{1}{\sqrt{1 + \left( \frac{f_{m,g,d}}{1,5 \cdot f_{v,g,d}} \cdot \tan \alpha \right)^2 + \left( \frac{f_{m,g,d}}{f_{c,90,g,d}} \cdot \tan^2 \alpha \right)^2}} = \frac{1}{\sqrt{1 + \left( \frac{20,2}{1,5 \cdot 1,80} \cdot \tan 3,00 \right)^2 + \left( \frac{20,2}{1,80} \cdot \tan^2 3,00 \right)^2}} = 0,931$$

Nachweis Biegerandspannung in der Druckzone

$$\frac{\sigma_{m,a,d}}{k_{m,\alpha} \cdot f_{m,g,d}} = \frac{17,5}{0,931 \cdot 20,2} = 0,93 < 1$$

### Schubspannungsnachweis über dem Auflager

$$A_s = b \cdot h_s = 160 \cdot 360 = 5,76 \cdot 10^4 \text{ mm}^2$$

$$\tau_d = 1,5 \cdot \frac{V_d}{A_s} = 1,5 \cdot \frac{63,8 \cdot 10^3}{5,76 \cdot 10^4} = 1,66 \text{ N/mm}^2$$

$$\frac{\tau_d}{f_{v,g,d}} = \frac{1,66}{1,80} = 0,92 < 1,0$$

### Nachweis der Auflagerpressung (Querdrucknachweis)

Annahmen: Vorholzlänge  $l_{VH} = a = 200 \text{ mm}$ ; Kontaktlänge:  $l = 100 \text{ mm}$   
wirksame Auflagerfläche

$$A_{ef} = b \cdot l_{ef} = b \cdot (l + 2 \cdot 30 \text{ mm}) = 160 \cdot (100 + 2 \cdot 30) = 2,56 \cdot 10^4 \text{ mm}^2$$

Querdruckspannung

$$\sigma_{c,90,d} = \frac{A_d}{A_{ef}} = \frac{63,8 \cdot 10^3}{2,56 \cdot 10^4} = 2,49 \text{ N/mm}^2$$

Nachweis

$k_{c,90}$ -Beiwert für BSH aus Nadelholz bei einer Einzelabstützung mit  $l \leq 400 \text{ mm}$ ; siehe [1], Bild 6.2):  
 $\rightarrow k_{c,90} = 1,75$

$$\frac{\sigma_{c,90,d}}{k_{c,90} \cdot f_{c,90,g,d}} = \frac{2,49}{1,75 \cdot 1,80} = 0,79 < 1$$

Anmerkung:

Durch geeignete konstruktive Maßnahmen (z. B. der Anordnung eines Elastomerlagers) sollte eine ausreichende Auflagerverdrehbarkeit sichergestellt werden.

### Kippnachweis

Berechnung  $k_{crit}$

Anmerkung:

Die Stelle an der die höchste Kippgefahr vorliegt, tritt in einer Entfernung von  $\approx 0,65 a$  vom Auflager mit der geringeren Höhe des Pultdachträgers auf.

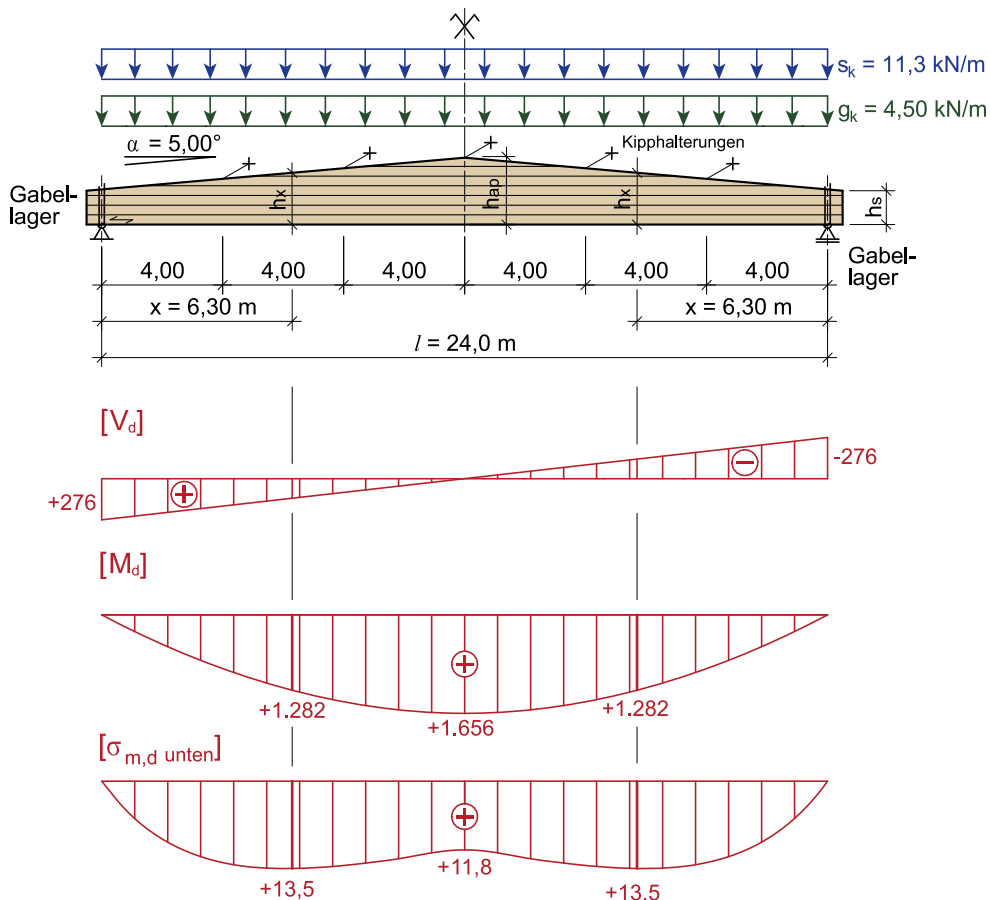
$$x_{Kipp} = 0,65 \cdot a = 0,65 \cdot 8,40 = 5,46 \text{ m}$$

$$h_{Kipp} = h_s + (h_{ap} - h_s) \cdot \frac{x_{Kipp}}{l} = 360 + (800 - 360) \cdot \frac{5,46}{8,40} = 646 \text{ mm}$$

$$\sigma_{m,crit} = \frac{0,78 \cdot b^2}{l_{ef} \cdot h_{Kipp}} \cdot E_{0,9,05} = \frac{0,78 \cdot 160^2}{0,9 \cdot 8,400 \cdot 646} \cdot 10,400 = 42,5 \text{ N/mm}^2$$

$$\lambda_{rel,m} = \sqrt{\frac{f_{m,g,k}}{\sigma_{m,crit}}} = \sqrt{\frac{28,0}{42,5}} = 0,812 > \lambda_{rel,grenz} = 0,75 \rightarrow k_{crit} = 1,00, \text{ d. h. es besteht keine Kippgefahr!}$$

## VII.2 SATTELDACTRÄGER MIT GERADEM UNTERGURT



**gegeben:**

Einwirkung:	charakt. Wert der ständigen Einwirkung (inkl. Binder)	$g_k = 4,50 \text{ kN/m}$
	charakt. Wert der veränderlichen Einwirkung	
	(Schnee $\leq 1.000 \text{ m ü. NN}$ ; $\psi_2 = 0$ )	$s_k = 11,3 \text{ kN/m}$
Spannweiten:	$l = 24,0 \text{ m}$	
Dachneigung:	$\alpha = 5^\circ$	
Abmessungen:	$b/h_s - h_{ap} = 200/1.160 - 2.210 \text{ mm}$ , Abstand der Kipphalterungen $a = 4,00 \text{ m}$	
Material:	BSH GL 24c	
Nutzungsklasse:	NKL 2	
KLED:	„kurz“	

**Bemessungswert der Einwirkung**

$$q_d = \gamma_G \cdot g_k + \gamma_Q \cdot s_k = 1,35 \cdot 4,50 + 1,50 \cdot 11,3 = 23,0 \text{ kN/m}$$

**Schnittgrößen**

Auflagerkraft (= maximale Querkraft)

$$A_d = \max V_d = \frac{q_d \cdot l}{2} = \frac{23,0 \cdot 24,0}{2} = 276 \text{ kN}$$

Moment an der Stelle der maximalen Biegespannung

$$x = \frac{l \cdot h_s}{2 \cdot h_{ap}} = \frac{24,0 \cdot 1,16}{2 \cdot 2,21} = 6,30 \text{ m}$$

$$M_{x,d} = \frac{q_d \cdot l^2}{2} = 276 \cdot 6,30 - \frac{23,0 \cdot 6,30^2}{2} = 1.282 \text{ kNm}$$

Moment im Firstbereich

$$M_{ap,d} = \frac{q_d \cdot l^2}{8} = \frac{23,0 \cdot 24,0^2}{8} = 1.656 \text{ kNm}$$

### Baustoffkenngrößen

charakteristischer Wert der Biegefestigkeit:	$f_{m,g,k} = 24,0 \text{ N/mm}^2$	Tab. III.19
charakteristischer Wert der Querzugfestigkeit:	$f_{t,90,g,k} = 0,50 \text{ N/mm}^2$	Tab. III.19
charakteristischer Wert der Querdruckfestigkeit:	$f_{c,90,g,k} = 2,50 \text{ N/mm}^2$	Tab. III.19
charakteristischer Wert der Schubfestigkeit:	$f_{v,g,k} = 2,50 \text{ N/mm}^2$	Tab. III.19
E-Modul (Mittelwert):	$E_{0,g,mean} = 11.000 \text{ N/mm}^2$	Tab. III.19
E-Modul (5%-Quantilwert):	$E_{0,g,05} = 9.100 \text{ N/mm}^2$	Tab. III.19
Schubmodul (Mittelwert):	$G_{0,g,mean} = 650 \text{ N/mm}^2$	Tab. III.19
Modifikationsbeiwert:	$k_{mod} = 0,90$	Tab. III.5
Teilsicherheitsbeiwert:	$\gamma_M = 1,25$	Tab. III.3

### Bemessungswerte

$$\begin{aligned} f_{m,g,d} &= k_{mod} \cdot \frac{f_{m,g,k}}{\gamma_M} = 0,90 \cdot \frac{24,0}{1,25} = 17,3 \text{ N/mm}^2 \\ f_{t,90,g,d} &= k_{mod} \cdot \frac{f_{t,90,g,k}}{\gamma_M} = 0,90 \cdot \frac{0,500}{1,25} = 0,360 \text{ N/mm}^2 \\ f_{c,90,g,d} &= k_{mod} \cdot \frac{f_{c,90,g,k}}{\gamma_M} = 0,90 \cdot \frac{2,50}{1,25} = 1,80 \text{ N/mm}^2 \\ f_{v,g,d} &= k_{mod} \cdot \frac{f_{v,g,k}}{\gamma_M} = 0,90 \cdot \frac{2,50}{1,25} = 1,80 \text{ N/mm}^2 \end{aligned}$$

### Querschnittswerte

Querschnittsfläche im Auflagerbereich

$$A_s = b \cdot h_s = 200 \cdot 1.160 = 2,32 \cdot 10^5 \text{ mm}^2$$

Querschnittshöhe an der Stelle x

$$h_x = h_s \cdot \left( 2 - \frac{h_s}{h_{ap}} \right) = 1.160 \cdot \left( 2 - \frac{1.160}{2.210} \right) = 1.711 \text{ mm}$$

Widerstandsmoment an der Stelle x

$$W_x = \frac{b \cdot h_x^2}{6} = \frac{200 \cdot 1.711^2}{6} = 9,76 \cdot 10^7 \text{ mm}^3$$

Widerstandsmoment im Firstbereich

$$W_{ap} = \frac{b \cdot h_{ap}^2}{6} = \frac{200 \cdot 2.210^2}{6} = 1,63 \cdot 10^8 \text{ mm}^3$$

**NACHWEISE IM GRENZZUSTAND DER TRAGFÄHIGKEIT**

**Nachweis der Schubspannung über dem Auflager**

Schubspannung

$$\tau_d = 1,5 \cdot \frac{V_d}{A_s} = 1,5 \cdot \frac{276 \cdot 10^3}{2,32 \cdot 10^5} = 1,78 \text{ N/mm}^2$$

Nachweis

$$\frac{\tau_d}{f_{v,g,d}} = \frac{1,78}{1,80} = 0,99 < 1$$

**Nachweis der Auflagerpressung (Querdrucknachweis)**

Annahmen: Vorholzlänge  $a = 500 \text{ mm}$ ; Kontaktlänge:  $l = 380 \text{ mm}$

wirksame Auflagerfläche

$$A_{ef} = b \cdot (l + 2 \cdot 30 \text{ mm}) = 200 \cdot (380 + 2 \cdot 30,0) = 8,80 \cdot 10^4 \text{ mm}^2$$

Querdruckspannung

$$\sigma_{c,90,d} = \frac{A_d}{A_{ef}} = \frac{276 \cdot 10^3}{8,80 \cdot 10^4} = 3,14 \text{ N/mm}^2$$

Nachweis

$k_{c,90}$ -Beiwert für BSH aus Nadelholz bei einer Einzelabstützung mit  $l \leq 400 \text{ mm}$ ; siehe [1], Bild 6.2):

$$\rightarrow k_{c,90} = 1,75$$

$$\frac{\sigma_{c,90,d}}{k_{c,90} \cdot f_{c,90,g,d}} = \frac{3,14}{1,75 \cdot 1,80} = 1,00 = 1$$

Anmerkung:

Durch geeignete konstruktive Maßnahmen (z. B. der Anordnung eines Elastomerlagers) ist eine ausreichende Auflagerverdrehbarkeit sicherzustellen.

**Nachweis der Biegespannungen an der Stelle x**

- in der Zugzone (Rand nicht angeschnitten)

$$\sigma_{m,0,d;x} = \frac{M_{x,d}}{W_x} \cdot (1 + 4 \cdot \tan^2 \alpha) = \frac{1,282 \cdot 10^6}{9,76 \cdot 10^7} \cdot (1 + 4 \cdot \tan^2(5,00)) = 13,1 \cdot 1,03 = 13,5 \text{ N/mm}^2$$

mit Tabellenwerk:  $\rightarrow$  für  $\alpha = 5,00^\circ$ :  $1 + 4 \cdot \tan^2 \alpha = 1,301$

Tab. IV.54

Nachweis

$$\frac{\sigma_{m,0,d;x}}{f_{m,g,d}} = \frac{13,5}{17,3} = 0,78 < 1$$

- in der Druckzone (Rand angeschnitten)

$$\sigma_{m,\alpha,d;x} = \frac{M_{x,d}}{W_x} \cdot (1 - 4 \cdot \tan^2 \alpha) = \frac{1,282 \cdot 10^6}{9,76 \cdot 10^7} \cdot (1 - 4 \cdot \tan^2(5,00)) = 13,1 \cdot 0,969 = 12,7 \text{ N/mm}^2$$

Beiwert  $k_{m,\alpha}$

$$k_{m,\alpha} = \frac{1}{\sqrt{1 + \left( \frac{f_{m,g,d}}{1,5 \cdot f_{v,g,d}} \cdot \tan \alpha \right)^2 + \left( \frac{f_{m,g,d}}{f_{c,90,g,d}} \cdot \tan^2 \alpha \right)^2}} = \frac{1}{\sqrt{1 + \left( \frac{17,3}{1,5 \cdot 1,80} \cdot \tan(5,00) \right)^2 + \left( \frac{17,3}{1,80} \cdot \tan^2(5,00) \right)^2}} = 0,871$$

mit Tabellenwerk:  $\rightarrow$  für  $\alpha = 5,00^\circ$ :  $1 - 4 \cdot \tan^2 \alpha = 0,969$  und  $k_{m,\alpha,t} = 0,871$

Tab. IV.54

Nachweis

$$\frac{\sigma_{m,\alpha,d,x}}{k_{m,\alpha} \cdot f_{m,g,d}} = \frac{12,7}{0,871 \cdot 17,3} = 0,84 < 1$$

**Nachweis der Biegespannung im Firstbereich**

Beiwert  $k_l$

$$k_l = k_1 + k_2 \cdot \left( \frac{h_{ap}}{r} \right) + k_3 \cdot \left( \frac{h_{ap}}{r} \right)^2 + k_4 \cdot \left( \frac{h_{ap}}{r} \right)^3$$

keine Krümmung des Trägers:  $r = \infty \rightarrow \left( \frac{h_{ap}}{r} \right) = 0$

$$k_l = k_1 = 1 + 1,4 \cdot \tan \alpha_{ap} + 5,4 \cdot \tan^2 \alpha_{ap} = 1 + 1,4 \cdot \tan(5,00) + 5,4 \cdot \tan^2(5,00) = 1,16$$

mit Tabellenwerk: → für  $\alpha = 5,00^\circ$ :  $k_l = 1,166$  (interpoliert)

Tab.IV.55

Beiwert  $k_r$

für einen Satteldachträger mit geradem Untergurt gilt:  $k_r = 1,00$

Biegespannung im Firstbereich

$$\sigma_{m,d,ap} = k_l \cdot \frac{M_{ap,d}}{W_{ap}} = 1,16 \cdot \frac{1,656 \cdot 10^6}{1,63 \cdot 10^8} = 11,8 \text{ N/mm}^2$$

Nachweis

$$\frac{\sigma_{m,d,ap}}{k_r \cdot f_{m,g,d}} = \frac{11,8}{1,00 \cdot 17,3} = 0,68 < 1$$

**Nachweis der Querzugsspannung im First**

Beiwert  $k_p$

$$k_p = k_5 + k_6 \cdot \left( \frac{h_{ap}}{r} \right) + k_7 \cdot \left( \frac{h_{ap}}{r} \right)^2$$

keine Krümmung des Trägers:  $r = \infty \rightarrow \left( \frac{h_{ap}}{r} \right) = 0$

$$k_p = k_5 = 0,2 \cdot \tan \alpha_{ap} = 0,2 \cdot \tan(5,00) = 0,0175$$

mit Tabellenwerk: → für  $\alpha = 5,00^\circ$ :  $k_p = 0,0175$  (interpoliert)

Tab. IV.56

Zugspannung rechtwinklig zur Faserrichtung

$$\sigma_{t,90,d,ap} = k_p \cdot \frac{M_{ap,d}}{W_{ap}} = 0,0175 \cdot \frac{1,656 \cdot 10^6}{1,63 \cdot 10^8} = 0,178 \text{ N/mm}^2$$

Beiwert  $k_{dis}$

für Satteldachträger mit geradem Untergurt gilt:  $k_{dis} = 1,4$

querzugbeanspruchtes Volumen  $V$ :

$$V = b \cdot h_{ap}^2 \cdot \left( 1 - \frac{\tan(\alpha_{ap})}{4} \right) = 0,200 \cdot 2,21^2 \cdot \left( 1 - \frac{\tan(5,00)}{4} \right) = 0,956 \text{ m}^3$$

Beiwert  $k_{vol}$

$$k_{vol} = \left( \frac{V_o}{V} \right)^{0,2} = \left( \frac{0,01}{0,956} \right)^{0,2} = 0,402$$

Gesamtvolume des Satteldachbinders

$$V_{\text{ges}} = l \cdot b \cdot \left( h_s + \frac{h_{\text{ap}} - h_s}{2} \right) = 24,0 \cdot 0,200 \cdot \left( 1,12 + \frac{2,21 - 1,12}{2} \right) = 7,99 \text{ m}^3$$

$$V \leq \frac{2}{3} \cdot V_{\text{ges}} : 0,956 \text{ m}^3 < \frac{2}{3} \cdot 7,99 = 5,33 \text{ m}^3 \rightarrow \text{Bedingung eingehalten!}$$

Nachweis

$$\frac{\sigma_{t,90,d}}{k_{\text{dis}} \cdot k_{\text{Vol}} \cdot f_{t,90,g,d}} = \frac{0,178}{1,4 \cdot 0,402 \cdot 0,360} = 0,88 < 1$$

### Stabilitätsnachweis – Biegedrillknicken („Kippen“)

Anmerkung:

Die näherungsweise Abschätzung des Stabilitätsverhaltens („Kippen“) erfolgt durch feldweise Betrachtung der Stabbereiche zwischen den Kipphalterungen.

- für das Feld 2 (Feld mit der größten Biegespannung)

Querschnittsabmessungen

$$x_{F2} = a + 0,65 \cdot a = 4,00 + 0,65 \cdot 4,00 = 6,60 \text{ m}$$

$$h_{F2} = 1,160 + 6,600 \cdot \left( \frac{2,210 - 1,160}{12,000} \right) = 1,738 \text{ mm}$$

wirksame Länge

$$\frac{l_{\text{ef}}}{l_a} = 0,9 \quad \text{mit} \quad l_a = 4,00 \text{ m} \rightarrow l_{\text{ef}} = 0,9 \cdot 4,00 = 3,60 \text{ m} \quad (\text{konservative Näherung})$$

kritische Kippspannung

$$\sigma_{m,crit;F2} = \frac{0,78 \cdot b^2}{l_{\text{ef}} \cdot h} \cdot E_{0,9,05} = \frac{0,78 \cdot 200^2}{3,600 \cdot 1,738} \cdot 9,100 = 45,4 \text{ N/mm}^2$$

bezogener Kippschlankheitsgrad

$$\lambda_{\text{rel},m} = \sqrt{\frac{f_{m,g,k}}{\sigma_{m,crit}}} = \sqrt{\frac{24,0}{45,4}} = 0,727 < \lambda_{\text{rel},\text{grenz}} = 0,75 \rightarrow k_{\text{crit}} = 1,00 \rightarrow \text{keine Kippgefahr!}$$

mit Tabellenwerk

$$\frac{l_{\text{ef}} \cdot h}{b^2} = \frac{3,600 \cdot 1,738}{200^2} = 156 < \left( \frac{l \cdot h}{b^2} \right)_{\text{grenz}} = 193 \rightarrow k_{\text{crit}} = 1,00 \rightarrow \text{keine Kippgefahr!}$$

Tab. IV.52

- für das Feld 3 (Feld mit der größten Querschnittshöhe)

Querschnittsabmessungen

$$x_{F3} = 2 \cdot a + 0,65 \cdot a = 2 \cdot 4,00 + 0,65 \cdot 4,00 = 10,6 \text{ m}$$

$$h_{F3} = 1,160 + 10,600 \cdot \left( \frac{2,210 - 1,160}{12,000} \right) = 2,088 \text{ m}$$

$$\frac{l_{\text{ef}}}{l_a} = 0,9 \quad \text{mit} \quad l_a = 4,00 \text{ m} \rightarrow l_{\text{ef}} = 0,9 \cdot 4,00 = 3,60 \text{ m} \quad (\text{konservative Näherung})$$

kritische Kippspannung

$$\sigma_{m,crit;F3} = \frac{0,78 \cdot b^2}{l_{\text{ef}} \cdot h} \cdot E_{0,9,05} = \frac{0,78 \cdot 200^2}{3,600 \cdot 2,088} \cdot 9,100 = 37,8 \text{ N/mm}^2$$

bezogener Kippschlankheitsgrad

$$\lambda_{\text{rel,m}} = \sqrt{\frac{f_{m,g,k}}{\sigma_{m,crit}}} = \sqrt{\frac{24,0}{37,8}} = 0,797$$

Kippbeiwert

$$0,75 \leq \lambda_{\text{rel,m}} \leq 1,4 : k_{\text{crit}} = 1,56 - 0,75 \cdot \lambda_{\text{rel,m}} = 1,56 - 0,75 \cdot 0,797 = 0,962$$

mit Tabellenwerk

$$\frac{l_{\text{ef}} \cdot h}{b^2} = \frac{3.600 \cdot 2.088}{200^2} = 188 < \left( \frac{l \cdot h}{b^2} \right)_{\text{grenz}} = 193 \rightarrow k_{\text{crit}} = 1,00$$

Tab. IV.52

Berechnung der Biegespannung an der Stelle  $x_{F3} = 10,6$  m

$$\begin{aligned} M_{F3,d} &= A_d \cdot x_{F3} - \frac{q_d \cdot x_{F3}^2}{2} = 276 \cdot 10,6 - \frac{23,0 \cdot 10,6^2}{2} = 1.633 \text{ kNm} \\ W_{F3} &= \frac{b \cdot h_{F3}^2}{6} = \frac{200 \cdot 2.088^2}{6} = 1,45 \cdot 10^8 \text{ mm}^3 \\ \sigma_{m,d,F3} &= \frac{M_{F3,d}}{W_{F3}} = \frac{1.633 \cdot 10^6}{1,45 \cdot 10^8} = 11,3 \text{ N/mm}^2 \end{aligned}$$

Nachweis

$$\frac{\sigma_{m,d,F3}}{k_{\text{crit}} \cdot f_{m,g,d}} = \frac{11,3}{0,962 \cdot 17,3} = 0,68 < 1$$

## NACHWEISE IM GRENZZUSTAND DER GEBRAUCHSTAUGLICHKEIT

### Durchbiegung

Anmerkung:

Die nachfolgend durchgeführte Berechnung beruht auf den im Lehrbuch von Dröge/Stoy [14] für einen symmetrischen Satteldachträger mit gerade Unterkante angegebenen Gleichungen. Die Berechnung ist als Abschätzung zu betrachten.

### Querschnittswerte

Trägheitsmoment

$$I_s = \frac{b \cdot h_s^3}{12} = \frac{200 \cdot 1.160^3}{12} = 2,60 \cdot 10^{10} \text{ mm}^4$$

Schubfläche

$$A_{v,s} = \frac{b \cdot h_s}{\kappa} = \frac{200 \cdot 1.160}{1,20} = 1,93 \cdot 10^5 \text{ mm}^2$$

Parameter zur Berücksichtigung der Trägerform

$$k_M = \left( \frac{h_s}{h_{ap}} \right)^3 \cdot \frac{1}{0,15 + 0,85 \cdot \left( \frac{h_s}{h_{ap}} \right)} = \left( \frac{1,16}{2,21} \right)^3 \cdot \frac{1}{0,15 + 0,85 \cdot \left( \frac{1,16}{2,21} \right)} = 0,243$$

$$k_v = \frac{2}{1 + \left( \frac{h_{ap}}{h_0} \right)^{2/3}} = \frac{2}{1 + \left( \frac{2,21}{1,16} \right)^{2/3}} = 0,788$$

**Anfangsdurchbiegung (Durchbiegung zum Zeitpunkt t = 0)**

Bemessungswert der Einwirkung

$$q_{\text{inst}} = g_k + s_k = 4,50 + 11,3 = 15,8 \text{ kN/m}$$

Durchbiegung

$$\begin{aligned} w_{\text{inst}} &= \frac{5}{384} \cdot \frac{q_{\text{inst}} \cdot l^2}{E_{0,g,\text{mean}} \cdot I_S} \cdot k_M + \frac{1}{8} \cdot \frac{q_{\text{inst}} \cdot l^2}{G_{0,g,\text{mean}} \cdot A_{V,s}} \cdot k_V = \\ &= \frac{5}{384} \cdot \frac{15,8 \cdot 24.000^4}{11.000 \cdot 2,60 \cdot 10^{10}} \cdot 0,243 + \frac{1}{8} \cdot \frac{15,8 \cdot 24.000^2}{650 \cdot 1,93 \cdot 10^5} \cdot 0,788 = 58,0 + 7,15 = 65,2 \text{ mm} \approx 65 \text{ mm} \end{aligned}$$

Grenzwert

$$w_{\text{inst,grenz}} = \frac{l}{300} = \frac{24.000}{300} = 80,0 \text{ mm}$$

Nachweis

$$\frac{w_{\text{inst}}}{w_{\text{inst,grenz}}} = \frac{65,2}{80,0} = 0,82 < 1$$

**Enddurchbiegung (Durchbiegung zum Zeitpunkt t = ∞)**

Bemessungswert der Einwirkung

$$q_{\text{perm}} = g_k + \psi_2 \cdot s_k = 4,50 + 0 \cdot 11,3 = 4,50 \text{ kN/m}$$

Endwert des E-Moduls

$$E_{0,g,\text{mean,fin}} = \frac{E_{0,g,\text{mean}}}{1 + \psi_2 \cdot k_{\text{def}}} = \frac{11.000}{1 + 1,00 \cdot 0,80} = 6.111 \text{ N/mm}^2$$

Endwert des Schubmoduls

$$G_{0,g,\text{mean,fin}} = \frac{G_{0,g,\text{mean}}}{1 + \psi_2 \cdot k_{\text{def}}} = \frac{650}{1 + 1,00 \cdot 0,80} = 361 \text{ N/mm}^2$$

Durchbiegung

$$\begin{aligned} w_{\text{net,fin}} &= \frac{5}{384} \cdot \frac{q_{\text{perm}} \cdot l^2}{E_{0,g,\text{mean,fin}} \cdot I_S} \cdot k_M + \frac{1}{8} \cdot \frac{q_{\text{perm}} \cdot l^2}{G_{0,g,\text{mean,fin}} \cdot A_{V,s}} \cdot k_V - w_c = \\ &= \frac{5}{384} \cdot \frac{4,50 \cdot 24.000^4}{6.111 \cdot 2,60 \cdot 10^{10}} \cdot 0,243 + \frac{1}{8} \cdot \frac{4,50 \cdot 24.000^2}{361 \cdot 1,93 \cdot 10^5} \cdot 0,788 - 0 = 29,7 + 3,66 - 0 = 33,4 \text{ mm} \approx 33 \text{ mm} \end{aligned}$$

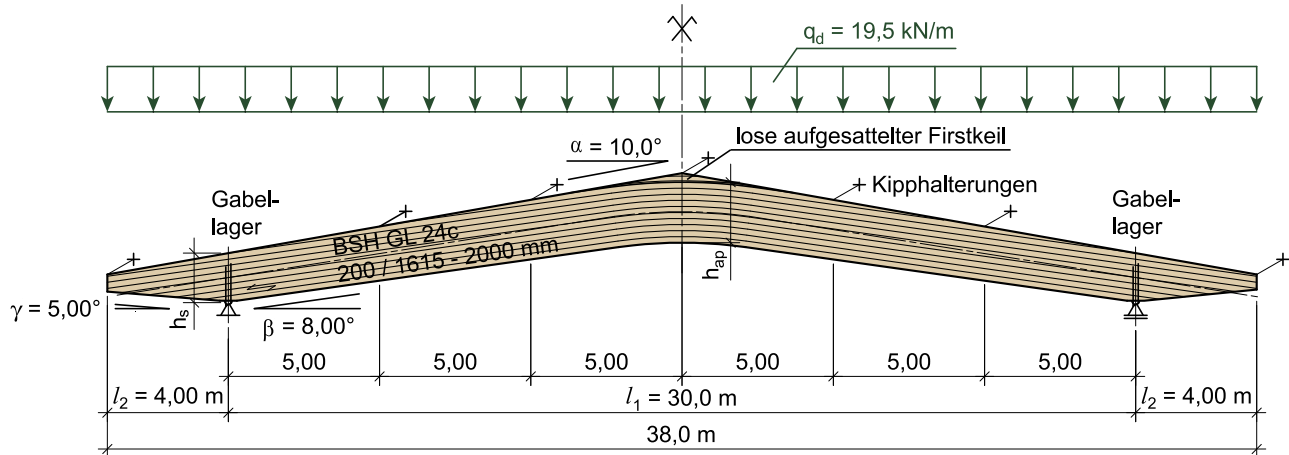
Grenzwert

$$w_{\text{net,fin,grenz}} = \frac{l}{250} = \frac{24.000}{250} = 96,0 \text{ mm}$$

Nachweis

$$\frac{w_{\text{net,fin}}}{w_{\text{net,fin,grenz}}} = \frac{33,4}{96,0} = 0,35 < 1$$

### VII.3 GEKRÜMMTER TRÄGER MIT LOSE AUFGESATTELTEM FIRSTKEIL



**gegeben:**

- Einwirkung:  $q_d = 19,5 \text{ kN/m}$   
 Spannweiten:  $l_1 = 30,0 \text{ m}$ ,  $l_2 = 4,00 \text{ m}$ ; Abstand der Kipphalterungen:  $a = 5,00 \text{ m}$  bzw.  $4,00 \text{ m}$   
 Abmessungen:  $b/h_s - h_{ap} = 200/1.615 - 2.000 \text{ mm}$ ,  
 sonst. Geom.-param.:  $\alpha_{ap} = 10^\circ$ ,  $\beta = 8^\circ$ , Ausrundungsradius  $r_{in} = 15,0 \text{ m}$   
 Material: BSH GL 24c  
 Nutzungsklasse: NKL 2  
 KLED: „kurz“  
 Sonstiges: keine Anforderung an die Gebrauchstauglichkeit (Durchbiegung)

#### Geometriedaten

$$h_1 = h_s + \frac{l}{2} \cdot (\tan \alpha - \tan \beta) = 1.615 + \frac{30.000}{2} \cdot (\tan(10,0) - \tan(8,00)) = 2.152 \text{ mm}$$

$$h_x = h_s \cdot \left( 2 - \frac{h_s}{h_1} \right) \cdot \cos \beta = 1.615 \cdot \left( 2 - \frac{1.615}{2.152} \right) \cdot \cos(8,00) = 1.998 \text{ mm}$$

$$x = \frac{h_s \cdot l}{2 \cdot h_1} = \frac{1,62 \cdot 30,0}{2 \cdot 2,15} = 11,3 \text{ m}$$

$$x_c = \frac{l}{2} - r_{in} \cdot \sin \beta = \frac{30,0}{2} - 15,0 \cdot \sin(8,00) = 12,9 \text{ m}$$

$$h_{ap} = h_s + \frac{l}{2} \cdot (\tan \alpha - \tan \beta) - r_{in} \cdot \frac{(1 - \cos \beta)}{\cos \beta} = 1.615 + \frac{30.000}{2} \cdot (\tan(10,0) - \tan(8,00)) - 15.000 \cdot \frac{(1 - \cos(8,00))}{\cos(8,00)} \approx 2.000 \text{ mm}$$

$$h_{KA} = (h_s - \approx 40,0 \text{ mm}) \cdot \cos\left(\frac{\alpha + \beta}{2}\right) = (1.615 - \approx 40,0) \cdot \cos\left(\frac{10,0 + 8,00}{2}\right) = 1.556 \text{ mm}$$

#### Schnittgrößen

Auflagerkraft

$$A_d = q_d \cdot \frac{(l_1 + 2 \cdot l_2)}{2} = 19,5 \cdot \frac{(30,0 + 2 \cdot 4,00)}{2} = 371 \text{ kN}$$

maximale Querkraft

$$V_{A,re,d} = A_d - q_d \cdot l_2 = 371 - 19,5 \cdot 4,00 = 293 \text{ kN}$$

Moment an der Stelle x

$$M_{x,d} = A_d \cdot x - q_d \cdot \frac{1}{2} (x + l_2)^2 = 371 \cdot 11,3 - 19,5 \cdot \frac{1}{2} (11,3 + 4,00)^2 = 1.910 \text{ kNm}$$

Moment im Firstbereich

$$M_{ap,d} = A_d \cdot \frac{l_1}{2} - q_d \cdot \frac{1}{2} \left( \frac{l_1}{2} + l_2 \right)^2 = 371 \cdot \frac{30,0}{2} - 19,5 \cdot \frac{1}{2} \left( \frac{30,0}{2} + 4,00 \right)^2 = 2.045 \text{ kNm}$$

Moment über dem Auflager (Kragarmmoment)

$$M_{KA,d} = -\frac{q_d \cdot l_2^2}{2} = -\frac{19,5 \cdot 4,00^2}{2} = -156 \text{ kNm}$$

### Baustoffkenngrößen

charakt. Wert der Biegefestigkeit:	$f_{m,g,k} = 24,0 \text{ N/mm}^2$	Tab. III.19
charakt. Wert der Druckfestigkeit in Faserr.:	$f_{c,0,g,k} = 21,5 \text{ N/mm}^2$	Tab. III.19
charakt. Wert der Querzugfestigkeit:	$f_{t,90,g,k} = 0,50 \text{ N/mm}^2$	Tab. III.19
charakt. Wert der Querdruckfestigkeit:	$f_{c,90,g,k} = 2,50 \text{ N/mm}^2$	Tab. III.19
charakt. Wert der Schubfestigkeit:	$f_{v,g,k} = 2,50 \text{ N/mm}^2$	Tab. III.19
E-Modul (Mittelwert):	$E_{0,g,mean} = 11.000 \text{ N/mm}^2$	Tab. III.19
E-Modul (5%-Quantilwert):	$E_{0,g,05} = 9.100 \text{ N/mm}^2$	Tab. III.19
Modifikationsbeiwert:	$k_{mod} = 0,90$	Tab. III.5
Teilsicherheitsbeiwert:	$\gamma_M = 1,25$	Tab. III.3

Bemessungswerte

$$\begin{aligned} f_{m,g,d} &= k_{mod} \cdot \frac{f_{m,g,k}}{\gamma_M} = 0,90 \cdot \frac{24,0}{1,25} = 17,3 \text{ N/mm}^2 \\ f_{c,0,g,d} &= k_{mod} \cdot \frac{f_{c,0,g,k}}{\gamma_M} = 0,90 \cdot \frac{21,5}{1,25} = 15,5 \text{ N/mm}^2 \\ f_{t,90,g,d} &= k_{mod} \cdot \frac{f_{t,90,g,k}}{\gamma_M} = 0,90 \cdot \frac{0,500}{1,25} = 0,360 \text{ N/mm}^2 \\ f_{c,90,g,d} &= k_{mod} \cdot \frac{f_{c,90,g,k}}{\gamma_M} = 0,90 \cdot \frac{2,50}{1,25} = 1,80 \text{ N/mm}^2 \\ f_{v,g,d} &= k_{mod} \cdot \frac{f_{v,g,k}}{\gamma_M} = 0,90 \cdot \frac{2,50}{1,25} = 1,80 \text{ N/mm}^2 \end{aligned}$$

### Querschnittswerte

Querschnittsfläche im Auflagerbereich

$$A \approx b \cdot h \approx 200 \cdot (1.615 - \approx 40,0) \approx 3,15 \cdot 10^5 \text{ mm}^2$$

Widerstandsmoment an der Stelle x

$$W_x = \frac{b \cdot h_x^2}{6} = \frac{200 \cdot 1.998^2}{6} = 1,33 \cdot 10^8 \text{ mm}^3$$

Widerstandsmoment im First (unter Berücksichtigung des aufgesattelten Firstkeils)

$$W_{ap} = \frac{b \cdot h_{ap}^2}{6} = \frac{200 \cdot 2.000^2}{6} = 1,33 \cdot 10^8 \text{ mm}^3$$

Widerstandsmoment über dem Auflager

$$W_{KA} = \frac{b \cdot h_{KA}^2}{6} = \frac{200 \cdot 1.556^2}{6} = 8,07 \cdot 10^7 \text{ mm}^3$$

### Nachweis der Schubspannung über dem Auflager

Schubspannung

$$\tau_d = 1,5 \cdot \frac{V_d}{A} = 1,5 \cdot \frac{293 \cdot 10^3}{3,15 \cdot 10^5} = 1,40 \text{ N/mm}^2$$

Nachweis

$$\frac{\tau_d}{f_{v,g,d}} = \frac{1,40}{1,80} = 0,78 < 1$$

### Nachweis der Auflagerpressung (Druck unter einem Winkel $\alpha$ )

Annahme: Kontaktlänge:  $l = 520 \text{ mm}$

wirksame Auflagerfläche

$$A_{ef} = b \cdot (l + 2 \cdot 30 \text{ mm} \cdot \cos \alpha) = 200 \cdot (520 + 2 \cdot 30 \text{ mm} \cdot \cos(8,00)) = 1,16 \cdot 10^5 \text{ mm}^2$$

Auflagerpressung

$$\sigma_{c,\alpha,d} = \frac{A_d}{A_{ef}} = \frac{371 \cdot 10^3}{1,16 \cdot 10^5} = 3,20 \text{ N/mm}^2$$

Bemessungswert der Druckfestigkeit unter einem Winkel  $\alpha$

$k_{c,90}$ -Beiwert für BSH aus Nadelholz bei einer Einzelabstützung; siehe [1], Bild 6.2 und nationale Ergänzung zu Abschnitt 6.1.5 (4)):

$$\rightarrow k_{c,90} = 1,75$$

$$f_{c,\alpha,g,d} = \frac{f_{c,0,g,d}}{k_{c,90} \cdot f_{c,90,g,d}} = \frac{15,5}{\frac{15,5}{1,75 \cdot 1,80} \cdot \sin^2(90 - \alpha) + \cos^2(90 - \alpha)} = 3,20 \text{ N/mm}^2$$

mit Tabellenwerk (für GL 24h; interpoliert): → für  $\alpha = 90,0 - 8,00 = 82,0^\circ$ :  $f_{c,\alpha,d} = 3,09 \text{ N/mm}^2$

Tab. IV.13

Nachweis

$$\frac{\sigma_{c,\alpha,d}}{f_{c,\alpha,g,d}} = \frac{3,20}{3,09} = 1,00 = 1$$

Anmerkung:

Durch geeignete konstruktive Maßnahmen (z. B. der Anordnung eines Elastomerlagers) ist eine ausreichende Auflagerverdrehbarkeit sicherzustellen. Ein Verringerung der Kontaktlänge kann durch Anordnung einer Auflagerverstärkung erreicht werden.

### Nachweis der Biegespannungen an der Stelle x

- in der Zugzone (Rand nicht angeschnitten)

$$\sigma_{m,0,d;x} = \frac{M_{x,d}}{W_x} \cdot (1 + 4 \cdot \tan^2(\alpha - \beta)) = \frac{1.910 \cdot 10^6}{1,33 \cdot 10^8} \cdot (1 + 4 \cdot \tan^2(10,0 - 8,00)) = 14,4 \cdot 1,005 = 14,5 \text{ N/mm}^2$$

mit Tabellenwerk: →  $\Delta\alpha = \alpha - \beta = 10,0 - 8,00 = 2,00^\circ$ :  $1 + 4 \cdot \tan^2(\alpha - \beta) = 1,005$

Tab. IV.54

Nachweis

$$\frac{\sigma_{m,0,d;x}}{f_{m,g,d}} = \frac{14,5}{17,3} = 0,84 < 1$$

• in der Druckzone (Rand angeschnitten)

$$\sigma_{m,\alpha,d;x} = \frac{M_{x,d}}{W_x} \cdot (1 - 4 \cdot \tan^2(\alpha - \beta)) = \frac{1,910 \cdot 10^6}{1,33 \cdot 10^8} \cdot (1 - 4 \cdot \tan^2(10,0 - 8,00)) = 14,4 \cdot 0,995 = 14,3 \text{ N/mm}^2$$

mit Tabellenwerk:  $\rightarrow \Delta\alpha = \alpha - \beta = 10,0 - 8,00 = 2,00^\circ$ :  $1 - 4 \cdot \tan^2(\alpha - \beta) = 0,995$

Tab. IV.54

Beiwert  $k_{m,\alpha}$ :

$$k_{m,\Delta\alpha,c} = \frac{1}{\sqrt{1 + \left( \frac{f_{m,d}}{1,5 \cdot f_{v,d}} \cdot \tan(\alpha - \beta) \right)^2 + \left( \frac{f_{m,d}}{f_{c,90,d}} \cdot \tan^2(\alpha - \beta) \right)^2}} = \frac{1}{\sqrt{1 + \left( \frac{17,3}{1,5 \cdot 1,80} \cdot \tan(10,0 - 8,00) \right)^2 + \left( \frac{17,3}{1,80} \cdot \tan^2(10,0 - 8,00) \right)^2}} = 0,976$$

mit Tabellenwerk:  $\rightarrow$  für  $\Delta\alpha = \alpha - \beta = 10,0 - 8,00 = 2,00^\circ$ :  $k_{m,\Delta\alpha,c} = 0,976$

Tab. IV.54

Nachweis

$$\frac{\sigma_{m,\alpha,d;x}}{k_{m,\Delta\alpha,c} \cdot f_{m,g,d}} = \frac{14,3}{0,976 \cdot 17,3} = 0,85 < 1$$

### Nachweis der Biegespannung im Firstbereich

mit:  $\alpha_{ap} = 0^\circ$  (aufgesattelter Firstkeil) und  $r_{in} = 15,0 \text{ m}$

Beiwert  $k_l$

$$k_1 = 1 + 1,4 \cdot \tan(\alpha_{ap}) + 5,4 \cdot \tan^2(\alpha_{ap}) = 1 + 1,4 \cdot \tan(0) + 5,4 \cdot \tan^2(0) = 1,00$$

$$k_2 = 0,35 - 8 \cdot \tan(\alpha_{ap}) = 0,35 - 8 \cdot \tan(0) = 0,35$$

$$k_3 = 0,6 + 8,3 \cdot \tan(\alpha_{ap}) - 7,8 \cdot \tan^2(\alpha_{ap}) = 0,6 + 8,3 \cdot \tan(0) - 7,8 \cdot \tan^2(0) = 0,60$$

$$k_4 = 6,0 \cdot \tan^2(\alpha_{ap}) = 6,0 \cdot \tan^2(0) = 0$$

$$r = r_{in} + \frac{h_{ap}}{2} = 15,0 + \frac{2,00}{2} = 16,0 \text{ m}$$

$$k_l = k_1 + k_2 \left( \frac{h_{ap}}{r} \right) + k_3 \cdot \left( \frac{h_{ap}}{r} \right)^2 + k_4 \cdot \left( \frac{h_{ap}}{r} \right)^3 = 1,00 + 0,350 \cdot \left( \frac{2,00}{16,0} \right) + 0,60 \cdot \left( \frac{2,00}{16,0} \right)^2 + 0 \cdot \left( \frac{2,00}{16,0} \right)^3 = 1,05$$

mit Tabellenwerk:  $\rightarrow$  für  $h_{ap}/r = 2,00/16,0 = 0,125$ :  $k_l = 1,053$

Tab. IV.55

Beiwert  $k_r$

$$\frac{r_{in}}{t} = \frac{15,000}{40,0} = 375 > 240 \rightarrow k_r = 1,00$$

Tab. IV.56

Biegespannung im Firstbereich

$$\sigma_{m,d;ap} = k_r \cdot \frac{M_{ap,d}}{W_{ap}} = 1,05 \cdot \frac{2,045 \cdot 10^6}{1,33 \cdot 10^8} = 16,1 \text{ N/mm}^2$$

Nachweis

$$\frac{\sigma_{m,d;ap}}{k_r \cdot f_{m,g,d}} = \frac{16,1}{1,00 \cdot 17,3} = 0,93 < 1$$

**Nachweis der Querzugsspannung im First**

mit:  $\alpha_{ap} = 0^\circ$  (aufgesattelter Firstkeil)

Beiwert  $k_p$

$$k_5 = 0,2 \cdot \tan(\alpha_{ap}) = 0,2 \cdot \tan(0) = 0$$

$$k_6 = 0,25 - 1,5 \cdot \tan(\alpha_{ap}) + 2,6 \cdot \tan^2(\alpha_{ap}) = 0,25 - 1,5 \cdot \tan(0) + 2,6 \cdot \tan^2(0) = 0,25$$

$$k_7 = 2,1 \cdot \tan(\alpha_{ap}) - 4 \cdot \tan^2(\alpha_{ap}) = 2,1 \cdot \tan(0) - 4 \cdot \tan^2(0) = 0$$

$$k_p = k_5 + k_6 \cdot \left( \frac{h_{ap}}{r} \right) + k_7 \cdot \left( \frac{h_{ap}}{r} \right)^2 = 0 + 0,250 \cdot \left( \frac{2,00}{16,0} \right) + 0 \cdot \left( \frac{2,00}{16,0} \right)^2 = 0,0313$$

mit Tabellenwerk: → für  $h_{ap}/r = 2,00/16,0 = 0,125$ :  $k_p = 0,0313$

Tab. IV.55

Querzugsspannung im First

$$\sigma_{t,90,d;ap} = k_p \cdot \frac{M_{ap,d}}{W_{ap}} = 0,0313 \cdot \frac{2,045 \cdot 10^6}{1,33 \cdot 10^8} = 0,481 \text{ N/mm}^2$$

Beiwert  $k_{dis}$

im querzugbeanspruchten Bereich liegt auf Grund des aufgesattelten Firstkeils ein gekrümmter Träger mit konstanter Querschnittshöhe vor:  $k_{dis} = 1,4$

querzugbeanspruchtes Volumen  $V$

$$V = \frac{\beta \cdot \pi}{180} \cdot b \cdot [h_{ap}^2 + 2 \cdot r_{in} \cdot h_{ap}] = \frac{8,00 \cdot \pi}{180} \cdot 0,200 \cdot [2,00^2 + 2 \cdot 15,0 \cdot 2,00] = 1,79 \text{ m}^3$$

Beiwert  $k_{vol}$

$$k_{vol} = \left( \frac{V_o}{V} \right)^{0,2} = \left( \frac{0,01}{1,79} \right)^{0,2} = 0,354$$

Gesamtvolume des Satteldachbinders

$$l_k \approx \frac{l_1}{\cos\left(\frac{\alpha+\beta}{2}\right)} \approx \frac{30,0}{\cos\left(\frac{10,0+8,00}{2}\right)} \approx 30,4 \text{ m}$$

$$V_b \approx h_x \cdot l_k \cdot b \approx \frac{1}{2} \cdot (1,62 + 2,00) \cdot 30,4 \cdot 0,200 \approx 11,0 \text{ m}^3$$

$$V \leq \frac{2}{3} \cdot V_b : 1,79 \text{ m}^3 < \frac{2}{3} \cdot 11,0 \text{ m}^3 = 7,33 \text{ m}^3 \rightarrow \text{Bedingung erfüllt!}$$

Nachweis

$$\frac{\sigma_{t,90,d;ap}}{k_{dis} \cdot k_{vol} \cdot f_{t,90,g,d}} = \frac{0,481}{1,4 \cdot 0,354 \cdot 0,360} = 2,70 > 1 \rightarrow \text{Nachweis nicht erfüllt! Querzugverstärkung erforderlich!}$$

**Vergleich der Varianten – verklebter Firstkeil und aufgesattelter Firstkeil**

	<b>verklebter Firstkeil (hier nicht explizit ausgewiesen)</b>	<b>aufgesattelter Firstkeil</b>
$h_{ap}$	2.300 mm	2.000
$W_{ap}$	$1,76 \cdot 10^8 \text{ mm}^3$	$1,33 \cdot 10^8 \text{ mm}^3$
$\alpha_{ap}$	$10,0^\circ$	$0^\circ$
$\frac{k_l \cdot \frac{6 \cdot M_{ap,d}}{b \cdot h_{ap}^2}}{k_r \cdot f_{m,d}}$	$0,75 < 1$	$0,93 < 1$
$\frac{k_p \cdot \frac{6 \cdot M_{ap,d}}{b \cdot h_{ap}^2}}{k_{dis} \cdot k_{vol} \cdot f_{t,90,d}}$	$2,81 < 1$	$2,70 < 1$
Verstärkung des querzugbeanspruchtes Bereichs in beiden Fällen erforderlich!		

**Verstärkung des querzugbeanspruchtes Bereichs mit eingeschraubten Gewindestangen für den Träger mit aufgesatteltem Firstkeil**

- Länge des querzugbeanspruchten Bereichs

$$\frac{c}{2} = r_{in} \cdot \sin(\beta) \rightarrow c = 2 \cdot r_{in} \cdot \sin(\beta) = 2 \cdot 15,0 \cdot \sin(8,00) = 4,18 \text{ m}$$

- Berechnung der Tragfähigkeit einer Schraubstange auf Herausziehen

**gewählte Verbindungsmittel für die Verstärkung im querzugbeanspruchten Firstbereich:**

Schraubstange  $d = 16 \text{ mm}$ ,  $f_{ax,k} = 10,0 \text{ N/mm}^2$ ,  $F_{tens,k} = 63,0 \text{ kN}$  (Daten aus bauaufsichtlicher Zulassung)  
wirksame Eindrehlänge

$$l_{ef} = 0,5 \cdot h_{ap} - t = 0,5 \cdot 2.000 - 40,0 = 960 \text{ mm}$$

- Bemessungswert der Ausziehtragfähigkeit einer Schraubstange

$$F_{ax,Rd} = \min \begin{cases} f_{ax,k} \cdot d \cdot l_{ef} \cdot \frac{k_{mod}}{\gamma_M} \\ \frac{F_{tens,k}}{\gamma_{M2}} \end{cases} = \min \begin{cases} 10,0 \cdot 16,0 \cdot 960 \cdot \frac{0,90}{1,30} = 106.338 \text{ N} \\ \frac{63,0 \cdot 10^3}{1,25} = 50.400 \text{ N} \end{cases} = 50,4 \text{ kN}$$

**Nachweis der Querzugverstärkung im Firstbereich**

- in der mittleren Hälfte

$$F_{t,90,d} = \frac{\sigma_{t,90,d} \cdot b \cdot a_1}{n} \leq F_{ax,Rd}$$

$$a_1 = \frac{F_{ax,Rd} \cdot n}{\sigma_{t,90,d} \cdot b} = \frac{50.400 \cdot 1,00}{0,481 \cdot 200} = 524 \text{ mm} < 0,75 \cdot h_{ap} = 0,75 \cdot 2.000 = 1.500 \text{ mm}$$

gewählt: 5 x Gewindestangen in der inneren Hälfte

$$a_{1,prov} = \frac{c/2}{m-1} = \frac{4.180/2}{5-1} = 523 \text{ mm} < a_{1,req} = 524 \text{ mm}$$

- in den äußeren Vierteln

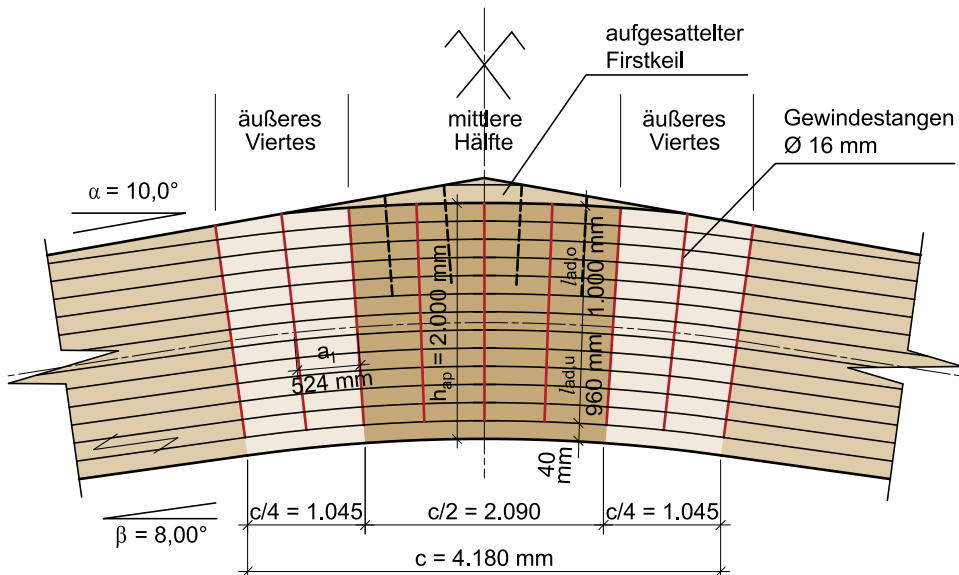
$$F_{t,90,d} = \frac{2 \cdot \sigma_{t,90,d} \cdot b \cdot a_1}{n} \leq F_{ax,Rd}$$

$$a_1 = \frac{3}{2} \cdot \frac{F_{ax,Rd} \cdot n}{\sigma_{t,90,d} \cdot b} = \frac{3}{2} \cdot \frac{50.400 \cdot 1,00}{0,481 \cdot 200} = 786 \text{ mm} < 0,75 \cdot h_x = 0,75 \cdot 2.000 = 1.500 \text{ mm}$$

gewählt: 2 x Gewindestangen pro äußeres Viertel

$$a_{1,prov} = \frac{c/4}{m} = \frac{4.180/4}{2} = 523 \text{ mm} < a_{1,req} = 786 \text{ mm}$$

Lage der Schraubstangen



#### Nachweis der Biegespannungs am Kragarm

- in der Zugzone (Rand mit  $\Delta\alpha = \alpha - \beta = 10,0 - 8,00 = 2,00^\circ$  angeschnitten)

$$\sigma_{m,o,d;KA} = \frac{|M_{KA,d}|}{W_{KA}} = \frac{|-156 \cdot 10^6|}{8,07 \cdot 10^7} = 1,93 \text{ N/mm}^2$$

Anmerkung:

Auf die Berücksichtigung des Faktors der Abweichung von der geradlinigen Spannungsverteilung (orthotrope Scheibentragwirkung) wurde verzichtet, weil im Vordachbereich beide Ränder angeschnitten sind. Ohne weiteren Nachweis wurde angenommen, dass der obere angeschnittene Rand (im Zugbereich des Kragträgers) in den innen liegenden Bereich des kombiniert aufgebauten BSH-Trägers fällt. Damit geht eine Verringerung des Bemessungswertes der Biegefestigkeit einher. Der untere, druckbeanspruchte Rand liegt in der Außenlage des kombiniert aufgebauten BSH-Trägers.

Beiwert

$$k_{m,\Delta\alpha,t} = \frac{1}{\sqrt{1 + \left( \frac{f_{m,d}}{0,75 \cdot f_{v,d}} \cdot \tan(\alpha - \beta) \right)^2 + \left( \frac{f_{m,d}}{f_{t,90,d}} \cdot \tan^2(\alpha - \beta) \right)^2}} = \frac{1}{\sqrt{1 + \left( \frac{17,3}{0,75 \cdot 1,80} \cdot \tan(10,0 - 8,00) \right)^2 + \left( \frac{17,3}{0,360} \cdot \tan^2(10,0 - 8,00) \right)^2}} = 0,911$$

mit Tabellenwerk: → für  $\Delta\alpha = \alpha - \beta = 10,0 - 8,00 = 2,00^\circ$ :  $k_{m,\Delta\alpha,t} = 0,912$

Tab. IV.54

charakteristischer Wert der Biegefestigkeit (T9-Lamellen):  $f_{m,g,k} = 17,7 \text{ N/mm}^2$  (siehe ÖNORM EN 14080)

$$f_{m,g,d;\text{Innen}} = k_{\text{mod}} \cdot \frac{f_{m,g,k}}{\gamma_M} = 0,90 \cdot \frac{17,7}{1,25} = 12,7 \text{ N/mm}^2$$

Nachweis

$$\frac{\sigma_{m,a,d;x}}{k_{m,\Delta\alpha,t} \cdot f_{m,g,d;\text{Innen}}} = \frac{1,93}{0,911 \cdot 12,7} = 0,17 < 1$$

- in der Druckzone (Rand mit  $\Delta\alpha = \beta + \gamma = 8,00 + 5,00 = 13,0^\circ$  angeschnitten)

$$\sigma_{m,u,d;KA} = \frac{|M_{KA,d}|}{W_{KA}} = \frac{|-156 \cdot 10^6|}{8,07 \cdot 10^7} = 1,93 \text{ N/mm}^2$$

Beiwert  $k_{m,\Delta\alpha,c}$

$$k_{m,\Delta\alpha,c} = \frac{1}{\sqrt{1 + \left( \frac{f_{m,d}}{1,5 \cdot f_{v,d}} \cdot \tan(\beta + \gamma) \right)^2 + \left( \frac{f_{m,d}}{f_{c,90,d}} \cdot \tan^2(\beta + \gamma) \right)^2}} = \frac{1}{\sqrt{1 + \left( \frac{17,3}{1,5 \cdot 1,80} \cdot \tan(8,00 + 5,00) \right)^2 + \left( \frac{17,3}{1,80} \cdot \tan^2(8,00 + 5,00) \right)^2}} = 0,538$$

mit Tabellenwerk: → für  $\Delta\alpha = \beta + \gamma = 8,00 + 5,00 = 13,0^\circ$ :  $k_{m,\Delta\alpha,c} = 0,539$

Tab. IV.54

Nachweis

$$\frac{\sigma_{m,u,d;KA}}{k_{m,\Delta\alpha,c} \cdot f_{m,g,d}} = \frac{1,93}{0,538 \cdot 17,3} = 0,21 < 1$$

Anmerkung:

Für den Vordachbereich ist in der Praxis weiters die Einwirkungskombination bei der im Vordachbereich Windsog auftritt nachzuweisen.

### Stabilitätsnachweis – Biegendrillknicken („Kippen“)

- im Feld 3

Anmerkung:

Der Kippnachweis wird näherungsweise an der Stelle geführt, an dem der gerade Trägerabschnitt in den gekrümmten übergeht. Im Feld 3 tritt sowohl die höchste (Biege-) Beanspruchung, als auch die größte Querschnittshöhe auf.

Abstand x

$$x_{F3} = \frac{l_1}{2} - r \cdot \sin(\beta) = \frac{30,0}{2} - 16,0 \cdot \sin(8,00) = 12,8 \text{ m}$$

Querschnittshöhe

$$h_{xF3} \approx h_{ap} \approx 2.000 \text{ mm}$$

kritische Kippspannung

$$\sigma_{m,crit,d;F3} = \frac{0,78 \cdot b^2}{l_{ef} \cdot h} \cdot E_{0,9,05} = \frac{0,78 \cdot 200^2}{0,9 \cdot 5.000 \cdot 2.000} \cdot 9.100 = 31,5 \text{ N/mm}^2$$

bezogener Kippschlankheitsgrad

$$\lambda_{rel,m;F3} = \sqrt{\frac{f_{m,g,k}}{\sigma_{m,crit;F3}}} = \sqrt{\frac{24,0}{31,5}} = 0,873$$

Kippbeiwert

$$0,75 \leq \lambda_{rel,m} \leq 1,4 : k_{crit;F3} = 1,56 - 0,75 \cdot \lambda_{rel,m;F3} = 1,56 - 0,75 \cdot 0,873 = 0,905$$

Biegespannung an der Stelle  $x_{F3} = 12,8 \text{ m}$  (näherungsweise Biegespannung an der Stelle x)

$$\sigma_{m,d;F3} \approx \frac{M_{x,d}}{W_x} \approx \frac{1.910 \cdot 10^6}{1.33 \cdot 10^8} \approx 14,4 \text{ N/mm}^2$$

Nachweis

$$\frac{\sigma_{m,d;F3}}{k_{crit;F3} \cdot f_{m,g,d}} = \frac{14,4}{0,905 \cdot 17,3} = 0,92 < 1$$

- am Auflager (Kragarm)

wirksame Kipplänge für den Kragarm

$$\frac{l_{ef}}{l_a} = 0,5 \text{ mit } l_{KA} = l_2 = 4,00 \text{ m} \rightarrow l_{ef,KA} = 0,5 \cdot l_2 = 0,5 \cdot 4,00 = 2,00 \text{ m}$$

kritische Kippspannung

$$\sigma_{m,crit;KA} = \frac{0,78 \cdot b^2}{l_{ef,KA} \cdot h_{KA}} \cdot E_{0,9,05} = \frac{0,78 \cdot 200^2}{2.000 \cdot 1.556} \cdot 9.100 = 91,2 \text{ N/mm}^2 \text{ (mit } h_{KA} = 1.556 \text{ mm als konservativem Ansatz)}$$

bezogener Kippschlankheitsgrad

$$\lambda_{rel,m;KA} = \sqrt{\frac{f_{m,g,k}}{\sigma_{m,crit;KA}}} = \sqrt{\frac{24,0}{91,2}} = 0,513 < \lambda_{rel,m,grenz} = 0,75 \rightarrow k_{crit;KA} = 1,00 \rightarrow \text{keine Kippgefahr!}$$



## **KAPITEL VIII**

### **KAPITEL VIII**

### **HOLZBAUTEILE UND -KOMPONENTEN**

---

VIII.1 nachgiebig verdübelter Balken aus Vollholz

VIII.3 - VIII.10

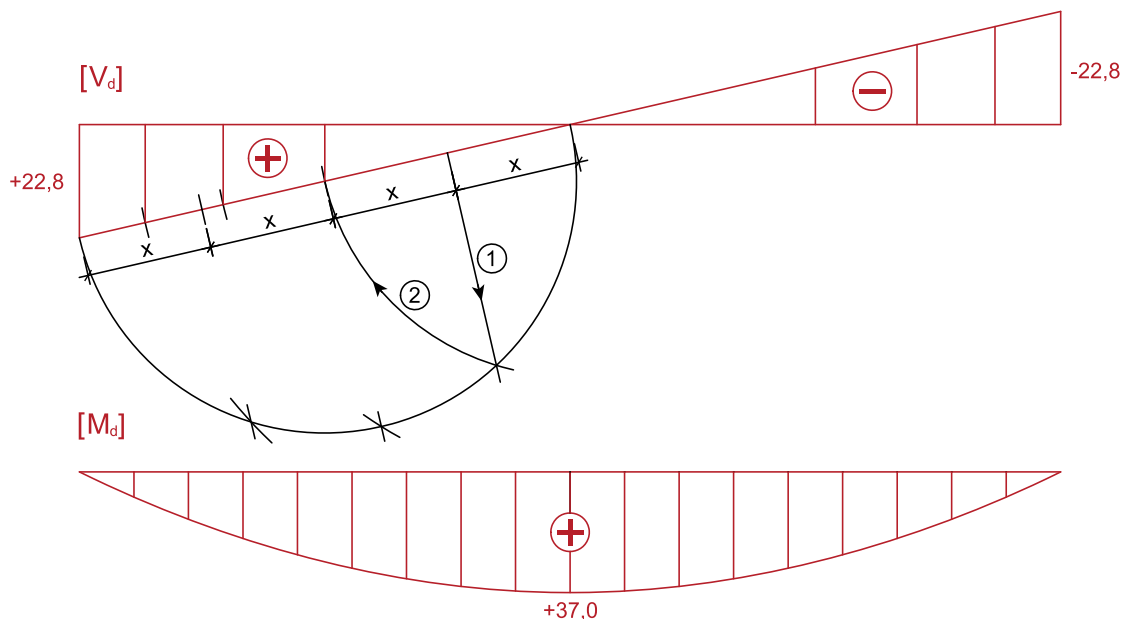
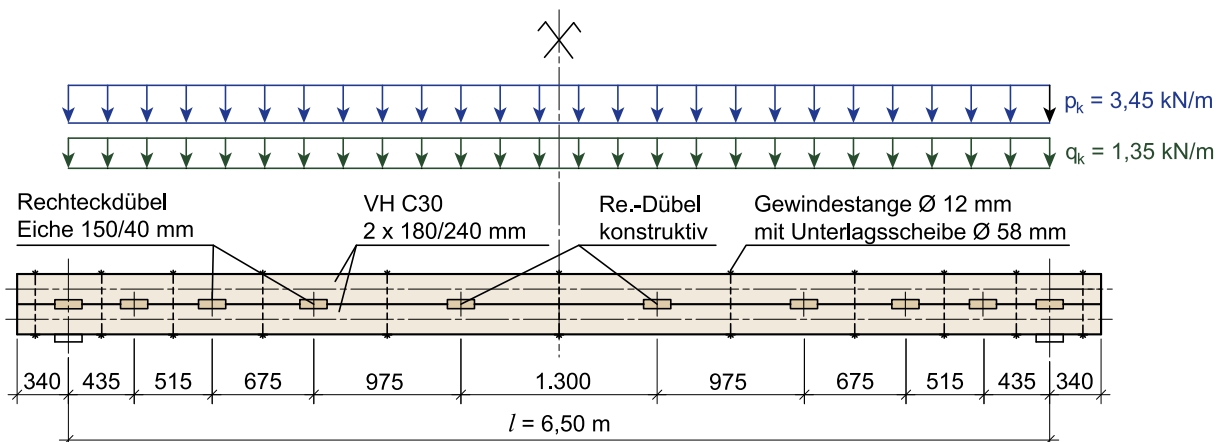
VIII.2 Holz-Beton-Verbund Deckenkonstruktion

VIII.11 - VIII.28



## VIII.1 NACHGIEBIG VERDÜBELTER BALKEN AUS VOLLHOLZ

Berechnungsgrundlage: ÖNORM EN 1995-1-1:2019, Anhang B („γ“-Verfahren) [1]



**gegeben:**

- |                 |   |                           |
|-----------------|---|---------------------------|
| Einwirkungen:   | charakt. Wert der ständigen Einwirkung (inkl. Träger)         | $g_k = 1,35 \text{ kN/m}$ |
|                 | charakt. Wert der veränderlichen Einwirkung                   | $p_k = 3,45 \text{ kN/m}$ |
|                 | Kombinationsbeiwert für die veränderliche Einwirkung (Kat. E) | $\psi_2 = 0,80$           |
| Spannweite:     | $l = 6,50 \text{ m}$  |                           |
| Abmessungen:    | $b/h = 2 \times 180/240 \text{ mm}$                           |                           |
| Material:       | Vollholz C30  |                           |
| Nutzungsklasse: | NKL 2   |                           |
| KLED:           | „lang“  |                           |

### Einwirkungen und Schnittgrößen

Bemessungswert der Einwirkung

$$q_d = \gamma_G \cdot g_k + \gamma_Q \cdot p_k = 1,35 \cdot 1,35 + 1,50 \cdot 3,45 = 7,00 \text{ kN/m}$$

Querkraft

$$V_d = \frac{q_d \cdot l}{2} = \frac{7,00 \cdot 6,50}{2} = 22,8 \text{ kN}$$

Moment

$$M_d = \frac{q_d \cdot l^2}{8} = \frac{7,00 \cdot 6,50^2}{8} = 37,0 \text{ kNm}$$

### Baustoffkenngrößen

charakteristischer Wert der Biegefestigkeit:	$f_{m,k} = 30,0 \text{ N/mm}^2$	Tab. III.10
charakteristischer Wert der Zugfestigkeit in FR:	$f_{t,0,k} = 19,0 \text{ N/mm}^2$	Tab. III.10
charakteristischer Wert der Druckfestigkeit in FR:	$f_{c,0,k} = 24,0 \text{ N/mm}^2$	Tab. III.10
charakteristischer Wert der Querdruckfestigkeit:	$f_{c,90,k} = 2,70 \text{ N/mm}^2$	Tab. III.10
charakteristischer Wert der Schubfestigkeit:	$f_{v,k} = 2,30 \text{ N/mm}^2$	Tab. III.10
charakteristischer Wert der Schubfestigkeit (Dübel; D30)	$f_{v,k; ReDü} = 2,60 \text{ N/mm}^2$	Tab. III.11
E-Modul (Mittelwert):	$E_{0,mean} = 12.000 \text{ N/mm}^2$	Tab. III.10
Modifikationsbeiwert:	$k_{mod} = 0,70$	Tab. III.5
Teilsicherheitsbeiwert Holz:	$\gamma_M = 1,30$	Tab. III.3
Teilsicherheitsbeiwert Verbindung:	$\gamma_{M,Verb} = 1,30$	Tab. III.3
Verformungsbeiwert:	$k_{def} = 0,80$	Tab. III.6

Bemessungswerte

$$\begin{aligned} f_{m,d} &= k_{mod} \cdot \frac{f_{m,k}}{\gamma_M} = 0,70 \cdot \frac{30,0}{1,30} = 16,2 \text{ N/mm}^2 \\ f_{t,0,d} &= k_{mod} \cdot \frac{f_{t,0,k}}{\gamma_M} = 0,70 \cdot \frac{19,0}{1,30} = 10,2 \text{ N/mm}^2 \\ f_{c,0,d} &= k_{mod} \cdot \frac{f_{c,0,k}}{\gamma_M} = 0,70 \cdot \frac{24,0}{1,30} = 12,9 \text{ N/mm}^2 \\ f_{c,90,d} &= k_{mod} \cdot \frac{f_{c,90,k}}{\gamma_M} = 0,70 \cdot \frac{2,70}{1,30} = 1,45 \text{ N/mm}^2 \\ f_{v,d} &= k_{mod} \cdot \frac{f_{v,k}}{\gamma_M} = 0,70 \cdot \frac{2,30}{1,30} = 1,24 \text{ N/mm}^2 \\ f_{v,d; ReDü} &= k_{mod} \cdot \frac{f_{v,k; ReDü}}{\gamma_M} = 0,70 \cdot \frac{2,60}{1,30} = 1,40 \text{ N/mm}^2 \end{aligned}$$

### Querschnittswerte der Einzelquerschnitte

$$A_1 = A_2 = b \cdot h = 180 \cdot 240 = 4,32 \cdot 10^4 \text{ mm}^2$$

$$I_1 = I_2 = \frac{b \cdot h^3}{12} = \frac{180 \cdot 240^3}{12} = 2,07 \cdot 10^8 \text{ mm}^4$$

### Verschiebungsmodul

Einschnitttiefe des HartholzdüBELS

$$h_e \approx \frac{h}{10} \text{ bis } \frac{h}{13} \approx \frac{240}{10} \text{ bis } \frac{240}{13} \approx 24,0 \text{ mm bis } 18,5 \text{ mm}$$

→ gewählt:  $h_e = 20,0 \text{ mm}$

wirksamer Verbindungsmittelelabstand

$$s_{ef} = 0,75 \cdot s_{min} + 0,25 \cdot s_{max} = 0,75 \cdot 435 + 0,25 \cdot 975 = 570 \text{ mm und } \frac{s_{max}}{s_{min}} = \frac{975}{435} = 2,24 < 4$$

Anmerkung:

Weder in in ÖNORM EN 1995-1-1:2019 [1], noch in ÖNORM B 1995-1-1:2019 [2] sind für Rechteckdübel aus Hartholz (Eiche, Buche) Verschiebungsmoduln angeführt. Näherungsweise bzw. bis zum Vorliegen genauerer Werte werden für den Verschiebungsmodul, auf Grund des ähnlich zu erwartenden Tragverhaltens, Verschiebungsmoduln für Kerven von Holz-Beton-Verbundkonstruktionen aus der Technischen Spezifikation CEN/TS 19103:2022 [5] herangezogen.

Der Verschiebungsmodul für Kerven ist in [5] wie folgt festgelegt:

- für Kerventiefen  $h_n = 20 \text{ mm}$ :  $K_{ser} = 1.000 \text{ kN/mm/m}$
- für Kerventiefen  $h_n \geq 30 \text{ mm}$ :  $K_{ser} = 1.500 \text{ kN/mm/m}$

dazwischen liegende Werte dürfen linear interpoliert werden.

Für die Einschnitttiefe  $h_e = 20 \text{ mm}$  ergibt sich ein Verschiebungsmodul von  $K_{ser} = 1.000 \text{ kN/mm/m}$ . Zu beachten ist dabei, dass die angegebenen Verschiebungsmoduln für eine Kontaktfläche (Kerve) gelten. Beim betrachteten nachgiebig verdübelten Balken treten zwei Kontaktflächen pro Hartholzdübel auf, d. h. die Verschiebungsmoduln sind zu halbieren. Die Verschiebungsmoduln sind auf eine Breite von 1 m bezogen.

	<b>zum Zeitpunkt <math>t = 0</math></b>	<b>zum Zeitpunkt <math>t = \infty</math></b>
$K_{ser} [\text{kN/mm}]$	$K_{ser;t=0} = \frac{K_{ser}}{2} \cdot b = \frac{1.000}{2} \cdot \frac{180}{1.000} = 90,0 \text{ kN/mm}$	$K_{ser;t=\infty} = \frac{K_{ser}}{1+2 \cdot k_{def}} = \frac{90,0}{1+2 \cdot 0,80} = 34,6 \text{ kN/mm}$
$K_u [\text{kN/mm}]$	$K_{u;t=0} = \frac{2}{3} \cdot K_{ser} = \frac{2}{3} \cdot 90,0 = 60,0 \text{ kN/mm}$	–
$K_d [\text{kN/mm}]$	$K_{d;t=0} = \frac{K_u}{\gamma_{M,\text{Verb}}} = \frac{60,0}{1,30} = 46,2 \text{ kN/mm}$	–

### Nachweis im Grenzzustand der Tragfähigkeit

Anmerkung:

Der Nachweis im Grenzzustand der Tragfähigkeit ist für Bauteile mit gleichem zeitlichen Verhalten für den Zeitpunkt  $t = 0$  zu führen. Zu diesem Zeitpunkt liegen die höchsten Steifigkeiten vor, sodass dabei auch die maximale Beanspruchung der Baupteile und Rechteckdübel auftritt.

- zum Zeitpunkt  $t = 0$

Bemessungswerte des E-Moduls

$$E_1 = E_2 = E_{0,\text{mean}} = 12.000 \text{ N/mm}^2$$

$$E_{0,d} = \frac{E_{0,\text{mean}}}{\gamma_M} = \frac{12.000}{1,30} = 9.231 \text{ N/mm}^2$$

Verbundbeiwerte

$$\gamma_1 = \frac{1}{1 + \pi^2 \cdot \frac{E_{1,0,d} \cdot A_1 \cdot s_{ef}}{K_{d;t=0} \cdot l^2}} = \frac{1}{1 + \pi^2 \cdot \frac{9.231 \cdot 4,32 \cdot 10^4 \cdot 570}{46,2 \cdot 10^3 \cdot 6.500^2}} = 0,465$$

$$\gamma_2 = 1,00$$

Schwerpunktslage

$$a_2 = \frac{1}{2} \cdot \frac{\gamma_1 \cdot E_1 \cdot A_1 \cdot (h_1 + h_2) - \gamma_3 \cdot E_3 \cdot A_3 \cdot (h_2 + h_3)}{\sum_{i=1}^3 \gamma_i \cdot E_i \cdot A_i} = \frac{0,465 \cdot 9.231 \cdot 4,32 \cdot 10^4 \cdot \left( \frac{240+240}{2} \right) - 0}{0,465 \cdot 9.231 \cdot 4,32 \cdot 10^4 + 1,00 \cdot 9.231 \cdot 4,32 \cdot 10^4} = 76,2 \text{ mm}$$

$$a_1 = \frac{h_1 + h_2}{2} - a_2 = \frac{240+240}{2} - 76,2 = 164 \text{ mm}$$

### Ermittlung der effektiven Biegesteifigkeit

$$(E \cdot I)_{\text{ef},d;t=0} = \sum_{i=1}^3 (E_i \cdot I_i + \gamma_i \cdot E_i \cdot A_i \cdot a_i^2) = 2 \cdot 9.231 \cdot 2,07 \cdot 10^8 + 0,465 \cdot 9.231 \cdot 4,32 \cdot 10^4 \cdot 164^2 + 1,00 \cdot 9.231 \cdot 4,32 \cdot 10^4 \cdot 76,2^2 = 3,82 \cdot 10^{12} + 7,30 \cdot 10^{12} = 1,11 \cdot 10^{13} \text{ N/mm}^2$$

Normalspannungen

- Teilquerschnitt 1

$$\sigma_{1,d} = \frac{M_d}{(E \cdot I)_{\text{ef},d;t=0}} \cdot E_{1,0,d} \cdot \gamma_1 \cdot a_1 = \frac{37,0 \cdot 10^6}{1,11 \cdot 10^{13}} \cdot 9.231 \cdot 0,465 \cdot 164 = 2,34 \text{ N/mm}^2$$

- Teilquerschnitt 2

$$\sigma_{2,d} = \frac{M_d}{(E \cdot I)_{\text{ef},d;t=0}} \cdot E_{2,0,d} \cdot \gamma_2 \cdot a_2 = \frac{37,0 \cdot 10^6}{1,11 \cdot 10^{13}} \cdot 9.231 \cdot 1,00 \cdot 76,2 = 2,34 \text{ N/mm}^2$$

Biegerandspannungen

- Teilquerschnitt 1

$$\sigma_{1,m,d} = \frac{M_d}{(E \cdot I)_{\text{ef},d;t=0}} \cdot E_{1,0,d} \cdot \frac{h_1}{2} = \frac{37,0 \cdot 10^6}{1,11 \cdot 10^{13}} \cdot 9.231 \cdot \frac{240}{2} = 3,69 \text{ N/mm}^2$$

- Teilquerschnitt 2

$$\sigma_{2,m,d} = \frac{M_d}{(E \cdot I)_{\text{ef},d;t=0}} \cdot E_{2,0,d} \cdot \frac{h_2}{2} = \frac{37,0 \cdot 10^6}{1,11 \cdot 10^{13}} \cdot 9.231 \cdot \frac{240}{2} = 3,69 \text{ N/mm}^2$$

### Nachweis auf Stabilitätsversagen des oberen Balkens (Balken 1)

Ein Biegedrillknicken des oberen Balkens wird durch die angrenzende, schubfest verbundene Deckenscheibe verhindert. Der Nachweis gegen Stabilitätsversagen des oberen Balkens erübrigts sich daher.

### Nachweis der Biegerandspannungen des unteren Balkens (Balken 2)

$$\frac{\sigma_{2,d}}{f_{t,0,d}} + \frac{\sigma_{2,m,d}}{f_{m,d}} = \frac{2,34}{10,2} + \frac{3,69}{16,2} = 0,229 + 0,228 = 0,46 < 1$$

### Schubnachweis

Schubspannung

$$h = \frac{h_2}{2} + a_2 = \frac{240}{2} + 76,2 = 196 \text{ mm}$$

$$\tau_{2,\max,d} = \frac{\gamma_3 \cdot E_{3,0,d} \cdot A_3 \cdot a_3 + 0,5 \cdot E_{2,0,d} \cdot b_2 \cdot h^2}{(E \cdot I)_{\text{ef},d;t=0} \cdot b_2} \cdot V_d = \frac{0 + 0,5 \cdot 9.231 \cdot 180 \cdot 196^2}{1,11 \cdot 10^{13} \cdot 180} \cdot 22,8 \cdot 10^3 = 0,364 \text{ N/mm}^2$$

Nachweis

$$\frac{\tau_{2,\max,d}}{f_{v,d}} = \frac{0,364}{1,24} = 0,29 < 1,0$$

**Nachweis des Rechteckdübels**

- Stirnflächenpressung

Schubkraft in der Verbundfuge

$$T_d = \frac{\gamma_1 \cdot E_{1,0,d} \cdot A_1 \cdot a_1 \cdot s_{ef}}{(E \cdot I)_{ef,d;t=0}} \cdot V_d = \frac{0,465 \cdot 9.231 \cdot 4,32 \cdot 10^4 \cdot 164 \cdot 570}{1,11 \cdot 10^{13}} \cdot 22,8 = 35,6 \text{ kN}$$

Stirnflächenpressung

$$\sigma_{c,0,d;\text{ReDü}} = \frac{T_d}{b \cdot h_e} = \frac{35,6 \cdot 10^3}{180 \cdot 20,0} = 9,89 \text{ N/mm}^2$$

Nachweis

$$\frac{\sigma_{c,0,d;\text{ReDü}}}{f_{c,0,d}} = \frac{9,89}{12,9} = 0,77 < 1$$

- Abscheren Vorholz

maximale rechnerische Vorholzlänge

$$l_{v,a,calc} \leq 8 \cdot h_e = 8 \cdot 20,0 = 160 \text{ mm} < \min l_{v,a} = 265 \text{ mm}$$

Schubspannung im Vorholz

$$\tau_{v,a,d} = \frac{T_d}{l_{v,a,calc} \cdot b} = \frac{35,6 \cdot 10^3}{160 \cdot 180} = 1,24 \text{ N/mm}^2$$

Nachweis

$$\frac{\tau_{v,a,d}}{f_{v,d}} = \frac{1,24}{1,24} = 1,00 = 1$$

- Abscheren Rechteckdübel

$$l_{a,\text{ReDü}} \geq 5 \cdot t_e = 5 \cdot 20 = 100 \text{ mm}$$

→ gewählt:  $l_{a,\text{ReDü}} = 150 \text{ mm}$  (Rechteckdübel aus Eiche der Festigkeitsklasse D30)

Schubspannung

$$\tau_{v,a;\text{ReDü}} = \frac{T_d}{l_{a,\text{ReDü}} \cdot b} = \frac{35,6 \cdot 10^3}{150 \cdot 180} = 1,32 \text{ N/mm}^2$$

Nachweis

$$\frac{\tau_{v,a,d;\text{ReDü}}}{f_{v,d;\text{ReDü}}} = \frac{1,32}{1,40} = 0,94 < 1$$

- Abhebesicherung

$$M_{\text{ReDü},d} = T_d \cdot h_e = 35,6 \cdot 0,020 = 0,712 \text{ kNm}$$

$$D_d = \frac{M_{d,\text{ReDü}}}{2/3 \cdot l_{a,\text{ReDü}}} = \frac{0,712}{2/3 \cdot 0,150} = 7,12 \text{ kN}$$

Aufnahme der Abhebekraft zwischen den Rechteckdübeln mittels Gewindestangen Ø 12 mm, 5.8 ( $f_{uk} = 500 \text{ N/mm}^2$  |  $f_{yk} = 400 \text{ N/mm}^2$ ) mit Unterlagsscheiben Ø 58 mm,  $t = 6 \text{ mm}$

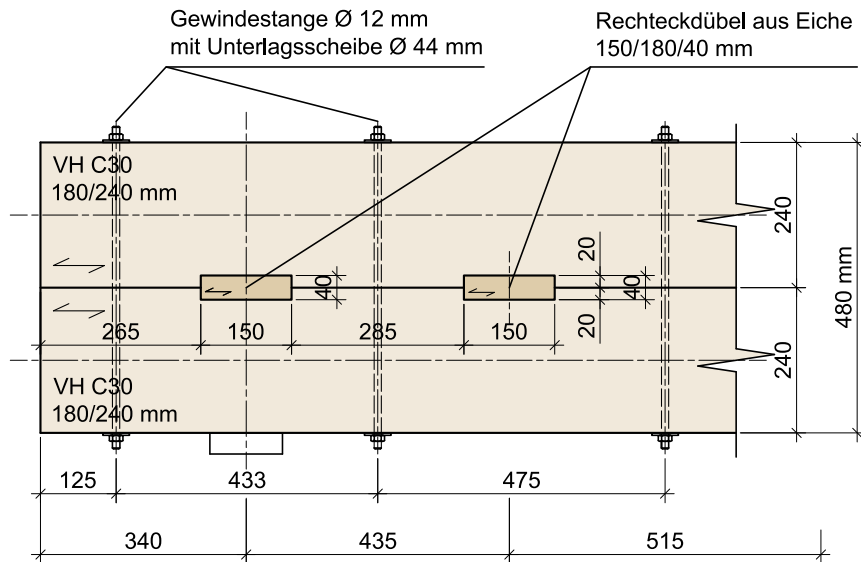
Bemessungswert der Tragfähigkeit auf Herausziehen

$$F_{ax,d} = \min \left\{ \frac{A_{US} \cdot k_{c,90} \cdot f_{c,90,d}}{\gamma_{M2}} , \frac{f_{y,k} \cdot A_{sp}}{1,25} \right\} = \min \left\{ \left( \frac{(58,0^2 - 14,0^2) \cdot \pi}{4} + 60,0 \cdot 58,0 \right) \cdot 3,00 \cdot 1,45 = 25,961 \text{ N} \right. \\ \left. = 26,0 \text{ kN} \right. \\ \frac{400}{1,25} \cdot 84,3 = 26,976 \text{ N}$$

Nachweis

$$\frac{D_d}{F_{ax,d}} = \frac{7,12}{26,0} = 0,27 < 1$$

Detail Verdübelung am Auflager



### Nettoquerschnittsnachweis in der Zugzone

Schnittgrößen

$$N_{n,d} = \sigma_{1,d} \cdot A_1 = 2,34 \cdot 4,32 \cdot 10^4 = 101,088 \text{ N} = 101 \text{ kN}$$

$$M_{x,d} = A_d \cdot x - q_d \cdot \frac{x^2}{2} = 22,8 \cdot 2,68 - 7,00 \cdot \frac{2,68^2}{2} = 36,0 \text{ kNm}$$

$$M_{1,d} = M_{2,d} = \frac{1}{2} \cdot \left[ M_{x,d} - N_{d} \cdot \left( \frac{h_1 + h_2}{2} \right) \right] = \frac{1}{2} \cdot \left[ 36,0 - 101 \cdot \left( \frac{0,240 + 0,240}{2} \right) \right] = 5,88 \text{ kNm}$$

$$M_{n,d} = M_{n,1,d} - N_{n,d} \cdot \frac{h_e}{2} = 5,88 - 101 \cdot \left( \frac{0,020}{2} \right) = 4,87 \text{ kNm}$$

Nettoquerschnittswerte

$$A_n = (b - d_{GSt}) \cdot (h - h_e) = (180 - 14,0) \cdot (240 - 20,0) = 3,65 \cdot 10^4 \text{ mm}^2$$

$$W_n = \frac{(b - d_{GSt}) \cdot (h - h_e)^2}{6} = \frac{(180 - 14,0) \cdot (240 - 20,0)^2}{6} = 1,34 \cdot 10^6 \text{ mm}^3$$

Spannungen

$$\sigma_{n,t,0,d} = \frac{N_{n,d}}{A_n} = \frac{101 \cdot 10^3}{3,65 \cdot 10^4} = 2,77 \text{ N/mm}^2$$

$$\sigma_{n,m,d} = \frac{M_{n,d}}{W_n} = \frac{4,87 \cdot 10^6}{1,34 \cdot 10^6} = 3,63 \text{ N/mm}^2$$

Nettoquerschnittsnachweis

$$\frac{\sigma_{n,t,0,d}}{f_{t,0,d}} + \frac{\sigma_{n,m,d}}{f_{m,d}} = \frac{2,77}{10,2} + \frac{3,63}{16,2} = 0,272 + 0,224 = 0,50 < 1$$

### Nachweis im Grenzzustand der Gebrauchstauglichkeit

- zum Zeitpunkt  $t = 0$

$$E_1 = E_2 = E_{0,mean} = 12,000 \text{ N/mm}^2$$

$$\gamma_1 = \frac{1}{\frac{1 + \pi^2 \cdot \frac{E_{1,0,d} \cdot A_1 \cdot s_{ef}}{K_{ser;t=0} \cdot l^2}}{1 + \pi^2 \cdot \frac{12,000 \cdot 4,32 \cdot 10^4 \cdot 570}{90,0 \cdot 10^3 \cdot 6,500^2}}} = 0,566$$

$$\gamma_2 = 1,00$$

$$a_2 = \frac{1}{2} \cdot \frac{\gamma_1 \cdot E_1 \cdot A_1 \cdot (h_1 + h_2) - \gamma_3 \cdot E_3 \cdot A_3 \cdot (h_2 + h_3)}{\sum_{i=1}^3 \gamma_i \cdot E_i \cdot A_i} = \frac{0,566 \cdot 12,000 \cdot 4,32 \cdot 10^4 \cdot \left(\frac{240+240}{2}\right) - 0}{0,566 \cdot 12,000 \cdot 4,32 \cdot 10^4 + 1,00 \cdot 12,000 \cdot 4,32 \cdot 10^4} = 86,7 \text{ mm}$$

$$a_1 = \frac{h_1 + h_2}{2} - a_2 = \frac{240+240}{2} - 86,7 = 153 \text{ mm}$$

$$(E \cdot I)_{ef;t=0} = \sum_{i=1}^3 (E_i \cdot I_i + \gamma_i \cdot E_i \cdot A_i \cdot a_i^2) = 2 \cdot 12,000 \cdot 2,07 \cdot 10^8 + 0,566 \cdot 12,000 \cdot 4,32 \cdot 10^4 \cdot 153^2 + 1,00 \cdot 12,000 \cdot 4,32 \cdot 10^4 \cdot 86,7^2 = \\ = 4,97 \cdot 10^{12} + 1,08 \cdot 10^{13} = 1,58 \cdot 10^{13} \text{ N/mm}^2$$

Durchbiegung in Feldmitte

$$w_{m,inst} = \frac{5}{384} \cdot \frac{(g_k + p_k) \cdot l^4}{(E \cdot I)_{ef}} = \frac{5}{384} \cdot \frac{(1,35 + 3,45) \cdot 6,500^4}{1,58 \cdot 10^{13}} = 7,06 \text{ mm}$$

Grenzwert der Anfangsbiegeung

$$w_{m,inst,gr} = \frac{l}{300} = \frac{6,500}{300} = 21,7 \text{ mm}$$

Nachweis

$$\frac{w_{m,inst}}{w_{m,inst,gr}} = \frac{7,06}{21,7} = 0,33 < 1$$

- zum Zeitpunkt  $t = \infty$

$$E_{1,0;t=\infty} = E_{2,0;t=\infty} = E_{0,mean} = \frac{12,000}{1+k_{def}} = \frac{12,000}{1+0,80} = 6,667 \text{ N/mm}^2$$

$$\gamma_1 = \frac{1}{\frac{1 + \pi^2 \cdot \frac{E_{1,0,d} \cdot A_1 \cdot s_{ef}}{K_{ser;t=0} \cdot l^2}}{1 + \pi^2 \cdot \frac{6,667 \cdot 4,32 \cdot 10^4 \cdot 570}{34,6 \cdot 10^3 \cdot 6,500^2}}} = 0,474$$

$$\gamma_2 = 1,00$$

$$a_2 = \frac{1}{2} \cdot \frac{\gamma_1 \cdot E_1 \cdot A_1 \cdot (h_1 + h_2) - \gamma_3 \cdot E_3 \cdot A_3 \cdot (h_2 + h_3)}{\sum_{i=1}^3 \gamma_i \cdot E_i \cdot A_i} = \frac{0,474 \cdot 6,667 \cdot 4,32 \cdot 10^4 \cdot \left( \frac{240+240}{2} \right) - 0}{0,474 \cdot 6,667 \cdot 4,32 \cdot 10^4 + 1,00 \cdot 6,667 \cdot 4,32 \cdot 10^4} = 77,2 \text{ mm}$$

$$a_1 = \frac{h_1 + h_2}{2} - a_2 = \frac{240+240}{2} - 77,2 = 163 \text{ mm}$$

$$(E \cdot I)_{\text{ef; } t=\infty} = \sum_{i=1}^3 (E_i \cdot I_i + \gamma_i \cdot E_i \cdot A_i \cdot a_i^2) = 2 \cdot 6,667 \cdot 2,07 \cdot 10^8 + 0,474 \cdot 6,667 \cdot 4,32 \cdot 10^4 \cdot 163^2 + 1,00 \cdot 6,667 \cdot 4,32 \cdot 10^4 \cdot 77,2^2 = \\ = 2,76 \cdot 10^{12} + 5,34 \cdot 10^{12} = 8,10 \cdot 10^{12} \text{ N/mm}^2$$

Druchbiegung in Feldmitte

$$w_{m,\text{net,fin}} = \frac{5}{384} \cdot \frac{(g_k + \psi_2 \cdot p_k) \cdot l^4}{(E \cdot I)_{\text{ef}}} - w_c = \frac{5}{384} \cdot \frac{(1,35 + 0,80 \cdot 3,45) \cdot 6,500^4}{8,10 \cdot 10^{12}} - 0 = 11,8 \text{ mm}$$

Grenwert der Enddurchbiegung

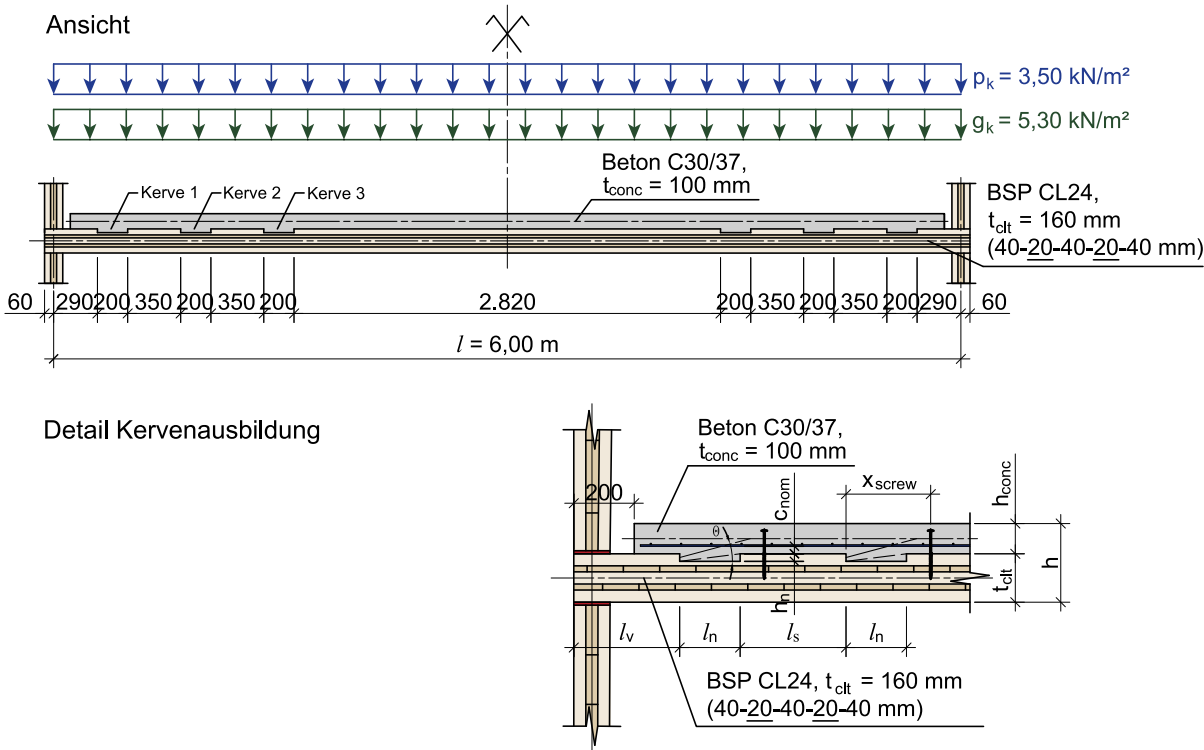
$$w_{m,\text{net,fin,gr}} = \frac{l}{250} = \frac{6,500}{250} = 26,0 \text{ mm}$$

Nachweis

$$\frac{w_{m,\text{net,fin}}}{w_{m,\text{net,fin,gr}}} = \frac{11,8}{26,0} = 0,45 < 1$$

## VIII.2 HOLZ-BETON-VERBUND DECKENKONSTRUKTION

Berechnungsgrundlage: ONR CEN/TS 19103:2022-04-01 [5]



**gegeben:**

Einwirkungen:	charakt. Wert der ständigen Einwirkung	Eigengewicht	$g_{1,k} = 3,30 \text{ kN/m}^2$
		Fußb.-aufbau	$g_{2,k} = 2,00 \text{ kN/m}^2$
	charakt. Wert der veränderl. Einwirkung (inkl. Zwischenwandzuschlag)	Nutzlast	$p_k = 3,50 \text{ kN/m}^2$
Spannweite:	$l = 6,00 \text{ m}$		
Abmessungen:	BSP 5-schichtig, $t_{clt} = 160 \text{ mm}$ (40-20-40-20-40 mm) Beton, $t_{conc} = 100 \text{ mm}$		
Material:	Bewehrung BST 550 AQ 50 ( $a_s = 1,96 \text{ cm}^2/\text{m}$ ), Betondeckung $c_{nom} = 25 \text{ mm}$ BSP CL 24 (mit $k_{sys} = 1,20$ ) Beton C30/37 ( $f_{ck} = 30,0 \text{ N/mm}^2$ , $E_{cm} = 33.000 \text{ N/mm}^2$ , Grundzahl des Kriechens (Endkriechzahl) $\varphi_0 = 2,50$ , Endschwindmaß $\epsilon_{cs,t=\infty} = 0,300\%$ ) Betonstahl BST 550 ( $f_{y,k} = 550 \text{ N/mm}^2$ , $E_s = 200.000 \text{ N/mm}^2$ )		
Nutzungsklasse:	NKL 1		
KLED:	„mittel“		
	$k_{mod} = 0,80 \mid k_{def} = 0,80$		

**Annahmen:**

- Es wird davon ausgegangen, dass die HBV-Elemente im Herstellwerk produziert werden und bis zur Erreichung der vorgesehenen Betonfestigkeit ohne mechanische Beanspruchung aushärten können.
- Zum Zeitpunkt der Erstbelastung ( $t_0 = 28$  Tage) sind weder Kriech-, noch Schwindverformungen zu berücksichtigen.
- Die Verbundwirkung wird über Kerven hergestellt. Die baustatische Modellierung erfolgt mit einem Stabwerksmodell.

## Einwirkungen

Anmerkung:

Die Einwirkungen werden für einen Plattenstreifen mit der Breite  $b = 1,0 \text{ m}$  ermittelt.

quasi-ständiger Anteil der Nutzlast

$$p_{\text{perm},k} = (\psi_2 \cdot p_k) \cdot b = (0,30 \cdot 3,50) \cdot 1,00 = 1,05 \text{ kN/m}$$

kurzzeitiger Anteil der Nutzlast

$$p_{\text{short},k} = ((1 - \psi_2) \cdot p_k) \cdot b = ((1 - 0,30) \cdot 3,50) \cdot 1,00 = 2,45 \text{ kN/m}$$

- Einwirkungen im Grenzzustand der Tragfähigkeit (ULS)

Grundkombination

$$q_d = (\sum \gamma_{G,j} \cdot g_{k,j} + \gamma_{Q,1} \cdot q_{k,1} + \sum \gamma_{Q,i} \cdot q_{k,i}) \cdot b = (1,35 \cdot (3,30 + 2,00) + 1,50 \cdot 3,50) \cdot 1,00 = 12,4 \text{ kN/m}$$

quasi-ständiger Anteil

$$q_{q-st,d} = (\sum \gamma_{G,j} \cdot g_{k,j} + \sum \gamma_{Q,i} \cdot q_{\text{perm},k}) \cdot b = (1,35 \cdot (3,30 + 2,00) + 1,50 \cdot 1,05) \cdot 1,00 = 8,73 \text{ kN/m}$$

kurzzeitiger Anteil der veränderlichen Einwirkung

$$q_{\text{short},d} = (\sum \gamma_Q \cdot q_{\text{kurz},k}) \cdot b = (1,50 \cdot 2,45) \cdot 1,00 = 3,68 \text{ kN/m}$$

- Einwirkungen im Grenzzustand der Gebrauchstauglichkeit (SLS)

seltene Einwirkungskombination

$$q_{Ed,rare} = (\sum g_{k,j} + \sum q_{k,i}) \cdot b = ((3,30 + 2,00) + 3,50) \cdot 1,00 = 8,80 \text{ kN/m}$$

quasi-ständige Einwirkungskombination

$$q_{Ed,perm} = (\sum g_{k,j} + \sum q_{k,i}) \cdot b = ((3,30 + 2,00) + 1,05) \cdot 1,00 = 6,35 \text{ kN/m}$$

kurzzeitiger Anteil der veränderlichen Einwirkung

$$q_{Ed,short} = (\sum q_{\text{short},k}) \cdot b = 2,45 \cdot 1,00 = 2,45 \text{ kN/m}^2$$

## Baustoffkenngrößen

charakteristischer Wert der Biegefestigkeit BSP:	$f_{m,lay,k} = 28,8 \text{ N/mm}^2$	Tab. III.22
charakteristischer Wert der Zugfestigkeit BSP:	$f_{t,0,lay,k} = 16,8 \text{ N/mm}^2$	Tab. III.22
charakteristischer Wert der Druckfestigkeit BSP:	$f_{c,0,lay,k} = 25,2 \text{ N/mm}^2$	Tab. III.22
charakteristischer Wert der Schubfestigkeit BSP:	$f_{v,lay,k} = 2,30 \text{ N/mm}^2$	Tab. III.22
charakteristischer Wert der Rollschubfestigkeit BSP:	$f_{r,lay,k} = 1,00 \text{ N/mm}^2$	Tab. III.22
Modifikationsbeiwert Holz:	$k_{\text{mod}} = 0,80$	Tab. III.5
Verformungsbeiwert Holz:	$k_{\text{def}} = 0,80$	Tab. III.6
Teilsicherheitsbeiwert Holz:	$\gamma_M = 1,25$	Tab. III.3
charakteristischer Wert der Druckfestigkeit Beton:	$f_{ck} = 30,0 \text{ N/mm}^2$	
Teilsicherheitsbeiwert Beton:	$\gamma_{\text{conc}} = 1,50$	
Teilsicherheitsbeiwert Schwinden:	$\gamma_{SH} = 1,35$	
Teilsicherheitsbeiwert Betonstahl:	$\gamma_s = 1,15$	
Teilsicherheitsbeiwert Verbindung (HBV):	$\gamma_{M,\text{Verb}} = 1,25$	

Bemessungswerte

$$f_{clt,m,d} = k_{mod} \cdot \frac{f_{m,lay,k}}{\gamma_M} = 0,80 \cdot \frac{28,8}{1,25} = 18,4 \text{ N/mm}^2 \quad (\text{Annahme: } k_{sys} = 1,20)$$

$$f_{clt,t,0,d} = k_{mod} \cdot \frac{f_{t,0,lay,k}}{\gamma_M} = 0,80 \cdot \frac{16,8}{1,25} = 10,8 \text{ N/mm}^2 \quad (\text{Annahme: } k_{sys} = 1,20)$$

$$f_{clt,c,0,d} = k_{mod} \cdot \frac{f_{c,0,lay,k}}{\gamma_M} = 0,80 \cdot \frac{25,2}{1,25} = 16,1 \text{ N/mm}^2 \quad (\text{Annahme: } k_{sys} = 1,20)$$

$$f_{clt,v,d} = k_{mod} \cdot \frac{f_{v,lay,k}}{\gamma_M} = 0,80 \cdot \frac{2,30}{1,25} = 1,47 \text{ N/mm}^2$$

$$f_{clt,r,d} = k_{mod} \cdot \frac{f_{r,lay,k}}{\gamma_M} = 0,80 \cdot \frac{1,00}{1,25} = 0,640 \text{ N/mm}^2$$

$$f_{conc,cd} = \alpha_{cc} \cdot \frac{f_{conc,ck}}{\gamma_{conc}} = 1,00 \cdot \frac{30,0}{1,50} = 20,0 \text{ N/mm}^2$$

**zeitabhängige Eigenschaften des Betons**

- Ermittlung des Kriechbeiwertes laut EN 1992-1-1:2015, Anhang B [6]

Grundzahl des Kriechens (Endkriechmaß):  $\varphi_0 = 2,50$

- Ermittlung der Schwindbeiwerte laut ONR CEN/TS 19103:2022, Abschnitt 7.1.2 (9) [5]

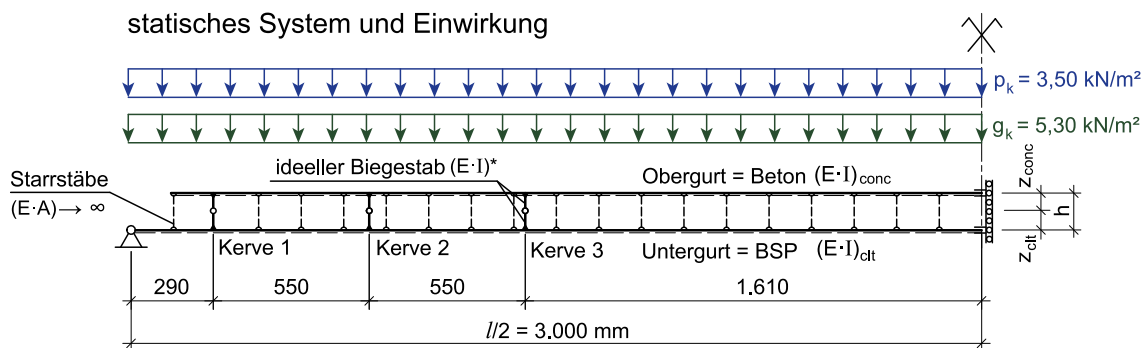
Bemessungswert des Endschwindmaßes

$$\varepsilon_{cs,d,t=\infty} = \gamma_{SH} \cdot \varepsilon_{cs,t=\infty} = 1,35 \cdot (-0,300) = -0,405 \text{ %}$$

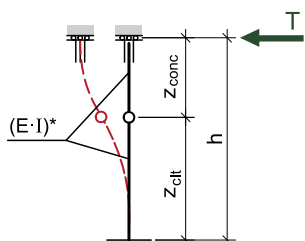
$$\varepsilon_{ef,conc,d}(t = t_0) = 0$$

$$\varepsilon_{ef,conc,d}(t = \infty) = 0,9 \cdot \varepsilon_{conc,d} = 0,9 \cdot (-0,405) = -0,365 \text{ %}$$

**baustatische Modellierung mit dem Stabwerksmodell nach Rautenstrauch [23]**



Modellierung der Kerven



Anmerkung:

Alle nachfolgenden Berechnungen erfolgen für einen Plattenstreifen mit der Breite  $b = 1,0 \text{ m}$ . Auf die Angabe der physikalischen Einheiten pro m wird, falls nicht erforderlich, verzichtet.

### NACHWEISE IM GRENZZUSTAND DER TRAGFÄHIGKEIT (ULS)

#### Berechnung mit den Anfangssteifigkeiten (zum Zeitpunkt t = 0)

- Querschnittswerte der Brettsperrholzplatte

Bemessungswert des E-Moduls

$$E_{clt,0,mean,d;t=0} = \frac{E_{0,lay,mean}}{\gamma_M} = \frac{11.500}{1,25} = 9.200 \text{ N/mm}^2$$

<b>b<sub>i</sub></b>	<b>h<sub>i</sub></b>	<b>e<sub>z,i</sub></b>	<b>E<sub>clt,0,mean,d;i</sub></b>	<b>n<sub>i</sub></b>	<b>n<sub>i</sub> · A<sub>i</sub></b>	<b>n<sub>i</sub> · A<sub>i</sub> · e<sub>z,i</sub></b>	<b>n<sub>i</sub> · I<sub>eig,i</sub></b>	<b>e<sub>z,i</sub> - e<sub>z,s</sub></b>	<b>n<sub>i</sub> · A<sub>i</sub> · (e<sub>z,i</sub> - e<sub>z,s</sub>)<sup>2</sup></b>
[mm]	[mm]	[mm]	[N/mm <sup>2</sup> ]	[-]	[mm <sup>2</sup> ]	[mm <sup>3</sup> ]	[mm <sup>4</sup> ]	[mm]	[mm <sup>4</sup> ]
1.000	40,0	20,0	9.200	1,00	4,00 · 10 <sup>4</sup>	8,00 · 10 <sup>5</sup>	5,33 · 10 <sup>6</sup>	- 60,0	1,44 · 10 <sup>8</sup>
	<u>20,0</u>	50,0	0	0	0	0	0	- 30,0	0
	40,0	80,0	9.200	1,00	4,00 · 10 <sup>4</sup>	3,20 · 10 <sup>6</sup>	5,33 · 10 <sup>6</sup>	0	0
	<u>20,0</u>	110	0	0	0	0	0	30,0	0
	40,0	140	9.200	1,00	4,00 · 10 <sup>4</sup>	5,60 · 10 <sup>6</sup>	5,33 · 10 <sup>6</sup>	60,0	1,44 · 10 <sup>8</sup>
<b>Summe</b>					<b>1,20 · 10<sup>5</sup></b>	<b>9,60 · 10<sup>6</sup></b>	<b>1,60 · 10<sup>7</sup></b>		<b>2,88 · 10<sup>8</sup></b>

Lage des Teilflächenschwerpunktes BSP

$$e_{z,s} = \frac{\sum n_i \cdot A_i \cdot e_{z,i}}{\sum n_i \cdot A_i} = \frac{9,60 \cdot 10^6}{1,20 \cdot 10^5} = 80,0 \text{ mm}$$

Trägheitsmoment des BSPs

$$I_{clt} = \sum n_i \cdot I_{eig,i} + \sum n_i \cdot A_i \cdot (e_{z,i} - e_{z,s})^2 = 1,60 \cdot 10^7 + 2,88 \cdot 10^8 = 3,04 \cdot 10^8 \text{ mm}^4$$

Querschnittswerte des ungerissenen Betonquerschnitts (Zustand I)

Baustoffkenngroßen und n-Ziffer

$$E_{conc,d;t=0} = \frac{E_{cm}}{\gamma_M} = \frac{33.000}{1,50} = 22.000 \text{ N/mm}^2 \quad E_{s,d} = \frac{E_s}{\gamma_M} = \frac{200.000}{1,15} = 173.913 \text{ N/mm}^2 \quad n_{s,d;t=0} = \frac{E_{s,d}}{E_{conc,d;t=0}} = \frac{173.913}{22.000} = 7,91$$

wirksame Dehnsteifigkeit des Betonquerschnitts (im Zustand I) zum Zeitpunkt t = 0

$$(E \cdot A)_{ef,conc,I,d;t=0} = E_{conc,d;t=0} \cdot [A_{conc} + (n_{s,d} - 1) \cdot A_s] = 22.000 \cdot [1.000 \cdot 100 + (7,91 - 1) \cdot 196] = 22.000 \cdot 1,01 \cdot 10^5 = 2,23 \cdot 10^9 \text{ N}$$

Verschiebung des Betonteilflächenschwerpunktes

$$\Delta z_{l;t=0} = \frac{(E \cdot A)_{s,d} \cdot z_s}{(E \cdot A)_{ef,conc,d;t=0}} = \frac{173.913 \cdot 196 \cdot (50,0 - 27,5)}{2,23 \cdot 10^9} = 0,344 \text{ mm}$$

Trägheitsmoment des Betonquerschnitts (im Zustand I) (Bezugs E-Modul = E<sub>conc,d;t=0</sub> = 22.000 N/mm<sup>2</sup>)

$$I_{ef,conc,I,d;t=0} = \sum n_i \cdot I_{eig,i} + \sum n_i \cdot A_i \cdot (e_{z,i} - e_{z,s})^2 = \\ = 1,00 \cdot \frac{1.000 \cdot 100^3}{12} + 0 + 1,00 \cdot 1.000 \cdot 100 \cdot 0,344^2 + (7,91 - 1) \cdot 196 \cdot (50,0 - 27,5 - 0,344)^2 = 8,40 \cdot 10^7 \text{ mm}^4$$

- Ermittlung der ideellen Biegesteifigkeit einer Schubkonsole

Anmerkung:

Die Kerve wird im baustatischen Modell als eingespannter Biegeträger mit gelenkiger Kopplung auf der mittleren Höhe der Kerve angenommen. Zur Berücksichtigung im Rechenmodell ist eine ideelle Biegesteifigkeit ( $E \cdot I$ )\* zu ermitteln.

Höhe der Kerve  $h_n = 25,0$  mm

Verschiebungsmodul gemäß ONR CEN/TS 19103:2022 [5]

$$K_{ser} = K_{ser,h_n=20mm} + \frac{K_{ser,h_n=30mm} - K_{ser,h_n=20mm}}{30,0mm - 20,0mm} \cdot (h_n - 20,0) = 1.000 + \frac{1.500 - 1.000}{30,0 - 20,0} \cdot (25,0 - 20,0) = 1.250 \text{ kN/mm/m}$$

Anmerkung:

Der angeführte Verschiebungsmodul bezieht sich auf eine Kerve in Vollholz bzw. BSH. Für BSP sollte (bis zur genaueren Festlegung auf prüftechnischer Basis) auf Grund der „weichen“, auf Rollschub beanspruchten, Querlage unter der Kerve eine geschätzte Abminderung von rund 25% in Rechnung gestellt werden (siehe auch Loebus [24]).

Bemessungswerte des Verschiebungsmoduls für die HBV-Konstruktion

$$K_{clt,u;t=0} = K_{clt,ser;t=0} \approx 0,75 \cdot K_{ser} \approx 0,75 \cdot 1.250 = 938 \text{ kN/mm/m}$$

$$K_{clt,u,d;t=0} = \frac{K_{clt,u;t=0}}{\gamma_{M,Verb}} = \frac{938}{1,25} = 750 \text{ kN/mm/m}$$

Biegesteifigkeit der Schubkonsole (unter Anwendung des Modells B nach Rautenstrauch [23])

$$(E \cdot I)^*_{Konsole;t=0} = \frac{K_{clt,u,d;t=0}}{3} \cdot (z_{CLT}^3 + z_{conc}^3) = \frac{750 \cdot 10^3}{3} \cdot ((80,0 - 12,5)^3 + ((50,0 - 0,344) + 12,5)^3) = 1,37 \cdot 10^{11} \text{ Nmm}^2/\text{m}$$

mit  $E_{ref} = 10.000 \text{ N/mm}^2$  und Bezug auf einen zylindrischen Querschnitt mit  $I = \frac{d^4 \cdot \pi}{64}$

ideeller Durchmesser der Schubkonsole

$$d^*_{Konsole;t=0} = \sqrt[4]{\frac{64 \cdot (E \cdot I)^*_{Konsole;t=0}}{\pi \cdot E_{ref}}} = \sqrt[4]{\frac{64 \cdot 1,37 \cdot 10^{11}}{\pi \cdot 10.000}} = 129 \text{ mm}$$

Abstand der Schwerpunktsachse BSP - Stahlbetonquerschnitt

$$h_{t;t=0} = \frac{h_{clt}}{2} + \left( \frac{h_{conc}}{2} - \Delta z_{t;t=0} \right) = \frac{160}{2} + \left( \frac{100}{2} - 0,344 \right) = 129,7 \text{ mm}$$

Schnittgrößen und Spannungen zum Zeitpunkt  $t = 0$  (Beton im Zustand I)

Ergebnisse der Berechnung mit dem Stabwerksmodell nach Rautenstrauch für die Einheitsstreckenlast  $q = „1,0“ \text{ kN/m}$  ermittelt mit einem Stabswerksprogramm (Dlubal RStab)

$$\begin{aligned} \rightarrow n_{clt,d; „1,0“} &= -n_{conc,d; „1,0“} = 21,7 \text{ kN/m} & \rightarrow n_{Kerve 1,d; „1,0“} &= 8,04 \text{ kN/m} \\ \rightarrow m_{m,clt,d; „1,0“} &= 1,02 \text{ kNm/m} & \rightarrow n_{Kerve 2,d; „1,0“} &= 15,0 - 8,04 = 6,96 \text{ kN/m} \\ \rightarrow m_{m,conc,d; „1,0“} &= 0,670 \text{ kNm/m} & \rightarrow n_{Kerve 3,d; „1,0“} &= 21,7 - 15,0 = 6,70 \text{ kN/m} \end{aligned}$$

- Ermittlung der Spannungen in den Einzelquerschnitten zum Zeitpunkt  $t = 0$  (Beton im Zustand I) mit der Grundkombination  $q_{Ed,rare} = 8,80 \text{ kN/m}$

$$\rightarrow n_{clt,d} = -n_{conc,d} = 21,7 \cdot 8,80 = 191 \text{ kN/m}$$

$$\rightarrow m_{m,clt,d} = 1,02 \cdot 8,80 = 8,98 \text{ kNm/m}$$

$$\rightarrow m_{m,conc,d} = 0,670 \cdot 8,80 = 5,90 \text{ kNm/m}$$

$$\rightarrow n_{Kerve 1,d} = 8,04 \cdot 8,80 = 70,8 \text{ kN/m}$$

$$\rightarrow n_{Kerve 2,d} = 6,96 \cdot 8,80 = 61,2 \text{ kN/m}$$

$$\rightarrow n_{Kerve 3,d} = 6,70 \cdot 8,80 = 59,0 \text{ kN/m}$$

Ermittlung der Spannungen

Faser $z_i$	$E_{i,d}$	$n_{i,d}$	$A_i$	$\sigma_{i,n}$	$m_{i,d}$	$I_i$	$z_{i,Rand}$	$\sigma_{i,m}$	$\sigma_{i,n} + \sigma_{i,m}$
[mm]	[N/mm²]	[N/m]	[mm²]	[N/mm²]	[Nmm/m]	[mm⁴]	[mm]	[N/mm²]	[N/mm²]
0	22.000	$-191 \cdot 10^3$	$1,01 \cdot 10^5$	-1,89	$5,90 \cdot 10^6$	$8,40 \cdot 10^7$	-50,3	-3,53	-5,42
72,5	173.913		$7,91 / 1,01 \cdot 10^5$	-15,0			+22,2	+12,3	-2,70
100	22.000		$1,01 \cdot 10^5$	-1,89			+49,7	+3,49	+1,60
100	9.200	$191 \cdot 10^3$	$1,20 \cdot 10^5$	+1,59	$8,98 \cdot 10^6$	$3,04 \cdot 10^8$	-80,0	-2,36	-0,770
260	9.200						+80,0	+2,36	+3,95

Abschätzung der Nulllinienlage im Stahlbetonquerschnitt (1. Abschätzung im Zustand I)

$$z_0 = 0 + \frac{100 - 0}{(-5,42) - 1,60} \cdot (0 - 1,60) = 22,8 \text{ mm} \approx 23,0 \text{ mm}$$

### Rissiteration

Anmerkung:

Die exakte Lage der Nulllinie bzw. Risstiefe im Zustand II wurde über ein Tabellenkalkulationsprogramm mittels mehrmaliger Iteration ermittelt. Alternativ kann die Berechnung des Zustandes I ausgelassen und eine 1. Schätzung der Risstiefe mit rund  $h_{conc}/4$  bis  $h_{conc}/3$  erfolgen.

→ aus den Iterationen folgt das Ergebnis:

Lage der Nulllinie im Betonquerschnitt (Risstiefe): →  $z_0 = 29,0 \text{ mm}$  vom unteren Rand des StahlbetonQS

- Querschnittswerte des gerissenen Betonquerschnitts (im Zustand II) zum Zeitpunkt  $t=0$
- wirksame Dehnsteifigkeit des Betonquerschnitts (im Zustand II) zum Zeitpunkt  $t = 0$

$$(E \cdot A)_{ef,conc,II;d,t=0} = E_{conc,d;t=0} \cdot [A_{conc} + n_{s,d} \cdot A_s] = 22.000 \cdot [1.000 \cdot 71,0 + 7,91 \cdot 196] = 22.000 \cdot 7,26 \cdot 10^4 = 1,60 \cdot 10^9 \text{ N}$$

Verschiebung des Betonteilflächenschwerpunktes

$$\Delta z_{II,t=0} = \frac{(E \cdot A)_{s,d} \cdot z_{s,II}}{(E \cdot A)_{ef,conc,II;d,t=0}} = \frac{173.913 \cdot 196 \cdot \left(29,0 + \frac{71,0}{2} - 27,5\right)}{1,60 \cdot 10^9} = 0,788 \text{ mm}$$

Trägheitsmoment des Betonquerschnittes (im Zustand II) (Bezugs E-Modul =  $E_{conc,d; t=0} = 22.000 \text{ N/mm}^2$ )

$$\begin{aligned} I_{ef,conc,II,d;t=0} &= \sum n_i \cdot I_{eig,i} + \sum n_i \cdot A_i \cdot (e_{z,i} - e_{z,s})^2 = \\ &= 1,00 \cdot \frac{1.000 \cdot 71,0^3}{12} + \approx 0 + 1,00 \cdot 1.000 \cdot 71,0 \cdot 0,788^2 + 7,91 \cdot 196 \cdot \left(29,0 + \frac{71,0}{2} - 27,5 - 0,788\right)^2 = 3,19 \cdot 10^7 \text{ mm}^4 \end{aligned}$$

• Ermittlung der ideellen Biegesteifigkeit einer Schubkonsole

$$\rightarrow (E \cdot I)_{Konsole; t=0}^* = 1,88 \cdot 10^{11} \text{ Nmm}^2/\text{m} \mid d^*_{Konsole; t=0} = 140 \text{ mm} \mid h_{II; t=0} = 143,7 \text{ mm}$$

**Ermittlung der Spannungen im Beton (im Zustand II) und im BSP**

- Ergebnisse der Berechnung mit dem Stabwerksmodell nach Rautenstrauch für die Einheitsstreckenlast  $q = „1,0“ \text{ kN/m}$  ermittelt mit einem Stabswerkspogramm (Dlubal RStab)

$$\begin{aligned} \rightarrow n_{\text{clt},d;“1,0“} &= -n_{\text{conc},d;“1,0“} = 21,7 \text{ kN/m} & \rightarrow n_{\text{Kerve } 1,d;“1,0“} &= 8,01 \text{ kN/m} \\ \rightarrow m_{m,\text{clt},d;“1,0“} &= 1,11 \text{ kNm/m} & \rightarrow n_{\text{Kerve } 2,d;“1,0“} &= 15,0 - 8,01 = 6,99 \text{ kN/m} \\ \rightarrow m_{m,\text{conc},d;“1,0“} &= 0,277 \text{ kNm/m} & \rightarrow n_{\text{Kerve } 3,d;“1,0“} &= 21,7 - 15,0 = 6,70 \text{ kN/m} \end{aligned}$$

Ermittlung der Spannungen zum Zeitpunkt  $t = 0$  (Beton im Zustand II) für die seltene Einwirkungskombination

$q_{\text{Ed,rare}} = 8,80 \text{ kN/m} \rightarrow$  zur Kontrolle der Risstiefe

$$\begin{aligned} \rightarrow n_{\text{clt},d} &= -n_{\text{conc},d} = 21,7 \cdot 8,80 = 191 \text{ kN/m} & \rightarrow n_{\text{Kerve } 1,d} &= 8,01 \cdot 8,80 = 70,5 \text{ kN/m} \\ \rightarrow m_{m,\text{clt},d} &= 1,11 \cdot 8,80 = 9,77 \text{ kNm/m} & \rightarrow n_{\text{Kerve } 2,d} &= 6,99 \cdot 8,80 = 61,5 \text{ kN/m} \\ \rightarrow m_{m,\text{conc},d} &= 0,277 \cdot 8,80 = 2,44 \text{ kNm/m} & \rightarrow n_{\text{Kerve } 3,d} &= 6,70 \cdot 8,80 = 59,0 \text{ kN/m} \end{aligned}$$

Faser $z_i$	$E_{i,d}$	$n_{i,d}$	$A_i$	$\sigma_{i,n}$	$m_{i,d}$	$I_i$	$z_{i,Rand}$	$\sigma_{i,m}$	$\sigma_{i,n} + \sigma_{i,m}$
[mm]	[N/mm²]	[N/m]	[mm²]	[N/mm²]	[Nmm/m]	[mm⁴]	[mm]	[N/mm²]	[N/mm²]
0	22.000	$-191 \cdot 10^3$	$7,26 \cdot 10^4$	- 2,63	$2,44 \cdot 10^6$	$3,19 \cdot 10^7$	- 36,3	- 2,78	- 5,41
71,0	22.000						+34,7	+2,65	+0,02 ≈ 0
72,5	173.913		$7,91 / 7,26 \cdot 10^4$	- 20,8			+36,2	+21,9	+1,10
100	9.200	$191 \cdot 10^3$	$1,20 \cdot 10^5$	+ 1,59	$9,77 \cdot 10^6$	$3,04 \cdot 10^8$	- 80,0	- 2,57	- 0,980
260	9.200						+80,0	+2,57	+4,16

- Ermittlung der Spannungen zum Zeitpunkt  $t = 0$  (Beton im Zustand II) für die quasi-ständige Einwirkungskombination  $q_{\text{Ed,perm}} = 6,35 \text{ kN/m} \rightarrow$  zur Kontrolle der Betonspannung | zur Ermittlung des Systemkriechbeiwertes des Betons  $\psi_{\text{conc}}$

$$\begin{aligned} \rightarrow n_{\text{clt},d} &= -n_{\text{conc},d} = 21,7 \cdot 6,35 = 138 \text{ kN/m} & \rightarrow n_{\text{Kerve } 1,d} &= 8,01 \cdot 6,35 = 50,9 \text{ kN/m} \\ \rightarrow m_{m,\text{clt},d} &= 1,11 \cdot 6,35 = 7,05 \text{ kNm/m} & \rightarrow n_{\text{Kerve } 2,d} &= 6,99 \cdot 6,35 = 44,4 \text{ kN/m} \\ \rightarrow m_{m,\text{conc},d} &= 0,277 \cdot 6,35 = 1,76 \text{ kNm/m} & \rightarrow n_{\text{Kerve } 3,d} &= 6,70 \cdot 6,35 = 42,5 \text{ kN/m} \end{aligned}$$

Druckspannung des Betons am oberen Rand

$$|\sigma_{c,perm}| = \frac{|-n_{\text{conc}}|}{A_{\text{conc},II}} + \frac{m_{\text{conc}}}{I_{\text{conc},II}} \cdot z_{\text{conc},rand} = \frac{|-138 \cdot 10^3|}{7,26 \cdot 10^4} + \frac{1,76 \cdot 10^6}{3,19 \cdot 10^7} \cdot \left( \frac{71,0}{2} + 0,788 \right) = 1,90 + 2,00 = 3,90 \text{ N/mm}^2$$

Kontrolle des linearen Kriechverhaltens des Betons lt. ÖNORM EN 1992-1-1 [6]

$$\bullet \text{ seltene LFK: } |\sigma_{c,rare}| = 5,41 \text{ N/mm}^2 < 0,60 \cdot f_{ck} = 0,60 \cdot 30,0 = 18,0 \text{ N/mm}^2$$

$$\bullet \text{ quasi-ständige LFK: } |\sigma_{c,perm}| = 3,90 \text{ N/mm}^2 < 0,45 \cdot f_{ck} = 0,45 \cdot 30,0 = 13,5 \text{ N/mm}^2$$

→ es tritt lineares Kriechen im Beton auf

- Ermittlung der Spannungen zum Zeitpunkt  $t = 0$  (Beton im Zustand II) für die Grundkombination mit  $q_d = 12,4 \text{ kN/m} \rightarrow$  maximale Beanspruchung

$$\rightarrow n_{clt,d} = -n_{conc,d} = 21,7 \cdot 12,4 = 269 \text{ kN/m} \quad \rightarrow n_{Kerve\ 1,d} = 8,01 \cdot 12,4 = 99,3 \text{ kN/m}$$

$$\rightarrow m_{m,clt,d} = 1,11 \cdot 12,4 = 13,8 \text{ kNm/m} \quad \rightarrow n_{Kerve\ 2,d} = 6,99 \cdot 12,4 = 86,7 \text{ kN/m}$$

$$\rightarrow m_{m,conc,d} = 0,277 \cdot 12,4 = 3,43 \text{ kNm/m} \quad \rightarrow n_{Kerve\ 3,d} = 6,70 \cdot 12,4 = 83,1 \text{ kN/m}$$

Faser $z_i$	$E_{i,d}$	$n_{i,d}$	$A_i$	$\sigma_{i,n}$	$m_{i,d}$	$I_i$	$z_{i,Rand}$	$\sigma_{i,m}$	$\sigma_{i,n} + \sigma_{i,m}$
[mm]	[N/mm <sup>2</sup> ]	[N/m]	[mm <sup>2</sup> ]	[N/mm <sup>2</sup> ]	[Nmm/m]	[mm <sup>4</sup> ]	[mm]	[N/mm <sup>2</sup> ]	[N/mm <sup>2</sup> ]
0	22.000	$-269 \cdot 10^3$	$7,26 \cdot 10^4$	- 3,71	$3,43 \cdot 10^6$	$3,19 \cdot 10^7$	- 36,3	- 3,90	- 7,61
71,0	22.000						+34,7	+3,73	+0,02 ≈ 0
72,5	173.913		$7,91 / 7,26 \cdot 10^4$	- 29,3			+36,2	+30,8	+1,50
100	9.200		$1,20 \cdot 10^5$	+2,24			- 80,0	- 3,63	- 1,39
260	9.200		$269 \cdot 10^3$				+80,0	+3,63	+5,87

- Ermittlung der Spannungen zum Zeitpunkt  $t = 0$  (Beton im Zustand II) für die quasi-ständige Beanspruchungssituation  $q_{q-st,d} = 8,73 \text{ kN/m}$

$$\rightarrow n_{clt,d} = -n_{conc,d} = 21,7 \cdot 8,73 = 189 \text{ kN/m} \quad \rightarrow n_{Kerve\ 1,d} = 8,01 \cdot 8,73 = 69,9 \text{ kN/m}$$

$$\rightarrow m_{m,clt,d} = 1,11 \cdot 8,73 = 9,69 \text{ kNm/m} \quad \rightarrow n_{Kerve\ 2,d} = 6,99 \cdot 8,73 = 61,0 \text{ kN/m}$$

$$\rightarrow m_{m,conc,d} = 0,277 \cdot 8,73 = 2,42 \text{ kNm/m} \quad \rightarrow n_{Kerve\ 3,d} = 6,70 \cdot 8,73 = 58,5 \text{ kN/m}$$

Faser $z_i$	$E_{i,d}$	$n_{i,d}$	$A_i$	$\sigma_{i,n}$	$m_{i,d}$	$I_i$	$z_{i,Rand}$	$\sigma_{i,m}$	$\sigma_{i,n} + \sigma_{i,m}$
[mm]	[N/mm <sup>2</sup> ]	[N/m]	[mm <sup>2</sup> ]	[N/mm <sup>2</sup> ]	[Nmm/m]	[mm <sup>4</sup> ]	[mm]	[N/mm <sup>2</sup> ]	[N/mm <sup>2</sup> ]
0	22.000	$-189 \cdot 10^3$	$7,26 \cdot 10^4$	- 2,60	$2,42 \cdot 10^6$	$3,19 \cdot 10^7$	- 36,3	- 2,75	- 5,35
71,0	22.000						+34,7	+2,63	+0,03 ≈ 0
72,5	173.913		$7,91 / 7,26 \cdot 10^4$	- 20,6			+36,2	+21,7	+1,10
100	9.200		$1,20 \cdot 10^5$	+1,58			- 80,0	- 2,55	- 0,970
260	9.200		$189 \cdot 10^3$				+80,0	+2,55	+4,13

- Ermittlung der Spannungen zum Zeitpunkt  $t = 0$  (Beton im Zustand II) für den kurzzeitig wirkenden Einwirkungsanteil  $q_{short,d} = 3,68 \text{ kN/m}$

$$\rightarrow n_{clt,d} = -n_{conc,d} = 21,7 \cdot 3,68 = 79,9 \text{ kN/m} \quad \rightarrow n_{Kerve\ 1,d} = 8,01 \cdot 3,68 = 29,5 \text{ kN/m}$$

$$\rightarrow m_{m,clt,d} = 1,11 \cdot 3,68 = 4,08 \text{ kNm/m} \quad \rightarrow n_{Kerve\ 2,d} = 6,99 \cdot 3,68 = 25,7 \text{ kN/m}$$

$$\rightarrow m_{m,conc,d} = 0,277 \cdot 3,68 = 1,02 \text{ kNm/m} \quad \rightarrow n_{Kerve\ 3,d} = 6,70 \cdot 3,68 = 24,7 \text{ kN/m}$$

Faser $z_i$	$E_{i,d}$	$n_{i,d}$	$A_i$	$\sigma_{i,n}$	$m_{i,d}$	$I_i$	$z_{i,Rand}$	$\sigma_{i,m}$	$\sigma_{i,n} + \sigma_{i,m}$
[mm]	[N/mm <sup>2</sup> ]	[N/m]	[mm <sup>2</sup> ]	[N/mm <sup>2</sup> ]	[Nmm/m]	[mm <sup>4</sup> ]	[mm]	[N/mm <sup>2</sup> ]	[N/mm <sup>2</sup> ]
0	22.000	$-79,9 \cdot 10^3$	$7,26 \cdot 10^4$	- 1,10	$1,02 \cdot 10^6$	$3,19 \cdot 10^7$	- 36,3	- 1,16	- 2,26
71,0	22.000						+34,7	+1,11	+0,01 ≈ 0
72,5	173.913		$7,91 / 7,26 \cdot 10^4$	- 8,71			+36,2	+9,16	+0,450
100	9.200		$1,20 \cdot 10^5$	+0,666			- 80,0	- 1,07	- 0,404
260	9.200		$79,9 \cdot 10^3$				+80,0	+1,07	+1,74

**Berechnung mit den Endsteifigkeiten (zum Zeitpunkt  $t = \infty$ )**

- Ermittlung des Beiwertes zu Berücksichtigung des Systemkriechverhaltens (siehe [5]; Abschnitt 7.1.2)

$$\gamma_1 = \frac{E_{clt,d;t=0} \cdot A_{clt} \cdot I_{clt} \cdot n_{clt,d;t=0}}{E_{conc,d;t=0} \cdot A_{conc,ef} \cdot (A_{clt} \cdot m_{clt,d;t=0} \cdot z - I_{clt} \cdot n_{clt,d;t=0})} = \frac{9.200 \cdot 1,20 \cdot 10^5 \cdot 3,04 \cdot 10^8 \cdot 138 \cdot 10^3}{22.000 \cdot 7,26 \cdot 10^4 \cdot (1,20 \cdot 10^5 \cdot 7,05 \cdot 10^6 \cdot 143,7 - 3,04 \cdot 10^8 \cdot 138 \cdot 10^3)} = 0,364$$

$$\psi_{conc} = 1,8 - 0,3 \cdot \gamma_1^{2,5} = 1,8 - 0,3 \cdot 0,364^{2,5} = 1,78$$

- E-Moduln und Verschiebungsmodul zum Zeitpunkt  $t = \infty$

	<b>BSP</b>	<b>Beton</b>	<b>Kerbe</b>	<b>Betonstahl</b>
$t = 0$	$E_{clt,0,mean,d;t=0} = 9.200 \text{ N/mm}^2$	$E_{conc,d;t=0} = 22.000 \text{ N/mm}^2$	$K_{u,d;t=0} = K_{ser,d;t=0} = 750 \text{ kNm/m}$	$E_s = 173.913 \text{ N/mm}^2$
Beiwert System-kriechverhalten	$\psi_{clt} = 1,00$	$\psi_{conc} = 1,78$	$\psi_{con} = 1,00$	-
Beiwert Langzeit-verhalten	$k_{def} = 0,80$	$\varphi_0 = 2,50$	$k_{def}' = 2 \cdot k_{def} = 2 \cdot 0,80 = 1,60$	-
$t = \infty$	$E_{clt,0,mean,d;t=\infty} = \frac{E_{clt,0,mean,d;t=0}}{1 + \psi_{clt} \cdot k_{def}} = \frac{9.200}{1 + 1,00 \cdot 0,80} = 5.111 \text{ N/mm}^2$	$E_{conc,d;t=\infty} = \frac{E_{conc,d;t=0}}{1 + \psi_{conc} \cdot \varphi(\infty, t_0)} = \frac{22.000}{1 + 1,78 \cdot 2,50} = 4.037 \text{ N/mm}^2$	$K_{ser,d;t=\infty} = K_{u,d;t=\infty} = \frac{K_{ser,d;t=0}}{1 + \psi_{con} \cdot k_{def}} = \frac{750}{1 + 1,00 \cdot 1,60} = 288 \text{ kN/mm/m}$	$E_s = 173.913 \text{ N/mm}^2$

- Querschnittswerte des gerissenen Betonquerschnitts (Zustand II) zum Zeitpunkt  $t = \infty$

n-Ziffer

$$n_{s,d;t=\infty} = \frac{E_{s,d}}{E_{conc,d;t=\infty}} = \frac{173.913}{4.037} = 43,1$$

wirksame Dehnsteifigkeit des Betonquerschnitts (im Zustand II) zum Zeitpunkt  $t = \infty$

$$(E \cdot A)_{ef,conc,d;t=\infty} = E_{conc,d;t=\infty} \cdot [A_{conc} + n_{s,d;t=\infty} \cdot A_s] = 4.037 \cdot [1.000 \cdot 71,0 + 43,1 \cdot 196] = 4.037 \cdot 7,94 \cdot 10^4 = 3,21 \cdot 10^8 \text{ N}$$

Verschiebung des Betonteilflächenschwerpunktes (im Zustand II)

$$\Delta z_{II;t=\infty} = \frac{(E \cdot A)_{s,d} \cdot z_s}{(E \cdot A)_{ef,conc,II,d;t=\infty}} = \frac{173.913 \cdot 196 \cdot \left(29,0 + \frac{71,0}{2} - 27,5\right)}{3,21 \cdot 10^8} = 3,93 \text{ mm}$$

Trägheitsmoment des Betonquerschnittes (im Zustand II) (Bezugs E-Modul =  $E_{conc,d;t=\infty} = 4.037 \text{ N/mm}^2$ )

$$\begin{aligned} I_{ef,conc,II,d;t=\infty} &= \sum n_i \cdot I_{eig,i} + \sum n_i \cdot A_i \cdot (e_{z,i} - e_{z,s})^2 = \\ &= 1,00 \cdot \frac{1.000 \cdot 71,0^3}{12} + \approx 0 + 1,00 \cdot 1.000 \cdot 71,0 \cdot 3,93^2 + 43,1 \cdot 196 \cdot \left(29,0 + \frac{71,0}{2} - 27,5 - 3,93\right)^2 = 4,02 \cdot 10^7 \text{ mm}^4 \end{aligned}$$

- Ermittlung der ideellen Biegesteifigkeit einer Schubkonsole

$$\rightarrow (E \cdot I)_{Konsole; t=\infty}^* = 6,70 \cdot 10^{10} \text{ Nmm}^2/\text{m} \mid d^*_{Konsole; t=\infty} = 108 \text{ mm} \mid h_{II; t=\infty} = 140,6 \text{ mm}$$

- Ergebnisse der Berechnung zum Zeitpunkt  $t = \infty$  mit dem Stabwerksmodell nach Rautenstrauch für die Einheitsstreckenlast  $q = „1,0“ \text{ kN/m}$  ermittelt mit einem Stabswerksprogramm (Dlubal RStab)

$$\rightarrow n_{clt,d;fin, „1,0“} = -n_{conc,d;fin, „1,0“} = 19,6 \text{ kN/m} \quad \rightarrow n_{Kerve 1,d;fin, „1,0“} = 7,21 \text{ kN/m}$$

$$\rightarrow m_{m,clt,d;fin, „1,0“} = 1,58 \text{ kNm/m}$$

$$\rightarrow m_{m,conc,d;fin, „1,0“} = 0,164 \text{ kNm/m}$$

$$\rightarrow n_{Kerve 2,d;fin, „1,0“} = 13,6 - 7,21 = 6,39 \text{ kN/m}$$

$$\rightarrow n_{Kerve 3,d;fin, „1,0“} = 19,6 - 13,6 = 6,00 \text{ kN/m}$$

- Ermittlung der Spannungen zum Zeitpunkt  $t = \infty$  (mit Rissiteration) für die quasi-ständige Einwirkungskombination  $q_{q-st,d} = 8,73 \text{ kN/m}$

$$\rightarrow n_{clt,d} = -n_{conc,d} = 19,6 \cdot 8,73 = 171 \text{ kN/m} \quad \rightarrow n_{Kerve\ 1,d} = 7,21 \cdot 8,73 = 62,9 \text{ kN/m}$$

$$\rightarrow m_{m,CLT,d} = 1,58 \cdot 8,73 = 13,8 \text{ kNm/m} \quad \rightarrow n_{Kerve\ 2,d} = 6,39 \cdot 8,73 = 55,8 \text{ kN/m}$$

$$\rightarrow m_{m,conc,d} = 0,164 \cdot 8,73 = 1,43 \text{ kNm/m} \quad \rightarrow n_{Kerve\ 3,d} = 6,00 \cdot 8,73 = 52,4 \text{ kN/m}$$

Faser $z_i$	$E_{i,d}$	$n_{i,d}$	$A_i$	$\sigma_{i,n}$	$m_{i,d}$	$I_i$	$z_{i,Rand}$	$\sigma_{i,m}$	$\sigma_{i,n} + \sigma_{i,m}$
[mm]	[N/mm²]	[N/m]	[mm²]	[N/mm²]	[Nmm/m]	[mm⁴]	[mm]	[N/mm²]	[N/mm²]
0	4.037	$-171 \cdot 10^3$	$7,94 \cdot 10^4$	- 2,15	$1,43 \cdot 10^6$	$4,02 \cdot 10^7$	- 39,4	- 1,40	- 3,55
71,0	4.037						+31,6	+1,12	- 1,03
72,5	173.913		$43,1 / 7,94 \cdot 10^4$	- 92,8			+33,1	+50,7	- 42,1
100	5.111		$1,20 \cdot 10^5$	+1,43	$13,8 \cdot 10^6$	$3,04 \cdot 10^8$	- 80,0	- 3,63	- 2,20
260	5.111						+80,0	+3,63	+5,06

- unelastische Verzerrungen (Schwinden)

Bemessungswert der effektiven Schwindverformung

$$\varepsilon_{ef,conc,d}(t = \infty) = 0,9 \cdot \varepsilon_{conc,d} = 0,9 \cdot 0,405 = 0,365 \%$$

Schnittgrößen und Spannungen

$$\rightarrow n_{clt,d; SH} = -n_{conc,d; SH} = - 22,3 \text{ kN/m} \quad \rightarrow n_{Kerve\ 1,d; SH} = - 16,9 \text{ kN/m}$$

$$\rightarrow m_{m,clt,d; SH} = 2,84 \text{ kNm/m} \quad \rightarrow n_{Kerve\ 2,d; SH} = - 21,2 - (- 16,9) = - 4,30 \text{ kN/m}$$

$$\rightarrow m_{m,conc,d; SH} = 0,296 \text{ kNm/m} \quad \rightarrow n_{Kerve\ 3,d; SH} = - 22,3 - (- 21,2) = - 1,10 \text{ kN/m}$$

Faser $e_{zi}$	$E_i$	$N_d$	$A_i$	$\sigma_N$	$M_d$	$I$	$z_i$	$\sigma_M$	$\sigma_N + \sigma_M$
[mm]	[N/mm²]	[N]	[mm²]	[N/mm²]	[Nmm]	[mm⁴]	[mm]	[N/mm²]	[N/mm²]
0	4.037	$+22,3 \cdot 10^3$	$7,94 \cdot 10^4$	+ 0,281	$0,296 \cdot 10^6$	$4,02 \cdot 10^7$	- 39,4	- 0,290	- 0,0815
71,0	4.037						+ 31,6	+ 0,233	+ 0,514
72,5	173.913		$43,1 / 7,94 \cdot 10^4$	+ 12,1			+ 33,1	+ 10,5	+ 22,6
100	5.111		$-22,3 \cdot 10^3$	$-0,186$	$2,84 \cdot 10^6$	$3,04 \cdot 10^8$	- 80,0	- 0,747	- 0,933
260	5.111						+ 80,0	+ 0,747	+ 0,561

### Kräfte und Spannungen nach 3 bis 7 Jahren (siehe auch [22])

Anmerkung:

Die Baustoffe Holz und Beton weisen, sowohl was die Quantität, als auch den zeitlichen Verlauf betrifft, unterschiedliches Kriechverhalten auf. Auf das Verbundverhalten der Konstruktion bezogen liegen komplexe Verhältnisse vor, die von mehreren Parametern beeinflusst werden. Neben dem zeitlichen Verhalten des Holzes (Schwinden, Kriechen) und der Verbindung betrifft dies vor allem das Verhalten des Betons, auf welches nachfolgend eingegangen wird:

Der Beton härtet mit der Zeit nach, weiters nehmen die Kriechverformungen bei einem späteren Belastungsbeginn ab. Der Beton entwickelt die Kriechverformungen dabei deutlich rascher (mit einem Maximum nach 3 bis 7 Jahren) als das Holz, sodass kritische bzw. bemessungsrelevante Zwischenzustände in der HBV-Konstruktion entstehen können. Im Bereich des Zeitraumes zwischen 3 und 7 Jahren kriecht der Beton in Relation zum Holz rascher und „entzieht“ sich damit der Belastung. Im Zuge dessen kommt es zu einer Umlagerung der Beanspruchung bzw. der Spannungen auf das Holz, welches damit stärker beansprucht wird. Gleichzeitig tritt mit der Abnahme der Steifigkeit des Betonquerschnitts eine Verringerung von dessen Beanspruchung auf, welche sowohl in einer Reduktion der auftretenden (Verbund-) Normalkraft, als auch der Biegebeanspruchung des Betons resultiert. Über die Verbundmittel (Kerven) sind die Normalkräfte der beiden Verbundpartner gekoppelt, sodass

auch die Normalkraft im Holzbauteil abnimmt. Die angesprochene Spannungsumlagerung findet daher vorwiegend über die Biegebeanspruchungszunahme des Holzbauteiles statt. Alle weiteren Schnittgrößen sowie die Kraft in den Kernen weisen im Allgemeinen dann ihr Maximum auf, wenn die Steifigkeiten am Höchsten sind, d. h. im Allgemeinen zum Zeitpunkt  $t = 0$ .

Um mögliche ungünstige Beanspruchungen nach einer Zeitspanne von 3 bis 7 Jahren in der Nachweisführung zu berücksichtigen, sind diese, neben jenen zum Zeitpunkt  $t = 0$  und  $t = \infty$ , nachzuweisen. Nach ONR CEN/TS 19103:2022, Abschnitt 7.1.2 [5] darf ein detaillierter Nachweis der Spannungen nach 3 bis 7 Jahren entfallen, wenn die Spannungen im Holz zu den Zeitpunkten  $t = 0$  und  $t = \infty$  infolge der quasi-ständigen Einwirkungskombinationen um 25% erhöht werden und der Grenzzustand der Tragfähigkeit im Holzquerschnitt unter den erhöhten Spannungen weiterhin eingehalten ist.

Überprüfung, ob die Kräfte und Spannungen nach 3 bis 7 Jahren nachzuweisen sind:

- zum Zeitpunkt  $t = 0$
- für die quasi-ständige Einwirkungskombination

$$\eta_{clt,perm,d;t=0} = \frac{\sigma_{clt,t,d;t=0}}{f_{clt,t,0,d}} + \frac{\sigma_{clt,m,d;t=0}}{f_{clt,m,d}} = \frac{1,58}{10,8} + \frac{2,55}{18,4} = 0,146 + 0,139 = 0,285$$

- für den kurzzeitig wirkenden Anteil der Einwirkungskombination

$$\eta_{clt,short,d;t=0} = \frac{\sigma_{clt,t,d;t=0}}{f_{clt,t,0,d}} + \frac{\sigma_{clt,m,d;t=0}}{f_{clt,m,d}} = \frac{0,666}{10,8} + \frac{1,07}{18,4} = 0,0617 + 0,0582 = 0,120$$

- zum Zeitpunkt  $t = \infty$
- für die quasi-ständige Einwirkungskombination

$$\eta_{clt,perm,d;t=\infty} = \frac{\sigma_{clt,t,d;t=\infty}}{f_{clt,t,0,d}} + \frac{\sigma_{clt,m,d;t=\infty}}{f_{clt,m,d}} = \frac{1,43}{10,8} + \frac{3,63}{18,4} = 0,132 + 0,197 = 0,329$$

→ ist der Spannungsnachweis für das BSP bei Erhöhung der Spannungen für die quasi-ständige Einwirkungskombination um 25% weiterhin erfüllt, erübrigts sich der Nachweis zum Zeitpunkt  $t = 3$  und 7 Jahre:

$$t = 0: \quad 1,25 \cdot \eta_{clt,perm,d;t=0} + \eta_{clt,short,d;t=0} = 1,25 \cdot 0,285 + 0,120 = 0,48 < 1,0$$

$$t = \infty: \quad 1,25 \cdot \eta_{clt,perm,d;t=\infty} + \eta_{clt,short,d;t=0} = 1,25 \cdot 0,329 + 0,120 = 0,53 < 1,0$$

→ , d. h. es sind keine zusätzlichen Zeitpunkte zu betrachten.

### Zusammenfassung der Schnittgrößen im Grenzzustand der Tragfähigkeit (ULS)

Spg.	Faser	zum Zeitpunkt $t = 0$				Endwert der Spannungsverteilung gemäß TS/CEN 19103, Absch. 4.2 (2) [5]								
		$q_{d,t=0} = 12,4 \text{ kN/m}$		Summe	aus $q_{short,d;t=0}$		aus $q_{q-st,d;t=\infty}$		aus $\epsilon_{ef,conc,d;t=\infty}$		Summe		Summe $n+m$	
		aus n	aus m		aus n	aus m	aus n	aus m	aus n	aus m	aus n	aus m		
[ - ]	[ mm ]	[ N/mm <sup>2</sup> ]	[ N/mm <sup>2</sup> ]		[ N/mm <sup>2</sup> ]	[ N/mm <sup>2</sup> ]	[ N/mm <sup>2</sup> ]	[ N/mm <sup>2</sup> ]	[ N/mm <sup>2</sup> ]	[ N/mm <sup>2</sup> ]	[ N/mm <sup>2</sup> ]	[ N/mm <sup>2</sup> ]		
$\sigma_{conc,o,d}$	0	- 3,90	- 7,61		- 1,16		- 1,40		- 0,290		- 2,85		- 5,82	
$\sigma_{conc,o,d}$	71,0	+ 3,73	+ 0,02 ≈ 0	+ 1,10	+ 1,11		+ 1,12		+ 0,281		- 2,97		+ 2,46	- 0,510
$\sigma_{s,d}$	72,5	- 29,3	+ 30,8	+ 1,50	- 8,71	+ 9,16	- 92,8	+ 50,7	+ 12,1	+ 10,5	- 89,4	+ 70,4	- 19,0	
$\sigma_{clt,o,d}$	100	- 3,63	- 1,39	+ 0,666	- 1,07	+ 1,43	- 3,63		- 0,747		- 5,45		- 3,54	
$\sigma_{clt,u,d}$	260	+ 3,63	+ 5,87	+ 1,07	+ 3,63		+ 3,63		+ 0,747		+ 5,45		+ 7,36	

### Kräfte in den Kerven

Kerve	<b>Endwert der Spannungsverteilung gemäß TS/CEN 19103, Absch. 4.2 (2) [5]</b>				
	<b><math>q_d; t=0 = 12,4 \text{ kN/m}</math></b>	<b>aus <math>q_{\text{short},d}; t=0</math></b>	<b>aus <math>q_{\text{q-st},d}; t=\infty</math></b>	<b>aus <math>\epsilon_{\text{ef,conc,d}}; t=\infty</math></b>	<b>Summe</b>
	[kN/m]	[kN/m]	[kN/m]	[kN/m]	[kN/m]
$n_{\text{Kerve},1,d}$	99,3	29,5	62,9	- 16,9	75,5
$n_{\text{Kerve},2,d}$	86,7	25,7	55,8	- 4,30	77,2
$n_{\text{Kerve},3,d}$	83,1	24,7	52,4	- 1,10	76,0

### Nachweisführungen im Grenzzustand der Tragfähigkeit (ULS)

- Nachweis der Normalspannungen im BSP und im Beton

- im BSP-Querschnitt

$$\frac{\sigma_{\text{clt,t},0,d}}{f_{\text{clt,t},0,d}} + \frac{\sigma_{\text{clt,m},d}}{f_{\text{clt,m},d}} = \frac{1,91}{10,8} + \frac{5,45}{18,4} = 0,177 + 0,296 = 0,47 < 1$$

- im Betonquerschnitt

$$\frac{\sigma_{\text{conc,c},d}}{f_{\text{conc,c},d}} = \frac{7,61}{20,0} = 0,38 < 1$$

- Nachweis der Verbindung (Kerve)

Druckstrebeneigung

$$\min \Theta = \max \begin{cases} \arctan\left(\frac{0,5 \cdot (h_c + h_n)}{l_n + l_s}\right) \\ \arctan\left(\frac{h_n}{l_n}\right) \end{cases} = \max \begin{cases} \arctan\left(\frac{0,5 \cdot (100 + 25,0)}{200 + 350}\right) = 6,48^\circ \\ \arctan\left(\frac{25,0}{200}\right) = 7,13^\circ \end{cases} = 7,13^\circ$$

$\max \Theta = 45^\circ$

gewählt:  $\Theta = 10,0^\circ$

Versagensmodi der Kerve

(a) Schubversagen des Betons

$$v = 0,6 \cdot \left(1 - \frac{f_{ck}}{250}\right) = 0,6 \cdot \left(1 - \frac{30,0}{250}\right) = 0,528$$

$$f_{\text{conc,vcd}} = \frac{v \cdot f_{\text{conc,cd}}}{\cot \theta + \tan \theta} = \frac{0,528 \cdot 20,0}{\cot(10,0) + \tan(10,0)} = 1,81 \text{ N/mm}^2$$

$$F_{Rd;a} = f_{\text{conc,vcd}} \cdot b_n \cdot l_n = 1,81 \cdot 1.000 \cdot 200 = 362.000 \text{ N} = 362 \text{ kN}$$

(b) Druckversagen Beton

$$F_{Rd;b} = f_{\text{conc,cd}} \cdot b_n \cdot h_n = 20,0 \cdot 1.000 \cdot 25,0 = 500.000 \text{ N} = 500 \text{ kN}$$

(c) Schubversagen BSP

$$l_{v,a,\text{calc}} \leq 8 \cdot h_n = 8 \cdot 25,0 = 200 \text{ mm} < \min l_{v,a} = 350 \text{ mm}$$

$$F_{Rd;c} = k_{cr} \cdot f_{\text{clt,v},d} \cdot b_n \cdot l_{v,a,\text{calc}} = 1,00 \cdot 1,47 \cdot 1.000 \cdot 8 \cdot 25,0 = 294.000 \text{ N} = 294 \text{ kN}$$

(d) Druckversagen Holz

$$F_{Rd,d} = f_{ct,c,0,d} \cdot b_n \cdot h_n = 16,1 \cdot 1.000 \cdot 25,0 = 402.500 \text{ N} = 403 \text{ kN}$$

Zusammenfassung der Tragfähigkeiten für die jeweiligen Versagensmodi

$$F_{Rd} = \min \begin{cases} F_{Rd,a} \\ F_{Rd,b} \\ F_{Rd,c} \\ F_{Rd,d} \end{cases} = \min \begin{cases} 362 \text{ kN} \\ 500 \text{ kN} \\ 294 \text{ kN} \\ 403 \text{ kN} \end{cases} = 294 \text{ kN}$$

Nachweis der Tragfähigkeit der Kerve

$$\frac{F_{v,Ed}}{F_{Rd}} = \frac{99,3}{294} = 0,34 < 1$$

- Nachweis der Abhebesicherung

- Einwirkung

$$F_{v,Ed} = \max n_{Kerve,d} = 99,3 \text{ kN}$$

$$F_{t,Ed} = \max \begin{cases} F_{v,Ed} \cdot \tan \theta \\ 0,1 \cdot F_{v,Ed} \end{cases} = \max \begin{cases} 99,3 \cdot \tan(10,0) = 17,5 \text{ kN} \\ 0,1 \cdot 99,3 = 9,93 \text{ kN} \end{cases} = 17,5 \text{ kN}$$

gewählt: 4 x Ø 8 | 160 mm pro m,  $l_{1,g} = l_{ef} = 80,0 \text{ mm}$

- Tragfähigkeit einer Schraube auf Herausziehen

$$f_{ax,k} = 0,52 \cdot d^{-0,5} \cdot l_{ef}^{-0,1} \cdot p_k^{0,8} = 0,52 \cdot 8,00^{-0,5} \cdot 80,0^{-0,1} \cdot 385^{0,8} = 13,9 \text{ N/mm}^2$$

$$k_d = \min \begin{cases} \frac{d}{8} \\ 1 \end{cases} = \min \begin{cases} \frac{8,00}{8} = 1,00 \\ 1 \end{cases} = 1,00$$

$$F_{ax,d} = \min \begin{cases} \frac{f_{ax,k} \cdot d \cdot l_{ef} \cdot k_d}{1,2 \cdot \cos^2 \alpha + \sin^2 \alpha} \cdot \frac{k_{mod}}{\gamma_{M,Verb}} \\ A_s \cdot \frac{0,9 \cdot f_{u,k}}{\gamma_{M2}} \end{cases} = \min \begin{cases} \frac{13,9 \cdot 8,00 \cdot 80,0 \cdot 1,00}{1,2 \cdot \cos^2 90,0 + \sin^2 90} \cdot \frac{0,80}{1,30} \\ \frac{(0,65 \cdot 8,00)^2 \cdot \pi}{4} \cdot \frac{0,9 \cdot 950}{1,25} \end{cases} = \min \begin{cases} 5,474 \text{ N} \\ 14,526 \text{ N} \end{cases} = 5,47 \text{ kN}$$

$$R_{ax,d} = n \cdot F_{ax,d} = 4 \cdot 5,47 = 21,9 \text{ kN} \quad \text{mit } n_{ef} = n \text{ (Annahme)}$$

Nachweis

$$\frac{F_{ax,d}}{R_{ax,d}} = \frac{17,5}{21,9} = 0,80 < 1$$

- Nachweis der Querkrafttragfähigkeit bzw. der Schubspannungen

Anmerkung:

Das verwendete Stabwerksmodell ist in der angewandten Form nicht in der Lage, die in der Verbundkonstruktion, insbesondere im Bereich des Betonbauteils vor der 1. Kerve, auftretende Querkraft zuverlässig abzubilden. Die Ergebnisse hängen vom Abstand der starren Koppelstäben ab. Auf der konservativen Seite liegend wird die Querkrafttragfähigkeit der Holz-Beton-Verbunddeckenkonstruktion so nachgewiesen, dass die gesamte Querkraft am Auflager von der BSP-Platte abgetragen wird.

Bemessungswert der Einwirkung

$$v_{clt,d} = q_d \cdot \frac{l}{2} = 12,4 \cdot \frac{6,00}{2} = 37,2 \text{ kN/m}$$

statische Momente

- für den Längsschub

$$S_{clt,\tau} = \frac{b}{2} \cdot \left[ t_1 \cdot (h_{CLT} - t_1) + \frac{t_3^2}{4} \right] = \frac{1.000}{2} \cdot \left[ 40,0 \cdot (160 - 40,0) + \frac{40,0^2}{4} \right] = 2,60 \cdot 10^6 \text{ mm}^3$$

- für den Rollschub

$$S_{clt,r} = b \cdot t_1 \cdot \frac{1}{2} \cdot (t_{CLT} - t_1) = 1.000 \cdot 40,0 \cdot \frac{1}{2} \cdot (160 - 40,0) = 2,40 \cdot 10^6 \text{ mm}^3$$

Schubspannung

$$\tau_{clt,d} = \frac{v_{clt,A,d} \cdot S_{clt,\tau}}{I_{clt} \cdot b} = \frac{37,2 \cdot 10^3 \cdot 2,60 \cdot 10^6}{3,04 \cdot 10^8 \cdot 1.000} = 0,318 \text{ N/mm}^2$$

Rollschubspannung

$$\tau_{clt,r,d} = \frac{v_{clt,A,d} \cdot S_{clt,r}}{I_{clt} \cdot b} = \frac{37,2 \cdot 10^3 \cdot 2,40 \cdot 10^6}{3,04 \cdot 10^8 \cdot 1.000} = 0,294 \text{ N/mm}^2$$

Nachweise

Schubspannung

$$\frac{\tau_{clt,d}}{f_{clt,v,d}} = \frac{0,318}{1,47} = 0,22 < 1$$

Rollschubspannung

$$\frac{\tau_{clt,r,d}}{f_{clt,r,d}} = \frac{0,294}{0,640} = 0,46 < 1$$

## NACHWEISE IM GRENZZUSTAND DER GEBRAUCHSTAUGLICHKEIT (SLS)

### Durchbiegung

- Durchbiegungen zum Zeitpunkt  $t = 0$
- Querschnittswerte der Brettsperrholzplatte

$$E_{clt,0,inst} = E_{clt,0,mean} = 11.500 \text{ N/mm}^2$$

$$e_{z,s} = \frac{\sum n_i \cdot A_i \cdot e_{z,i}}{\sum n_i \cdot A_i} = \frac{9,60 \cdot 10^6}{1,20 \cdot 10^5} = 80,0 \text{ mm}$$

$$I_{clt} = \sum n_i \cdot I_{eig,i} + \sum n_i \cdot A_i \cdot (e_{z,i} - e_{z,s})^2 = 1,60 \cdot 10^7 + 2,88 \cdot 10^8 = 3,04 \cdot 10^8 \text{ mm}^4$$

- Querschnittswerte des gerissenen Betonquerschnitts (Zustand II) zum Zeitpunkt  $t = 0$

Baustoffkenngrößen und n-Ziffer

$$E_{conc,inst} = E_{cm} = 33.000 \text{ N/mm}^2 \quad E_s = 200.000 \text{ N/mm}^2 \quad n_{s,inst} = \frac{E_s}{E_{conc,inst}} = \frac{200.000}{33.000} = 6,06$$

wirksame Dehnsteifigkeit des Betonquerschnitts (im Zustand II) zum Zeitpunkt  $t = 0$

$$(E \cdot A)_{ef,conc,inst} = E_{conc,inst} \cdot [A_{conc} + n_{s,inst} \cdot A_s] = 33.000 \cdot [1.000 \cdot 71,0 + 6,06 \cdot 196] = 33.000 \cdot 7,22 \cdot 10^4 = 2,38 \cdot 10^9 \text{ N}$$

Verschiebung des Betonteilflächenschwerpunktes (im Zustand II)

$$\Delta z_{II,inst} = \frac{(E \cdot A)_{s,d} \cdot z_s}{(E \cdot A)_{ef,conc,inst}} = \frac{200.000 \cdot 196 \cdot \left( 29,0 + \frac{71,0}{2} - 27,5 \right)}{2,38 \cdot 10^9} = 0,609 \text{ mm}$$

Trägheitsmoment des Stahlbetonquerschnittes (im Zustand II) (Bezugs E-Modul =  $E_{conc,inst} = 33.000 \text{ N/mm}^2$ )

$$I_{ef,conc,inst} = \sum n_i \cdot I_{eig,i} + \sum n_i \cdot A_i \cdot (e_{z,i} - e_{z,s})^2 = \\ = 1,00 \cdot \frac{1.000 \cdot 71,0^3}{12} + \approx 0 + 1,00 \cdot 1.000 \cdot 71,0 \cdot 0,609^2 + 6,06 \cdot 196 \cdot \left( 29,0 + \frac{71,0}{2} - 27,5 - 0,609 \right)^2 = 3,14 \cdot 10^7 \text{ mm}^4$$

- Ermittlung der ideellen Biegesteifigkeit einer Schubkonsole (mit  $K_{ser} = 938 \text{ kN/mm/m}$ )  
 $\rightarrow (E \cdot I)^*_{Konsole,inst} = 2,36 \cdot 10^{11} \text{ Nmm}^2/\text{m} \mid d^*_{Konsole,inst} = 148 \text{ mm} \mid h_{II,inst} = 143,9 \text{ mm}$

$\rightarrow$  Durchbiegung aus dem Stabwerksprogramm (Dlubal RStab):  $w_{“1,0“,inst} = 0,906 \text{ mm}$

Anfangsdurchbiegung für die seltene (charakteristische) Einwirkungskombination

$$w_{inst} = q_{Ed,rare} \cdot w_{“1,0“} = 8,80 \cdot 0,906 = 7,97 \text{ mm}$$

$$w_{inst,grenz} = \frac{l}{300} = \frac{6.000}{300} = 20,0 \text{ m}$$

Nachweis

$$\frac{w_{inst}}{w_{inst,grenz}} = \frac{7,97}{20,0} = 0,40 < 1$$

- Durchbiegung auf Grund der kurzzeitig wirkenden Nutzlast

$$w_{short,inst} = \sum q_{short,k} \cdot w_{“1,0“} = 2,45 \cdot 0,906 = 2,22 \text{ mm}$$

Einwirkungen und Schnittgrößen des Betons für den quasi-ständigen Lastanteil

$$q_{Ed,perm} = 6,35 \text{ kN/m} \mid n_{clt,Ed,perm,inst} = 21,8 \cdot 6,35 = 138 \text{ kN/m} \mid m_{clt,Ed,perm,inst} = 1,05 \cdot 6,35 = 6,67 \text{ kNm/m}$$

- Durchbiegungen zum Zeitpunkt  $t = \infty$

- Ermittlung des Beiwertes zu Berücksichtigung des Systemkriechverhaltens (siehe [5]; Abschnitt 7.1.2)

$$\gamma_1 = \frac{E_{clt,0,inst} \cdot A_{clt} \cdot I_{clt} \cdot n_{clt,Ed,perm,inst}}{E_{conc,inst} \cdot A_{conc,ef} \cdot (A_{clt} \cdot m_{clt,Ed,perm,inst} \cdot z - I_{clt} \cdot n_{clt,Ed,perm,inst})} = \frac{11.500 \cdot 1,20 \cdot 10^5 \cdot 3,04 \cdot 10^8 \cdot 138 \cdot 10^3}{33.000 \cdot 7,22 \cdot 10^4 \cdot (1,20 \cdot 10^5 \cdot 6,67 \cdot 10^6 \cdot 143,9 - 3,04 \cdot 10^8 \cdot 138 \cdot 10^3)} = 0,332$$

$$\psi_{conc} = 1,8 - 0,3 \cdot \gamma_1^{2,5} = 1,8 - 0,3 \cdot 0,332^{2,5} = 1,78$$

E-Moduln und Verschiebungsmoduln zum Zeitpunkt  $t = \infty$

	<b>BSP</b>	<b>Beton</b>	<b>Kerve</b>	<b>Betonstahl</b>
$t = 0$	$E_{clt,0,inst} = 11.500 \text{ N/mm}^2$	$E_{conc,inst} = 33.000 \text{ N/mm}^2$	$K_{ser} = 938 \text{ kNm/m}$	$E_s = 200.000 \text{ N/mm}^2$
Beiwert System-kriechverhalten	$\psi_{CLT} = 1,00$	$\psi_{conc} = 1,78$	$\psi_{con} = 1,00$	-
Beiwert Langzeitverhalten	$k_{def} = 0,80$	$\varphi = 2,50$	$k_{def}' = 2 \cdot k_{def} = 2 \cdot 0,80 = 1,60$	-
$t = \infty$	$E_{clt,0,fin} = \frac{E_{clt,0,inst}}{1 + \psi_{CLT} \cdot k_{def}} = \frac{11.500}{1 + 1,00 \cdot 0,80} = 6.389 \text{ N/mm}^2$	$E_{conc,fin} = \frac{E_{conc,inst}}{1 + \psi_{conc} \cdot \varphi(\infty, t_0)} = \frac{33.000}{1 + 1,78 \cdot 2,50} = 6.055 \text{ N/mm}^2$	$K_{ser,fin} = \frac{K_{ser,inst}}{1 + \psi_{con} \cdot k_{def}'} = \frac{938}{1 + 1,00 \cdot 1,60} = 361 \text{ kN/mm/m}$	$E_s = 200.000 \text{ N/mm}^2$

- Querschnittswerte des gerissenen Stahlbetonquerschnitts (Zustand II) zum Zeitpunkt  $t = \infty$
- n-Ziffer

$$n_{s,fin} = \frac{E_s}{E_{conc,fin}} = \frac{200.000}{6.055} = 33,0$$

wirksame Dehnsteifigkeit des Betonquerschnitts (im Zustand II) zum Zeitpunkt  $t = \infty$

$$(E \cdot A)_{ef,conc,fin} = E_{conc,fin} \cdot [A_{conc} + n_{s,fin} \cdot A_s] = 6.055 \cdot [1.000 \cdot 71,0 + 33,0 \cdot 196] = 6.055 \cdot 7.75 \cdot 10^4 = 4,69 \cdot 10^8 \text{ N}$$

Verschiebung des Betonteilflächenschwerpunktes (im Zustand II)

$$\Delta z_{II,fin} = \frac{(E \cdot A)_{s,d} \cdot z_s}{(E \cdot A)_{ef,conc,fin}} = \frac{200.000 \cdot 196 \cdot \left( 29,0 + \frac{71,0}{2} - 27,5 \right)}{4,69 \cdot 10^8} = 3,09 \text{ mm}$$

Trägheitsmoment des Stahlbetonquerschnittes (im Zustand II) (Bezugs E-Modul =  $E_{conc,fin} = 6.055 \text{ N/mm}^2$ )

$$\begin{aligned} I_{ef,conc,fin} &= \sum n_i \cdot I_{eig,i} + \sum n_i \cdot A_i \cdot (e_{z,i} - e_{z,s})^2 = \\ &= 1,00 \cdot \frac{1.000 \cdot 71,0^3}{12} + \approx 0 + 1,00 \cdot 1.000 \cdot 71,0 \cdot 3,09^2 + 33,0 \cdot 196 \cdot \left( 29,0 + \frac{71,0}{2} - 27,5 - 3,09 \right)^2 = 3,79 \cdot 10^7 \text{ mm}^4 \end{aligned}$$

- Ermittlung der ideellen Biegesteifigkeit einer Schubkonsole
- $\rightarrow (E \cdot I)^*_{Konsole,fin} = 8,56 \cdot 10^{10} \text{ Nmm}^2/\text{m} \mid d^*_{Konsole,fin} = 115 \text{ mm} \mid h_{II,fin} = 141,4 \text{ mm}$
- $\rightarrow$  Durchbiegung aus dem Stabwerksprogramm:  $w_{1,0,fin} = 2,45 \text{ mm}$
- Durchbiegung auf Grund des quasi-ständigen Einwirkungsanteils

$$w_{perm,fin} = q_{perm,k} \cdot w_{1,0,fin} = 6,35 \cdot 2,45 = 15,6 \text{ mm}$$

- Durchbiegung auf Grund des Betonschwindens (zum Zeitpunkt  $t = \infty$ )

$$\begin{aligned} \varepsilon_{ef,conc}(t = \infty) &= 0,9 \cdot \varepsilon_{conc} = 0,9 \cdot (-0,300) = -0,270 \% \\ \rightarrow w_{SH,fin} &= 6,01 \text{ mm} \end{aligned}$$

- Summe der Durchbiegungen für den Nachweis gemäß ONR CEN/TS 19103:2022 [5]

$$w_{net,fin} = w_{short,inst} + w_{perm,fin} + w_{SH,fin} - w_c = 2,22 + 15,6 + 6,01 - 0 = 23,8 \text{ mm}$$

Grenzwert der Enddurchbiegung

$$w_{\text{net,fin,grenz}} = \frac{l}{250} = \frac{6.000}{250} = 24,0 \text{ mm}$$

Nachweis

$$\frac{w_{\text{net,fin}}}{w_{\text{net,fin,grenz}}} = \frac{23,8}{24,0} = 0,99 < 1$$

### Schwingungsnachweis

#### Steifigkeiten

- in Längsrichtung

Rückrechnung der effektiven Steifigkeit in Deckenlängsrichtung aus der Durchbiegungsberechnung zum Zeitpunkt  $t = 0$

$$\text{mit } w = \frac{5}{384} \cdot \frac{q \cdot l^4}{(E \cdot I)_x}$$

→ aus der Stabwerksberechnung mit einer Einheitsgleichlast in Feldmitte:  $w_m, "1,0" = 0,906 \text{ mm}$

$$\rightarrow (E \cdot I)_{\text{ef,WCC,l}} = \frac{5}{384} \cdot \frac{"1,0" \cdot l^4}{w_m, "1,0"} = \frac{5}{384} \cdot \frac{"1,0" \cdot 6.000^4}{0,906} = 1,86 \cdot 10^{13} \text{ Nmm}^2 = 1,86 \cdot 10^7 \text{ Nm}^2$$

Estrich

$$(E \cdot I)_{\text{screed}} = E_{\text{screed}} \cdot \frac{b \cdot h^3}{12} = 25.000 \cdot \frac{1.000 \cdot 65,0^3}{12} = 5,72 \cdot 10^{11} \text{ Nmm}^2 = 5,72 \cdot 10^5 \text{ Nm}^2$$

Summe der Steifigkeiten in Längsrichtung

$$(E \cdot I)_{\text{ef,l}} = (E \cdot I)_{\text{ef,WCC,l}} + (E \cdot I)_{\text{screed}} = 1,86 \cdot 10^7 + 5,72 \cdot 10^5 = 1,92 \cdot 10^7 \text{ Nm}^2$$

- in Querrichtung

$$(E \cdot I)_{\text{ef,clt,b}} = E_{\text{clt,0,inst}} \cdot b \cdot \left[ 2 \cdot \frac{t_y^3}{12} + 2 \cdot t_y \cdot e_{z,i}^2 \right] = 11.500 \cdot 1.000 \cdot \left[ 2 \cdot \frac{20,0^3}{12} + 2 \cdot 20,0 \cdot 30,0^2 \right] = 4,29 \cdot 10^{11} \text{ Nmm}^2 = 4,29 \cdot 10^5 \text{ Nm}^2$$

$$(E \cdot I)_{\text{ef,conc,y}} \approx E_{\text{conc,inst}} \cdot \frac{b \cdot h^3}{12} \approx 33.000 \cdot \frac{1.000 \cdot 71,0^3}{12} \approx 9,84 \cdot 10^{11} \text{ Nmm}^2 \approx 9,84 \cdot 10^5 \text{ Nm}^2$$

$$(E \cdot I)_{\text{ef,b}} = (E \cdot I)_{\text{ef,clt,b}} + (E \cdot I)_{\text{conc,y}} + (E \cdot I)_{\text{screed}} = 4,29 \cdot 10^5 + 9,84 \cdot 10^5 + 5,72 \cdot 10^5 = 1,99 \cdot 10^6 \text{ Nm}^2$$

### Berechnung der 1. Eigenfrequenz

angenommene Breite des Deckenfeldes:  $b = 10,0 \text{ m}$

$$\begin{aligned} f_1 &= \frac{\pi}{2 \cdot l^2} \cdot \sqrt{\frac{(E \cdot I)_l}{m}} \cdot \sqrt{1 + \left(\frac{l}{b}\right)^4 \cdot \frac{(E \cdot I)_b}{(E \cdot I)_l}} = \\ &= \frac{\pi}{2 \cdot 6,00^2} \cdot \sqrt{\frac{1,92 \cdot 10^7}{530}} \cdot \sqrt{1 + \left(\frac{6,00}{10,0}\right)^4 \cdot \frac{1,99 \cdot 10^6}{1,92 \cdot 10^7}} = 8,30 \cdot 1,01 = 8,38 \text{ Hz} > \begin{cases} f_{1,\min} = 4,50 \text{ Hz} \\ f_{1,\text{grenz}} = 8,00 \text{ Hz} \end{cases} \end{aligned}$$

→ es ist das „Steifigkeitskriterium“ nachzuweisen

### **Steifigkeitskriterium**

Berechnung der Durchbiegung auf Grund einer Einheitseinzellast  $F = „1,0“ \text{ kN}$  in Feldmitte mit Hilfe eines Stabwerksprogrammes

$$\rightarrow w_{\text{stat}} = 0,25 \text{ mm} = w_{\text{stat,I,grenz}} = 0,25 \text{ mm}$$

### **Zusammenfassung**

Die HBV-Decke erfüllt hinsichtlich des Schwingungsverhaltens die Anforderungen an die Deckenklasse I gemäß ÖNORM B 1995-1-1:2019 [2].

### **Rissbreitennachweis**

Der Rissbreitennachweis wird über die Anordnung der Mindestbewehrung erbracht. Diese beträgt gemäß ONR CEN/TS 19103:2022-04-01, Tab. 9.1 [5] für einen Beton der Festigkeitsklasse C 30/37 und der Dicke der bewehrten Betonplatte  $h_{\text{conc}} = 10 \text{ cm}$   **$a_{\text{req}} = 1,16 \text{ cm}^2/\text{m}$** .

Die angeordnete Betonstahlmatte weisst eine Bewehrungsfläche von

$$a_{\text{prov}} = 1,96 \text{ cm}^2/\text{m} > a_{\text{req}} = 1,16 \text{ cm}^2/\text{m}$$

auf. Somit ist der Rissbreitennachweis erbracht.



**KAPITEL IX**  
**HOLZBAUSYSTEME**

---

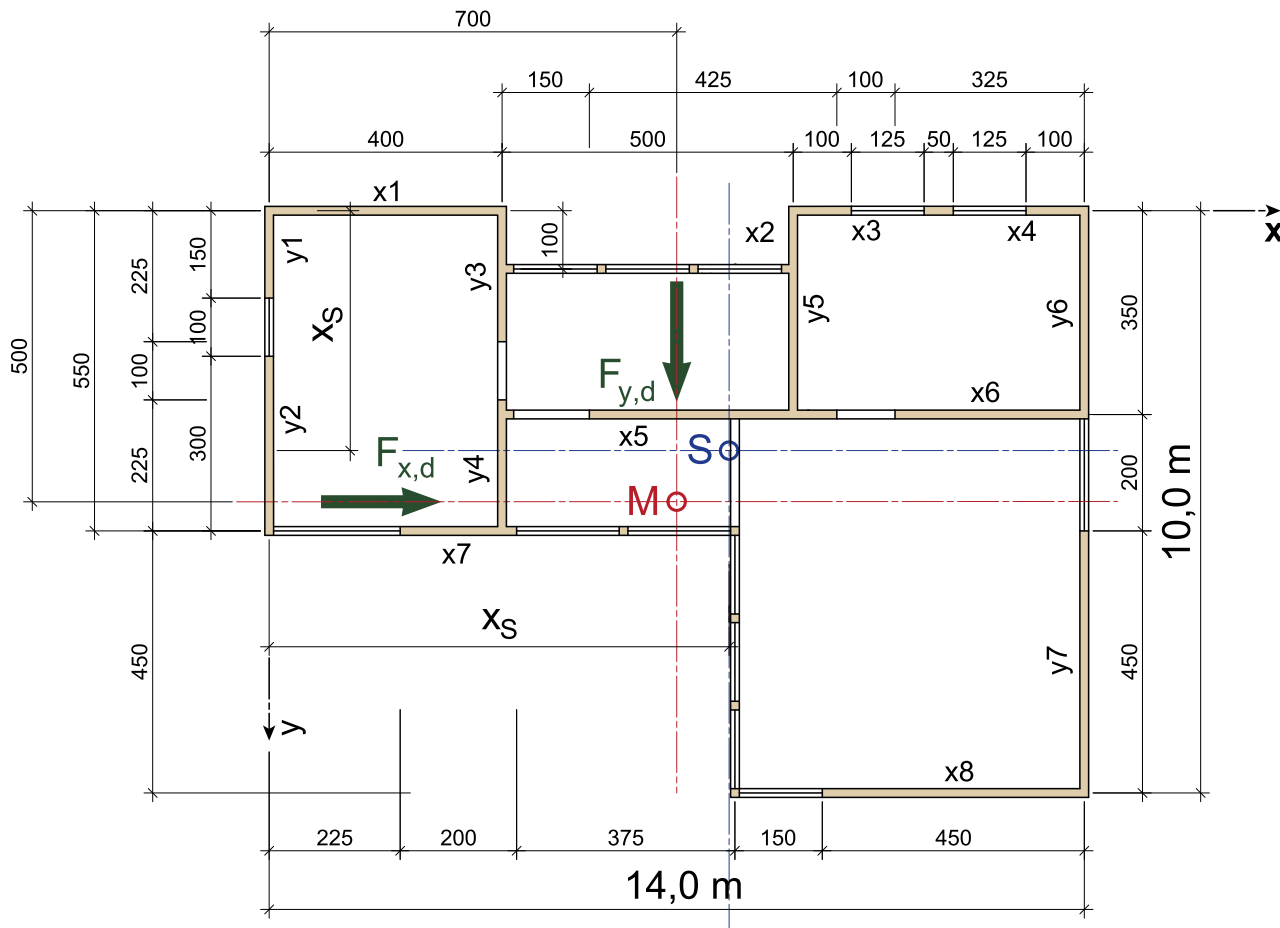
IX.1 Aussteifungsberechnung

IX.3 - IX.25

IX.2 Halle

IX.26 - IX.57

## IX.1 AUSSTEIFUNGSBERECHNUNG



**gegeben:**

Grundriss eines dreigeschossigen ( $h = 10,75 \text{ m}$ ) Gebäudes mit Attika laut Skizze

**gesucht:**

Beanspruchung der Schubscheiben und exemplarische Nachweisführung bei einer Windeinwirkung für:

Variante A: Holzleichtbauwände

Variante B: Wände aus Brettsperrholz

### Einwirkung aus Wind gemäß ÖNORM EN 1991-1-4:2011 [11] und ÖNORM B 1991-1-4:2019 [12]

Standort:

Wels

Basisgeschwindigkeitsdruck:

$$q_{b,0} = 0,42 \text{ kN/m}^2$$

Geländekategorie:

III

Spitzengeschwindigkeitsdruck:

$$q_p(z_e) = q_{b,0} \cdot 1,75 \cdot \left(\frac{z}{10}\right)^{0,29} = 0,42 \cdot 1,75 \cdot \left(\frac{10,75}{10}\right)^{0,29} = 0,751 \text{ kN/m}^2$$

mit  $z = 10,75 \text{ m} > z_{\min} = 10,0 \text{ m}$

Außendruckbeiwerte (vereinfacht):

Bereich D (Druck):

$$c_{pe,D} = +0,80$$

Bereich E (Sog):

$$c_{pe,E} = -0,40$$

Der Bemessungswert der Windkraft berechnet sich zu

$$W_k = w_k \cdot (c_{pe,D} - c_{pe,E}) \cdot A_{ref} = 0,751 \cdot (0,80 - (-0,40)) \cdot A_{ref} = 0,901 \cdot A_{ref}$$

Windlasten auf die jeweilige Deckenscheibe in x- und y-Richtung

	Windlast in x - Richtung		Windlast in y - Richtung	
	A <sub>ref</sub> [m <sup>2</sup> ]	W <sub>x,d</sub> [kN]	A <sub>ref</sub> [m <sup>2</sup> ]	W <sub>y,d</sub> [kN]
Deckenscheibe 1	10,0 · (1,0 + 1,55) = 25,5	23,0	14,0 · (1,0 + 1,55) = 35,7	32,2
Deckenscheibe 2	10,0 · (1,0 + 3,10 + 1,55) = 56,5	50,9	14,0 · (1,0 + 3,10 + 1,55) = 79,1	71,3
Deckenscheibe 3	10,0 · (1,0 + 2 · 3,10 + 1,55) = 87,5	78,8	14,0 · (1,0 + 2 · 3,10 + 1,55) = 123	111

### Geometriedaten der aussteifenden Wände in x- und y-Richtung

Anmerkung:

Wandscheiben mit einem I/h- Verhältnis  $\leq 1/4$  bleiben in der Aussteifungsberechnung unberücksichtigt.

Wand	Anfang		Ende		Länge	Koordinaten Wandmitte	
	x <sub>i,A</sub> [m]	y <sub>i,A</sub> [m]	x <sub>i,E</sub> [m]	y <sub>i,E</sub> [m]	l <sub>i</sub> [m]	x <sub>i,m</sub> [m]	y <sub>i,m</sub> [m]
X1	0		4,00		4,00	2,00	0
X2	9,00		10,0		1,00	9,50	0
X3	11,25		11,75		(0,50)	(11,5)	0
X4	13,0		14,0		1,00	13,5	0
X5	5,50		9,75		4,25	7,63	3,50
X6	10,75		14,0		3,25	12,4	3,50
X7	2,25	5,50	4,25	5,50	2,00	3,25	5,50
X8	9,50	10,0	14,0	10,0	4,50	11,8	10,0
Y1	0	0	0	1,50	1,50	0	0,75
Y2		2,50		5,50	3,00	0	4,00
Y3	4,00	0		2,25	2,25	4,00	1,13
Y4		3,25	4,00	5,50	2,25	4,00	4,38
Y5	9,00	0	9,00		3,50	9,00	1,75
Y6	14,0	0		3,50	3,50	14,0	1,75
Y7		5,50	14,0	10,0	4,50	14,0	7,75

mit

$$l_i = \sqrt{(x_{i,E} - x_{i,A})^2 + (y_{i,E} - y_{i,A})^2}$$

$$x_{m,i} = \frac{1}{2} \cdot (x_{i,A} + x_{i,E})$$

$$x_{i,m} = \frac{1}{2} \cdot (x_{i,A} + x_{i,E})$$

Anmerkung:

Alle nachfolgenden Berechnungen werden für die Wände im untersten Geschoss (Erdgeschoss) durchgeführt.

**Variante A: Berechnung der Kräfte in den Schubscheiben für Holzleichtbauwände**

- Ermittlung der Lage des Steifigkeitszentrums

Die Schubsteifigkeiten von Wänden in Holzleichtbauweise können proportional zu deren Länge in Rechnung gestellt werden:

$$B_{x,i} = l_{x,i} \text{ bzw. } B_{y,i} = l_{y,i}$$

Wand	<b>B<sub>x,i</sub></b>	<b>B<sub>y,i</sub></b>	<b>y<sub>i</sub></b>	<b>x<sub>i</sub></b>	<b>B<sub>x,i</sub>·y<sub>i</sub></b>	<b>B<sub>y,i</sub>·x<sub>i</sub></b>	<b>y<sub>i</sub>·y<sub>s</sub></b>	<b>x<sub>i</sub>·x<sub>s</sub></b>	<b>B<sub>x,i</sub>·(y<sub>i</sub>-y<sub>s</sub>)<sup>2</sup></b>	<b>B<sub>y,i</sub>·(x<sub>i</sub>-x<sub>s</sub>)<sup>2</sup></b>
	[m]	[m]	[m]	[m]	[m <sup>2</sup> ]	[m <sup>2</sup> ]	[m]	[m]	[m <sup>3</sup> ]	[m <sup>3</sup> ]
X1	4,00	-	0	-	0	-	-4,12	-	67,9	-
X2	1,00	-	0	-	0	-	-4,12	-	17,0	-
X3	(0,50)	-	0	-	-	-	-	-	-	-
X4	1,00	-	0	-	0	-	-4,12	-	17,0	-
X5	4,25	-	3,50	-	14,9	-	-0,620	-	1,63	-
X6	3,25	-	3,50	-	11,4	-	-0,620	-	1,25	-
X7	2,00	-	5,50	-	11,0	-	1,38	-	3,81	-
X8	4,50	-	10,0	-	45,0	-	5,88	-	156	-
Y1	-	1,50	-	0	-	0	-	-7,90	-	93,6
Y2	-	3,00	-	0	-	0	-	-7,90	-	187
Y3	-	2,25	-	4,00	-	9,00	-	-3,90	-	34,2
Y4	-	2,25	-	4,00	-	9,00	-	-3,90	-	34,2
Y5	-	3,50	-	9,00	-	31,5	-	1,10	-	4,24
Y6	-	3,50	-	14,0	-	49,0	-	6,10	-	130
Y7	-	4,50	-	14,0	-	63,0	-	6,10	-	167
Summe	20,0	20,5			82,3	162			265	650

Lage des Steifigkeitszentrums

$$x_s = \frac{\sum_i B_{y,i} \cdot x_i}{\sum_i B_{y,i}} = \frac{162}{20,5} = 7,90 \text{ m} \quad y_s = \frac{\sum_i B_{x,i} \cdot y_i}{\sum_i B_{x,i}} = \frac{82,3}{20,0} = 4,12 \text{ m}$$

polares Trägheitsmoment

$$I_p = \sum_i B_{y,i} \cdot (x_i - x_s)^2 + \sum_i B_{x,i} \cdot (y_i - y_s)^2 = 650 + 265 = 915 \text{ m}^3$$

- Berechnung des Windangriffspunktes unter Berücksichtigung einer ungleichmässigen Verteilung des Winddruckes

Anmerkung:

zum Ansatz der Exzentrizität der Windkraft zur Berücksichtigung der ungleichmässigen Verteilung des Winddruckes  
Auszug aus ÖNORM EN 1991-1-4:2011 [...], Abschnitt 7.1.2 Exzentrisch und günstig wirkende Drücke und Kräfte

*„(1) Verursachen veränderliche Windeinwirkungen signifikante asymmetrische Belastungen und ist das Tragwerk empfindlich für solche Belastungen (z. B. bei Torsion von symmetrischen Gebäuden mit nur einem Aussteifungskern), dann sind diese zu berücksichtigen. ...“*

In der zugehörigen nationalen Festlegung heisst es:

Auszug aus ÖNORM B 1991-1-4:2019 [...], Abschnitt 9.1.1 Exzentrisch und günstig wirkende Drücke und Kräfte; Nationale Festlegung zu ÖNORM EN 1991-1-4:2011, Abschnitt 7.1.2(2)

*„Erfolgt bei Bauwerken die Ableitung der Windwirkungen in der Nähe der Schwerachse, ist zur Berücksichtigung der ungleichmässigen Verteilung des Winddruckes eine Exzentrizität der Windwirkung bezüglich der vertikalen Achse von 10 % der jeweiligen Abmessung im Grundriss zu berücksichtigen.“*

Nach Auffassung der Verfasser bietet der Ausdruck „in der Nähe der Schwerachse“ Spielraum für die Interpretation, ob eine Exzentrizität der Windwirkung anzusetzen ist oder nicht. Im nachfolgenden Beispiel wurde diese berücksichtigt.

In den nachfolgenden Tabellen werden folgende Gleichungen verwendet:

- Schubkraft in x- bzw. y-Richtung infolge der einwirkenden Kraft in der Wand i

$$F_{F,x,d,i} = W_{x,k} \cdot \frac{B_{y,i}}{\sum_i B_{y,i}}$$

$$F_{F,y,d,i} = W_{y,k} \cdot \frac{B_{x,i}}{\sum_i B_{x,i}}$$

- Schubkraft in x- bzw. y-Richtung infolge dem einwirkenden Moment in der Wand i

$$F_{M,x,d,i} = M_{x,k} \cdot \frac{B_{y,i}}{\sum_i I_p} \cdot (y_i - y_s)$$

$$F_{M,y,d,i} = M_{y,k} \cdot \frac{B_{x,i}}{\sum_i I_p} \cdot (x_i - x_s)$$

- resultierende Schubkraft der Wand i in x- bzw. y-Richtung

$$F_{x,d,i} = F_{F,x,d,i} + F_{M,x,d,i}$$

$$F_{y,d,i} = F_{F,y,d,i} + F_{M,y,d,i}$$

- Berechnung der Wandscheibenkräfte
- Lastfall I: Wind in Richtung der x-Achse mit positiver Exzentrizität

$$W_{I,x,k} = +78,8 \text{ kN} \quad | \quad e_{y,1} = \left( \frac{l_y}{2} - y_s \right) + \frac{l_y}{10} = \left( \frac{10,0}{2} - 4,12 \right) + \frac{10,0}{10} = 1,88 \text{ m} \quad | \quad M_{I,x,k} = W_{x,k} \cdot |e_y| = 78,8 \cdot 1,88 = 148 \text{ kNm}$$

Wand	$B_{x,i}$	$B_{y,i}$	$y_i - y_s$	$x_i - x_s$	$F_{F,x,d}$	$F_{F,y,d}$	$F_{M,x,d}$	$F_{M,y,d}$	$F_{x,d}$	$F_{y,d}$
	[m]	[m]	[m]	[m]	[kN]	[kN]	[kN]	[kN]	[kN]	[kN]
X1	4,00	-	- 4,12	-	- 15,8	-	2,67	-	- 13,1	-
X2	1,00	-	- 4,12	-	- 3,94	-	0,666	-	- 3,27	-
X3	(0,50)	-	-	-	-	-	-	-	-	-
X4	1,00	-	- 4,12	-	- 3,94	-	0,666	-	- 3,27	-
X5	4,25	-	- 0,620	-	- 16,7	-	0,426	-	- 16,3	-
X6	3,25	-	- 0,620	-	- 12,8	-	0,326	-	- 12,5	-
X7	2,00	-	1,38	-	- 7,88	-	- 0,446	-	- 8,33	-
X8	4,50	-	5,88	-	- 17,7	-	- 4,28	-	- 22,0	-
Y1	-	1,50	-	- 7,90	-	-	-	- 1,92	-	- 1,92
Y2	-	3,00	-	- 7,90	-	-	-	- 3,83	-	- 3,83
Y3	-	2,25	-	- 3,90	-	-	-	- 1,42	-	- 1,42
Y4	-	2,25	-	- 3,90	-	-	-	- 1,42	-	- 1,42
Y5	-	3,50	-	1,10	-	-	-	0,623	-	0,623
Y6	-	3,50	-	6,10	-	-	-	3,45	-	3,45
Y7	-	4,50	-	6,10	-	-	-	4,44	-	4,44
Summe	20,0	20,5			≈ -78,8	-	≈ 0	≈ 0	≈ -78,8	≈ 0

- Lastfall II: Wind in Richtung der x-Achse mit negativer Exzentrizität

$$W_{II,x,k} = +78,8 \text{ kN} \quad | \quad e_{y,1} = \left( \frac{l_y}{2} - y_s \right) - \frac{l_y}{10} = \left( \frac{10,0}{2} - 4,12 \right) - \frac{10,0}{10} = -0,120 \text{ m} \quad | \quad M_{II,x,k} = W_{x,k} \cdot e_y = 78,8 \cdot (-0,120) = -9,46 \text{ kNm}$$

Wand	$B_{x,i}$	$B_{y,i}$	$y_i - y_s$	$x_i - x_s$	$F_{F,x,d}$	$F_{F,y,d}$	$F_{M,x,d}$	$F_{M,y,d}$	$F_{x,d}$	$F_{y,d}$
	[m]	[m]	[m]	[m]	[kN]	[kN]	[kN]	[kN]	[kN]	[kN]
X1	4,00	-	- 4,12	-	- 15,8	-	- 0,170	-	- 16,0	-
X2	1,00	-	- 4,12	-	- 3,94	-	- 0,0426	-	- 3,98	-
X3	(0,50)	-	-	-	-	-	-	-	-	-
X4	1,00	-	- 4,12	-	- 3,94	-	- 0,0426	-	- 3,98	-
X5	4,25	-	- 0,620	-	- 16,7	-	- 0,0272	-	- 16,7	-
X6	3,25	-	- 0,620	-	- 12,8	-	- 0,0208	-	- 12,8	-
X7	2,00	-	1,38	-	- 7,88	-	0,0285	-	- 7,85	-
X8	4,50	-	5,88	-	- 17,7	-	0,274	-	- 17,4	-
Y1	-	1,50	-	- 7,90	-	-	-	0,123	-	0,123
Y2	-	3,00	-	- 7,90	-	-	-	0,245	-	0,245
Y3	-	2,25	-	- 3,90	-	-	-	0,0907	-	0,0907
Y4	-	2,25	-	- 3,90	-	-	-	0,0907	-	0,0907
Y5	-	3,50	-	1,10	-	-	-	- 0,0398	-	- 0,0398
Y6	-	3,50	-	6,10	-	-	-	- 0,221	-	- 0,221
Y7	-	4,50	-	6,10	-	-	-	- 0,284	-	- 0,284
Summe	20,5	20,0			≈ -78,8	-	≈ 0	≈ 0	≈ -78,8	≈ 0

- Lastfall III: Wind in Richtung der y-Achse mit postiver Exzentrizität

$$W_{III,y,k} = +111 \text{ kN} \quad | \quad e_{x,i} = \left( \frac{l_x}{2} - x_s \right) - \frac{l_x}{10} = \left( \frac{14,0}{2} - 7,90 \right) + \frac{14,0}{10} = 0,500 \text{ m} \quad | \quad M_{III,y,k} = W_{y,k} \cdot e_x = 111 \cdot 0,500 = 55,5 \text{ kNm}$$

Wand	B <sub>x,i</sub>	B <sub>y,i</sub>	y <sub>i</sub> -y <sub>s</sub>	x <sub>i</sub> -x <sub>s</sub>	F <sub>F,x,d</sub>	F <sub>F,y,d</sub>	F <sub>M,x,d</sub>	F <sub>M,y,d</sub>	F <sub>x,d</sub>	F <sub>y,d</sub>
	[m]	[m]	[m]	[m]	[kN]	[kN]	[kN]	[kN]	[kN]	[kN]
X1	4,00	-	- 4,12	-	-	-	1,00	-	1,00	-
X2	1,00	-	- 4,12	-	-	-	0,250	-	0,250	-
X3	(0,50)	-	-	-	-	-	-	-	-	-
X4	1,00	-	- 4,12	-	-	-	0,250	-	0,250	-
X5	4,25	-	- 0,620	-	-	-	0,160	-	0,160	-
X6	3,25	-	- 0,620	-	-	-	0,122	-	0,122	-
X7	2,00	-	1,38	-	-	-	- 0,167	-	- 0,167	-
X8	4,50	-	5,88	-	-	-	- 1,60	-	- 1,60	-
Y1	-	1,50	-	- 7,90	-	- 8,12	-	- 0,719	-	- 8,84
Y2	-	3,00	-	- 7,90	-	- 16,2	-	- 1,44	-	- 17,6
Y3	-	2,25	-	- 3,90	-	- 12,2	-	- 0,532	-	- 12,7
Y4	-	2,25	-	- 3,90	-	- 12,2	-	- 0,532	-	- 12,7
Y5	-	3,50	-	1,10	-	- 19,0	-	0,234	-	- 18,8
Y6	-	3,50	-	6,10	-	- 19,0	-	1,30	-	- 17,7
Y7	-	4,50	-	6,10	-	- 24,4	-	1,67	-	- 22,7
Summe	20,0	20,5			-	≈ - 111	≈ 0	≈ 0	≈ 0	≈ - 111

- Lastfall IV: Wind in Richtung der y-Achse mit negativer Exzentrizität

$$W_{IV,y,k} = +111 \text{ kN} \quad | \quad e_{x,i} = \left( \frac{l_x}{2} - x_s \right) - \frac{l_x}{10} = \left( \frac{14,0}{2} - 7,90 \right) - \frac{14,0}{10} = -2,30 \text{ m} \quad | \quad M_{IV,y,k} = W_{y,k} \cdot e_x = 111 \cdot (-2,30) = -255 \text{ kNm}$$

Wand	B <sub>x,i</sub>	B <sub>y,i</sub>	y <sub>i</sub> -y <sub>s</sub>	x <sub>i</sub> -x <sub>s</sub>	F <sub>F,x,d</sub>	F <sub>F,y,d</sub>	F <sub>M,x,d</sub>	F <sub>M,y,d</sub>	F <sub>x,d</sub>	F <sub>y,d</sub>
	[m]	[m]	[m]	[m]	[kN]	[kN]	[kN]	[kN]	[kN]	[kN]
X1	4,00	-	- 4,12	-	-	-	- 4,59	-	- 4,59	-
X2	1,00	-	- 4,12	-	-	-	- 1,15	-	- 1,15	-
X3	(0,50)	-	-	-	-	-	-	-	-	-
X4	1,00	-	- 4,12	-	-	-	- 1,15	-	- 1,15	-
X5	4,25	-	- 0,620	-	-	-	- 0,734	-	- 0,734	-
X6	3,25	-	- 0,620	-	-	-	- 0,562	-	- 0,562	-
X7	2,00	-	1,38	-	-	-	0,769	-	0,769	-
X8	4,50	-	5,88	-	-	-	7,37	-	7,37	-
Y1	-	1,50	-	- 7,90	-	- 8,12	-	3,30	-	- 4,82
Y2	-	3,00	-	- 7,90	-	- 16,2	-	6,60	-	- 9,60
Y3	-	2,25	-	- 3,90	-	- 12,2	-	2,45	-	- 9,75
Y4	-	2,25	-	- 3,90	-	- 12,2	-	2,45	-	- 9,75
Y5	-	3,50	-	1,10	-	- 19,0	-	- 1,07	-	- 20,1
Y6	-	3,50	-	6,10	-	- 19,0	-	- 5,95	-	- 25,0
Y7	-	4,50	-	6,10	-	- 24,4	-	- 7,65	-	- 32,1
Summe	20,0	20,5			-	≈ - 111	≈ 0	≈ 0	≈ 0	≈ - 111

### Zusammenfassung der Schubkräfte in den Holzleichbauwänden

Wand	Lastfall I		Lastfall II		Lastfall III		Lastfall IV		Bemessungswerte			
	F <sub>x,d</sub>	F <sub>y,d</sub>	F <sub>x,d</sub> / II	F <sub>y,d</sub> / II								
	[kN]	[kN/m]	[kN/m]									
X1	- 13,1	-	- 16,0	-	1,00	-	- 4,59		16,0	-	4,00	-
X2	- 3,27	-	- 3,98	-	0,250	-	- 1,15		3,98	-	3,98	-
X3	-	-	-	-	-	-	-	-	-	-	-	-
X4	- 3,27	-	- 3,98	-	0,250	-	- 1,15		3,98	-	3,98	-
X5	- 16,3	-	- 16,7	-	0,160	-	- 0,734		16,7	-	3,93	-
X6	- 12,5	-	- 12,8	-	0,122	-	- 0,562		12,8	-	3,94	-
X7	- 8,33	-	- 7,85	-	- 0,167	-	0,769		8,33	-	4,17	-
X8	- 22,0	-	- 17,4	-	- 1,60	-	7,37		22,0	-	4,89	-
Y1	-	- 1,92	-	0,123	-	- 8,84	-	- 4,82	-	- 8,84	-	5,89
Y2	-	- 3,83	-	0,245	-	- 17,6	-	- 9,60	-	- 17,6	-	5,87
Y3	-	- 1,42	-	0,0907	-	- 12,7	-	- 9,75	-	- 12,7	-	5,64
Y4	-	- 1,42	-	0,0907	-	- 12,7	-	- 9,75	-	- 12,7	-	5,64
Y5	-	0,623	-	- 0,0398	-	- 18,8	-	- 20,1	-	- 20,1	-	5,74
Y6	-	3,45	-	- 0,221	-	- 17,7	-	- 25,0	-	- 25,0	-	7,14
Y7	-	4,44	-	- 0,284	-	- 22,7	-	- 32,1	-	- 32,1	-	7,13

### Exemplarische Nachweisführung für die Wand Y7

Nachfolgend wird die Nachweisführung exemplarisch für die Wand Y7 gezeigt. Dazu werden für die sonstigen Einwirkungen folgende Annahmen getroffen:

#### Einwirkungen

- ständige Einwirkung (vertikal)  $g_k = 23,0 \text{ kN/m}$
- veränderliche Einwirkung (vertikal)
- aus Nutzlast  $p_k = 18,0 \text{ kN/m}$
- aus Schnee  $s_k = 1,68 \text{ kN/m}$
- aus Wind (horizontal)  $0,751 \cdot (0,80 - (-0,30)) = w_k = +/- 0,826 \text{ kN/m}$

#### Einwirkungskombinationen

- Einwirkungskombination I: Nutzlast führend, Schnee begleitend  
- in der Wandebene

$$n_{d,I} = \gamma_G \cdot g_k + \gamma_Q \cdot p_k + \gamma_Q \cdot \psi_{0,s} \cdot s_k = 1,35 \cdot 23,0 + 1,50 \cdot 18,0 + 1,50 \cdot 0,50 \cdot 1,68 = 59,3 \text{ kN/m}$$

Druckkraft auf den Standardstiel (Regelbereich)

$$F_{c,Ed,I} = n_{d,I} \cdot a_r = 59,3 \cdot \frac{625}{1.000} = 37,1 \text{ kN}$$

- Einwirkungskombination II: Nutzlast führend, Schnee und Wind begleitend  
Schubkraft in der Wandebene

$$F_{7,v,Ed;II} = W_{7,y,d;II} = \gamma_Q \cdot \psi_{0,w} \cdot W_{7,y,k} = 1,50 \cdot 0,60 \cdot \pm 32,1 = \pm 28,9 \text{ kN} \quad \text{bzw.} \quad w_{7,y,d;II} = \gamma_Q \cdot \psi_{0,w} \cdot w_{7,y,k} = 1,50 \cdot 0,60 \cdot \pm 7,13 = \pm 6,42 \text{ kN/m}$$

Kräfte an den Wandenden

$$F_{7,c,Ed;II} = F_{7,t,Ed;II} = F_{7,v,Ed;II} \cdot \frac{h}{b_i} = \pm 28,9 \cdot \frac{2,90}{4,50} = \pm 18,6 \text{ kN}$$

resultierende Druckkraft auf den Stiel am Wandeck (mit  $n_{d;II} = n_{d;I}$ )

$$F_{Rand,7,c,Ed;II} = F_{7,c,Ed;II} + n_{d;II} \cdot \frac{a_r}{2} = 18,6 + 59,3 \cdot \frac{0,625}{2} = 37,1 \text{ kN}$$

resultierende Druckkraft auf den Stiel am Fensterrand

$$F_{Fenster,7,c,Ed} = F_{7,c,Ed;II} + n_{d;II} \cdot \frac{a_r}{2} + n_{d;II} \cdot \frac{b_{Fenster}}{2} = 18,6 + 59,3 \cdot \frac{0,625}{2} + 59,3 \cdot \frac{2,00}{2} = 96,3 \text{ kN}$$

- normal zur Wandebene

$$v_{z,d;II} = \gamma_Q \cdot \psi_{0,w} \cdot \frac{\pm w_{z,k} \cdot l}{2} = 1,50 \cdot 0,60 \cdot \frac{\pm 0,826 \cdot 2,90}{2} = \pm 1,08 \text{ kN/m}$$

$$m_{y,d;II} = \gamma_Q \cdot \psi_{0,w} \cdot \frac{\pm w_{z,k} \cdot l^2}{8} = 1,50 \cdot 0,60 \cdot \frac{\pm 0,826 \cdot 2,90^2}{8} = \pm 0,781 \text{ kNm/m}$$

- Einwirkungskombination III: Wind führend, Nutzlast und Schnee begleitend  
- in der Wandebene

$$n_{d;III} = \gamma_G \cdot g_k + \gamma_Q \cdot \psi_{0,p} + \gamma_Q \cdot \psi_{0,s} = 1,35 \cdot 23,0 + 1,50 \cdot 0,70 \cdot 18,0 + 1,50 \cdot 0,50 \cdot 1,68 = 51,2 \text{ kN/m}$$

Druckkraft auf den Standardstiel

$$F_{c,Ed;III} = n_{d;III} \cdot a_r = 51,2 \cdot \frac{625}{1.000} = 32,0 \text{ kN}$$

- Einwirkungskombination IV: Wind führend, Nutzlast und Schnee begleitend  
Schubkraft in der Wandebene

$$F_{7,v,Ed;IV} = W_{7,y,d;IV} = \gamma_Q \cdot W_{7,y,k} = 1,50 \cdot \pm 32,1 = \pm 48,2 \text{ kN} \quad \text{bzw.} \quad w_{7,y,d;IV} = \gamma_Q \cdot w_{7,y,k} = 1,50 \cdot \pm 7,13 = \pm 10,7 \text{ kN/m}$$

Kräfte an den Wandenden

$$F_{7,c,Ed;IV} = F_{7,t,Ed;IV} = F_{7,v,Ed;IV} \cdot \frac{h}{b_i} = \pm 48,2 \cdot \frac{2,90}{4,50} = \pm 31,1 \text{ kN}$$

resultierende Druckkraft auf den Stiel am Wandeck (mit  $n_{d;IV} = n_{d;III}$ )

$$F_{Rand,7,c,Ed;IV} = F_{7,c,Ed;IV} + n_{d;IV} \cdot \frac{a_r}{2} = 31,1 + 51,2 \cdot \frac{0,625}{2} = 47,1 \text{ kN}$$

resultierende Druckkraft auf den Stiel am Fensterrand

$$F_{Fenster,7,c,Ed;IV} = F_{7,c,Ed;IV} + n_{d;IV} \cdot \frac{a_r}{2} + n_{d;IV} \cdot \frac{b_{Fenster}}{2} = 31,1 + 51,2 \cdot \frac{0,625}{2} + 51,2 \cdot \frac{2,00}{2} = 98,3 \text{ kN}$$

- normal zur Wandebene

$$v_{z,d;IV} = \gamma_Q \cdot \frac{\pm w_{z,k} \cdot l}{2} = 1,50 \cdot \frac{\pm 0,826 \cdot 2,90}{2} = \pm 1,80 \text{ kN/m}$$

$$m_{y,d;IV} = \gamma_Q \cdot \frac{\pm w_{z,k} \cdot l^2}{8} = 1,50 \cdot \frac{\pm 0,826 \cdot 2,90^2}{8} = \pm 1,30 \text{ kNm/m}$$

- Einwirkungskombination V: ständige Einwirkung günstig

$$n_{d,V} = \gamma_{G,inf} \cdot g_k = 0,90 \cdot 23,0 = 20,7 \text{ kN/m}$$

resultierende Zugkraft auf den Randstiel

$$F_{t,Ed,V} = F_{\gamma,t,Ed,IV} - n_{d,IV} \cdot \frac{a_r}{2} = 31,1 - 20,7 \cdot \frac{0,625}{2} = +24,6 \text{ kN}$$

### Nachweisführung für die Leichtbauwand

Anmerkung:

Es wird vorausgesetzt, dass die vertikalen Einwirkungen und die Biegebeanspruchung ausschließlich durch die Vollholz-Rippe abgetragen werden. Die Beplankung überträgt die Schubbeanspruchung in Scheibenbene.

### Aufbau der Wandkonstruktion

Stiele/Riegel: Vollholz C24, b/h = 65/160 mm  
 Beplankung: Sperrholz (F20/15 E30/25), t = 15 mm, beidseitig  
 Verbindungsmitel: Druckluftnägel d = 3,40 mm | l = 50,0 mm

### Baustoffkenngrößen

Stiele/Riegel

charakt. Wert der Biegefestigkeit:	$f_{m,k} = 24,0 \text{ N/mm}^2$	Tab. III.9
charakt. Wert der Zugfestigkeit in FR:	$f_{t,0,k} = 14,5 \text{ N/mm}^2$	Tab. III.9
charakt. Wert der Druckfestigkeit in FR:	$f_{c,0,k} = 21,0 \text{ N/mm}^2$	Tab. III.9
charakt. Wert der Druckfestigkeit normal zur FR:	$f_{c,90,k} = 2,50 \text{ N/mm}^2$	Tab. III.9
charakt. Wert der Schubfestigkeit:	$f_{v,k} = 2,30 \text{ N/mm}^2$	Tab. III.9
charakt. Wert der Rohdichte	$\rho_k = 350 \text{ kg/m}^3$	Tab. III.9
Teilsicherheitsbeiwert:	$\gamma_M = 1,30$	Tab. III.3

Beplankung

charakt. Wert der Schubfestigkeit (Scheibenbean.):	$f_{v,k} = 1,80 \text{ N/mm}^2$	Tab. III.16
charakt. Wert der Rohdichte:	$\rho_k = 350 \text{ kg/m}^3$	Tab. III.16
Teilsicherheitsbeiwert:	$\gamma_M = 1,20$	Tab. III.3

Teilsicherheitsbeiwert Verbindung:  $\gamma_{M,Verb} = 1,30$  Tab. III.3

Nutzungsklasse: NKL 1

### Nachweise

Querdrucknachweis am Wandfuß

- für den Standardstiel

wirksame Fläche

$$A_{ef} = h \cdot (b + 2 \cdot 30) = 160 \cdot (65,0 + 2 \cdot 30,0) = 2,00 \cdot 10^4 \text{ mm}^2$$

Querdruckspannung

$$\sigma_{c,90,d} = \frac{F_{c,Ed,d}}{A_{ef}} = \frac{37,1 \cdot 10^3}{2,00 \cdot 10^4} = 1,86 \text{ N/mm}^2$$

## Nachweis

KLED „kurz“ (Schnee)  $\rightarrow k_{mod} = 0,90$

$$f_{c,90,d} = k_{mod} \cdot \frac{f_{c,90,k}}{\gamma_M} = 0,90 \cdot \frac{2,50}{1,30} = 1,73 \text{ N/mm}^2$$

Tab. III.9

mit  $k_{c,90} = 1,25$  für Vollholz und dem Erhöhungsfaktor von 20% für Wandscheiben

$$\frac{\sigma_{c,90,d}}{EF \cdot k_{c,90} \cdot f_{c,90,d}} = \frac{1,86}{1,20 \cdot 1,25 \cdot 1,73} = 0,72 > 1$$

- für den Stiel am Wandeck

$$A_{ef,Rand} = h \cdot (b + 1 \cdot 30) = 160 \cdot (65,0 + 1 \cdot 30,0) = 1,52 \cdot 10^4 \text{ mm}^2$$

$$\sigma_{c,90,d;Rand} = \frac{F_{Rand,7,c,Ed;IV}}{A_{ef,Rand}} = \frac{47,1 \cdot 10^3}{1,52 \cdot 10^4} = 3,10 \text{ N/mm}^2$$

## Nachweis

KLED „kurz/sehr kurz“ (Wind)  $\rightarrow k_{mod} = 1,00$

$$f_{c,90,d} = k_{mod} \cdot \frac{f_{c,90,k}}{\gamma_M} = 1,00 \cdot \frac{2,50}{1,30} = 1,92 \text{ N/mm}^2$$

Tab. III.9

mit  $k_{c,90} = 1,00$  für Vollholz und dem Erhöhungsfaktor von 20% für Wandscheiben

$$\frac{\sigma_{c,90,d;Rand}}{EF \cdot k_{c,90} \cdot f_{c,90,d}} = \frac{3,10}{1,20 \cdot 1,00 \cdot 1,92} = 1,35 > 1 \rightarrow \text{Nachweis nicht eingehalten!}$$

## Anordnung von zwei Stielen am Wandeck

$$A_{ef,Rand,2x} = h \cdot (2 \cdot b + 1 \cdot 30) = 160 \cdot (2 \cdot 65,0 + 1 \cdot 30,0) = 2,56 \cdot 10^4 \text{ mm}^2$$

$$\sigma_{c,90,d;Rand,2x} = \frac{F_{Rand,7,c,Ed;IV}}{A_{ef,Rand,2x}} = \frac{47,1 \cdot 10^3}{2,56 \cdot 10^4} = 1,84 \text{ N/mm}^2$$

$$\frac{\sigma_{c,90,d;Rand,2x}}{EF \cdot k_{c,90} \cdot f_{c,90,d}} = \frac{1,84}{1,20 \cdot 1,00 \cdot 1,92} = 0,80 < 1$$

- für den Stiel am Fensterrand

Anordnung von drei Stielen am Fensterrand

$$A_{ef,Fenster,3x} = h \cdot (3 \cdot b + 2 \cdot 30) = 160 \cdot (3 \cdot 65,0 + 2 \cdot 30,0) = 4,08 \cdot 10^4 \text{ mm}^2$$

$$\sigma_{c,90,d;Fenster,3x} = \frac{F_{Fenster,7,c,Ed;IV}}{A_{ef,Fenster,3x}} = \frac{98,3 \cdot 10^3}{4,08 \cdot 10^4} = 2,41 \text{ N/mm}^2$$

$$\frac{\sigma_{c,90,d;Fenster,3x}}{EF \cdot k_{c,90} \cdot f_{c,90,d}} = \frac{2,41}{1,20 \cdot 1,25 \cdot 1,92} = 0,84 < 1$$

**Abtragung der Normalkraft und der Beanspruchung rechtwinklig zur Scheibenebene**

Baustoffkenngrößen – Bemessungswerte

KLED „kurz/sehr kurz“ (Wind) →  $k_{mod} = 1,00$ 

$$f_{m,d} = k_{mod} \cdot \frac{f_{m,k}}{\gamma_M} = 1,00 \cdot \frac{24,0}{1,30} = 18,5 \text{ N/mm}^2 \quad \text{Tab. III.9}$$

$$f_{c,0,d} = k_{mod} \cdot \frac{f_{c,0,k}}{\gamma_M} = 1,00 \cdot \frac{21,0}{1,30} = 16,2 \text{ N/mm}^2 \quad \text{Tab. III.9}$$

$$f_{v,d} = k_{mod} \cdot \frac{f_{v,k}}{\gamma_M} = 1,00 \cdot \frac{2,30}{1,30} = 1,77 \text{ N/mm}^2 \quad \text{Tab. III.9}$$

Querschnittswerte

$$A = b \cdot h = 65,0 \cdot 160 = 1,04 \cdot 10^4 \text{ mm}^2$$

$$W_y = \frac{b \cdot h^2}{6} = \frac{65,0 \cdot 160^2}{6} = 2,77 \cdot 10^5 \text{ mm}^3$$

Knickbeiwert

$$\lambda_y = \frac{l_{k,y}}{0,289 \cdot h} = \frac{1,00 \cdot 2,900}{0,289 \cdot 160} = 62,7 \rightarrow k_{c,y} = 0,643 \text{ (interpoliert)} \quad \text{Tab. IV.47}$$

Kippbeiwert

$$k_{crit} = 1,00 \text{ (Wand seitlich gehalten)}$$

• Nachweise für den Standardstiel

- Einwirkungskombination II

Normalspannung

mit  $F_{c,d; II} = F_{c,d; I}$ 

$$\sigma_{c,0,d;II} = \frac{F_{c,d;II}}{A} = \frac{37,1 \cdot 10^3}{1,04 \cdot 10^4} = 3,57 \text{ N/mm}^2$$

Biegespannung

$$\sigma_{m,y,d;II} = \frac{m_{y,d;II} \cdot a_r}{W_y} = \frac{0,781 \cdot 10^6 \cdot 625}{2,77 \cdot 10^5} = 1,76 \text{ N/mm}^2$$

Nachweis

mit  $\sigma_{m,z,d; II} = 0 \text{ N/mm}^2$ 

$$(1) \quad \frac{\sigma_{c,0,d;II}}{k_{c,y} \cdot f_{c,0,d}} + \frac{\sigma_{m,y,d;II}}{k_{crit} \cdot f_{m,y,d}} + \left( \frac{\sigma_{m,z,d;II}}{f_{m,z,d}} \right)^2 = \frac{3,57}{0,643 \cdot 16,2} + \frac{1,76}{1,00 \cdot 18,5} + 0 = 0,343 + 0,0951 + 0 = 0,44 < 1$$

$$(2) \quad \frac{\sigma_{c,0,d;II}}{k_{c,z} \cdot f_{c,0,d}} + \left( \frac{\sigma_{m,y,d;II}}{k_{crit} \cdot f_{m,y,d}} \right)^2 + \frac{\sigma_{m,z,d;II}}{f_{m,z,d}} = \frac{3,57}{1,00 \cdot 16,2} + \left( \frac{1,76}{1,00 \cdot 18,5} \right)^2 + 0 = 0,220 + 0,00905 + 0 = 0,23 < 1$$

## Schubnachweis

## Schubspannung

$$\tau_{d,II} = 1,5 \cdot \frac{v_{z,d,II} \cdot a_r}{A} = 1,5 \cdot \frac{1,08 \cdot 10^3 \cdot 625}{1,04 \cdot 10^4} = 0,0974 \text{ N/mm}^2$$

## Nachweis

$$\frac{\tau_{d,II}}{f_{v,d}} = \frac{0,0974}{1,77} = 0,055 < 1$$

- Einwirkungskombination IV

## Normalspannung

mit  $F_{c,d;IV} = F_{c,d;III}$

$$\sigma_{c,0,d;IV} = \frac{F_{c,Ed;IV}}{A} = \frac{32,0 \cdot 10^3}{1,04 \cdot 10^4} = 3,08 \text{ N/mm}^2$$

## Biegespannung

$$\sigma_{m,y,d;IV} = \frac{m_{y,d;IV} \cdot a_r}{W_y} = \frac{1,30 \cdot 10^6 \cdot 625}{2,77 \cdot 10^5} = 2,93 \text{ N/mm}^2$$

## Nachweis

mit  $\sigma_{m,z,d;II} = 0 \text{ N/mm}^2$

$$(1) \quad \frac{\sigma_{c,0,d;IV}}{k_{c,y} \cdot f_{c,0,d}} + \frac{\sigma_{m,y,d;IV}}{k_{crit} \cdot f_{m,y,d}} + \left( \frac{\sigma_{m,z,d;IV}}{f_{m,z,d}} \right)^2 = \frac{3,08}{0,643 \cdot 16,2} + \frac{2,93}{1,00 \cdot 18,5} + 0 = 0,296 + 0,158 + 0 = 0,45 < 1$$

$$(2) \quad \frac{\sigma_{c,0,d;IV}}{k_{c,z} \cdot f_{c,0,d}} + \left( \frac{\sigma_{m,y,d;IV}}{k_{crit} \cdot f_{m,y,d}} \right)^2 + \frac{\sigma_{m,z,d;IV}}{f_{m,z,d}} = \frac{3,08}{1,00 \cdot 16,2} + \left( \frac{2,93}{1,00 \cdot 18,5} \right)^2 + 0 = 0,190 + 0,0251 + 0 = 0,22 < 1$$

## Schubnachweis

## Schubspannung

$$\tau_{d,IV} = 1,5 \cdot \frac{v_{d,IV} \cdot a_r}{A} = 1,5 \cdot \frac{1,80 \cdot 10^3 \cdot 625}{1,04 \cdot 10^4} = 0,162 \text{ N/mm}^2$$

## Nachweis

$$\frac{\tau_{d,IV}}{f_{v,d}} = \frac{0,162}{1,77} = 0,092 < 1$$

- Nachweise für den Stiel am Fensterrand

## Normalspannungen

$$\sigma_{c,0,d;Fenster,IV} = \frac{F_{Fenster,7,c,Ed;IV}}{3 \cdot A} = \frac{98,3 \cdot 10^3}{3 \cdot 1,04 \cdot 10^4} = 3,15 \text{ N/mm}^2$$

## Biegespannungen

$$\sigma_{m,d;Fenster,IV} = \frac{m_{y,d;IV} \cdot s}{3 \cdot W} = \frac{1,30 \cdot 10^6 \cdot 625/2}{3 \cdot 2,77 \cdot 10^5} = 0,489 \text{ N/mm}^2$$

Nachweis

mit  $\sigma_{m,z,d;IV} = 0 \text{ N/mm}^2$

$$(1) \quad \frac{\sigma_{c,0,d;\text{Fenster,IV}}}{k_{c,y} \cdot f_{c,0,d}} + \frac{\sigma_{m,y,d;\text{Fenster,IV}}}{k_{\text{crit}} \cdot f_{m,y,d}} + \left( \frac{\sigma_{m,z,d;\text{Fenster,IV}}}{f_{m,z,d}} \right)^2 = \frac{3,15}{0,643 \cdot 16,2} + \frac{0,489}{1,00 \cdot 18,5} + 0 = 0,302 + 0,0264 + 0 = 0,33 < 1$$

$$(2) \quad \frac{\sigma_{c,0,d;\text{Fenster,IV}}}{k_{c,z} \cdot f_{c,0,d}} + \left( \frac{\sigma_{m,y,d;\text{Fenster,IV}}}{k_{\text{crit}} \cdot f_{m,y,d}} \right)^2 + \frac{\sigma_{m,z,d;\text{Fenster,IV}}}{f_{m,z,d}} = \frac{3,15}{1,00 \cdot 16,2} + \left( \frac{0,489}{1,00 \cdot 18,5} \right)^2 + 0 = 0,194 + 0,0007 + 0 = 0,19 < 1$$

- Einwirkungskombination IV mit Zug am Wandende

Normalspannung

mit  $F_{t,Ed;IV} = F_{t,ed;V}$

$$\sigma_{t,0,d;IV} = \frac{F_{t,Ed;IV}}{2 \cdot A} = \frac{24,6 \cdot 10^3}{2 \cdot 1,04 \cdot 10^4} = 1,18 \text{ N/mm}^2$$

Biegespannung

$$\sigma_{m,y,d;IV} = \frac{m_{y,d;IV} \cdot a_r}{2 \cdot W_y} = \frac{1,30 \cdot 10^6 \cdot 625/2}{2 \cdot 2,77 \cdot 10^5} = 0,733 \text{ N/mm}^2$$

Nachweis

$$\frac{\sigma_{t,0,d;IV}}{f_{t,0,d}} + \frac{\sigma_{m,y,d;IV}}{f_{m,d}} = \frac{1,18}{11,2} + \frac{0,733}{18,5} = 0,105 + 0,0396 = 0,14 < 1$$

### Nachweis der Abtragung des Scheibenschubes

- Beulen der Beplankung

$$h_{f,grenz} = \frac{a_r}{35} = \frac{625 - 65}{35} = 16,0 \text{ mm} > h_f = 15,0 \text{ mm}$$

Abminderung auf Grund der Beulgefahr der Beplankung mit dem Faktor

$$\rightarrow \eta = 35 \cdot \frac{t}{a_r} = 35 \cdot \frac{15,0}{625 - 65} = 0,938$$

### vereinfachter Nachweis der Tragfähigkeit der Beplankung (Schubnachweis)

Schubfluß in einer Beplankung

$$s_{v,0,d} = \frac{F_{i,v,Ed}}{m \cdot l_i} = \frac{32,1}{2 \cdot 4,50} = 3,57 \text{ kN/m} = 3,57 \text{ N/mm} \quad \text{mit } m = 2 \dots \text{beidseitige Beplankung}$$

Schubspannung

$$\tau_{f,d} = \frac{s_{v,0,d}}{h_f} = \frac{3,57}{15,0} = 0,238 \text{ N/mm}^2$$

Bemessungswert der Schubfestigkeit der Beplankung

$$f_{f,v,d} = k_{\text{mod}} \cdot \frac{f_{f,v,k}}{\gamma_M} = 1,00 \cdot \frac{1,80}{1,20} = 1,50 \text{ N/mm}^2$$

Nachweis

$$\frac{\tau_{f,v,d}}{\eta \cdot f_{f,v,d}} = \frac{0,239}{0,500 \cdot 1,50} = 0,32 < 1$$

mit

$\eta \dots$  Faktor zur Abminderung der Schubfestigkeit der Beplankung auf Grund der Exzentrizität zwischen Rippenachse und Beplankungsmittelfläche (für beidseitige Beplankung Verringerung der Schubtragfähigkeit der Platten um 50%)

**Tragfähigkeit eines Verbindungsmitteis pro Verbindungsmitte und Scherfuge**gewähltes Verbindungsmitte: Druckluftnägel d = 3,40 mm | l = 50,0 mm ( $f_{u,k} = 600 \text{ N/mm}^2$ )Kontrolle des Randabstandes:  $a_{4,c} = 5 \cdot d = 5 \cdot 3,40 = 17,0 \text{ mm} < h_{Stiel/2} = 65,0/2 = 32,5 \text{ mm}$ 

wirksame Einbindetiefe in den Stiel

$$t_2 = l - h_f = 50,0 - 15,0 = 35,0 \text{ mm}$$

Lochleibungsfestigkeit

$$f_{h,k,1} = 0,11 \cdot \rho_k \cdot d^{-0,3} = 0,11 \cdot 350 \cdot 3,40^{-0,3} = 26,7 \text{ N/mm}^2$$

$$f_{h,k,2} = 0,082 \cdot \rho_k \cdot d^{-0,3} = 0,082 \cdot 350 \cdot 3,40^{-0,3} = 19,9 \text{ N/mm}^2$$

$$\beta = \frac{f_{h,k,2}}{f_{h,k,1}} = \frac{19,9}{26,7} = 0,745$$

Fließmoment

$$M_{y,Rk} = 0,3 \cdot f_{u,k} \cdot d^{2,6} = 0,3 \cdot 600 \cdot 3,40^{2,6} = 4.336 \text{ Nmm}$$

Tragfähigkeit je Verbindungsmitte und Scherfuge für eine einschnittige Holz-Holz-Verbindung

$$\begin{aligned}
F_{v,Rk} &= \min \left\{ \begin{array}{l} f_{h,1,k} \cdot t_1 \cdot d \\ f_{h,2,k} \cdot t_2 \cdot d \\ \frac{f_{h,1,k} \cdot t_1 \cdot d}{1+\beta} \cdot \left[ \sqrt{\beta + 2 \cdot \beta^2 \cdot \left[ 1 + \frac{t_2}{t_1} + \left( \frac{t_2}{t_1} \right)^2 \right]} + \beta^3 \cdot \left( \frac{t_2}{t_1} \right)^2 - \beta \cdot \left( 1 + \frac{t_2}{t_1} \right) \right] \\ 1,05 \cdot \frac{f_{h,1,k} \cdot t_1 \cdot d}{2+\beta} \cdot \left[ \sqrt{2 \cdot \beta \cdot (1+\beta) + \frac{4 \cdot \beta \cdot (2+\beta) \cdot M_{y,Rk}}{f_{h,1,k} \cdot d \cdot t_1^2}} - \beta \right] \\ 1,05 \cdot \frac{f_{h,1,k} \cdot t_2 \cdot d}{1+2 \cdot \beta} \cdot \left[ \sqrt{2 \cdot \beta^2 \cdot (1+\beta) + \frac{4 \cdot \beta \cdot (1+2 \cdot \beta) \cdot M_{y,Rk}}{f_{h,1,k} \cdot d \cdot t_2^2}} - \beta \right] \\ 1,15 \cdot \sqrt{\frac{2 \cdot \beta}{1+\beta}} \cdot \sqrt{2 \cdot M_{y,Rk} \cdot f_{h,1,k} \cdot d} \end{array} \right. \\
&\quad \left. \begin{array}{l} 26,7 \cdot 15,0 \cdot 3,40 \\ 19,9 \cdot 35,0 \cdot 3,40 \\ \frac{26,7 \cdot 15,0 \cdot 3,40}{1+0,745} \cdot \left[ \sqrt{0,745 + 2 \cdot 0,745^2 \cdot \left[ 1 + \frac{35,0}{15,0} + \left( \frac{35,0}{15,0} \right)^2 \right]} + 0,745^3 \cdot \left( \frac{35,0}{15,0} \right)^2 - 0,745 \cdot \left( 1 + \frac{35,0}{15,0} \right) \right] \\ 1,05 \cdot \frac{26,7 \cdot 15,0 \cdot 3,40}{2+0,745} \cdot \left[ \sqrt{2 \cdot 0,745 \cdot (1+0,745) + \frac{4 \cdot 0,745 \cdot (2+0,745) \cdot 4.336}{26,7 \cdot 3,40 \cdot 15,0^2}} - 0,745 \right] \\ 1,05 \cdot \frac{26,7 \cdot 35,0 \cdot 3,40}{1+2 \cdot 0,745} \cdot \left[ \sqrt{2 \cdot 0,745^2 \cdot (1+0,745) + \frac{4 \cdot 0,745 \cdot (1+2 \cdot 0,745) \cdot 4.336}{26,7 \cdot 3,40 \cdot 35,0^2}} - 0,745 \right] \\ 1,15 \cdot \sqrt{\frac{2 \cdot 0,745}{1+0,745}} \cdot \sqrt{2 \cdot 4.336 \cdot 26,7 \cdot 3,40} \end{array} \right. \\
&= \min \left\{ \begin{array}{l} 1,362 \text{ N} \\ 2,368 \text{ N} \\ 847 \text{ N} \\ 697 \text{ N} \\ 1,001 \text{ N} \\ 943 \text{ N} \end{array} \right. \\
&= 697 \text{ N}
\end{aligned}$$

Bemessungswert der Tragfähigkeit eines Verbindungs mittels

$$F_{v,Rd} = k_{mod} \cdot \frac{F_{v,Rk}}{\gamma_{Verb}} = 1,00 \cdot \frac{697}{1,30} = 536 \text{ N}$$

Bemessungswert der Beanspruchbarkeit auf Abscheren in einer Wandscheibe eines einzelnen Verbindungs mittels (Erhöhung der Tragfähigkeit um 20 %)

$$F_{f,v,Rd} = EF \cdot F_{v,Rk} = 1,20 \cdot 536 = 643 \text{ N}$$

### Ermittlung des Verbindungs mittelabstandes

$$b_i = 4,50 \text{ m} > b_0 = \frac{h}{2} = \frac{2,90}{2} = 1,45 \text{ m} \rightarrow c_i = 1,00$$

$$F_{i,v,Rd} = \eta \cdot m \cdot \frac{F_{f,v,Rd} \cdot b_i \cdot c_i}{s} \rightarrow \text{im Grenzfall: } F_{7,v,Rd} = F_{7,v,Ed;IV} = 48,2 \text{ kN}$$

erforderlicher Verbindungs mittelabstand

$$\rightarrow s_{req} \leq \eta \cdot m \cdot \frac{F_{f,v,Rd} \cdot b_i \cdot c_i}{F_{7,v,Ed;IV}} = 0,938 \cdot 2 \cdot \frac{0,643 \cdot 4,50 \cdot 1,00}{48,2} = 0,113 \text{ m} = 113 \text{ mm}$$

mit

$m = 2$  für eine beidseitige Beplankung bei gleicher Beplankungsdicke und gleichem Verbindungs mittelabstand

maximaler Verbindungs mittelabstand gemäß Abschnitt EN 1995-1-1:2019, Abschnitt 10.8.2 für Nägel:

$\rightarrow s_{max,Außen} = 150 \text{ mm}$  an den Beplankungsrändern und  $s_{max,Innen} = 300 \text{ mm}$  bzw.  $\max 2 \cdot s_{max,Außen}$  an den Innenstielen

gewählt: Druckluftnägel  $d = 3,40 \mid l = 50,0 \text{ mm} \mid s_{Außen} = 100 \text{ mm}$  bzw.  $s_{Innen} = 200 \text{ mm}$

### Nachweis mit Schrägstellung der Wand

Eine Berücksichtigung der Auswirkungen von Imperfektionen in Form einer Schrägstellung und ein Nachweis der horizontalen Verformung ist für die vorliegende Schubwand auf Grund der geometrischen Randbedingungen nicht erforderlich.

### Anschluss der Wand an das darunterliegende Geschoß

- Übertragung der Schubbeanspruchung in der Ebene

zu übertragende Schubkräfte:  $F_{2/3,d} = F_{7,v,Ed;IV} = 48,2 \text{ kN}$  und

$$F_{4/5,d} = v_{z,d} \cdot IV = 1,80 \cdot (4,50 + 2,0/2) = 9,90 \text{ kN}$$

gewählt: 6w x Stahlwinkel mit  $R_{2,k} = R_{3,k} = 11,2 \text{ kN}$  sowie  $R_{4,k} = R_{5,k} = 6,1 / k_{mod}$   
mit Rillennägel 9 x 4,0 x 60 mm

Bemessungswerte

$$R_{2,d} = R_{3,d} = \frac{R_{2/3,k}}{\gamma_{M,Verb}} = \frac{11,2}{1,30} = 8,62 \text{ kN}$$

$$R_{4,d} = R_{5,d} = \frac{6,10}{k_{mod}} \cdot \frac{1}{\gamma_{M,Verb}} = \frac{6,10}{1,00} \cdot \frac{1}{1,30} = 4,69 \text{ kN}$$

Nachweis

$$\sqrt{\left(\frac{F_{1,d}}{n \cdot R_{1,d}} + \frac{F_{4/5,d}}{n \cdot R_{4/5,d}}\right)^2 + \left(\frac{F_{2/3,d}}{n \cdot R_{2/3,d}}\right)^2} = \sqrt{\left(0 + \frac{48,2}{6 \cdot 8,62}\right)^2 + \left(\frac{9,90}{6 \cdot 4,69}\right)^2} = \sqrt{0,869 + 0,124} = 1,00 = 1$$

- Zugverankerung (an beiden Wandenden)

zu übertragende Zugkraft:  $F_{t,Ed;V} = 24,6 \text{ kN}$

gewählt: Zuganker  $F_{1,k} = \min[(n-3,5) \cdot 2,36 \text{ [kN]}; 53,1 \text{ [kN]}; 57,5/k_{mod} \text{ [kN]}]$  mit Rillennägel 4,0 x 60 mm und maximaler Anzahl der Rillennägel je Zuganker:  $n = 26$

Bemessungswert der Tragfähigkeit eines Zugankers

$$R_{1,d} = \min \left\{ \begin{array}{l} (n-3,5) \cdot 2,36 \text{ [kN]} \\ 53,1 \text{ [kN]} \\ \frac{57,5}{k_{mod}} \text{ [kN]} \end{array} \right\} \cdot \frac{1}{\gamma_{M,Verb}} = \min \left\{ \begin{array}{l} (18-3,5) \cdot 2,36 = 34,2 \text{ [kN]} \\ 53,1 \text{ [kN]} \\ \frac{57,5}{1,00} = 57,5 \text{ [kN]} \end{array} \right\} \cdot \frac{1}{1,30} = \min \left\{ \begin{array}{l} 26,3 \text{ kN} \\ 40,8 \text{ kN} \\ 44,2 \text{ kN} \end{array} \right\} = 26,3 \text{ kN}$$

Nachweis

$$\frac{F_{t,Ed;V}}{R_{1,d}} = \frac{24,6}{26,3} = 0,94 < 1$$

Anmerkung:

Zusätzlich zu den dargestellten Nachweisen ist nachzuweisen, dass die einwirkenden Beanspruchungen in die darunterliegende Betonkonstruktion eingeleitet werden können!

### Variante B: Berechnung der Schubscheiben für Brettsperrholzwände

Die Berechnung der Schubkräfte für die BSP-Wände erfolgt analog zu jenen für die Holzleichtbauwände. Die Schubsteifigkeiten von Wänden aus Brettsperrholz sollten jedoch näherungsweise mit der 1,5-fachen Potenz der Wandscheibenlänge berücksichtigt werden:

$$B_{x,i} \approx l_{x,i}^{1,5} \quad \text{und} \quad B_{y,i} \approx l_{y,i}^{1,5}$$

Nachfolgend sind die Berechnungsergebnisse in Tabellen zusammengefasst.

- Ermittlung der Lage des Steifigkeitszentrums

Wand	$B_{x,i}$	$B_{y,i}$	$y_i$	$x_i$	$B_{x,i} \cdot y_i$	$B_{y,i} \cdot x_i$	$y_i - y_s$	$x_i - x_s$	$B_{x,i} \cdot (y_i - y_s)^2$	$B_{y,i} \cdot (x_i - x_s)^2$
	[m]	[m]	[m]	[m]	[m <sup>2</sup> ]	[m <sup>2</sup> ]	[m]	[m]	[m <sup>3</sup> ]	[m <sup>3</sup> ]
X1	$4,00^{1,5} = 8,00$	-	0	-	0	-	-4,38	-	153	-
X2	$1,00^{1,5} = 1,00$	-	0	-	0	-	-4,38	-	19,2	-
X3	(0,354)	-	0	-	-	-	-	-	-	-
X4	$1,00^{1,5} = 1,00$	-	0	-	0	-	-4,38	-	19,2	-
X5	$4,25^{1,5} = 8,76$	-	3,50	-	30,7	-	-0,880	-	6,78	-
X6	$3,25^{1,5} = 5,86$	-	3,50	-	20,5	-	-0,880	-	4,54	-
X7	$2,00^{1,5} = 2,83$	-	5,50	-	15,6	-	1,12	-	3,55	-
X8	$4,50^{1,5} = 9,55$	-	10,0	-	95,5	-	5,62	-	302	-
Y1	-	$1,50^{1,5} = 1,84$	-	0	-	0	-	-8,55	-	135
Y2	-	$3,00^{1,5} = 5,20$	-	0	-	0	-	-8,55	-	380
Y3	-	$2,25^{1,5} = 3,38$	-	4,00	-	13,5	-	-4,55	-	70,0
Y4	-	$2,25^{1,5} = 3,38$	-	4,00	-	13,5	-	-4,55	-	70,0
Y5	-	$3,50^{1,5} = 6,55$	-	9,00	-	59,0	-	0,450	-	1,33
Y6	-	$3,50^{1,5} = 6,55$	-	14,0	-	91,7	-	5,45	-	195
Y7	-	$4,50^{1,5} = 9,55$	-	14,0	-	134	-	5,45	-	284
Summe	37,0	36,5			162	312			508	1.135

Lage des Steifigkeitszentrums

$$x_s = \frac{\sum_i B_{y,i} \cdot x_i}{\sum_i B_{y,i}} = \frac{312}{36,5} = 8,55 \text{ m} \quad y_s = \frac{\sum_i B_{x,i} \cdot y_i}{\sum_i B_{x,i}} = \frac{162}{37,0} = 4,38 \text{ m}$$

polares Trägheitsmoment

$$I_p = \sum_i B_{y,i} \cdot (x_i - x_s)^2 + \sum_i B_{x,i} \cdot (y_i - y_s)^2 = 1.135 + 508 = 1.643 \text{ m}^3$$

- Berechnung der Wandscheibenkräfte

- Lastfall I: Wind in Richtung der x-Achse mit positiver Exzentrizität

$$W_{I,x,k} = +78,8 \text{ kN} \quad | \quad e_{y,i} = \left( \frac{l_y}{2} - y_s \right) + \frac{l_y}{10} = \left( \frac{10,0}{2} - 4,38 \right) + \frac{10,0}{10} = 1,62 \text{ m} \quad | \quad M_{I,x,k} = W_{x,k} \cdot |e_y| = 78,8 \cdot 1,62 = 128 \text{ kNm}$$

Wand	<b>B<sub>x,i</sub></b>	<b>B<sub>y,i</sub></b>	<b>y<sub>i</sub>-y<sub>s</sub></b>	<b>x<sub>i</sub>-x<sub>s</sub></b>	<b>F<sub>F,x,d</sub></b>	<b>F<sub>F,y,d</sub></b>	<b>F<sub>M,x,d</sub></b>	<b>F<sub>M,y,d</sub></b>	<b>F<sub>x,d</sub></b>	<b>F<sub>y,d</sub></b>
	[m]	[m]	[m]	[m]	[kN]	[kN]	[kN]	[kN]	[kN]	[kN]
X1	8,00	-	- 4,38	-	- 17,0	-	2,73	-	- 14,3	-
X2	1,00	-	- 4,38	-	- 2,13	-	0,341	-	- 1,79	-
X3	(0,354)	-	-	-	-	-	-	-	-	-
X4	1,00	-	- 4,38	-	- 2,13	-	0,341	-	- 1,79	-
X5	8,76	-	- 0,880	-	- 18,7	-	0,601	-	- 18,1	-
X6	5,86	-	- 0,880	-	- 12,5	-	0,402	-	- 12,1	-
X7	2,83	-	1,12	-	- 6,03	-	- 0,247	-	- 6,28	-
X8	9,55	-	5,62	-	- 20,3	-	- 4,18	-	- 24,5	-
Y1	-	1,84	-	- 8,55	-	-	-	- 1,23	-	- 1,23
Y2	-	5,20	-	- 8,55	-	-	-	- 3,46	-	- 3,46
Y3	-	3,38	-	- 4,55	-	-	-	- 1,20	-	- 1,20
Y4	-	3,38	-	- 4,55	-	-	-	- 1,20	-	- 1,20
Y5	-	6,55	-	0,450	-	-	-	0,230	-	0,230
Y6	-	6,55	-	5,45	-	-	-	2,78	-	2,78
Y7	-	9,55	-	5,45	-	-	-	4,05	-	4,05
Summe	37,0	36,5			≈ -78,8	-	≈ 0	≈ 0	≈ -78,8	≈ 0

- Lastfall II: Wind in Richtung der x-Achse mit negativer Exzentrizität

$$W_{II,x,k} = +78,8 \text{ kN} \quad | \quad e_{y,i} = \left( \frac{l_y}{2} - y_s \right) - \frac{l_y}{10} = \left( \frac{10,0}{2} - 4,38 \right) - \frac{10,0}{10} = -0,380 \text{ m} \quad | \quad M_{II,x,k} = W_{x,k} \cdot e_y = 78,8 \cdot (-0,380) = -29,9 \text{ kNm}$$

Wand	<b>B<sub>x,i</sub></b>	<b>B<sub>y,i</sub></b>	<b>y<sub>i</sub>-y<sub>s</sub></b>	<b>x<sub>i</sub>-x<sub>s</sub></b>	<b>F<sub>F,x,d</sub></b>	<b>F<sub>F,y,d</sub></b>	<b>F<sub>M,x,d</sub></b>	<b>F<sub>M,y,d</sub></b>	<b>F<sub>x,d</sub></b>	<b>F<sub>y,d</sub></b>
	[m]	[m]	[m]	[m]	[kN]	[kN]	[kN]	[kN]	[kN]	[kN]
X1	8,00	-	- 4,38	-	- 17,0	-	- 0,638	-	- 17,6	-
X2	1,00	-	- 4,38	-	- 2,13	-	- 0,0797	-	- 2,21	-
X3	(0,354)	-	-	-	-	-	-	-	-	-
X4	1,00	-	- 4,38	-	- 2,13	-	- 0,0797	-	- 2,21	-
X5	8,76	-	- 0,880	-	- 18,7	-	- 0,140	-	- 18,8	-
X6	5,86	-	- 0,880	-	- 12,5	-	- 0,0938	-	- 12,6	-
X7	2,83	-	1,12	-	- 6,03	-	0,0577	-	- 5,97	-
X8	9,55	-	5,62	-	- 20,3	-	0,977	-	- 19,3	-
Y1	-	1,84	-	- 8,55	-	-	-	0,286	-	0,286
Y2	-	5,20	-	- 8,55	-	-	-	0,809	-	0,809
Y3	-	3,38	-	- 4,55	-	-	-	0,280	-	0,280
Y4	-	3,38	-	- 4,55	-	-	-	0,280	-	0,280
Y5	-	6,55	-	0,450	-	-	-	- 0,0536	-	- 0,0536
Y6	-	6,55	-	5,45	-	-	-	- 0,650	-	- 0,650
Y7	-	9,55	-	5,45	-	-	-	- 0,947	-	- 0,947
Summe	37,0	36,5			≈ -78,8	-	≈ 0	≈ 0	≈ -78,8	≈ 0

- Lastfall III: Wind in Richtung der y-Achse mit postiver Exzentrizität

$$W_{III,y,k} = +111 \text{ kN} \quad | \quad e_{x,1} = \left( \frac{l_x}{2} - x_s \right) - \frac{l_x}{10} = \left( \frac{14,0}{2} - 8,55 \right) + \frac{14,0}{10} = -0,150 \text{ m} \quad | \quad M_{III,y,k} = W_{y,k} \cdot e_x = 111 \cdot (-0,150) = -16,7 \text{ kNm}$$

Wand	$B_{x,i}$	$B_{y,i}$	$y_i - y_s$	$x_i - x_s$	$F_{F,x,d}$	$F_{F,y,d}$	$F_{M,x,d}$	$F_{M,y,d}$	$F_{x,d}$	$F_{y,d}$
	[m]	[m]	[m]	[m]	[kN]	[kN]	[kN]	[kN]	[kN]	[kN]
X1	8,00	-	- 4,38	-	-	-	- 0,356	-	- 0,356	-
X2	1,00	-	- 4,38	-	-	-	- 0,0445	-	- 0,0445	-
X3	(0,354)	-	-	-	-	-	-	-	-	-
X4	1,00	-	- 4,38	-	-	-	- 0,0445	-	- 0,0445	-
X5	8,76	-	- 0,880	-	-	-	- 0,0784	-	- 0,0784	-
X6	5,86	-	- 0,880	-	-	-	- 0,0524	-	- 0,0524	-
X7	2,83	-	1,12	-	-	-	0,0322	-	0,0322	-
X8	9,55	-	5,62	-	-	-	0,546	-	0,546	-
Y1	-	1,84	-	- 8,55	-	- 5,60	-	0,160	-	- 5,44
Y2	-	5,20	-	- 8,55	-	- 15,8	-	0,452	-	- 15,3
Y3	-	3,38	-	- 4,55	-	- 10,3	-	0,156	-	- 10,1
Y4	-	3,38	-	- 4,55	-	- 10,3	-	0,156	-	- 10,1
Y5	-	6,55	-	0,450	-	- 19,9	-	- 0,0300	-	- 19,9
Y6	-	6,55	-	5,45	-	- 19,9	-	- 0,363	-	- 20,3
Y7	-	9,55	-	5,45	-	- 29,0	-	- 0,529	-	- 29,5
Summe	37,0	36,5			-	$\approx - 111$	$\approx 0$	$\approx 0$	$\approx 0$	$\approx - 111$

- Lastfall IV: Wind in Richtung der y-Achse mit negativer Exzentrizität

$$W_{IV,y,k} = +111 \text{ kN} \quad | \quad e_{x,1} = \left( \frac{l_x}{2} - x_s \right) - \frac{l_x}{10} = \left( \frac{14,0}{2} - 8,55 \right) - \frac{14,0}{10} = -2,95 \text{ m} \quad | \quad M_{IV,y,k} = W_{y,k} \cdot e_x = 111 \cdot (-2,95) = -327 \text{ kNm}$$

Wand	$B_{x,i}$	$B_{y,i}$	$y_i - y_s$	$x_i - x_s$	$F_{F,x,d}$	$F_{F,y,d}$	$F_{M,x,d}$	$F_{M,y,d}$	$F_{x,d}$	$F_{y,d}$
	[m]	[m]	[m]	[m]	[kN]	[kN]	[kN]	[kN]	[kN]	[kN]
X1	8,00	-	- 4,38	-	-	-	- 6,97	-	- 6,97	-
X2	1,00	-	- 4,38	-	-	-	- 0,872	-	- 0,872	-
X3	(0,354)	-	-	-	-	-	-	-	-	-
X4	1,00	-	- 4,38	-	-	-	- 0,872	-	- 0,872	-
X5	8,76	-	- 0,880	-	-	-	- 1,53	-	- 1,53	-
X6	5,86	-	- 0,880	-	-	-	- 1,03	-	- 1,03	-
X7	2,83	-	1,12	-	-	-	0,631	-	0,631	-
X8	9,55	-	5,62	-	-	-	10,7	-	10,7	-
Y1	-	1,84	-	- 8,55	-	- 5,60	-	3,13	-	- 2,47
Y2	-	5,20	-	- 8,55	-	- 15,8	-	8,85	-	- 6,95
Y3	-	3,38	-	- 4,55	-	- 10,3	-	3,06	-	- 7,24
Y4	-	3,38	-	- 4,55	-	- 10,3	-	3,06	-	- 7,24
Y5	-	6,55	-	0,450	-	- 19,9	-	- 0,587	-	- 20,5
Y6	-	6,55	-	5,45	-	- 19,9	-	- 7,10	-	- 27,0
Y7	-	9,55	-	5,45	-	- 29,0	-	- 10,4	-	- 39,4
Summe	37,0	36,5			-	$\approx - 111$	$\approx 0$	$\approx 0$	$\approx 0$	$\approx - 111$

### Zusammenfassung der Schubkräfte in den Brettsperrenholzwänden

Wand	Lastfall I		Lastfall II		Lastfall III		Lastfall IV		Bemessungswerte			
	F <sub>x,d</sub>	F <sub>y,d</sub>	F <sub>x,d</sub> / I	F <sub>y,d</sub> / II								
	[kN]	[kN/m]	[kN/m]									
X1	- 14,3	-	- 17,6	-	- 0,356	-	- 6,97	-	17,6	-	4,40	-
X2	- 1,79	-	- 2,21	-	- 0,0445	-	- 0,872	-	2,21	-	2,21	-
X3	-	-	-	-	-	-	-	-	-	-	-	-
X4	- 1,79	-	- 2,21	-	- 0,0445	-	- 0,872	-	2,21	-	2,21	-
X5	- 18,1	-	- 18,8	-	- 0,0784	-	- 1,53	-	18,8	-	4,42	-
X6	- 12,1	-	- 12,6	-	- 0,0524	-	- 1,03	-	12,6	-	3,88	-
X7	- 6,28	-	- 5,97	-	0,0322	-	0,631	-	6,28	-	3,14	-
X8	- 24,5	-	- 19,3	-	0,546	-	10,7	-	24,5	-	5,44	-
Y1	-	- 1,23	-	0,286	-	- 5,44	-	- 2,47	-	5,44	-	3,63
Y2	-	- 3,46	-	0,809	-	- 15,3	-	- 6,95	-	15,3	-	5,10
Y3	-	- 1,20	-	0,280	-	- 10,1	-	- 7,24	-	10,1	-	4,49
Y4	-	- 1,20	-	0,280	-	- 10,1	-	- 7,24	-	10,1	-	4,49
Y5	-	0,230	-	- 0,0536	-	- 19,9	-	- 20,5	-	20,5	-	5,86
Y6	-	2,78	-	- 0,650	-	- 20,3	-	- 27,0	-	27,0	-	7,71
Y7	-	4,05	-	- 0,947	-	- 29,5	-	- 39,4	-	39,4	-	8,76

### Exemplarische Nachweisführung für die Wand Y7

Nachfolgend wird die Nachweisführung exemplarisch für die Wand Y7 gezeigt. Dazu werden für die sonstigen Einwirkungen folgende Annahmen getroffen:

#### Einwirkungen

- ständige Einwirkung (vertikal)  $g_k = 30,0 \text{ kN/m}$
- veränderliche Einwirkung (vertikal)
  - aus Nutzlast  $p_k = 18,0 \text{ kN/m}$
  - aus Schnee  $s_k = 1,68 \text{ kN/m}$
  - aus Wind (horizontal)  $0,751 \cdot (0,80 - (-0,30)) = w_k = +/- 0,826 \text{ kN/m}$

#### Einwirkungskombinationen

- Einwirkungskombination I: Nutzlast führend, Schnee begleitend  
- in der Wandebene

$$n_{d,I} = \gamma_G \cdot g_k + \gamma_Q \cdot p_k + \gamma_0 \cdot \psi_{0,s} \cdot s_k = 1,35 \cdot 30,0 + 1,50 \cdot 18,0 + 1,50 \cdot 0,50 \cdot 1,68 = 68,8 \text{ kN/m}$$

Einwirkungskombination II: Nutzlast führend, Schnee und Wind begleitend  
Schubkraft in der Wandebene

$$W_{7,y,d,II} = \gamma_Q \cdot \psi_{0,w} \cdot W_{7,y,k} = 1,50 \cdot 0,60 \pm 39,4 = \pm 35,5 \text{ kN} \text{ bzw. } w_{7,y,d,II} = \gamma_Q \cdot \psi_{0,w} \cdot w_{7,y,k} = 1,50 \cdot 0,60 \cdot \pm 8,76 = \pm 7,88 \text{ kN/m}$$

- normal zur Wandebene

$$v_{z,d;II} = \gamma_Q \cdot \psi_0 \cdot \frac{\pm w_{z,k} \cdot l}{2} = 1,50 \cdot 0,60 \cdot \frac{\pm 0,826 \cdot 2,90}{2} = \pm 1,08 \text{ kN/m}$$

$$m_{y,d;II} = \gamma_Q \cdot \psi_{0,w} \cdot \frac{\pm w_{z,k} \cdot l^2}{8} = 1,50 \cdot 0,60 \cdot \frac{\pm 0,826 \cdot 2,90^2}{8} = \pm 0,781 \text{ kNm/m}$$

Einwirkungskombination III: Wind führend, Nutzlast und Schnee begleitend

- in der Wandebene

$$n_{d;III} = \gamma_G \cdot g_k + \gamma_Q \cdot \psi_{0,p} \cdot p_k + \gamma_G \cdot \psi_{0,s} \cdot s_k = 1,35 \cdot 30,0 + 1,50 \cdot 0,70 \cdot 18,0 + 1,50 \cdot 0,50 \cdot 1,68 = 60,7 \text{ kN/m}$$

Schubkraft in der Wandebene

$$W_{7,y,d;III} = \gamma_Q \cdot W_{7,y,k} = 1,50 \cdot \pm 39,4 = \pm 59,1 \text{ kN} \quad \text{bzw.} \quad w_{7,y,d;III} = \gamma_Q \cdot w_{7,y,k} = 1,50 \cdot \pm 8,76 = \pm 13,1 \text{ kN/m}$$

- normal zur Wandebene

$$v_{z,d} = \gamma_Q \cdot \frac{\pm w_{z,k} \cdot l}{2} = 1,50 \cdot \frac{\pm 0,826 \cdot 2,90}{2} = \pm 1,80 \text{ kN/m}$$

$$m_{y,d;III} = \gamma_Q \cdot \frac{\pm w_{z,k} \cdot l^2}{8} = 1,50 \cdot \frac{\pm 0,826 \cdot 2,90^2}{8} = \pm 1,30 \text{ kNm/m}$$

Einwirkungskombination IV: ständige Einwirkung günstig

$$n_{d;IV} = \gamma_{G,inf} \cdot g_k = 0,90 \cdot 30,0 = 27,0 \text{ kN/m}$$

abhebende Kraft am Wandende

$$\sum M = 0: \quad F_{7,v,Ed;IV} \cdot h - n_{d;IV} \cdot l \cdot \frac{l}{2} + F_{7,t,Ed;IV} \cdot l = 0$$

$$F_{7,t,Ed;IV} = F_{7,v,Ed;IV} \cdot \frac{h}{b} - n_{d;IV} \cdot \frac{l}{2} = 59,1 \cdot \frac{2,90}{4,50} - 27,0 \cdot \frac{4,50}{2} = -22,7 \text{ kN},$$

d. h. die Kontaktfuge ist überdrückt; es tritt keine abhebende Kraft auf!

### Nachweisführung für den Wandbauteil

Aufbau der Wand      BSP, 3-schichtig,  $t_{clt} = 80 \text{ mm}$  (30-20-30 mm)

### Baustoffkennwerte

Modifikationsbeiwert:	$k_{mod} = 1,00$	Tab. III.5
Teilsicherheitsbeiwert:	$\gamma_M = 1,25$	Tab. III.3
Systembeiwert:	$k_{sys} = 1,20$ (> 8 Bretter parallel wirkend)	

Bemessungswerte

$$f_{m,lay,d} = k_{mod} \cdot \frac{k_{sys} \cdot f_{m,lay,k}}{\gamma_M} = 1,00 \cdot \frac{28,8}{1,25} = 23,0 \text{ N/mm}^2$$

$$f_{c,0,lay,d} = k_{mod} \cdot \frac{k_{sys} \cdot f_{c,0,lay,k}}{\gamma_M} = 1,00 \cdot \frac{25,2}{1,25} = 20,2 \text{ N/mm}^2$$

$$f_{v,0,lay,d} = k_{mod} \cdot \frac{f_{v,0,lay,k}}{\gamma_M} = 1,00 \cdot \frac{3,50}{1,25} = 2,80 \text{ N/mm}^2$$

$$f_{r,lay,d} = k_{mod} \cdot \frac{f_{r,lay,k}}{\gamma_M} = 1,00 \cdot \frac{1,00}{1,25} = 0,800 \text{ N/mm}^2$$

$$f_{tor,lay,d} = k_{mod} \cdot \frac{f_{tor,lay,k}}{\gamma_M} = 1,00 \cdot \frac{2,50}{1,25} = 2,00 \text{ N/mm}^2$$

$$f_{c,90,lay,d} = k_{mod} \cdot \frac{f_{c,90,lay,k}}{\gamma_M} = 1,00 \cdot \frac{3,00}{1,25} = 2,40 \text{ N/mm}^2$$

**Querschnittswerte**

$$A_{clt,x} = A_{clt,ef} = b \cdot \sum t_{\text{längs}} = 1.000 \cdot 2 \cdot 30,0 = 6,00 \cdot 10^4 \text{ mm}^2$$

$$A_{clt,y} = b \cdot \sum t_{\text{quer}} = 1.000 \cdot 20,0 = 2,00 \cdot 10^4 \text{ mm}^2$$

$$I_{clt} = \sum_i I_{eig} + \sum_i A_i \cdot e_{z,i}^2 = 1.000 \cdot \left( \frac{30,0^3}{12} + 2 \cdot 30,0 \cdot 25,0^2 \right) = 3,98 \cdot 10^7 \text{ mm}^4$$

$$W_{clt,y,Rand} = \frac{I_{clt}}{z_{Rand}} = \frac{3,98 \cdot 10^7}{40,0} = 9,95 \cdot 10^5 \text{ mm}^3$$

$$S_{clt,\tau} = b \cdot t_1 \cdot \frac{1}{2} \cdot (t_{clt} - t_1) = 1.000 \cdot 30,0 \cdot \frac{1}{2} \cdot (80,0 - 30,0) = 7,50 \cdot 10^5 \text{ mm}^3$$

$$i_{clt} = \sqrt{\frac{I_{clt}}{A_{clt,ef}}} = \sqrt{\frac{3,98 \cdot 10^7}{6,00 \cdot 10^4}} = 25,8 \text{ mm}$$

Knickbeiwert

$$\lambda_{clt,y} = \frac{l_k}{i_{clt}} = \frac{1,00 \cdot 2.900}{25,8} = 112 \quad \rightarrow k_{clt,c,y} = 0,267 \text{ (interpoliert)}$$

Tab. IV.47

**Nachweisführung**

• für die Lastfallkombination II

• für die Lastfallkombination III

Normalspannungen

$$\sigma_{c,0,d,II} = \frac{n_{d,II}}{A_{clt,ef}} = \frac{68,8 \cdot 10^3}{6,00 \cdot 10^4} = 1,15 \text{ N/mm}^2$$

$$\sigma_{c,0,d,III} = \frac{n_{d,III}}{A_{clt,ef}} = \frac{60,7 \cdot 10^3}{6,00 \cdot 10^4} = 1,01 \text{ N/mm}^2$$

Biegespannungen

$$\sigma_{m,y,d,II} = \frac{m_{y,d,II}}{W_{clt,y,Rand}} = \frac{0,781 \cdot 10^6}{9,95 \cdot 10^5} = 0,785 \text{ N/mm}^2$$

$$\sigma_{m,y,d,III} = \frac{m_{y,d,III}}{W_{clt,y,Rand}} = \frac{1,30 \cdot 10^6}{9,95 \cdot 10^5} = 1,31 \text{ N/mm}^2$$

Nachweis

mit  $\sigma_{m,z,d; i} = 0 \text{ N/mm}^2$ 

$$\begin{aligned} & \frac{\sigma_{c,0,d,II}}{k_{clt,c,y} \cdot f_{c,0,lay,d}} + \frac{\sigma_{m,y,d,II}}{k_{crit} \cdot f_{clt,m,lay,d}} + \left( \frac{\sigma_{m,z,d,II}}{f_{clt,m,lay,d}} \right)^2 = \\ &= \frac{1,15}{0,267 \cdot 20,2} + \frac{0,785}{1,00 \cdot 23,0} + 0 = \\ (1) \quad &= 0,213 + 0,0341 + 0 = 0,25 < 1 \end{aligned}$$

$$\begin{aligned} & \frac{\sigma_{c,0,d,III}}{k_{clt,c,y} \cdot f_{c,0,lay,d}} + \frac{\sigma_{m,y,d,III}}{k_{crit} \cdot f_{m,y,lay,d}} + \left( \frac{\sigma_{m,z,d,III}}{f_{m,z,lay,d}} \right)^2 = \\ &= \frac{1,01}{0,267 \cdot 20,2} + \frac{1,31}{1,00 \cdot 23,0} + 0 = \\ &= 0,187 + 0,0570 + 0 = 0,24 < 1 \end{aligned}$$

$$\begin{aligned} & \frac{\sigma_{c,0,d,II}}{k_{clt,c,z} \cdot f_{c,0,lay,d}} + \left( \frac{\sigma_{m,y,d,II}}{k_{crit} \cdot f_{clt,m,lay,d}} \right)^2 + \frac{\sigma_{m,z,d,II}}{f_{clt,m,lay,d}} = \\ &= \frac{1,15}{1,00 \cdot 20,2} + \left( \frac{0,785}{1,00 \cdot 23,0} \right)^2 + 0 = \\ (2) \quad &= 0,0569 + 0,00116 + 0 = 0,058 < 1 \end{aligned}$$

$$\begin{aligned} & \frac{\sigma_{c,0,d,III}}{k_{clt,c,z} \cdot f_{c,0,lay,d}} + \left( \frac{\sigma_{m,y,d,III}}{k_{crit} \cdot f_{m,y,lay,d}} \right)^2 + \frac{\sigma_{m,z,d,III}}{f_{m,z,lay,d}} = \\ &= \frac{1,01}{1,00 \cdot 20,2} + \left( \frac{1,31}{1,00 \cdot 23,0} \right)^2 + 0 = \\ &= 0,0500 + 0,00324 + 0 = 0,053 < 1 \end{aligned}$$

**Schub aus der Plattentragwirkung**

Schubspannungen

$$\tau_{r,d;III} = \tau_{v,d;III} = \frac{v_{z,d;III} \cdot S_{clt,t}}{I_{clt} \cdot b} = \frac{1,80 \cdot 10^3 \cdot 7,50 \cdot 10^5}{3,98 \cdot 10^7 \cdot 1,000} = 0,0339 \text{ N/mm}^2$$

Nachweis

$$\frac{\tau_{r,d;III}}{f_{r,lay,d}} = \frac{0,0339}{0,800} = 0,042 < 1$$

**Schub aus der Scheibentragwirkung**

$$\min(A_{clt,x}, A_{clt,y}) = \min\left(\frac{6,00 \cdot 10^4}{2,00 \cdot 10^4}\right) = 2,00 \cdot 10^4 \text{ mm}^2$$

$$\tau_{v,0,d;III} = \frac{W_{7,y,d;III}}{\min(A_{clt,x}, A_{clt,y})} = \frac{13,1 \cdot 10^3}{2,00 \cdot 10^4} = 0,655 \text{ N/mm}^2$$

Nachweis

$$\frac{\tau_{v,d;III} + \tau_{v,0,d;III}}{f_{v,0,lay,d}} = \frac{0,0339 + 0,655}{2,80} = 0,25 < 1$$

Nachweis der Torsionsschubspannungen

$$\tau_{tor,d;III} = \frac{3 \cdot \tau_{v,0,d;III} \cdot t_{max}}{a} = \frac{3 \cdot 0,655 \cdot 30,0}{80,0} = 0,737 \text{ N/mm}^2$$

$$\frac{\tau_{tor,d;III}}{f_{tor,lay,d}} = \frac{0,737}{2,00} = 0,37 < 1$$

**Anschluss der Wand an das darunterliegende Geschoß**

- Übertragung der Schubbeanspruchung in der Ebene

zu übertragende Schubkraft:  $F_{2/3,d} = F_{7,v,Ed;III} = 59,1 \text{ kN}$  und  
 $F_{4/5,d} = v_{z,d;III} = 1,80 \cdot (4,50 + 2,0/2) = 9,90 \text{ kN}$

→ gemäß ÖNORM B 1995-1-1:2019, Abschnitt K.10 ist für die Verbindung von Brettsperrholz mit massiven Bauteilen (Winkelverbinder) ein Maximalabstand von  $e_{max} = 1.000 \text{ mm}$  einzuhalten.

gewählt: 8 x Stahlwinkel mit  $R_{2,k} = R_{3,k} = 11,2 \text{ kN}$  sowie  $R_{4,k} = R_{5,k} = 6,10 / k_{mod}$  mit Rillennägel 9 x 4,0 x 60 mm

Bemessungswerte

$$R_{2,d} = R_{3,d} = \frac{R_{2/3,k}}{\gamma_{M,Verb}} = \frac{11,2}{1,30} = 8,62 \text{ kN}$$

$$R_{4,d} = R_{5,d} = \frac{6,10}{k_{mod}} \cdot \frac{1}{\gamma_{M,Verb}} [\text{kN}] = \frac{6,10}{1,00} \cdot \frac{1}{1,30} = 4,69 \text{ kN}$$

Nachweis

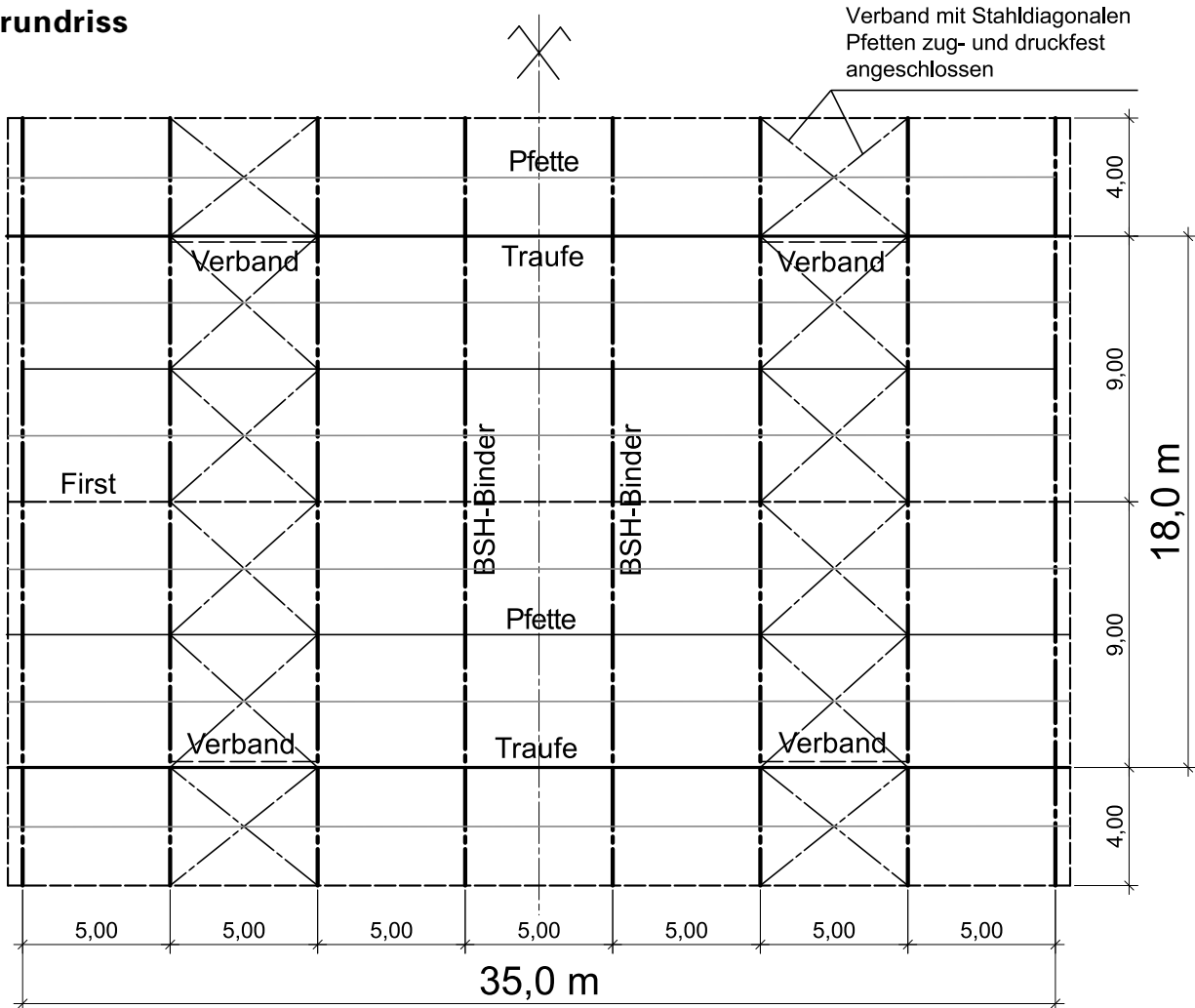
$$\sqrt{\left(\frac{F_{1,d}}{n \cdot R_{1,d}} + \frac{F_{4/5,d}}{n \cdot R_{4/5,d}}\right)^2 + \left(\frac{F_{2/3,d}}{n \cdot R_{2/3,d}}\right)^2} = \sqrt{\left(0 + \frac{59,1}{8 \cdot 8,62}\right)^2 + \left(\frac{9,90}{8 \cdot 4,69}\right)^2} = \sqrt{0,734 + 0,0696} = 0,90 < 1$$

Anmerkung:

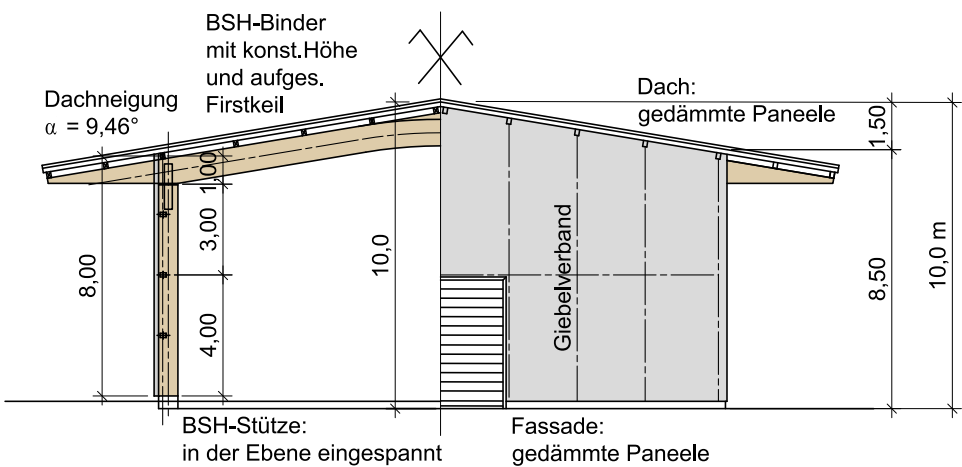
Zusätzlich zu den dargestellten Nachweisen ist zu zeigen, dass die einwirkenden Beanspruchungen in die darunterliegende Betonkonstruktion eingeleitet werden können!

## IX.2 HALLE

### Grundriss



### Schnitt / Ansicht



**gegeben:**

Abmessungen: Länge  $l = 35,0$  m (Binderabstand: 5 m)  
 Breite  $b = 18,0$  m  
 Auskragung  $l_{KA} = 4,00$  m  
 Traufenhöhe  $h = 8,50$  m, Firsthöhe  $h = 10,0$  m  
 Dachneigung:  $\alpha = 9,46^\circ$   
 Standort: Zeltweg

**Einwirkungen****ständige Einwirkungen (Eigengewicht)**

Eigengewicht Binder (Schätzung)	$g_{k,1} = 5,00 \cdot 0,180 \cdot 18,0 / 17 = 0,953 \text{ kN/m} \approx 1,00 \text{ kN/m}$
Dachaufbau (inkl. Windverband) (Schätzung)	$g_{k,2} = 0,30 \text{ kN/m}^2 \cdot 5,00 = 1,50 \text{ kN/m}$
Summe Eigengewicht Binder	$g_k = 1,00 + 1,50 = 2,50 \text{ kN/m}$
Eigengewicht Stütze (Schätzung)	$g_{k,1} = 5,00 \cdot 0,180 \cdot 0,640 = 0,576 \text{ kN/m}$
Wandaufbau (inkl. Windverband) (Schätzung)	$g_{k,2} = 0,20 \text{ kN/m}^2 \cdot 5,00 = 1,00 \text{ kN/m}$
Summe Eigengewicht Wand	$g_k = 0,576 + 1,00 = 1,58 \text{ kN/m} \approx 1,60 \text{ kN/m}$

**Schnee**

charakteristischer Wert der Schneelast (am Boden):	$s_{-k}^* = 1,30 \text{ kN/m}^2$
Formbeiwert für ein Satteldach:	$\mu_2 = 0,8$ (für $\alpha \leq 30^\circ$ )
charakteristischer Wert der Schneelast (am Dach):	$s_{-k} = \mu \cdot s_{-k}^* = 0,8 \cdot 1,30 = 1,04 \text{ kN/m}^2$
Einwirkung aus Schnee auf den Binder:	$s_k = s_{-k} \cdot e = 1,04 \cdot 5,00 = 5,20 \text{ kN/m}$

**Wind**

Basisgeschwindigkeitsdruck:	$q_{b,0} = 0,36 \text{ kN/m}^2$
Geländekategorie:	II

Spitzengeschwindigkeitsdruck:

$$q_p = q_{b,0} \cdot 2,1 \cdot \left( \frac{z}{10} \right)^{0,24} = 0,36 \cdot 2,1 \cdot \left( \frac{10,0}{10} \right)^{0,24} = 0,756 \text{ kN/m}^2$$

**Winddruck auf Oberflächen**

auf die Außenflächen einwirkender Winddruck nach EN 1991-1-4:2011, Abschnitt 5.1 [11]	auf die Innenflächen einwirkender Winddruck nach EN 1991-1-4:2011, Abschnitt 5.2 [11]
$w_e = q_p(z_e) \cdot c_{pe}$	$w_i = q_p(z_i) \cdot c_{pi}$
$w_{res} = w_e - w_i = q_p(z_e) \cdot c_{pe} - q_p(z_i) \cdot c_{pi}$	

### Windwirkung auf die Wände

Ermittlung der Druckbeiwerte für prismatische Körper nach ÖNORM B 1991-1-4:2019, Tab. 4 und Tab. 5 [12]

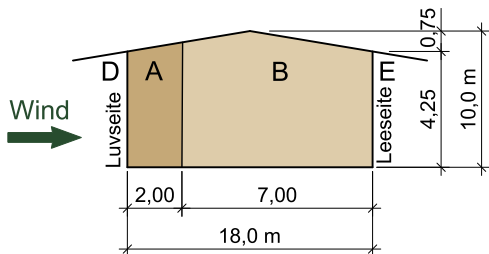
- Außen- und Innendruckbeiwerte für die Wände

Dachfläche	Außendruckbeiwert $c_{pe,10}$ bei Anströmung		Innendruckbeiwert $c_{pi}$
	normal zum First ( $\Theta = 0^\circ$ )	parallel zum First ( $\Theta = 90^\circ$ )	
	$d/b = 18,0/35,0 = 0,514$ $h/b = 10,0/35,0 = 0,286 \leq 0,5$	$d/b = 35,0/18,0 = 1,94$ $h/b = 8,50/18,0 = 0,472 \leq 0,5$	
Bereich A	- 1,00	- 1,00	
Bereich B	- 0,70	- 0,70	+ 0,20 / - 0,30
Bereich C	-	- 0,40	nach EN 1991-1-4 , Abschnitt 7.2.9 (6), Anmerkung 2
Bereich D		+ 0,800	
Bereich E	- 0,313	- 0,159	

Windrichtung normal zum First

$$e = \min(l_{\text{Halle}}; 2 \cdot h_{\text{First}}) = \min(35,0; 2 \cdot 10,0) = 20,0 \text{ m}$$

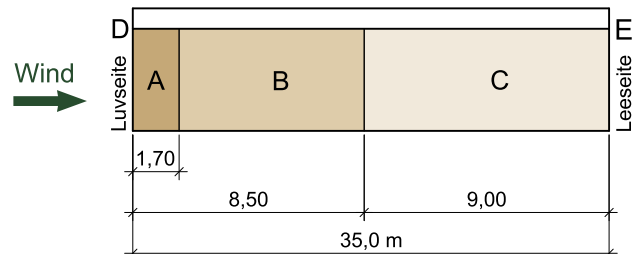
Ansicht:  $e = 20,0 \text{ m} > d = b_{\text{Halle}} = 18,0 \text{ m}$



Windrichtung parallel zum First

$$e = \min(b_{\text{Halle}}; 2 \cdot h_{\text{Traufe}}) = \min(18,0; 2 \cdot 8,50) = 17,0 \text{ m}$$

Ansicht:  $e = 17,0 \text{ m} < d = l_{\text{Halle}} = 35,0 \text{ m}$



### Kombinationen der Winddrücke aus Außen- und Innendruckbeiwerten

Dachfläche	Winddrücke [ $\text{kN}/\text{m}^2$ ]			
	mit $c_{pi} = +0,20$		mit $c_{pi} = -0,30$	
	normal zum First	parallel zum First	normal zum First	parallel zum First
Bereich A	0,756 · (-1,00-0,20) = <b>-0,907</b>		0,756 · (-1,00-(-0,30)) = <b>-0,529</b>	
Bereich B	0,756 · (-0,70-0,20) = <b>-0,680</b>		0,756 · (-0,70-(-0,30)) = <b>-0,302</b>	
Bereich C	-	0,756 · (-0,40-0,20) = <b>-0,454</b>	-	0,756 · (-0,40-(-0,30)) = <b>-0,0756</b>
Bereich D	0,756 · (+0,80-0,20) = <b>+0,454</b>		0,756 · (+0,80-(-0,30)) = <b>+0,832</b>	
Bereich E	0,756 · (-0,313-0,20) = <b>-0,388</b>	0,756 · (-0,159-0,20) = <b>+0,271</b>	0,756 · (-0,313-(-0,30)) = <b>-0,00983</b>	0,756 · (-0,159-(-0,30)) = <b>+0,107</b>

zum Vergleich: mit der Vereinfachung in ÖNORM B 1991-1-4 :2019 [12]

Dachfläche	Außendruckbeiwert $c_{pe,10}$	Innendruckbeiwert $c_{pi}$ für alle $d/b$ und $h/b \leq 2^a)$	Winddrücke [ $\text{kN}/\text{m}^2$ ]	
	mit $c_{pi} = +0,20$		mit $c_{pi} = -0,30$	
Bereich A	- 1,20	+ 0,2 / - 0,3 nach EN 1991-1-4 , Abschnitt 7.2.9 (6), Anmerkung 2	0,756 · (-1,20-0,20) = <b>-1,06</b>	0,756 · (-1,20-(-0,30)) = <b>-0,680</b>
Bereich B, C	- 0,90		0,756 · (-0,90-0,20) = <b>-0,832</b>	0,756 · (-0,90-(-0,30)) = <b>-0,454</b>
Bereich D	+ 0,80		0,756 · (+0,80-0,20) = <b>+0,454</b>	0,756 · (+0,80-(-0,30)) = <b>+0,832</b>
Bereich E	- 0,45		0,756 · (-0,45-0,20) = <b>-0,491</b>	0,756 · (-0,45-(-0,30)) = <b>-0,113</b>

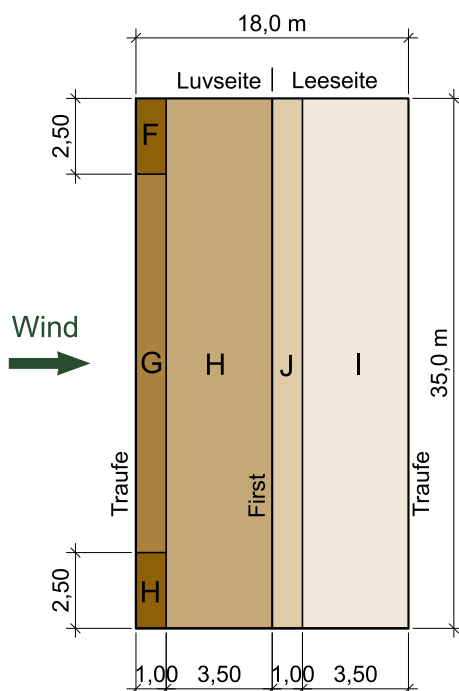
<sup>a)</sup> bei Anströmung normal zum First:  $h/b = 10,0 / 35,0 = 0,286$   
bei Anströmung parallel zum First:  $h/b = 8,50 / 18,0 = 0,472$

#### • Windwirkung auf das Satteldach ( $\alpha = 9,46^\circ$ )

Ermittlung der Druckbeiwerte nach ÖNORM EN 1991-1-4:2011 [11] für Sattel- und Trogdächer

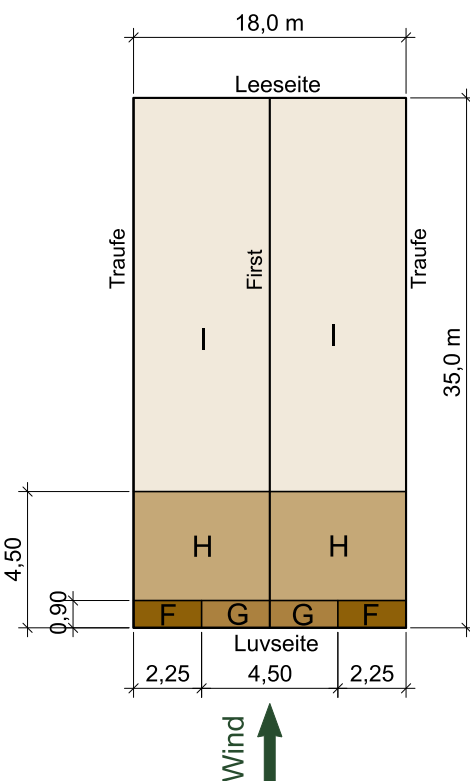
Windrichtung normal zum First

$$e = \min(l_{\text{Halle}}; 2 \cdot h_{\text{First}}) = \min(35,0; 2 \cdot 10,0) = 20,0 \text{ m}$$



Windrichtung parallel zum First

$$e = \min(B_{\text{Halle}}; 2 \cdot H_{\text{First}}) = \min(30,0; 2 \cdot 11,1) = 22,2 \text{ m}$$



### Außen- und Innendruckbeiwerte auf die Dachfläche

Ermittlung der Druckbeiwerte nach ÖNORM EN 1991-1-4:2011 [11], Tab. 7.4 a und Tab. 7.4 b für Sattel- und Trogdächer

Dachfläche	Außendruckbeiwert $c_{pe,10}$ bei Anströmung			Innendruckbeiwert $c_{pi}$	
	normal zum First ( $\Theta = 0^\circ$ )		parallel zum First ( $\Theta = 90^\circ$ )		
	Min	Max			
Bereich F	- 1,34	+ 0,0892	- 1,47	+ 0,2 / - 0,3 nach EN 1991-1-4 , Abschnitt 7.2.9 (6), Anmerkung 2	
Bereich G	- 1,02		- 1,30		
Bereich H	- 0,466		- 0,655		
Bereich I	- 0,511		- 0,555		
Bereich J	- 0,335		-		

### Kombinationen Winddrücke Außen- und Innendruckbeiwerte

- normal zum First ( $\Theta = 0^\circ$ )

Dachfläche	Winddrücke [ $\text{kN}/\text{m}^2$ ]			
	mit $c_{pi} = +0,20$		mit $c_{pi} = -0,30$	
	Min	Max	Min	Max
Bereich F	$0,756 \cdot (-1,34-0,20) = -1,16$	0,756 · (0,0892-0,20) = - 0,0838	$0,756 \cdot (-1,34-(-0,30)) = - 0,786$	0,756 · (0,0892-(-0,30)) = +0,294
Bereich G	$0,756 \cdot (-1,02-0,20) = - 0,922$		$0,756 \cdot (-1,02-(-0,30)) = - 0,544$	
Bereich H	$0,756 \cdot (-0,466-0,20) = - 0,503$		$0,756 \cdot (-0,466-(-0,30)) = - 0,125$	
Bereich I	$0,756 \cdot (-0,511-0,20) = - 0,538$	0,756 · (-0,332-0,20) = - 0,402	$0,756 \cdot (-0,511-(-0,30)) = - 0,160$	0,756 · (-0,332-(-0,30)) = - 0,0242
Bereich J	$0,756 \cdot (-0,335-0,20) = - 0,404$		$0,756 \cdot (-0,335-(-0,30)) = - 0,0265$	

- parallel zum First ( $\Theta = 90^\circ$ )

Dachfläche	Winddrücke [ $\text{kN}/\text{m}^2$ ]	
	mit $c_{pi} = +0,20$	mit $c_{pi} = -0,30$
Bereich F	$0,756 \cdot (-1,47-0,20) = - 1,26$	$0,756 \cdot (-1,47-(-0,30)) = - 0,885$
Bereich G	$0,756 \cdot (-1,30-0,20) = - 1,13$	$0,756 \cdot (-1,30-(-0,30)) = - 0,756$
Bereich H	$0,756 \cdot (-0,655-0,20) = - 0,646$	$0,756 \cdot (-0,655-(-0,30)) = - 0,268$
Bereich I	$0,756 \cdot (-0,555-0,20) = - 0,571$	$0,756 \cdot (-0,555-(-0,30)) = - 0,193$

zum Vergleich: mit der Vereinfachung in ÖNORM B 1991-1-4:2019 [12]

Dachfläche	Außendruckbeiwerte $c_{pe,10}$		Innendruckbeiwert $c_{pi}$	Winddrücke [ $\text{kN}/\text{m}^2$ ]	
	Min	Max		Min	Max
Bereich H, I	- 0,655	+ 0,0892	+ 0,2 / - 0,3 nach EN 1991-1-4, Abschnitt 7.2.9 (6), Anmerkung 2	$0,756 \cdot (-0,655-0,20) =$ <b>-0,646</b>	$0,756 \cdot (0,0892-(-0,30)) =$ <b>+0,294</b>
Bereich G, J, F	- 1,52	+ 0,200		$0,756 \cdot (-1,52-0,20) =$ <b>-1,30</b>	$0,756 \cdot (0,200-(-0,30)) =$ <b>+0,378</b>

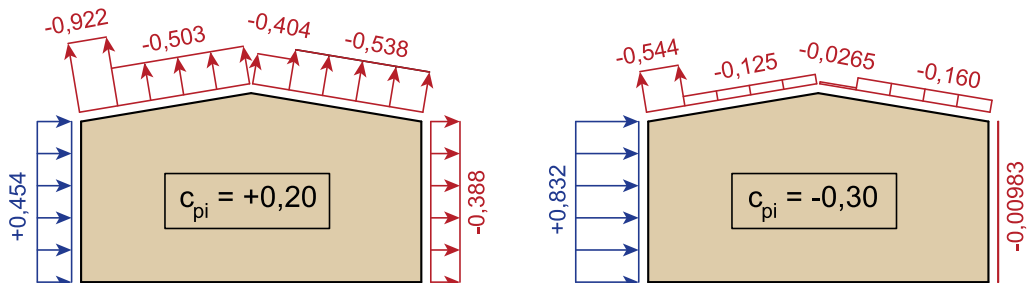
### Belastungsbilder Wind

Anmerkung:

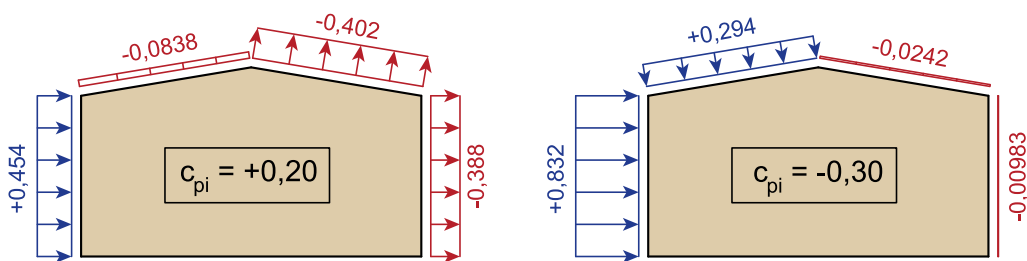
Es wurden jene Bereiche dargestellt, die für die Bemessung des „Regelbinders“ maßgeblich sind. Für den Nachweis des Randbinders ist eine gesonderte Betrachtung erforderlich.

normal zum First (Dachbereich G, H)

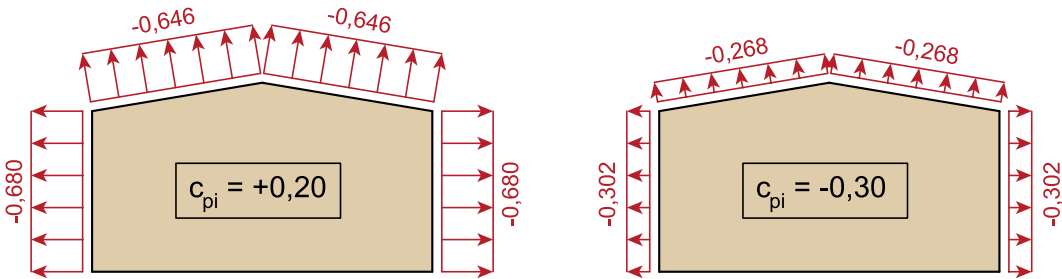
- Minimum



- Maximum



parallel zum First (Wandbereich B, Dachbereich H)



- Winddrücke - Dachüberstand

	mit $c_{pi} = +0,20$		mit $c_{pi} = -0,30$	
	normal zum First	parallel zum First	normal zum First	parallel zum First
Wand D bzw. B	0,454	- 0,680	0,832	- 0,302
Wand E bzw. B	- 0,388		- 0,00983	
Dach F bzw. H	- 1,16/ - 0,838	- 0,646	- 0,786/ + 0,294	- 0,268
Dach G bzw. H	- 0,922/ - 0,838		- 0,544/ + 0,294	
Dach I bzw. H	- 0,538/ - 0,402		- 0,160/ - 0,0242	

**Kombination I:** Anströmung normal zum First und Innendruck mit  $c_{pi} = +0,20$

- luvseitig

$$w_{DÜ,G,k} = -w_{D,k} - w_{G,k} = -0,454 - 0,922 = -1,38 \text{ kN/m}^2$$

$$w_{DÜ,G,k} = -w_{D,k} + w_{G,k} = -0,454 - 0,0838 = -0,538 \text{ kN/m}^2$$

- leeseitig

$$w_{DÜ,I,k} = w_{E,k} - w_{I,k} = 0,388 - 0,538 = -0,150 \text{ kN/m}^2$$

$$w_{DÜ,I,k} = w_{E,k} - w_{I,k} = 0,388 - 0,402 = -0,0140 \text{ kN/m}^2$$

**Kombination II:** Anströmung normal zum First und Innendruck mit  $c_{pi} = -0,30$

- luvseitig

$$w_{DÜ,G,k} = -w_{D,k} - w_{G,k} = -0,832 - 0,544 = -1,38 \text{ kN/m}^2$$

$$w_{DÜ,G,k} = -w_{D,k} + w_{G,k} = -0,832 + 0,294 = -0,538 \text{ kN/m}^2$$

- leeseitig

$$w_{DÜ,I,k} = w_{E,k} - (-w_{I,k}) = 0,00983 - 0,160 = -0,150 \text{ kN/m}^2$$

$$w_{DÜ,I,k} = w_{E,k} - (-w_{I,k}) = 0,00983 - 0,0242 = -0,0144 \text{ kN/m}^2$$

**Kombination III:** Anströmung parallel zum First und Innendruck mit  $c_{pi} = +0,20$

$$w_{DÜ,G,k} = w_{B,k} - w_{G,k} = 0,680 - 0,646 = 0,0340 \text{ kN/m}^2$$

**Kombination IV:** Anströmung parallel zum First und Innendruck mit  $c_{pi} = -0,30$

$$w_{DÜ,G,k} = w_{B,k} - w_{G,k} = 0,302 - 0,268 = 0,0340 \text{ kN/m}^2$$

#### Reibungskräfte infolge Wind

Für die vorliegende Geometrie ( $A_{fr} = 0$ ) sind keine Reibungskräfte zu berücksichtigen.

### Schnittgrößen und Einwirkungskombinationen für den Dachbinder

Anmerkung:

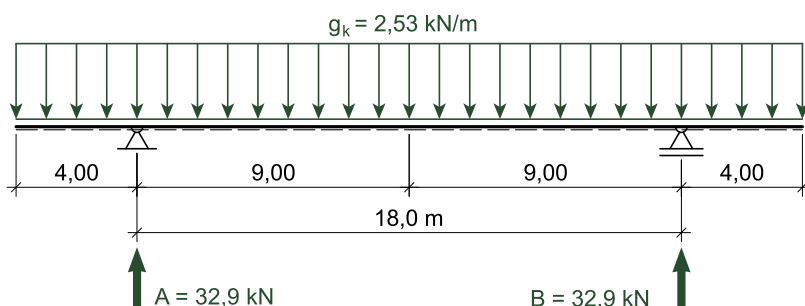
Es wird ausschließlich der „Regelbinder“ (für Wind Dachfläche G) betrachtet. Vereinfacht wird die ständige Einwirkung des Kragarmbereichs wie jene im Feldbereich berücksichtigt.

#### Schnittgrößen

- ständige Einwirkung Eigengewicht

Umlegung des Eigengewichts auf die horizontale Projektionsfläche

$$g_{\perp,k} = \frac{g_k}{\cos \alpha} = \frac{2,50}{\cos(9,46)} = 2,53 \text{ kN/m}$$



$$A_{g,k} = B_{g,k} = \frac{2,53 \cdot (2 \cdot 4,00 + 18,0)}{2} = 32,9 \text{ kN}$$

$$V_{g,k} = A_{g,k} - g_k \cdot l_A = 32,9 - 2,53 \cdot 4,00 = 22,8 \text{ kN}$$

$$M_{m,g,k} = A_{g,k} \cdot \left(\frac{l}{2}\right) - \frac{g_k \cdot \left(\frac{l}{2} + l_A\right)^2}{2} = 32,9 \cdot \left(\frac{18,0}{2}\right) - \frac{2,53 \cdot \left(\frac{18,0}{2} + 4,00\right)^2}{2} = 82,3 \text{ kNm}$$

$$M_{st,g,k} = -\frac{g_k \cdot l_A^2}{2} = -\frac{2,53 \cdot 4,00^2}{2} = -20,2 \text{ kNm}$$

Anmerkung:

Auf die Berücksichtigung von Normalkräften infolge der ständigen Einwirkung (Dachneigung) wird auf Grund der geringen Größe verzichtet.

- Schnee

Anmerkung:

Es wird ausschließlich der Lastfall „Schnee Voll“ in die weitere Betrachtung miteinbezogen.

$$s_k = 5,20 \text{ kN/m}$$

$$A_{s,k} = B_{s,k} = \frac{5,20 \cdot (2 \cdot 4,00 + 18,0)}{2} = 67,6 \text{ kN}$$

$$V_{s,k} = A_{s,k} - s_k \cdot l_A = 67,6 - 5,20 \cdot 4,00 = 46,8 \text{ kN}$$

$$M_{m,s,k} = A_{s,k} \cdot \left( \frac{l}{2} \right) - \frac{s_k \cdot \left( \frac{l}{2} + l_A \right)^2}{2} = 67,6 \cdot \left( \frac{18,0}{2} \right) - \frac{5,20 \cdot \left( \frac{18,0}{2} + 4,00 \right)^2}{2} = 169 \text{ kNm}$$

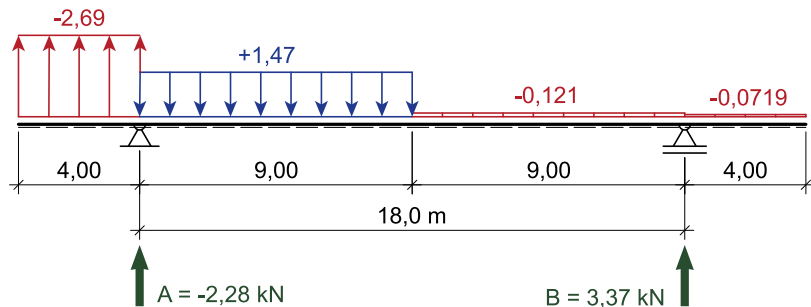
$$M_{st,s,k} = -\frac{s_k \cdot l_A^2}{2} = -\frac{5,20 \cdot 4,00^2}{2} = -41,6 \text{ kNm}$$

### Wind

Anmerkung:

In der weiteren Berechnung wurden die Lastfälle Wind - Maximum mit  $c_{pi} = -0,30$  (w1), Wind - Minimum mit  $c_{pi} = +0,20$  (w2) mit einer Anströmung normal zum First und der Lastfall Wind mit  $c_{pi} = +0,20$  (w3) mit einer Anströmung parallel zum First berücksichtigt. Die übrigen Lastfälle wurden vernachlässigt.

Wind – Lastfall w1 (Anströmung normal zum First mit  $c_{pi} = -0,30$ )



$$B_{w,k} = \frac{1}{18,0} \cdot \left( 2,69 \cdot \frac{4,00^2}{2} + 1,47 \cdot \frac{9,00^2}{2} - 0,121 \cdot 9,00 \cdot \left( 9,00 + \frac{9,00}{2} \right) - 0,0719 \cdot 4,0 \cdot \left( 18,0 + \frac{4,00}{2} \right) \right) = 3,37 \text{ kN}$$

$$A_{w,k} = -2,69 \cdot 4,00 + 1,47 \cdot 9,00 - 0,121 \cdot 9,00 - 0,0719 \cdot 4,00 - 3,37 = -2,28 \text{ kN}$$

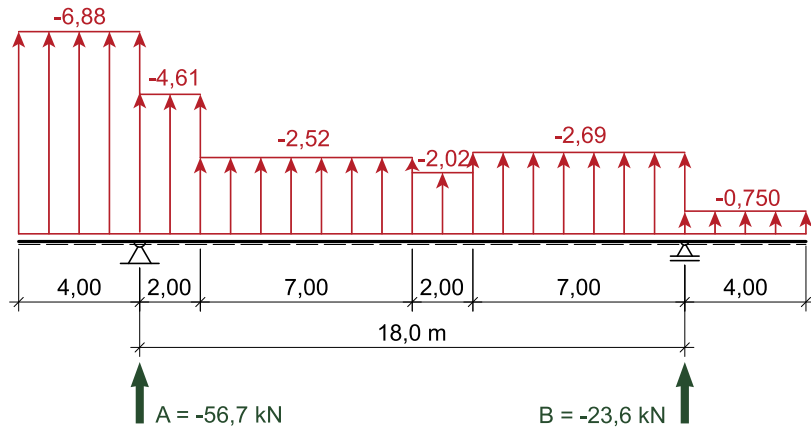
$$V_{A,w,k} = A_{A,w,k} - s_k \cdot l_A = -2,28 + 2,69 \cdot 4,00 = 8,48 \text{ kN}$$

$$M_{m,w,k} = -2,28 \cdot 9,00 + 2,69 \cdot 4,00 \cdot \left( 9,00 + \frac{4,00}{2} \right) - 1,47 \cdot \frac{9,00^2}{2} = 38,3 \text{ kNm}$$

$$\max M_{st,w,k} = \frac{w_k \cdot l_{KA}^2}{2} = \frac{2,69 \cdot 4,00^2}{2} = 21,5 \text{ kNm}$$

$$\min M_{st,w,k} = \frac{w_k \cdot l_{KA}^2}{2} = \frac{0,0719 \cdot 4,00^2}{2} = 0,575 \text{ kNm}$$

Wind – Lastfall w2 (Anströmung normal zum First mit  $c_{pi} = +0,20$ )



$$B_{w,k} = \frac{1}{18,0} \cdot \left( \begin{array}{l} 6,88 \cdot \frac{4,00^2}{2} - 4,61 \cdot \frac{2,00^2}{2} - 2,52 \cdot 7,00 \cdot \left( 2,00 + \frac{7,00}{2} \right) - 2,02 \cdot 2,00 \cdot \left( 9,00 + \frac{2,00}{2} \right) \\ - 2,69 \cdot 7,00 \cdot \left( 11,00 + \frac{7,00}{2} \right) - 0,750 \cdot 4,00 \cdot \left( 18,00 + \frac{4,00}{2} \right) \end{array} \right) = -23,6 \text{ kN}$$

$$A_{w,k} = -6,88 \cdot 4,00 - 4,61 \cdot 2,00 - 2,52 \cdot 7,00 - 2,02 \cdot 2,00 - 2,69 \cdot 7,00 - 0,750 \cdot 4,00 - (-23,6) = -56,7 \text{ kN}$$

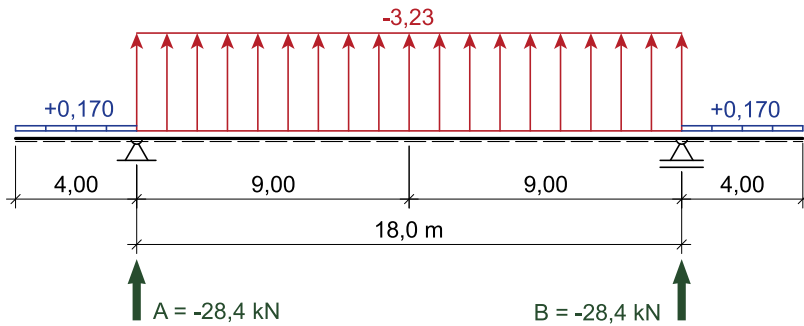
$$V_{A,w,k} = A_{A,w,k} - s_k \cdot l_A = -56,7 + 6,88 \cdot 4,00 = -29,2 \text{ kN}$$

$$M_{m,w,k} = -56,7 \cdot 9,00 + 6,88 \cdot 4,00 \cdot \left( 9,00 + \frac{4,00}{2} \right) + 4,61 \cdot 2,00 \cdot \left( 7,00 + \frac{2,00}{2} \right) + 2,52 \cdot \frac{7,00^2}{2} = -72,1 \text{ kNm}$$

$$\max M_{St,w,k} = \frac{w_k \cdot l_A^2}{2} = \frac{6,88 \cdot 4,00^2}{2} = 55,0 \text{ kNm}$$

$$\max M_{St,w,k} = \frac{w_k \cdot l_A^2}{2} = \frac{0,750 \cdot 4,00^2}{2} = 6,00 \text{ kNm}$$

Wind – Lastfall w3 (Anströmung parallel zum First mit  $c_{pi} = +0,20$ )



$$A_{w,k} = B_{w,k} = 0,170 \cdot 4,00 - 3,23 \cdot 9,00 = -28,4 \text{ kN}$$

$$V_{A,w,k} = A_{A,w,k} - s_k \cdot l_A = -28,4 - 0,170 \cdot 4,00 = -29,1 \text{ kN}$$

$$M_{m,w,k} = -28,4 \cdot 9,00 - 0,170 \cdot 4,00 \cdot \left( 9,00 + \frac{4,00}{2} \right) + 3,23 \cdot \frac{9,00^2}{2} = -132 \text{ kNm}$$

$$\min M_{St,w,k} = -\frac{w_k \cdot l_A^2}{2} = -\frac{0,170 \cdot 4,00^2}{2} = -1,36 \text{ kNm}$$

### Bemessungsschnittgrößen

Grundkombination

$$E_d = \sum_{j \geq 1} \gamma_{G,j} \cdot G_{k,j} + \gamma_{Q,1} \cdot Q_{k,1} + \sum_{i > 1} \gamma_{Q,i} \cdot \psi_{0,i} \cdot Q_{k,i}$$

LFK I: ständige Einwirkung (ungünstig) + Schnee - Voll (führend) + Wind - Druck w1 (begleitend)

$$A_{I,d} = 1,35 \cdot 32,9 + 1,50 \cdot 67,6 + 1,50 \cdot 0,60 \cdot (-2,28) = 144 \text{ kN}$$

$$B_{I,d} = 1,35 \cdot 32,9 + 1,50 \cdot 67,6 + 1,50 \cdot 0,60 \cdot 3,37 = 149 \text{ kN}$$

$$V_{I,A,d} = 1,35 \cdot 22,8 + 1,50 \cdot 46,8 + 1,50 \cdot 0,60 \cdot 8,48 = 109 \text{ kN}$$

$$M_{I,m,d} = 1,35 \cdot 82,3 + 1,50 \cdot 169 + 1,50 \cdot 0,60 \cdot 38,3 = 399 \text{ kNm}$$

$$\max M_{I,St,d} = 1,35 \cdot (-20,2) + 1,50 \cdot (-41,6) + 1,50 \cdot 0,60 \cdot 21,5 = -70,3 \text{ kNm}$$

$$\min M_{I,St,d} = 1,35 \cdot (-20,2) + 1,50 \cdot (-41,6) + 1,50 \cdot 0,60 \cdot 0,590 = -89,1 \text{ kNm}$$

LFK II: ständige Einwirkung (ungünstig) + Wind - Druck w1 (führend) + Schnee - Voll (begleitend)

$$\begin{aligned} A_{II,d} &= 1,35 \cdot 32,9 + 1,50 \cdot (-2,28) + 1,50 \cdot 0,50 \cdot 67,6 = 91,7 \text{ kN} \\ B_{II,d} &= 1,35 \cdot 32,9 + 1,50 \cdot 3,37 + 1,50 \cdot 0,50 \cdot 67,6 = 100 \text{ kN} \\ V_{II,A,d} &= 1,35 \cdot 22,8 + 1,50 \cdot 8,48 + 1,50 \cdot 0,50 \cdot 46,8 = 78,6 \text{ kN} \\ M_{II,m,d} &= 1,35 \cdot 82,3 + 1,50 \cdot 38,3 + 1,50 \cdot 0,50 \cdot 169 = 295 \text{ kNm} \\ \max M_{II,St,d} &= 1,35 \cdot (-20,2) + 1,50 \cdot 21,5 + 1,50 \cdot 0,50 \cdot (-41,6) = -26,2 \text{ kNm} \\ \min M_{II,St,d} &= 1,35 \cdot (-20,2) + 1,50 \cdot 0,575 + 1,50 \cdot 0,50 \cdot (-41,6) = -57,6 \text{ kNm} \end{aligned}$$

LFK III: ständige Einwirkung (ungünstig) + Schnee - Voll (führend)

$$\begin{aligned} A_{III,d} &= B_{III,d} = 1,35 \cdot 32,9 + 1,50 \cdot 67,6 = 146 \text{ kN} \\ V_{III,A,d} &= 1,35 \cdot 22,8 + 1,50 \cdot 46,8 = 101 \text{ kN} \\ M_{III,m,d} &= 1,35 \cdot 82,3 + 1,50 \cdot 169 = 365 \text{ kNm} \\ M_{III,St,d} &= 1,35 \cdot (-20,2) + 1,50 \cdot (-41,6) = -89,7 \text{ kNm} \end{aligned}$$

LFK IV: ständige Einwirkung (ungünstig) + Wind - Druck w1 (führend)

$$\begin{aligned} A_{IV,d} &= 1,35 \cdot 32,9 + 1,50 \cdot (-2,28) = 41,0 \text{ kN} \\ B_{IV,d} &= 1,35 \cdot 32,9 + 1,50 \cdot 3,37 = 49,5 \text{ kN} \\ V_{IV,A,d} &= 1,35 \cdot 22,8 + 1,50 \cdot 8,48 = 43,5 \text{ kN} \\ M_{IV,m,d} &= 1,35 \cdot 82,3 + 1,50 \cdot 38,3 = 169 \text{ kNm} \\ M_{IV,St,d} &= 1,35 \cdot (-20,2) + 1,50 \cdot 0,575 = -26,4 \text{ kNm} \end{aligned}$$

LFK V: ständige Einwirkung (günstig) + Wind - Sog w2 (führend)

$$\begin{aligned} A_{V,d} &= 1,00 \cdot 32,9 + 1,50 \cdot (-56,7) = -52,2 \text{ kN} \\ V_{V,re,A,d} &= 1,00 \cdot 22,8 + 1,50 \cdot (-29,2) = -21,0 \text{ kN} \\ V_{V,li,A,d} &= 1,00 \cdot (-2,53 \cdot 4,00) + 1,50 \cdot (6,88 \cdot 4,00) = 31,2 \text{ kN} \\ M_{V,m,d} &= 1,00 \cdot 82,3 + 1,50 \cdot (-72,1) = -25,9 \text{ kNm} \\ M_{V,St,d} &= 1,00 \cdot (-20,2) + 1,50 \cdot 55,0 = 62,3 \text{ kNm} \end{aligned}$$

LFK VI: ständige Einwirkung (günstig) + Wind - Sog w3 (führend)

$$\begin{aligned} A_{VI,d} &= B_{VI,d} = 1,00 \cdot 32,9 + 1,50 \cdot (-28,4) = -9,70 \text{ kN} \\ V_{VI,re,A,d} &= 1,00 \cdot 22,8 + 1,50 \cdot (-29,1) = -20,9 \text{ kN} \\ M_{VI,m,d} &= 1,00 \cdot 82,3 + 1,50 \cdot (-132) = -116 \text{ kNm} \\ M_{VI,St,d} &= 1,00 \cdot (-20,2) + 1,50 \cdot (-1,36) = -22,2 \text{ kNm} \end{aligned}$$

LFK VII: ständige Einwirkung (ungünstig) + Schnee - Voll (führend) + Wind - Druck w3 (begleitend)

$$\min M_{VII,St,d} = 1,35 \cdot (-20,2) + 1,50 \cdot (-41,6) + 1,50 \cdot 0,60 \cdot (-1,36) = -90,9 \text{ kNm}$$

LFK VIII: ständige Einwirkung (ungünstig) + Wind w3 (führend) + Schnee - Voll (begleitend)

$$M_{VIII,m,d} = 1,35 \cdot 82,3 + 1,50 \cdot (-132) + 1,50 \cdot 0,50 \cdot 169 = 39,9 \text{ kNm}$$

### Nachweisführung des BSH-Binders

Ausführung als gekrümmter parallelgurtiger BSH-Träger mit lose aufgesetztem Firstkeil

Material: BSH GL 24c

Querschnitt (Annahme): b/h = 180/880 mm

LFK I, LFK III und LFK IV: KLED „kurz/sehr kurz“ NKL 2 →  $k_{mod} = 1,00$   
 LFK II: KLED „kurz“ NKL 2 →  $k_{mod} = 0,90$

- Biegespannungen im gekrümmten Trägerbereich

Beiwerte mit  $\alpha_{ap} = 0^\circ$  (lose aufgesattelter Firstkeil)

$$k_1 = 1 + 1,4 \cdot \tan \alpha_{ap} + 5,4 \cdot \tan^2 \alpha_{ap} = 1 + 1,4 \cdot \tan(0) + 5,4 \cdot \tan^2(0) = 1$$

$$k_2 = 0,35 - 8 \cdot \tan \alpha_{ap} = 0,35 - 8 \cdot \tan(0) = 0,35$$

$$k_3 = 0,6 + 8,3 \cdot \tan \alpha_{ap} - 7,8 \cdot \tan^2 \alpha_{ap} = 0,6 + 8,3 \cdot \tan(0) - 7,8 \cdot \tan^2(0) = 0,6$$

$$k_4 = 6 \cdot \tan^2 \alpha_{ap} = 6 \cdot \tan^2(0) = 0$$

$$r = r_{in} + \frac{h_{ap}}{2} = 15,0 + \frac{0,880}{2} = 15,4 \text{ m}$$

$$k_l = k_1 + k_2 \cdot \left( \frac{h_{ap}}{r} \right) + k_3 \cdot \left( \frac{h_{ap}}{r} \right)^2 + k_4 \cdot \left( \frac{h_{ap}}{r} \right)^3 = 1 + 0,35 \cdot \left( \frac{0,880}{15,4} \right) + 0,6 \cdot \left( \frac{0,880}{15,4} \right)^2 + 0 \cdot \left( \frac{0,880}{15,4} \right)^3 = 1,02$$

$$r_{in} = 15,000 \text{ mm} \geq 240 \cdot t = 240 \cdot 40,0 = 9,600 \text{ mm} \rightarrow k_r = 1,00$$

Querschnittswert

$$W_{ap} = \frac{b \cdot h_{ap}^2}{6} = \frac{180 \cdot 880^2}{6} = 2,32 \cdot 10^7 \text{ mm}^3$$

Bemessungswerte

für  $k_{mod} = 1,00$

für  $k_{mod} = 0,90$

$$f_{m,g,d} = k_{mod} \cdot \frac{f_{m,g,k}}{\gamma_M} = 1,00 \cdot \frac{24,0}{1,25} = 19,2 \text{ N/mm}^2 \quad f_{m,g,d} = k_{mod} \cdot \frac{f_{m,g,k}}{\gamma_M} = 0,90 \cdot \frac{24,0}{1,25} = 17,3 \text{ N/mm}^2$$

Biegespannungen

für  $M_{ap,d} = M_d = 399 \text{ kNm}$

für  $M_{ap,d} = M_d = 365 \text{ kNm}$

$$\sigma_{m,d} = k_l \cdot \frac{M_{ap,d}}{W_{ap}} = 1,02 \cdot \frac{399 \cdot 10^6}{2,32 \cdot 10^7} = 17,5 \text{ N/mm}^2$$

$$\sigma_{m,d} = k_l \cdot \frac{M_{ap,d}}{W_{ap}} = 1,02 \cdot \frac{365 \cdot 10^6}{2,32 \cdot 10^7} = 16,0 \text{ N/mm}^2$$

Nachweise

$$\frac{\sigma_{m,d}}{k_r \cdot f_{m,g,d}} = \frac{17,5}{1,00 \cdot 19,2} = 0,91 < 1$$

$$\frac{\sigma_{m,d}}{k_r \cdot f_{m,g,d}} = \frac{16,0}{1,00 \cdot 17,3} = 0,92 < 1$$

- Querzugspannungen im gekrümmten Trägerbereich

Beiwerthe

$$k_5 = 0,2 \cdot \tan \alpha_{ap} = 0,2 \cdot \tan(0) = 0$$

$$k_6 = 0,25 - 1,5 \cdot \tan \alpha_{ap} + 2,6 \cdot \tan^2 \alpha_{ap} = 0,25 - 1,5 \cdot \tan(0) + 2,6 \cdot \tan^2(0) = 0,25$$

$$k_7 = 2,1 \cdot \tan \alpha_{ap} - 4 \cdot \tan^2 \alpha_{ap} = 2,1 \cdot \tan(0) - 4 \cdot \tan^2(0) = 0$$

$$k_p = k_5 + k_6 \cdot \left( \frac{h_{ap}}{r} \right) + k_7 \cdot \left( \frac{h_{ap}}{r} \right)^2 = 0 + 0,25 \cdot \left( \frac{0,880}{15,4} \right) + 0 \cdot \left( \frac{0,880}{15,4} \right)^2 = 0,0143$$

querzugbeanspruchtes Volumen

$$V = \frac{\beta \cdot \pi}{180} \cdot b \cdot (h_{ap}^2 + 2 \cdot r_{in} \cdot h_{ap}) = \frac{9,46 \cdot \pi}{180} \cdot 0,180 \cdot (0,880^2 + 2 \cdot 15,0 \cdot 0,880) = 0,808 \text{ m}^3$$

Überprüfung Volumen

$$V_b \approx l \cdot b \cdot h \approx 18,0 \cdot 0,180 \cdot 0,880 \approx 2,85 \text{ m}^3$$

$$V \leq \frac{2}{3} \cdot V_b : 0,808 \text{ m}^3 < \frac{2}{3} \cdot 2,85 \text{ m}^3 = 1,90 \text{ m}^3 \rightarrow \text{Bedingung eingehalten!}$$

Volumenfaktor

$$k_{vol} = \left( \frac{0,01}{V} \right)^{0,2} = \left( \frac{0,01}{0,808} \right)^{0,2} = 0,415$$

Verteilungsfaktor

$$k_{dis} = 1,40$$

Bemessungswerte

für  $k_{mod} = 1,00$

$$f_{t,90,g,d} = k_{mod} \cdot \frac{f_{t,90,g,d}}{\gamma_M} = 1,00 \cdot \frac{0,500}{1,25} = 0,400 \text{ N/mm}^2$$

für  $k_{mod} = 0,90$

$$f_{t,90,g,d} = k_{mod} \cdot \frac{f_{t,90,g,d}}{\gamma_M} = 0,90 \cdot \frac{0,500}{1,25} = 0,360 \text{ N/mm}^2$$

Querzugspannungen

$$\sigma_{t,90,d} = k_p \cdot \frac{M_{ap,d}}{W_{ap}} = 0,0143 \cdot \frac{399 \cdot 10^6}{2,32 \cdot 10^7} = 0,246 \text{ N/mm}^2$$

$$\sigma_{t,90,d} = k_p \cdot \frac{M_{ap,d}}{W_{ap}} = 0,0143 \cdot \frac{365 \cdot 10^6}{2,32 \cdot 10^7} = 0,225 \text{ N/mm}^2$$

Nachweise

$$\frac{\sigma_{t,90,d}}{k_{vol} \cdot k_{dis} \cdot f_{t,90,g,d}} = \frac{0,246}{0,415 \cdot 1,40 \cdot 0,400} = 1,06 > 1$$

$$\frac{\sigma_{t,90,d}}{k_{vol} \cdot k_{dis} \cdot f_{t,90,g,d}} = \frac{0,225}{0,415 \cdot 1,40 \cdot 0,360} = 1,08 > 1$$

→ Querzugverstärkung im Bereich des gekrümmten Trägerteils erforderlich!

### Querzugverstärkung im Bereich des gekrümmten Trägerteils

Breite an der Unterkante über den eine Querzugverstärkung anzutragen ist

$$\frac{c}{2} = r_{in} \cdot \sin \alpha \rightarrow c = 2 \cdot r_{in} \cdot \sin(\alpha) = 2 \cdot 15,0 \cdot \sin(9,46) = 4,93 \text{ m}$$

gewählte Verstärkungsmaßnahme:

Vollgewindeschrauben Ø10 | 800 mm ( $f_{ax,k} = 12,5 \text{ N/mm}^2$  |  $F_{tens,k} = 40,0 \text{ kN}$ ) (Daten aus bauaufsichtlicher Zulassung)

Einbindetiefe

→ mit Zylinderkopf, versenkt |  $l_1 = l_2 = 400 \text{ mm}$

$$k_d = \min \begin{cases} \frac{d}{8} = \min \begin{cases} \frac{10,0}{8} = 1,25 \\ 1 \end{cases} = 1,00 \end{cases}$$

$$F_{ax,90,Rd} = \min \left\{ F_{ax,90,Rd}, F_{tens,d} \right\} = \min \left\{ \frac{\frac{f_{ax,k} \cdot d \cdot l_{ef,2} \cdot k_d}{1,2 \cdot \cos^2 \alpha + \sin^2 \alpha} \cdot \frac{k_{mod}}{\gamma_M}}{\frac{f_{tens,k}}{\gamma_{M2}}} \right\} = \min \left\{ \frac{12,5 \cdot 10,00 \cdot 400 \cdot 1,00}{1,2 \cdot \cos^2 90 + \sin^2 90} \cdot \frac{1,00}{1,30} = 38,462 \text{ N} \right. \\ \left. = 32,0 \text{ kN} \right.$$

- in der mittleren Hälfte

$$F_{t,90,d;Innen} = \frac{\sigma_{t,90,d} \cdot b \cdot a_1}{n} \leq F_{ax,Rd}$$

$$a_{1;Innen} = \frac{F_{ax,Rd} \cdot n}{\sigma_{t,90,d} \cdot b} = \frac{32.000 \cdot 1}{0,246 \cdot 180} = 723 \text{ mm} > 0,75 \cdot h = 0,75 \cdot 880 = 660 \text{ mm}$$

gewählt: 6 x Vollgewindeschrauben Ø10 | 800 mm in einem Abstand  $a_1 = 500 \text{ mm}$

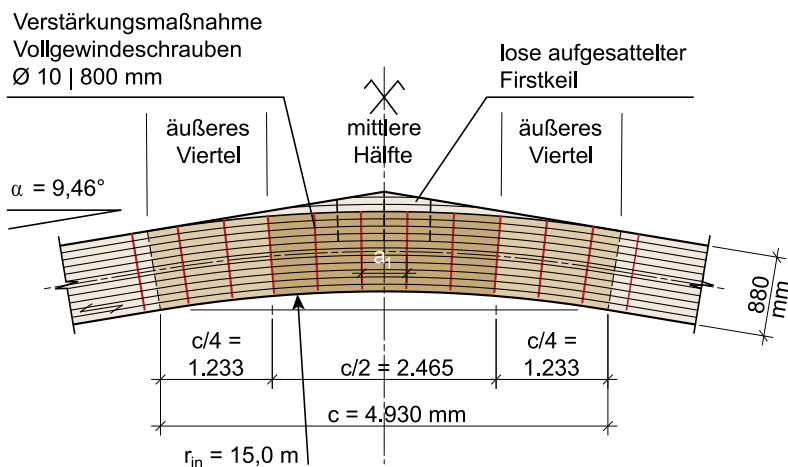
- in den äußeren Vierteln

$$F_{t,90,d;Außen} = \frac{2 \cdot \sigma_{t,90,d} \cdot b \cdot a_1}{3 \cdot n} \leq F_{ax,Rd}$$

$$a_{1;Außen} = \frac{3 \cdot F_{ax,Rd} \cdot n}{2 \cdot \sigma_{t,90,d} \cdot b} = \frac{3 \cdot 32.000 \cdot 1,00}{2 \cdot 0,246 \cdot 180} = 1.084 \text{ mm} > 0,75 \cdot h = 0,75 \cdot 880 = 660 \text{ mm}$$

gewählt: 3 x Vollgewindeschrauben Ø10 | 800 mm in einem Abstand  $a_1 = 500 \text{ mm}$

Skizze zur Lage der Verstärkungen



Stabilitätsnachweis – Biegedrillknicken (Kippen) im Firstbereich (Stelle des maximalen Moments)

Anmerkung:

Der Kippnachweis wird im gekrümmten Trägerbereich geführt.

kritische Kippspannung

$$\sigma_{m,crit} = \frac{0,78 \cdot b^2}{l_{ef} \cdot h} \cdot E_{0,9,05} = \frac{0,78 \cdot 180^2}{\approx 0,9 \cdot 4.580 \cdot 880} \cdot 9.100 = 63,4 \text{ N/mm}^2$$

bezogener Kippschlankheitsgrad

$$\lambda_{rel,m} = \sqrt{\frac{f_{m,k}}{\sigma_{m,crit}}} = \sqrt{\frac{24,0}{63,4}} = 0,615 < \lambda_{rel,m;grenz} = 0,75 \rightarrow k_{crit} = 1,00 \rightarrow \text{keine Kippgefahr!}$$

- Biegespannungen im Kragarmbereich

Querschnittswerte

$$h_A \approx h - \frac{b_{\text{St\"utze}}}{2} \cdot \sin \alpha \approx 880 - \frac{640}{2} \cdot \sin(9,46) \approx 827 \text{ mm}$$

$$W_A = \frac{b \cdot h_A^2}{6} = \frac{180 \cdot 827^2}{6} = 2,05 \cdot 10^7 \text{ mm}^3$$

negatives Kragarmmoment  $M_{st,d} = \min M_{VII,St,d} = -90,9 \text{ kNm} \rightarrow \text{angeschnittener Rand im Druckbereich}$

Biegespannungen

- am faserparallelen Rand (oberer Rand)

$$\sigma_{m,0,d} = (1 + 4 \cdot \tan^2 \alpha) \cdot \frac{M_d}{W_A} = (1 + 4 \cdot \tan^2(9,46)) \cdot \frac{90,9 \cdot 10^6}{2,05 \cdot 10^7} = 4,93 \text{ N/mm}^2$$

- am angeschnittenen Rand (unterer Rand)

$$\sigma_{m,\alpha,d} = (1 - 4 \cdot \tan^2 \alpha) \cdot \frac{M_d}{W_A} = (1 - 4 \cdot \tan^2(9,46)) \cdot \frac{90,9 \cdot 10^6}{2,05 \cdot 10^7} = 3,94 \text{ N/mm}^2$$

Beiwert für Druckspannungen im angeschnittenen Bereich

$$k_{m,\alpha,c} = \frac{1}{\sqrt{1 + \left( \frac{f_{m,g,d}}{1,5 \cdot f_{v,g,d}} \cdot \tan \alpha \right)^2 + \left( \frac{f_{m,g,d}}{f_{c,90,g,d}} \cdot \tan^2 \alpha \right)^2}} = \frac{1}{\sqrt{1 + \left( \frac{19,2}{15 \cdot 2,00} \cdot \tan(9,46) \right)^2 + \left( \frac{19,2}{2,00} \cdot \tan^2(9,46) \right)^2}} = 0,673$$

Nachweise an den Rändern

oben

$$\frac{\sigma_{m,0,d;\text{negM}}}{f_{m,g,d}} = \frac{4,93}{19,2} = 0,26 < 1$$

unten

$$\frac{\sigma_{m,\alpha,d;\text{negM}}}{k_{m,\alpha,t} \cdot f_{m,g,d}} = \frac{3,94}{0,673 \cdot 19,2} = 0,30 < 1$$

positives Kragarmmoment  $M_d = M_{V,St,d} = 62,3 \text{ kNm} \rightarrow \text{angeschnittener Rand im Zugbereich}$

Biegespannungen

- am faserparallelen Rand

$$\sigma_{m,0,d} = (1 + 4 \cdot \tan^2 \alpha) \cdot \frac{M_d}{W_A} = (1 + 4 \cdot \tan^2(9,46)) \cdot \frac{62,3 \cdot 10^6}{2,05 \cdot 10^7} = 3,38 \text{ N/mm}^2$$

- am angeschnittenen Rand

$$\sigma_{m,\alpha,d} = (1 - 4 \cdot \tan^2 \alpha) \cdot \frac{M_d}{W_A} = (1 - 4 \cdot \tan^2(9,46)) \cdot \frac{62,3 \cdot 10^6}{2,05 \cdot 10^7} = 2,70 \text{ N/mm}^2$$

Beiwert für Druckspannungen im angeschnittenen Bereich

$$k_{m,\alpha,t} = \frac{1}{\sqrt{1 + \left( \frac{f_{m,g,d}}{0,75 \cdot f_{v,g,d}} \cdot \tan \alpha \right)^2 + \left( \frac{f_{m,g,d}}{f_{t,90,g,d}} \cdot \tan^2 \alpha \right)^2}} = \frac{1}{\sqrt{1 + \left( \frac{17,3}{0,75 \cdot 1,80} \cdot \tan(9,46) \right)^2 + \left( \frac{17,3}{0,360} \cdot \tan^2(9,46) \right)^2}} = 0,369$$

Nachweise an den Rändern

oben

$$\frac{\sigma_{m,0,d;\text{posM}}}{f_{m,g,d}} = \frac{3,38}{17,3} = 0,20 < 1$$

unten

$$\frac{\sigma_{m,\alpha,d;\text{posM}}}{k_{m,\alpha,t} \cdot f_{m,g,d}} = \frac{2,70}{0,369 \cdot 17,3} = 0,42 < 1$$

- im Auflagerbereich (Kragarm)

$$\frac{l_{\text{ef}}}{l_a} = 0,5 \text{ mit } l_a = 4,00 \text{ m} \rightarrow l_{\text{ef}} = 0,5 \cdot 4,00 = 2,00 \text{ m}$$

$$\sigma_{m,\text{crit};A} = \frac{0,78 \cdot b^2}{l_{\text{ef}} \cdot h_A} \cdot E_{0,g,05} = \frac{0,78 \cdot 180^2}{2.000 \cdot 827} \cdot 9.100 = 139 \text{ N/mm}^2$$

$$\lambda_{\text{rel},m;A} = \sqrt{\frac{f_{m,g,k}}{\sigma_{m,\text{crit};A}}} = \sqrt{\frac{24,0}{139}} = 0,416 < \lambda_{\text{rel},m;\text{grenz}} 0,75 \rightarrow k_{\text{crit}} = 1,00 \rightarrow \text{keine Kippgefahr!}$$

- Schubspannungen am Auflager

Bemessungswerte

für  $k_{\text{mod}} = 1,00$

$$f_{v,g,d} = k_{\text{mod}} \cdot \frac{f_{v,g,k}}{\gamma_M} = 1,00 \cdot \frac{2,50}{1,25} = 2,00 \text{ N/mm}^2$$

Schubspannungen

$$\tau_d = 1,50 \cdot \frac{V_d}{b \cdot h_A} = 1,50 \cdot \frac{109 \cdot 10^3}{180 \cdot 827} = 1,10 \text{ N/mm}^2$$

Nachweis

$$\frac{\tau_d}{f_{v,g,d}} = \frac{1,10}{2,00} = 0,55 < 1$$

für  $k_{\text{mod}} = 0,90$

$$f_{v,g,d} = k_{\text{mod}} \cdot \frac{f_{v,g,k}}{\gamma_M} = 0,90 \cdot \frac{2,50}{1,25} = 1,80 \text{ N/mm}^2$$

$$\tau_d = 1,50 \cdot \frac{V_d}{b \cdot h_A} = 1,50 \cdot \frac{101 \cdot 10^3}{180 \cdot 827} = 1,02 \text{ N/mm}^2$$

$$\frac{\tau_d}{f_{v,g,d}} = \frac{1,02}{1,80} = 0,57 < 1$$

- Auflagerpressung

wirksame Auflagerfläche

$$A_{\text{ef}} = b \cdot (l + 2 \cdot 30 \cdot \cos \alpha) = 180 \cdot (200 + 2 \cdot 30 \cdot \cos(9,46)) = 4,67 \cdot 10^4 \text{ mm}^2$$

Spannung

$$\sigma_{c,\alpha,d} = \frac{B_{I,d}}{A_{\text{ef}}} = \frac{149 \cdot 10^3}{4,67 \cdot 10^4} = 3,19 \text{ N/mm}^2$$

$$\sigma_{c,\alpha,d} = \frac{B_{III,d}}{A_{\text{ef}}} = \frac{146 \cdot 10^3}{4,67 \cdot 10^4} = 3,13 \text{ N/mm}^2$$

Bemessungswert der Druckfestigkeit parallel zu Faserrichtung ( $\alpha = 0^\circ$ )

für  $k_{\text{mod}} = 1,00$

$$f_{c,0,g,d} = k_{\text{mod}} \cdot \frac{f_{c,0,g,k}}{\gamma_M} = 1,00 \cdot \frac{21,5}{1,25} = 17,2 \text{ N/mm}^2$$

für  $k_{\text{mod}} = 0,90$

$$f_{c,0,g,d} = k_{\text{mod}} \cdot \frac{f_{c,0,g,k}}{\gamma_M} = 0,90 \cdot \frac{21,5}{1,25} = 15,5 \text{ N/mm}^2$$

Bemessungswert der Druckfestigkeit normal zur Faserrichtung ( $\alpha = 90^\circ$ )

für  $k_{\text{mod}} = 1,00$

$$f_{c,90,g,d} = k_{\text{mod}} \cdot \frac{f_{c,90,g,k}}{\gamma_M} = 1,00 \cdot \frac{2,50}{1,25} = 2,00 \text{ N/mm}^2$$

für  $k_{\text{mod}} = 0,90$

$$f_{c,90,g,d} = k_{\text{mod}} \cdot \frac{f_{c,90,g,k}}{\gamma_M} = 0,90 \cdot \frac{2,50}{1,25} = 1,80 \text{ N/mm}^2$$

$k_{c,90}$ -Beiwert für BSH bei einer Einzelauf Lagerung:  $k_{c,90} = 1,75$

Druckfestigkeit unter einem Winkel  $\alpha$

- für  $k_{\text{mod}} = 1,00$

$$f_{c,\alpha,g,d} = \frac{f_{c,0,g,d}}{\frac{f_{c,0,g,d}}{k_{c,90} \cdot f_{c,90,g,d}} \cdot \sin^2 \alpha + \cos^2 \alpha} = \frac{17,2}{\frac{17,2}{1,75 \cdot 2,00} \cdot \sin^2(90 - 9,46) + \cos^2(90 - 9,46)} = 3,58 \text{ N/mm}^2$$

- für  $k_{\text{mod}} = 0,90$

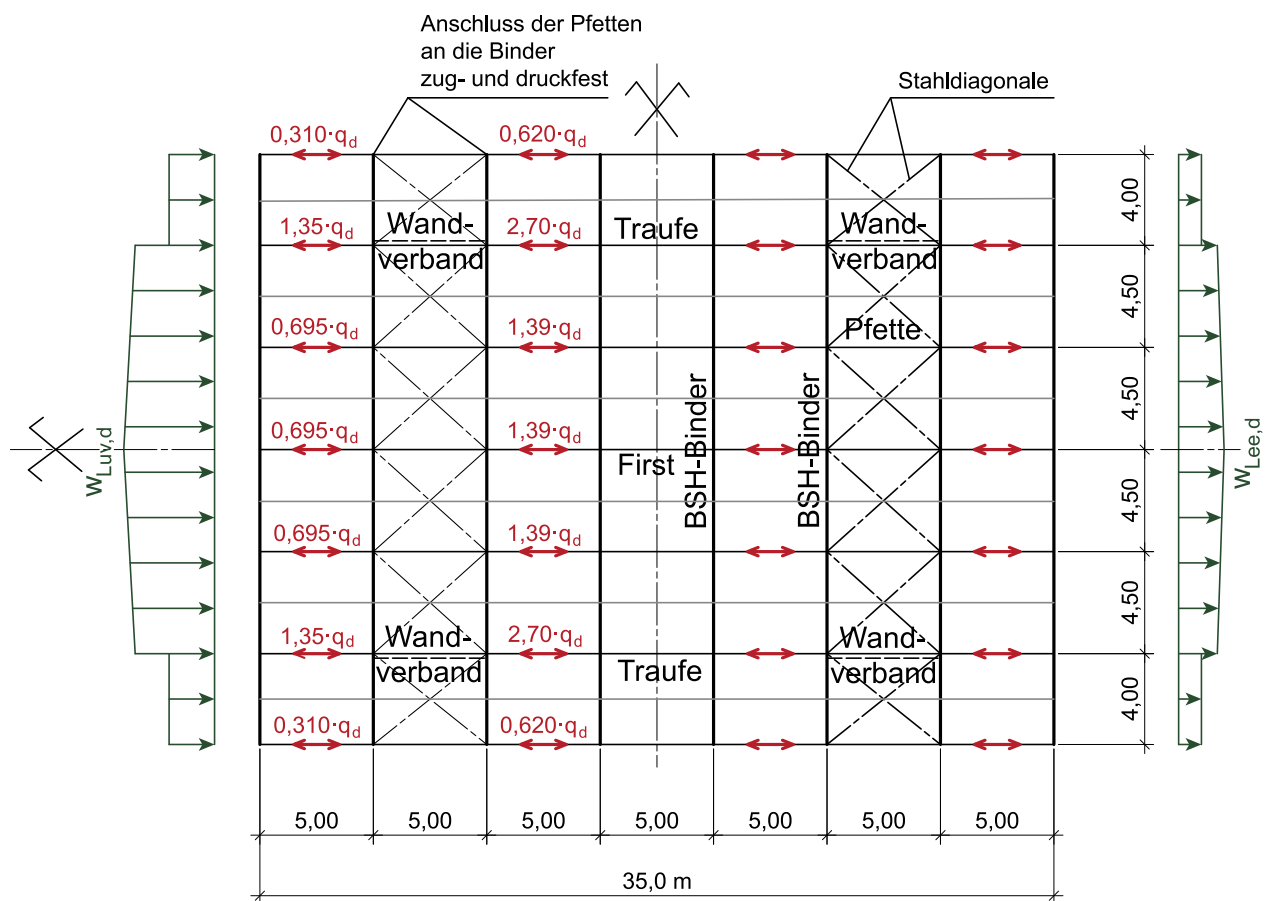
$$f_{c,\alpha,g,d} = \frac{f_{c,0,g,d}}{\frac{f_{c,0,g,d}}{k_{c,90} \cdot f_{c,90,g,d}} \cdot \sin^2 \alpha + \cos^2 \alpha} = \frac{15,5}{\frac{15,5}{1,75 \cdot 1,80} \cdot \sin^2(90 - 9,46) + \cos^2(90 - 9,46)} = 3,22 \text{ N/mm}^2$$

Nachweis

$$\frac{\sigma_{c,\alpha,d}}{f_{c,0,g,d}} = \frac{3,19}{3,58} = 0,89 < 1 \quad \frac{\sigma_{c,\alpha,d}}{f_{c,\alpha,g,d}} = \frac{3,13}{3,22} = 0,97 < 1$$

### Nachweis des Stabilisierungs- und Windverbandes

Aussteifungskonzept



Berechnung der Aussteifungsersatzlast

$$\sigma_{m,crit} = \frac{0,78 \cdot b^2}{h \cdot l_{ef}} \cdot F_{0,9,05} = \frac{0,78 \cdot 200^2}{880 \approx 0,9 \cdot \frac{18.000}{\cos(9,46)}} \cdot 9.100 = 19,6 \text{ N/mm}^2$$

$$\lambda_{\text{rel,m}} = \sqrt{\frac{f_{m,g,k}}{\sigma_{m,\text{crit}}}} = \sqrt{\frac{24,0}{19,6}} = 1,11$$

für  $0,75 < \lambda_{\text{rel,m}} \leq 1,4$  ist:

$$k_{\text{crit}} = 1,56 - 0,75 \cdot \lambda_{\text{rel,m}} = 1,56 - 0,75 \cdot 1,11 = 0,728$$

$$k_l = \min \left\{ \frac{1}{\sqrt{\frac{15}{l}}} \right\} = \min \left\{ \frac{1}{\sqrt{\frac{15}{18,3}}} \right\} = \min \left\{ \frac{1}{0,905} \right\} = 0,905$$

$$N_d = (1 - k_{\text{crit}}) \cdot \frac{M_{m,d,\text{III}}}{h} = (1 - 0,728) \cdot \frac{399}{0,880} = 123 \text{ kN}$$

Aussteifungsersatzlast

$$q_{\text{Stab,d}} = k_l \cdot \frac{n \cdot N_d}{k_{f,3} \cdot l_{\text{Verb}}} = 0,905 \cdot \frac{1,5 \cdot 123}{30 \cdot 18,3} = 0,304 \text{ kN/m}$$

### Berechnung der Kräfte in den Verbandsstäben

Lastfallkombination I: Wind – Lastfall w3 (Anströmung parallel zum First)

- Windbelastung der Giebelwand

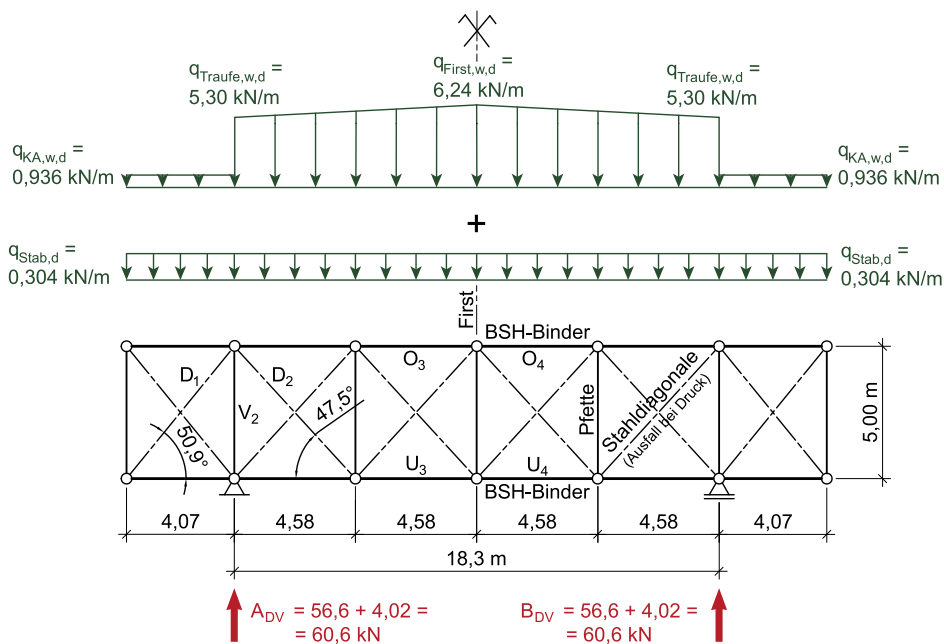
$$w_{\text{Traufe,d}} = \gamma_Q \cdot w_{D,K} \cdot \frac{h_{\text{Traufe}}}{2} = 1,50 \cdot 0,832 \cdot \frac{8,50}{2} = 5,30 \text{ kN/m}$$

$$w_{\text{First,d}} = \gamma_Q \cdot w_{D,K} \cdot \frac{h_{\text{First}}}{2} = 1,50 \cdot 0,832 \cdot \frac{10,0}{2} = 6,24 \text{ kN/m}$$

- Windbelastung auf den Kragarm

$$q_{\text{wind,KA,d}} = \gamma_Q \cdot w_{A,K} \cdot h_{KA} = 1,50 \cdot 0,832 \cdot 0,750 = 0,936 \text{ kN/m}$$

Einwirkungen und statisches System des Dachaussteifungsverbandes



Anmerkung:

Vereinfachend wird angenommen, dass die gesamte Windbeanspruchung der Giebelwand auf der Luvseite in den angrenzenden Dachaussteifungsverband abgetragen wird. Auf der Leeseite ergibt sich eine geringere Beanspruchung.

Die Stabilisierungersatzlast bildet innerhalb des Dachaussteifungsverband eine Kräftegleichgewichtsgruppe und ist daher nicht in die weitere Konstruktion weiterzuleiten.

$$A_{\text{DV,Wind,d}} = w_{KA,d} \cdot l_{KA} + \frac{l_{\text{Verb}}}{2} \cdot \frac{1}{2} (w_{\text{Traufe,d}} + w_{\text{First,d}}) = 0,936 \cdot 4,07 + \frac{18,3}{2} \cdot \frac{1}{2} \cdot (5,30 + 6,24) = 56,6 \text{ kN}$$

- Auflagerkraft und Querkräfte von der Windbeanspruchung

$$V_{Wind,A,li,d} = w_{A,d} \cdot l_{KA} = -0,936 \cdot 4,07 = -3,81 \text{ kN}$$

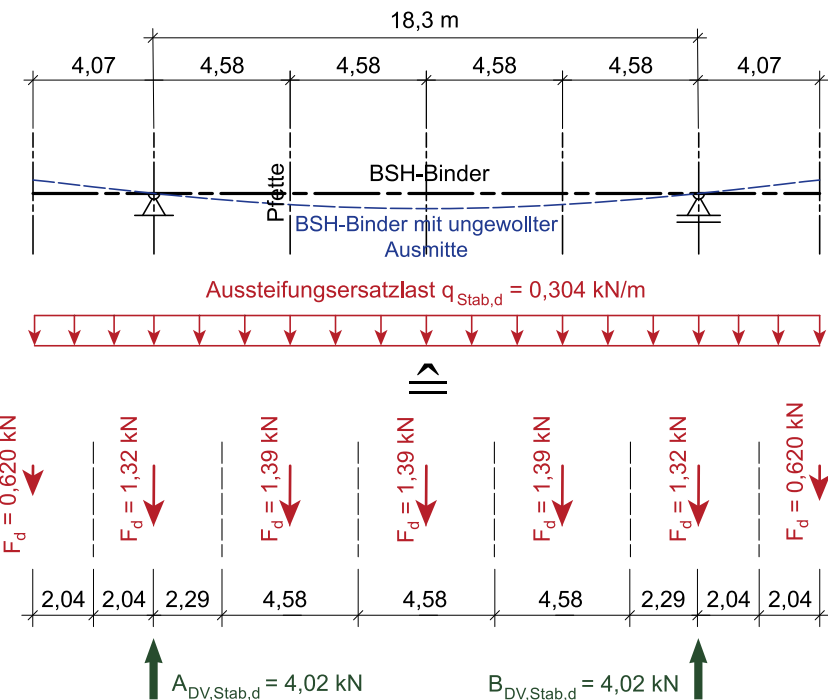
$$V_{Wind,A,re,d} = A_{DV,Wind,d} + V_{Wind,A,li,d} = 56,6 + (-3,81) = 52,8 \text{ kN}$$

- Auflagerkräfte und Querkräfte von der Aussteifungsersatzlast

$$A_{DV,Stab,d} = q_{Stab,d} \cdot \left( l_{KA} + \frac{1}{2} \cdot l_{Verb} \right) = 0,304 \cdot \left( 4,07 + \frac{18,3}{2} \right) = 4,02 \text{ kN}$$

$$V_{Stab,A,li,d} = q_{Stab,d} \cdot l_{KA} = -0,304 \cdot 4,07 = -1,24 \text{ kN}$$

$$V_{Stab,A,re,d} = A_{DV,Stab,d} + V_{Stab,A,li,d} = 4,02 + (-1,24) = 2,78 \text{ kN}$$



### Stabkräfte

$$V_{2,d} = A_{DV,d} = A_{Wind,DV,d} + A_{Stab,DV,d} = 56,6 + 4,02 = 60,6 \text{ kN}$$

$$\begin{aligned} M_{DV,m,d} &= A_{DV,d} \cdot \frac{l_{Verb}}{2} - (w_{KA,d} + q_{Stab,d}) \cdot l_{KA} \cdot \left( \frac{l_{KA}}{2} + \frac{l_{Verb}}{2} \right) - (w_{Traufe,d} + q_{Stab,d}) \cdot \frac{\left( \frac{l_{Verb}}{2} \right)^2}{2} - \frac{1}{2} \cdot \frac{l_{Verb}}{2} \cdot (q_{First,d} - q_{Traufe,d}) \cdot \frac{\left( \frac{l_{Verb}}{2} \right)}{3} = \\ &= 60,6 \cdot \frac{18,3}{2} - (0,936 + 0,304) \cdot 4,07 \cdot \left( \frac{4,07}{2} + \frac{18,3}{2} \right) - (5,30 + 0,304) \cdot \frac{\left( \frac{18,3}{2} \right)^2}{2} - \frac{1}{2} \cdot \frac{18,3}{2} \cdot (6,24 - 5,30) \cdot \frac{\left( \frac{18,3}{2} \right)}{3} = 250 \text{ kNm} \\ D_{1,d} &= \frac{V_{w,A,li,d} + V_{Stab,A,li,d}}{\sin \beta} = \frac{(-3,81) + (-1,24)}{\sin(50,9)} = -6,51 \text{ kN} \end{aligned}$$

$$D_{2,d} = \frac{B_{w,H,d} + B_{Stab,H,d}}{\cos \alpha} = \frac{56,6 + 2,24}{\cos(38,6)} = 75,3 \text{ kN}$$

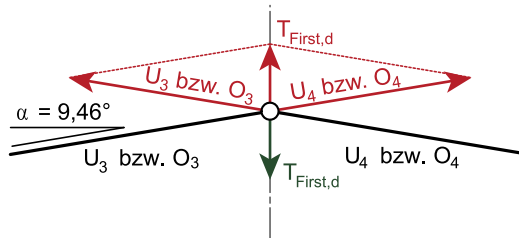
$$|O_{3,d}| = |O_{4,d}| = |U_{3,d}| = |U_{4,d}| = \frac{M_{m,d}}{h_{Verb}} = \frac{250}{5,00} = 50,0 \text{ kN}$$

## Umlenkkraft am First

$$T_{\text{First,d}} = -C_{\text{First,d}} = \pm 2 \cdot O_4 \cdot \sin \alpha = \pm 2 \cdot 50,0 \cdot \sin(9,46) = \pm 16,4 \text{ kN}$$

Anmerkung:

Der Aussteifungsverband ist im Firstpunkt für diese Kraft zu verankern. Sowohl die Ober- und Untergurtkraft, als auch die Umlenkkraft am First wirken als zusätzliche Beanspruchung auf die Binder ein und sind bei deren Nachweisführung zu berücksichtigen. Auf die Nachweisführung wird an dieser Stelle aus Gründen der Übersichtlichkeit verzichtet.



statisches System und Kräfte im vertikalen Aussteifungsverband (fett)

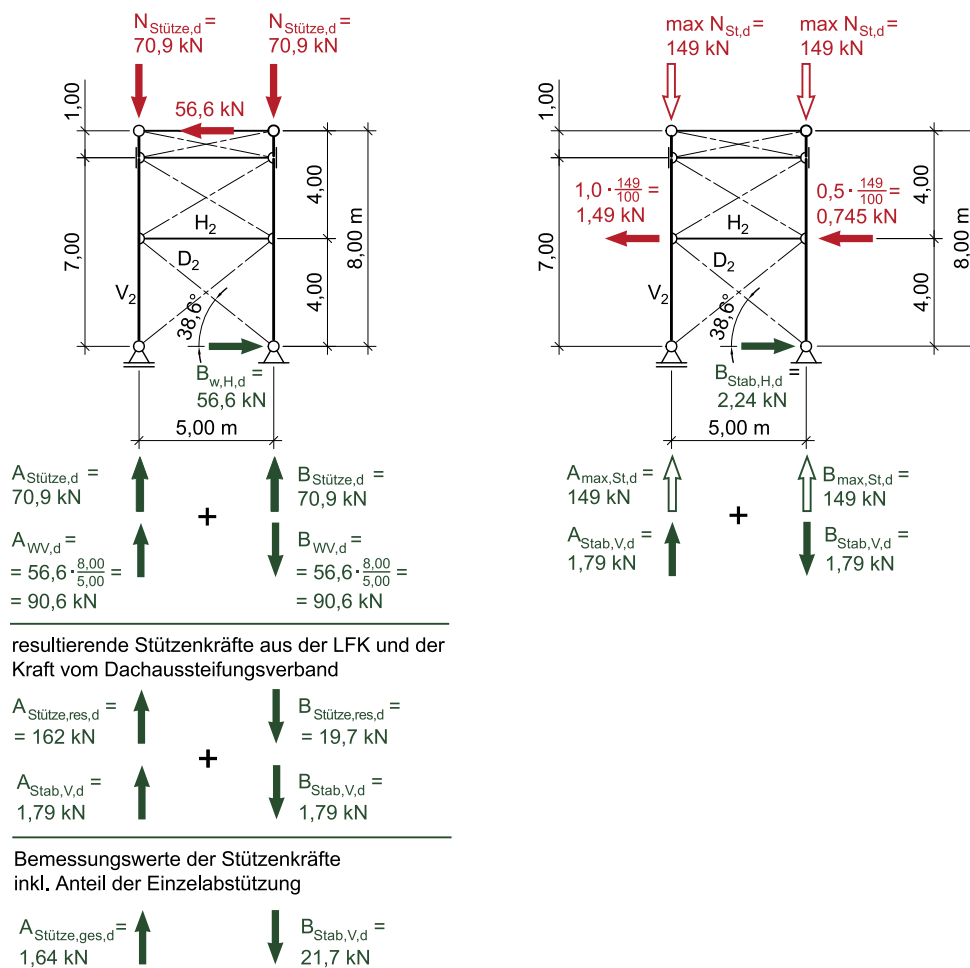
exemplarisch dargestellt für den Lastfall: Eigengewicht + Wind – Lastfall w3 (f) + Schnee (b)

$$\begin{aligned} N_{\text{Stütze,d}} &= \gamma_G \cdot (A_{g,k} + G_{\text{Wand,k}}) + \gamma_Q \cdot A_{w3,k} + \gamma_Q \cdot \psi_0 \cdot A_{s,k} = \\ &= 1,35 \cdot (32,9 + 1,60 \cdot 8,50) + 1,50 \cdot (-28,4) + 1,50 \cdot 0,50 \cdot 67,6 = 70,9 \text{ kN} \end{aligned}$$

## Kräfte in den Stützen des vertikalen Windverbandes

- für die betrachte Einwirkungskombination  
Eigengewicht + Wind LF w3 (f) + Schnee (b)

- für die Stabilisierungskraft der Einzelabstützung



$$H_{2,d} = 56,6 + 2,24 = 58,8 \text{ kN}$$

$$D_{2,d} = \frac{B_{w,H,d} + B_{Stab,H,d}}{\cos \alpha} = \frac{56,6 + 2,24}{\cos(38,6)} = 75,3 \text{ kN}$$

Lastfallkombination II: Wind – Lastfall w1 (Anströmung normal zum First)

- Windbelastung im Giebelbereich A

$$w'_{KA,A,d} = \gamma_Q \cdot w_{A,k} \cdot h_{KA} = 1,50 \cdot (-0,529) \cdot 0,750 = -0,595 \text{ kN/m}$$

$$w'_{Traufe,A,d} = \gamma_Q \cdot w_{A,k} \cdot \frac{h_{Giebel}}{2} = 1,50 \cdot (-0,529) \cdot \frac{8,50}{2} = -3,37 \text{ kN/m}$$

$$w'_{1,A,d} = \gamma_Q \cdot w_{A,k} \cdot \frac{h_1}{2} = 1,50 \cdot (-0,529) \cdot \frac{9,17}{2} = -3,64 \text{ kN/m}$$

- Windbelastung im Giebelbereich B

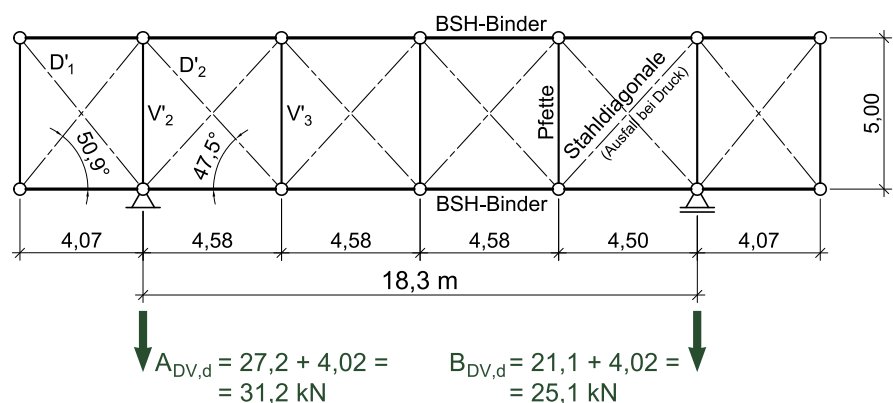
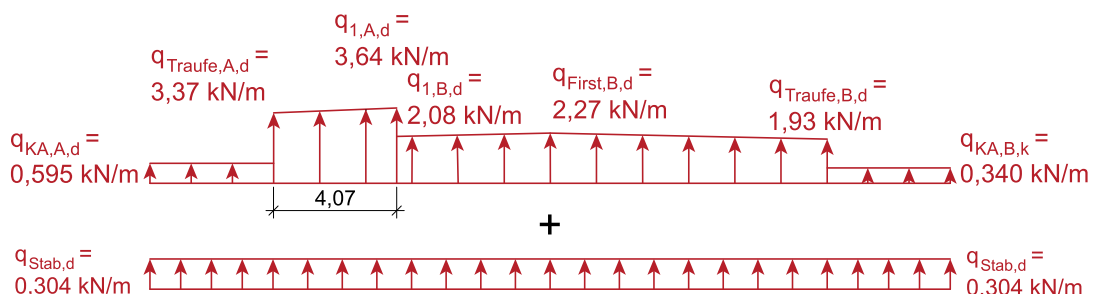
$$w'_{1,B,d} = \gamma_Q \cdot w_{B,k} \cdot \frac{h_1}{2} = 1,50 \cdot (-0,302) \cdot \frac{9,17}{2} = -2,08 \text{ kN/m}$$

$$w'_{First,B,d} = \gamma_Q \cdot w_{B,k} \cdot \frac{h_{First}}{2} = 1,50 \cdot (-0,302) \cdot \frac{10,0}{2} = -2,27 \text{ kN/m}$$

$$w'_{Traufe,B,d} = \gamma_Q \cdot w_{B,k} \cdot \frac{h_{Traufe}}{2} = 1,50 \cdot (-0,302) \cdot \frac{8,50}{2} = -1,93 \text{ kN/m}$$

$$w'_{KA,B,d} = \gamma_Q \cdot w_{B,k} \cdot h_{KA} = 1,50 \cdot (-0,302) \cdot 0,750 = -0,340 \text{ kN/m}$$

Einwirkungen und statisches System des Dachaussteifungssystems



- Auflagerkräfte und Querkräfte von der Windbeanspruchung

$$A_{Wind,DV,d} = \frac{1}{18,3} \cdot \left( 0,595 \cdot 4,07 \cdot \left( 18,3 + \frac{4,07}{2} \right) + 3,37 \cdot 4,07 \cdot \left( 18,3 - \frac{4,07}{2} \right) + \frac{1}{2} \cdot 4,07 \cdot (3,64 - 3,37) \cdot \left( 18,3 - \frac{2}{3} \cdot 4,07 \right) + 2,08 \cdot (9,15 - 4,07) \cdot \left( 9,15 + \frac{1}{2} \cdot (9,15 - 4,07) \right) + \frac{1}{2} \cdot (9,15 - 4,07) \cdot (2,27 - 2,08) \cdot \left( 9,15 + \frac{1}{3} \cdot (9,15 - 4,07) \right) + 1,93 \cdot \frac{9,15^2}{2} + \frac{1}{2} \cdot 9,15 \cdot (2,27 - 1,93) \cdot \frac{2}{3} \cdot 9,15 - 0,340 \cdot \frac{4,07^2}{2} \right) = 27,2 \text{ kN}$$

$$B_{Wind,DV,d} = 4,07 \cdot \left[ 0,595 + 0,340 + \frac{1}{2} \cdot (3,37 + 3,64) \right] + (9,15 - 4,07) \cdot \frac{1}{2} \cdot (2,08 + 2,27) + 9,15 \cdot \frac{1}{2} \cdot (2,27 + 1,93) - 27,2 = 21,1 \text{ kN}$$

$$V_{A,li,I,d} = (w'_{KA,A,d} + q_{verb,d}) \cdot l_{KA} = (0,595 + 0,304) \cdot 4,07 = 3,66 \text{ kN}$$

$$V_{A,re,I,d} = A_{Wind,DV,d} + A_{verb,d} - V_{A,li,I,d} = 27,2 + 4,02 - 3,66 = 27,6 \text{ kN}$$

Stabkräfte

$$V_{3,re,I,d} = V_{A,re,d} - b \cdot \frac{1}{2} \cdot (q_{Traufe,A,d} + q_{i,A,d}) - (a - b') \cdot q_{i,B,d} = 27,6 - 4,07 \cdot \frac{1}{2} \cdot (3,37 + 3,64) - (4,58 - 4,07) \cdot q_{i,B,d} \approx 2,09 = 12,3 \text{ kN}$$

$$D'_{1,d} = \frac{V_{A,li,d}}{\sin \beta} = \frac{3,66}{\sin(50,9)} = 4,72 \text{ kN}$$

$$D'_{2,d} = \frac{V_{A,re,d}}{\sin \delta} = \frac{27,6}{\sin(47,5)} = 37,4 \text{ kN}$$

$$V'_{3,d} = -V_{3,re,I,d} = -12,3 \text{ kN}$$

### maximale abhebende Lagerkraft für die Stützen des Windverbandes (Wind parallel)

ständige Einwirkung in der Stütze (Eigengewicht vom Dach + Eigengewicht des anteiligen Wandaufbaus)

$$A_{Stütze,g,k} = B_{Stütze,g,k} = A_{g,k} + g_k \cdot h_{Stütze} = 32,9 + 1,60 \cdot 8,50 = 46,5 \text{ kN}$$

Lagesicherung EQU laut EN 1990

Lasffallkombination: Eigengewicht (günstig) + Wind- Lastfall w2 (Anströmung normal zum First)

Auflagerkraft vom Austeilungsverband im Dach für diese LFK (nicht ausgewiesen):  $A_{DV,d} = 52,9 \text{ kN}$

$$A_{v,VI,d} = \gamma_{G,sup} \cdot A_{Stütze,g,k} + \gamma_Q \cdot A_{w,k} = 0,90 \cdot (-46,5) + 1,50 \cdot 56,7 = 43,2 \text{ kN}$$

$$A_{v,Verb,d} = \left( A_{DV,d} \cdot h_{Verb} + B_{Stab,H,d} \cdot \frac{h_{Verb}}{2} \right) \cdot \frac{1}{b} = \left( 52,9 \cdot 8,00 + 2,24 \cdot \frac{8,00}{2} \right) \cdot \frac{1}{5,00} = 86,4 \text{ kN}$$

$$\min A_{v,d} = A_{v,VI,d} + A_{v,Verb,d} = 43,2 + 86,4 = 130 \text{ kN}$$

Anmerkung:

Die Stützen sind auf diese Zugkraft zu verankern.

## Nachweisführung Stütze

### Bemessungsschnittgrößen für die Regelstütze

LFK I: minimale Normalkraft in der Stütze (Eigengewicht + Schnee (f) + Wind – LF w1 (b))

Normalkraft

$$A_{I,\text{Stütze,d}} = \gamma_G \cdot A_{\text{Stütze,g,k}} + \gamma_Q \cdot A_{s,k} + \gamma_Q \cdot \psi_0 \cdot A_{w1,k} = 1,35 \cdot (-46,5) + 1,50 \cdot (-67,6) + 1,50 \cdot 0,60 \cdot 2,28 = -162 \text{ kN}$$

$$\min N_{\text{Stütze,d}} = B_{I,\text{Stütze,d}} = \gamma_G \cdot B_{\text{Stütze,g,k}} + \gamma_Q \cdot B_{s,k} + \gamma_Q \cdot \psi_0 \cdot B_{w1,k} = 1,35 \cdot (-46,5) + 1,50 \cdot (-67,6) + 1,50 \cdot 0,60 \cdot (-3,37) = -167 \text{ kN}$$

Moment

$$\text{zug } M_{\text{Stütze,A,d}} = \gamma_Q \cdot \psi_0 \cdot w_{1,k} \cdot b \cdot \left( \Delta h \cdot h_{\text{Stütze}} + \frac{h_{\text{Stütze}}^2}{2} \right) = 1,50 \cdot 0,60 \cdot (-0,832) \cdot 5,00 \cdot \left( 1,50 \cdot 7,00 + \frac{7,00^2}{2} \right) = -131 \text{ kNm}$$

$$\text{zug } M_{\text{Stütze,B,d}} = \gamma_Q \cdot \psi_0 \cdot w_{1,k} \cdot b \cdot \left( \Delta h \cdot h_{\text{Stütze}} + \frac{h_{\text{Stütze}}^2}{2} \right) = 1,50 \cdot 0,60 \cdot 0,00983 \cdot 5,00 \cdot \left( 1,50 \cdot 7,00 + \frac{7,00^2}{2} \right) = 1,55 \text{ kNm}$$

LFK II: minimales Moment in der Stütze (Eigengewicht + Wind – LF w1 (f) + Schnee (b))

Normalkraft

$$\text{zug } N_{\text{Stütze,A,d}} = \gamma_G \cdot A_{\text{Stütze,g,k}} + \gamma_Q \cdot A_{w1,k} + \gamma_Q \cdot \psi_0 \cdot A_{s,k} = 1,35 \cdot (-46,5) + 1,50 \cdot 2,28 + 1,50 \cdot 0,50 \cdot (-67,6) = -110 \text{ kN}$$

$$\text{zug } N_{\text{Stütze,B,d}} = \gamma_G \cdot B_{\text{Stütze,g,k}} + \gamma_Q \cdot B_{w1,k} + \gamma_Q \cdot \psi_0 \cdot B_{s,k} = 1,35 \cdot (-46,5) + 1,50 \cdot 3,37 + 1,50 \cdot 0,50 \cdot (-67,6) = -119 \text{ kN}$$

Moment

$$\min M_{\text{Stütze,d}} = M_{\text{Stütze,A,d}} = \gamma_Q \cdot w_{1,k} \cdot b \cdot \left( \Delta h \cdot h_{\text{Stütze}} + \frac{h_{\text{Stütze}}^2}{2} \right) = 1,50 \cdot (-0,832) \cdot 5,00 \cdot \left( 1,50 \cdot 7,00 + \frac{7,00^2}{2} \right) = -218 \text{ kNm}$$

$$M_{\text{Stütze,B,d}} = \gamma_Q \cdot w_{1,k} \cdot b \cdot \left( \Delta h \cdot h_{\text{Stütze}} + \frac{h_{\text{Stütze}}^2}{2} \right) = 1,50 \cdot 0,00983 \cdot 5,00 \cdot \left( 1,50 \cdot 7,00 + \frac{7,00^2}{2} \right) = 2,58 \text{ kNm}$$

### Bemessungsschnittgrößen für die Stützen des vertikalen Windverbandes

LFK I: minimale Normalkraft in der Stütze (Eigengewicht + Schnee (f) + Wind - LF w1 (b))

$$\begin{aligned} \min N_{\text{Stütze,A,d}} &= \gamma_G \cdot A_{\text{Stütze,g,k}} + \gamma_Q \cdot A_{s,k} + \gamma_Q \cdot \psi_0 \cdot A_{w1,k} + \left( A_{\text{DV,II,d}} \cdot \psi_0 \cdot h_{\text{W-Verb}} + B_{\text{Stab,H,d}} \cdot \frac{h_{\text{W-Verb}}}{2} \right) \cdot \frac{1}{b} = \\ &= 1,35 \cdot (-46,5) + 1,50 \cdot (-67,6) + 1,50 \cdot 0,60 \cdot 2,28 - \left( 27,2 \cdot 0,60 \cdot 8,00 + 2,24 \cdot \frac{8,00}{2} \right) \cdot \frac{1}{5,00} = -190 \text{ kN} \end{aligned}$$

$$\text{zug } M_{\text{Stütze,A,d}} = \gamma_Q \cdot \psi_0 \cdot w_{1,k} \cdot b \cdot \left( \Delta h \cdot h_{\text{Stütze}} + \frac{h_{\text{Stütze}}^2}{2} \right) = 1,50 \cdot 0,60 \cdot (-0,832) \cdot 5,00 \cdot \left( 1,50 \cdot 7,00 + \frac{7,00^2}{2} \right) = -131 \text{ kNm}$$

LFK II: minimales Moment in der Stütze (Eigengewicht + Wind - LF w1 (f) + Schnee (b))

$$\begin{aligned} \text{zug } N_{\text{Stütze,A,d}} &= \gamma_G \cdot A_{\text{Stütze,g,k}} + \gamma_Q \cdot \psi_0 \cdot A_{w1,k} + \left( A_{\text{DV,II,d}} \cdot \psi_0 \cdot h_{\text{W-Verb}} + B_{\text{Stab,H,d}} \cdot \frac{h_{\text{W-Verb}}}{2} \right) \cdot \frac{1}{b} + \gamma_Q \cdot \psi_0 \cdot A_{s,k} = \\ &= 1,35 \cdot (-46,5) + 1,50 \cdot 2,28 - \left( 27,2 \cdot 8,00 + 2,24 \cdot \frac{8,00}{2} \right) \cdot \frac{1}{5,00} + 1,50 \cdot 0,50 \cdot (-67,6) = -155 \text{ kN} \end{aligned}$$

$$\min M_{\text{Stütze,A,d}} = \gamma_Q \cdot w_{1,k} \cdot b \cdot \left( \Delta h \cdot h_{\text{Stütze}} + \frac{h_{\text{Stütze}}^2}{2} \right) = 1,50 \cdot (-0,832) \cdot 5,00 \cdot \left( 1,50 \cdot 7,00 + \frac{7,00^2}{2} \right) = -218 \text{ kNm}$$

### Nachweisführung der Stütze

- statisch-konstruktive Ausführung:
- um die starke Achse (y-Achse) elastisch eingespannt
  - um die schwache Achse (z-Achse) an den Enden gelenkig gelagert und in einem Abstand von 4,00 m vom Stützenfuss durch einen Querriegel gestützt

statisches System

Querschnitt (Annahme):  $b/h = 180/640 \text{ mm}$

Baustoff: BSH GL 28c

Querschnittsfläche:  $A_{\text{Stütze}} = b \cdot h = 180 \cdot 640 = 1,15 \cdot 10^5 \text{ mm}^2$

Widerstandsmoment:  $W_{\text{Stütze}} = \frac{b \cdot h^2}{6} = \frac{180 \cdot 640^2}{6} = 1,23 \cdot 10^7 \text{ mm}^3$

Knicklängenbeiwert um die y-Achse

$$\beta_y = \sqrt{4 + \frac{\pi^2 \cdot E \cdot I}{l \cdot K_y}} \approx 2,80$$

$$\lambda_y = \frac{\beta \cdot l}{0,289 \cdot h} = \frac{2,80 \cdot 7.000}{0,289 \cdot 640} = 106$$

$$\rightarrow k_{c,y} = 0,353$$

Knicklängenbeiwert um die z-Achse

$$\beta_z = 1,00$$

$$\lambda_z = \frac{\beta \cdot l}{0,289 \cdot h} = \frac{1,00 \cdot 4.000}{0,289 \cdot 180} = 76,9$$

$$\rightarrow k_{c,z} = 0,620$$

Kippbeiwert

$$\frac{l \cdot h}{b^2} = \frac{\approx 0,5 \cdot 7.000 \cdot 640}{180^2} = 69,1 < \left( \frac{l \cdot h}{b^2} \right)_{\text{grenz}} = 177 \quad \rightarrow k_{\text{crit}} = 1,000$$

- Nachweisführung (für die Stützen des Windverbandes)

LFK I: ständige Einwirkung (ungünstig)

+ Schnee Voll (führend)

+ Wind - Druck w1 (begleitend)

LFK II: ständige Einwirkung (ungünstig)

+ Wind - Druck w1 (führend)

+ Schnee - Voll (begleitend)

Spannungen

$$\sigma_{c,0,d} = \frac{\min N_{\text{Stütze},d}}{A_{\text{Stütze}}} = \frac{|-190 \cdot 10^3|}{1,15 \cdot 10^5} = 1,65 \text{ N/mm}^2$$

$$\sigma_{m,d} = \frac{\text{zug } M_{\text{Stütze},d}}{W_y} = \frac{|-131 \cdot 10^6|}{1,23 \cdot 10^7} = 10,7 \text{ N/mm}^2$$

$$\sigma_{c,0,d} = \frac{\text{zug } N_{\text{Stütze},d}}{A_{\text{Stütze}}} = \frac{|-155 \cdot 10^3|}{1,15 \cdot 10^5} = 1,35 \text{ N/mm}^2$$

$$\sigma_{m,d} = \frac{\min M_{\text{Stütze},d}}{W_y} = \frac{|-218 \cdot 10^6|}{1,23 \cdot 10^7} = 17,7 \text{ N/mm}^2$$

Biegung mit Längskraft um die y-Achse

$$\frac{\sigma_{c,0,d}}{k_{c,z} \cdot f_{c,0,g,d}} + \left( \frac{\sigma_{m,d}}{k_{\text{crit}} \cdot f_{m,d}} \right)^2 = \frac{1,65}{0,620 \cdot 19,2} + \left( \frac{10,7}{1,00 \cdot 22,4} \right)^2 = 0,139 + 0,228 = 0,37 < 1$$

$$\frac{\sigma_{c,0,d}}{k_{c,z} \cdot f_{c,0,g,d}} + \left( \frac{\sigma_{m,d}}{k_{\text{crit}} \cdot f_{m,g,d}} \right)^2 = \frac{1,35}{0,620 \cdot 19,2} + \left( \frac{17,7}{1,00 \cdot 22,4} \right)^2 = 0,113 + 0,624 = 0,74 < 1$$

### Bemessung der Pfette

Die Pfetten aus Vollholz der Festigkeitsklasse C24 werden im halben Abstand zwischen den Vertikalen des Windverbandes angeordnet  
(Abstand =  $4,58/2 = 2,29 \text{ m}$ )

- Querschnittswerte

Querschnitt (Annahme)  $b/h = 140/200 \text{ mm}$

Querschnittsfläche  $A = b \cdot h = 140 \cdot 200 = 2,80 \cdot 10^4 \text{ mm}^2$

$$\text{Widerstandsmoment } W_y = \frac{b \cdot h^2}{6} = \frac{140 \cdot 200^2}{6} = 9,33 \cdot 10^5 \text{ mm}^3$$

- Einwirkungen und Schnittgrößen

$$g'_k = g_k \cdot \frac{e}{2} = 0,30 \cdot \frac{4,58}{2} = 0,687 \text{ kN/m}$$

$$s'_k = s_k \cdot \frac{e}{2} = 1,04 \cdot \frac{4,58}{2} = 2,38 \text{ kN/m}$$

$$\max w'_k = w_k \cdot \frac{e}{2} = 0,294 \cdot \frac{4,58}{2} = 0,673 \text{ kN/m} \quad (\text{aus LF w1 - parallel zum First})$$

$$\min w'_k = w_k \cdot \frac{e}{2} = (-0,646) \cdot \frac{4,58}{2} = -1,48 \text{ kN/m} \quad (\text{aus LF w3 - parallel zum First})$$

$$\min N_d = -60,6 \text{ kN} \quad (\text{aus LF w3 - parallel zum First})$$

- Nachweis Pfette

Anmerkung:

Vereinfacht wird die Pfette als Einfeldträger nachgewiesen. Daraus folgt ein konservatives Bemessungsergebnis.  
Aus Übersichtsgründen wird auf die Berücksichtigung der windbeanspruchten Randzonen verzichtet.

LFK I:

$$\text{zug } N_{I,d} = -12,0 \text{ kN}$$

$$q_{I,d} = \gamma_G \cdot g_k + \gamma_Q \cdot s_k + \gamma_Q \cdot \psi_0 \cdot w_k = 1,35 \cdot 0,687 + 1,50 \cdot 2,38 + 1,50 \cdot 0,60 \cdot 0,673 = 5,10 \text{ kN/m}$$

$$M_{I,d} = \frac{q_{I,d} \cdot l_{Pfette}^2}{8} = \frac{5,10 \cdot 5,00^2}{8} = 15,9 \text{ kNm}$$

$$\text{Schlankheit: } \lambda_z = \frac{\beta \cdot l_{Pfette}}{0,289 \cdot b} = \frac{0,8 \cdot 5,000}{0,289 \cdot 140} = 98,9 \rightarrow k_{c,z} = 0,312$$

$$\sigma_{c,0,d} = \frac{N_d}{A} = \frac{12,0 \cdot 10^3}{2,80 \cdot 10^4} = 0,429 \text{ N/mm}^2$$

$$\sigma_{m,d} = \frac{M_{I,d}}{W} = \frac{15,9 \cdot 10^6}{9,33 \cdot 10^5} = 17,0 \text{ N/mm}^2$$

Nachweis

$$\frac{\sigma_{c,0,d}}{k_{c,z} \cdot f_{t,0,d}} + \left( \frac{\sigma_{m,d}}{k_{crit} \cdot f_{m,d}} \right)^2 = \frac{0,429}{0,312 \cdot 16,2} + \left( \frac{17,0}{1,00 \cdot 18,5} \right)^2 = 0,0849 + 0,844 = 0,93 < 1$$

LFK VI:

$$q_{VI,d} = \gamma_{G,sup} \cdot g_k + \gamma_Q \cdot w_k = 1,00 \cdot 0,687 + 1,50 \cdot (-1,48) = -1,53 \text{ kN/m}$$

$$M_{VI,d} = \frac{q_{VI,d} \cdot l_{Pfette}^2}{8} = \frac{(-1,53) \cdot 5,00^2}{8} = -4,78 \text{ kNm}$$

$$\text{Schlankheit: } \lambda_z = \frac{\beta \cdot l_{Pfette}}{0,289 \cdot b} = \frac{0,8 \cdot 5,000}{0,289 \cdot 140} = 98,9 \rightarrow k_{c,z} = 0,312$$

$$\sigma_{c,0,d} = \frac{\min N_d}{A} = \frac{60,6 \cdot 10^3}{2,80 \cdot 10^4} = 2,16 \text{ N/mm}^2$$

$$\sigma_{m,d} = \frac{M_{I,d}}{W} = \frac{|-4,78| \cdot 10^6}{9,33 \cdot 10^5} = 5,12 \text{ N/mm}^2$$

Nachweis

$$\frac{\sigma_{c,0,d}}{k_{c,z} \cdot f_{t,0,d}} + \left( \frac{\sigma_{m,d}}{k_{crit} \cdot f_{m,d}} \right)^2 = \frac{2,16}{0,312 \cdot 16,2} + \left( \frac{5,12}{1,00 \cdot 18,5} \right)^2 = 0,427 + 0,0766 = 0,50 < 1$$

Anmerkung:

- Die Pfetten sind zug- und druckfest ausgebildet. Die Nachweisführung des Anschlusses der Pfetten an die Binder ist hier nicht angeführt.
- Die aus den Abstützungskräften der Binder resultierenden Normalkräfte in den Pfetten bilden mit den dadurch entstehenden horizontalen Auflagerkräften eine Gleichgewichtsgruppe. In den Pfetten des Auflagers entstehen dadurch signifikant höhere Normalkräfte ("Verschlusskräfte"; siehe [16], Abschnitt 22.3.5). Auf eine Nachweisführung dieser Situation wurde an dieser Stelle verzichtet.

### Bemessung Stahldiagonale

Anmerkung:

Auf eine Abstufung des Durchmessers wird verzichtet. Es werden sowohl für den Dach-, als auch für den Wandverband Stahlstäbe mit demselben Durchmesser verwendet.

Bemessungswert der Einwirkung

$$\max N_d = D_{2,d} = 75,4 \text{ kN}$$

Material Betonstabstähle aus BST 550 ( $f_{y,k} = 550 \text{ N/mm}^2$ ) mit aufgedrehtem Gewinde an den Enden sowie geeigneten Gabelköpfen

$$f_{y,d} = \frac{f_{y,k}}{\gamma_s} = \frac{550}{1,25} = 440 \text{ N/mm}^2$$

$$A_{sp,req} = \frac{\max N_d}{f_{y,d}} = \frac{75,4 \cdot 10^3}{440} = 171 \text{ mm}^2$$

gewählt: BST 550-Stahlstäbe Ø 20 mm ( $A_{sp} = 258 \text{ mm}^2$ )

### Querriegel – vertikaler Windverband

Annahme:

Die Wandpaneele sind horizontal orientiert und auf den Stützen befestigt, sodass die Querriegel im vertikalen Windverband keine Windkräfte abzutragen haben.

Knicknachweis

angenommene Abmessung:  $b/h = 200/140 \text{ mm}$  (liegend eingebaut) aus Vollholz C24

$$N_{QR,d} = A_{DV,I,d} + B_{Stab,H,d} = -56,6 - 2,24 = -58,8 \text{ kN}$$

$$g_{QR,d} = \gamma_G \cdot \gamma_{Holz} \cdot b \cdot h = 1,35 \cdot 5,50 \cdot 0,14 \cdot 0,20 = 0,208 \text{ kN/m}$$

$$M_{QR,d} = \frac{g_{QR,d} \cdot l^2}{8} = \frac{0,208 \cdot 5,00^2}{8} = 0,650 \text{ kNm}$$

$$\lambda = \frac{\beta \cdot l}{0,289 \cdot b} = \frac{1,00 \cdot 5,000}{0,289 \cdot 140} = 124 \rightarrow k_{c,z} = 0,205$$

Spannungen

$$\sigma_{c,0,d;QR} = \frac{N_{QR,d}}{A} = \frac{|-58,8 \cdot 10^3|}{200 \cdot 140} = 2,10 \text{ N/mm}^2$$

$$\sigma_{m,d;QR} = \frac{M_{QR,d}}{W_z} = \frac{0,650 \cdot 10^6}{200 \cdot 140^2 / 6} = 0,995 \text{ N/mm}^2$$

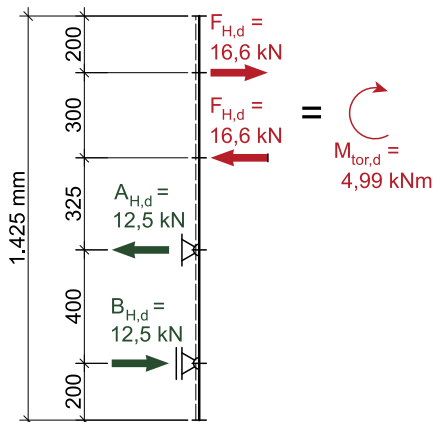
Nachweis

$$\frac{\sigma_{c,0,d;QR}}{k_{c,z} \cdot f_{c,0,d}} + \left( \frac{\sigma_{m,d;QR}}{k_{crit} \cdot f_{m,d}} \right)^2 = \frac{2,10}{0,205 \cdot 16,2} + \left( \frac{0,995}{1,00 \cdot 18,5} \right)^2 = 0,632 + 0,00289 = 0,63 < 1$$

### Stützenkopfdetail – Gabellagerung

Anmerkung:

Nicht Teil von ÖNORM EN 1995-1-1 und ÖNORM B 1995-1-1; Die angewendete Regelung stammt aus DIN 1052:2008.



für LFK I:

$$M_{tor,d} = \frac{M_d}{80} = \frac{399}{80} = 4,99 \text{ kNm}$$

Ausführung: Gabellager mit beidseitig der Stütze angeordneten Holzlaschen 2 x b/h = 320/100 mm

$$C_{tor,d} = T_{tor,d} = \frac{\pm M_d}{b_{Binder} + 2 \cdot \frac{h}{2}} = \frac{\pm 4,99}{0,180 + 2 \cdot \frac{0,080}{2}} = \pm 19,2 \text{ kN}$$

für LFK V:

$$T_d = \frac{1}{n_{Laschen}} \cdot \left( A_{III,d} + A_{DV,d,III} \cdot \frac{\Delta h_{DV}}{h} \right) + T_{tor,d} = \frac{1}{2} \cdot \left( 52,2 + 52,9 \cdot \frac{\approx 1,00}{5,00} \right) + 19,2 = 50,6 \text{ kN}$$

Anmerkung:

Es wird die Annahme getroffen, dass die (horizontalen) Auflagerkräfte des Windverbandes rund 1,00 m über der Unterkante der Binder eingeleitet werden.

Anschluss mittels 2 x Dübel besonderer Bauart (Ringdübel Typ A1),  $d_c = 126 \text{ mm}$ ,  $h_c = 30 \text{ mm}$  ( $= 2 \cdot h_e$ )

$$k_1 = \min \begin{cases} \frac{1}{3 \cdot h_e} \\ \frac{t_1}{5 \cdot h_e} \end{cases} = \min \begin{cases} \frac{1}{3 \cdot 15,0} = 2,22 = 1 \\ \frac{100}{5 \cdot 15,0} = 2,40 \end{cases}$$

$$k_2 = \min \begin{cases} \frac{k_a}{a_{3,t}} \\ \frac{2 \cdot d_c}{2 \cdot d_c} \end{cases} = \min \begin{cases} \frac{1,00}{200} = 1,00 \\ \frac{200}{2 \cdot 95,0} = 1,05 \end{cases}$$

$k_a = 1,00$  ... Verbindung mit mehr als einem Ringdübel je Scherfuge

$$k_3 = \min \begin{cases} \frac{1,75}{350} \\ \frac{375}{350} = 1,07 \end{cases} = 1,07$$

$$\text{mit } \rho_k = \sqrt{\rho_{k,g,1} \cdot \rho_{k,g,2}} = \sqrt{385 \cdot 365} = 375 \text{ kg/m}^3$$

$k_4 = 1,0 \dots$  für eine Holz-Holz-Verbindung

$$F_{v,0,Rk} = \min \begin{cases} k_1 \cdot k_2 \cdot k_3 \cdot k_4 \cdot (35 \cdot d_c^{1.5}) \\ k_1 \cdot k_3 \cdot h_e \cdot (35 \cdot d_c) \end{cases} = \min \begin{cases} 1,00 \cdot 1,00 \cdot 1,07 \cdot 1,00 \cdot (35 \cdot 126^{1.5}) = 52,967 \text{ N} \\ 1,00 \cdot 1,07 \cdot 15,0 \cdot (35 \cdot 126) = 70,781 \text{ N} \end{cases} = 53,0 \text{ kN}$$

$$k_{90} = 1,3 + 0,001 \cdot d_c = 1,3 + 0,001 \cdot 126 = 1,43$$

$$F_{v,\alpha,Rk} = \frac{F_{v,0,Rk}}{k_{90} \cdot \sin^2 \alpha + \cos^2 \alpha} = \frac{52,967}{1,43 \cdot \sin^2(90 - 9,46) + \cos^2(90 - 9,46)} = 37,343 \text{ N} = 37,3 \text{ kN}$$

$$n_{ef} = 2 + \left(1 - \frac{n}{20}\right) \cdot (n - 2) = 2 + \left(1 - \frac{2}{20}\right) \cdot (2 - 2) = 2$$

$$R_{v,Rd} = n_{ef} \cdot \frac{F_{v,\alpha,Rk}}{\gamma_{M,Verb}} = 2 \cdot \frac{37,3}{1,30} = 57,4 \text{ kN}$$

Nachweis

$$\frac{T_d}{R_{v,Rd}} = \frac{50,6}{57,4} = 0,88 < 1$$

Sicherung des DüBELS besonderer Bauart mit Bolzen 8.8 Ø 16 mm und Unterlagsscheibe  $d_a = 56 \text{ mm}$  |  $d_i = 17,5 \text{ mm}$  |  $t = 5 \text{ mm}$

$$A_{ef} = \frac{(d_a^2 - d_i^2) \cdot \pi}{4} + d_a \cdot 2 \cdot 30 \text{ mm} = \frac{(56,0^2 - 17,5^2) \cdot \pi}{4} + 56,0 \cdot 2 \cdot 30 \text{ mm} = 5,582 \text{ mm}^2$$

$$f_{c,90,g,d} = k_{c,90} \cdot k_{mod} \cdot \frac{f_{c,90,g,d}}{\gamma_M} = 3,00 \cdot 1,00 \cdot \frac{2,50}{1,30} = 5,77 \text{ N/mm}^2$$

$$R_{c,90,d} = f_{c,90,g,d} \cdot A_{ef} = 5,77 \cdot 5,582 = 32,208 \text{ N} = 32,2 \text{ kN}$$

$$F_{ax,d} = \frac{0,9 \cdot f_{u,k}}{\gamma_{M2}} \cdot A_{sp} = \frac{0,9 \cdot 800}{1,25} \cdot 157 = 90,432 \text{ N} = 90,4 \text{ kN}$$

$$F_{Ed} = \frac{M_{tor,d}}{a} = \frac{4,99 \cdot 10^6}{300} = 16,633 \text{ N} = 16,6 \text{ kN}$$

Nachweis

$$\frac{F_{Ed}}{R_{c,90,d}} = \frac{16,6}{32,2} = 0,52 < 1$$

Spannungsnachweis in der Lasche

angenommener Querschnitt

b/h = 320/100 mm GL 24h

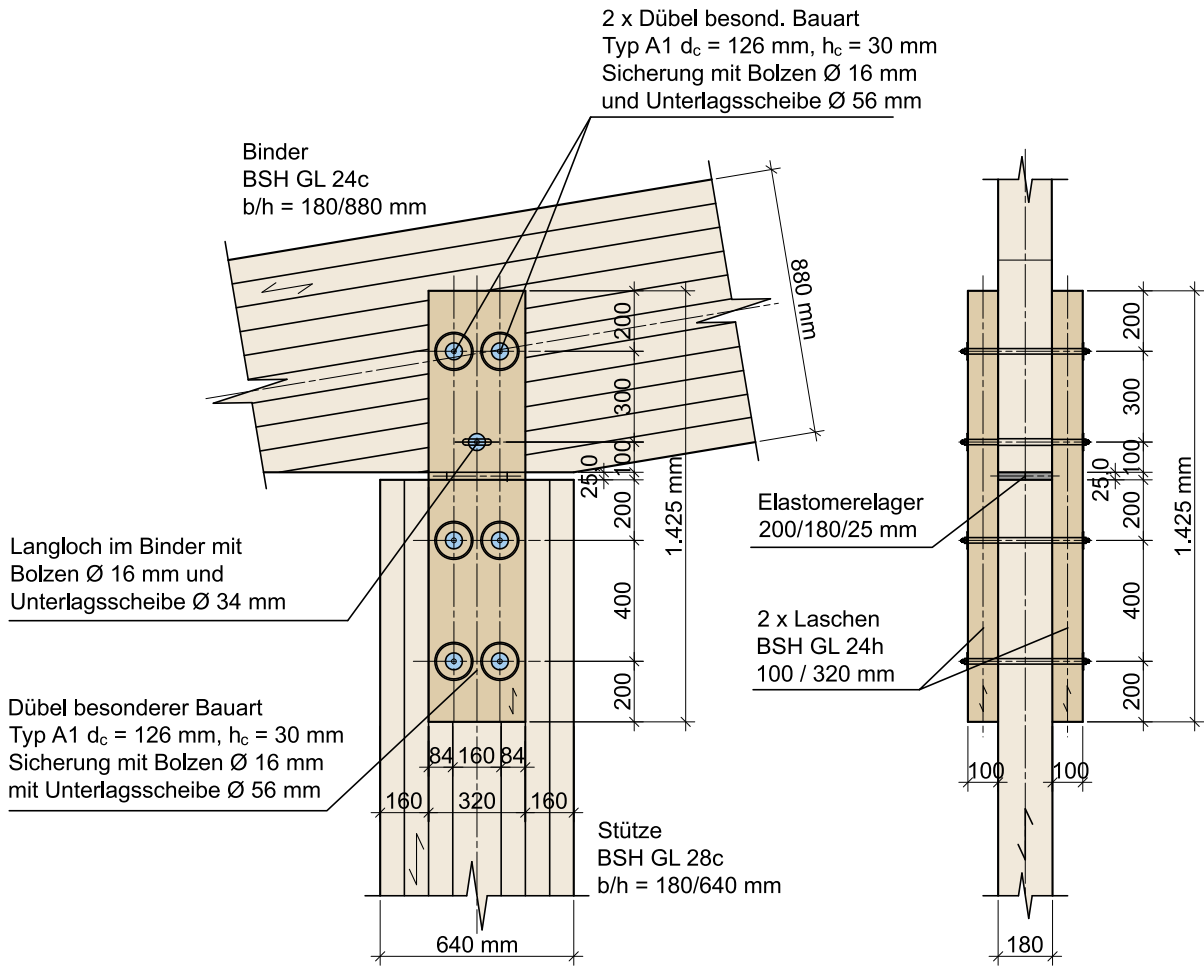
$$A_n = b \cdot h - d_c \cdot h_e - (d+1) \cdot (b-h_e) = 100 \cdot 320 - 126 \cdot 15 - (16,0+2) \cdot (100-15,0) = 2,86 \cdot 10^4 \text{ mm}^2$$

$$\sigma_{n,t,0,d} = \frac{T_d}{A_n} = \frac{50,6 \cdot 10^3}{2,86 \cdot 10^4} = 1,77 \text{ N/mm}^2$$

$$e_z = \frac{320 \cdot 100 \cdot 50,0 - 126 \cdot 15,0 \cdot \frac{15,0}{2} - 18,0 \cdot (100-15,0) \cdot \left(15,0 + \frac{1}{2} \cdot (100-15,0)\right)}{320 \cdot 100 - 126 \cdot 15,0 - 18,0 \cdot (100-15,0)} = 52,4 \text{ mm}$$

$$I_n = \frac{320 \cdot 100^3}{12} - \frac{126 \cdot 15,0^3}{12} - \frac{18,0 \cdot (100-15,0)^3}{12} + \\ + 320 \cdot 100 \cdot (50,0-52,4)^2 - 126 \cdot 15,0 \cdot (7,50-52,4)^2 - 18 \cdot (100-15,0) \cdot \left(15 + \frac{1}{2} \cdot (100-15,0) - 52,4\right)^2 = 2,20 \cdot 10^7 \text{ mm}^4$$

## Skizze des Gabellagers



$$\min W = \frac{I_n}{\max z} = \frac{2,20 \cdot 10^7}{52,4} = 4,20 \cdot 10^5 \text{ mm}^3$$

$$\sigma_{n:m,d} = \frac{M_{tor,d}}{\min W} = \frac{4,99 \cdot 10^6}{4,20 \cdot 10^5} = 11,9 \text{ N/mm}^2$$

## Nachweis

$$\frac{\sigma_{n,t,0,d}}{f_{t,0,g,d}} + \frac{\sigma_{n,m,d}}{f_{m,g,d}} = \frac{1,77}{15,4} + \frac{11,9}{19,2} = 0,115 + 0,620 = 0,74 < 1$$

## Stützenfußdetail

Anmerkung: Auf Grund des dominanten Momentenanteiles wurde die Lastfallkombination Eigengewicht (günstig) + Wind - Lastfall w1 für die Nachweisführung verwendet.

## Gleichgewicht

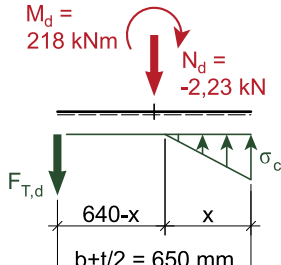
$$\sum F_z = 0: \quad F_{t,d} + N_d - \frac{1}{2} \cdot \sigma_{c,0,d} \cdot b \cdot x = 0$$

$$\sum M_A = 0: \quad -M_d - N_d \cdot \left( \frac{h}{2} + \frac{t}{2} \right) + \frac{1}{2} \cdot \sigma_{c,0,d} \cdot b \cdot x \cdot \left( h + \frac{t}{2} - \frac{x}{3} \right) = 0$$

## Ermittlung des Abstandes x

$$x^2 - \frac{1}{2} \cdot (6 \cdot h + 3 \cdot t) \cdot x + \frac{6 \cdot \left( M_d + N_d \cdot \frac{1}{2} \cdot (h+t) \right)}{\sigma_{c,0,d} \cdot b} = 0$$

## Modell Stützenfussdetail



$$M_d = \gamma_Q \cdot w_{1,d} \cdot b \cdot \left( \Delta h \cdot h_{\text{Stütze}} + \frac{h_{\text{Stütze}}^2}{2} \right) = 1,50 \cdot 0,832 \cdot 5,00 \cdot \left( 1,50 \cdot 7,00 + \frac{7,00^2}{2} \right) = 218 \text{ kNm}$$

$$\begin{aligned} N_d &= \gamma_Q \cdot N_{\text{Stütze},g,k} + \gamma_Q \cdot A_{w1,d} - \left( A_{DV,1,d} \cdot h_{\text{Traufe}} + \frac{h_{\text{zwAb}}^2}{2} \right) \cdot \frac{1}{b} = \\ &= 1,00 \cdot (32,9 + 13,6) + 1,50 \cdot (-2,28) - \left( 27,2 \cdot 8,00 + 2,24 \cdot \frac{8,00}{2} \right) \cdot \frac{1}{5,00} = -2,23 \text{ kN} \end{aligned}$$

$$\begin{aligned} x_{1,2} &= \frac{1}{4} \cdot (6 \cdot h + 3 \cdot t) \pm \sqrt{\left( \frac{6 \cdot h + 3 \cdot t}{4} \right)^2 - \frac{6 \cdot \left( M_d + N_d \cdot \frac{1}{2} \cdot (h+t) \right)}{\sigma_{c,0,d} \cdot b}} = \\ &= \frac{1}{4} \cdot (6 \cdot 640 + 3 \cdot 20) \pm \sqrt{\left( \frac{6 \cdot 640 + 3 \cdot 20}{4} \right)^2 - \frac{6 \cdot \left( 218 \cdot 10^6 + (-2,23) \cdot 10^3 \cdot \frac{1}{2} \cdot (640+20) \right)}{19,2 \cdot 180}} = 975 \pm 757 = (1.732 \text{ mm}) \\ &\quad 218 \text{ mm} \end{aligned}$$

$$F_{c,d} = \frac{1}{2} \cdot f_{c,0,d} \cdot b \cdot x = \frac{1}{2} \cdot 19,2 \cdot 180 \cdot 218 = 376.704 \text{ N} = 377 \text{ kN}$$

$$F_{t,d} = \frac{1}{2} \cdot f_{c,0,d} \cdot b \cdot x - N_d = \frac{1}{2} \cdot 19,2 \cdot 180 \cdot 218 - (-2,23) \cdot 10^3 = 378.934 \text{ N} = 379 \text{ kN}$$

## Bemessung Moment und Normalkraft

Einleitung der Zugkraft in die Stahillasche mit Vollgewindeschrauben Ø 10 | 550 mm ( $f_{ax,k} = 11,0 \text{ N/mm}^2$ ,  $f_{tens,k} = 33,0 \text{ kN}$ , Daten aus bauaufsichtlicher Zulassung)

## Tragfähigkeit

$$l_{\text{ef}} = l - \sqrt{2} \cdot t = 550 - \sqrt{2} \cdot 20,0 = 522 \text{ mm}$$

$$F_{ax,d} = \min \left\{ \frac{f_{ax,k} \cdot d \cdot l_{\text{ef}} \cdot \frac{k_{\text{mod}}}{\gamma_{M,\text{Verb}}}}{\gamma_{M,2}} = \min \left\{ \frac{11,0 \cdot 10,0 \cdot 522 \cdot \frac{1,00}{1,30}}{1,25} = 44.169 \text{ N} = 26,4 \text{ kN} \right. \right. \\ \left. \left. \frac{33.000}{1,25} = 26.400 \text{ N} \right\} \right.$$

$$R_{ax,d} = F_{ax,d} \cdot (\cos \alpha + \mu_0 \cdot \sin \alpha) = 26,4 \cdot (\cos(45,0) + 0,25 \cdot \sin(45,0)) = 23,3 \text{ kN}$$

$$\frac{F_{t,d}}{n^{0,7} \cdot R_{ax,d}} \leq 1 \rightarrow n = \left( \frac{F_{t,d}}{R_{ax,d}} \right)^{\frac{10}{9}} = \left( \frac{379}{23,3} \right)^{\frac{10}{9}} = 22,2$$

gewählt: 8 x 3 Vollgewindeschrauben Ø 10 | 550 mm (n = 24)

## Querkraft

## Bemessungswert der Querkraft

$$V_{t,d} = \gamma_Q \cdot w_{Luv,k} \cdot b \cdot h_{\text{Traufe}} = 1,50 \cdot 0,832 \cdot 5,00 \cdot 8,50 = 53,0 \text{ kN}$$

Einleitung der Querkraft in die Stahillasche mit Vollgewindeschrauben Ø 10 | 400 mm ( $f_{ax,k} = 11,0 \text{ N/mm}^2$ ,  $f_{tens,k} = 33,0 \text{ kN}$  aus bauaufsichtlicher Zulassung)

Tragfähigkeit

$$l_{\text{ef}} = l - \frac{(t - 5 \text{ mm})}{\cos \alpha} = 400 - \frac{(20,0 - 5,00)}{\cos(15,0)} = 384 \text{ mm}$$

$$F_{\text{ax,d}} = \min \begin{cases} f_{\text{ax,k}} \cdot d \cdot l_{\text{ef}} \cdot \frac{k_{\text{mod}}}{\gamma_{M,\text{Verb}}} \\ f_{\text{tens,k}} \end{cases} = \min \begin{cases} 11,0 \cdot 10,0 \cdot 384 \cdot \frac{1,00}{1,30} = 32.492 \text{ N} \\ \frac{33.000}{1,25} = 26.400 \text{ N} \end{cases} = 26,4 \text{ kN}$$

$$R_{\text{ax,d}} = F_{\text{ax,d}} \cdot (\cos \alpha + \mu_0 \cdot \sin \alpha) = 26,4 \cdot (\cos(15,0) + 0,25 \cdot \sin(15,0)) = 27,2 \text{ kN}$$

$$\frac{V_{t,d}}{n^{0,9} \cdot R_{\text{ax,d}}} \leq 1 \rightarrow n = \left( \frac{F_{t,d}}{R_{\text{ax,d}}} \right)^{\frac{10}{9}} = \left( \frac{53,0}{27,2} \right)^{\frac{10}{9}} = 2,10$$

gewählt: 1 x 3 Vollgewindeschrauben Ø 10 | 400 mm (n = 3)

Schraubenabstände untereinander und zu den Rändern

			<b>erforderlich</b>	<b>vorhanden</b>
a <sub>1</sub>	[mm]	≥ 7 · d	70 mm	70,7 mm
a <sub>2</sub>	[mm]	≥ 5 · d	50 mm	50 mm
a <sub>1,CG</sub>	[mm]	≥ 10 · d	100 mm	242 mm
a <sub>2,CG</sub>	[mm]	≥ 4 · d	40 mm	40 mm

Nachweis der Stahillasche

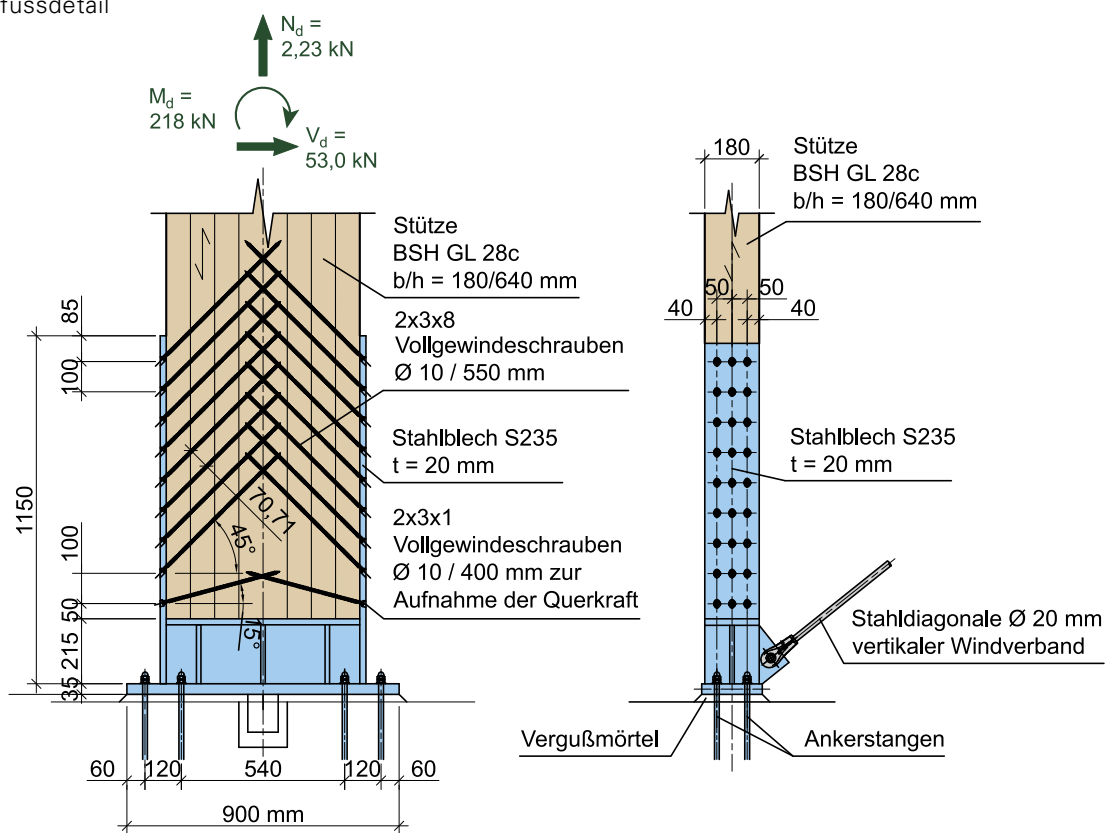
$$A_n = 180 \cdot 20,0 - 3 \cdot \left[ 8,65 \cdot 20,0 + \frac{1}{2} \cdot (20,0 + 11,0) \cdot 3,00 + 8,35 \cdot 11,0 \right] = 2,67 \cdot 10^3 \text{ mm}^2$$

$$\sigma_{n,t,d} = \frac{F_{t,d}}{A_n} = \frac{379 \cdot 10^3}{2,67 \cdot 10^3} = 142 \text{ N/mm}^2$$

Nachweis

$$\frac{\sigma_{n,t,d}}{f_{y,d}} = \frac{142}{235} = 0,60 < 1$$

## Stützenfussdetail



## Giebelstütze

Anmerkung:

Es wird vorausgesetzt, dass die Giebelstütze vom First bis zum Fußpunkt durchläuft und in einem maximalen Abstand  $a = 4.250 \text{ mm}$  gegen Kippen gestützt ist.

Querschnitt:  $b/h = 140/400 \text{ mm}$  aus BSH GL28c

## Einwirkungen

$$G_d = \gamma_G \cdot (\gamma_{Holz} \cdot b \cdot h + g_{Wand,k} \cdot b) \cdot h_{Stütze} = 1,35 \cdot (5,00 \cdot 0,140 \cdot 0,400 + 0,20 \cdot 4,58) \cdot \approx 10,0 = 16,1 \text{ kN}$$

$$W_d = \gamma_Q \cdot w_k \cdot b = 1,50 \cdot \pm 0,832 \cdot 4,58 = \pm 5,72 \text{ kN/m}$$

## Schnittrößen

$$V_d = \frac{w_d \cdot h_{Stütze}}{2} = \frac{\pm 5,72 \cdot \approx 10,0}{2} = \pm 28,6 \text{ kN}$$

$$M_d = \frac{w_d \cdot h_{Stütze}^2}{8} = \frac{\pm 5,72 \cdot \approx 10,0^2}{8} = \pm 71,5 \text{ kNm}$$

## Querschnittswerte

$$A = b \cdot h = 140 \cdot 400 = 5,60 \cdot 10^4 \text{ mm}^2$$

$$W = \frac{b \cdot h^2}{6} = \frac{140 \cdot 400^2}{6} = 3,73 \cdot 10^6 \text{ mm}^3$$

Nachweisführung

$$\lambda_y = \frac{\beta \cdot l}{0,289 \cdot h} = \frac{1,00 \cdot 10.000}{0,289 \cdot 400} = 86,5$$

$$\rightarrow k_{c,y} = 0,511$$

$$\lambda_z = \frac{\beta \cdot l}{0,289 \cdot b} = \frac{1,00 \cdot 4.250}{0,289 \cdot 140} = 105$$

$$\rightarrow k_{c,z} = 0,359$$

$$\frac{l \cdot h}{b^2} = \frac{\approx 0,9 \cdot 4.250 \cdot 400}{140^2} = 78,1 < \left( \frac{l \cdot h}{b^2} \right)_{grenz} = 177 \quad \rightarrow k_{crit} = 1,00$$

Spannungen

$$\sigma_{c,0,d} = \frac{N_d}{A} = \frac{16,1 \cdot 10^3}{5,60 \cdot 10^4} = 0,288 \text{ N/mm}^2$$

$$\sigma_{m,d} = \frac{M_d}{W} = \frac{71,5 \cdot 10^6}{3,73 \cdot 10^6} = 19,2 \text{ N/mm}^2$$

Nachweis

$$\frac{\sigma_{c,0,d}}{k_{c,z} \cdot f_{c,0,g,d}} + \left( \frac{\sigma_{m,d}}{k_{crit} \cdot f_{m,g,d}} \right)^2 = \frac{0,288}{0,359 \cdot 19,2} + \left( \frac{19,2}{1,00 \cdot 22,4} \right)^2 = 0,0418 + 0,735 = 0,78 < 1$$

Schubnachweis

Schubspannung

$$\tau_d = 1,5 \cdot \frac{V_d}{A} = 1,5 \cdot \frac{28,6 \cdot 10^3}{5,60 \cdot 10^4} = 0,766 \text{ N/mm}^2$$

Nachweis

$$\frac{\tau_d}{f_{v,g,d}} = \frac{0,766}{2,00} = 0,38 < 1$$



# LITERATURVERZEICHNIS

## LITERATURVERZEICHNIS

---

Literaturverzeichnis

L.3 - L.4

# LITERATURVERZEICHNIS

- [1] ÖNORM EN 1995-1-1:2019, „Eurocode 5: Bemessung und Konstruktion von Holzbauten, Teil 1-1: Allgemeines – Allgemeine Regeln und Regeln für den Hochbau (konsolidierte Fassung)“, Austrian Standards International, Wien, 2019
- [2] ÖNORM B 1995-1-1:2019, „Eurocode 5: Bemessung und Konstruktion von Holzbauten, Teil 1-1: Allgemeines – Allgemeine Regeln und Regeln für den Hochbau (Konsolidierte Version mit nationalen Festlegungen, nationalen Erläuterungen und nationalen Ergänzungen zur Umsetzung der ÖNORM EN 1995-1-1)“, Austrian Standards International, Wien, 2019
- [3] ÖNORM EN 1995-1-2:2011, „Eurocode 5: Bemessung und Konstruktion von Holzbauten, Teil 1-2: Allgemeine Regeln – Tragwerksbemessung für den Brandfall (konsolidierte Fassung)“, Austrian Standards Institute/Österreichisches Normungsinstitut (ON), Wien, 2011
- [4] ÖNORM B 1995-1-2:2011, „Eurocode 5: Bemessung und Konstruktion von Holzbauten, Teil 1-2: Allgemeine Regeln – Bemessung für den Brandfall; Nationale Festlegungen zur ÖNORM EN 1995-1-2, nationale Erläuterungen und nationale Ergänzungen“, Austrian Standards Institute/Österreichisches Normungsinstitut (ON), Wien, 2011
- [5] ONR CEN/TS 19103:2022, „Eurocode 5: Bemessung und Konstruktion von Holzbauten – Berechnung von Holz-Beton-Verbundbauteilen – Allgemeine Regeln für den Hochbau“, Austrian Standards International, Wien, 2022
- [6] ÖNORM EN 1992-1-1:2015, „Eurocode 2: Bemessung und Konstruktion von Stahlbeton- und Spannbetontragwerken, Teil 1-1: Allgemeine Bemessungsregeln und Regeln für den Hochbau (konsolidierte Fassung)“, Austrian Standards Institute/Österreichisches Normungsinstitut (ON), Wien, 2015
- [7] ÖNORM EN 1991-1-1:2011, „Eurocode 1 – Einwirkungen auf Tragwerke; Teil 1-1: Allgemeine Einwirkungen – Wichten, Eigengewicht und Nutzlasten im Hochbau (konsolidierte Fassung)“, Austrian Standards Institute/Österreichisches Normungsinstitut (ON), Wien, 2011
- [8] ÖNORM B 1991-1-1:2017, „Eurocode 1 – Einwirkungen auf Tragwerke; Teil 1-1: Allgemeine Einwirkungen – Wichten, Eigengewicht, Nutzlasten im Hochbau; Nationale Festlegungen zu ÖNORM EN 1991-1-1 und nationale Ergänzungen“, Austrian Standards Institute/Österreichisches Normungsinstitut, Wien, 2017
- [9] ÖNORM EN 1991-1-3:2016, Eurocode 1 – Einwirkungen auf Tragwerke; Teil 1-3: Allgemeine Einwirkungen – Schneelasten (konsolidierte Fassung)“, Austrian Standards Institute/Österreichisches Normungsinstitut, Wien, 2016
- [10] ÖNORM B 1991-1-3:2022, Eurocode 1 – Einwirkungen auf Tragwerke; Teil 1-3: Allgemeine Einwirkungen – Schneelasten; Nationale Festlegungen zur ÖNORM EN 1991-1-3, nationale Erläuterungen und nationale Ergänzungen“, Austrian Standards International, Wien, 2022
- [11] ÖNORM EN 1991-1-4:2011, Eurocode 1 – Einwirkungen auf Tragwerke; Teil 1-4: Allgemeine Einwirkungen – Windlasten (konsolidierte Fassung)“, Austrian Standards Institute/Österreichisches Normungsinstitut (ON), Wien, 2011
- [12] ÖNORM B 1991-1-4:2019, Eurocode 1 – Einwirkungen auf Tragwerke; Teil 1-4: Allgemeine Einwirkungen – Windlasten; Nationale Festlegungen zu ÖNORM EN 1991-1-4 und nationale Ergänzungen“, Austrian Standards Institute/Österreichisches Normungsinstitut (ON), Wien, 2011

- [13] M. Augustin, W. Luggin, G. Flatscher, „Tabellenwerk zur Nachweisführung von Holzbauteilen nach ÖNORM EN 1995-1-1 und ÖNORM B 1995-1-1“, 2. erweiterte Auflage, Österreichischer Ingenieurholzbauverband (IHBV), Wien/Graz, 2020
- [14] G. Dröge, „Grundzüge des Holzbaus – Band 1: Konstruktionselemente“, 2. Auflage, Verlag Ernst & Sohn, Berlin, 1993
- [15] H. Neuhaus, „Ingenieurholzbau; Grundlagen – Bemessung – Nachweise – Beispiele“, 2. vollständig überarbeitete Auflage, Verlag Vieweg + Teubner, Wiesbaden, 2009
- [16] F. Colling, „Holzbau – Grundlagen und Bemessung nach EC 5“, 3. Auflage, Springer Fachmedien, Wiesbaden, 2012
- [17] F. Colling, „Holzbau – Beispiele; Musterlösungen und Bemessungstabellen nach EC 5“, 3. Auflage, Springer Fachmedien, Wiesbaden, 2012
- [18] W. Rug, W. Mönck, „Holzbau – Bemessung und Konstruktion“, 15. vollständig überarbeitete Auflage, HUSS-MEDIEN GmbH, Berlin, 2008
- [19] Fördergesellschaft Holzbau und Ausbau mbH, DIN Deutsches Institut für Normung e. V. (Hrsg.), „DIN 1052 – Praxishandbuch Holzbau“, Beuth Verlag GmbH, Berlin und WEKA MEDIA GmbH & Co KG, Kissing, 2010
- [20] K. Lißner, W. Rug, „Der Eurocode 5 für Deutschland; Eurocode 5: Bemessung und Konstruktion von Holzbauten – Teil 1-1: Allgemeines - Allgemeine Regeln für den Holzbau; Kommentierte Fassung“, Beuth Verlag GmbH, Berlin und Verlag Ernst & Sohn, Berlin, 2016
- [21] G. Schickhofer, et al., „Holzbau - Nachweisführungen für Konstruktionen aus Holz“, Skriptum Version 1.1, Institut für Holzbau und Holztechnologie, Technische Universität Graz, 2006
- [22] J. Schänzlin, „Zur Bemessung von Holz-Beton-Verbunddecken“, Bericht, Version vom 30.11.2019, Institut für Holzbau, Fakultät Bauingenieurwesen, Hochschule Biberach, 2019
- [23] K. Rautenstrauch, et al., „Baupraktische Dimensionierung von Holz-Beton-Verbunddecken“, 6. Informationstag des IKI, Bauhaus-Universität Weimar, 2003
- [24] St. Loebus, St. Winter, „Zweiachsige Tragwirkung bei Holz-Beton-Verbundkonstruktionen – Entwicklung von Bemessungsverfahren und Konstruktionsdetails für zweiachsige Lastabtragung bei der Holz-Beton-Verbundbauweise“, Forschungsbericht, 189 Seiten, Lehrstuhl für Holzbau und Baukonstruktion, Technische Universität München, 2017
- [25] M. Wallner-Novak, P. Wörle, „Aussteifungssysteme im Holz-Hochbau“, 1. Auflage, Österreichischer Ingenieurholzbauverband IHBV, Wien, 2021
- [26] F. Colling, „Aussteifung von Gebäuden in Holztafelbauart – Grundlagen, Beanspruchungen, Nachweise nach DIN und EUROCODE“, 1. Auflage, Ingenieurbüro Holzbau GmbH & Co. KG., Karlsruhe, 2011
- [27] R. Pischl, W. Platzer, K. Angerer, „Bemessungshilfen für tragende Holzbauteile“, Bundesholzwirtschaftsrat Wien, 1985



---

**ANHANG A**

Vereinfachte Nachweisführung für Biegeträger mit rechteckigem Querschnitt

# **VEREINFACHTE NACHWEISFÜHRUNG FÜR BIEGETRÄGER MIT RECHTECKIGEM QUERSCHNITT**

## **Allgemeines**

Das „Standardbauteil“ im Holzbau ist der **ausschliesslich auf Biegung beanspruchte Einfeldbalken** mit einer **Beanspruchung durch eine Gleichlast**. Im Tabellenwerk [13] sind auf den Seiten IV.21 bis IV.37 Tabellen zur überschlägigen Abschätzungen der erforderlichen Querschnittsabmessungen für häufig verwendete Vollholz- und Brettschichtholzfestigkeitsklassen angeführt. Es wird ausdrücklich festgehalten, dass diese Tabellen für eine rasche Vordimensionierung bzw. zur Kostenabschätzung dienen sollen. Keinesfalls kann damit eine detaillierte statische Berechnung ersetzt werden.

Als Eingangswerte dienen einerseits die Spannweite  $l$  und andererseits der Bemessungswert der Einwirkung  $q_d$ . Nach Wahl einer passenden Querschnittsbreite  $b$  kann die erforderliche Querschnittshöhe  $h$  für den jeweiligen Baustoff direkt aus der Tabelle abgelesen werden.

## **Hintergrund zu den Tabellen zur Abschätzung der Querschnittsabmessungen im Tabellenwerk**

Für biegebeanspruchte Bauteile sind grundsätzlich:

- im Grenzzustand der Tragfähigkeit
  - der Nachweis der Biege- (rand-) spannungen und
  - der Nachweis der Schubspannungen
- im Grenzzustand der Gebrauchstauglichkeit
  - der Nachweis der Durchbiegung

zu führen.

In speziellen Fällen ist

- im Grenzzustand der Tragfähigkeit
    - der Kippnachweis
- und/oder
- im Grenzzustand der Gebrauchstauglichkeit
    - der Schwingungsnachweis (bei Wohnungsdecken)

zu erbringen.

Zu erwähnen ist weiters, dass beim Nachweis der Durchbiegung im Holzbau, auf Grund der relativ geringen ständigen Einwirkungen (Eigengewicht), im Allgemeinen die seltene (charakteristische) Einwirkungskombination bemessungsrelevant wird. Der Grenzwert für diese Einwirkungskombination beträgt im Allgemeinen  **$l/300$** . Die Tabellen auf Seite IV.21 bis IV.37 des Tabellenwerkes sowie die nachfolgende Darstellung sind auf diesen Grenzwert bezogen.

Für **biegebeanspruchte Holzbauteile mit einem hohem Anteil an ständigen Einwirkungen** (z. B. Fußboden-aufbauten mit schwerer Schüttung und dickeren Betonestrichen) sollte die übliche detaillierte Nachweisführung durchgeführt werden. Für solche Konstruktionen sind die angesprochenen Tabellen **nicht unmittelbar geeignet**.

Die folgenden Gleichungen gelten ausschließlich für den, im Holzbau üblichen, **Rechteckquerschnitt**:

Grundsätzlich sind für biegebeanspruchte Holzbauteile der Schubnachweis, der Biegenachweis und der Formänderungsnachweis („Durchbiegungsnachweis“) zu führen. Für die beiden ULS-Nachweise „Biegung“ und „Schub“ ist nachzuweisen, dass die Spannungen aus dem Bemessungswert der Einwirkungen kleiner oder gleich dem jeweiligen Bemessungswert der Festigkeit sind. Die auftretenden Spannungen sind vom Bemessungswert der Einwirkung, der Spannweite und den Querschnittsabmessungen abhängig. Im Grenzfall, d. h. wenn die auftretenden Spannungen mit der Festigkeit übereinstimmen, lassen sich damit die Gleichungen für die Biegung und den Schub in Abhängigkeit vom  $h/l$ -Verhältnis angeben.

Ähnliche Überlegungen lassen sich für den Durchbiegungsnachweise anstellen, wobei dort darauf zu achten ist, dass die Einwirkung  $E_d$  ohne Berücksichtigung der Teilsicherheitsbeiwerte zu berücksichtigen sind.

Wie die  $l/h$ -Verhältnisse in der nachfolgenden Tabelle zeigen, unterliegen die  $l/h$ -Verhältnisse einer erstaunlichen Ordnung, wodurch diese Gleichungen relativ leicht zu merken sind. Im Unterschied zu den geläufigen  $l/h$ -Werten sind die angeführten Gleichungen im Rahmen der erwähnten Randbedingungen exakt.

	<b>Schnittgröße/ Verformung</b>	<b>Spannung und Grenzwert- bedingung</b>	<b>Zusammenhang <math>l/h</math></b>
Schub	$V_d = \frac{q_d \cdot l}{2}$	$\tau_d = \frac{3}{2} \cdot \frac{V_d}{b \cdot h} \leq f_{v,d}$	$\frac{l}{h} = 2 \cdot \frac{10}{5} \cdot \left( \frac{f_{v,d}}{3 \cdot q_d} \cdot \frac{b}{q_d} \right)^{1/3}$
Biegung	$M_d = \frac{q_d \cdot l^2}{8}$	$\sigma_d = \frac{M_d}{W} = \frac{6 \cdot M_d}{b \cdot h^2} \leq f_{m,d}$	$\frac{l}{h} = 2 \cdot \frac{5}{5} \cdot \left( \frac{f_{m,d}}{3 \cdot q_d} \cdot \frac{b}{q_d} \right)^{1/2}$
Durchbiegung	$w = \frac{5}{384} \cdot \frac{q \cdot l^4}{E \cdot I} \leq \frac{l}{300}$		$\frac{l}{h} = 2 \cdot \frac{1}{5} \cdot \left( \frac{E}{3 \cdot q} \cdot \frac{b}{q} \right)^{1/3}$

Werden die  $l/h$ -Verhältnisse über die  $(b/q_d)$ - bzw.  $(b/q)$ - Werte in einem Diagramm aufgetragen, ergeben sich die, in der nachfolgenden Abbildung gezeigten, girlandenförmigen Verläufe, von denen jeweils die Kurve mit dem geringsten  $h/l$ -Wert bemessungsrelevant ist. Bei sehr hohen Einwirkungen, d. h. geringen  $(b/q_d)$ -Werten und/oder geringen Spannweiten wird der Schubnachweis relevant; dieser Fall tritt in der Praxis jedoch selten auf.

Im Allgemeinen wird für kleinere/mittlere Belastungen und/oder Spannweiten der Biegenachweis schlagend, typischerweise ist auf Grund der relativ hohen Festigkeit des Holzes jedoch die Durchbiegungsanforderung für die Querschnittsdimensionierung maßgebend.

Die Werte in den Tabellen des Tabellenwerkes wurden auf Basis der geschilderten Überlegungen ermittelt. Dazu wurden die  $h/l$ -Werte für die einzelnen Nachweise in einem Tabellenkalkulationsprogramm ermittelt, deren Kleinstwert berechnet und die, für die Spannweite und Querschnittsbreite erforderliche Querschnittshöhe so abgefragt, dass für diese Höhen im 20 mm Abstand (Vollholz) bzw. 40 mm Differenz ausgegeben werden konnten. Für Querschnitte mit einem Verhältnis der Querschnittsabmessungen von rund  $h/b > 4$  ist zusätzlich zu überprüfen, ob ein Kippen des Querschnittes auftreten kann.

## ANHANG A

Wie schon erläutert gelten die Tabellen ausschließlich für biegebeanspruchte Einfeldträger unter Gleichlast. Treten davon abweichende Einwirkungssituationen (z. B. Einzellast quer und längs des Balken) auf sind die Angaben in den Tabellen ungültig und die jeweiligen detaillierten Nachweise zu führen. Zweck der Tabellen ist es für die angesprochene Bemessungssituation rasch zu einer zielführend Abschätzung von Querschnittsabmessungen zu kommen. Der „genaue“ Nachweis und dessen Dokumentation im Falle einer Bausausführung ist davon unbeschadet im Detail zu führen.

Im Folgenden werden Gleichungen zur Abgrenzung der jeweiligen Bereiche hergeleitet:

### Abgrenzung Bereich Schub – Biegung

Ermittlung der Abszissenkoordinate durch Gleichsetzen der h/l-Beziehungen für Schub und Biegung

$$2 \cdot \frac{10}{5} \cdot \left( \frac{f_{v,d}}{3} \cdot \frac{b}{q_d} \right)^{\frac{1}{2}} = 2 \cdot \frac{5}{5} \cdot \left( \frac{f_{m,d}}{3} \cdot \frac{b}{q_d} \right)^{\frac{1}{2}}$$

$$\rightarrow \frac{b}{q_d} = \frac{3}{4} \cdot \frac{f_{m,d}}{f_{v,d}^2}$$

$$\rightarrow \frac{l}{h} = 2 \cdot \frac{10}{5} \cdot \frac{f_{v,d}}{3} \cdot \frac{b}{q_d} = 2 \cdot \frac{10}{5} \cdot \frac{f_{v,d}}{3} \cdot \frac{3}{4} \cdot \frac{f_{m,d}}{f_{v,d}^2} = \frac{f_{m,d}}{f_{v,d}}$$

### Abgrenzung Bereich Biegung – Schub

Ermittlung der Abszissenkoordinate durch Gleichsetzen der h/l-Beziehungen für Biegung und Durchbiegung

$$2 \cdot \frac{5}{5} \cdot \left( \frac{f_{m,d}}{3} \cdot \frac{b}{q_d} \right)^{\frac{1}{2}} = 2 \cdot \frac{1}{5} \cdot \left( \frac{E}{3} \cdot \frac{b}{q} \right)^{\frac{1}{3}} \quad \text{mit } q_d = \eta \cdot q$$

$$\rightarrow \left( \frac{b}{q_d} \right) = \frac{1}{5^6} \cdot \left( \frac{f_{m,d}}{3} \right)^{-3} \cdot \left( \frac{E}{3} \cdot \eta \right)^2 = \frac{3}{5^6} \cdot \frac{E^2}{f_{m,d}^{-3}} \cdot \eta^2$$

$$\rightarrow \frac{l}{h} = 2 \cdot \frac{5}{5} \cdot \left( \frac{f_{m,d}}{3} \cdot \frac{b}{q_d} \right)^{\frac{1}{2}} = 2 \cdot \left( \frac{f_{m,d}}{3} \cdot \frac{3}{5^6} \cdot \frac{E^2}{f_{m,d}^{-3}} \cdot \eta^2 \right)^{\frac{1}{2}} = \frac{2}{5^3} \cdot \frac{E}{f_{m,d}} \cdot \eta$$

### Abgrenzung Bereich Schub – Durchbiegung

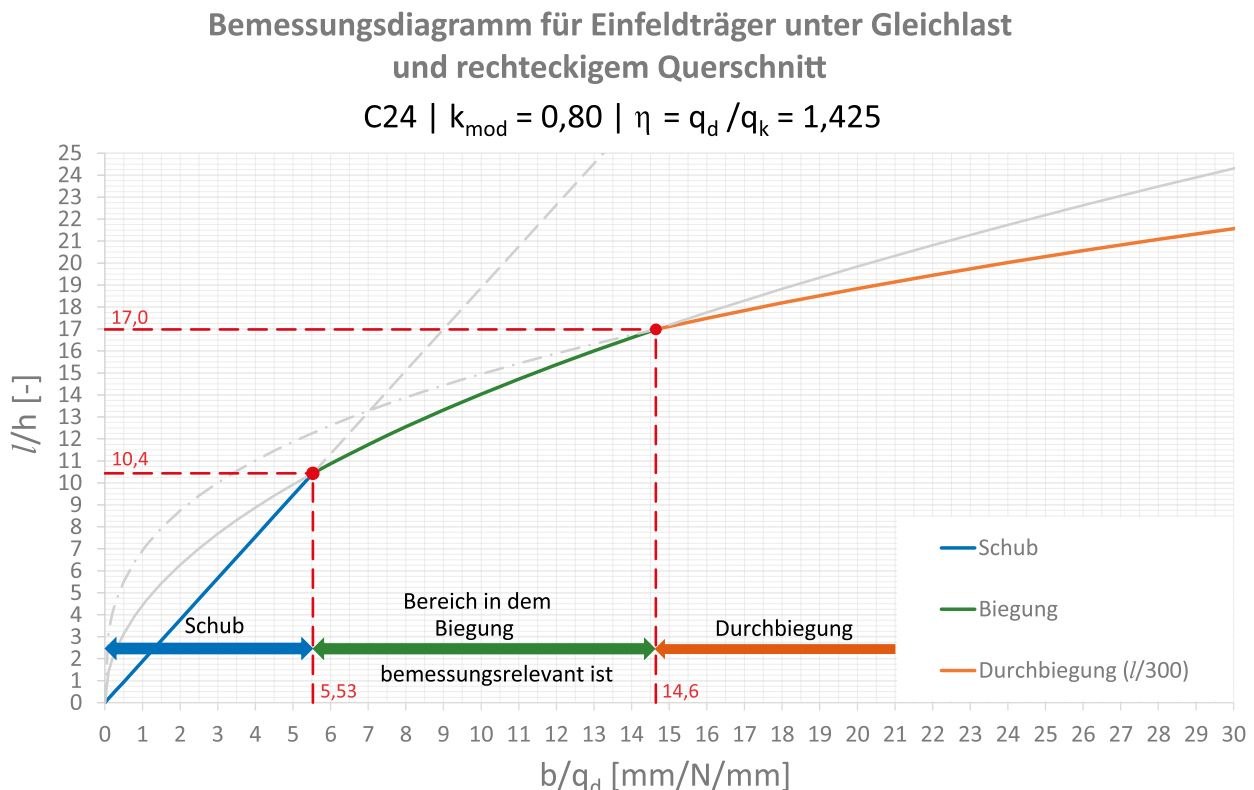
Ermittlung der Abszissenkoordinate durch Gleichsetzen der h/l-Beziehungen für Schub und Durchbiegung

$$2 \cdot \frac{10}{5} \cdot \left( \frac{f_{v,d}}{3} \cdot \frac{b}{q_d} \right)^{\frac{1}{2}} = 2 \cdot \frac{1}{5} \cdot \left( \frac{E}{3} \cdot \frac{b}{q} \right)^{\frac{1}{3}} \quad \text{mit } q_d = \eta \cdot q$$

$$\rightarrow \frac{b}{q_d} = \left( \frac{3^2}{10^3} \cdot \frac{E}{f_{v,d}^{-3}} \cdot \eta \right)^{\frac{1}{2}}$$

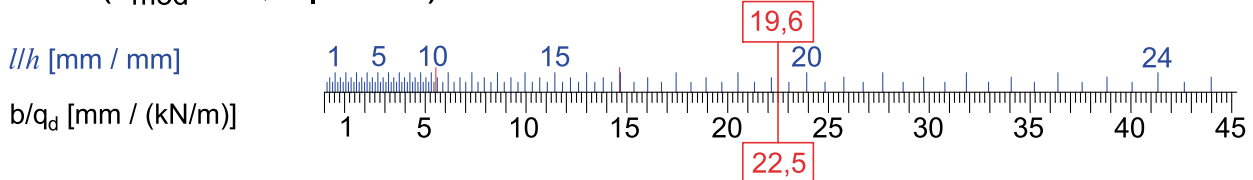
$$\rightarrow \frac{l}{h} = 2 \cdot \frac{10}{5} \cdot \frac{f_{v,d}}{3} \cdot \frac{b}{q_d} = 2 \cdot \frac{10}{5} \cdot \frac{f_{v,d}}{3} \cdot \left( \frac{3^2}{10^3} \cdot \frac{E}{f_{v,d}^{-3}} \cdot \eta \right)^{\frac{1}{2}} = 2 \cdot \frac{10}{5} \cdot \frac{3}{3} \cdot \frac{1}{10} \cdot \left( \frac{f_{v,d}^2}{10} \cdot \frac{E}{f_{v,d}^{-3}} \cdot \eta \right)^{\frac{1}{2}} = \frac{2}{5 \cdot \sqrt{10}} \cdot \sqrt{\frac{E}{f_{v,d}}} \cdot \eta$$

In der nachfolgenden Abbildung sind die erläuterten Zusammenhänge exemplarisch für Vollholz der Festigkeitsklasse C24 nach EN 338 für eine mittlere Klasse der Lasteinwirkung in der Nutzungsklasse 1 dargestellt. Das Verhältnis der Bemessungswerte im Grenzzustand der Tragfähigkeit bzw. der Gebrauchstauglichkeit (Durchbiegung) wurde mit  $\eta = 1,425$  angenommen, d. h. der charakteristische Wert für den ständigen ist gleich dem veränderlichen Einwirkungsanteil ( $(\Sigma Q_k / \Sigma G_k) = 1,00$ ).



Die Darstellung der Zusammenhänge aus der obigen Abbildung lassen sich weiter verdichten, wenn die einzelnen Kurvenbereich auf die Koordinatenachsen projiziert werden und die beiden Achsen übereinander aufgetragen werden. Exemplarisch wird ein so entstandene Doppelleiter-Nomogramm nachfolgend dargestellt.

### C24 ( $k_{mod} = 0,8$ | $l/300$ )



Die Anwendung der gezeigten graphischen Bemessungshilfen wird nachfolgend an Hand eines Beispiels gezeigt.

## ANHANG A

### Beispiel

#### gegeben:

Spannweite:  $l = 4,25 \text{ m}$   
 charakt. Wert der ständigen Einwirkung:  $g_k = 2,50 \text{ kN/m}$   
 charakt. Wert der veränderlichen Einwirkung:  $p_k = 2,50 \text{ kN/m}$   
 Abstand der Biegebalken:  $s = 0,75 \text{ m}$   
 Material: VH C24

### Einwirkungen

$$q = (g_k + p_k) \cdot s = (2,50 + 2,50) \cdot 0,750 = 3,75 \text{ kN/m}$$

$$q_d = (\gamma_G \cdot g_k + \gamma_Q \cdot p_k) \cdot s = (1,35 \cdot 2,50 + 1,50 \cdot 2,50) \cdot 0,750 = 5,34 \text{ kN/m}$$

$$\eta = \frac{q_d}{q} = \frac{5,34}{3,75} = 1,425$$

### Abschätzung der Querschnittshöhe mit Diagramm

gewählte Breite:  $b = 120 \text{ mm}$

$$\frac{b}{q_d} = \frac{120}{5,34} = 22,5 \rightarrow \text{aus Diagramm: } \frac{l}{h} = 19,6 \text{ (relevanter Nachweis: Durchbiegung)}$$

Abschätzung der Querschnittshöhe

$$h = \frac{l}{\text{Faktor}} = \frac{4,250}{19,6} = 217 \text{ mm}$$

**Querschnitt:**  $b/h = 120/217 \text{ mm}$

### Querschnittshöhe aus den $l/h$ -Zusammenhängen

#### Baustoffkennwerte

charakt. Wert der Biegefestigkeit:	$f_{m,k} = 24,0 \text{ N/mm}^2$	Tab. III.18
charakt. Wert der Schubfestigkeit:	$f_{v,k} = 2,30 \text{ N/mm}^2$	Tab. III.18
E-Modul:	$E_{0,mean} = 11.000 \text{ N/mm}^2$	Tab. III.18
Modifikationsbeiwert:	$k_{mod} = 0,80$	Tab. III.5
Teilsicherheitsbeiwert:	$\gamma_M = 1,30$	Tab. III.3

• für Schub

$$\left( \frac{b}{q_d} \right)_{grenz,Schub} = \frac{3}{4} \cdot \frac{f_{m,d}}{f_{v,d}^2} = \frac{3}{4} \cdot \frac{14,8}{1,42^2} = 5,50$$

• für Biegung

$$\left( \frac{b}{q_d} \right)_{grenz,Biegung} = \frac{3}{5^6} \cdot \frac{E^2}{f_{m,d}^3} \cdot \eta^2 = \frac{3}{5^6} \cdot \frac{11.000^2}{14,8^3} \cdot 1,42^2 = 14,6$$

Überprüfung des bemessungsrelevanten Nachweises

$$\rightarrow \left( \frac{b}{q_d} \right)_{\text{Schub}} = 5,50 < \left( \frac{b}{q_d} \right)_{\text{Biegung}} = 14,6 < \left( \frac{b}{q_d} \right)_{\text{prov}} = 22,5 \quad \rightarrow \text{Durchbiegung bemessungsrelevant}$$

Kontrolle der Durchbiegung für den optimalen Querschnitt

$$I = \frac{b \cdot h^3}{12} = \frac{120 \cdot 217^3}{12} = 1,02 \cdot 10^8 \text{ mm}^4$$

$$w = \frac{5}{384} \cdot \frac{q \cdot l^4}{E \cdot I} = \frac{5}{384} \cdot \frac{3,75 \cdot 4.250^4}{1,10 \cdot 10^4 \cdot 1,02 \cdot 10^8} = 14,2 \text{ mm}$$

$$w_{\text{grenz,inst}} = \frac{l}{300} = \frac{4.250}{300} = 14,2 \text{ mm}$$

### **Querschnitt mit Hilfe der Querschnittstabellen im Tabellenwerk**

Eingangswerte:

Spannweite:  $l = 4,250 \text{ m}$

Bemessungswert der Einwirkung:  $q_d = 5,34 \text{ kN/m}$

(gewählte) Querschnittsbreite:  $b = 120 \text{ mm}$

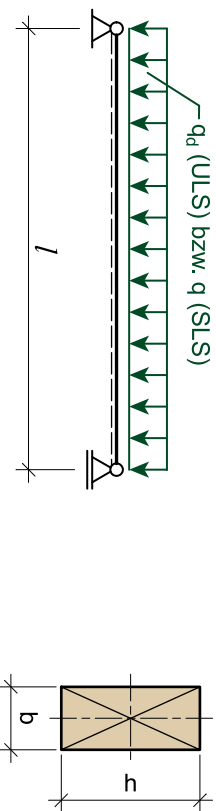
**Querschnitt:  $b/h = 120/220 \text{ mm}$**

Tab. IV.16

### **Nomogramme für Voll- und Brettschichtholz**

Auf den folgenden Seiten sind Nomogramme für (ausschließlich) biegebeanspruchte Träger aus Voll- und Brettschichtholz für die Modifikationsfaktoren  $k_{\text{mod}} = 0,80$  und  $k_{\text{mod}} = 1,00$  sowie dem Verhältnis der ständigen zur veränderlichen Einwirkung  $\eta = 1,425$  angegeben. Mit ihnen kann eine ausreichend genaue Vordimensionierung erfolgen. Gegebenenfalls ist das Biegedrillknicken („Kippen“) zusätzlich zu überprüfen.

- für Vollholz und den Modifikationsfaktor  $k_{\text{mod}} = 0,80$

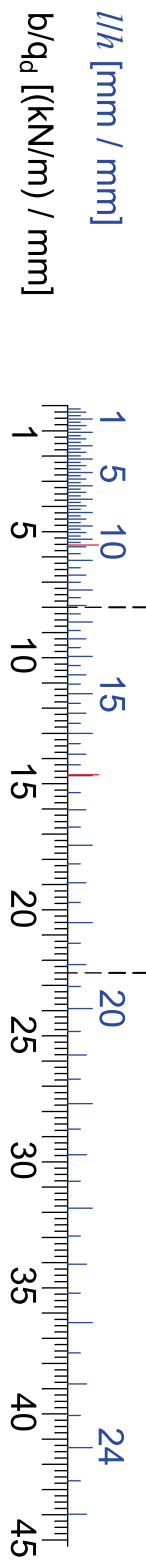


Nomogramm zur Abschätzung der  
Querschnittshöhe eines Vollholz-Balkens  
für einen Einfeldträger unter Gleichlast

### C30 ( $k_{\text{mod}} = 0,8 | l/300$ )



### C24 ( $k_{\text{mod}} = 0,8 | l/300$ )



Beispiel:

gegeben:  $q_d = 5,34 \text{ kN/m}$  (ULS - Grundkombination)  
gewählt:  $b = 120 \text{ mm}$   
 $\rightarrow$  z. B. für  $b / q_d = 120 / 5,34 = 22,5$

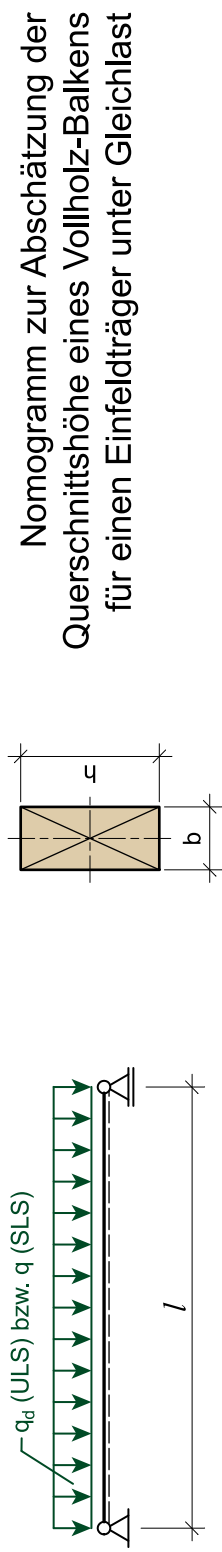
$\rightarrow$  z. B. für  $b / q_d = 8,00$

$\rightarrow$  für C24:  $l / h = 12,55$      $\rightarrow$  für C24:  $h = 4.250 / 12,55 = 339 \text{ mm}$   
für C30:  $l / h = 14,0$      $\rightarrow$  für C30:  $h = 4.250 / 14,0 = 304 \text{ mm}$

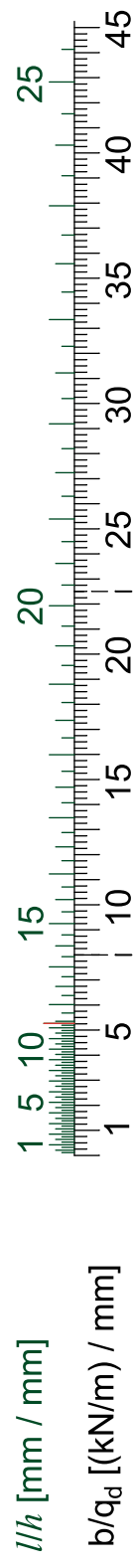
z. B. Spannweite  $l = 4.250 \text{ mm}$

$\rightarrow$  für C24:  $h = 4.250 / 19,6 = 217 \text{ mm}$   
für C30:  $h = 4.250 / 20,2 = 210 \text{ mm}$

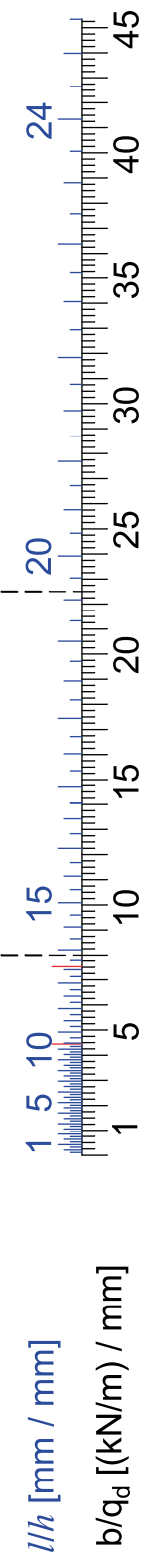
- für Vollholz und den Modifikationsfaktor  $k_{\text{mod}} = 1,00$



**C30** ( $k_{\text{mod}} = 1,00 | l/300$ )



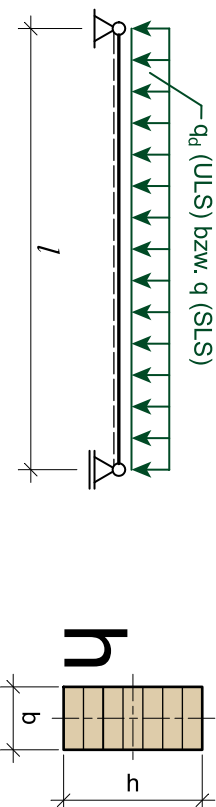
**C24** ( $k_{\text{mod}} = 1,00 | l/300$ )



Beispiel:  
 gegeben:  $q_d = 5,34 \text{ kN/m}$  (ÜL S - Grundkombination) → für C24:  
 gewählt:  $b = 120 \text{ mm}$  → für C30:  
 → z. B. für  $b / q_d = 120 / 5,34 = 22,5$  →  $l / h = 19,6$   
 → z. B. für  $b / q_d = 8,00$  → für C24:  
 →  $l / h = 14,3$  → für C30:

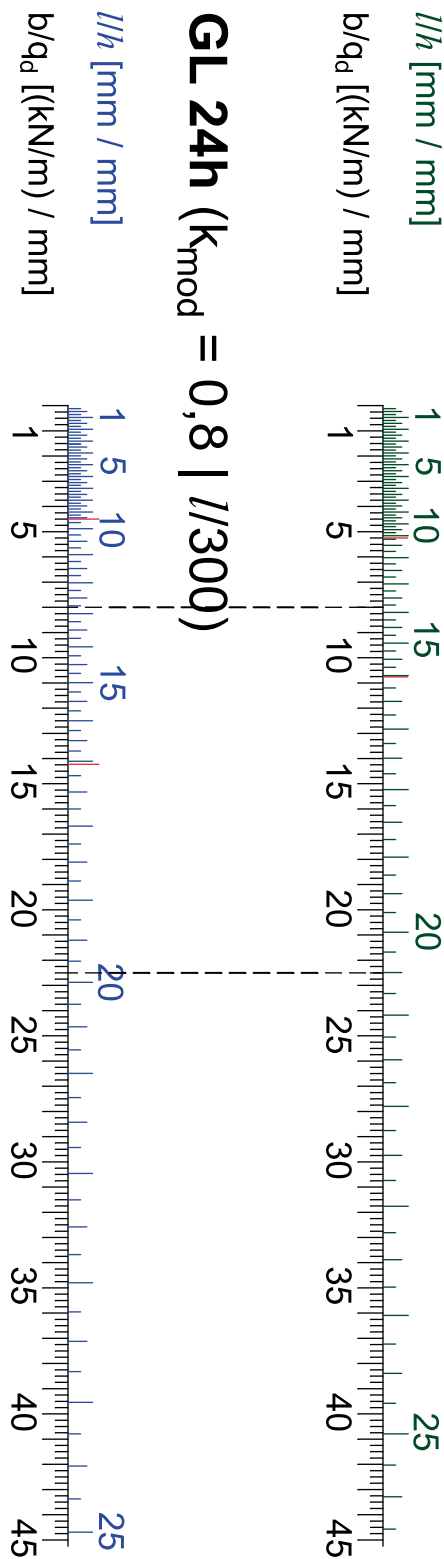
z. B. Spannweite  $l = 4250 \text{ mm}$   
 für C24:  $h = 4250 / 19,6 = 217 \text{ mm}$   
 für C30:  $h = 4250 / 20,15 = 211 \text{ mm}$   
 → für C24:  $h = 4250 / 13,9 = 306 \text{ mm}$   
 für C30:  $h = 4250 / 14,3 = 297 \text{ mm}$

- für Brettschichtholz mit homogenem Querschnittsaufbau und den Modifikationsfaktor  $k_{mod} = 0,80$



Nomogramm zur Abschätzung der  
Querschnittshöhe eines BSH-Balkens  
für einen Einfeldträger unter Gleichlast

### GL 28h ( $k_{mod} = 0,8 | l/300$ )



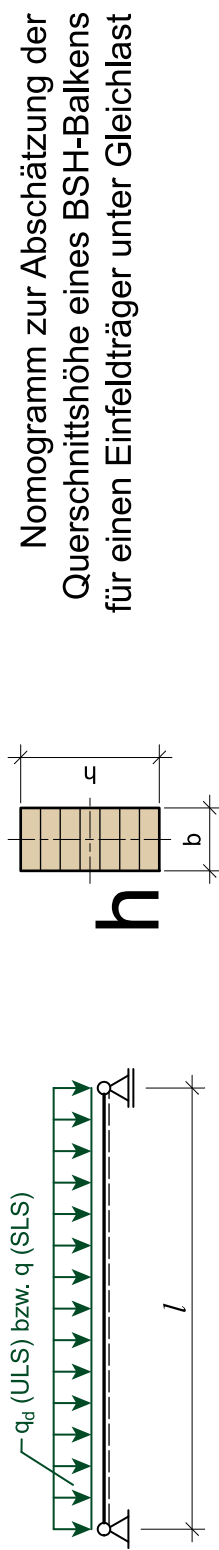
Beispiel:

gegeben:  $q_d = 5,34 \text{ kN/m}$  (ULS - Grundkombination)  
gewählt:  $b = 120 \text{ mm}$   
 $\rightarrow$  z. B. für  $b / q_d = 120 / 5,34 = 22,5$

$\rightarrow$  z. B. für  $b / q_d = 8,00$   
 $\rightarrow$  für GL 24h:  $l / h = 12,8$   
 $\rightarrow$  für GL 28h:  $l / h = 13,8$

z. B. Spannweite  $l = 4,250 \text{ mm}$   
 $\rightarrow$  für GL 24h:  $h = 4,250 / 12,8 = 332 \text{ mm}$   
 $\rightarrow$  für GL 28h:  $h = 4,250 / 13,8 = 308 \text{ mm}$

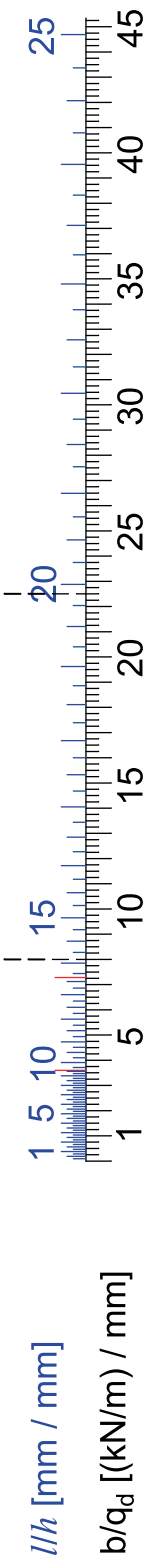
- für Brettschichtholz mit homogenem Querschnittsaufbau und den Modifikationsfaktor  $k_{\text{mod}} = 1,00$



$$\mathbf{GL \ 28h \ (k_{\text{mod}} = 1,00 \mid l/300)}$$



$$\mathbf{GL \ 24h \ (k_{\text{mod}} = 1,00 \mid l/300)}$$



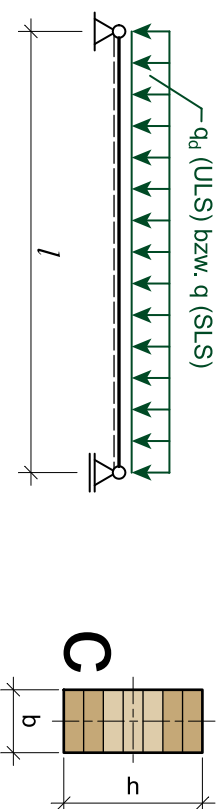
Beispiel:

gegeben:  $q_d = 5,34 \text{ kN/m}$  (ULS - Grundkombination)  
 gewählt:  $b = 120 \text{ mm}$   
 → z. B. für  $b / q_d = 120 / 5,34 = 22,5$   
 → z. B. für  $b / q_d = 8,00$

z. B. Spannweite  $l = 4,250 \text{ mm}$   
 für GL 24h:  $h = 4,250 / 19,9 = 214 \text{ mm}$   
 für GL 28h:  $h = 4,250 / 20,5 = 207 \text{ mm}$

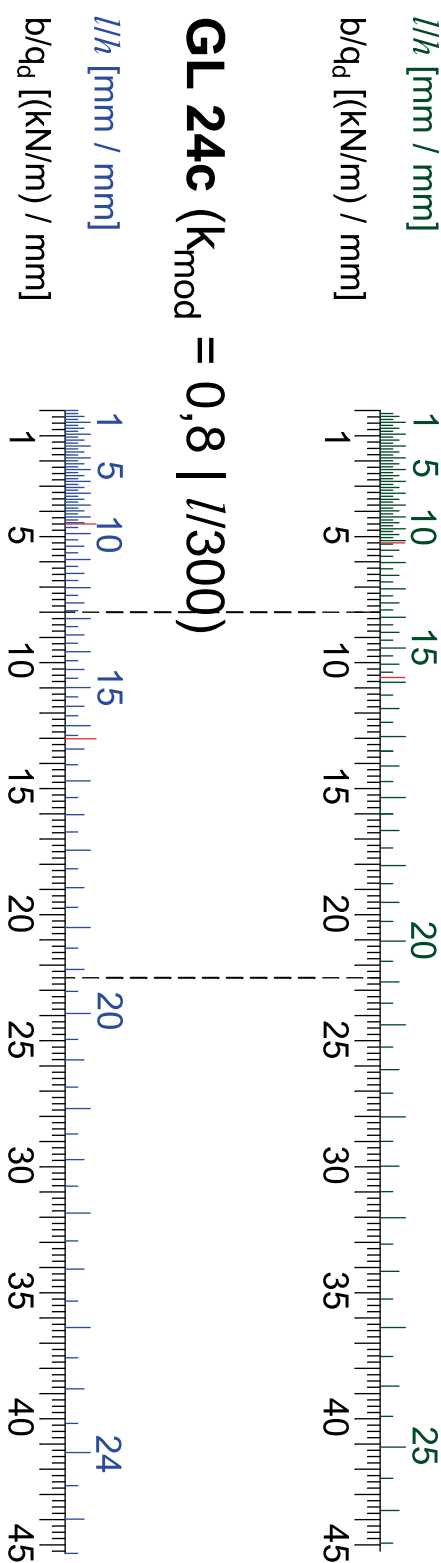
für GL 24h:  $h = 4,250 / 14,1 = 301 \text{ mm}$   
 für GL 28h:  $h = 4,250 / 14,3 = 297 \text{ mm}$

- für Brettschichtholz mit kombiniertem Querschnittsaufbau und den Modifikationsfaktor  $k_{\text{mod}} = 0,80$



Nomogramm zur Abschätzung der Querschnittshöhe eines BSH-Balkens für einen Einfeldträger unter Gleichlast

### GL 24c ( $k_{\text{mod}} = 0,8 | l/300$ )



Beispiel:

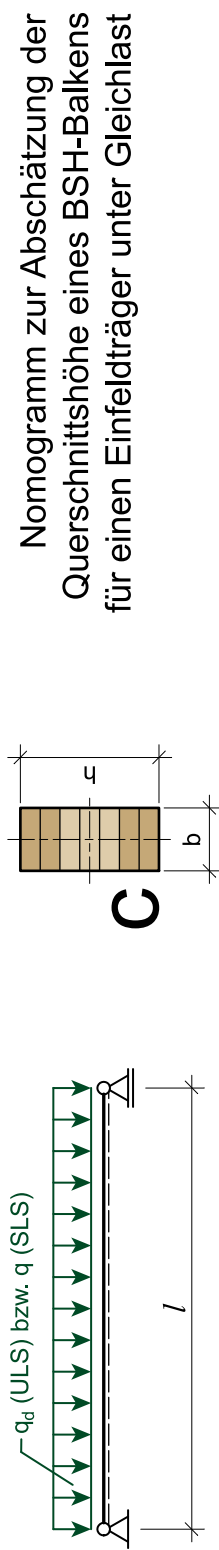
gegeben:  $q_d = 5,34 \text{ kN/m}$  (ULS - Grundkombination) → für GL 24c:  $l/h = 19,6$   
 gewählt:  $b = 120 \text{ mm}$  für GL 24c:  $l/h = 20,4$   
 → z. B. für  $b / q_d = 120 / 5,34 = 22,5$  für GL 24c:  $l/h = 20,4$

→ z. B. für  $b / q_d = 8,00$  für GL 24c:  $l/h = 12,8$

für GL 24c:  $l/h = 13,8$  für GL 24c:  $l/h = 13,8$

z. B. Spannweite  $l = 4,250 \text{ mm}$   
 für GL 24c:  $h = 4,250 / 19,6 = 217 \text{ mm}$   
 für GL 24c:  $h = 4,250 / 20,4 = 208 \text{ mm}$

- Schichtholz mit kombiniertem Querschnittsaufbau und den Modifikationsfaktor  $k_{\text{mod}} = 1,00$



**GL 28c ( $k_{\text{mod}} = 1,00 | l/300$ )**



**GL 24c ( $k_{\text{mod}} = 1,00 | l/300$ )**



Beispiel:

gegeben:  $q_d = 5,34 \text{ kN/m}$  (ULS - Grundkombination)  
 gewählt:  $b = 120 \text{ mm}$   
 → z. B. für  $b / q_d = 120 / 5,34 = 22,5$   
 → z. B. für  $b / q_d = 8,00$

z. B. Spannweite  $l = 4.250 \text{ mm}$   
 für GL 24c:  $h = 4.250 / 19,6 = 217 \text{ mm}$   
 für GL 28c:  $h = 4.250 / 20,4 = 208 \text{ mm}$   
 → für GL 24c:  $h = 4.250 / 13,85$   
 für GL 28c:  $h = 4.250 / 14,0 = 307 \text{ mm}$

NOTIZEN



NOTIZEN





**Österreichischer  
Ingenieurholzbauverband (IHBV)**

Vorsitzender DI (FH) Holzbaumeister Johannes Lederbauer  
Geschäftsführer Mag. Dieter Lechner

Schwarzenbergplatz 4,  
1030 Wien, Austria  
T +43 (0) 1 712 26 01-12  
F +43 (0) 1 713 03 09  
[office@ihbv.at](mailto:office@ihbv.at)  
[www.ihbv.at](http://www.ihbv.at)

---

**IHBV**